

دانشگاه تهران

پردیس علوم

دانشکده ریاضی، آمار و علوم کامپیوتر

عنوان

# مباحثی در حمله‌های جبری به سامانه‌های رمزنگاری

نگارنده

حسین هادی‌پور

استاد راهنما

دکتر حسین سبزو

استاد مشاور

دکتر حسین حاجی‌ابوالحسن

پایان‌نامه

جهت دریافت درجه کارشناسی ارشد

در رشته ریاضی محض

شهریور ۱۳۹۵





دانشگاه تهران

پردیس علوم

پایان نامه برای دریافت درجه‌ی کارشناسی ارشد در رشته ریاضی محض

عنوان: مباحثی در حمله‌های جبری به سامانه‌های رمزنگاری

نگارنده: حسین هادی‌پور

این پایان نامه در تاریخ ۱۳۹۵/۰۶/۳۱ در مقابل هیات داوران دفاع گردید و مورد تصویب قرار گرفت.

معاون آموزشی و تحصیلات تکمیلی پردیس علوم: دکتر معصومه ملک

رییس دانشکده‌ی ریاضی، آمار و علوم کامپیوتر: دکتر حمید پزشک

استاد راهنما: دکتر حسین سبزو

استاد مشاور: دکتر حسین حاجی ابوالحسن

عضو هیات داوران: دکتر مرتضی محمدنوری

عضو هیات داوران: دکتر حسین حاجی ابوالحسن



# تعهدنامه‌ی اصالت اثر

اینجانب حسین هادی‌پور تایید می‌کنم که مطالب مندرج در این پایان‌نامه حاصل کار پژوهشی اینجانب است و به دستاوردهای پژوهشی دیگران که در این نوشته از آن‌ها استفاده شده است، مطابق مقررات ارجاع گردیده است. این پایان‌نامه قبلاً برای احراز هیچ مدرک هم‌سطح یا بالاتر ارایه نشده است.

کلیه حقوق مادی و معنوی این اثر متعلق به دانشکده‌ی ریاضی، آمار و علوم کامپیوتر دانشگاه تهران است.

حسین هادی‌پور  
۱۳۹۵/۰۶/۳۱



# تقدیم به پدر و مادرم

پروردگارا، نه می‌توانم موهایشان را که در راه عزت من سفید شد، سیاه کنم و نه برای دست‌های  
پینه بسته‌شان که ثمره تلاش برای افتخار من است، مرهمی دارم. پس توفیقم ده که هر لحظه  
شکر گزارشان باشم و ثانیه‌های عمرم را در عصای دست بودنشان بگذرانم.





# سپاس‌گزاری

سپاس و ستایش تنها شایسته‌ی خدایی است که هیچ رمزی برایش پوشیده نیست، اما به مصداق «من لم یشکر المخلوق لم یشکر الخالق» بر خود فرض می‌دانم، قدردان زحمات کسانی باشم که در تمام مراحل تهیه این پایان‌نامه، یار و راهنمای من بوده‌اند. در ابتدا از پدر و مادر عزیزم که در تمام مراحل زندگی همراه و غم‌خوار من بوده‌اند تشکر می‌کنم. سپس از استاد راهنمایم جناب آقای دکتر حسین سبزو، که با راهنمایی‌ها و دقت‌نظرهای خود یاری‌رسان بنده در تهیه این پایان‌نامه بوده‌اند و به‌خاطر صبر و تحمل ایشان در این مدت، تشکر و قدردانی می‌کنم. همچنین از همراهی صمیمانه جناب آقای دکتر حسین حاجی‌ابوالحسن که استاد مشاور بنده در تهیه این پایان‌نامه بوده‌اند سپاس‌گزاری می‌کنم.

## چکیده

در این پایان‌نامه، بر پایه‌ی [۴۳]، گردایه‌ای از روش‌های جبری در رمزشکنی را ارائه می‌دهیم. بعد از معرفی مقدمات رمزنگاری و مفاهیم اولیه‌ی حمله‌های جبری و بررسی چندین سناریوی حمله جبری روی سامانه‌های رمزنگاری متقارن و نامتقارن، به مطالعه‌ی تعدادی از روش‌های خاص می‌پردازیم. به‌ویژه حمله‌های XL، XSL و MutantXL را مورد مطالعه قرار می‌دهیم که بر پایه‌ی روش‌های خطی‌سازی دستگاه‌های معادلات چندجمله‌ای چندمتغیره هستند. در ادامه حمله‌های جبری مبتنی بر پایه گروبنر و پایه‌های مرزی و نوع دیگری از حمله‌های جبری که بر مبنای روش‌های برنامه‌ریزی با عدد صحیح و مسئله صدق‌پذیری هستند را مطالعه می‌کنیم.

### کلمات کلیدی:

سامانه‌های رمزنگاری، حمله‌های جبری، حل دستگاه معادلات چندجمله‌ای، بازخطی‌سازی، پایه‌های گروبنر، پایه‌های مرزی، برنامه‌ریزی با عدد صحیح، مسئله صدق‌پذیری



## پیشگفتار

الف لام میم است آغاز کار  
که رمزیست از سوی پروردگار  
«امید مجد»

محور اصلی مباحث این پایان‌نامه بر اساس مقاله

Kreuzer, Martin. *Algebraic attacks galore!*. Groups-Complexity-Cryptology 1, no. 2 (2009), 231-259.  
است.

علم رمزشناسی دارای دو وجه است، یک وجه آن شامل طرّاحی سامانه‌ها و پروتکل‌های رمزنگاری و وجه دیگر آن علم یا هنر تحلیل رمز یا رمزشکنی است، که در آن به مطالعه روش‌هایی برای شکستن سامانه‌ها و پروتکل‌های رمزنگاری می‌پردازند. تمرکز ما در این پایان‌نامه بر روی وجه دوم است. منظور از شکستن یک سامانه رمزنگاری در ادبیات رمزنگاری، به‌دست آوردن کلید یا متن اصلی با تلاشی کمتر از جست‌وجوی فراگیر فضای کلید است، و به هر تلاشی برای شکستن یک سامانه حمله اطلاق می‌شود.

از آنجایی که هر نگاشت رمزنگاری بین فضاهای برداری با بعد متناهی، روی میدان متناهی را می‌توان به صورت یک نگاشت چندجمله‌ای نوشت، بیان مسئله حمله به یک سامانه رمز به صورت مسئله حل دستگاه معادلات چندجمله‌ای امری دور از انتظار نیست و به چنین رویکردی برای حمله به یک سامانه رمزنگاری حمله جبری گفته می‌شود.

حمله‌های جبری جزء حمله‌های شناخته شده دنیای رمزنگاری است و تا کنون تحقیقات زیادی در این زمینه صورت گرفته است، به‌طوری که حتی پایه‌گذاران رمزنگاری مدرن نیز ایده اصلی حمله‌های جبری را می‌شناختند. برای مثال شانون در مقاله معروف خود [۶۰] که در سال ۱۹۴۹ منتشر شد جمله‌ای با این مضمون دارد، که شکستن یک سامانه رمزنگاری خوب، نیازمند حداقل همان میزان تلاش برای حل یک دستگاه معادلات پیچیده با تعداد مجهولات فراوان است. با وجود مؤفقیتهای به‌دست آمده، این حوزه هنوز مسائل باز و حل‌نشده‌ی فراوانی دارد. ایده اصلی حمله‌های جبری را می‌توان در سه گام زیر خلاصه کرد

۱. به‌دست آوردن روابط چندجمله‌ای بین متغیرهای به‌کار رفته در یک سامانه رمزنگاری و

تبدیل نگاشت رمزنگاری و رمزگشایی به نگاشت‌های چندجمله‌ای

۲. جایگذاری مقادیر معلوم در روابط به‌دست آمده و تشکیل یک دستگاه معادلات چندجمله‌ای روی یک میدان متناهی

۳. حل دستگاه معادلات به‌دست آمده

در این پایان‌نامه سعی بر این بوده، تا گردایه‌ای از حمله‌های جبری را مورد مطالعه و ارزیابی قرار دهیم. در این راستا در فصل اول یک آشنایی مختصر با رمزنگاری خواهیم داشت، سپس در فصل ۲ پایه گروبنر و پایه مرزی را معرفی می‌کنیم که از ابزارهای ما در حمله به سامانه‌های رمزنگاری هستند.

در فصل ۳ بعد از این که ثابت کردیم هر نگاشت رمزنگاری را می‌توان به یک نگاشت چندجمله‌ای تبدیل کرد، نحوه‌ی انجام این کار را نیز نشان می‌دهیم. در این رابطه الگوریتم بوخبرگر مولر<sup>۱</sup> را که از آن می‌توان برای یافتن روابط چندجمله‌ای بین بیت‌های کلید و متن رمز شده، یا روابط چندجمله‌ای بین بیت‌های متن اصلی و متن رمز شده استفاده کرد، معرفی می‌کنیم. در ادامه این فصل سناریوهای عمومی حمله جبری به سامانه‌های رمزنگاری متقارن و نامتقارن را با ذکر مثال‌هایی از جبری‌سازی الگوریتم‌های رمزنگاری واقعی، بررسی خواهیم کرد.

پس از تبدیل سامانه رمزنگاری به دستگاه معادلات چندجمله‌ای نوبت به بررسی الگوریتم‌های حل این دستگاه‌ها می‌رسد که در فصل ۴ به آن پرداخته‌ایم. این فصل را با روش‌های مبنی بر خطی‌سازی آغاز می‌کنیم و حمله‌ی XL را معرفی خواهیم کرد. این الگوریتم که از روش خطی‌سازی برای تحویل دستگاه چندجمله‌ای به یک دستگاه خطی استفاده می‌کند، اولین بار توسط شمیر<sup>۲</sup> و کپینیس<sup>۳</sup> در [۲۲] معرفی شد. بر خلاف برخی از امیدهای اولیه پیچیدگی محاسباتی این روش زیرنمایی نبود و حافظه زیادی مصرف می‌کرد. پس از روشن شدن نقایص XL، یکی از اولین پیشنهادها برای بهبود آن، الگوریتم XSL بود که توسط کورتوا<sup>۴</sup> و پیپشیک<sup>۵</sup> در [۲۲] ارائه شد و موضوع بحث بعدی ما در این فصل است. اگر چه این روش با بهره‌گیری از ویژگی کم‌پشتی و ساختار خاص دستگاه‌هایی که از برخی سامانه‌های رمزنگاری به‌دست می‌آیند، در بهبود روش XL موفق بوده است، ولی تنها برای دسته‌ی خاصی از سامانه‌ها موسوم به سامانه‌های XSL مناسب است و یک روش کلی برای حل تمام دستگاه‌ها تلقی نمی‌شود. علاوه بر این بحث‌های زیادی بر سر کارایی این روش وجود دارد و عده‌ای از رمزنگارها اعتقادی به کارایی این روش ندارند. یک پیشنهاد دیگر برای بهبود الگوریتم XL الگوریتم MutantXL از دینگ<sup>۶</sup> است که آن را نیز در این

<sup>1</sup>Buchberger-Möller

<sup>2</sup>A. Shamir

<sup>3</sup>A. Kipnis

<sup>4</sup>Courtois

<sup>5</sup>Pieprzyk

<sup>6</sup>J. Ding

فصل معرفی می‌کنیم.

در ادامه‌ی فصل ۴، حمله‌های پایه گروبر و پایه مرزی را مورد بررسی قرار می‌دهیم. بهترین الگوریتم‌ها برای یافتن پایه گروبر تاکنون الگوریتم‌های  $F4$  و  $F5$  از فوجر<sup>۷</sup> در [۳۰] و [۳۱] هستند که حمله‌های مبنی بر پایه گروبر در رمزنگاری، از این الگوریتم‌ها برای یافتن پایه گروبر و حل دستگاه استفاده می‌کنند. محبوبیت این الگوریتم‌ها پس از مؤفقت آن‌ها در شکستن چالش HFE 80 افزایش یافته است. به‌ویژه پیشرفت‌های اخیر و بهینه‌سازی‌هایی که روی این الگوریتم‌ها صورت گرفته آن‌ها را قدرتمندتر ساخته و امنیت چندین سامانه‌ی امضای دیجیتال و رمز دنباله‌ای به واسطه‌ی آن‌ها تحت خطر جدی قرار گرفته است. در ادامه‌ی این فصل الگوریتم بهبودیافته پایه مرزی را، به عنوان روشی دیگر برای حل دستگاه‌ها و حمله به سامانه‌های رمزنگاری معرفی می‌کنیم. گرچه تا کنون هیچ حمله‌ی مؤفقی با استفاده از پایه‌های مرزی گزارش نشده ولی به نظر می‌رسد الگوریتم‌های محاسبه پایه مرزی اگر به همان اندازه الگوریتم‌های پایه گروبر مورد توجه قرار گیرند، می‌توانند روشی چه‌بسا بهتر از روش پایه گروبر، برای حمله به سامانه‌های رمزنگاری باشند.

در ادامه فصل ۴ به معرفی حمله‌های جبری مبنی بر برنامه‌ریزی خطی با عدد صحیح می‌پردازیم. در این بخش الگوریتمی برای تبدیل دستگاه معادلات چندجمله‌ای روی  $GF(2)$  به مسئله برنامه‌ریزی خطی با متغیرهای صحیح معرفی می‌کنیم، تا بدین ترتیب بتوانیم از حل‌کننده‌های قدرتمند مسائل برنامه‌ریزی خطی نیز برای حمله به سامانه‌های رمزنگاری استفاده کنیم. در پایان به یکی از معروف‌ترین مسائل علوم کامپیوتر یعنی مسئله صدق‌پذیری پرداخته‌ایم و بعد از معرفی الگوریتمی برای تحویل مسئله حل دستگاه چندجمله‌ای به مسئله صدق‌پذیری، سعی کرده‌ایم تا قدرت حل‌کننده‌های مسئله صدق‌پذیری را در شکستن سامانه‌های رمزنگاری مورد آزمون قرار دهیم.

<sup>7</sup>Fauger



# فهرست مطالب

## پیشگفتار

ب

## فهرست اختصارات

س

۱	آشنایی با رمزنگاری	۱
۱	۱.۱ رمزنگاری درباره چیست؟	۱
۳	۲.۱ سیرتکاملی رمزنگاری	۳
۶	۳.۱ رمزنگاری متقارن	۶
۲۹	۴.۱ رمزنگاری نامتقارن یا کلید همگانی	۲۹
۴۱	۲ پایه گروبنر و پایه مرزی	۴۱
۴۱	۱.۲ پایه‌های گروبنر	۴۱
۶۱	۲.۲ پایه‌های مرزی	۶۱
۹۳	۳ جبری سازی و استخراج معادلات سامانه‌های رمزنگاری	۹۳
۹۳	۱.۳ نگاشت‌های عام	۹۳
۹۶	۲.۳ حمله‌ی جبری چیست؟	۹۶
۹۷	۳.۳ الگوریتم بوخبرگر-مولر	۹۷
۱۰۲	۴.۳ جبری سازی رمزهای قالبی	۱۰۲
۱۰۵	۱.۴.۳ جبری سازی KeyLoq	۱۰۵
۱۱۰	۲.۴.۳ استخراج معادلات جعبه‌های جانشینی	۱۱۰
۱۱۴	۳.۴.۳ جبری سازی CTC	۱۱۴
۱۱۹	۴.۴.۳ جبری سازی AES و SR	۱۱۹
۱۴۰	۵.۳ جبری سازی رمزهای دنباله‌ای	۱۴۰
۱۴۱	۱.۵.۳ ثبات انتقال با بازخورد خطی	۱۴۱
۱۴۵	۲.۵.۳ جبری سازی Trivium و Bivium	۱۴۵



۱۴۹	جبری سازی سامانه های کلیدهمگانی	۶.۳
۱۵۰	رمزگشایی بدون استفاده از کلید خصوصی	۱.۶.۳
۱۵۲	به دست آوردن کلید خصوصی	۲.۶.۳
۱۵۷	<b>حمله های جبری و روش های حل دستگاه معادلات چندجمله ای</b>	۴
۱۵۷	روش های مبنی بر خطی سازی	۱.۴
۱۵۷	خطی سازی	۱.۱.۴
۱۵۹	بازخطی سازی	۲.۱.۴
۱۶۲	روش XL	۳.۱.۴
۱۶۸	روش XSL	۴.۱.۴
۱۷۸	روش MutatntXL	۵.۱.۴
۱۸۲	حمله پایه ی گروبنر	۲.۴
۱۹۲	حمله پایه مرزی	۳.۴
۱۹۵	حمله برنامه ریزی عدد صحیح	۴.۴
۱۹۷	تبدیل دستگاه معادلات چندجمله ای به مسئله برنامه ریزی خطی	۱.۴.۴
۲۰۱	حمله جبری مبتنی بر مسئله صدق پذیری	۵.۴
۲۰۲	الگوریتم های حل مسئله صدق پذیری	۱.۵.۴
۲۱۹	تبدیل مسئله حل دستگاه معادلات چندجمله ای به مسئله صدق پذیری	۲.۵.۴
۲۲۶	نتیجه گیری	۶.۴
۲۲۶	مقاوم سازی الگوریتم های رمز نوین در مقابل حمله های جبری	۱.۶.۴
۲۲۶	کدام حل کننده بهتر عمل می کند؟	۲.۶.۴
۲۲۷	راه کاری های مناسب تر	۳.۶.۴
۲۳۵	<b>واژه نامه انگلیسی به فارسی</b>	
۲۳۶	<b>واژه نامه فارسی به انگلیسی</b>	
۲۳۸	<b>کتاب نامه</b>	

# فهرست الگوریتم‌ها

۴۷	الگوریتم تقسیم در $K[x_1, \dots, x_n]$	۱
۵۷	الگوریتم بوخبرگر برای محاسبه‌ی پایه گروبنر	۲
۶۶	الگوریتم تقسیم مرزی	۳
۸۴	الگوریتم تغییر پایه برای محاسبه پایه مرزی	۴
۸۸	الگوریتم حذف گاوس برای چندجمله‌ای‌ها – GaussEL	۵
۸۹	الگوریتم محاسبه‌ی پوشش پایای یک فضای برداری	۶
۹۱	الگوریتم تحویل نهایی – Final Reduction	۷
۹۲	الگوریتم محاسبه‌ی پایه مرزی – BBA	۸
۹۹	الگوریتم بوخبرگر – مولر ۱	۹
۱۵۳	الگوریتم بوخبرگر – مولر ۲	۱۰
۱۵۴	الگوریتم رمزنگاری در KeeLoq	۱۱
۱۵۴	الگوریتم رمزگشایی در KeeLoq	۱۲
۱۵۵	الگوریتم رمزنگاری AES	۱۳
۱۵۵	الگوریتم به‌روزرسانی و تولید کلید اجرایی در رمز دنباله‌ای Trivium	۱۴
۱۵۵	مرحله آغازسازی در رمز دنباله‌ای Trivium	۱۵
۱۵۶	الگوریتم به‌روزرسانی و تولید کلید اجرایی در رمز دنباله‌ای Bivium	۱۶
۱۵۶	الگوریتم رمزنگاری Trivium	۱۷
۱۵۶	استخراج معادلات از درجه حداکثر ۲ حاکم بر Trivium	۱۸
۱۶۳	الگوریتم – XL	۱۹
۱۷۴	$T'$ -Method	۲۰
۱۷۸	الگوریتم XSL	۲۱
۱۸۰	الگوریتم MXL	۲۲
۱۹۳	الگوریتم بهبودیافته پایه مرزی	۲۳
۱۹۶	الگوریتم انشعاب و تحدید برای حل مسئله‌ی IP	۲۴

۲۵	الگوریتم تبدیل دستگاه معادلات به مسئله‌ی برنامه‌ریزی عدد صحیح و سپس
حل آن . . . . . ۲۲۸	
۲۶	الگوریتم GSAT برای حل مسئله صدق‌پذیری . . . . . ۲۲۹
۲۷	الگوریتم WalkSAT برای حل مسئله صدق‌پذیری . . . . . ۲۲۹
۲۸	الگوریتم DP برای حل مسئله صدق‌پذیری . . . . . ۲۳۰
۲۹	الگوریتم DPLL برای حل مسئله صدق‌پذیری . . . . . ۲۳۱
۳۰	الگوریتم AnalyzeConflict به کار رفته در الگوریتم CDCL . . . . . ۲۳۱
۳۱	الگوریتم CDCL . . . . . ۲۳۲
۳۲	الگوریتم تبدیل دستگاه معادلات چندجمله‌ای روی $\mathbb{F}_2$ به مسئله صدق‌پذیری . . . . . ۲۳۳

# فهرست جداول

۱۱۹	پارامترهای نسخه‌های مختلف AES	۱.۳
۱۲۶	نگاشت‌های جعبه جانشینی در SR	۲.۳
۱۲۷	ماتریس MixColumns در SR	۳.۳
۱۲۸	ثابت‌ها و توابع مورد استفاده در الگوریتم توسعه کلید $SR(n, r, c, e)$	۴.۳
۱۳۹	تعداد معادلات استخراج شده از $SR(n, r, c, e)$	۵.۳
۱۸۲	مقایسه الگوریتم‌های XL و MXL پیاده‌سازی شده در نرم‌افزار ApCoCoA	۱.۴
	مقایسه الگوریتم‌های محاسبه پایه گروبنر در نرم‌افزارهای Sage، Maple و	۲.۴
۱۹۲	ApCoCoA	
	مقایسه زمان حل دستگاه‌های چندجمله‌ای با استفاده از روش پایه گروبنر و	۳.۴
۱۹۴	روش پایه مرزی در نرم‌افزار ApCoCoA	
۲۰۰	مقایسه حمله‌های جبری پایه گروبنر و برنامه‌ریزی عدد صحیح روی CTC	۴.۴
۲۱۷	عملیات رفع طی فرآیند یادگیری بند جدید در الگوریتم AnalyzeConflict	۵.۴
۲۱۹	عملیات رفع طی فرآیند یادگیری بند جدید با استفاده از روش نقطه التزام واحد	۶.۴
	مقایسه تعداد بندها و متغیرهای صورت متعارف عطفی به دست آمده در روش‌های	۷.۴
۲۲۲	مختلف تبدیل دستگاه چندجمله‌ای به CNF	
۲۲۴	مقایسه روش‌های مختلف تبدیل دستگاه معادلات چندجمله‌ای به مسئله صدق‌پذیری	۸.۴
	مقایسه روش‌های مختلف تبدیل دستگاه چندجمله‌ای $CTC(6,6)$ به مسئله	۹.۴
۲۲۵	صدق‌پذیری	
	مقایسه روش‌های مختلف تبدیل دستگاه چندجمله‌ای $CTC(6,6)$ به مسئله	۱۰.۴
۲۲۵	صدق‌پذیری	
۲۲۵	مقایسه حل‌کننده‌های مسئله صدق‌پذیری	۱۱.۴



# فهرست تصاویر

۱	مدل یک کانال ناامن [۳۷]	۱.۱
۱۰	نشت اطلاعات به هنگام رمز کردن دو پیام با یک کلید در رمز ورنام	۲.۱
۱۶	تعامل مهاجم و چالشگر در آزمایش امنیت تک پیامی	۳.۱
۱۹	نمای کلی رمزنگاری در رمزهای دنباله‌ای	۴.۱
۲۳	تعامل بین چالشگر فرضی و تمایزگر در تمایز تابع شبه تصادفی	۵.۱
۳۱	پروتکل تبادل کلید دیفی-هلمن	۶.۱
۳۹	رسیدن به اهداف محرمانگی و احراز اصالت در رمزهای متقارن و نامتقارن	۷.۱
۴۸	نمایشی از یکجمله‌ای‌های ایده‌ال $I$	۱.۲
۶۳	ایده‌ال ترتیبی $O$ و مرز اول و دوم آن	۲.۲
۶۵	مرز اول و دوم ایده‌ال ترتیبی $\{1, x, x^2\}$	۳.۲
۷۲	گوشه‌های یک ایده‌ال ترتیبی	۴.۲
۸۲	یکجمله‌ای‌های مرزی همسایه	۵.۲
۱۰۳	ساختار شبکه‌ی جانشینی جایگشتی (SPN) در رمزهای قالبی	۱.۳
۱۰۶	رمزنگاری در Keeloq	۲.۳
۱۰۶	رمزگشایی در Keeloq	۳.۳
۱۱۵	رمز CTC با ۲ جعبه‌ی جانشینی در هر دور	۴.۳
۱۱۶	رمز CTC با ۱۰ جعبه‌ی جانشینی در هر دور	۵.۳
۱۲۰	آرایش داده و کلید در AES	۶.۳
۱۲۱	نمایش تصویری یک دور از الگوریتم AES	۷.۳
۱۲۳	یک دور از الگوریتم توسعه کلید AES-128 و AES-192	۸.۳
۱۲۷	یک دور از الگوریتم توسعه کلید SR	۹.۳
۱۳۵	تقسیم تابع دور AES به دو قسمت آفین و غیرآفین	۱۰.۳
۱۴۱	مولد شبه تصادفی در رمزهای دنباله‌ای	۱۱.۳
۱۴۲	ثبات با بازخورد خطی به طول $L$	۱۲.۳

۱۴۴ . . . . .	رمز دنباله‌ای Trivium	۱۳.۳
۱۴۸ . . . . .	نمایش طبقاتی الگوریتم رمزنگاری Trivium	۱۴.۳
۱۷۰ . . . . .	دور $i$ ام از یک XSL-Cipher که لایه‌ی خطّی آن فقط شامل یک جایگشت است	۱۰.۴
۱۷۱ . . . . .	الگوریتم رمزنگاری CTC، به ازای $B = 10$	۲.۴
۲۱۰ . . . . .	گراف الگوریتم DPLL	۳.۴
۲۱۵ . . . . .	یک نمونه گراف التزام	۴.۴
۲۱۶ . . . . .	یک نمونه گراف التزام	۵.۴





## فصل ۱

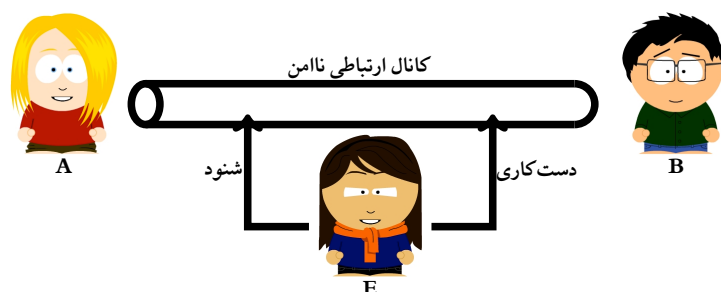
# آشنایی با رمزنگاری

هدف از این فصل آشنایی با مفاهیم اولیه‌ی رمزنگاری نوین است. پس از مروری مختصر بر سیر تکاملی رمزنگاری، مفهوم امنیت را به صورت دقیق تعریف کرده و اهداف اصلی رمزنگاری را برمی‌شماریم. در ادامه ابزارهای اولیه‌ی رمزنگاری برای دستیابی به دو هدف اصلی، یعنی محرمانگی و احراز اصالت را معرفی می‌کنیم. برای آشنایی کامل با رمزنگاری نوین و مشاهده جزئیات بیشتر در رابطه با مفاهیم این فصل، می‌توانید به [۴۰]، رجوع کنید.

## ۱.۱ رمزنگاری درباره چیست؟

از نظر تاریخی رمزنگاری برای این بوجود آمد که طرفین یک ارتباط بتوانند محرمانگی ارتباط خود را حتی در حضور یک مهاجم که به کانال ارتباطی آن‌ها دسترسی دارد حفظ کنند. ولی اهداف رمزنگاری نوین، نه تنها محرمانگی بلکه صحت یا جامعیت و احراز هویت و بسیاری از اهداف پیچیده و البته شگفت‌انگیز دیگر را در برمی‌گیرد.

مدل ساده شکل ۱.۱ را در نظر بگیرید که A و B قصد دارند از طریق یک کانال با هم ارتباط



شکل ۱.۱: مدل یک کانال ناامن [۳۷]

برقرار کنند. اگر کانال ارتباطی بین این دو، نفوذناپذیر باشد و هیچ شخص سومی نتواند به آن‌چه

در این کانال منتقل می‌شود دسترسی داشته باشد چنین کانالی یک کانال ایده‌آل است و در نتیجه پیام‌ها به صورت محرمانه و با صحت کامل به مقصد می‌رسند و نیازی به رمز کردن آن‌ها نیست. ولی در دنیای واقعی هنوز کانال ایده‌آل وجود ندارد و ارتباط از طریق یک کانال مثل اینترنت یا امواج رادیویی که برای دیگران نیز در دسترس است برقرار می‌شود. برای مدل کردن خطرات متوجه یک کانال ارتباطی غیر ایده‌آل، شخص سوّمی به نام مهاجم را معرفی می‌کنیم که در شکل با E نشان داده شده و می‌تواند ضمن شنود کانال، پیام ارسالی در کانال را تغییر دهد.

به طور کلی مهاجم یا دشمن در رمزنگاری به عنوان منبع تمام خطرات احتمالی متوجه امنیت در نظر گرفته می‌شود و در عمل می‌تواند یک شخص متخصص یا یک برنامه‌ی کامپیوتری مخرب، شرکت رقیب، گروهی از هکرها و یا یک سازمان جنایی باشد.

ابزار اصلی رمزنگاری برای غلبه بر مهاجم پروتکل‌های رمزنگاری هستند، پروتکل‌های رمزنگاری مجموعه‌ای از الگوریتم‌های رمزنگاری به انضمام قراردادهایی هستند که مشخص می‌کنند طرفین ارتباط چگونه باید عمل کنند، ولی این که مهاجم چگونه عمل می‌کند را مشخص نمی‌کنند. پروتکل‌های رمزنگاری در اصل برنامه‌های رایانه‌ای توزیع شده هستند و به طور مختصر، رمزنگاری درباره طراحی و تحلیل پروتکل‌های رمزنگاری با هدف شکست دادن مهاجم است.

رمزنگاری قوانینی دارد، اولین قانون این است که ما برای غلبه بر مهاجم فقط مجازیم از پروتکل‌ها استفاده کنیم، ما اجازه نداریم با تهدید، دستگیری یا سم ریختن در چای مهاجم بر او چیره شویم، این روش‌ها شاید مؤثر واقع شود ولی از علم رمزنگاری به دور است!

قانون دوّم که اکثر رمزنگارها بر آن اصرار دارند، عمومی بودن پروتکل‌های رمزنگاری است. تنها چیزی که باید مخفی بماند کلید رمزنگاری است که البته کلید برخلاف الگوریتم‌ها و پروتکل‌ها یک نوع داده محسوب می‌شود و امنیت سامانه تنها باید متکی به مخفی بودن کلید باشد.

## اهداف رمزنگاری

اهداف رمزنگاری را می‌توانیم به سه هدف زیر تقسیم کنیم:

۱. **محرمانگی** مهاجم با دیدن پیام رمز شده نتواند اطلاعات جدیدی راجع به متن اصلی به دست آورد.

۲. **صحت یا جامعیت** اگر پیام ارسالی تغییر کرد، گیرنده‌ی پیام متوجه شود.

۳. **احراز هویت** گیرنده‌ی پیام بتواند از هویت فرستنده اطمینان حاصل کند و فرستنده نتواند خود را جای کس دیگری معرفی کند.

ابزارهای لازم برای رسیدن به سه هدف فوق، ابزارهای پایه و اولیه رمزنگاری هستند، به طوری که می‌توان از آن‌ها برای ساخت پروتکل‌های پیچیده‌تر که اهداف امنیتی نظیر گمنامی، تعهد و عدم انکار را برآورده می‌کنند نیز استفاده کرد.

## ۲۰۱ سیرتکاملی رمزنگاری

### تاریخچه

مطالعه‌های تاریخی نشان می‌دهد که اولین رمزنگاری‌ها متعلق به ۱۹۰۰ سال قبل از میلاد مسیح است، یعنی زمانی که مصری‌های باستان برای مخفی نگاه داشتن مضمون نوشته‌های خود از رسم الخط هیروگلیف، به صورت نامتعارف استفاده می‌کردند. البته در میان تمدن‌های ایرانی‌ها، هندی‌ها، بابلی‌ها و اسپارت‌ها نیز استفاده از رمزنگاری مرسوم بوده است. با این حال اولین مطالعات مربوط به تحلیل رمز یا رمزشکنی به هزار سال پس از میلاد مسیح مقارن با زمان بعثت پیامبر اسلام باز می‌گردد، به همین خاطر است که دیوید کان<sup>۱</sup> مورخ و روزنامه‌نگار آمریکایی در کتاب معروف خود راجع به تاریخ رمزنگاری [۳۹] می‌نویسد، رمزشناسی در میان اعراب مسلمان متولد شد. برای مثال ((أبو يوسف يعقوب بن إسحاق الصبّاح الكندي)) که از دانشمندان مسلمان بوده، اولین کسی است که روش تحلیل فرکانسی حروف متون رمز شده را، که مبنای بسیاری از روش‌های آماری برای شکستن رمزها تا جنگ جهانی دوم بود در کتاب خود تحت عنوان ((رسالة في استخراج المعمة)) معرفی کرد.

در گذشته کاربرد رمزنگاری منحصر به کاربردهای نظامی و سیاسی بود اما امروزه استفاده از رمزنگاری گسترش زیادی یافته است به طوری که بسیاری از ما بدون این که بدانیم روزانه از رمزنگاری استفاده می‌کنیم، برای مثال وقتی یک خرید اینترنتی انجام می‌دهیم از رمزنگاری برای انتقال محرمانه‌ی رمز کارت بانکی از رایانه‌ی شخصی ما به سرویس دهنده‌ی بانک استفاده می‌شود، یا در بانکداری الکترونیکی از رمزنگاری برای تشخیص جعلی و یا اصلی بودن چک‌های الکترونیکی استفاده می‌شود. به عنوان مثالی دیگر، امروزه برای حفظ محرمانگی مکالمات مشترکین تلفن همراه، از رمزنگاری حین انتقال در این شبکه استفاده می‌شود، به طوری که یک مهاجم با شنود سیگنال رادیویی بین دستگاه تلفن همراه و اولین گره شبکه، نتواند به داده منتقل شده دست یابد، علاوه بر این برای احراز اصالت مشترکین و به طور متقابل سرویس دهنده‌ها در این شبکه از پروتکل‌های احراز اصالت و اولیه‌های رمزنگاری استفاده می‌شود.

دوران تاریخی رمزنگاری را می‌توانیم به سه مرحله‌ی زیر تقسیم کنیم [۳۹]:

- **دوران کاغذ و مرکب** در این دوران الگوریتم‌های رمزنگاری که بیشتر از روش‌های ساده‌ی جانشینی و جایگشت استفاده می‌کردند، با استفاده از کاغذ و مرکب و گاهی ابزارهای مکانیکی بدوی پیاده‌سازی می‌شدند که برای نمونه می‌توان به الگوریتم سزار و روش رمزنگاری اسپارتان اشاره کرد.

- **دوران ماشین‌های رمزنگاری** در این دوران که از آغاز قرن بیست تا سال ۱۹۴۹ و واقعه‌ی

<sup>1</sup>David Kahn

جنگ جهانی دوم را در برمی گیرد، برای پیاده سازی الگوریتم های رمزنگاری از ماشین های الکترومکانیکی استفاده می شد. برای نمونه می توان به ماشین انیگما که در جنگ جهانی دوم توسط آلمان ها استفاده شد اشاره کرد.

● **دوران رمزنگاری نوین** شانون را پدر علم نظریه ی اطلاعات می دانند اما شاید بتوان آن را پدر رمزنگاری نوین هم قلمداد کرد، چرا که رمزنگاری نوین با انتشار مقاله سال ۱۹۴۹ وی [۶۰] درباره نظریه ارتباطات سیستم های محرمانه آغاز شد و تا کنون ادامه دارد.

## رویکردهای مختلف در مطالعه ی رمزنگاری

### رویکرد سنتی

در این رویکرد الگوریتم های رمزنگاری با تمرکز روی غلبه بر حملات موجود طراحی می شدند و روند طراحی و تحلیل به صورت زیر بود.

۱. هدف رمزنگاری مشخص می شود.

۲. سامانه رمزنگاری متناسب با هدف، طراحی می شود.

۳. سامانه ی رمزنگاری مورد حمله قرار می گیرد.

۴. اگر حمله موفق بوده و منجر به شکست سامانه شود به گام ۲ بازمی گردیم و با تجدید نظر در طراحی، سامانه را در مقابل حمله جدید مقاوم می کنیم.

رویکرد سنتی دارای مشکلاتی است. یک مشکل آشکار چنین رویکردی این است که هیچ گاه نمی دانیم چه الگوریتمی می تواند الگوریتم صحیح و مقاومی باشد و فرآیند طراحی یک فرآیند بی پایان است، هیچ تضمینی بر امنیت سامانه وجود نداشته و هر لحظه ممکن است مشکلات جدیدی بروز کند.

اولین رویکرد اصولی در رمزنگاری که در آن به طور مؤثری از تعاریف و اثبات ها استفاده شد، متعلق به شانون است، وی برای اولین بار مفهومی تحت عنوان امنیت کامل را تعریف می کند [۶۰]. ایده شانون که در بخش های بعد آن را بیشتر بررسی می کنیم به طور مختصر این بود که ابهام مهاجم راجع به متن اصلی، با مشاهده ی متن رمز شده کمتر نشود و به عبارتی دیدن یا ندیدن متن رمز شده هیچ تأثیری در مؤفقت مهاجم در شکستن رمز نگذارد. تعریف شانون از امنیت، مهاجمی با توانایی محاسباتی نامحدود را مدل می کرد که فقط توانایی شنود کانال را دارد. مهم تر از همه، وی ثابت کرد که برای رسیدن به امنیت کامل تعداد بیت های کلید باید بزرگتر یا مساوی با تعداد بیت های متن اصلی باشد و این یک محدودیت عملی اساسی بود. از طرفی فرض شانون مبنی بر نامحدود بودن توانایی محاسباتی مهاجم، یک فرض قوی بود چرا که مهاجم هر چقدر هم

قوی باشد، توانایی محاسباتی‌اش محدود است. به این ترتیب رمزنگارها رویکرد دیگری تحت عنوان امنیت محاسباتی را در پیش گرفتند، امنیتی که کامل نیست ولی کافی است. در امنیت محاسباتی بر خلاف امنیت کامل شانون، فرض بر این است که توانایی محاسباتی مهاجم محدود است و چون به جای امنیت کامل، به دنبال امنیت کافی هستیم، می‌توانیم از کلیدی کوتاه‌تر از متن اصلی برای رمزکردن استفاده کنیم، در نتیجه حمله‌های مؤفق، امکان‌پذیر ولی دست‌یافتن به آن‌ها در عمل دشوار است. در چنین رویکردی روشن شدن درجه‌ی پیچیدگی محاسباتی الگوریتم‌های رمزنگاری از اهمیت زیادی برخوردار است، به این ترتیب رمزنگاری از قلمرو نظریه‌ی اطلاعات خارج شد و تحت سلطه‌ی علوم کامپیوتر درآمد.

### رویکرد نوین یا امنیت اثبات‌پذیر

می‌توان گفت رمزنگاری نوین بر اصول زیر استوار است:

۱. **تعاریف دقیق** از ابزارها و مفاهیم پایه‌ی مورد استفاده در رمزنگاری. برای مثال باید به صورت دقیق و کمی مشخص کنیم که منظور ما از مفهوم امنیت چیست؟ و سپس تعریف دقیق هر عنصر پایه‌ای که برای رسیدن به امنیت استفاده می‌کنیم را شرح دهیم.

۲. **فرضیات دقیق و مقبول** هر فرضی که در نظر می‌گیریم را باید به طور دقیق بیان کنیم و مهم‌تر از آن، فرضیات نباید دور از انتظار و نامعقول باشند.

۳. **برهان‌های دقیق و مستحکم** بر اساس تعاریف و فرضیات در نظر گرفته شده، امنیت سامانه‌ها به صورت دقیق ثابت می‌شود.

در رویکرد امنیت اثبات‌پذیر، برای اثبات امنیت پروتکل‌های رمزنگاری از روش تحویل یا کاهش، که در نظریه‌ی پیچیدگی برای مقایسه‌ی پیچیدگی الگوریتم‌ها به کار می‌رود، استفاده می‌کنیم. در این روش با تحویل یک فرض مشخص به مسئله‌ی شکستن سامانه‌ی رمزنگاری، نشان می‌دهیم که شکستن سامانه‌ی رمزنگاری راحت‌تر از نقض آن فرض مشخص (فرض لگاریتم گسسته، فرض دیفی هلمن تصمیمی و...) نیست و چون آن فرض یک فرض مقبول است و جامعه‌ی رمزنگاری درستی آن را در زمان حیات سامانه قبول دارد، امنیت سامانه اثبات می‌شود. عبارت امنیت اثبات‌پذیر کمی فریب‌دهنده است چرا که با وجود اثبات امنیت یک سامانه ممکن است آن سامانه باز هم شکسته شود! دلیل این امر می‌تواند در نظر گرفتن فرض‌های نامعقول و یا مدل‌های غیرواقعی و ناقص باشد. برای مثال اگر فرض اغراق آمیز «هر سامانه‌ای امن است!» را در نظر بگیریم، هر سامانه‌ای بدون نیاز به هیچ فرض اضافه و یا اثبات، امن خواهد بود! یا ممکن است سامانه به جای آن که تا حد امکان به مدل‌های واقعی قرابت داشته باشد، فقط طوری طراحی شود که امنیت آن تحت آن مدل قابل اثبات باشد.

دلایلی نظیر دلایل فوق سبب شده است، تا برخی از رمزنگاران معاصر نظیر مینزس<sup>۲</sup> و کوبلیتز<sup>۳</sup> نقدهایی را بر رویکرد امنیت اثبات پذیر وارد کنند. نقد آن‌ها نه بر استفاده از فرضیات و اثبات‌ها در رمزنگاری، بلکه بر استفاده‌ی نادرست از آن‌ها و در نظر گرفتن فرضیات نامعقول و یا غیر واقعی و گاهی اثبات‌های اشتباه است.

با این وجود تجربه نشان داده که در رویکرد امنیت اثبات پذیر، با تمرکز روی فرضیات و مدل‌ها می‌توان آن‌ها را به مدل‌های واقعی بسیار نزدیک کرد و یا فرضیات معقول را پذیرفت. با این وجود اگر سامانه شکسته شود کافی است تا مدل‌ها و فرضیات را اصلاح کنیم.

## ۳.۱ رمزنگاری متقارن

در سامانه‌های رمزنگاری متقارن یا کلید خصوصی از یک کلید برای رمزنگاری و رمزگشایی داده‌ها استفاده می‌شود، به این ترتیب لازم است تا قبل از شروع ارتباط، کلید از طریق یک کانال امن بین طرفین ارتباط به اشتراک گذاشته شود.

**تعریف ۱.۱. سامانه‌ی رمزنگاری متقارن** شامل یک مجموعه‌ی متناهی تحت عنوان فضای پیام اصلی  $M$  به همراه یک سه‌تایی مثل  $\Pi(\text{Gen}, \text{Enc}, \text{Dec})$  از الگوریتم‌های کارا است که به صورت زیر عمل می‌کنند [۴۰]

- $\text{Gen}$  الگوریتم تولید کلید نام دارد که یک الگوریتم تصادفی است و بر اساس یک توزیع احتمال مشخص (معمولاً توزیع یکنواخت) رشته تصادفی  $k$  به نام کلید را تولید می‌کند. مجموعه‌ی همه‌ی کلیدهای ممکن که  $\text{Gen}$  تولید می‌کند را فضای کلید نامیده و با  $K$  نشان می‌دهیم.

- $\text{Enc}$  الگوریتم رمزنگاری است که متن اصلی  $m \in M$  و کلید  $k \in K$  را به عنوان ورودی دریافت کرده و متن رمز شده‌ی  $c \in C$  را تحویل می‌دهد. رمز شده‌ی متن اصلی  $m$  تحت کلید  $k$  را با  $\text{Enc}_k(m)$  نشان می‌دهیم. الگوریتم رمزنگاری لزوماً قطعی نیست و می‌تواند تصادفی باشد.

- $\text{Dec}$  الگوریتم رمزگشایی است که با دریافت متن رمز شده‌ی  $c$  و کلید  $k$  متن اصلی  $m$  را بازمی‌گرداند. رمزگشایی متن رمز شده‌ی  $c$  تحت کلید  $k$  را با  $\text{Dec}_k(c)$  نمایش می‌دهیم. الگوریتم رمزگشایی همواره قطعی است و در صورتی که حاصل رمزگشایی نامعتبر باشد یعنی  $\text{Dec}_k(c) \notin M$  خروجی الگوریتم  $\perp$  خواهد بود.

<sup>۲</sup>Alfred Menezes

<sup>۳</sup>Neal Koblitz

• شرط صحت:  $\forall k \in \mathcal{K}, m \in \mathcal{M} \text{ } Dec_k(Enc_k(m)) = m$ .

در ادامه با چگونگی احراز اصالت و حفظ محرمانگی با استفاده از سامانه‌های رمزنگاری متقارن آشنا می‌شویم.

## مدل‌های حمله

با توجه به توانایی و سطح دسترسی مهاجم، می‌توانیم مدل‌های حمله‌ی زیر را در نظر بگیریم:

۱. **حمله فقط متن رمز شده** در این مدل مهاجم فقط یک متن رمز شده را در اختیار دارد و هدفش به‌دست آوردن متن اصلی متناظر با آن است. این حمله زمانی مؤثر است که متن اصلی دارای افزونگی باشد.

۲. **حمله متن اصلی معلوم** در این حالت مهاجم با داشتن یک یا چند زوج متن اصلی و رمز شده متناظر با آن قصد دارد متن اصلی متناظر با یک متن رمز شده‌ی جدید را به‌دست آورد.

۳. **حمله متن اصلی انتخابی** در این حالت مهاجم قادر است رمز شده هر متنی را که بخواهد به‌دست آورد، به عبارت دیگر دستگاه رمزنگاری را در اختیار دارد و هدفش این است که متن اصلی متناظر با یک متن رمز شده‌ی جدید را بداند.

۴. **حمله متن رمزی انتخابی** در این حالت مهاجم قصد دارد یک متن رمز شده را رمزگشایی کند و علاوه بر این که قادر است هر متنی را رمز کند (به دستگاه رمزنگاری دسترسی دارد) می‌تواند هر متن رمز شده‌ای جز متن رمزی مورد نظر را رمزگشایی کند.

در بین موارد فوق توانایی مهاجم در حمله‌ی متن رمزی انتخابی از همه‌ی موارد قبل بیشتر است و اگر سامانه‌ی رمزنگاری در مقابل این حمله امن باشد طبیعتاً در مقابل سایر حمله‌ها هم امن است، البته هدف مهاجم تنها به به‌دست آوردن متن اصلی متناظر با یک متن رمز شده محدود نمی‌شود بلکه، هر یک از موارد زیر نیز می‌تواند هدف حمله باشد:

• به‌دست آوردن کلید سامانه.

• اعمال تمایز، یعنی این که مهاجم می‌داند متن رمزی پیش‌روی او رمز شده یکی از دو متن اصلی  $m_1$  یا  $m_2$  است و فقط باید تمایز دهد که این متن رمزی متعلق به  $m_1$  یا  $m_2$ .

• به‌دست آوردن تنها مقداری اطلاعات راجع به متن اصلی.

## امنیت کامل

**تعریف ۲.۱ (امنیت کامل).** فرض کنید فضاهای متن اصلی و متن رمز شده را به ترتیب با  $M$  و  $C$  نشان دهیم، در این صورت سامانه‌ی رمز متقارن  $\Pi(\text{Gen}, \text{Enc}, \text{Dec})$  روی فضای  $M$  دارای امنیت کامل است هرگاه به ازای هر توزیع احتمال روی  $M$  داشته باشیم

$$\forall m \in M, c \in C \quad \{Pr\{C = c\} > 0 \Rightarrow Pr\{M = m | C = c\} = Pr\{M = m\}\},$$

که  $M$  و  $C$  متغیرهای تصادفی متن اصلی و متن رمز شده هستند.

تعریف فوق حمله‌ای را مدل می‌کند که در آن مهاجم با توانایی محاسباتی نامحدود کانال را شنود کرده و فقط یک متن رمز شده را در اختیار دارد.

**لم ۳.۱.** سامانه رمزنگاری متقارن  $\Pi(\text{Gen}, \text{Enc}, \text{Dec})$  روی فضای متن اصلی  $M$  دارای امنیت کامل است اگر و تنها اگر به ازای هر توزیع احتمال روی  $M$  داشته باشیم

$$\forall m \in M, c \in C \quad \{Pr\{M = m\} > 0 \Rightarrow Pr\{C = c | M = m\} = Pr\{C = c\}\}.$$

**برهان.** اگر  $Pr\{M = m\} = 0$  آن‌گاه شرط امنیت کامل به وضوح برقرار است و در غیر این صورت کافی است طرفین تساوی فوق را در  $\frac{Pr\{M=m\}}{Pr\{C=c\}}$  ضرب کنیم و از قاعده‌ی احتمال بیز استفاده کنیم تا به تعریف امنیت کامل برسیم. اثبات در جهت عکس به طور مشابه به دست می‌آید.  $\square$

لم زیر تعریف معادلی از امنیت کامل ارائه می‌کند، که مستقل از توزیع احتمال روی  $M$  است.

**لم ۴.۱.** سامانه رمز متقارن  $\Pi(\text{Gen}, \text{Enc}, \text{Dec})$  روی فضای متن اصلی  $M$  دارای امنیت کامل است اگر و تنها اگر

$$\forall m, m' \in M, \forall c \in C \quad Pr\{C = c | M = m\} = Pr\{C = c | M = m'\}$$

یا به طور معادل

$$\forall m, m' \in M, \forall c \in C \quad Pr\{\text{Enc}_K(m) = c\} = Pr\{\text{Enc}_K(m') = c\}$$

که  $K$  متغیر تصادفی متناظر با کلید است.

**برهان.** رجوع کنید به [۴۰].

$\square$

**تعریف ۵.۱ (آزمایش تمایزناپذیری در برابر مهاجم شنودگر).** فرض کنید  $\Pi$  یک سامانه رمزنگاری با فضای پیام  $M$  باشد و مهاجم را که در مدل ما یک الگوریتم است با  $A$  نشان دهیم، آزمایش



تمایزناپذیری در برابر مهاجم شنودگر که آن را با نماد  $\text{PrivK}_{A,\Pi}^{\text{eav}}$  نمایش می‌دهیم، آزمایشی (یا بازی) است که بین مهاجم و یک چالشگر فرضی و به صورت زیر انجام می‌شود

۱. چالشگر با اجرای الگوریتم  $\text{Gen}$  یک کلید  $k$  تولید می‌کند.

۲. مهاجم پیام‌های  $m_0, m_1 \in \mathcal{M}$  را انتخاب کرده و به چالشگر می‌دهد.

۳. چالشگر پس از انتخاب تصادفی  $b \in \{0, 1\}$ ، متن رمزشده  $c \leftarrow \text{Enc}_k(m_b)$  را محاسبه کرده و به  $A$  می‌دهد. به  $c$  متن رمز چالش می‌گوییم.

۴. مهاجم  $A$  بیت  $b' \in \{0, 1\}$  را تولید می‌کند.

۵. اگر  $b = b'$ ، خروجی آزمایش ۱ است که با  $\text{PrivK}_{A,\Pi}^{\text{eav}} = 1$  نمایش می‌دهیم و می‌گوییم مهاجم مؤفق شده و در غیر این صورت خروجی آزمایش صفر بوده و مهاجم شکست خورده است.

آزمایش فوق برای مدل کردن حمله‌ی فقط متن رمزشده به کار می‌رود.

نکته ۶.۱. اگر  $K$  متغیر تصادفی متناظر با کلید باشد، متغیرهای تصادفی  $C = \text{Enc}_K(m)$  و  $C' = \text{Enc}_K(m')$  به متغیر تصادفی  $K$  و مقادیر تصادفی که احتمالاً در الگوریتم رمزنگاری استفاده می‌شود بستگی دارند. به این ترتیب بیان دیگری از لم ۴.۱ این است که در سامانه امن کام، متغیرهای تصادفی  $C$  و  $C'$  دارای توزیع احتمال یکسانی هستند، یعنی اگر مهاجم بداند  $c$  رمزشده‌ی یکی از متن‌های اصلی  $m$  یا  $m'$  است نتواند با احتمال بهتر از  $\frac{1}{2}$  متن درست را تمایز دهد.

لم ۷.۱. سامانه‌ی رمزنگاری متقارن  $\Pi$  دارای امنیت کامل است اگر و تنها اگر برای هر مهاجم  $A$  داشته باشیم:

$$\Pr\{\text{PrivK}_{A,\Pi}^{\text{eav}}\} \leq \frac{1}{2}$$

□

برهان. به [۴۰] مراجعه کنید.

## سامانه رمزنگاری ورنام یا OTP<sup>۴</sup>

سامانه‌ی رمزنگاری متقارنی که ما امروزه آن را با نام OTP می‌شناسیم یک سامانه‌ی امن کامل است که در حدود ۳۰ سال قبل از این که شانون مفهوم امنیت کامل را تعریف کند، در سال ۱۹۱۷ توسط ورنام به ثبت رسیده بود!

تعریف ۸.۱ (رمز ورنام). فرض کنید  $n$  یک عدد طبیعی باشد. فضای متن اصلی  $\mathcal{M}$ ، فضای متن رمزشده  $\mathcal{C}$  و فضای کلید  $\mathcal{K}$  همگی برابر با مجموعه‌ی  $\{0, 1\}^n$  هستند و الگوریتم‌های سامانه به صورت زیر عمل می‌کنند:

<sup>۴</sup>one-time pad

- الگوریتم تولید کلید  $Gen$  یک رشته را بر اساس توزیع یکنواخت از فضای  $K = \{0, 1\}^n$  به عنوان کلید انتخاب می‌کند.
- الگوریتم  $Enc$  با دریافت  $m \in \{0, 1\}^n$  و  $k \in K$  متن رمز شده  $c = m \oplus k$  را تولید می‌کند.
- الگوریتم  $Dec$  متن رمز شده  $c$  و کلید  $k$  را دریافت می‌کند و اگر  $c \in \{0, 1\}^n$  باشد متن اصلی  $m = c \oplus k$  و در غیر این صورت  $\perp$  را (به معنای نامعتبر بودن متن رمزی) تولید می‌کند.

قضیه ۹.۱. رمز ورنام دارای امنیت کامل است.

برهان. ابتدا  $Pr\{C = c | M = m'\}$  را به ازای  $c \in \mathcal{C}$  و  $m' \in \mathcal{M}$  دلخواه محاسبه می‌کنیم.

$$Pr\{C = c | M = m'\} = Pr\{Enc_K(m') = c\} = Pr\{K = m' \oplus c\} = 2^{-n}$$

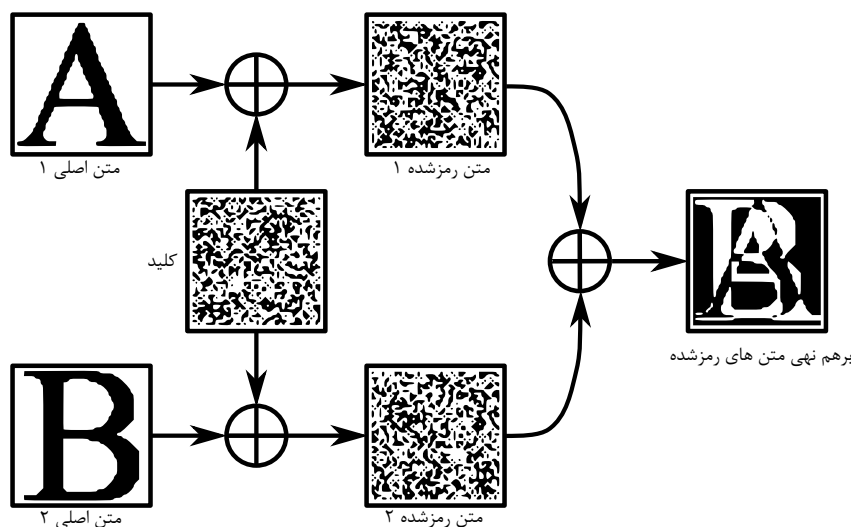
از طرف دیگر به ازای یک توزیع احتمال دلخواه روی  $\mathcal{M}$ ، به ازای هر  $c \in \mathcal{C}$  داریم:

$$\begin{aligned} Pr\{C = c\} &= \sum_{m' \in \mathcal{M}} Pr\{C = c | M = m'\} \cdot Pr\{M = m'\} \\ &= 2^{-n} \cdot \sum_{m' \in \mathcal{M}} Pr\{M = m'\} = 2^{-n}. \end{aligned}$$

□

در نتیجه طبق لم ۳.۱ حکم ثابت می‌شود.

باید توجه کرد که سامانه رمز ورنام تنها زمانی امن کامل است که از هر کلید فقط یکبار استفاده کنیم، در غیر این صورت همان‌طور که در شکل ۲.۱ نمایش داده شده، اطلاعات نشت خواهد کرد.



شکل ۲.۱: نشت اطلاعات به هنگام رمز کردن دو پیام با یک کلید در رمز ورنام

## قضیه‌ی شانون

قضیه ۱۰.۱ (قضیه‌ی شانون). اگر  $(\text{Gen}, \text{Enc}, \text{Dec})$  یک سامانه‌ی رمز متقارن امن کامل با فضای پیام اصلی  $M$  و فضای کلید  $K$  باشد آن‌گاه،  $|\mathcal{K}| \geq |\mathcal{M}|$ .

برهان. نشان می‌دهیم اگر  $|\mathcal{K}| < |\mathcal{M}|$  آن‌گاه سامانه فاقد امنیت کامل است. توزیع احتمال روی  $\mathcal{M}$  را یکنواخت فرض می‌کنیم و  $c \in \mathcal{C}$  را طوری انتخاب می‌کنیم که  $Pr\{C = c\} > 0$ ، مجموعه‌ی  $\mathcal{M}(c)$  را به صورت زیر تعریف می‌کنیم:

$$\mathcal{M}(c) := \{m \in \mathcal{M} \mid \exists k \in \mathcal{K} : m = \text{Dec}_k(c)\}$$

از آن‌جایی که الگوریتم  $\text{Dec}$  یک الگوریتم قطعی است لذا  $|\mathcal{M}(c)| \leq |\mathcal{K}|$ ، اگر  $|\mathcal{K}| < |\mathcal{M}|$  آن‌گاه  $m' \in \mathcal{M}$  وجود دارد به طوری که  $m' \notin \mathcal{M}(c)$  که در این صورت:

$$Pr\{M = m' \mid C = c\} = 0 \neq Pr\{M = m'\}$$

□

و امنیت کامل برقرار نخواهد بود.

## محدودیت‌های اساسی امنیت کامل:

- در تعریف امنیت کامل فرض کردیم توانایی محاسباتی مهاجم نامحدود است، حال آن‌که در عمل چنین نیست و قوی‌ترین مهاجم‌ها هم توانایی محاسباتی محدودی دارند.
- حتی مهاجم با توانایی محاسباتی نامحدود، نباید هیچ اطلاعاتی از متن رمز شده به دست آورد، که این یک شرط بیش از حد قوی است.
- نتیجه‌ی مستقیم قضیه‌ی ۱۰.۱ این است که اگر بخواهیم پیام‌هایی با طول یکسان را با کلیدهایی با طول یکسان رمز کنیم، طول کلید باید بزرگتر یا حداقل مساوی طول پیام باشد، که این یک محدودیت اساسی است.

امنیت کامل ضمن داشتن محدودیت‌های فوق، تنها مهاجمی را لحاظ می‌کند که توانایی شنود کانال و مشاهده فقط یک متن رمز شده را دارد و راه حلی برای مدل‌های دیگر حمله ارائه نمی‌کند. به این ترتیب به سراغ مفهوم دیگری از امنیت می‌رویم که محدودیت‌های مذکور را نداشته باشد.

## امنیت محاسباتی

امنیتی که در آن شرط‌های زیر را در نظر می‌گیریم، امنیت محاسباتی نامیده می‌شود.

۱. مهاجم دارای توانایی محاسباتی محدود است. در واقع مهاجم در این مدل الگوریتم چندجمله‌ای تصادفی (غیریکنواخت)  $\text{nuPPT}$  است و امنیت فقط در مقابل چنین مهاجم‌هایی با زمان اجرای معقول و عملی، تضمین می‌شود.
۲. مهاجم به طور بالقوه می‌تواند با احتمال ناچیز موفق شود که اگر این احتمال را به اندازه کافی کوچک بگیریم جای نگرانی نخواهد بود.

## رویکردهای تحلیل سامانه‌های رمزنگاری

دو نوع رویکرد در تحلیل سامانه‌های رمزنگاری وجود دارد که عبارت‌اند از

- **رویکرد واقعی:** در این رویکرد امنیت یک سامانه با پارامترهای ثابت را با توجه به امکانات سخت‌افزاری موجود و در شرایط عملی بررسی می‌کنیم.
- **رویکرد مجانبی:** در این رویکرد امنیت خانواده‌ای از سامانه‌های رمزنگاری را به صورت مجانبی و بر حسب یک عدد طبیعی که اندیس خانواده‌ی مذکور است مورد بررسی قرار می‌دهیم.

## رویکرد واقعی

**تعریف ۱۱.۱**  $((t, \varepsilon) - \text{امن})$ . [۴۰] سامانه‌ی رمزنگاری  $(\text{Gen}, \text{Enc}, \text{Dec})$  را  $(t, \varepsilon) - \text{امن}$  گوئیم هرگاه حداکثر احتمال موفقیت هر مهاجم با حداکثر زمان اجرای  $t$  برابر با  $\varepsilon$  باشد.

زمان اجرا در این رویکرد را معمولاً با تعداد سیکل‌های پردازنده محاسبه می‌کنند. برای مثال در مورد یک سامانه‌ی رمزنگاری ادعا می‌کنند که هیچ مهاجمی با حداکثر زمان اجرای ۲۰۰ سال که از سریع‌ترین ابرکامپیوترهای موجود استفاده کند نمی‌تواند با احتمال بیش از  $2^{-60}$  موفق به شکستن سامانه شود یا می‌گویند هیچ مهاجمی با استفاده از حداکثر  $2^{80}$  سیکل پردازنده نمی‌تواند با احتمال بیش از  $2^{-60}$  موفق به شکستن سامانه شود. برای داشتن شهودی راجع به اعداد ذکر شده جالب است بدانید، اگر احتمال موفقیت یک مهاجم در بازیابی یک متن رمز شده در طول یک سال حداکثر  $2^{-60}$  باشد، آن‌گاه مورد اصابت صاعقه قرار گرفتن فرستنده و گیرنده‌ی پیام در طی همین مدت، رویداد محتمل‌تری نسبت به موفقیت مهاجم است!

**مثال ۱۲.۱.** در سامانه‌های رمزنگاری متقارن نوین، وقتی از کلید  $n$  بیتی استفاده می‌شود، احتمال موفقیت مهاجم با زمان اجرای  $t$  (که معمولاً با شمارش سیکل‌های پردازنده اندازه گیری می‌شود) در شکستن سامانه، حداکثر برابر با  $\frac{c \cdot t}{2^n}$  به ازای یک عدد ثابت  $c$  است. <sup>۵</sup> اگر فرض کنیم  $c = ۱$

<sup>۵</sup> این احتمال مربوط به حمله‌ی جست‌وجوی فراگیر فضای کلید بدون هیچ فرآیند پیش‌پردازشی است.

و طول کلید را ۶۰ بیت در نظر بگیریم آن گاه در مقابل رایانه‌های شخصی امنیت کافی خواهیم داشت، چرا که با یک پردازنده با فرکانس کاری ۴ گیگاهرتز می‌توان به  $4 \times 10^9$  سیکل در هر ثانیه دست یافت، در این صورت اگر آزمودن هر کلید به یک سیکل نیاز داشته باشد برای آزمودن  $2^{60}$  کلید موجود به  $\frac{2^{60}}{(4 \times 10^9)}$  ثانیه یعنی حدوداً ۹ سال زمان نیاز است. با این حال ابرکامپیوترهای (چینی!) موجود در زمان نوشتن این رساله ۶ قادرند  $10^{16} \times 9.3$  عملیات ممیز شناور را در یک ثانیه انجام دهند و این یعنی برای شکستن سامانه مذکور با استفاده از چنین کامپیوترهایی تنها به ۱۲/۴ ثانیه نیاز است!

آنچه در نهایت مورد توجه کاربران پروتکل‌های رمزنگاری است، تضمین‌های واقعی و نه تئوری یا مجانبی از امنیت یک سامانه است و در این جا است که رویکرد واقعی در تحلیل سامانه اهمیت می‌یابد اما تا قبل از آن به دلیل دشواری‌ها و ملاحظات فنی و تئوری متوجه رویکرد واقعی بهتر است از رویکرد مجانبی برای تحلیل سامانه‌ها استفاده کنیم، زیرا از این جهت که در آن نیازی به استفاده از پارامترهای  $t$  و  $\varepsilon$  و در نظر گرفتن ملاحظات فنی در تعاریف و اثبات‌ها نیست، راحت‌تر است. همچنین هر تحلیل مجانبی، قابل تبدیل به تحلیل واقعی است. به همین دلیل در ادامه از رویکرد مجانبی برای تحلیل سامانه‌ها استفاده خواهیم کرد.

## رویکرد مجانبی

**تعریف ۱۳.۱ (امن مجانبی).** [۴۰] سامانه رمزنگاری (Gen, Enc, Dec) را به صورت مجانبی امن گوئیم هرگاه هر مهاجم چندجمله‌ای تصادفی با احتمال ناچیزی موفق به شکستن سامانه شود.

در رویکرد مجانبی امنیت خانواده‌ای از سامانه‌ها با مجموعه اندیس  $\mathbb{N}$  مطرح است، که در این حالت اندیس یا شاخص هر سامانه را که به پارامتر امنیتی موسوم است با  $n \in \mathbb{N}$  نمایش می‌دهیم، این رویکرد را از این جهت مجانبی می‌گوئیم که امنیت سامانه‌ها به رفتار آن‌ها به ازای  $n$  های بزرگ بستگی دارد. پارامتر امنیتی توسط طرفین مجاز ارتباط رمز شده انتخاب می‌شود به طوری که مهاجم هم از آن آگاه است و نشان‌دهنده‌ی سطح امنیتی سامانه است. در این بحث می‌توانیم فرض کنیم پارامتر امنیتی همان طول کلید مورد استفاده است، و زمان اجرای (الگوریتم) مهاجم و طرفین مجاز و مزیت مهاجم نسبت به مهاجم تصادفی، همه را تابعی از این پارامتر در نظر می‌گیریم. **تعریف ۱۳.۱** یک تعریف کلی است و در ادامه رویکرد مجانبی را به صورت دقیق بررسی خواهیم کرد و مفاهیمی نظیر احتمال ناچیز و شکستن سامانه را به صورت دقیق تعریف خواهیم کرد.

**تعریف ۱۴.۱ (مهاجم کارا).** در رویکرد مجانبی زمان اجرای (الگوریتم) مهاجم تابعی از پارامتر امنیتی  $n$  است و برای لحاظ کردن توانایی (محدود) محاسباتی مهاجم فرض بر این است که این

تابع چند جمله‌ای است. مهاجم می‌تواند به‌جای استفاده از الگوریتم‌های قطعی از الگوریتم‌های تصادفی استفاده کند، همچنین می‌تواند به‌جای این که برای همه‌ی اعضای خانواده‌ی سامانه‌های رمز، از یک الگوریتم ثابت استفاده کند، متناسب با هر عضو خانواده از الگوریتم متناسب با آن بهره‌برد و رفتاری غیر یکنواخت داشته باشد و برای حمله به عضو  $n$  ام خانواده از الگوریتم  $n$  ام خود استفاده کند. در نتیجه قوی‌ترین مدلی که برای مهاجم می‌توان تصور کرد، مهاجم چندجمله‌ای تصادفی غیر یکنواخت است که به صورت  $A(1^n, \cdot)$  نشان داده می‌شود. رشته‌ی ورودی  $1^n$  نشان دهنده‌ی استفاده از پارامتر امنیتی  $n$  و نقطه نشان دهنده‌ی سایر ورودی‌های الگوریتم مهاجم است. در ادامه منظور ما از مهاجم کارا مهاجم چندجمله‌ای تصادفی است. مجموعه‌ی همه‌ی الگوریتم‌های چندجمله‌ای تصادفی را با PPT و مجموعه‌ی همه‌ی الگوریتم‌های چندجمله‌ای تصادفی غیر یکنواخت را با nuPPT نمایش می‌دهیم.

**تعریف ۱۵.۱ (شکستن سامانه).** مفهوم دقیق شکستن در رویکرد واقعی توسط یک آزمایش بیان می‌شود (مثل آزمایش تمایز ناپذیری)، ولی در رویکرد مجانبی خانواده‌ای از آزمایش‌ها را داریم که مجموعه‌ی اندیس آن، مجموعه‌ی مقادیر مجاز برای پارامتر امنیتی یعنی  $\mathbb{N}$  است.

**تعریف ۱۶.۱ (تابع ناچیز).** تابع نامنفی  $\varepsilon : \mathbb{N} \rightarrow \mathbb{R}_{\geq 0}$  را ناچیز گوئیم هرگاه:

$$\forall c > 0 \exists n_0 \in \mathbb{N} \forall n \in \mathbb{N} (n > n_0 \Rightarrow \varepsilon(n) < \frac{1}{n^c})$$

همچنین مجموعه‌ی همه‌ی توابع ناچیز را با NEG نمایش می‌دهیم.

**تعریف ۱۷.۱ (خانواده‌ی سامانه‌های رمزمتقارن).** یک خانواده از سامانه‌های رمزنگاری متقارن خانواده‌ای از سه‌تایی‌ها  $(\text{Gen}, \text{Enc}, \text{Dec})$  از الگوریتم‌های چندجمله‌ای تصادفی (PPT) است به طوری که:

• **Gen** با دریافت رشته‌ی  $1^n$ ، کلید  $k \in \mathcal{K}$  را تولید می‌کند. برای تأکید بر تصادفی بودن الگوریتم Gen در تولید کلید از نمایش  $k \leftarrow \text{Gen}(1^n)$  استفاده می‌کنیم. بدون کاستن از کلیت فرض بر این است که  $|k| \geq n$ .

• از آنجایی که الگوریتم رمزنگاری Enc نیز ممکن است تصادفی باشد عملکرد آن را به صورت زیر نشان می‌دهیم:  $\forall k \in \mathcal{K}, m \in \mathcal{M} \quad c \leftarrow \text{Enc}_k(m)$

• الگوریتم Dec قطعی است و عملکرد آن را به صورت زیر نمایش می‌دهیم:

$$\text{Dec}_k(c) := \begin{cases} m & \text{اگر } c \text{ معتبر باشد} \\ \perp & \text{اگر } c \text{ نامعتبر باشد} \end{cases}$$

## ● شرط صحت

$$\forall n \in \mathbb{N}, \forall k \leftarrow \text{Gen}(1^n), \forall m \in \mathcal{M} \quad \text{Dec}_k(\text{Enc}_k(m)) = m$$

نکته ۱۸.۱. در عمل، مخفی نگه داشتن طول پیام از مهاجم مقرون به صرفه نیست به این ترتیب فرض می‌کنیم در سامانه‌های رمزنگاری پیام‌هایی با طول یکسان به پیام‌های رمزی با طول یکسان رمز می‌شوند و در آزمایش تمایز ناپذیری و آزمایش‌هایی که بعد از این تعریف می‌کنیم فرض می‌کنیم پیام‌هایی که مهاجم تولید می‌کند طول یکسانی داشته باشند.

## امنیت تک‌پیامی

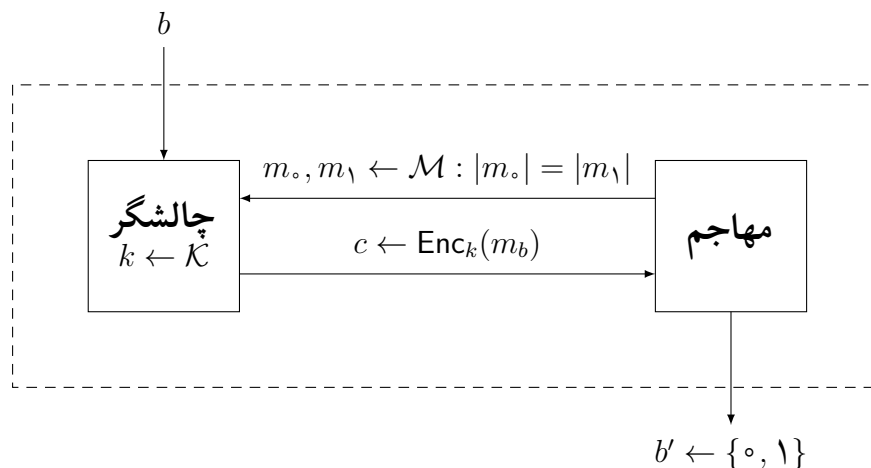
آزمایش  $\text{PrivK}_{\mathcal{A}, \Pi}^{\text{eav}}$  را تعریف کردیم، ولی برای تأکید بر وابستگی این آزمایش به پارامتر امنیتی  $n$  در رویکرد مجانبی، آن را به صورت  $\text{PrivK}_{\mathcal{A}, \Pi}^{\text{eav}}(n)$  نمایش می‌دهیم و مراحل آن را به صورت زیر اصلاح می‌کنیم:

۱. چالشگر کلید  $k$  را تولید می‌کند:  $k \leftarrow \text{Gen}(1^n)$
۲. مهاجم پیام‌های با طول یکسان را تولید می‌کند،  $|m_0| = |m_1|$ ،  $m_0, m_1 \leftarrow \mathcal{A}(1^n)$ .
۳. چالشگر با توزیع یکناخت یکی از دو متن را انتخاب کرده، سپس رمز می‌کند و به مهاجم می‌دهد،  
 $b \leftarrow \{0, 1\}, c \leftarrow \text{Enc}_k(m_b)$
۴. مهاجم حدس می‌زند که  $c$  رمز شده‌ی کدام پیام است. برای این کار بیت  $b'$  را با توزیع یکنواخت انتخاب می‌کند.  $b' \leftarrow \{0, 1\}$ .
۵. نتیجه‌ی آزمایش عبارت است از

$$\text{PrivK}_{\mathcal{A}, \Pi}^{\text{eav}}(n) = \begin{cases} 1 & b = b' \\ 0 & \text{otherwise} \end{cases}$$

تعریف ۱۹.۱ (امنیت تک‌پیامی). سامانه‌ی رمز متقارن  $\Pi$  دارای امنیت تک‌پیامی است هرگاه برای هر مهاجم چندجمله‌ای تصادفی  $\mathcal{A}$ ، تابع ناچیز  $\varepsilon(n)$  وجود داشته باشد به طوری که

$$\Pr\{\text{PrivK}_{\mathcal{A}, \Pi}^{\text{eav}}(n) \leq \frac{1}{4} + \varepsilon(n)\}.$$



شکل ۳.۱: تعامل مهاجم و چالشگر در آزمایش امنیت تک‌پیمای

## تمایزناپذیری محاسباتی و مولدهای شبه تصادفی

به بیان ساده، دو توزیع احتمال تمایزناپذیر محاسباتی هستند هرگاه هیچ مهاجم کارایی نتواند آن دو را از هم تمیز دهد. دو توزیع احتمال  $X$  و  $Y$  روی مجموعه رشته‌های با طول  $l$  را در نظر بگیرید، وقتی می‌گوییم الگوریتم تمایزگر  $D$  نمی‌تواند این دو را از هم تمایز دهد، یعنی اگر بر اساس یکی از توزیع‌های  $X$  یا  $Y$  یک نمونه از  $\{0, 1\}^l$  انتخاب کنیم و به  $D$  بدهیم،  $D$  نتواند با احتمال قابل توجهی، به درستی تشخیص دهد که نمونه بر اساس کدام یک از توزیع‌های  $X$  یا  $Y$ ، انتخاب شده است. به عبارت دیگر اگر فرض کنیم تمایزگر  $D$  وقتی معتقد است نمونه بر اساس توزیع  $X$  انتخاب شده خروجی ۱ و در غیر این صورت خروجی ۰ را تولید می‌کند، آن‌گاه چه نمونه را بر اساس توزیع  $X$  و چه بر اساس توزیع  $Y$  به او بدهیم او باید با احتمال تقریباً یکسانی ۱ را تولید کند به عبارت دیگر ما می‌خواهیم عبارت زیر کوچک باشد

$$|Pr\{s \leftarrow X, D(s) = 1\} - Pr\{s \leftarrow Y, D(s) = 1\}|$$

**تعریف ۲۰.۱ (تمایزناپذیری محاسباتی).** دو خانواده از توزیع‌های احتمال  $\mathcal{X} = \{X_n\}_{n \in \mathbb{N}}$  و  $\mathcal{Y} = \{Y_n\}_{n \in \mathbb{N}}$  را تمایزناپذیر محاسباتی گوییم و به صورت  $\mathcal{X} \stackrel{c}{=} \mathcal{Y}$  نشان می‌دهیم، هرگاه به ازای هر تمایزگر چندجمله‌ای تصادفی  $D$ ، یک تابع ناچیز  $\varepsilon$  وجود داشته باشد که:

$$|Pr\{x \leftarrow X_n, D(1^n, x) = 1\} - Pr\{y \leftarrow Y_n, D(1^n, y) = 1\}| \leq \varepsilon(n).$$

در تعریف فوق رشته‌ی  $1^n$  را برای تأکید بر چندجمله‌ای بودن زمان اجرای  $D$  بر حسب  $n$  در ورودی  $D$  نمایش داده‌ایم.

شبه تصادفی بودن حالت خاصی از مفهوم تمایزناپذیری است و با فرض این که  $U_n$  به ازای هر



عدد طبیعی  $n$  نشان‌دهنده‌ی توزیع یکنواخت روی مجموعه‌ی  $\{0, 1\}^n$  باشد، به صورت زیر تعریف می‌شود.

**تعریف ۲۱.۱ (خانواده توزیع‌های شبه‌تصادفی).** فرض کنید  $l(n)$  یک چندجمله‌ای و  $X_n$  یک توزیع احتمال روی مجموعه رشته‌های  $\{0, 1\}^{l(n)}$  باشد، در این صورت خانواده توزیع‌های  $\mathcal{X} = \{X_n\}_{n \in \mathbb{N}}$  را شبه تصادفی گوئیم هرگاه  $\mathcal{X} \stackrel{c}{=} \{U_{l(n)}\}_n$ .

**تعریف ۲۲.۱ (مولد شبه‌تصادفی).** [۴۰] فرض کنید  $l(n)$  چندجمله‌ای و  $G$  یک الگوریتم قطعی چندجمله‌ای باشد که به ازای هر  $n \in \mathbb{N}$  رشته‌ی  $s \in \{0, 1\}^n$  را به  $G(s) \in \{0, 1\}^{l(n)}$  تبدیل کند، در این صورت  $G$  یک مولد شبه تصادفی است هرگاه

• (گسترش)  $\forall n \in \mathbb{N} \quad l(n) > n$  را ضریب گسترش مولد می‌گوئیم.

• (شبه‌تصادفی)  $\{G(U_n)\} \stackrel{c}{=} \{U_{l(n)}\}$

یا به طور معادل به ازای هر تمایزگر چندجمله‌ای تصادفی مثل  $D$  تابع ناچیز  $\varepsilon(n)$  وجود داشته باشد به طوری که

$$|Pr\{s \xleftarrow{unif} \{0, 1\}^n, D(G(s)) = 1\} - Pr\{r \xleftarrow{unif} \{0, 1\}^{l(n)}, D(r) = 1\}| \leq \varepsilon(n)$$

به بیان دیگر مولد شبه‌تصادفی ضمن گسترش طول کلید یا بذر اولیه، خروجی‌اش باید از رشته‌های تصادفی تمایزناپذیر محاسباتی باشد. در مثال بعد به کمک مولد شبه تصادفی یک سامانه رمزنگاری دارای امنیت تک‌پیامی می‌سازیم.

**مثال ۲۳.۱.** به ازای عدد طبیعی  $n$  و چند جمله‌ای  $l(n)$  فرض کنید  $G$  یک مولد شبه تصادفی با ضریب گسترش  $l(n)$  باشد، سامانه‌ی رمزنگاری با فضای پیام  $\{0, 1\}^{l(n)}$  را به صورت زیر می‌سازیم:

• Gen: با دریافت رشته‌ی  $1^n$ ،  $k \in \{0, 1\}^n$  را بر اساس توزیع یکنواخت به عنوان کلید انتخاب می‌کند.

• Enc: با دریافت متن اصلی  $m \in \{0, 1\}^{l(n)}$  و کلید  $k \in \{0, 1\}^n$  متن رمز شده را به صورت زیر تولید می‌کند

$$c := G(k) \oplus m.$$

• Dec: با دریافت پیام رمز شده  $c \in \{0, 1\}^{l(n)}$  و کلید  $k \in \{0, 1\}^n$  پیام اصلی را به صورت زیر تولید می‌کند

$$m := G(k) \oplus c.$$

در [۴۰]، به روش تحویل، ثابت شده است که سامانه‌ی رمزنگاری فوق دارای امنیت تک‌پیامی است.

## رمزهای دنباله‌ای

روش رمزنگاری مثال ۲۳.۱ مانند رمزورنام است با این تفاوت که به جای کلید کاملاً تصادفی از خروجی مولد شبه تصادفی به طور مستقیم استفاده کرده‌ایم، به همین دلیل محدودیت‌های رمزورنام را نیز باید رعایت کنیم از جمله این که از هر کلید فقط یک بار و برای رمز کردن پیام‌هایی که طولشان حداکثر برابر طول خروجی مولد شبه تصادفی است استفاده کنیم. از طرفی استفاده از مولد شبه تصادفی به این صورت دو محدودیت دارد، اول این که طول خروجی مولد شبه تصادفی ثابت است، در حالی که ممکن است متن‌های اصلی طول‌های متفاوتی داشته باشند، در ثانی، مولد شبه تصادفی به یک باره یک رشته‌ی با طول ثابت را تولید می‌کند در حالی که ما به ابزاری نیاز داریم که همزمان با تولید بیت‌های متن اصلی، بیت‌های کلید اجرایی را تولید کند تا به این ترتیب فقط به اندازه‌ی نیاز، یعنی هم طول با متن اصلی، بیت‌های کلید را تولید کرده باشیم. برای رفع این مشکل‌ها رمزدنباله‌ای را معرفی می‌کنیم. رمزهای دنباله‌ای دسته‌ای از رمزهای متقارن محسوب می‌شوند که تعریف دقیق آن را در ادامه آورده‌ایم.

**تعریف ۲۴.۱** (رمزهای دنباله‌ای). رمز دنباله‌ای دوتایی (Init, GetBits) از الگوریتم‌های قطعی است به طوری که:

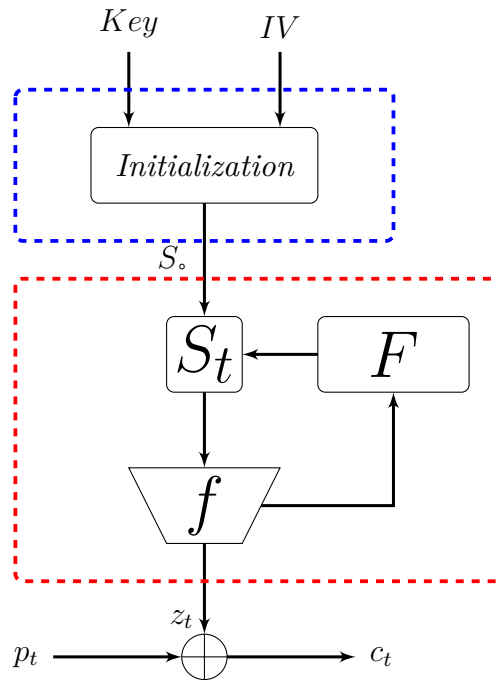
- Init : الگوریتم آغازسازی که کلید  $k$  و یک مقدار اولیه  $IV$  را دریافت کرده و  $st_0$  را تولید می‌کند.

- GetBits الگوریتم تولید کلید اجرایی که با دریافت حالت فعلی  $st_i$  ضمن مشخص نمودن حالت بعدی یعنی  $st_{i+1}$ ، یک بیت از کلید اجرایی  $z$ ، را نیز مشخص می‌کند.

رمزنگاری در رمزهای دنباله‌ای، همان طور که در شکل ۴.۱ نمایش داده شده، به این صورت است که هر بیت از کلید اجرایی پس از تولید با بیت متناظرش در متن اصلی، در پیمانه‌ی ۲ جمع شده و بیت متناظر در متن رمز شده به دست می‌آید. مقدار اولیه یا  $IV$  معمولاً عمومی است و به همراه متن رمزی ارسال می‌شود. به این ترتیب با وجود ثابت بودن کلید، به دلیل تغییر مقدار اولیه در هر بار رمزنگاری، دنباله‌ی کلید اجرایی متفاوتی خواهیم داشت.

## امنیت چندپایمی

امنیت تک‌پیامی امنیتی را مدل می‌کند که در آن مهاجم فقط توانایی شنود یک پیام رمز شده را دارد، اکنون فرض کنید فرستنده و گیرنده به جای یک پیام چند پیام را با یک کلید رمز کرده و از طریق کانالی که مهاجم آن را شنود می‌کند برای یکدیگر ارسال کنند برای مدل کردن چنین مهاجمی امنیت چند پیامی را تعریف می‌کنیم.



شکل ۴.۱: نمای کلی رمزنگاری در رمزهای دنباله‌ای

### آزمایش شنود چندپایمی

- مهاجم با دریافت پارامتر امنیتی  $1^n$  دو لیست از پیام‌های هم‌طول به صورت

$$M_0 = (m_{0,1}, \dots, m_{0,t}), \quad M_1 = (m_{1,1}, \dots, m_{1,t})$$

را تولید کرده و برای چالشگر فرضی می‌فرستد که  $t$  یک چندجمله‌ای بر حسب  $n$  است و به ازای هر  $i = 1, \dots, t$  داریم:  $|m_{0,i}| = |m_{1,i}|$ .

- چالشگر  $\text{Gen}(1^n)$  را اجرا کرده و بیت  $b \in \{0, 1\}$  را با توزیع یکنواخت انتخاب می‌کند. سپس برای هر  $i$  متن رمزی  $c_i \leftarrow \text{Enc}_k(m_{b,i})$  را محاسبه کرده و لیست  $C = (c_1, \dots, c_t)$  را برای مهاجم می‌فرستد.

- مهاجم بیت  $b'$  را تولید می‌کند.

- اگر  $b = b'$  خروجی آزمایش ۱ است که آن را با  $1 = \text{PrivK}_{A,\Pi}^{\text{mult}}(n)$  نمایش می‌دهیم و می‌گوییم مهاجم موفق شده.

**تعریف ۲۵.۱** (امنیت چند پیامی). سامانه‌ی رمز متقارن  $\Pi(\text{Gen}, \text{Enc}, \text{Dec})$  دارای امنیت چندپایمی در حضور مهاجم شنودگر است هرگاه، به ازای هر مهاجم چندجمله‌ای تصادفی  $A$ ، تابع ناچیز  $\varepsilon(n)$

موجود باشد به طوری که

$$\Pr\{\text{PrivK}_{A,\Pi}^{\text{mult}}(n) = 1\} \leq \frac{1}{p} + \varepsilon(n).$$

مثال ۲۶.۱. سامانه‌ی رمزنگاری متقارنی وجود دارد که امنیت تک‌پیامی دارد ولی امنیت چندپیامی ندارد.

مثال ۲۳.۱ دارای چنین خصوصیتی است، کافی است تا مهاجم در آزمایش شنود تک‌پیامی دو لیست پیام زیر را در گام اول برای چالشگر ارسال کند:

$$(m_{\circ,1}, m_{\circ,2}) = (\circ^{l(n)}, \circ^{l(n)}) \quad (m_{1,1}, m_{1,2}) = (\circ^{l(n)}, 1^{l(n)})$$

حال اگر  $c_1 = c_2$  بود، مهاجم  $b'$  را برابر  $\circ$  و در غیر این صورت برابر ۱ قرار می‌دهد. این مهاجم با احتمال ۱ موفق می‌شود و لذا سامانه امنیت چندپیامی ندارد.

مثال فوق تنها سامانه‌ای نیست که فاقد امنیت چندپیامی است، می‌توان ثابت کرد [۴۰] که به طور کلی هر سامانه‌ی رمزنگاری که الگوریتم رمزنگاری آن قطعی و غیر تصادفی باشد، دارای امنیت چندپیامی نخواهد بود. به این ترتیب برای دستیابی به امنیت چندپیامی به سامانه رمزنگاری نیازمندیم که الگوریتم رمزنگاری آن تصادفی باشد، به طوری که حاصل رمزنگاری یک متن اصلی تحت یک کلید ثابت طی دفعات متوالی متفاوت باشد، این در حالی است که الگوریتم رمزگشایی قطعی باقی می‌ماند!

## امنیت متن اصلی انتخابی

برای مدل کردن مهاجمی که علاوه بر شنود ارتباط رمز شده به دستگاه رمزنگاری نیز دسترسی دارد مدل دیگری از حمله تحت عنوان حمله‌ی متن اصلی انتخابی را معرفی می‌کنیم. در این مدل فرض بر این است که مهاجم می‌تواند رمز شده‌ی هر پیامی (تحت یک کلید ثابت) را به دست آورد. این مدل حمله شامل حمله متن اصلی معلوم که در آن مهاجم به تعداد زوج متن اصلی و رمز شده‌ی نظیر آن‌ها دسترسی دارد، نیز می‌شود. جالب توجه است که حمله‌ی متن اصلی انتخابی یکی از حملات موفق در تاریخ جنگ‌های نظامی بوده است. برای مثال می‌توان به نبرد میدوی<sup>۷</sup> که یکی از تعیین کننده‌ترین نبردهای جنگ جهانی دوم میان آمریکا و ژاپن در جنگ جهانی دوم در منطقه‌ی اقیانوس آرام بود، اشاره کرد. در ماه مه سال ۱۹۴۹، رمزنگارهای نیروی دریایی آمریکا پیام‌هایی رمز شده از سوی ژاپنی‌ها دریافت کردند که قادر بودند بخشی از آن را رمزگشایی کنند. نتایج این رمزگشایی‌های ناقص حاکی از این بود که ژاپنی‌ها طرح یک حمله به AF را ریخته‌اند، اما AF جزو

<sup>۷</sup>Battle of Midway

رمزهایی بود که آمریکایی‌ها هنوز رمزگشایی نکرده بودند. به دلایلی آمریکایی‌ها می‌دانستند که جزیره‌ی میدوی باید هدف حمله‌ی ژاپنی‌ها باشد، اما تلاش‌ها برای متقاعد کردن فرماندهان اصلی ناامیدکننده بود تا این که رمزنگارهای نیروی دریایی دست به اقدامی جالب زدند. آن‌ها به نیروهای مستقر در جزیره‌ی میدوی دستور دادند تا پیام‌ها فریب دهنده‌ای مبنی بر کمبود آب آشامیدنی در جزیره‌ی میدوی را مخابره کنند. ژاپنی‌ها با شنود این پیام‌ها بلافاصله پیام «کمبود آب در AF» را به مرکز فرماندهی خود مخابره می‌کردند. به این ترتیب رمزنگارها ثابت کردند که منظور از AF که قسمت مجهول پیام‌های رمز شده بود، همان جزیره‌ی میدوی است و آمریکایی‌ها هواپیماهای خود را به سوی جزیره ارسال کردند. نتیجه این شد که جزیره‌ی میدوی در دست آمریکایی‌ها باقی ماند و ژاپنی‌ها شکست سختی را متحمل شدند. حيله‌ای که رمزنگارهای آمریکایی در این جنگ بکار بردند نوع ضعیفی از حمله‌ی متن اصلی انتخابی است چرا که آن‌ها با این ترفند توانستند رمز شده‌ی پیامی که می‌خواستند یعنی «Midway» را به دست آورند. اگر الگوریتم‌های رمزنگاری ژاپنی‌ها در آن زمان تصادفی عمل می‌کرد این استراتژی آمریکایی‌ها ناکام می‌ماند و شاید تاریخ طور دیگری رقم می‌خورد!

### حمله‌ی متن اصلی انتخابی

برای مدل کردن حمله‌ی متن اصلی انتخابی، فرض می‌کنیم که مهاجم به اوراکل رمزنگاری دسترسی دارد. مقصود از دسترسی اوراکلی<sup>۸</sup> مهاجم به الگوریتم رمزنگاری این است که الگوریتم رمزنگاری برای مهاجم به مانند یک جعبه سیاه است. مهاجم بدون این که بداند درون جعبه سیاه چه می‌گذرد و از چه کلیدی در الگوریتم استفاده می‌شود، تنها می‌تواند به آن متن اصلی داده و رمز شده‌ی آن را دریافت کند. دسترسی اوراکلی الگوریتم (مهاجم)  $A$  به الگوریتمی یا تابعی مثل  $f$  را به صورت  $A^{f(\cdot)}$  نمایش می‌دهیم. در محاسبه‌ی زمان اجرای اوراکل  $A$ ، هر پرسمان و دریافت پاسخ آن یک واحد زمانی در نظر گرفته می‌شود، بنابراین یک مهاجم چند جمله‌ای تنها به تعداد چند جمله‌ای بر حسب طول ورودی می‌تواند اوراکل خود را فراخوانی کند.

### آزمایش تمایزناپذیری در حمله‌ی متن اصلی انتخابی

این آزمایش را با  $\text{PrivK}_{A,\Pi}^{\text{cpa}}(n)$  نمایش می‌دهیم و شامل مراحل زیر است.

۱. چالشگر با اجرای  $\text{Gen}(1^n)$  کلید  $k$  را تولید می‌کند.

۲. مهاجم با دریافت پارامتر امنیتی  $1^n$ ، در حالی که به  $\text{Enc}_k(\cdot)$  دسترسی اوراکلی دارد دو متن اصلی هم طول  $m_0$  و  $m_1$  را تولید می‌کند. که کل این مراحل را با  $A^{\text{Enc}_k(\cdot)}$   $m_0, m_1 \leftarrow$  نمایش می‌دهیم.

<sup>8</sup>oracle access

۳. چالشگر بیت تصادفی  $b \in \{0, 1\}$  را انتخاب کرده و متن رمزشده  $c \leftarrow \text{Enc}_k(m_b)$  را محاسبه و برای مهاجم ارسال می‌کند.

۴. مهاجم در حالی که به الگوریتم  $\text{Enc}_k(\cdot)$  دسترسی اوراکلی دارد بیت  $b'$  را تولید می‌کند.  

$$b' \leftarrow \mathcal{A}^{\text{Enc}_k(\cdot)}$$

۵. اگر  $b = b'$  نتیجه‌ی آزمایش ۱ است که با  $\text{PrivK}_{\mathcal{A}, \Pi}^{\text{cpa}}(n) = 1$  نمایش می‌دهیم و می‌گوییم مهاجم موفق شده و در غیر این صورت نتیجه ۰ خواهد بود.

**تعریف ۲۷.۱ (امنیت متن اصلی انتخابی).** سامانه‌ی رمزنگاری متقارن  $\Pi(\text{Gen}, \text{Enc}, \text{Dec})$  تمایزناپذیر تحت حمله‌ی متن اصلی انتخابی یا دارای امنیت متن اصلی انتخابی است هرگاه به ازای هر مهاجم چندجمله‌ای تصادفی نظیر  $\mathcal{A}$  تابع ناچیز  $\varepsilon(n)$  وجود داشته باشد بطوری که:

$$\Pr\{\text{PrivK}_{\mathcal{A}, \Pi}^{\text{cpa}}(n) = 1\} \leq \frac{1}{p} + \varepsilon(n)$$

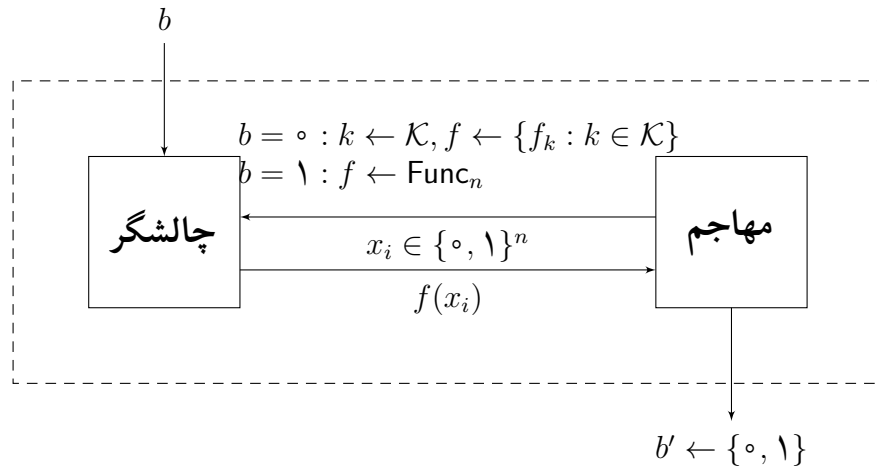
احتمال فوق به عوامل تصادفی الگوریتم  $\mathcal{A}$  و الگوریتم رمزنگاری و بیت‌های تصادفی تولید شده در آزمایش بستگی دارد.

توابع شبه تصادفی که در ادامه با آن‌ها آشنا می‌شویم به ما کمک می‌کنند تا به امنیت چندپیمایی و امنیت متن اصلی انتخابی دست یابیم.

### توابع شبه تصادفی

مجموعه همه توابع از مجموعه  $\{0, 1\}^n$  به خودش را که با  $\text{Func}_n$  نمایش می‌دهیم در نظر بگیرید. به تابعی که به صورت تصادفی و با توزیع احتمال یکنواخت از این مجموعه انتخاب شود تابع تصادفی می‌گوییم، بنابراین تصادفی بودن تابع نه به رفتار آن بلکه به نحوه‌ی انتخاب آن بستگی دارد، تحت این تعریف حتی تابع ثابت هم می‌تواند یک تابع تصادفی باشد.

تابع تصادفی از  $\text{Func}_n$  را می‌توانیم به صورت یک جدول جست‌وجو شامل یک ستون در نظر بگیریم که با درایه‌هایی که با توزیع یکنواخت از  $\{0, 1\}^n$  انتخاب شده‌اند پر شده است به طوری که شماره‌ی ردیف ورودی و محتوای ردیف خروجی را مشخص می‌کند. کدکردن  $\text{Func}_n$  به چنین روشی به  $\log_2(2^{n \cdot 2^n})$  بیت نیاز دارد که حتی به ازای  $n$  های کوچک هم عدد بزرگی است، لذا به سراغ توابع شبه تصادفی می‌رویم که زیر مجموعه‌ای بسیار کوچکتر از  $\text{Func}_n$  است و در عین حال هیچ تمایزگر کارایی نباید بتواند با دسترسی اوراکلی به یک تابع که به صورت تصادفی از چنین خانواده‌ای انتخاب شده آن را از یک تابع تصادفی تمیز دهد. تعریف دقیق و مجانبی توابع شبه تصادفی به صورت زیر است.



شکل ۵.۱: تعامل بین چالشگر فرضی و تمایزگر در تمایز تابع شبه تصادفی

**تعریف ۲۸.۱ (خانواده‌ی توابع شبه تصادفی).**  $\{0, 1\}^*$  را مجموعه‌ی همه‌ی رشته‌های دودویی با طول متناهی در نظر بگیرید. خانواده‌ی توابع  $\{F_k : \{0, 1\}^{|k|} \rightarrow \{0, 1\}^{|k|}\}_{k \in \{0, 1\}^*}$  را شبه تصادفی گوئیم هر گاه:

۱. به ازای هر  $k \in \{0, 1\}^*$  و هر  $x \in \{0, 1\}^{|k|}$  الگوریتم چندجمله‌ای برای محاسبه‌ی  $F_k(x)$  وجود داشته باشد.

۲. برای هر تمایزگر چندجمله‌ای تصادفی  $\mathcal{D}$ ، تابع ناچیز  $\varepsilon(n)$  وجود داشته باشد به طوری که

$$|\Pr\{f \xleftarrow{\text{unif}} \text{Func}_n : \mathcal{D}^{f(\cdot)}(\{1\}^n) = 1\} - \Pr\{k \xleftarrow{\text{unif}} \{0, 1\}^n : \mathcal{D}^{F_k(\cdot)}(\{1\}^n) = 1\}| \leq \varepsilon(n).$$

حاصل قدر مطلق در عبارت فوق را مزیت تمایزگر می‌گوئیم.

باید به این نکته دقت کرد در تعریف تابع شبه تصادفی فرض بر این است که تمایزگر ساختار خانواده‌ی توابع شبه تصادفی و نحوه‌ی عملکرد توابع این خانواده را می‌داند، تنها پارامتر مجهول برای تمایزگر کلید  $k$  است. در ضمن تمایزگر به تابع انتخابی دسترسی اوراکلی دارد و می‌تواند چندجمله‌ای بار (بر حسب طول کلید) خروجی تابع انتخابی را به ازای ورودی‌های دلخواه مورد پرسمان قرار دهد و در آخر باید حدس بزند، تابعی که مورد پرسمان قرار داده، بر اساس کدام توزیع انتخاب شده است. چنین تعاملی بین چالشگر فرضی و یک تمایزگر در شکل ۵.۱ نمایش داده شده است.

**مثال ۲۹.۱.** خانواده‌ی توابع  $F_k(x) = k \oplus x$  که روی رشته‌های  $n$  بیتی تعریف می‌شوند را در نظر بگیرید، چنین خانواده‌ای شبه تصادفی نیست. برای اثبات تمایزگری را در نظر بگیرید که از اوراکل تابع انتخابی که با  $\mathcal{O}(\cdot)$  نمایش می‌دهیم، خروجی تابع به ازای دو ورودی متمایز  $x_1$  و  $x_2$

را مورد پرمسان قرار دهد و مقادیر  $y_1 = \mathcal{O}(x_1)$  و  $y_2 = \mathcal{O}(x_2)$  را دریافت کند. از آنجایی که تمایزگر از ضابطه‌ی خانواده که به صورت  $F_k(x) = k \oplus x$  است آگاه است، می‌داند که اگر تابع انتخابی از این خانواده باشد باید داشته باشیم  $x_1 \oplus x_2 = y_1 \oplus y_2$  و در این صورت بیت  $b' = 1$  را تولید می‌کند. احتمال این که یک تابع تصادفی چنین ویژگی را ارضا کند برابر است با  $2^{-n}$  و لذا مزیت تمایزگر برابر است با  $|1 - 2^{-n}|$  که تابع ناچیزی نیست.

در مثال بعد، با استفاده از توابع شبه تصادفی یک سامانه‌ی رمزنگاری می‌سازیم که دارای امنیت متن اصلی انتخابی و امنیت چند پیامی است.

**مثال ۳۰.۱.** فرض کنید  $\{F_k : \{0, 1\}^{|k|} \rightarrow \{0, 1\}^{|k|}\}_{k \in \{0, 1\}^*}$  یک خانواده از توابع شبه تصادفی باشد. سامانه‌ی رمزنگاری متقارن برای رمزکردن پیام‌های دودویی با طول  $n$  را به صورت زیر می‌سازیم.

$$\bullet \text{ Gen}(1^n) : k \leftarrow \{0, 1\}^n$$

$\bullet$  الگوریتم رمزنگاری پس از دریافت کلید و پیام اصلی  $m \in \{0, 1\}^n$  ابتدا یک رشته‌ی تصادفی  $r$  از  $\{0, 1\}^n$  انتخاب کرده و سپس متن رمزی را به صورت زیر محاسبه می‌کند.

$$c = \text{Enc}_k(m) := \langle r, F_k(r) \oplus m \rangle.$$

$\bullet$  در الگوریتم رمزگشایی با استفاده از متن رمزی  $c = \langle r, s \rangle$  و کلید  $k$ ، متن اصلی به صورت زیر محاسبه می‌شود.  $m := F_k(r) \oplus s$ .

سامانه‌ی فوق هم امنیت چندپیمایی و هم امنیت متن اصلی انتخابی دارد. برای اثبات به روش تحویل فرض می‌کنیم مهاجمی وجود دارد که با مزیت قابل توجهی قادر است در آزمایش متن اصلی انتخابی مؤفق شود، در این صورت می‌توانیم تمایزگری با مزیت قابل توجه برای تمایز خانواده توابع  $F_k$  از توابع تصادفی بسازیم و این یعنی خانواده‌ی مذکور شبه تصادفی نیست، که با فرض در تناقض است. برای مشاهده‌ی جزئیات اثبات به [۴۰، ص. ۸۳]، مراجعه کنید.

### جایگشت شبه تصادفی

فرض کنید مجموعه‌ی همه‌ی جایگشت‌ها روی  $\{0, 1\}^n$  را با  $\text{Perm}_n$  نمایش دهیم. یادآور می‌شویم که یک جایگشت تابعی دوسویی است. اگر بخواهیم  $\text{Perm}_n$  را نیز به همان روش توابع شبه تصادفی به صورت جدول‌های جست‌وجو کد کنیم، دوسویی بودن جایگشت این محدودیت که درایه‌های هر دو ردیف باید متمایز باشند را اعمال می‌کند، به همین خاطر در این حالت  $\log_2(2^n!)$  بیت نیاز داریم که عدد بزرگی است. به همین دلیل از جایگشت‌های شبه تصادفی که به صورت زیر تعریف می‌شود استفاده می‌کنیم.



**تعریف ۳۱.۱ (خانواده جایگشت شبه تصادفی).** خانواده‌ی جایگشت‌های  $\{E_k : \{0, 1\}^{|k|} \rightarrow \{0, 1\}^{|k|}\}_{k \in \{0, 1\}^*}$  را شبه تصادفی گوییم هرگاه

۱. به ازای هر  $k \in \{0, 1\}^*$  و هر  $x \in \{0, 1\}^{|k|}$  الگوریتم چندجمله‌ای برای محاسبه‌ی  $E_k(x)$  موجود باشد.

۲. به ازای هر تمایزگر چندجمله‌ای تصادفی مثل  $D$  تابع ناچیز  $\varepsilon(n)$  موجود باشد به طوری که

$$|Pr\{E \xrightarrow{unif} \text{Perm}_n : D^{E(\cdot), E^{-1}(\cdot)}(1^n) = 1\} - Pr\{k \xrightarrow{unif} \{0, 1\}^n : D^{E_k(\cdot), E_k^{-1}(\cdot)}(1^n) = 1\}| \leq \varepsilon(n).$$

از آنجایی که گاهی لازم است تا طرفین مجازی که از جایگشت‌های تصادفی در الگوریتم‌های رمزنگاری استفاده می‌کنند از معکوس جایگشت هم استفاده کنند و الگوریتم‌های مورد استفاده باید برای همه‌ی طرفین حتی مهاجم مشخص باشد در قسمت دوم تعریف جایگشت شبه تصادفی تمایزگر علاوه بر اوراکل جایگشت به اوراکل معکوس آن هم دسترسی دارد.

جایگشت‌های شبه تصادفی کاربردهای زیادی در رمزنگاری دارند از جمله این که رمزهای قالبی که در ادامه تعریف می‌کنیم نمونه‌ای از جایگشت‌های شبه تصادفی به ازای طول کلید و طول ورودی ثابت هستند.

**تعریف ۳۲.۱ (رمزهای قالبی).** یک رمز قالبی روشی برای تولید خانواده‌ای از جایگشت‌های شبه تصادفی با مجموعه اندیس  $k$  است، به طوری که با تغییر کلید  $k$  جایگشت متفاوتی خواهیم داشت. رمزهای قالبی، همان‌طور که از نامشان برمی‌آید روی قالب‌هایی از داده با طول مشخص، عمل می‌کنند. دو پارامتر مهم رمزهای قالبی عبارت است از:

۱. طول ورودی و خروجی که به آن طول قالب هم می‌گویند

۲. اندازه‌ی کلید

در عمل رمزهای قالبی به تنهایی کاربرد خاصی ندارند، بلکه ابزاری مهم و پایه‌ای برای طراحی پروتکل‌های امنیتی محسوب می‌شوند. برای مثال مرحله‌ی بعد از طراحی یک رمز قالبی، این است که ساختارهایی را طراحی کنیم که با استفاده از آن رمز قالبی بتوان داده‌هایی را به صورت امن رمز کرد که طول آن‌ها بسیار فراتر از طول قالب باشد. امنیت سامانه‌های پیچیده‌تری که با استفاده از رمزهای قالبی ساخته می‌شوند مبنی بر شبه تصادفی بودن رمزهای قالبی است. از بین رمزهای قالبی معروف می‌توان به  $AES$ <sup>۹</sup> و  $DES$ <sup>۱۰</sup> اشاره کرد.

<sup>۹</sup>Advanced Encryption Standard

<sup>۱۰</sup>Data Encryption Standard

## امنیت متن رمزی انتخابی

برای این که مهاجمی را مدل کنیم که علاوه بر دستگاه رمزنگاری به دستگاه رمزگشایی هم دسترسی دارد، در آزمایش تمایزناپذیری فرض می‌کنیم مهاجم هم به اوراکل رمزنگاری و هم به اوراکل رمزگشایی دسترسی دارد.

تعریف ۳۳.۱ (آزمایش تمایزناپذیری در حمله‌ی متن رمزی انتخابی). [۴۰] این آزمایش را با نماد  $\text{PrivK}_{A,\Pi}^{\text{cca}}$  نمایش می‌دهیم و متشکل از مراحل زیر است.

۱. چالشگر فرضی با اجرای  $\text{Gen}(1^n)$  کلید  $k$  را تولید می‌کند.

۲. مهاجم با دسترسی اوراکلی به الگوریتم‌های  $\text{Enc}_k(\cdot)$  و  $\text{Dec}_k(\cdot)$  دو متن اصلی هم طول  $m_0, m_1$  را انتخاب می‌کند. کل این فرآیند را به صورت  $m_0, m_1 \leftarrow \mathcal{A}^{\text{Enc}_k(\cdot), \text{Dec}_k(\cdot)}$  نمایش می‌دهیم.

۳. چالشگر بیت تصادفی  $b \in \{0, 1\}$  را انتخاب کرده و سپس متن رمز چالش  $c \leftarrow \text{Enc}_k(m_b)$  را محاسبه کرده و به مهاجم می‌دهد.

۴. مهاجم همچنان به الگوریتم‌های  $\text{Enc}_k(\cdot)$  و  $\text{Dec}_k(\cdot)$  دسترسی دارد ولی نمی‌تواند درخواست رمزگشایی متن رمز چالش  $c$  را از اوراکل رمزگشایی  $\text{Dec}_k(\cdot)$  داشته باشد. در نهایت مهاجم بیت تصمیم  $b'$  را تولید می‌کند.

۵. اگر  $b = b'$  آن‌گاه  $\text{PrivK}_{A,\Pi}^{\text{cca}}(n) = 1$  و مهاجم موفق شده است.

تعریف ۳۴.۱ (امنیت متن رمزی انتخابی). سامانه‌ی رمزنگاری  $\Pi(\text{Gen}, \text{Enc}, \text{Dec})$  دارای امنیت متن رمزی انتخابی است هر گاه برای هر مهاجم چندجمله‌ای تصادفی  $A$ ، تابع ناچیز  $\varepsilon(n)$  موجود باشد که

$$\Pr\{\text{PrivK}_{A,\Pi}^{\text{cca}}(n) = 1\} \leq \frac{1}{p} + \varepsilon(n).$$

مثال ۳۵.۱. سامانه رمز ارائه شده در مثال ۳۰.۱ دارای امنیت متن رمزی انتخابی نیست. فرض کنید مهاجم در مرحله‌ی ۲ متن‌های اصلی  $m_0 = 0^n$  و  $m_1 = 1^n$  را انتخاب کند. سپس در مرحله‌ی ۴ پس از دریافت متن رمز چالش  $c = \langle r, s \rangle$  متن رمزی جدید  $c' = \langle r, s \oplus 1^{n-1} \rangle$  را ساخته و درخواست رمزگشایی آن را به اوراکل رمزگشایی ارسال می‌کند و  $m' = \text{Dec}_k(c')$  را به دست می‌آورد. اگر  $m' = 1^{n-1}$  آن‌گاه  $b' = 0$  و در غیر این صورت  $b'$  را برابر ۱ قرار می‌دهد. بنابراین  $\Pr\{\text{PrivK}_{A,\Pi}^{\text{cca}}(n) = 1\}$  و سامانه امنیت متن رمزی انتخابی ندارد.

نه تنها سامانه‌ی مثال ۳۰.۱ بلکه هر سامانه‌ی رمز متقارن دیگری که بتوان متن رمز شده را به روش کنترل شده‌ای تغییر داد به طوری که متن رمزی به دست آمده معتبر باشد و بتوان راجع به متن اصلی متناظر با آن اطلاعاتی به دست آورد، دارای امنیت متن رمزی انتخابی نیست. در ادامه

یکی دیگر از اولیه‌های رمزنگاری را که در دست‌یابی به امنیت متن رمزی انتخابی به کار می‌آید معرفی می‌کنیم.

### کد احراز اصالت پیام

همه‌ی مهاجم‌هایی که تا کنون مدل کردیم منفعل بودند و فقط سعی داشتند اطلاعاتی راجع به متن اصلی به دست آورند، ولی مهاجم می‌تواند فعال باشد به این معنی که می‌تواند با دست‌کاری پیام‌های رمزی ارسالی خراب‌کاری به بار آورد. به این ترتیب به ابزاری نیاز داریم تا مانع جعل و یا تغییر پیام‌های ارسالی شود.

**تعریف ۳۶.۱ (کد احراز اصالت پیام).** یک سامانه‌ی کد احراز اصالت پیام یک سه‌تایی از الگوریتم‌های چندجمله‌ای تصادفی روی فضای پیام  $\mathcal{M}$  است به طوری که

• **Gen** الگوریتم تولید کلید است که ورودی آن پارامتر امنیتی  $1^n$  و خروجی آن کلید  $k$  است.

• **Mac** الگوریتم تولید برچسب نام دارد. این الگوریتم با دریافت پیام  $m \in \mathcal{M}$  و کلید  $k \in \mathcal{K}$  برچسب  $t \leftarrow \text{Mac}_k(m)$  را تولید می‌کند.

• **Vrfy** الگوریتم تأیید برچسب نامیده می‌شود. ورودی آن پیام  $m \in \mathcal{M}$  و کلید  $k \in \mathcal{K}$  و برچسب  $t$  و خروجی آن یک (به معنی معتبر) یا صفر (به معنی نامعتبر) است.

• **شرط صحت** به ازای هر پیام  $m$  و هر کلید  $k$  داشته باشیم،  $\text{Vrfy}_k(\langle m, \text{Mac}_k(m) \rangle) = 1$ .

الگوریتم تولید برچسب می‌تواند تصادفی باشد، اما الگوریتم تأیید همواره قطعی است.

سامانه کد احراز اصالت برای جلوگیری از جعل یک پیام ساخته شده و لذا حمله‌هایی که به چنین سامانه‌هایی اعمال می‌شود با هدف جعل پیام است. مانند قبل برای مدل کردن چنین حمله‌هایی آزمایشی ارائه می‌دهیم که توانایی مهاجم را در تولید یک برچسب معتبر برای پیامی که قبلاً برچسب آن را ندیده و یا تولید برچسبی جدید برای پیامی که قبلاً برچسبی از آن را ندیده، محک می‌زند.

**تعریف ۳۷.۱ (آزمایش جعل ناپذیری قوی کد احراز اصالت پیام).** این آزمایش را با  $\text{Mac-sforge}_{\mathcal{A}, \Pi}$  نمایش می‌دهیم که شامل مراحل زیر است:

۱. چالشگر با اجرای  $\text{Gen}(1^n)$  کلید  $k$  را تولید می‌کند.

۲. مهاجم به  $\text{Mac}_{k(\cdot)}$  دسترسی اوراکلی دارد و می‌تواند برچسب پیام‌های مختلف را از اوراکل  $\text{Mac}_k(\cdot)$  پرسمان کند. در نهایت پس از چندجمله‌ای بار پرسمان، یک زوج  $\langle m, t \rangle$  را تولید کرده و به چالشگر می‌دهد،  $\langle m, t \rangle \leftarrow \mathcal{A}^{\text{Mac}_k(\cdot)}$ .

۳. اگر مجموعه‌ی همه‌ی زوج پرسمان‌های ارسالی و برچسب‌های دریافتی از اوراکل  $\text{Mac}_k(\cdot)$  را با  $Q$  نمایش دهیم خروجی آزمایش متغیر تصادفی  $\text{Mac-sforge}_{A,\Pi}(n)$  است که به صورت زیر تعریف می‌شود:

$$\text{Mac-sforge}_{A,\Pi}(n) := \begin{cases} 1 & \langle m, t \rangle \notin Q \wedge \text{Vrfy}_k(\langle m, t \rangle) = 1 \\ 0 & \text{در غیر این صورت} \end{cases}$$

**تعریف ۳۸.۱ (کد احراز اصالت به شدت امن).** سامانه‌ی کد احراز اصالت  $\Pi(\text{Gen}, \text{Mac}, \text{Vrfy})$  به شدت امن است، هرگاه برای هر مهاجم چندجمله‌ای تصادفی مثل  $A$  تابع ناچیز  $\varepsilon(n)$  موجود باشد به طوری که

$$\Pr\{\text{Mac-sforge}_{A,\Pi}(n) = 1\} \leq \varepsilon(n).$$

در ادامه آزمایشی را معرفی می‌کنیم که توانایی مهاجم در تولید متن رمزشده‌ی معتبر را محک می‌زند.

**تعریف ۳۹.۱ (آزمایش رمزنگاری جعل ناپذیر).** این آزمایش را با  $\text{Enc-Forge}_{A,\Pi}$  نمایش می‌دهیم و شامل مراحل زیر است:

۱. چالشگر  $\text{Gen}(1^n)$  را اجرا کرده و کلید  $k$  را تولید می‌کند.

۲. مهاجم پارامتر امنیتی  $1^n$  را دریافت کرده و در حالی که به اوراکل رمزنگاری  $\text{Enc}_k(\cdot)$  دسترسی دارد، متن رمزشده‌ی  $c$  را تولید کرده و به چالشگر می‌دهد.

۳. اگر  $m := \text{Dec}_k(c)$  و  $Q$  مجموعه‌ی تمام پرسمان‌هایی باشد که مهاجم از اوراکل رمزنگاری داشته، آن‌گاه خروجی آزمایش ۱ است هرگاه  $m \neq \perp$  و در ضمن  $m \neq Q$ . به عبارت دیگر اگر مهاجم بتواند متن رمزشده‌ی معتبری را که قبلاً ندیده تولید نماید مؤفق می‌شود.

**تعریف ۴۰.۱.** سامانه‌ی رمزنگاری متقارن  $\Pi$  جعل ناپذیر است اگر به ازای هر مهاجم چندجمله‌ای تصادفی  $A$ ، تابع ناچیز  $\varepsilon$  وجود داشته باشد به طوری که،  $\Pr\{\text{Enc-Forge}_{A,\Pi}(n) = 1\} \leq \varepsilon(n)$ .

**تعریف ۴۱.۱ (رمزنگاری احراز اصالت شده).** سامانه‌ی رمزنگاری متقارن  $\Pi$  یک سامانه‌ی رمزنگاری احراز اصالت شده است، هرگاه علاوه بر امنیت متن رمزی انتخابی، جعل ناپذیر نیز باشد.

لازم به ذکر است که هر ترکیبی از چند سامانه‌ی امن منجر به یک سامانه‌ی امن نمی‌شود، آن‌چه باید در این مرحله به آن دقت کنیم نحوه‌ی ترکیب سامانه‌ها برای رسیدن به مقصود مورد نظر است. در ادامه سامانه‌ی رمزنگاری و سامانه‌ی کد احراز اصالت را به نحو مناسبی برای رسیدن به یک سامانه‌ی رمزنگاری احراز اصالت شده با هم ترکیب می‌کنیم.

**قضیه ۴۲.۱.** فرض کنید  $\Pi_E(\text{Enc}, \text{Dec})$  یک سامانه رمزنگاری با امنیت متن اصلی انتخابی و  $\Pi_M(\text{Mac}, \text{Vrfy})$  یک سامانه کد احراز اصالت به شدت امن باشد که تولید کلید در هر یک از آن‌ها با انتخاب تصادفی یکنواخت یک رشته‌ی  $n$  بیتی انجام می‌شود، در این صورت سامانه‌ی رمزنگاری متقارن  $\Pi'(\text{Gen}', \text{Enc}', \text{Dec}')$  که به صورت زیر ساخته می‌شود یک سامانه رمزنگاری احراز اصالت شده است.

۱.  $\text{Gen}'$  : با دریافت پارامتر امنیتی  $1^n$  دو رشته‌ی تصادفی یکنواخت  $k_E, k_M \in \{0, 1\}^n$  را به صورت مستقل انتخاب می‌کند، خروجی این الگوریتم دوتایی  $(k_E, k_M)$  به عنوان کلید است.

۲.  $\text{Enc}'$  : الگوریتم رمزنگاری دوتایی کلید  $(k_E, k_M)$  و متن اصلی  $m \in \{0, 1\}^n$  را دریافت کرده و  $c \leftarrow \text{Enc}_{k_E}(m)$  و سپس  $t \leftarrow \text{Mac}_{k_M}(c)$  را محاسبه می‌کند، خروجی این الگوریتم دوتایی  $\langle c, t \rangle$  است.

۳.  $\text{Dec}'$  : الگوریتم رمزگشایی به ازای ورودی کلید  $(k_E, k_M)$  و متن رمزشده‌ی  $\langle c, t \rangle$ ، ابتدا درستی رابطه‌ی  $\text{Vrfy}_{k_M}(c, t) \stackrel{?}{=} 1$  را بررسی می‌کند، اگر این رابطه برقرار باشد خروجی  $\text{Dec}_{k_M}(c)$  و در غیر این صورت  $\perp$  (به معنای نامعتبر بودن متن رمزی) است.

□

**برهان.** به [۴۰] صفحه‌ی ۱۳۶ رجوع کنید.

با توجه به تعریف رمزنگاری احراز اصالت شده، می‌توان نتیجه گرفت که هر سامانه‌ی رمزنگاری احراز اصالت شده، امنیت متن رمزی انتخابی نیز دارد اما عکس این گزاره درست نیست. اکنون به هدف خود یعنی احراز اصالت و حفظ محرمانگی با استفاده از سامانه‌های رمزنگاری متقارن دست‌یافته‌ایم. در بخش بعد رسیدن به همین اهداف را با استفاده از نوع دیگری از سامانه‌های رمزنگاری موسوم به سامانه‌های رمزنگاری نامتقارن یا کلید همگانی دنبال خواهیم کرد.

## ۴.۱ رمزنگاری نامتقارن یا کلید همگانی

انگیزه‌ی اصلی این که رمزنگارها به دنبال راه حلی غیر از سامانه‌های رمزنگاری متقارن بودند، مسئله‌ی تبادل و مدیریت کلید در این سامانه‌ها است. اگر شبکه ارتباطی دارای  $n$  کاربر باشد و هر دو نفر بخواهند یک کلید به اشتراک بگذارند آن‌گاه  $\frac{n(n-1)}{2}$  کلید باید به طور محرمانه مبادله شده و به صورت امن نگهداری شود که کار دشواری است، زیرا هر چه تعداد کلیدها بیشتر شود مدیریت آن‌ها دشوارتر و احتمال دست‌یابی مهاجم به تعدادی از آن‌ها بیشتر است. راه کار دیگر به کار گرفتن یک شخص ثالث معتمد در نقش مرکز توزیع کلید است. در این حالت لازم است تا هر کاربر فقط یک کلید را برای ارتباط امن با مرکز کلید، ذخیره سازد. در این مدل اگر  $A$  بخواهد

با  $B$  ارتباط امن برقرار کند، پیام را رمز کرده و برای مرکز کلید ارسال می‌کند، مرکز کلید که همه‌ی کلیدها را دارد، پیام ارسالی  $A$  را رمزگشایی کرده و سپس آن را با کلید مخفی  $B$  رمز کرده و برای او ارسال می‌کند، اما این راه حل منصفانه نیست چرا که مرکز توزیع کلید از همه‌ی کلیدها آگاه است جدای از این اگر مهاجم به مرکز کلید دست‌یابد همه‌ی کلیدها فاش می‌شود.

## تبادل کلید

با وجود راه‌حل‌های ارائه شده در بند قبل هنوز هم تبادل کلید بین کاربران و یا کاربران و مرکز تولید کلید باید از طریق یک کانال امن صورت گیرد. تبادل کلید و داشتن یک ارتباط امن از طریق یک کانال ناامن نیازمند یک رویکرد کاملاً متفاوت در رمزنگاری بود. تا قبل از سال ۱۹۷۶ اعتقاد بر این بود که اساساً داشتن یک ارتباط امن، بدون به اشتراک گذاشتن یک سری اطلاعات مخفی از طریق یک کانال امن میسر نیست، تا این که دیفی<sup>۱۱</sup> و هلمن<sup>۱۲</sup> مقاله‌ای تحت عنوان «مسیری جدید در رمزنگاری» را در همان سال ارائه دادند. آن‌ها پی برده بودند که بسیاری از اتفاقات جهان ما طبیعتی نامتقارن دارد، به طور خاص برخی اتفاقات در جهت رفت سهل ولی در جهت عکس دشوار هستند. برای مثال شکستن یک لیوان کار آسانی است ولی تبدیل لیوان شکسته شده به همان لیوان اول کار دشواری است، به عنوان مثالی دیگر (و مرتبط با بحث ما) ضرب دو عدد کار آسانی است ولی تجزیه همان عدد به عواملش کار آسانی نیست. دیفی و هلمن پی بردند که این پدیده‌ها می‌توانند برای ساختن یک پروتکل تبادل کلید امن که به طرفین اجازه می‌دهد از طریق یک کانال ناامن کلیدی را به اشتراک بگذارند به کار آیند. در تأیید این عقیده که همیشه بخشی از علم مخصوصاً در رمزنگاری سری باقی می‌ماند و در زمان خودش منتشر نمی‌شود به این نکته اشاره می‌کنیم که مسأله‌ی تبادل کلید و سامانه‌های کلید همگانی از سال ۱۹۶۰ ذهن ریاضی‌دانان و رمزنگاران ستاد ارتباطات دولت انگلیس را به خود مشغول کرده بود و قبل از دیفی و هلمن آن‌ها موفق شده بودند سامانه‌هایی مشابه دیفی-هلمن را کشف کنند. این کشفیات تا سال ۱۹۹۷ محرمانه باقی‌مانده بود!

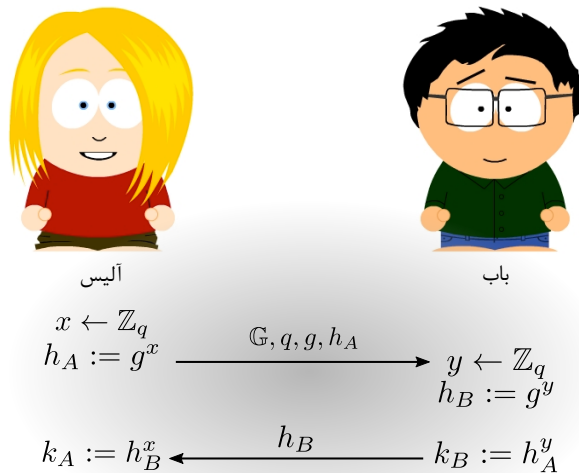
## پروتکل تبادل کلید دیفی-هلمن

اکنون پروتکلی را که دیفی هلمن در مقاله‌ی اصلی خودشان [۲۸] آوردند شرح می‌دهیم. فرض کنید  $G$  یک الگوریتم چندجمله‌ای تصادفی باشد که ورودی آن پارامتر امنیتی  $n$  و خروجی آن گروه دوری  $\mathbb{G}$ ، و مرتبه‌ی آن  $q$  (که  $\|q\| = n$ ) و یک مولد برای گروه مثل  $g \in \mathbb{G}$  است.

تعریف ۴۳.۱ (پروتکل تبادل کلید دیفی-هلمن). تبادل کلید با استفاده از پروتکل دیفی-هلمن

<sup>11</sup>Whitfield Diffie

<sup>12</sup>Martin Hellman



شکل ۶.۱: پروتکل تبادل کلید دیفی-هلمن

بین  $A$  و  $B$  به ازای پارامتر امنیتی  $1^n$  به صورت زیر انجام می‌شود. (شکل ۶.۱)

•  $A$  با اجرای  $\mathcal{G}(1^n)$  سه‌تایی  $(\mathbb{G}, q, g)$  را به‌دست می‌آورد و پس انتخاب تصادفی  $x \in \mathbb{Z}_q$  با توزیع یکنواخت،  $h_A := g^x$  را محاسبه می‌کند و در نهایت  $(\mathbb{G}, q, g, h_A)$  را برای  $B$  ارسال می‌کند.

•  $B$  پس از دریافت  $(\mathbb{G}, q, g, h_A)$ ،  $y \in \mathbb{Z}_q$  را با توزیع یکنواخت انتخاب کرده و پس از محاسبه  $h_B := g^y$ ، آن را برای  $A$  ارسال می‌کند و در نهایت کلید را برابر با  $k_B := h_A^y$  در نظر می‌گیرد.

•  $A$  پس از دریافت  $h_B$  کلید را برابر با  $k_A := h_B^x$  در نظر می‌گیرد.

در عمل پارامترهای  $(\mathbb{G}, q, g)$  در استانداردهای ارتباطی مشخص هستند و  $A$  کافی است  $h_A$  را برای  $B$  ارسال کند و نیازی نیست  $B$  برای محاسبه و ارسال  $h_B$  منتظر ارسال  $(\mathbb{G}, q, g)$  از سوی  $A$  باشد. از آن‌جا که  $k_A = g^{xy}$  و  $k_B = g^{yx}$ ، لذا  $k_A = k_B$  و پروتکل درست کار می‌کند. گروه دوری  $\mathbb{G}$  از مرتبه‌ی  $q$  و مولدی از آن مثل  $g \in \mathbb{G}$  را در نظر بگیرید. لگاریتم گسسته‌ی  $h \in \mathbb{G}$  با  $\log_g(h)$  نشان می‌دهیم و برابر است با  $x \in \mathbb{Z}_q$  به طوری که داشته باشیم  $g^x = h$ . محاسبه‌ی  $\log_g(h)$  وقتی  $g \in \mathbb{G}$  به تصادف انتخاب شده باشد به مسئله‌ی لگاریتم گسسته معروف است. به ازای  $h_1, h_2 \in \mathbb{G}$ ،  $\text{DH}_g(h_1, h_2)$  را برابر با  $g^{\log_g h_1 \cdot \log_g h_2}$  در نظر می‌گیریم، یعنی به ازای  $h_1 = g^{x_1}$  و  $h_2 = g^{x_2}$  داریم:

$$\text{DH}_g(h_1, h_2) = g^{x_1 \cdot x_2} = h_1^{x_2} = h_2^{x_1}.$$

مسئله‌ی دیفی-هلمن محاسباتی عبارت است از محاسبه‌ی  $\text{DH}_g(h_1, h_2)$  به ازای  $h_1$  و  $h_2$  که به

صورت تصادفی یکنواخت از  $\mathbb{G}$  انتخاب شده باشند.

به مسئله‌ی تمایز  $DH_g(h_1, h_2)$  از یک عضو تصادفی یکنواخت گروه  $\mathbb{G}$  مثل  $h'$  وقتی  $h_1$  و  $h_2$  هر دو به صورت تصادفی یکنواخت از  $\mathbb{G}$  انتخاب شده باشند مسئله‌ی دیفی هلمن تصمیمی می‌گویند.

**تعریف ۴۴.۱ (فرض دیفی هلمن تصمیمی).** می‌گوییم مسئله‌ی دیفی هلمن تصمیمی نسبت به  $\mathcal{G}$  سخت است یا اصطلاحاً فرض دیفی هلمن تصمیمی نسبت به  $\mathcal{G}$  برقرار است هرگاه به ازای هر تمایزگر چندجمله‌ای تصادفی  $\mathcal{D}$  تابع ناچیزی مثل  $\varepsilon(n)$  موجود باشد که:

$$|Pr\{\mathcal{D}(\mathbb{G}, q, g, g^x, g^y, g^z) = 1\} - Pr\{\mathcal{D}(\mathbb{G}, q, g, g^x, g^y, g^{xy}) = 1\}| \leq \varepsilon(n),$$

که  $x, y, z \in \mathbb{Z}_q$  به صورت تصادفی یکنواخت انتخاب شده‌اند.

در واقع فرض دیفی-هلمن تصمیمی روی گروه دوری  $\mathbb{G}$  با مرتبه‌ی  $q$  و مولد  $g \in \mathbb{G}$  بیانگر تمایزناپذیری محاسباتی دو متغیر تصادفی  $(g^x, g^y, g^z)$  و  $(g^x, g^y, g^{xy})$  به ازای انتخاب تصادفی یکنواخت  $x, y, z \in \mathbb{Z}_q$  است. در ادامه امنیت در برابر مهاجم منفعل در تبادل کلید را با یک آزمایش مدل می‌کنیم.

**تعریف ۴۵.۱ (آزمایش تبادل کلید).** این آزمایش را به ازای پارامتر امنیتی  $1^n$  با  $KE_{A,\Pi}(n)$  نمایش می‌دهیم که شامل مراحل زیر است:

۱. طرفین تبادل با تعیین پارامتر امنیتی  $1^n$ ، پروتکل تبادل کلید  $\Pi$  را اجرا می‌کنند. خروجی یک رونوشت مانند  $trans$  شامل همه‌ی پیام‌های ارسالی طرفین، و یک کلید  $k \in \{0, 1\}^n$  است.

۲. بیت  $b \in \{0, 1\}$  به صورت تصادفی یکنواخت انتخاب می‌شود. اگر  $b = 0$  قرار می‌دهیم  $k' = k$  و در غیر این صورت  $k'$  را به صورت تصادفی یکنواخت از  $\{0, 1\}^n$  انتخاب می‌کنیم.

۳. مهاجم  $A$  رونوشت  $trans$  و کلید  $k_b$  را دریافت کرده. بیت  $b'$  را تولید می‌کند.

۴. خروجی این آزمایش را با متغیر تصادفی  $KE_{A,\Pi}(n)$  نمایش می‌دهیم و برابر ۱ است هرگاه  $b = b'$ .

**تعریف ۴۶.۱ (امنیت پروتکل تبادل کلید).** پروتکل تبادل کلید  $\Pi$ ، در برابر مهاجم منفعل امن است، اگر برای هر مهاجم چندجمله‌ای تصادفی  $A$ ، تابع ناچیز  $\varepsilon$  وجود باشد که

$$Pr\{KE_{A,\Pi}(n) = 1\} \leq \frac{1}{4} + \varepsilon(n)$$



**قضیه ۴۷.۱.** اگر مسئله‌ی دیفی هلمن تصمیمی نسبت به  $G$  سخت باشد، آنگاه پروتکل تبادل کلید دیفی-هلمن در برابر مهاجم منفعل امن خواهد بود.

□

برهان. به [۴۰] مراجعه کنید.

## تعریف سامانه‌های کلید همگانی

از رمزنگاری کلید همگانی تحت عنوان انقلابی در تاریخ رمزنگاری یاد می‌شود. در رمزنگاری کلید همگانی، برخلاف رمزنگاری کلید خصوصی نیازی به تبادل داده‌های مخفی نظیر کلید از طریق یک کانال امن، پیش از ارتباط رمز شده، نیست. شگفت‌انگیز است که دو نفر در دو طرف یک سالن و در حضور دیگران، که تنها می‌توانند صدای فریاد هم را بشنوند، بدون هیچ ملاقات قبلی بتوانند طوری با هم صحبت کنند که هیچ کس غیر از آن‌ها نتواند بفهمد آن‌ها راجع به چه چیزی صحبت می‌کنند! (البته همه‌ی افراد حاضر در سالن فارسی زبان هستند!) اما رمزنگاری کلید همگانی این امکان را فراهم می‌کند، به این صورت که یکی از طرفین (گیرنده) یک زوج کلید  $(pk, sk)$ ، که به ترتیب از سمت چپ، کلید همگانی و کلید خصوصی نامیده می‌شوند تولید می‌کند. فرستنده با استفاده از کلید همگانی داده‌ها را رمز کرده و گیرنده با استفاده از کلید خصوصی متناظر با آن داده‌ها را رمزگشایی می‌کند، در حالی که در رمزنگاری متقارن هم رمزنگاری و هم رمزگشایی با یک کلید صورت می‌گیرد، به همین دلیل به رمزنگاری کلید همگانی، رمزنگاری نامتقارن هم می‌گویند. اما فرستنده چطور بدون هیچ ملاقات یا تبادل اطلاعات قبلی می‌تواند کلید عمومی گیرنده یعنی  $pk$  را به دست آورد؟ یک روش این است که گیرنده، کلید عمومی خود را به صورت کاملاً آشکار و بدون نیاز به هیچ کانال امن به فرستنده بگوید. برای مثال آن را در وبگاه شخصی خود قرار دهد تا همه آن را بدانند یا در مثال فوق آن را در معرض عموم به کسی که آن طرف سالن است بگوید! در این که مهاجم هم کلید عمومی وی را به دست می‌آورد جای نگرانی نیست چون سامانه‌های کلید همگانی را طوری طراحی می‌کنند که دست‌یابی به کلید خصوصی با داشتن کلید عمومی کاری دشوار ولی عکس آن راحت باشد. بنابراین کلید عمومی چنان‌که از نام آن برمی‌آید عمومی و کلید خصوصی فقط نزد صاحب کلید می‌ماند و امنیت چنین سامانه‌هایی متکی به مخفی ماندن کلید خصوصی است.

**تعریف ۴۸.۱ (سامانه‌ی رمزنگاری نامتقارن).** سامانه رمزنگاری نامتقارن یک سه‌تایی مرتب از الگوریتم‌های چندجمله‌ای تصادفی مثل  $\Pi(\text{Gen}, \text{Enc}, \text{Dec})$  است به طوری که:

۱.  $\text{Gen}$  : الگوریتم تولید کلید، که ورودی آن پارامتر امنیتی  $1^n$  و خروجی آن زوج مرتب  $(pk, sk)$  است. به  $pk$  کلید عمومی و به  $sk$  کلید خصوصی می‌گوییم.

۲.  $\text{Enc}$  : الگوریتم رمزنگاری است که به ازای ورودی کلید همگانی  $pk$  و متن اصلی  $m$  از

فضای پیام اصلی  $\mathcal{M}$ ، متن رمزشده  $c$  را محاسبه می‌کند. از آنجایی که این الگوریتم می‌تواند تصادفی باشد عملکرد آن را به صورت  $c \leftarrow \text{Enc}_{pk}(m)$  نمایش می‌دهیم.

۳. Dec: الگوریتم رمزگشایی که یک الگوریتم قطعی است، ورودی آن متن رمزشده  $c$  و کلید خصوصی  $sk$  و خروجی آن متن اصلی  $m \in \mathcal{M}$  یا نماد  $\perp$  (به معنای نامعتبر بودن متن رمزی) است که به صورت  $m := \text{Dec}_{sk}(c) \in \mathcal{M} \cup \{\perp\}$  نمایش می‌دهیم.

۴. شرط صحت:  $\forall (pk, sk) \leftarrow \text{Gen}(1^n) \forall m \in \mathcal{M} \text{ Dec}_{sk}(\text{Enc}_{pk}(m)) = m$

## امنیت در سامانه‌های کلید همگانی

مشابه رمزهای متقارن مفهوم امنیت در رمزهای کلید همگانی را نیز با استفاده از آزمایش‌ها تعریف می‌کنیم. از آنجایی که این آزمایش‌ها تا حد زیادی مشابه آزمایش‌های رمزنگاری متقارن است، تمرکز ما بیشتر روی تفاوت آن‌ها با آزمایش‌های رمزنگاری متقارن خواهد بود.

## امنیت در مقابل حمله‌ی متن اصلی انتخابی

یک تفاوت اساسی رمزنگاری کلید همگانی با رمزنگاری متقارن در این است که، چون همه از جمله مهاجم به کلید عمومی دسترسی دارند، لذا مهاجم، خودبه‌خود به اوراکل رمزنگاری دسترسی دارد.

تعریف ۴۹.۱ (آزمایش تمایزناپذیری در حضور مهاجم شنودگر). این آزمایش را به ازای پارامتر امنیتی  $1^n$  با  $\text{PubK}_{\mathcal{A}, \Pi}^{\text{eav}}(n)$  نمایش می‌دهیم که شامل مراحل زیر است.

۱. چالشگر با اجرای  $\text{Gen}(1^n)$  کلیدهای  $(pk, sk)$  را تولید می‌کند.

۲. مهاجم  $\mathcal{A}$  که کلید عمومی  $pk$  را دارد دو متن اصلی هم طول  $m_0, m_1 \in \mathcal{M}$  را انتخاب کرده، به چالشگر می‌دهد.

۳. چالشگر بیت تصادفی یکنواخت  $b \in \{0, 1\}$  را انتخاب کرده، سپس متن رمزشده  $c \leftarrow \text{Enc}_{pk}(m_b)$  را محاسبه می‌کند و به مهاجم می‌دهد. به متن رمزی چالش می‌گوییم.

۴. مهاجم بیت  $b'$  را تولید می‌کند. خروجی آزمایش ۱ است هرگاه  $b = b'$  که به معنای موفقیت مهاجم است و با  $\text{PubK}_{\mathcal{A}, \Pi}^{\text{eav}}(n) = 1$  نمایش می‌دهیم، در غیر این صورت مهاجم شکست خورده و خروجی آزمایش ۰ خواهد بود.

تعریف ۵۰.۱ (امنیت تک‌پیامی). سامانه‌ی رمزنگاری کلید همگانی  $(\text{Gen}, \text{Enc}, \text{Dec})$  دارای امنیت تک‌پیامی یا تمایزناپذیری در برابر مهاجم شنودگر است هرگاه به ازای هر مهاجم چندجمله‌ای تصادفی نظیر  $\mathcal{A}$  تابع ناچیز  $\varepsilon$  وجود داشته باشد که،  $\Pr\{\text{PubK}_{\mathcal{A}, \Pi}^{\text{eav}}(n) = 1\} \leq \frac{1}{p} + \varepsilon(n)$ .

از آنجایی که مهاجم به کلید عمومی و در نتیجه اوراکل رمزنگاری دسترسی دارد، گزاره‌ی زیر برقرار است.

گزاره ۵۱.۱. اگر سامانه‌ی رمزنگاری کلیدهمگانی امنیت تک‌پیمایی داشته باشد امنیت متن اصلی انتخابی هم دارد.

برهان. به [۴۰] رجوع کنید.  $\square$

مثال ۲۳.۱ مؤید این است که گزاره فوق در رمزنگاری متقارن صادق نیست.

## ناممکن بودن امنیت کامل در رمزنگاری نامتقارن

تعریف ۵۲.۱ (امنیت کامل در رمزنگاری نامتقارن). سامانه‌ی رمزنگاری کلیدهمگانی  $\Pi$  دارای امنیت کامل است هرگاه برای هر مهاجم (نه لزوماً چندجمله‌ای تصادفی)  $A$  تابع ناچیز  $\varepsilon(n)$  وجود داشته باشد که

$$Pr\{\text{PubK}_{A,\Pi}^{\text{eav}}(n) \leq \frac{1}{4}\}$$

گزاره ۵۳.۱. سامانه‌ی کلید همگانی با امنیت کامل وجود ندارد.

برهان. مهاجم با توانایی محاسباتی نامحدود  $A$  را در نظر بگیرید که در آزمایش  $\text{PubK}_{A,\Pi}^{\text{eav}}(n)$  شرکت کند. فرض کنید به ازای یک زوج کلید عمومی و خصوصی  $(pk, sk)$  رمز شده‌ی  $m$  با کلید عمومی  $pk$  (و یک مقدار تصادفی که احتمالاً در الگوریتم  $\text{Enc}_{pk}(\cdot)$  استفاده می‌شود) برابر با  $c$  باشد. به سبب این که الگوریتم رمزگشایی قطعی است، شرط صحت عملکرد سامانه‌ی رمزنگاری نامتقارن لازم می‌دارد تا حاصل رمزنگاری هر متن غیر از  $m$  با کلید عمومی  $pk$  و هر مقدار تصادفی ممکن برابر با  $c$  نباشد. از این رو کافی است مهاجم  $A$  هر دو متن اصلی  $m_0$  و  $m_1$  را به ازای تمام مقادیر تصادفی ممکن مورد استفاده در الگوریتم  $\text{Enc}_{pk}(\cdot)$  رمز کرده و با متن رمزی چالش  $c$  مقایسه کند. چنین مهاجمی با احتمال ۱ در آزمایش  $\text{PubK}_{A,\Pi}^{\text{eav}}(n)$  پیروز است و حکم ثابت می‌شود.  $\square$

همان طور که سامانه‌های رمزنگاری متقارن قطعی فاقد امنیت متن اصلی انتخابی بودند، سامانه‌های رمزنگاری نامتقارن نیز چنین هستند.

قضیه ۵۴.۱. هر سامانه‌ی رمزنگاری کلیدهمگانی قطعی فاقد امنیت متن اصلی انتخابی است.

برهان. به [۴۰] مراجعه کنید.  $\square$

قضیه‌ی فوق اگر چه خیلی ساده است اما سامانه‌های کلیدهمگانی اولیه که در عمل به کار گرفته می‌شدند تا مدت‌ها از نوع سامانه‌های کلیدهمگانی قطعی بودند، دلیل این امر شاید این بود

که زمانی که رمزنگاری کلید همگانی معرفی شد هنوز اهمیت رمزنگاری تصادفی به طور کامل شناخته نشده بود.

در واقع رمزنگاری کلید همگانی قطعی بسیار آسیب پذیر است و نباید مورد استفاده قرار گیرد زیرا علاوه بر این که مانند سامانه‌های متقارن قطعی، به مهاجم اجازه می‌دهد ارسال مجدد یک پیام رمز شده را تشخیص دهد، بلکه به وی این امکان را می‌دهد تا در صورت کوچک بودن فضای پیام اصلی، متن رمز شده را با احتمال ۱ رمزگشایی کند! برای مثال فرض کنید یک استاد نمرات دانشجویان خود را که یکی از حروف مجموعه‌ی  $\{A, B, C, D, F\}$  است با کلید عمومی هر یک از آن‌ها رمز کند. اگر رمزنگاری قطعی باشد مهاجم که می‌داند نمره‌ی هر دانشجو رمز شده‌ی یکی از اعضای مجموعه‌ی فوق است، چون کلید عمومی را دارد قادر است هر یک از ۵ حالت ممکن را بیازماید تا به نمره‌ی تک‌تک دانشجویان پی‌برد!

گزاره ۵۵.۱. سامانه‌ی رمزنگاری نامتقارن که امنیت متن اصلی انتخابی داشته باشد امنیت چندپایمی هم دارد.

□

برهان. به [۴۰] مراجعه کنید.

## سامانه‌ی رمزنگاری کلید همگانی الجمال

در سال ۱۹۸۵، طاهر الجمال<sup>۱۳</sup> پی‌برد که پروتکل تبادل کلید دیفی-هلمن را می‌توان طوری اصلاح کرد تا یک سامانه‌ی رمزنگاری کلید همگانی به‌دست آید. فرض کنید  $\mathbb{G}$  یک گروه دوری از مرتبه‌ی  $q$  با مولد  $g$  است و  $k \in \mathbb{G}$  کلیدی باشد که  $A$  و  $B$  با استفاده پروتکل تبادل کلید دیفی-هلمن به اشتراک گذاشته‌اند. سامانه‌ی رمزنگاری متقارن با فضای پیام  $\mathbb{G}$  را به این صورت در نظر بگیرید که برای رمزکردن پیام  $m \in \mathbb{G}$  آن را در  $k$  ضرب و برای رمزگشایی متن رمزی  $c \in \mathbb{G}$  آن را در  $k^{-1}$  ضرب کنیم. به راحتی ثابت می‌شود این سامانه‌ی متقارن امنیت کامل نیز دارد. اکنون ایده‌ی فوق را به نحوی اصلاح می‌کنیم تا به یک سامانه‌ی کلید همگانی تصادفی دست‌یابیم. مثل قبل فرض کنید  $\mathcal{G}$  یک الگوریتم چندجمله‌ای تصادفی باشد که ورودی آن پارامتر امنیتی  $1^n$  و خروجی آن یک گروه دوری  $\mathbb{G}$  از مرتبه‌ی  $q$  (که  $\|q\| = n$ ) و مولدی نظیر  $g \in \mathbb{G}$  باشد.

تعریف ۵۶.۱ (سامانه‌ی رمزنگاری کلید همگانی الجمال). این سامانه متشکل از الگوریتم‌های زیر است.

● Gen: الگوریتم تولید کلید که با دریافت  $1^n$  الگوریتم  $\mathcal{G}(1^n)$  را اجرا کرده و سه‌تایی  $(\mathbb{G}, q, g)$  را به‌دست می‌آورد. بعد از آن  $x \in \mathbb{Z}_q$  را به صورت تصادفی یکنواخت انتخاب کرده و

<sup>۱۳</sup> رمزنگاری مصری، متولد ۱۹۵۵ که پس از طی دوره‌ی کارشناسی در دانشگاه قاهره، دوره‌ی ارشد و دکتری خود را در رشته‌ی مهندسی برق دانشگاه استنفورد و تحت راهنمایی هلمن گذراند.

$h := g^x$  را محاسبه می‌کند. در نهایت خروجی آن، کلید عمومی  $pk = \langle \mathbb{G}, q, g, h \rangle$  و کلید خصوصی  $sk = \langle \mathbb{G}, q, g, x \rangle$  است. (فضای پیام عبارت است از  $\mathbb{G}$ )

● Enc : ورودی آن کلید عمومی  $pk = \langle \mathbb{G}, q, g, h \rangle$  و پیام  $m \in \mathbb{G}$  و خروجی آن متن رمز شده است که پس از انتخاب تصادفی یکنواخت  $y \in \mathbb{Z}_q$ ، به صورت  $c = \langle h^y \cdot m \rangle$ ، محاسبه می‌شود.

● Dec : ورودی آن کلید خصوصی  $sk = \langle \mathbb{G}, q, g, x \rangle$  و متن رمز شده‌ی  $\langle c_1, c_2 \rangle$  و خروجی آن عبارت است از:  $m' = \text{Dec}_{sk}(c_1, c_2) := \frac{c_2}{c_1^x}$ .

فرض کنید  $\langle c_1, c_2 \rangle = \langle g^y, h^y \cdot m \rangle$  و  $h = g^x$ . در این صورت:

$$m' = \text{Dec}_{sk}(c_1, c_2) = \frac{c_2}{c_1^x} = \frac{h^y \cdot m}{(g^y)^x} = \frac{(g^x)^y \cdot m}{g^{xy}} = \frac{g^{xy} \cdot m}{g^{xy}} = m.$$

و رمزگشایی به درستی انجام می‌شود.

قضیه ۵۷.۱. اگر فرض دیفی-هلمن تصمیمی نسبت به  $\mathcal{G}$  برقرار باشد، سامانه‌ی رمزنگاری الجمال دارای امنیت متن اصلی انتخابی است.

□

برهان. به [۴۰، ص. ۴۰۲]، رجوع کنید.

در رمزهای متقارن برای رسیدن به هدف احراز اصالت، از کدهای احراز اصالت استفاده می‌کردیم. در ادامه مشابه کلید همگانی کدهای احراز اصالت که امضای دیجیتال نام دارد را معرفی می‌کنیم.

تعریف ۵۸.۱ (امضای دیجیتال). یک سامانه‌ی امضای دیجیتال یک سه‌تایی از الگوریتم‌های چندجمله‌ای مثل  $(\text{Gen}, \text{Sign}, \text{Vrfy})$  است که در شرایط زیر صدق کند.

● Gen : الگوریتم تولید کلید با دریافت پارامتر امنیتی  $1^n$  زوج کلید خصوصی و عمومی  $(pk, sk)$  را تولید می‌کند.

● Sign : الگوریتم امضا با دریافت پیام  $m \in \mathcal{M}$  و کلید خصوصی  $sk$ ، امضای  $\sigma \leftarrow \text{Sign}_{sk}(m)$  را محاسبه می‌کند.

● Vrfy : الگوریتم تصدیق، که ورودی آن کلید همگانی  $pk$ ، پیام اصلی  $m$  و امضای  $\sigma$  و خروجی آن بیت  $b = \text{Vrfy}(m, \sigma) \in \{0, 1\}$  است به طوری که  $b = 1$  بیان‌گر معتبر بودن و  $b = 0$  نشان‌دهنده نامعتبر بودن امضا است.

● شرط صحت:  $\forall (pk, sk) \leftarrow \text{Gen}(1^n) \forall m \in \mathcal{M} \quad \text{Vrfy}(m, \text{Sign}_{sk}(m)) = 1$ .

همان‌طور که امضای سنتی باید طوری طراحی شود که جعل ناپذیر باشد، اولین انتظار از یک سامانه‌ی امضای دیجیتال نیز داشتن ویژگی جعل ناپذیری است. برای تعریف امنیت جعل ناپذیری امضای دیجیتال ابتدا آزمایش جعل ناپذیری امضای دیجیتال را تعریف می‌کنیم.

**تعریف ۵۹.۱ (آزمایش جعل ناپذیری امضای دیجیتال).** فرض کنید پارامتر امنیتی برابر با  $1^n$  باشد. آزمایش جعل ناپذیری امضای دیجیتال با  $\text{PrivK}_{\mathcal{A}, \Pi}$  داده می‌شود و شامل مراحل زیر است.

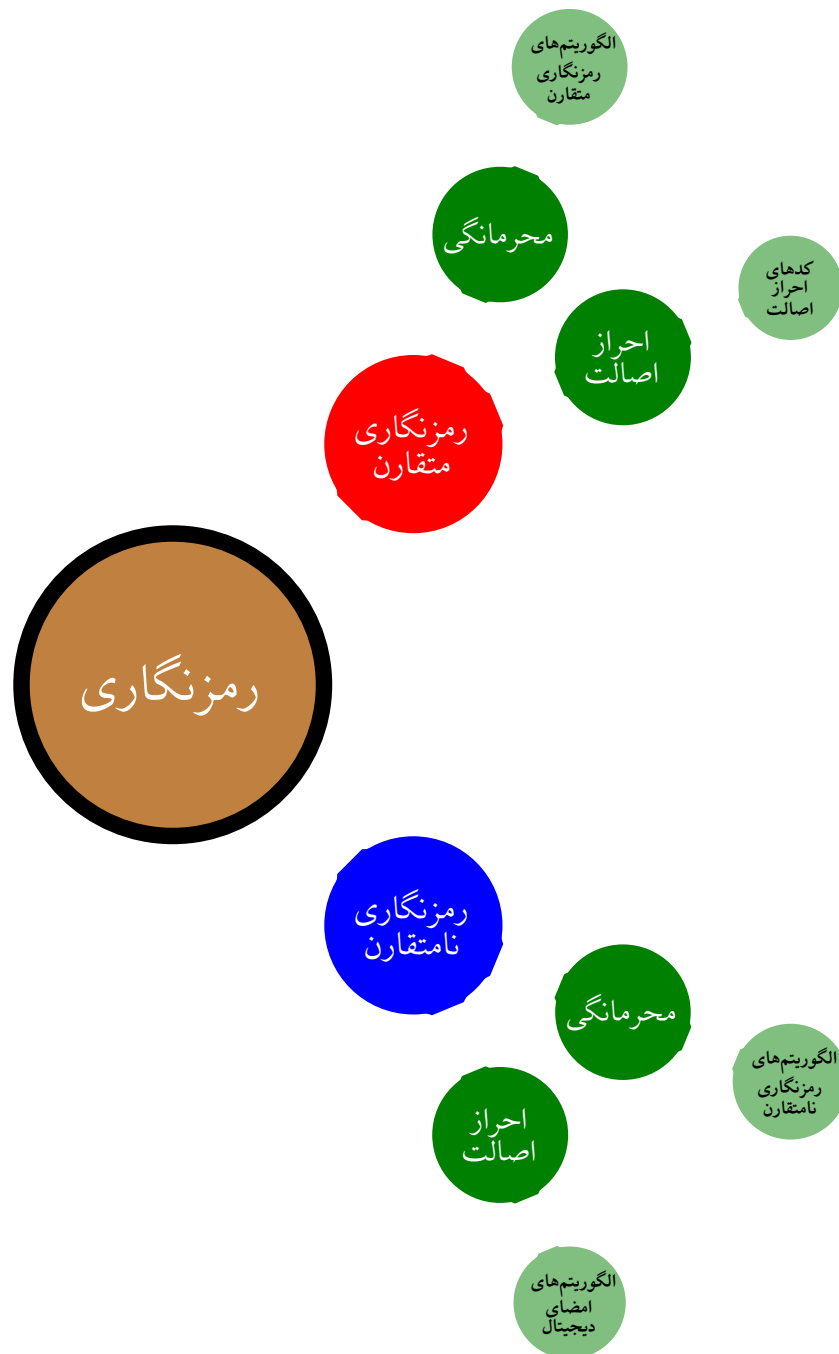
$$1. (pk, sk) \leftarrow \text{Gen}(1^n)$$

۲. مهاجم که به الگوریتم امضای  $\text{Sign}_{pk}(\cdot)$  دسترسی اوراکلی دارد، زوج متن اصلی و امضای  $(m, \sigma)$  را تولید می‌کند.  $(m, \sigma) \leftarrow \mathcal{A}^{\text{Sign}_{sk}(\cdot)}(1^n)$ .

۳. فرض کنید  $Q$ ، مجموعه‌ی همه پیام‌هایی باشد که امضای آن‌ها در مرحله‌ی ۲ توسط مهاجم مورد پرسمان قرار گرفته است. در این صورت خروجی آزمایش ۱ است هرگاه  $m \notin Q$  و  $\text{Vrfy}(m, \sigma) = 1$ .

**تعریف ۶۰.۱ (امنیت جعل ناپذیری امضای دیجیتال).** سامانه امضای دیجیتال  $\Pi = (\text{Gen}, \text{Sign}, \text{Vrfy})$ ، دارای امنیت جعل ناپذیری است هرگاه، به ازای هر مهاجم چندجمله‌ای تصادفی  $\mathcal{A}$ ، تابع ناچیز  $\varepsilon(n)$  وجود داشته باشد به‌طوری که،  $\Pr\{\text{PrivK}_{\Pi, \mathcal{A}}(n) = 1\} \leq \varepsilon(n)$ .

با ابزارهایی که تا کنون معرفی کرده‌ایم دست‌یابی به دو هدف اساسی رمزنگاری یعنی محرمانگی و احراز اصالت میسر خواهد بود. این ابزارهای اساسی به طور مختصر در دو دسته متقارن و نامتقارن در شکل ۷.۱، نمایش داده شده است.



شکل ۷.۱: رسیدن به اهداف محرمانگی و احراز اصالت در رمزهای متقارن و نامتقارن





## فصل ۲

# پایه گروبنر و پایه مرزی

### ۱.۲ پایه‌های گروبنر

پایه گروبنر مولدی با ویژگی‌های خوب برای یک ایده‌ال دلخواه از حلقه‌ی چندجمله‌ای‌های است. در این فصل با پایه‌های گروبنر و نحوه‌ی محاسبه‌ی آن به روش بوخبرگر آشنا می‌شویم. هدف نهایی ما استفاده از پایه گروبنر در حل دستگاه معادلات چندجمله‌ای به‌دست آمده از سامانه‌های رمزنگاری است که در فصل ۴ به آن می‌پردازیم. بیشتر مطالب این فصل برگرفته از مراجع [۴۵، ۴۶] و [۲۳]، است و برای مشاهده‌ی جزئیات بیشتر می‌توانید به آن‌ها مراجعه نمایید. در ابتدا برخی نمادهای پرکاربرد در این فصل را معرفی می‌کنیم.

-  $K$  یک میدان (نه لزوماً بطور جبری بسته) است، که بستار جبری آن را با  $\bar{K}$  نمایش می‌دهیم.

-  $\mathbb{F}_p$  را یک میدان متناهی از مرتبه‌ی عدد اول  $p$  و  $\mathbb{F}_{p^n}$  را یک توسیع متناهی  $\mathbb{F}$  از درجه‌ی  $n$  در نظر می‌گیریم.

- حلقه‌ی چندجمله‌ای‌های  $n$  متغیره را با  $P := K[x_1, \dots, x_n]$  نمایش می‌دهیم.

- هر عبارت به‌صورت  $m = x_1^{\alpha_1} \dots x_n^{\alpha_n}$  را که  $\alpha_i \in \mathbb{Z}_{\geq 0}$ ، یکجمله‌ای و عباراتی به‌صورت  $c \cdot m$  که  $m$  یک یکجمله‌ای و  $c \in K$  را، یک جمله می‌نامیم. گاهی برای اختصار یکجمله‌ای  $x_1^{\alpha_1} \dots x_n^{\alpha_n}$  را به‌صورت  $x^\alpha$  نمایش می‌دهیم و  $\alpha = (\alpha_1, \dots, \alpha_n)$  در  $x^\alpha$  را بردار نما یا توان  $x^\alpha$  می‌نامیم.

- مجموعه همه یکجمله‌ای‌های  $n$  متغیره را با  $\mathbb{T}^n$  نمایش می‌دهیم.

$$\mathbb{T}^n := \{x_1^{\alpha_1}, \dots, x_n^{\alpha_n} : (\alpha_1, \dots, \alpha_n) \in \mathbb{Z}_{\geq 0}^n\}.$$

- مجموعه همه یکجمله‌ای‌های، چندجمله‌ای  $f = \sum_{\alpha \in \mathbb{Z}_{\geq 0}^n} a_{\alpha} x^{\alpha} \in P$  را با

$$\text{Supp}(f) := \{x^{\alpha} \in \mathbb{T}^n : a_{\alpha} \neq 0\}.$$

و مجموعه همه جمله‌های آن را با

$$T(f) := \{a_{\alpha} x^{\alpha} : a_{\alpha} \neq 0\}.$$

نمایش می‌دهیم. این تعریف برای مجموعه‌ای از چندجمله‌ای‌ها مثل  $F = \{f_1, \dots, f_m\}$  به صورت زیر قابل تعمیم است:

$$\text{Supp}(F) := \bigcup_{i=1}^m \text{Supp}(f_i), \quad T(F) := \bigcup_{i=1}^m T(f_i).$$

- درجه‌ی کلی یا به اختصار درجه‌ی یکجمله‌ای  $m = x_1^{\alpha_1} \dots x_n^{\alpha_n}$  عبارت است از  $\deg(m) = \sum_{i=1}^n \alpha_i$  و آن را با  $\deg(\alpha)$  یکسان در نظر می‌گیریم. این تعریف را برای چندجمله‌ای  $f \in P$  به صورت زیر تعمیم می‌دهیم.

$$\deg(f) = \max\{\deg(m) : m \in M(f)\}.$$

- منظور ما از پایه یک ایده‌ال، یک مجموعه مولد متناهی آن ایده‌ال است.

## ترتیب یکجمله‌ای

در حلقه چندجمله‌ای‌های یک متغیره  $K[x]$  برای مقایسه یکجمله‌ای‌های یک متغیره ترتیبی به صورت

$$\dots > x^{m+1} > x^m > \dots > x^2 > x > 1.$$

را در نظر می‌گرفتیم و با استفاده از آن دو یکجمله‌ای را مقایسه می‌کردیم، این مقایسه یکی از بخش‌های اساسی در تقسیم چندجمله‌ای‌ها و یا عملیات حذفی گاوس به شمار می‌رفت. در ادامه قصد داریم ترتیب را برای یکجمله‌ای‌ها با بیش از یک متغیر تعریف کنیم.

یکجمله‌ای‌های  $n$  متغیره، به همراه عمل ضرب یک تکواره یا نیم‌گروه<sup>۱</sup> است که با تکواری

---

<sup>۱</sup> تکواره یا نیم‌گروه یک مجموعه به همراه یک عمل دوتایی است، که تحت آن عمل، بسته، شرکت پذیر و دارای عضو همانی است.

$\mathbb{Z}_{\geq}^n$  با عمل جمع برداری یکرخت است. تابع یکرختی از  $\mathbb{T}^n$  به  $\mathbb{Z}_{\geq}^n$  همان تابع لگاریتم است:

$$\log(\cdot) : \mathbb{T}^n \rightarrow \mathbb{Z}_{\geq}^n.$$

$$\log(x_1^{\alpha_1} \dots x_n^{\alpha_n}) = (\alpha_1, \dots, \alpha_n).$$

بنابراین هر ترتیب روی  $\mathbb{Z}_{\geq}^n$  یک ترتیب روی یکجمله‌ای‌ها را نتیجه می‌دهد. به همین دلیل در ادامه هر یکجمله‌ای  $x^\alpha = x_1^{\alpha_1} \dots x_n^{\alpha_n}$  در حلقه‌ی  $K[x_1, \dots, x_n]$  را با بردار نمای آن،  $\alpha$  یکسان در نظر می‌گیریم.

**تعریف ۱.۲** (ترتیب یکجمله‌ای). رابطه  $>$  روی  $\mathbb{Z}_{\geq}^n$ ، (یا بطور معادل روی یکجمله‌ای‌های  $\mathbb{T}^n$ ) را یک ترتیب یکجمله‌ای گوئیم، هرگاه در شرایط زیر صدق کند:

- $>$  یک رابطه‌ی ترتیب تام (یا خطی) باشد.
- اگر  $\alpha > \beta$  و  $\gamma \in \mathbb{Z}_{\geq}^n$  آن‌گاه  $\alpha + \gamma > \beta + \gamma$ .
- $\mathbb{Z}_{\geq}^n$  تحت رابطه‌ی  $>$  خوش‌ترتیب باشد، یعنی هر زیرمجموعه‌ی ناتهی  $\mathbb{Z}_{\geq}^n$  دارای کوچکترین عضو نسبت به ترتیب  $>$  باشد.

فرض کنید  $>$  یک رابطه ترتیب یکجمله‌ای روی  $\mathbb{Z}_{\geq}^n$  باشد و  $\alpha, \beta \in \mathbb{Z}_{\geq}^n$ ، منظور از  $\alpha \geq \beta$  این است که  $\alpha > \beta$  یا  $\alpha = \beta$ . در ضمن  $\alpha \geq \beta$  را با  $x^\alpha \geq x^\beta$  معادل در نظر می‌گیریم. لم زیر شرطی معادل برای خوش‌ترتیب بودن یک رابطه‌ی ترتیب است که به فهم معنای خوش‌ترتیبی کمک می‌کند.

**لم ۲.۲.** رابطه‌ی ترتیب  $>$  روی  $\mathbb{Z}_{\geq}^n$  یک رابطه‌ی خوش‌ترتیبی است اگر و تنها اگر هر دنباله‌ی اکیداً نزولی در  $\mathbb{Z}_{\geq}^n$  مثل  $\alpha_1 > \alpha_2 > \alpha_3 > \dots$  سرانجام ایستا شود. یعنی  $N \geq 1$  وجود داشته باشد که  $\alpha_N = \alpha_{N+1} = \alpha_{N+2} = \dots$ .

□

برهان. رجوع کنید به [۲۳].

در ادامه با چند ترتیب یکجمله‌ای پرکاربرد آشنا می‌شویم.

**مثال ۳.۲.** فرض کنیم  $\alpha, \beta \in \mathbb{Z}_{\geq}^n$ .

۱. **ترتیب الفبایی** گوئیم  $\alpha >_{lex} \beta$  هرگاه اولین درایه‌ی ناصفر از سمت چپ در بردار تفاضل

$$\alpha - \beta \text{ مثبت باشد. در ضمن } x^\alpha >_{lex} x^\beta \text{ هرگاه } \alpha >_{lex} \beta.$$

۲. **ترتیب الفبایی مدرج**  $\alpha >_{deglex} \beta$  هرگاه،

$$- \deg(\alpha) > \deg(\beta),$$

- یا  $\deg(\alpha) = \deg(\beta)$  و  $\alpha >_{lex} \beta$ .

۳. ترتیب الفبایی مدرج معکوس  $\beta >_{degrevlex} \alpha$  هرگاه،

-  $\deg(\alpha) > \deg(\beta)$  یا،

-  $\deg(\alpha) = \deg(\beta)$  و اولین درایه‌ی ناصفر از سمت راست در بردار تفاضل  $\alpha - \beta \in \mathbb{Z}_{\geq 0}^n$  منفی باشد.

ترتیب یکجمله‌ای را می‌توانیم به ترتیبی برای چندجمله‌ای‌ها تبدیل کنیم، به این صورت که برای مقایسه‌ی دو چندجمله‌ای بزرگترین یکجمله‌ای آن‌ها را و اگر برابر بودند یکجمله‌ای‌های بعدی آن را با هم مقایسه می‌کنیم. با استفاده از ترتیب یکجمله‌ای دیگری که در مثال بعدی آورده‌ایم، می‌توانیم دو ترتیب یکجمله‌ای را با هم ترکیب کنیم.

مثال ۴.۲ (ترتیب ضربی یا قالبی). فرض کنید  $K[x, y] = K[x_1, \dots, x_n, y_1, \dots, y_m]$  و  $>_x$  و  $>_y$  به ترتیب رابطه‌های ترتیب یکجمله‌ای روی  $K[x]$  و  $K[y]$  باشند. ترتیب ضربی روی  $K[x, y]$  که با  $(>_x, >_y)$  نیز نمایش می‌دهیم، به صورت زیر تعریف می‌شود.

$$x^A y^B > x^a y^b \iff x^A >_x x^a \vee (x^A = x^a \wedge y^B >_y y^b)$$

برای مثال می‌توان ترتیب الفبایی روی  $K[x_1, \dots, x_n]$  را نوعی ترتیب ضربی در نظر گرفت که از ضرب ترتیب‌های الفبایی روی قالب‌های کوچکتر  $K[x_i]$  به ازای  $i = 1, \dots, n$  به دست آمده.

تعریف ۵.۲. [۲۳] فرض کنید  $f = \sum a_\alpha x^\alpha$  یک چندجمله‌ای ناصفر در  $K[x_1, \dots, x_n]$  و  $>$  یک ترتیب یکجمله‌ای روی  $\mathbb{T}^n$  باشد. در این صورت،

$$f \text{ درجه‌ی مرکب} = \text{multideg}(f) := \max_{\geq} \{\alpha \in \mathbb{Z}_{\geq 0}^n : a_\alpha \neq 0\},$$

$$f \text{ ضریب پیشرو} = \text{LC}(f) := a_{\text{multideg}(f)} \in K,$$

$$f \text{ یکجمله‌ای پیشرو} = \text{LM}(f) := x^{\text{multideg}(f)},$$

$$f \text{ جمله‌ی پیشرو} = \text{LT}(f) := \text{LC}(f) \cdot \text{LM}(f).$$

ترتیب حذف، که در زیر آن را تعریف می‌کنیم، نقشی اساسی در حل دستگاه معادلات چندجمله‌ای ایفا خواهد کرد.

تعریف ۶.۲ (خاصیت حذف). فرض کنید  $P = K[x_1, \dots, x_n]$  و  $L \subseteq \{x_1, \dots, x_n\}$  و  $\hat{P} := K[x_i \mid x_i \notin L]$  حلقه‌ی چندجمله‌ای‌های متشکل از متغیرهایی باشد که در  $L$  نیستند. در این صورت

ترتیب یکجمله‌ای  $>$  روی  $\mathbb{T}^n$  دارای خاصیت حذف برای  $L$  است هرگاه

$$\forall f \in K[x_1, \dots, x_n] \left\{ \text{LM}(f) \in \hat{P} \Rightarrow f \in \hat{P} \right\}.$$

**تعریف ۷.۲.** هر ترتیب یکجمله‌ای روی  $K[x_1, \dots, x_n]$  را که دارای خاصیت حذف برای  $L \subseteq \{x_1, \dots, x_n\}$  باشد، ترتیب حذف برای  $L$  گوئیم.

در واقع ترتیب حذف برای  $L$  به گونه‌ای است که اگر متغیرهای درون  $L$  در جمله‌ی پیشرو چندجمله‌ای  $f$  ظاهر نشده باشند با اطمینان می‌توان گفت که در سایر جملات آن نیز ظاهر نشده‌اند.

**مثال ۸.۲.** فرض کنید  $1 \leq j < n$ ، و  $L = \{x_1, \dots, x_j\}$  ترتیب  $>_{\text{Elim}(L)}$  روی  $\mathbb{T}^n$  را به صورت زیر تعریف می‌کنیم

$$\alpha >_{\text{Elim}(L)} \beta \iff \begin{cases} \alpha_1 + \dots + \alpha_j > \beta_1 + \dots + \beta_j \\ \text{یا} \\ \alpha_1 + \dots + \alpha_j = \beta_1 + \dots + \beta_j \wedge \alpha >_{\text{degrevlex}} \beta. \end{cases}$$

این ترتیب یک ترتیب یکجمله‌ای و دارای خاصیت حذف برای  $x_1, \dots, x_j$  است. در این ترتیب اگر  $x^\alpha$  یک یکجمله‌ای از  $K[x_1, \dots, x_n]$  و حداقل شامل یکی از  $x_1, \dots, x_j$  باشد، آن‌گاه به ازای هر یکجمله‌ای دیگر نظیر  $x^\beta$  که فقط از متغیرهای  $x_{j+1}, \dots, x_n$  تشکیل شده است داریم،  $x^\alpha >_{\text{Elim}(L)} x^\beta$ .

در نهایت ترتیبی را معرفی می‌کنیم که همه‌ی ترتیب‌های قبلی را می‌توان با استفاده از آن به دست آورد.

**تعریف ۹.۲ (ترتیب وزنی).** فرض کنید  $w_1, \dots, w_m$  بردارهایی در  $\mathbb{R}^n$  و  $w \cdot \alpha$  نشان‌دهنده‌ی ضرب داخلی بردارهای  $w$  و  $\alpha$  باشد و ماتریس

$$W = \begin{pmatrix} w_{11} & \cdots & w_{1n} \\ \vdots & \vdots & \vdots \\ w_{m1} & \cdots & w_{mn} \end{pmatrix}_{m \times n}$$

ماتریسی باشد که سطرهای آن را بردارهای  $w_i$  تشکیل می‌دهند. در این صورت ترتیب وزنی برای مقایسه‌ی  $\alpha, \beta \in \mathbb{Z}_{\geq}^n$  نسبت به بردارهای وزن  $w_1, \dots, w_m$  را با  $>_W$  نمایش می‌دهیم و به صورت زیر تعریف می‌شود:

$$\alpha >_W \beta \iff \exists l \in \{1, \dots, m\} (\forall i < l \ w_i \cdot \alpha = w_i \cdot \beta) \wedge (w_l \cdot \alpha > w_l \cdot \beta).$$

مثال ۱۰.۲. می‌توان ثابت کرد همه‌ی ترتیب‌های یکجمله‌ای روی  $\mathbb{Z}_{\geq}^n$  را می‌توان با استفاده از بردارهای وزن مناسب، به صورت یک ترتیب وزنی به دست آورد. برای مثال ماتریس وزن ترتیب وزنی متناظر با ترتیب‌های الفبایی، الفبایی مدرج و الفبایی مدرج معکوس در  $K[x_1, x_2, x_3]$  با فرض  $x_1 > x_2 > x_3$  عبارتند از:

$$W_{lex} = \begin{pmatrix} 1 & 0 & 0 \\ 0 & 1 & 0 \\ 0 & 0 & 1 \end{pmatrix} \quad W_{deglex} = \begin{pmatrix} 1 & 1 & 1 \\ 1 & 0 & 0 \\ 0 & 1 & 0 \\ 0 & 0 & 1 \end{pmatrix} \quad W_{degrevlex} = \begin{pmatrix} 1 & 1 & 1 \\ 1 & 1 & 0 \\ 1 & 0 & 0 \end{pmatrix}$$

به راحتی می‌توان دید که سطر آخر ماتریس میانی که متناظر با ترتیب الفبایی مدرج است، تأثیری در نتیجه ندارد و ماتریس بدون این سطر هم کار خود را درست انجام می‌دهد. این اتفاقی نیست بطور کلی از دل هر ماتریس وزن غیر مربعی متناظر با یک ترتیب یکجمله‌ای می‌توانیم یک ماتریس مربعی استخراج کنیم به طوری که ترتیب یکجمله‌ای متناظر با آن همان ترتیب قبلی باشد. در ضمن اگر  $M_{n \times n}$  ماتریس مربعی استخراج شده باشد ترتیبی که به صورت زیر تعریف می‌شود، همان ترتیب یکجمله‌ای متناظر با ماتریس وزن اصلی است و گاهی به آن ترتیب نمایش داده شده با ماتریس  $M$  هم می‌گویند.

$$\alpha >_M \beta \iff M \times (\alpha - \beta)^{\text{tr}} \text{ مثبت باشد}$$

در ادامه خواهیم دید که محاسبات (بخصوص محاسبه‌ی پایه‌ی گروبنر) با استفاده از ترتیب الفبایی مدرج معکوس کم هزینه‌تر و سریع‌تر از محاسبه با استفاده از ترتیب‌های حذف نظیر ترتیب الفبایی است، در عوض چون ترتیب الفبایی یک ترتیب حذف است، از آن برای استخراج جواب دستگاه معادلات چندجمله‌ای از روی پایه‌ی گروبنر محاسبه شده برای ایده‌ال دستگاه معادلات، استفاده خواهیم کرد.

## الگوریتم تقسیم

قضیه ۱۱.۲ (الگوریتم تقسیم). فرض کنید  $>$  یک ترتیب یکجمله‌ای روی  $\mathbb{Z}_{\geq}^n$  و  $f \in K[x_1, \dots, x_n]$  یک چندجمله‌ای دلخواه و  $F = (f_1, \dots, f_s)$  یک  $s$  تایی مرتب از چندجمله‌ای‌های در  $K[x_1, \dots, x_n]$  باشد. در این صورت مراحل اجرای الگوریتم تقسیم ۱، متناهی است و برای چندجمله‌ای‌های به دست آمده از خروجی آن یعنی  $a_1, \dots, a_s, r$  داریم

$$f = a_1 f_1 + \dots + a_s f_s + r,$$

همچنین شرایط زیر برقرار خواهند بود:

۱.  $r$  یا برابر صفر است، یا ترکیبی  $-K$  خطی از یکجمله‌ای‌هایی است که هیچ‌یک از آن‌ها بر هیچ‌یک از یکجمله‌ای‌های  $LM(f_1), \dots, LM(f_s)$  بخش پذیر نیست.

۲. به ازای هر  $1 \leq i \leq s$ ، اگر  $a_i f_i \neq 0$  آن‌گاه،  $LM(f) \geq LM(a_i f_i)$ .

۳. به ازای هر  $1 \leq i \leq s$  و هر یکجمله‌ای غیر صفر  $q_i$  مثل  $t$ ، جمله‌ی  $t \cdot LT(f_i)$  بر هیچ‌یک از  $LT(f_1), \dots, LT(f_s)$  بخش پذیر نیست.

به  $r$  باقی مانده‌ی تقسیم  $f$  بر  $F$  می‌گوییم و با  $r = \bar{f}^F$  نمایش می‌دهیم. در ضمن چندجمله‌ای‌های  $a_1, \dots, a_s, r$  که در سه شرط فوق صدق کنند، به صورت یکتا توسط بردار  $(f_1, \dots, f_s, f) \in P^{s+1}$  تعیین می‌شوند.

---

#### الگوریتم ۱ الگوریتم تقسیم در $K[x_1, \dots, x_n]$

---

**Input:**  $(f_1, \dots, f_s, f)$ .  $P$  یک  $s+1$  تایی مرتب از چندجمله‌ای‌ها در

**Output:**  $(a_1, \dots, a_s, r)$ .  $P$  یک  $s+1$  تایی مرتب از چندجمله‌ای‌ها در

$a_i \leftarrow 0; r \leftarrow 0; p \leftarrow f$

**while**  $p \neq 0$  **do**

$i \leftarrow 0$

$divisionoccured \leftarrow False$

**while**  $i \geq s$  **and**  $divisionoccured = False$  **do**

**if**  $LT(f_i) \mid LT(p)$  **then**

$a_i \leftarrow a_i + \frac{LT(p)}{LT(f_i)}$

$p \leftarrow p - (\frac{LT(p)}{LT(f_i)})f_i$

$divisionoccured = True$

**else**

$i \leftarrow i + 1$

**end if**

**end while**

**if**  $divisionoccured = False$  **then**

$r \leftarrow r + LT(p)$

$p \leftarrow p - LT(p)$

**end if**

**end while**

**return**  $(a_1, \dots, a_s, r)$

---

□

برهان. به [۴۶، ص، ۷۱] رجوع کنید.

در الگوریتم تقسیم ۱ با تغییر ترتیب یکجمله‌ای  $>$  و یا جایگشت  $f_i$  ها در بردار  $F = (f_1, \dots, f_s)$ ، خروجی الگوریتم نیز ممکن است تغییر کند.

## ایدهال‌های یکجمله‌ای و لم دیکسون

تعریف ۱۲.۲ (ایدهال یکجمله‌ای). ایدهال  $I \subseteq P$  را یک ایدهال یکجمله‌ای گوئیم هرگاه زیرمجموعه‌ای  $A \subseteq \mathbb{Z}_{\geq 0}^n$  موجود باشد به طوری که،  $I = \langle x^\alpha \mid \alpha \in A \rangle$ .

لم زیر روشی برای تشخیص عضویت یک یکجمله‌ای در یک ایدهال یکجمله‌ای را بیان می‌کند.

لم ۱۳.۲. فرض کنید  $I = \langle x^\alpha \mid \alpha \in A \rangle$  یک ایدهال یکجمله‌ای باشد. در این صورت یکجمله‌ای  $x^\beta$  در  $I$  قرار دارد اگر و تنها اگر  $\alpha \in A$  وجود داشته باشد به طوری که،  $x^\alpha \mid x^\beta$ .

□

برهان. رجوع کنید به [۲۳].

یکجمله‌ای  $x^\beta$  بر یکجمله‌ای  $x^\alpha$  بخش پذیر است هرگاه  $\gamma \in \mathbb{Z}_{\geq 0}^n$  وجود داشته باشد به طوری که داشته باشیم،  $x^\beta = x^\alpha \cdot x^\gamma$  و یا به صورت معادل  $\beta = \alpha + \gamma$ . در نتیجه بردار نمای همه‌ی یکجمله‌ای‌هایی که بر  $x^\alpha$  بخش پذیرند برابر است با:

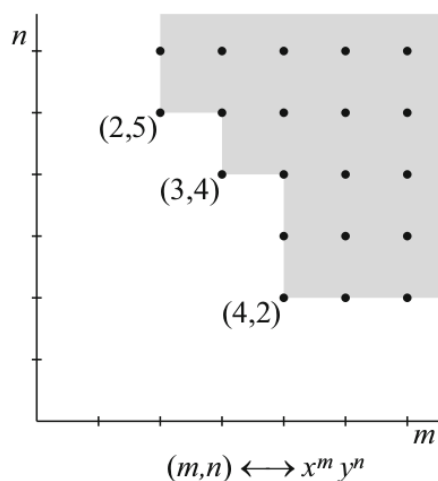
$$\alpha + \mathbb{Z}_{\geq 0}^n = \{\alpha + \gamma \mid \gamma \in \mathbb{Z}_{\geq 0}^n\}.$$

با توجه به گزاره‌ی فوق و قضیه‌ی ۱۳.۲ می‌توانیم با داشتن مولدی برای ایدهال یکجمله‌ای، همه‌ی یکجمله‌ای‌های آن را مشخص کنیم. به مثال زیر توجه کنید.

مثال ۱۴.۲. فرض کنید  $I = \langle x^4y^2, x^3y^4, x^2y^5 \rangle$ ، در این صورت مجموعه بردارهای توان همه یکجمله‌ای‌های  $I$  عبارت است از:

$$((4, 2) + \mathbb{Z}_{\geq 0}^2) \cup ((3, 4) + \mathbb{Z}_{\geq 0}^2) \cup ((2, 5) + \mathbb{Z}_{\geq 0}^2).$$

شکل ۱.۲ این نقاط را نشان می‌دهد.



شکل ۱.۲: نمایشی از یکجمله‌ای‌های ایدهال  $I$



با استفاده از لم ۱۳.۲ می‌توانیم عضویت یک یکجمله‌ای در یک ایده‌ال یکجمله‌ای را تشخیص دهیم، اما چطور می‌توانیم به عضویت یک چندجمله‌ای در ایده‌ال یکجمله‌ای پی ببریم؟ لم بعدی بیان می‌کند که فقط با بررسی عضویت یکجمله‌ای‌های یک چندجمله‌ای می‌توان به عضویت آن در یک ایده‌ال یکجمله‌ای پی برد.

لم ۱۵.۲. اگر  $I \subseteq P$  یک ایده‌ال یکجمله‌ای باشد و  $f \in K[x_1, \dots, x_n]$ ، در این صورت گزاره‌های زیر معادل هستند.

$$1. f \in I$$

۲. هر جمله‌ی  $f$  در  $I$  قرار دارد.

۳.  $f$  ترکیبی  $K$ -خطی از یکجمله‌ای‌های عضو  $I$  است.

برهان. رجوع کنید به [۲۳]. □

لم زیر بیانگر این حقیقت است که هر ایده‌ال یکجمله‌ای، مجموعه مولدی متناهی، متشکل از یکجمله‌ای‌ها دارد.

لم ۱۶.۲ (لم دیکسون). فرض کنید  $I = \langle x^\alpha \mid \alpha \in A \rangle$  یک ایده‌ال یکجمله‌ای باشد، در این صورت عدد طبیعی  $s$  و  $\alpha_1, \dots, \alpha_s \in A$  وجود دارند به‌طوری که،  $I = \langle x^{\alpha_1}, \dots, x^{\alpha_s} \rangle$ .

برهان. رجوع کنید به [۲۳، ص، ۷۲]. □

یکی از نتایج لم دیکسون، به‌دست آوردن یک شرط معادل به‌صورت زیر، برای خوش‌ترتیبی یک رابطه روی  $\mathbb{Z}_{\geq 0}^n$  است که کار ما را در بررسی خوش‌ترتیب بودن تحت یک رابطه‌ی ترتیب، راحت‌تر می‌کند.

نتیجه ۱۷.۲. فرض کنید  $>$  یک رابطه روی  $\mathbb{Z}_{\geq 0}^n$  باشد که در شرایط زیر صدق می‌کند

۱.  $>$  یک رابطه‌ی ترتیب تام باشد.

۲. اگر  $\alpha > \beta$  و  $\gamma \in \mathbb{Z}_{\geq 0}^n$  آن‌گاه  $\alpha + \gamma > \beta + \gamma$ . در این صورت  $>$  یک رابطه‌ی خوش‌ترتیبی است اگر و تنها اگر، به ازای هر  $\alpha \in \mathbb{Z}_{\geq 0}^n$  داشته باشیم،  $\alpha \geq 0$ .

برهان. رجوع کنید به [۲۳، ص، ۷۳]. □

یک ایده‌ال یکجمله‌ای می‌تواند پایه‌های یکجمله‌ای زیادی داشته باشد، ولی فقط یکی از آن‌ها فاقد هر گونه افزونگی و عنصر اضافی است که به‌صورت زیر تعریف می‌شود.

تعریف ۱۸.۲ (پایه‌ی یکجمله‌ای مینیمال). پایه‌ی یکجمله‌ای  $\{x^{\alpha_1}, \dots, x^{\alpha_s}\}$  برای یک ایده‌ال یکجمله‌ای مثل  $I$  را مینیمال گوئیم، هر گاه به ازای هر  $i \neq j$  داشته باشیم،  $x^{\alpha_i} \nmid x^{\alpha_j}$ .

گزاره ۱۹.۲. هر ایده‌ال یکجمله‌ای یک پایه‌ی یکجمله‌ای مینیمال یکتا دارد.

□

برهان. به [۲۳، ص، ۷۴] رجوع کنید.

اکنون به اندازه‌ی کافی با یکجمله‌ای‌ها و ایده‌ال‌های یکجمله‌ای آشنا شده‌ایم، در ادامه به بررسی ایده‌ال‌های چندجمله‌ای و رابطه آن‌ها با ایده‌ال‌های یکجمله‌ای می‌پردازیم. پایه گروبنر که موضوع بخش بعدی است، یک پل ارتباطی خوب بین ایده‌ال‌های چندجمله‌ای و ایده‌ال‌های یکجمله‌ای است و به وسیله‌ی آن می‌توانیم بسیاری از مسائل مطرح در ایده‌ال‌های چندجمله‌ای را با ابزارهای یکجمله‌ای حل کنیم.

## پایه‌های گروبنر

تعریف ۲۰.۲ (ایده‌ال یکجمله‌ای‌های پیشرو). فرض کنید  $I \subseteq P$  یک ایده‌ال چندجمله‌ای باشد. ایده‌ال تولید شده توسط مجموعه‌ی

$$LM(I) := \{LM(f) \mid f \in I \setminus \{0\}\}$$

را ایده‌ال یکجمله‌ای‌های پیشرو یا به اختصار ایده‌ال پیشرو  $I$  نامیده و به صورت  $\langle LM(I) \rangle$  نمایش می‌دهیم.

مجموعه  $LT(I)$  نیز مجموعه همه‌ی جملات پیشرو چندجمله‌ای‌های موجود در  $I$  را تشکیل می‌دهد. گزاره‌ی زیر بیان می‌کند که  $\langle LM(I) \rangle$  و  $\langle LT(I) \rangle$  ایده‌ال‌های یکسانی هستند.

گزاره ۲۱.۲. فرض کنید  $I \subseteq K[x_1, \dots, x_n]$  یک ایده‌ال ناصفر باشد. در این صورت گزاره‌های زیر برقرارند.

$$1. \langle LM(I) \rangle = \langle LT(I) \rangle.$$

۲. چندجمله‌ای‌های  $g_1, \dots, g_t \in I$  موجودند به طوری که  $\langle LM(I) \rangle = \langle LM(g_1), \dots, LM(g_t) \rangle$  یا بطور معادل  $\langle LT(I) \rangle = \langle LT(g_1), \dots, LT(g_t) \rangle$ .

برهان. رجوع کنید به [۲۳].

□

قضیه ۲۲.۲ (قضیه‌ی پایه‌ی هیلبرت). حلقه‌ی  $P = K[x_1, \dots, x_n]$ ، نوتری است، به عبارت دیگر هر ایده‌ال آن متناهی مولد است.

□

برهان. با توجه به گزاره‌ی ۲، قضیه‌ی قبل و الگوریتم تقسیم ۱، حکم واضح است.

لازم به ذکر است که پایه یک ایده‌ال یکتا نیست و یک ایده‌ال می‌تواند نامتناهی پایه داشته باشد.

**قضیه ۲۳.۲.** در هر حلقه جابجایی مثل  $R$  گزاره‌های زیر معادل‌اند

۱.  $R$  نوتری است.

۲. اگر  $I_1 \subseteq I_2 \subseteq I_3 \subseteq \dots \subseteq I_n \subseteq \dots$  یک زنجیر صعودی از ایده‌ال‌های  $R$  باشد،

سرانجام ایستا خواهد بود، یعنی عدد طبیعی  $N$  وجود دارد به‌طوری که  $I_N = I_{N+1} = \dots$

$$I_{N+2} = \dots$$

**برهان.** فرض کنید گزاره‌ی ۱ برقرار باشد و فرض کنید  $I_1 \subseteq I_2 \subseteq I_3 \subseteq \dots \subseteq I_n \subseteq \dots$  چون دنباله‌ی ایده‌ال‌های  $I_n$  صعودی است لذا مجموعه‌ی  $I = \bigcup_{n=1}^{\infty} I_n$  نیز یک ایده‌ال  $R$  خواهد بود. با توجه به برقراری گزاره‌ی ۱، اعضای  $f_1, \dots, f_s \in I$  موجودند به‌طوری که  $I = \langle f_1, \dots, f_s \rangle$ . چون هر یک از  $f_i$  ها در  $I$  است در نتیجه به ازای هر  $f_i$  یک  $N_i \in \mathbb{N}$  وجود دارد به‌طوری که  $f_i \in I_{N_i}$ . فرض کنید  $N = \max_{1 \leq i \leq s} N_i$ ، در این صورت به ازای هر  $i \in \{1, \dots, s\}$  داریم  $f_i \in I_N$  و در نتیجه  $I = I_N$ . چون زنجیر صعودی از ایده‌ال‌ها را دلخواه انتخاب کرده بودیم گزاره‌ی ۲ نتیجه می‌شود.

در جهت عکس، از برهان خلف استفاده می‌کنیم. فرض کنید با وجود برقراری گزاره‌ی ۲ ایده‌الی مثل  $I$  وجود دارد که متناهی مولد نیست. فرض کنید  $f_1 \in I$ ، چون  $I \neq \langle f_1 \rangle$  لذا  $f_2 \in I$  وجود دارد به‌طوری که  $f_2 \notin \langle f_1 \rangle$ . بنابراین  $\langle f_1, f_2 \rangle \subsetneq \langle f_1 \rangle$ . چون  $I$  متناهی مولد نیست می‌توانیم به‌صورت متوالی و بی‌پایان روند فوق را ادامه دهیم و یک زنجیر صعودی نایستا از ایده‌ال‌های  $R$  بسازیم، ولی این با گزاره‌ی ۲ در تناقض است.  $\square$

اکنون این سؤال پیش می‌آید که، آیا یکجمله‌ای‌های پیشرو هر پایه از ایده‌ال  $I$ ، مثل  $\langle g_1, \dots, g_s \rangle$  می‌توانند پایه‌ی برای ایده‌ال یکجمله‌ای‌های پیشرو باشند، به عبارت دیگر آیا رابطه‌ی  $\langle LT(I) \rangle = \langle LT(g_i) \rangle_{i=1}^s$  برقرار است؟ پاسخ منفی است و چنانچه در مثال زیر خواهیم دید هر پایه‌ای لزوماً چنین ویژگی را ندارد.

**مثال ۲۴.۲.** دو چندجمله‌ای  $f = x^2 - y$  و  $g = x^3 - x$  را با ترتیب الفبایی روی  $\mathbb{R}[x, y]$  در نظر بگیرید. فرض کنید  $I = \langle f, g \rangle$ . در این صورت داریم:

$$xy - x = -x \cdot f + g \Rightarrow xy - x \in I \Rightarrow xy \in \langle LM(I) \rangle.$$

از طرفی چون

$$LM(f) = x^2 \nmid xy, \quad LM(g) = x^3 \nmid xy$$

طبق لم ۱۳.۲، نتیجه می‌گیریم،  $xy \notin \langle LM(f), LM(g) \rangle$  و بنابراین  $\langle LM(f), LM(g) \rangle \neq \langle LM(I) \rangle$ .

تعریف ۲۵.۲ (پایه ی گروبنر). [۲۳] فرض کنید  $I$  یک ایده‌ال حلقه‌ی  $P = K[x_1, \dots, x_n]$  و  $>$  یک رابطه‌ی ترتیب یکجمله‌ای روی  $P$  باشد.  $G = \{g_1, \dots, g_m\}$  را پایه‌ی گروبنر یا پایه‌ی استاندارد ایده‌ال  $I$  گوئیم، هرگاه

$$\langle \text{LM}(g_1), \dots, \text{LM}(g_m) \rangle = \langle \text{LM}(I) \rangle.$$

در ضمن با توجه به قرارداد  $\langle \emptyset \rangle = \{0\}$  مجموعه‌ی  $\emptyset$  را پایه‌ی گروبنر ایده‌ال  $\{0\}$  در نظر می‌گیریم.

با توجه به این که  $\langle \text{LT}(I) \rangle = \langle \text{LM}(I) \rangle$  لذا در تعریف پایه‌ی گروبنر می‌توانیم جای  $\text{LM}(\cdot)$  را با  $\text{LM}(\cdot)$  عوض کنیم.

نتیجه ۲۶.۲. اگر  $G$  یک پایه‌ی گروبنر ایده‌ال  $I \subseteq P$  باشد، طبق لم ۱۳.۲ به ازای هر  $f_i \in I$  یک  $g_i \in G$  وجود دارد به‌طوری که،  $\text{LM}(g_i) \mid \text{LM}(f_i)$ .

سؤالی که پیش می‌آید این است که آیا هر ایده‌ال، پایه‌ی گروبنر دارد، در این صورت آیا پایه‌ی گروبنر می‌تواند مجموعه‌ی مولدی برای ایده‌ال باشد؟ قضیه‌ی زیر به این سؤال پاسخ مثبت می‌دهد.

قضیه ۲۷.۲. هر ایده‌ال  $I \subseteq P$  نسبت به هر ترتیب یکجمله‌ای دلخواه روی  $P$ ، دارای پایه‌ی گروبنر است. در ضمن هر پایه‌ی گروبنر  $I$ ، پایه‌ای برای  $I$  نیز است.

□

برهان. رجوع کنید به [۲۳].

همان‌طور که قبلاً ذکر شد، در تقسیم چندجمله‌ای  $f$  بر  $F = (f_1, \dots, f_s) \in P^s$  با اعمال یک جایگشت روی  $F$  باقی‌مانده‌ی تقسیم  $r = \bar{f}^F$  نیز ممکن بود تغییر کند، ولی یکی از ویژگی‌های خوب پایه‌ی گروبنر که در قضیه‌ی بعد نشان داده شده، این است که باقی‌مانده‌ی تقسیم بر پایه‌ی گروبنر تحت جایگشت مقسوم‌علیه‌ها ناوردا است.

قضیه ۲۸.۲. فرض کنید  $G = \{g_1, \dots, g_s\}$  یک پایه‌ی گروبنر برای ایده‌ال  $I \subseteq P$  و  $f \in P$  یک چندجمله‌ای دلخواه باشد. در این صورت باقی‌مانده‌ی تقسیم  $f$  بر  $(g_1, \dots, g_s)$  مستقل از ترتیب  $g_i$  ها، یکتا است.

برهان. فرض کنید  $r$  و  $r'$  باقی‌مانده‌های تقسیم  $f$  بر دو جایگشت دلخواه از اعضای  $G$  باشند. در این صورت چون  $r - r' \in I$  داریم:

$$\text{LT}(r - r') \in \langle \text{LM}(I) \rangle = \langle \text{LM}(g_1), \dots, \text{LM}(g_s) \rangle.$$

فرض کنید  $r \neq r'$ ، طبق لم ۱۳.۲،  $\text{LM}(r - r')$  بر یکی از  $\text{LM}(g_i)$  ها بخش‌پذیر خواهد بود، که با باقی‌مانده بودن  $r$  و  $r'$  در الگوریتم تقسیم ۱ در تناقض است. در نتیجه  $r = r'$ .

□

باقی مانده‌ی تقسیم  $f$  بر پایه‌ی گروبنری مثل  $G$  را فرم نرمال  $f$  نسبت به  $G$  نامیده و با  $NF_G(f)$  یا اگر ابهامی نباشد با  $NF(f)$  نمایش می‌دهیم. در این حالت چون باقی مانده تحت جایگشت مقسوم علیه‌ها ناوردا است،  $G$  را به جای یک لیست یا  $s$  تایی مرتب به صورت یک مجموعه در نظر می‌گیریم.

نکته ۲۹.۲. اگرچه باقی مانده‌ی تقسیم  $f$  بر  $G$  وقتی  $G$  پایه‌ی گروبنر باشد، یکتا است ولی، خارج قسمت‌ها در الگوریتم تقسیم ۱ با تغییر ترتیب مقسوم علیه‌ها تغییر خواهند کرد.

قضیه‌ی بعد نشان می‌دهد که چطور با استفاده از پایه‌ی گروبنر و الگوریتم تقسیم می‌توانیم مسئله‌ی عضویت در ایده‌ال را حل کنیم.

قضیه ۳۰.۲. فرض کنید  $G = \{g_1, \dots, g_s\}$  یک پایه‌ی گروبنر ایده‌ال  $I \subseteq P$  و  $f \in P$  یک چندجمله‌ای دلخواه باشد. در این صورت:

$$f \in I \iff \bar{f}^G = NF_G(f) = 0.$$

□

برهان. به [۲۳، ص ۸۴] رجوع کنید.

قضیه ۲۷.۲ وجود پایه‌ی گروبنر برای هر ایده‌ال چندجمله‌ای را تضمین می‌کند، ولی هیچ روشی برای به دست آوردن آن ارائه نمی‌دهد. در بخش بعدی الگوریتمی معرفی می‌کنیم که به ازای یک مولد داده شده از ایده‌ال، پایه‌ی گروبنر آن را محاسبه می‌کند.

## الگوریتم بوخبرگر

فرض کنید پایه‌ای از یک ایده‌ال داده شده است، چگونه می‌توان فهمید که پایه‌ی مورد نظر، پایه‌ی گروبنر است یا خیر؟ برای پاسخ به این سؤال باید ببینیم چه مشکلی می‌تواند خاصیت پایه‌ی گروبنر بودن یک مولد ایده‌ال را از آن سلب کند. فرض کنید  $G = \{f_1, \dots, f_m\} \subseteq P$  مولد ایده‌ال  $I$  باشد. طبق تعریف پایه‌ی گروبنر اگر  $m \in \langle \text{LM}(I) \rangle$  وجود داشته باشد به طوری که:

$$m \notin \langle \text{LM}(f_1), \dots, \text{LM}(f_m) \rangle,$$

آن گاه  $G$  پایه‌ی گروبنر ایده‌ال  $I$  نخواهد بود. اما چندجمله‌ای‌هایی مثل  $m$  چطور ممکن است بوجود بیایند؟ قبلاً در مثال ۲۴.۲ مشاهده شد که ممکن است جملات پیشرو دو چندجمله‌ای مولد  $I$ ، نظیر  $f_i$  و  $f_j$  در جملاتی مانند  $ax^\alpha$  و  $bx^\beta$  ضرب شوند و سپس در ترکیب،  $s = ax^\alpha f_i - bx^\beta f_j$ ، قرینه هم شده و حذف شوند. می‌دانیم که  $s \in I$  و در نتیجه  $\text{LM}(s) \in \langle \text{LM}(I) \rangle$ . ولی در صورتی که آن چه گفته شد رخ دهد، و جملات پیشروی دو چندجمله‌ای  $f_i$  و  $f_j$  در  $s$  حذف

شوند، آن گاه جمله‌ی پیشرو  $s$  توسط هیچ یک از جملات پیشرو  $f_i$  و  $f_j$  بخش نمی‌شود و لذا  $s \notin \langle \text{LM}(f_1), \dots, \text{LM}(f_s) \rangle$  و  $s \notin G$  پایه‌ی گروبنر نخواهد بود. بوخبرگ ثابت کرده است که فقط با حلّ همین مشکل، هر مولدی را می‌توان به یک پایه‌ی گروبنر گسترش داد.  $-S$  چندجمله‌ای‌ها روشی برای به دست آوردن ترکیباتی با خاصیت فوق هستند.

**تعریف ۳۱.۲ ( $-S$  - چندجمله‌ای).** فرض کنید  $f$  و  $g$  چندجمله‌ای‌های ناصفیری در  $K[x_1, \dots, x_n]$  و به ترتیب با یکجمله‌ای‌های پیشروی  $x^\alpha$  و  $x^\beta$  باشند و  $x^\gamma$  کوچکترین مضرب مشترک  $x^\alpha$  و  $x^\beta$  باشد. یعنی به ازای هر  $1 \leq i \leq n$  داشته باشیم،  $\gamma_i = \max(\alpha_i, \beta_i)$  که به صورت  $x^\gamma = \text{LCM}(x^\alpha, x^\beta)$  نمایش می‌دهیم. در این صورت چندجمله‌ای

$$S(f, g) := \frac{x^\gamma}{\text{LT}(f)} f - \frac{x^\gamma}{\text{LT}(g)} g$$

را  $-S$  - چندجمله‌ای  $f$  و  $g$  می‌نامیم.

تعریف  $S(f, g)$  به گونه‌ای است که  $f$  و  $g$  بعد از ضرب شدن در جملات مناسب دارای جملات پیشروی یکسان می‌شوند و سپس این جملات یکسان در ترکیب  $S(f, g)$  حذف خواهند شد. نمونه‌ای از این فرآیند در مثال زیر نشان داده شده.

**مثال ۳۲.۲.**  $f = x^3y^2 - x^2y^3 + x$  و  $g = 3x^4y + yy^2$  در  $\mathbb{Q}[x, y]$  را با ترتیب الفبایی مدرج معکوس در نظر بگیرید، در این صورت  $\gamma = (4, 2)$  و داریم:

$$\begin{aligned} S(f, g) &= \frac{x^4y^2}{x^3y^2} \cdot f - \frac{x^4y^2}{3x^4y} \cdot g \\ &= x \cdot f - \frac{1}{3} \cdot y \cdot g \\ &= -x^3y^3 - \frac{1}{3}y^3 + x^2. \end{aligned}$$

لم زیر نشان می‌دهد، هرگاه ترکیبی از چندجمله‌ای‌ها منجر به حذف جملات پیشرو شود، چنین حذفی، با  $-S$  - چندجمله‌ای‌های آن‌ها نیز قابل دستیابی است.

**لم ۳۳.۲.** فرض کنید همه‌ی جمعوندهای مجموع  $s = \sum_{i=1}^s g_i$  دارای درجه‌ی مرکب یکسان  $\delta$  باشند. اگر  $\text{multideg}(s) < \delta$ ، آن گاه  $s$  ترکیبی خطی از  $S(g_i, g_j)$  ها با  $\text{multideg}(S(g_i, g_j)) < \delta$  به ازای  $1 \leq j, k \leq s$  خواهد بود.

□

برهان. به [۲۳، ص، ۸۵] رجوع کنید.

اگر  $g_1, \dots, g_s$  در شرایط لم فوق صدق کنند در این صورت داریم:

$$\sum_{i=1}^s g_i = \sum_{j,k} c_{jk} S(g_i, g_k).$$

در سمت چپ رابطه‌ی فوق هر جمعوند دارای درجه‌ی مرکب  $\delta$  است و لذا حذف جملات قرینه و کاهش درجه مرکب بعد از عمل جمع رخ می‌دهد، در حالی که درجه‌ی مرکب هر جمعوند عبارت سمت راست کمتر از  $\delta$  است و این یعنی حذف جملات، قبل از جمع و در خود  $S$  - چندجمله‌ای‌ها رخ داده است. در نتیجه همه‌ی حذف‌های ممکن با استفاده از  $S$  - چندجمله‌ای‌ها میسر است و به همین دلیل بوخبرگر برای اطمینان از پایه‌ی گروبنر بودن یک مولد داده شده بررسی  $S$  - چندجمله‌ای‌ها را کافی می‌دانست و آزمون زیر را ارائه داد.

**قضیه ۳۴.۲ (محک بوخبرگر).** پایه‌ی  $G = \{g_1, \dots, g_s\}$  برای ایده‌ال چندجمله‌ای  $I$  یک پایه‌ی گروبنر  $I$  است، اگر و تنها اگر برای هر زوج  $(i, j)$  که  $i \neq j$ ، باقی‌مانده‌ی تقسیم  $S(g_i, g_j)$  بر  $G$  صفر باشد.

□

**برهان.** به [۲۳، ص، ۸۶] مراجعه کنید.

برای معرفی محک دیگری، برای تشخیص پایه‌ی گروبنر، مفهومی تحت عنوان تحویل یا تقلیل یافتن به صفر را به صورت زیر تعریف می‌کنیم.

**تعریف ۳۵.۲.** مجموعه‌ی چندجمله‌ای‌های  $G = \{g_1, \dots, g_s\}$  در  $K[x_1, \dots, x_n]$  را با یک ترتیب یکجمله‌ای دلخواه در نظر بگیرید. می‌گوییم چندجمله‌ای  $f$  به پیمانه‌ی  $G$  به صفر تحویل می‌یابد و با  $\circ \xrightarrow{G} f$  نمایش می‌دهیم هرگاه:

$$\exists a_1, \dots, a_s \in K[x_1, \dots, x_n] \quad f = a_1 g_1 + \dots + a_s g_s$$

به طوری که به ازای هر  $a_i g_i \neq \circ$  داشته باشیم،  $\text{LM}(f) \geq \text{LM}(a_i g_i)$ .

می‌توانیم تعریف فوق را حالت خاصی از تعریف زیر در نظر بگیریم.

با توجه به تعریف فوق اگر  $\bar{f}^G = \circ$  آن گاه  $\circ \xrightarrow{G} f$  ولی مثال زیر نشان می‌دهد عکس آن درست نیست.

**مثال ۳۶.۲.** چندجمله‌ای  $f = xy^2 - x$  و دوتایی مرتب  $G = (xy + 1, y^2 - 1)$  را در  $\mathbb{Q}[x, y]$  با ترتیب الفبایی مدرج معکوس در نظر بگیرید. با استفاده از الگوریتم تقسیم ۱،  $f$  نمایشی به صورت  $f = y \cdot (xy + 1) + \circ \cdot (y^2 - 1) + (-x - y)$  دارد و در نتیجه  $\bar{f}^G \neq \circ$ . با این حال نمایشی دیگر به صورت زیر نیز دارد

$$f = \circ \cdot (xy + 1) + x \cdot (y^2 - 1),$$

که نشان می‌دهد  $\circ \xrightarrow{G} f$ .

اکنون محک دیگری را برای پایه‌ی گروبنر با استفاده از مفهوم تحویل یافتگی معرفی می‌کنیم.

**قضیه ۳۷.۲.** پایه‌ی  $G = \{g_1, \dots, g_s\}$  برای ایده‌ال  $I$ ، یک پایه‌ی گروبنر است، اگر و تنها اگر برای هر  $i \neq j$  داشته باشیم،  $\circ \xrightarrow{G} S(g_i, g_j)$ .

□

**برهان.** به [۲۳، ص ۱۰۶] رجوع کنید.

با استفاده از محک بوخبرگر می‌توانیم پایه‌ی گروبنر بودن یک مولّد داده شده را تشخیص دهیم. اما از این روش برای تبدیل یک مولّد به پایه‌ی گروبنر نیز می‌توانیم استفاده کنیم. روش بوخبرگر برای ساختن یک پایه‌ی گروبنر برای ایده‌ال  $I$  با استفاده از یک مولّد داده شده این است که نخست  $S$  - چندجمله‌ای‌های دوبدوی مولّد‌ها را محاسبه می‌کند و سپس فرم نرمال آن‌ها نسبت به مجموعه‌ی مولّد را به دست آورده و آن‌گاه، فرم‌های نرمال غیر صفر را به مجموعه‌ی مولّد اضافه می‌کند. این روند تا جایی ادامه پیدا می‌کند که دیگر هیچ  $S$  - چندجمله‌ای با فرم نرمال غیر صفر نسبت به مولّد جدید وجود نداشته باشد. آن‌چه در نهایت به دست می‌آید پایه‌ی گروبنر ایده‌ال  $I$  است. جزئیات این روش در قضیه‌ی بعد آمده است.

**قضیه ۳۸.۲ (الگوریتم بوخبرگر).** فرض کنید  $F = (f_1, \dots, f_s) \in P^s$  و  $I$  ایده‌ال تولید شده توسط  $\{f_1, \dots, f_s\}$  باشد. در این صورت الگوریتم بوخبرگر ۲ پس از اجرای تعداد متناهی مرحله با محاسبه‌ی پایه‌ی گروبنر ایده‌ال  $I$  (نسبت به ترتیب یکجمله‌ای در نظر گرفته شده)، به پایان می‌رسد.

□

**برهان.** رجوع کنید به [۲۳].

پایه‌ی گروبنری که توسط الگوریتم ساده‌ی بوخبرگر ۲ محاسبه می‌شود معمولاً دارای افزونگی و بزرگتر از حد نیاز است، به این معنی که دارای عناصر اضافی است و همان‌طور که لم زیر نشان می‌دهد با حذف کردن چنین عناصری، مجموعه‌ی باقی‌مانده باز هم پایه‌ی گروبنر باقی خواهد ماند.

**لم ۳۹.۲.** فرض کنید  $G$  پایه‌ی گروبنر ایده‌ال  $K[x_1, \dots, x_n]$  باشد. اگر  $p \in G$  یک چندجمله‌ای باشد به طوری که  $\langle LT(G \setminus \{p\}) \rangle \in \langle LT(p) \rangle$ ، آن‌گاه  $G \setminus \{p\}$  نیز یک پایه‌ی گروبنر  $I$  است.

**برهان.** می‌دانیم که  $\langle LT(G) \rangle = \langle LT(I) \rangle$ . بنابراین اگر  $\langle LT(G \setminus \{p\}) \rangle \in \langle LT(p) \rangle$ ، آن‌گاه داریم  $\langle LT(G \setminus \{p\}) \rangle = \langle LT(G) \rangle$  و طبق تعریف پایه‌ی گروبنر،  $G \setminus \{p\}$  نیز یک پایه‌ی گروبنر است. □

فرض کنید  $G$  یک پایه‌ی گروبنر برای ایده‌ال  $I$  باشد، در این صورت با ضرب ثابت‌های مناسب در اعضای  $G$  و تبدیل ضرایب پیشرو آن به ثابت ۱ و حذف عناصری مثل  $p$  که  $LT(p) \in \langle LT(G \setminus \{p\}) \rangle$  به پایه‌ی می‌رسیم که به پایه‌ی گروبنر مینیمال معروف است. پایه‌ی گروبنر مینیمال



---

**الگوریتم ۲** الگوریتم بوخبرگر برای محاسبه‌ی پایه گروبنر
 

---

**Input:**  $F = (f_1, \dots, f_s) \in P^s$  (یک مولد برای ایده‌ال مورد نظر که به صورت یک  $s$  تایی مرتب داده شده است.)

**Output:**  $G \supseteq F$  (یک پایه‌ی گروبنر برای ایده‌ال که شامل مولد داده شده نیز است.)

```

 $G \leftarrow F$ 
 $G' \leftarrow \emptyset$ 
while  $G' \neq G$  do
   $G' \leftarrow G$ 
  for  $(f, g) \in G' \times G'$  do
    if  $\text{LM}(f) < \text{LM}(g)$  then
       $r \leftarrow \overline{S(f, g)}^{G'}$ 
      if  $r \neq 0$  then
         $G \leftarrow G \cup \{r\}$ 
      end if
    end if
  end for
end while
return  $G$ 

```

---

یک ایده‌ال ناصفر را می‌توانیم با استفاده از الگوریتم بوخبرگر ۲ و سپس اعمال لم ۳۹.۲ برای حذف عناصر زائد، محاسبه کنیم. اگر چه پایه‌ی مینیمال یکتا نیست ولی همه‌ی پایه‌های مینیمال دارای ویژگی مشترکی هستند که در نتیجه‌ی زیر آمده است.

**نتیجه ۴۰.۲.** ایده‌ال دلخواه  $I \subseteq K[x_1, \dots, x_n]$  و یک ترتیب یکجمله‌ای دلخواه را در نظر بگیرید. فرض کنید  $G = \{g_1, \dots, g_s\}$  و  $H = \{h_1, \dots, h_t\}$  دو پایه‌ی گروبنر مینیمال برای  $I$  باشند. در این صورت  $s = t$  و بعد از یک اندیس‌گذاری مجدد (در صورت نیاز)، به ازای هر  $i = 1, \dots, s$  داریم،  $\text{LT}(g_i) = \text{LT}(h_i)$ .

**برهان.** چون  $\text{LT}(G)$  و  $\text{LT}(H)$  پایه‌های گروبنر مینیمال هستند، هر دو آن‌ها، پایه‌ی یکجمله‌ای مینیمال برای ایده‌ال  $\text{LT}(I)$  هستند. از طرفی طبق قضیه‌ی ۱۹.۲ پایه‌ی یکجمله‌ای مینیمال یکتاست، در نتیجه  $\text{LT}(G) = \text{LT}(H)$ .  $\square$

می‌توان با کمی تغییر در تعریف پایه‌ی گروبنر مینیمال، پایه‌ی گروبنر تحویل یافته را به صورت زیر تعریف کرد که خود یک پایه‌ی گروبنر مینیمال و خوشبختانه یکتاست.

**تعریف ۴۱.۲ (پایه‌ی گروبنر تحویل یافته).** پایه‌ی گروبنر  $G$  برای ایده‌ال چندجمله‌ای  $I$  را پایه‌ی گروبنر تحویل یافته گوئیم هرگاه در شرایط زیر صدق کند:

۱. به ازای هر  $p \in G$  داشته باشیم  $\text{LC}(p) = 1$ .

۲. به ازای هر  $p \in G$  اگر  $m \in \text{Supp}(p)$  آن گاه  $m \notin \langle \text{LT}(G \setminus \{p\}) \rangle$ . یعنی هیچ یک از یکجمله‌ای‌های یک عضو از  $G$  بر هیچ یک از جملات پیشرو سایر اعضای  $G$  بخش پذیر نباشد.

قضیه ۲.۲. به ازای هر ایده‌ال ناصفر  $I$  از  $P$  پایه‌ی گروبنر تحویل یافته وجود دارد و یکتاست.

□

برهان. [۲۳].

لازم به ذکر است که با تغییر ترتیب یکجمله‌ای، نه تنها پایه‌ی گروبنر بلکه پایه‌ی گروبنر تحویل یافته یک ایده‌ال می‌تواند دستخوش تغییر شود. برخی از ایده‌ال‌ها دارای مولدی هستند که نسبت به هر ترتیب یکجمله‌ای دلخواه، یک پایه‌ی گروبنر است. چنین مولدی را پایه‌ی گروبنر عام گویند و هر ایده‌ال لزوماً دارای چنین مولدی نیست.

امروزه توابع کتابخانه‌ای برای محاسبه‌ی پایه‌ی گروبنر در بسیاری از سامانه‌های جبری کامپیوتری گنجانده شده. خروجی چنین توابعی پایه‌ی گروبنری است که اعضای آن مضرب ثابتی از اعضای پایه‌ی گروبنر تحویل یافته هستند و لذا پاسخ این سامانه‌ها به یک مسئله‌ی واحد جز در یک سری ضرایب ثابت تفاوت چندانی نداشته و به راحتی می‌توان پاسخ به دست آمده از یک سامانه را با پاسخ سامانه‌ی دیگر تطبیق داد.

## عوامل مؤثر در پیچیدگی الگوریتم بوخبرگر

اگرچه الگوریتم بوخبرگر، الگوریتمی دقیق و قطعی برای محاسبه‌ی پایه‌ی گروبنر یک ایده‌ال است، ولی متأسفانه همان‌طور که در [۶۷، ص. ۵۱۱] نیز اشاره شده، پیچیدگی محاسباتی آن بر حسب اندازه‌ی ورودی چندجمله‌ای نیست. ورودی الگوریتم بوخبرگر یک مولد داده شده برای ایده‌ال مورد نظر است و ما اندازه آن را با پارامترهایی نظیر ماکزیمم درجه چندجمله‌ای‌های ظاهر شده در آن و تعداد متغیرها و ماکزیمم ضریب ثابت بکار رفته در آن می‌سنجیم. از بین این موارد تعداد متغیرها و سپس ماکزیمم درجه‌ی ظاهر شده در میان چندجمله‌ای‌های ورودی، تأثیر بیشتری روی پیچیدگی الگوریتم می‌گذارند.

پیچیدگی محاسباتی الگوریتم بوخبرگر بسیار بالا است و این الگوریتم به هیچ وجه یک الگوریتم کارا برای محاسبه‌ی پایه‌ی گروبنر به شمار نمی‌رود. یکی از علت‌های رشد سریع زمان و حافظه‌ی مورد نیاز در این الگوریتم رشد سریع اندازه‌ی پایه‌ی در حال گسترش در حین اجرای الگوریتم است. این اندازه با ماکزیمم درجه‌ی چندجمله‌ای‌های ظاهر شده در محاسبه ارتباط مستقیم دارد. قضیه‌ی زیر کرانی برای این درجه ارائه می‌دهد.

قضیه ۲.۳. فرض کنید  $I$  یک ایده‌ال صفر بعدی از  $\mathbb{F}_q[x_1, \dots, x_n]$  باشد، و  $f_1, \dots, f_n$  که درجه‌ی هر یک از آن‌ها به ترتیب برابر  $d_1, \dots, d_n$  است، مولد داده شده برای این ایده‌ال باشد. در این صورت اگر  $D$  ماکزیمم درجه‌ی چندجمله‌ای‌های ظاهر شده در محاسبه‌ی پایه‌ی گروبنر باشد آن گاه

۱. به ازای ترتیب الفبایی،  $D \leq \Pi_{i=1}^n d_i$ .

۲. به ازای ترتیب الفبایی مدرج معکوس،  $D \leq 1 - n + \sum_{i=1}^n d_i$ .

□

برهان. رجوع کنید به [۳۲].

بنابراین با توجه به قضیه‌ی فوق محاسبه‌ی پایه‌ی گروبنر با استفاده از ترتیب الفبایی مدرج معکوس سریع‌تر است.

مهمترین و البته پرهزینه‌ترین بخش الگوریتم بوخبرگر ۲، بخش محاسبه‌ی  $S$  - چندجمله‌ای و فرم نرمال آن است. در واقع عامل اصلی پیچیدگی الگوریتم بوخبرگر تعداد زیاد محاسبات  $S$  - چندجمله‌ای‌ها و فرم‌های نرمال، است. الگوریتم بوخبرگر ۲ معرفی شده در بخش‌های قبل به جهت فهم بهتر، خیلی ساده بیان شد و لذا قابلیت‌های زیادی برای بهینه‌تر شدن دارد. برای مثال وقتی فرم نرمال یک  $S$  - چندجمله‌ای در یک مرحله نسبت به مولد به‌دست آمده، صفر می‌شود، بدیهی است که در سایر مراحل هم فرم نرمال آن نسبت به مولد به‌دست آمده در آن مراحل صفر است، زیرا مولد هر مرحله شامل مولد مراحل قبل است. در نتیجه به عنوان اولین بهبود، وقتی چندجمله‌ای  $f_j$  را به عنوان یک عضو جدید به پایه‌ی در حال گسترش اضافه می‌کنیم، تنها فرم‌های نرمالی که باید ناصفر بودن آن‌ها را بررسی کنیم عبارتند از  $\overline{S(f_i, f_j)}^{G'}$  به ازای  $i \leq j - 1$ ، یا یک روش معادل این است که یک مجموعه شامل همه‌ی دوتایی‌هایی از چندجمله‌ای‌ها که  $S$  - چندجمله‌ای آن‌ها باید محاسبه شود، در الگوریتم در نظر بگیریم و در هر مرحله، دوتایی‌هایی را که  $S$  - چندجمله‌ای آن‌ها بررسی می‌شود را از آن مجموعه خارج کنیم تا در مرحله‌ی بعد لازم نباشد دوباره  $S$  - چندجمله‌ای و فرم نرمال آن‌ها را محاسبه کنیم.

از عوامل دیگر مؤثر در بهبودی الگوریتم بوخبرگر می‌توانیم به موارد زیر اشاره کنیم

- ترتیب انتخاب دوتایی‌های  $(f, g)$  که فرم نرمال  $S$  - چندجمله‌ای آن‌ها باید محاسبه شود در زمان اجرا مؤثر است.

- الگوریتم‌هایی وجود دارند، [۳۳، ۱۵] که پایه‌ی گروبنر به‌دست آمده تحت یک ترتیب یکجمله‌ای را به پایه‌ی گروبنر آن ایده‌ال تحت یک ترتیب یکجمله‌ای دیگر، تبدیل می‌کنند. بنابراین می‌توانیم ابتدا پایه‌ی گروبنر را نسبت به ترتیب الفبایی مدرج معکوس که سریع‌تر است، محاسبه کنیم، سپس با استفاده از این الگوریتم‌ها نتیجه‌ی به‌دست آمده را به پایه‌ی گروبنر نسبت به ترتیبی که می‌خواهیم، تبدیل کنیم.

- می‌توان با استفاده از محک‌های دیگر، از محاسبه‌های غیر ضروری فرم‌های نرمال اجتناب کرد.

در حال حاضر، بهترین الگوریتم‌های شناخته شده برای محاسبه‌ی پایه‌ی گروبنر الگوریتم‌های F4 [۳۰] و F5 [۳۱]، از فوجر<sup>۲</sup> هستند. این الگوریتم‌ها اگرچه چندجمله‌ای نیستند، ولی زمان اجرای آن‌ها در مقایسه با سایر الگوریتم‌های پایه گروبنر کمتر است.

---

<sup>2</sup>Jean-Charles Faugère

## ۲.۲ پایه‌های مرزی

در بخش قبل دانستیم که یک ایده‌ال می‌تواند پایه‌های متفاوتی داشته باشد، و از بین آن‌ها پایه‌ی گروبنر را که دارای ویژگی‌های خوبی بود، مورد بررسی قرار دادیم. اما پایه‌ی گروبنر تنها پایه‌ی خوبی نیست که می‌شناسیم، در این بخش قصد داریم تا پایه‌ای دیگر از ایده‌ال را که پایه‌ی مرزی نام دارد مورد بررسی قرار دهیم، خواهیم دید این پایه در واقع تعمیمی از پایه‌ی گروبنر است که در آن به‌جای ترتیب‌های یکجمله‌ای از ایده‌ال ترتیبی استفاده می‌کنیم. پایه‌های مرزی از این جهت که از لحاظ عددی بهتر از پایه‌های گروبنر رفتار می‌کنند [۶۳]، نقشی کلیدی در جبر محاسباتی دارد. افرادی همچون آوزینگر<sup>۳</sup> و استتر<sup>۴</sup> [۶]، مولر<sup>۵</sup> [۵۱] و مورین<sup>۶</sup> [۵۳] تجربیات مؤفقی در استفاده از این پایه برای حل دستگاه معادلات چندجمله‌ای که ایده‌ال تولید شده توسط معادلات آن صفر بعدی باشد، داشته‌اند. این موضوع از یک سو و اعتقاد ما بر این که الگوریتم‌های یافتن پایه‌ی مرزی، میزان حافظه کم‌تری نسبت به الگوریتم‌های محاسبه‌ی پایه‌ی گروبنر مصرف می‌کنند، از سوی دیگر، انگیزه‌ی اصلی ما در مطالعه‌ی پایه‌های مرزی است. مباحث این بخش تا حد زیادی برگرفته از [۴۵] و [۴۱] است و خواننده می‌تواند برای مشاهده‌ی جزئیات بیشتر به آن‌ها رجوع کند.

### وجود و یکتایی

در پایه‌های گروبنر با مفهوم ترتیب‌های یکجمله‌ای آغاز کردیم که یک ابزار کلیدی ما در الگوریتم‌های تقسیم و الگوریتم بوخبرگر و سایر الگوریتم‌های محاسبه پایه گروبنر بود. در این جا به‌جای ترتیب یکجمله‌ای از یک مفهوم دیگر که ایده‌ال ترتیبی نام دارد استفاده می‌کنیم.

**تعریف ۴۴.۲ (ایده‌ال ترتیبی).** مجموعه‌ی ناتهی  $\mathcal{O} \subset \mathbb{T}^n$  را در نظر بگیرید.

۱. **بستار  $\mathcal{O}$**  را به‌صورت زیر تعریف می‌کنیم:

$$\overline{\mathcal{O}} := \{t \in \mathbb{T}^n \mid \exists t' \in \mathcal{O} : t \mid t'\}.$$

به عبارت دیگر  $\overline{\mathcal{O}}$  شامل همه یکجمله‌ای‌هایی است که عضوی از  $\mathcal{O}$  را بخش می‌کنند.

۲.  $\mathcal{O}$  یک **ایده‌ال ترتیبی** نامیده می‌شود هر گاه،  $\overline{\mathcal{O}} = \mathcal{O}$ .

از تعریف فوق مشخص است که ایده‌ال ترتیبی واقعاً یک ایده‌ال از حلقه‌ی  $P = K[x_1, \dots, x_n]$  نیست بلکه مجموعه‌ای از یکجمله‌ای‌هاست که تحت عامل‌های سازنده‌ی اعضایش بسته است.

<sup>3</sup>Auzinger

<sup>4</sup>Stetter

<sup>5</sup>Möller

<sup>6</sup>Mourrain

مثال ۴۵.۲. به راحتی می توان دید که مجموعه های زیر ایدهال ترتیبی هستند.

$$\mathcal{O}_1 = \{1\}, \mathcal{O}_2 = \{x_i^j : 0 \leq i \leq k, k \in \mathbb{N}\}, \mathcal{O}_3 = \{1, x_1, x_1^2, x_1 x_2, x_2\}.$$

با استفاده از یک ایدهال ترتیبی داده شده می توانیم به صورت زیر ایدهال های ترتیبی جدیدی بسازیم.

تعریف ۴۶.۲. فرض کنید مجموعه همه یکجمله ای های  $n$  متغیره با درجه کمتر یا مساوی  $d$  را با  $\mathbb{T}_{\leq d}^n$  و یکجمله ای های با درجه ی دقیقاً مساوی  $d$  را با  $\mathbb{T}_d^n$  نمایش دهیم. اکنون فرض کنید  $\mathcal{O} \subseteq \mathbb{T}^n$  یک ایدهال ترتیبی باشد.

۱. مرز ایدهال ترتیبی  $\mathcal{O}$  را به صورت زیر تعریف می کنیم:

$$\partial \mathcal{O} := \mathbb{T}^n \setminus \mathcal{O} = \{x_i t \mid 1 \leq i \leq n, t \in \mathcal{O}\} \setminus \mathcal{O}.$$

در ضمن قرارداد می کنیم که،  $\partial \emptyset := \{1\}$ .

۲. اولین بستار مرزی  $\mathcal{O}$  عبارت است از،  $\overline{\partial \mathcal{O}} := \mathcal{O} \cup \partial \mathcal{O}$ .

۳. به ازای هر  $k \geq 1$ ،  $k+1$  امین مرز  $\mathcal{O}$  را به صورت  $\partial^{k+1} \mathcal{O} = \partial(\overline{\partial^k \mathcal{O}})$  و  $k+1$  امین بستار مرزی  $\mathcal{O}$  را به صورت  $\overline{\partial^{k+1} \mathcal{O}} = \overline{\partial^k \mathcal{O}} \cup \partial^{k+1} \mathcal{O}$  تعریف می کنیم.

نتیجه ۴۷.۲.  $k$  امین بستار ایدهال ترتیبی  $\mathcal{O}$  یعنی  $\overline{\partial^k \mathcal{O}}$  به ازای هر  $k \geq 0$  یک ایدهال ترتیبی است.

با دیدن مثال زیر وجه تسمیه ی در نظر گرفتن نام مرز برای  $\partial \mathcal{O}$  روشن می شود.

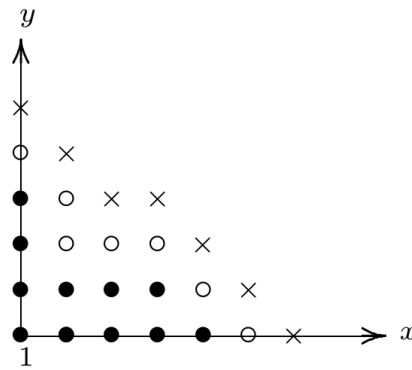
مثال ۴۸.۲. فرض کنید  $\mathcal{O} = \{1, x, y, x^2, xy, y^2, x^3, x^2y, y^3, x^4, x^3y\} \subseteq \mathbb{T}^n$ . در این صورت به راحتی می توان دید که  $\mathcal{O}$  یک ایدهال ترتیبی است. یک بصری سازی از این ایدهال ترتیبی در شکل ۲.۲ نمایش داده شده است.

گزاره ۴۹.۲ (ویژگی های اولیه ی مرز). فرض کنید  $\mathcal{O} \subseteq \mathbb{T}^n$  یک ایدهال ترتیبی باشد.

۱. به ازای هر  $k \geq 0$ ،  $\overline{\partial^k \mathcal{O}}$  اجتماع مجزای  $\partial^i \mathcal{O}$  ها است، به طوری که،  $\overline{\partial^k \mathcal{O}} = \bigcup_{i=0}^k \partial^i \mathcal{O}$ . در ضمن،  $\mathbb{T}^n = \bigcup_{i=0}^{\infty} \partial^i \mathcal{O}$ .

۲. به ازای هر  $k \geq 1$ ، داریم،  $\partial^k \mathcal{O} = \mathbb{T}_k^n \cdot \mathcal{O} \setminus \mathbb{T}_{<k}^n \cdot \mathcal{O}$ .

۳. یکجمله ای  $t \in \mathbb{T}^n$  توسط عضوی از  $\partial \mathcal{O}$  بخش می شود اگر و تنها اگر  $t \in \mathbb{T}^n \setminus \mathcal{O}$ .



شکل ۲.۲: ایده‌ال ترتیبی  $\mathcal{O}$  و مرز اول و دوم آن

**برهان.** ۱. با استقرا روی  $k$  ثابت می‌کنیم. به ازای  $k = 1$  طبق تعریف داریم،  $\overline{\partial\mathcal{O}} = \mathcal{O} \cup \partial\mathcal{O}$  که  $\mathcal{O}$  و  $\partial\mathcal{O}$  مجزا نیز هستند. فرض کنید حکم به ازای  $k$  برقرار باشد. طبق تعریف داریم:

$$\overline{\partial^{k+1}\mathcal{O}} = \overline{\partial^k\mathcal{O}} \cup \partial^{k+1}\mathcal{O},$$

که در آن  $\overline{\partial^k\mathcal{O}}$  و  $\partial^{k+1}\mathcal{O}$  نیز مجزا هستند. طبق فرض استقرا داریم  $\partial^i\mathcal{O} = \bigcup_{i=0}^k \partial^i\mathcal{O}$  و در نتیجه  $\overline{\partial^{k+1}\mathcal{O}} = \bigcup_{i=0}^{k+1} \partial^i\mathcal{O}$ . قسمت دوم گزاره از این حقیقت نتیجه می‌شود که به ازای هر  $t \in \mathbb{T}^n$  یک  $k \geq 0$  وجود دارد به‌طوری که  $t \in \partial^k\mathcal{O}$ .

۲. بر اساس تعریف  $\overline{\partial\mathcal{O}}$  می‌دانیم که  $\overline{\partial\mathcal{O}} = \mathcal{O} \cup \mathbb{T}_1^n \cdot \mathcal{O}$ . به راحتی می‌توان به صورت استقرایی ثابت کرد که،

$$\overline{\partial^{k+1}\mathcal{O}} = \overline{\partial^k\mathcal{O}} \cup \mathbb{T}_1^n \cdot \overline{\partial^k\mathcal{O}} = \overline{\partial^k\mathcal{O}} \cup \mathbb{T}_{k+1}^n \mathcal{O}.$$

از طرفی می‌دانیم که،  $\partial^{k+1}\mathcal{O} = \overline{\partial^{k+1}\mathcal{O}} \setminus \overline{\partial^k\mathcal{O}}$ ، در نتیجه داریم،

$$\begin{aligned} \partial^k\mathcal{O} &= \overline{\partial^k\mathcal{O}} \setminus \overline{\partial^{k-1}\mathcal{O}} = (\mathbb{T}_k^n \cdot \mathcal{O} \cup \overline{\partial^{k-1}\mathcal{O}}) \setminus \overline{\partial^{k-1}\mathcal{O}} = \mathbb{T}_k^n \cdot \mathcal{O} \setminus \overline{\partial^{k-1}\mathcal{O}} \\ &= \mathbb{T}_k^n \cdot \mathcal{O} \setminus (\mathbb{T}_{k-1}^n \cdot \mathcal{O} \cup \overline{\partial^{k-2}\mathcal{O}}) = \dots = \mathbb{T}_k^n \cdot \mathcal{O} \setminus \mathbb{T}_{<k}^n \cdot \mathcal{O}. \end{aligned}$$

۳. فرض کنید،  $t'$  عضوی از  $\partial\mathcal{O}$  باشد که  $t$  را بخش می‌کند، به برهان خلف فرض کنید  $t \in \mathcal{O}$  در این صورت چون  $\mathcal{O}$  یک ایده‌ال ترتیبی است، باید  $t' \in \mathcal{O}$  که با فرض  $t' \in \partial\mathcal{O}$  در تناقض است.

□

طبق قسمت (۱) گزاره ۴۹.۲ چون  $\mathbb{T}^n$  اجتماع مجزا از  $\partial^k\mathcal{O}$  هاست، هر یکجمله‌ای در  $\mathbb{T}^n$  دقیقاً در یکی از  $\partial^k\mathcal{O}$  ها قرار می‌گیرد، در نتیجه می‌توانیم به صورت زیر کمیتی را تعریف کنیم که در واقع فاصله‌ی یک یکجمله‌ای از یک ایده‌ال ترتیبی را بیان می‌کند.

**تعریف ۵۰.۲** (اندیس یک یکجمله‌ای). به ازای هر یکجمله‌ای  $t \in \mathbb{T}^n$ ، عدد یکتای  $k \in \mathbb{N}$  به طوری که  $t \in \partial^k \mathcal{O}$ ، را اندیس  $t$  نسبت به  $\mathcal{O}$  نامیده و با نماد  $\text{ind}_{\mathcal{O}}(t)$  و اگر ابهامی نباشد با  $\text{ind}(t)$  نمایش می‌دهیم. این تعریف به صورت زیر برای هر چندجمله‌ای  $f \in P \setminus \{0\}$ ، نیز قابل تعمیم است.

$$\text{ind}_{\mathcal{O}}(f) := \max\{\text{ind}_{\mathcal{O}}(t) \mid t \in \text{Supp}(f)\}.$$

در گزاره‌ی بعدی برخی از خصوصیات مفید اندیس را بیان می‌کنیم.

**گزاره ۵۱.۲.** فرض کنید  $\mathcal{O} \subseteq \mathbb{T}^n$  یک ایده‌ال ترتیبی باشد.

۱. به ازای هر  $t \in \mathbb{T}^n$  عدد  $k = \text{ind}_{\mathcal{O}}(t)$  کوچکترین عددی است که به ازای آن  $t = t't''$  به طوری که  $t'' \in \mathcal{O}$  و  $t' \in \mathbb{T}_k^n$ .

۲. به ازای هر دو یکجمله‌ای مثل  $t, t' \in \mathbb{T}^n$  داریم،  $\text{ind}_{\mathcal{O}}(tt') \leq \deg(t) + \text{ind}_{\mathcal{O}}(t')$ .

۳. به ازای هر دو چندجمله‌ای ناصفر که  $f+g \neq 0$  نابرابری،  $\text{ind}_{\mathcal{O}}(f+g) \leq \max\{\text{ind}_{\mathcal{O}}(f), \text{ind}_{\mathcal{O}}(g)\}$  برقرار است.

۴. به ازای هر دو چندجمله‌ای ناصفر  $f, g \in P$  نامساوی زیر برقرار است:

$$\text{ind}_{\mathcal{O}}(f \cdot g) \leq \min\{\deg(f) + \text{ind}_{\mathcal{O}}(g), \deg(g) + \text{ind}_{\mathcal{O}}(f)\}.$$

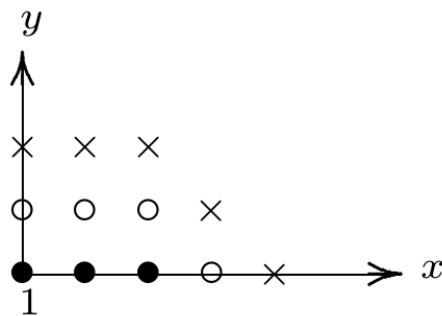
**برهان.** گزاره‌ی (۱) نتیجه‌ی مستقیم قسمت (۲) گزاره‌ی ۴۹.۲ است. برای اثبات گزاره‌ی (۲) فرض کنید  $k' = \text{ind}(t')$ ، آن گاه می‌توان گفت،  $t' = x^{\beta_1} x^{\beta_2}$  به طوری که  $x^{\beta_1} \in \mathbb{T}_{k'}^n$  و  $x^{\beta_2} \in \mathcal{O}$ . همچنین فرض کنید  $t = x^{\alpha}$  در این صورت داریم،  $tt' = x^{\alpha+\beta_1} x^{\beta_2}$ . فرض کنید  $\text{ind}(tt') = k$ ، با توجه به گزاره‌ی (۱) باید داشته باشیم،  $k < \deg(\alpha) + \deg(\beta_1)$  ولی توجه کنید که  $\deg(\beta_1) = k'$  و  $\deg(\alpha) = \deg(t)$  در نتیجه گزاره‌ی (۲) نیز برقرار است.

گزاره‌ی (۳) نتیجه‌ی مستقیم این حقیقت است که  $\text{Supp}(f+g) \subseteq \text{Supp}(f) \cup \text{Supp}(g)$ . گزاره‌ی (۴) نیز از گزاره‌ی (۲) و با استفاده از رابطه‌ی  $\text{Supp}(fg) \subseteq \{t't'' \mid t' \in \text{Supp}(f), t'' \in \text{Supp}(g)\}$  به راحتی نتیجه می‌شود.  $\square$

مثال زیر نشان می‌دهد که  $\mathcal{O}$  - اندیس با ضرب یکجمله‌ای‌ها سازگار نیست یعنی نمی‌توان در حالت کلی از برقراری  $\text{ind}_{\mathcal{O}}(t) \leq \text{ind}_{\mathcal{O}}(t')$  رابطه‌ی  $\text{ind}_{\mathcal{O}}(tt'') \leq \text{ind}_{\mathcal{O}}(t't'')$  را نتیجه گرفت و بنابراین، نمی‌توان آن را به عنوان یک ترتیب روی یکجمله‌ای‌ها در نظر گرفت.

**مثال ۵۲.۲.** فرض کنید  $\mathcal{O} = \{1, x, x^2\} \subseteq \mathbb{T}^2$ . در این صورت  $\mathcal{O}$  یک ایده‌ال ترتیبی با مرزی برابر با مجموعه‌ی  $\partial\mathcal{O} = \{y, xy, x^2y, x^3\}$  است. نمودار ۳.۲ مرز اول و دوم این ایده‌ال ترتیبی را نمایش داده است.





شکل ۳.۲: مرز اول و دوم ایده‌ال ترتیبی  $\{1, x, x^2\}$

از یک ترتیب انتظار داریم، خواهیم داشت،  $\text{ind}(x^2 \cdot y^2) > \text{ind}(x^2 \cdot y)$  بطور مشابه باوجود این که  $\text{ind}(y) = \text{ind}(x^2 y)$  ولی بعد از ضرب طرفین در  $x$  داریم،  $\text{ind}(x \cdot y) < \text{ind}(x \cdot x^2 y)$ .

چون موضوع بحث ما ایده‌ال‌های صفر بعدی هستند، لذا فرض می‌کنیم ایده‌ال‌های ترتیب و در نتیجه مرز آن‌ها متناهی هستند. البته دلیل این فرض را در ادامه خواهیم دید. بنابراین ایده‌ال ترتیبی را معمولاً به صورت  $\mathcal{O} = \{t_1, \dots, t_\mu\}$  و مرز آن را به صورت  $\partial\mathcal{O} = \{b_1, \dots, b_\nu\}$  نمایش می‌دهیم.

**تعریف ۵۳.۲ (پیش‌پایه‌ی مرزی).** فرض کنید  $\mathcal{O} = \{t_1, \dots, t_\mu\}$  یک ایده‌ال ترتیبی و  $\partial\mathcal{O} = \{b_1, \dots, b_\nu\}$  مرز آن باشد. مجموعه‌ی چندجمله‌ای‌های  $G = \{g_1, \dots, g_\nu\}$  را  $\mathcal{O}$ -پیش‌پایه‌ی مرزی گوئیم هرگاه،  $\alpha_{ij} \in K$  به ازای  $1 \leq i \leq \mu$  و  $1 \leq j \leq \nu$  موجود باشد به طوری که:

$$g_j = b_j - \sum_{i=1}^{\mu} \alpha_{ij} t_i, \quad 1 \leq j \leq \nu.$$

اکنون الگوریتمی مشابه به الگوریتم تقسیم در بحث پایه‌ی گروبنر را معرفی می‌کنیم. همان طور که الگوریتم تقسیم، در محاسبه‌ی باقی‌مانده‌ی  $S$ -چندجمله‌ای‌ها برای یافتن پایه‌ی گروبنر بکار می‌رفت، این الگوریتم نیز نقشی اساسی در آنچه در ادامه مطرح می‌کنیم خواهد داشت.

**گزاره ۵۴.۲ (الگوریتم تقسیم مرزی).** فرض کنید  $\mathcal{O} = \{t_1, \dots, t_\mu\} \subseteq \mathbb{T}^n$  یک ایده‌ال ترتیبی و  $\partial\mathcal{O} = \{b_1, \dots, b_\nu\}$  مرز آن باشد. فرض کنید  $\{g_1, \dots, g_\nu\}$  یک  $\mathcal{O}$ -پیش‌پایه و  $f \in P$  یک چندجمله‌ای دلخواه باشد. در این صورت خروجی الگوریتم ۳ با دریافت ورودی‌های  $f, \mathcal{O}, \partial\mathcal{O}, G$  پس از متناهی مرحله اجرا، چندتایی مرتب  $(f_1, \dots, f_\nu, c_1, \dots, c_\mu) \in P^\nu \times K^\mu$  خواهد بود به طوری که:

$$f = f_1 g_1 + \dots + f_\nu g_\nu + c_1 t_1 + \dots + c_\mu t_\mu$$

و به ازای هر  $i \in \{1, \dots, \nu\}$  اگر  $f_i g_i \neq 0$  آن‌گاه،  $\deg(f_i) \leq \text{ind}_{\mathcal{O}}(f) - 1$ . در ضمن نمایش فوق مستقل از انتخاب  $h_1$  در مرحله‌ی  $(*)$  است.

## الگوریتم ۳ الگوریتم تقسیم مرزی

**Input:**  $f, \mathcal{O}, \partial\mathcal{O}, \{g_1, \dots, g_\nu\}$ **Output:**  $(f_1, \dots, f_\nu, c_1, \dots, c_\mu)$  $(f_1, \dots, f_\nu, c_1, \dots, c_\mu) \leftarrow (0, \dots, 0, 0, \dots, 0)$  $h \leftarrow f$ **while**  $h \neq 0$  **do****if**  $\text{ind}_{\mathcal{O}}(h) = 0$  **then** $(c_1, \dots, c_\mu) \leftarrow \{c_i \mid h = c_1 t_1 + \dots + c_\mu t_\mu, c_i \in K, t_i \in \mathcal{O}\}$ **print****else if**  $\text{ind}_{\mathcal{O}}(h) > 0$  **then** $\{a_1 h_1, \dots, a_s h_s\} \leftarrow \{a_i h_i \mid h = a_1 h_1 + \dots + a_s h_s, a_i \in K, h_i \in \mathbb{T}^n, \text{ind}_{\mathcal{O}}(h_1) = \text{ind}_{\mathcal{O}}(h)\}(\star)$  $i \leftarrow \min\{1 \leq i \leq \nu \mid \exists t' \in \mathbb{T}^n, \deg(t') = \text{ind}_{\mathcal{O}}(h) - 1, h_1 = t' b_i\}$  $h \leftarrow h - a_1 t' g_i$  $f_i \leftarrow f_i + a_1 t'$ **end if****end while****return**  $(f_1, \dots, f_\nu, c_1, \dots, c_\mu)$ 

**برهان.** ابتدا نشان می‌دهیم، الگوریتم ۳ قابل اجرا است. در حالتی که  $\text{ind}_{\mathcal{O}}(h) = 0$  است باید داشته باشیم،  $\text{Supp}(h) \subseteq \mathcal{O}$ ، در نتیجه  $h$  نمایشی به صورت  $h = c_1 t_1 + \dots + c_\mu t_\mu$  دارد، که ازای هر  $1 \leq i \leq \mu$ ، داریم  $t_i \in \mathcal{O}$ . در حالتی که  $\text{ind}_{\mathcal{O}}(h) > 0$  طبق تعریف  $\text{ind}_{\mathcal{O}}(h) := \max\{\text{ind}_{\mathcal{O}}(h_i) \mid h_i \in \text{Supp}(h)\}$  در نتیجه به ازای یکی از یکجمله‌ای‌های  $h$  که ما آن را  $h_1$  نام می‌گذاریم، داریم  $k = \text{ind}_{\mathcal{O}}(h) = \text{ind}_{\mathcal{O}}(h_1)$  طبق قسمت (۱) گزاره‌ی ۵.۱.۲، تجزیه‌ی  $h_1$  به صورت  $h_1 = \tilde{t} t_i$  که  $\tilde{t} \in \mathbb{T}_k^n$  و  $t_i \in \mathcal{O}$  دارد، ضمن اینکه دیگر هیچ نمایشی به این صورت که در آن درجه‌ی  $\tilde{t}$  کوچکتر از درجه‌ی  $\tilde{t}$  فعلی باشد وجود ندارد. چون  $k > 0$ ،  $t' \in \mathbb{T}^n$  وجود دارد به طوری که به ازای یک  $j \in \{1, \dots, n\}$  داریم،  $\tilde{t} = t' x_j$ ، که نتیجه می‌دهد،  $\deg(t') = k - 1$ . از طرفی می‌دانیم که  $\tilde{t}$  طوری انتخاب شده که کوچکترین درجه‌ی ممکن را دارد که نتیجه می‌دهد،  $x_j t_i \in \partial\mathcal{O}$ . بنابراین  $b_k \in \partial\mathcal{O}$  وجود دارد به طوری که،  $h_1 = t'(x_j t_i) = t' b_k$ .

اکنون متناهی بودن مراحل اجرای الگوریتم را ثابت می‌کنیم. نشان می‌دهیم که شرط  $\text{ind}_{\mathcal{O}} > 0$  فقط به تعداد متناهی بار می‌تواند رخ دهد و لذا پس از متناهی مرحله یا  $\text{ind}_{\mathcal{O}}(h) = 0$  و یا  $h = 0$ . در حلقه‌ی اصلی هر بار که شرط  $\text{ind}_{\mathcal{O}}(h) > 0$  برقرار شود  $h$  با  $h - a_1 t' g_i$  به ازای یک  $i \in \{1, \dots, n\}$  جایگزین می‌شود.  $g_i$  یک عنصر از پیش‌پایه است و طبق تعریف پیش‌پایه،  $g_i = b_i - \sum_{k=1}^{\mu} \alpha_{ki} t_k$ ، به طوری که  $\alpha_{ki} \in K$ . بنابراین داریم:

$$h - a_1 t' g_i = a_1 h_1 + \dots + a_s h_s - a_1 t' b_i + a_1 t' \sum_{k=1}^{\mu} \alpha_{ki} t_k.$$

ولی با توجه به نحوه‌ی انتخاب  $h_1$  می‌دانیم که،  $a_1 h_1 = a_1 t' b_i$ ، در نتیجه  $a_1 h_1$  که اندیشش برابر

با  $\text{ind}_O(h)$  است از  $h$  حذف می‌شود و یک جمله به شکل  $t't_l \in \overline{\partial^{k-1}O}$  جایگزین آن می‌شود که طبق قسمت (۲) گزاره‌ی ۵۱.۲ نتیجه می‌گیریم،  $\text{ind}_O \leq k-1$ ، که اکیداً از اندیس قبلی  $h$  کمتر است. بدیهی است که اگر  $h$  بیش از یک جمله با  $\text{ind}_O(h)$  داشته باشد، این جملات در مراحل متوالی حذف می‌شوند. در نتیجه پس از متناهی بار اجرای الگوریتم یا  $\text{ind}_O(h)$  نزول کرده و به صفر می‌رسد یا بطور کلی  $h$  برابر با صفر می‌شود که در هر دو حالت، الگوریتم خاتمه می‌یابد. اکنون درستی خروجی الگوریتم و این که در شرایط ذکر شده صدق می‌کند را نشان می‌دهیم. نشان می‌دهیم شکل کلی رابطه‌ی

$$f = h + f_1 g_1 + \cdots + f_\nu g_\nu + c_1 + \cdots + c_\mu t_\mu. \quad (۱.۲)$$

در هر مرحله از اجرای الگوریتم برقرار است یا اصطلاحاً این رابطه تحت اجرای الگوریتم ناورداست. این رابطه در ابتدا و قبل از اجرای حلقه‌ی اصلی، که انتساب  $h \leftarrow f$  صورت می‌گیرد و همه‌ی  $c_i$  و  $f_i$  ها صفر هستند بوضوح برقرار است. نشان می‌دهیم اگر رابطه‌ی فوق در یک مرحله از اجرا برقرار باشد در مرحله‌ی بعدی هم برقرار است و لذا، طبق استقرا حکم ثابت می‌شود. فرض کنید شرط  $\text{ind}_O(h) > 0$  برقرار باشد در این صورت رابطه فوق وقتی دست‌خوش تغییر می‌شود که انتساب‌های  $h \leftarrow h - a_1 t' g_i$  و  $f_i \leftarrow f_i + a_1 t'$  در پایان حلقه‌ی اصلی رخ دهند. فرض کنید مقادیر  $h$  و  $f_i$  جدید به ازای  $i$  مورد نظر را با  $\tilde{h}$  و  $\tilde{f}_i$  نمایش دهیم، فرض کنید رابطه در مرحله‌ی قبل برقرار بوده، در نتیجه با جایگذاری مقادیر مرحله‌ی فعلی داریم:

$$\begin{aligned} f &= \tilde{h} + a_1 t' g_i + f_1 g_1 + \cdots + (\tilde{f}_i - a_1 t') g_i + \cdots + f_\nu g_\nu + c_1 t_1 + \cdots + c_\mu t_\mu \\ &= \tilde{h} + f_1 g_1 + \cdots + \tilde{f}_i g_i + \cdots + f_\nu g_\nu + c_1 + \cdots + c_\mu t_\mu \end{aligned}$$

در نتیجه شکل کلی معادله‌ی ۱.۲، در این حالت ناوردا است و تنها  $h$  و  $f_i$  با مقدارهای جدیدشان جایگزین شده‌اند. حالت دیگر این است که،  $\text{ind}_O(h) = 0$ . در این صورت  $c_i$  ها با مقادیر جدید طوری جایگزین می‌شوند که داشته باشیم،  $h = c_1 t_1 + \cdots + c_\mu t_\mu$  که در این حالت هم شکل کلی رابطه‌ی ۱.۲ برقرار می‌ماند و فقط مقادیر  $c_i$  در آن عوض می‌شوند. وقتی الگوریتم متوقف شود داریم  $h = 0$  و لذا خروجی به شکل زیر است:

$$f = f_1 g_1 + \cdots + f_\nu g_\nu + c_1 t_1 + \cdots + c_\mu t_\mu.$$

در بندهای قبل نشان دادیم که در هر مرحله، وقتی انتساب  $f_i \leftarrow f_i + a_1 t'$  صورت می‌گیرد،  $t'$  در شرط  $\deg(t') = \text{ind}_O(h) - 1$  صدق می‌کند، از طرفی  $\text{ind}_O(h)$  در ابتدا برابر  $\text{ind}_O(f)$  است و در مرحله نزول می‌کند، بنابراین به ازای هر  $1 \leq i \leq \nu$  اگر  $f_i \neq 0$ ، رابطه‌ی  $\deg(f_i) \leq \text{ind}_O(f) - 1$  نیز برقرار است.

تنها ادعای باقی‌مانده که باید ثابت کنیم این است که خروجی مستقل از نحوه‌ی انتخاب  $h_1$

است. فرض کنید در حالتی که  $\circ < \text{ind}_{\mathcal{O}}(h)$  است چند  $h_i$  در رابطه‌ی  $\text{ind}_{\mathcal{O}}(h) = \text{ind}_{\mathcal{O}}(h_i)$  صدق کنند. در این صورت فرقی ندارد کدام را به عنوان  $h_1$  انتخاب کنیم، چون در نهایت  $h_1$  با جمله‌ای جایگزین می‌شود که اندیشش اکیداً کمتر از  $\text{ind}_{\mathcal{O}}(h_1)$  است، و تداخلی در حذف سایر  $h_i$  ها در مراحل بعدی ایجاد نمی‌کند. به این ترتیب نتیجه‌ی نهایی، بعد از این که همه‌ی جملات بازنویسی می‌شوند، مستقل از ترتیب انتخاب کاندیدهای  $h_1$  است.  $\square$

**نکته ۵۵.۲.** نمایش به دست آمده از خروجی الگوریتم تقسیم مرزی ۳ از این لحاظ که به ازای هر  $t \in \text{Supp}(f_i)$  داریم،  $\text{ind}_{\mathcal{O}}(tb_i) = \text{deg}(t) + 1$  و  $\text{ind}_{\mathcal{O}}(t(g_i - b_i)) \leq \text{deg}(t)$ ، بهینه عمل می‌کند.

**مثال ۵۶.۲.** فرض کنید  $\mathcal{O} = \{t_1, t_2, t_3\} \subseteq \mathbb{T}^2$  یک ایده‌ال ترتیبی باشد به طوری که،  $t_1 = 1, t_2 = x, t_3 = y$ . مرز این ایده‌ال ترتیبی عبارت است از،  $\partial\mathcal{O} = \{b_1, b_2, b_3\}$ ، به طوری که،  $b_1 = x^2, b_2 = xy, b_3 = y^2$ . مجموعه‌ی  $G = \{g_1 = x^2 + x + 1, g_2 = xy + y, g_3 = y^2 + x + 1\}$  نیز یک  $\mathcal{O}$  - پیش پایه‌ی مرزی است. فرض کنید  $f = x^3y^2 - xy^2 + x^2 + 2$ ، در زیر مراحل تقسیم  $f$  بر  $G$  توسط الگوریتم تقسیم مرزی ۳، نشان داده شده است. برای سادگی در محاسبه‌ی اندیس مرزهای دوم تا چهارم ایده‌ال ترتیبی  $\mathcal{O}$  در زیر نشان داده شده.

$$\partial^2\mathcal{O} = \{x^3, x^2y, xy^2, y^3\}, \partial^3\mathcal{O} = \{x^4, x^3y, x^2y^2, xy^3, y^4\}, \partial^4\mathcal{O} = \{x^5, x^4y, x^3y^2, x^2y^3, xy^4, y^5\}.$$

گام‌های الگوریتم تقسیم مرزی را مطابق مراحل زیر طی می‌کنیم.

۱. قرار می‌دهیم،  $c_1 = c_2 = c_3 = \circ$ ،  $f_1 = f_2 = f_3 = \circ$  و  $h = x^3y^2 - xy^2 + x^2 + 2$ . همچنین داریم:

$$\text{Supp}(f) = \{h_1 = x^3y^2, h_2 = xy^2, h_3 = x^2, h_4 = 1\}$$

$$\text{ind}_{\mathcal{O}}(h_1) = 4, \text{ind}_{\mathcal{O}}(h_2) = 2, \text{ind}_{\mathcal{O}}(h_3) = 1, \text{ind}_{\mathcal{O}}(h_4) = \circ$$

۲.  $\circ < \text{ind}_{\mathcal{O}}(h)$  و داریم  $x^3y^2 = xy^2 \cdot b_1$  به طوری که،  $\text{deg}(xy^2) = \text{ind}(h) - 1$ . بنابراین قرار می‌دهیم  $f_1 = xy^2(x^2 + x + 1)$  و  $h = x^3y^2 - xy^2 + x^2 + 2 - xy^2(x^2 + x + 1)$ . یکجمله‌ای‌های  $h = -x^2y^2 - 2xy^2 + x^2 + 2$  به ترتیب دارای اندیس‌های  $\circ, 1, 2, 3$  هستند.

۳. همچنان شرط  $\circ < \text{ind}(h)$  برقرار است و داریم،  $x^2y^2 = y^2b_1$  به طوری که،  $\text{deg}(y^2) = \text{ind}(h) - 1$ . بنابراین  $-y^2$  را به  $f_1$  اضافه می‌کنیم که  $f_1 = xy^2 - y^2$  به دست می‌آید، برای  $h$  هم داریم،

$$h = -x^2y^2 - 2xy^2 + x^2 + 2 + y^2(x^2 + x + 1).$$

یکجمله‌ای‌های  $h = -xy^2 + x^2 + y^2 + 2$  به ترتیب دارای  $\mathcal{O}$  - اندیس‌های  $\circ, 1, 1, 2$  هستند.

۴. داریم،  $xy^2 = y \cdot b_2$  به‌طوری که  $\deg(y) = \text{ind}(h) - 1$ . قرار می‌دهیم،

$$h = -xy^2 + x^2 + y^2 + 2 + y(xy + y), f_2 = -y.$$

یکجمله‌ای‌های  $h = x^2 + 2y^2 + 2$  به ترتیب دارای  $\mathcal{O}$ -اندیس‌های  $1, 1, 0$  هستند.

۵. در این مرحله داریم  $x^2 = 1 \cdot b_1$  به‌طوری که،  $\deg(1) = \text{ind}(h) - 1$ . با افزودن  $1$  به  $f$  و کاستن  $g_1$  از  $h$  به‌دست می‌آید،  $f_1 = xy^2 - y^2 + 1$  و  $h = x^2 + 2y^2 + 2 - 1(x^2 + x + 1) = 2y^2 - x + 1$  به ترتیب دارای  $\mathcal{O}$ -اندیس  $1, 0, 0$  هستند.

۶. داریم  $y^2 = 1 \cdot b_2$  به‌طوری که  $\deg(1) = \text{ind}(h) - 1$ . با افزودن  $2$  به  $f_1$  و کاستن  $g_2$  از  $h$  به‌دست می‌آید،  $f_2 = 2$  و  $h = 2y^2 - x + 1 - 2(y^2 + x + 1) = -3x - 1$  در نتیجه  $\mathcal{O}$ -اندیس یکجمله‌ای‌های  $h$  به ترتیب برابر است با  $0, 0, 0$ .

۷. در این مرحله  $\text{ind}_{\mathcal{O}}(h) = 0$ ، و داریم  $h = -1 \cdot t_1 - 3 \cdot t_2 + 0 \cdot t_3$ . بنابراین الگوریتم متوقف شده و چندتایی  $(xy^2 - y^2 + 1, 2, 1, -3, 0)$  را به‌عنوان خروجی تولید می‌کند. به این ترتیب نمایشی به‌صورت زیر برای  $f$  به‌دست آمد

$$f = (xy^2 - y^2 + 1)g_1 - yg_2 + 2g_3 - 1t_1 - 3t_2 + 0t_3.$$

اگر ترتیب  $g_i$  ها در ورودی به‌صورت  $(g_3, g_2, g_1) = (g'_3, g'_2, g'_1) = \mathcal{G}'$  باشد، آن‌گاه خروجی زیر حاصل می‌شود

$$\begin{aligned} f &= (x^3 + x)g'_1 - 1g'_2 + (x^2 + 2)g'_3 + 1t_1 - 3t_2 - 1t_3 \\ &= (x^2 + 2)g_1 - 1g_2 + (x^3 + x)g_3 + 0t_1 + 1t_2 - 1t_3. \end{aligned}$$

که نشان می‌دهد با جایگشت روی مقسوم‌علیه‌ها خروجی تغییر خواهد کرد.

**تعریف ۵۷.۲** ( $\mathcal{O}$  -مانده نرمال یک چندجمله‌ای). فرض کنید  $\mathcal{O} = \{t_1, \dots, t_\mu\}$  یک ایده‌آل ترتیبی و  $G = \{g_1, \dots, g_\nu\}$  یک پیش‌پایه نسبت به  $\mathcal{O}$  باشد. در این صورت فرم نرمال چندجمله‌ای دلخواه  $f$  نسبت به  $\mathcal{G} = (g_1, \dots, g_\nu)$  عبارت است از

$$\text{NR}_{\mathcal{O}, \mathcal{G}} = c_1 t_1 + \dots + c_\mu t_\mu$$

که عبارت فوق همان بخش دوم، خروجی الگوریتم تقسیم مرزی در تقسیم  $f$  بر  $(g_1, \dots, g_\nu)$  است.

**نکته ۵۸.۲**. به زبان حلقه‌ها  $f$  و  $\text{NR}_{\mathcal{O}, \mathcal{G}}(f)$  هر دو متعلق به یک کلاس مانده‌ها در حلقه‌ی خارج قسمتی  $\frac{P}{\langle g_1, \dots, g_\nu \rangle}$  هستند. در ضمن اگر  $G = \{g_1, \dots, g_\nu\}$  یک  $\mathcal{O}$  پیش‌پایه باشد، مجموعه‌ی

کلاس‌های مانده  $\mathcal{O}$  همواره یک مولد برای  $K$  - فضای برداری  $\frac{P}{\langle g_1, \dots, g_\nu \rangle}$  است. زیرا به ازای هر  $\bar{f} \in \frac{P}{\langle g_1, \dots, g_\nu \rangle}$ ، طبق الگوریتم تقسیم مرزی ۳ داریم:

$$f = f_1 g_1 + \dots + f_\nu g_\nu + c_1 t_1 + \dots + c_\mu t_\mu \Rightarrow \bar{f} = c_1 \bar{t}_1 + \dots + c_\mu \bar{t}_\mu.$$

با این وجود نمی‌توان گفت  $\mathcal{O}$  همواره یک پایه‌ی این فضای برداری است. برای نمونه در مثال ۵۶.۲ داریم،  $\text{NR}_{\mathcal{O}, G'}(f) - \text{NR}_{\mathcal{O}, G}(f) = 4x - y + 1 \in \langle g_1, \dots, g_\nu \rangle$  که نشان‌دهنده‌ی وابستگی خطی اعضای  $\mathcal{O}$  است. در ادامه توجه خود را به ایده‌ال‌های ترتیبی معطوف می‌کنیم که پایه‌ای برای فضای برداری  $\frac{P}{\langle g_1, \dots, g_\nu \rangle}$  هستند.

در قضیه‌های بعدی فرض می‌کنیم  $\mathcal{O}$  یک ایده‌ال ترتیبی به صورت  $\mathcal{O} = \{t_1, \dots, t_\mu\}$ ، و  $\partial \mathcal{O} = \{b_1, \dots, b_\nu\}$  مرز آن باشد و از ذکر مجدد این موضوع خودداری می‌کنیم.

**تعریف ۵۹.۲ ( $\mathcal{O}$  - پایه‌ی مرزی).** فرض کنید  $G = \{g_1, \dots, g_\nu\}$  یک  $\mathcal{O}$  - پیش‌پایه باشد و قرار دهید  $\mathcal{G} = (g_1, \dots, g_\nu) \in P^\nu$ . در ضمن فرض کنید  $K$  - فضای خطی (برداری) تولید شده توسط  $\mathcal{O}$  را با  $\langle \mathcal{O} \rangle_K$  نمایش دهیم. ایده‌ال  $I \subseteq P$  که شامل  $G$  است را در نظر بگیرید. مجموعه‌ی  $G$  یا  $\nu$  تایی مرتب  $\mathcal{G}$  را یک  $\mathcal{O}$  - پایه‌ی مرزی ایده‌ال  $I$  گوئیم هر گاه یکی از شرط‌های معادل زیر برقرار باشد.

۱. کلاس‌های مانده  $\bar{\mathcal{O}} = \{\bar{t}_1, \dots, \bar{t}_\mu\}$  یک پایه‌ی برای  $K$  - فضای برداری  $\frac{P}{I}$  باشد.

۲.  $I \cap \langle \mathcal{O} \rangle_K = \{0\}$ .

۳.  $P$  به عنوان  $K$  - فضای برداری، جمع مستقیم  $\langle \mathcal{O} \rangle_K$  و  $K$  - فضای برداری  $I$  باشد.  $P = \langle \mathcal{O} \rangle_K \oplus I$ .

اولین سؤال‌ها بعد از تعریف یک شیء ریاضی، وجود و یکتایی آن شیء است. در فصل قبل مشاهده کردیم هر ایده‌ال نسبت به هر ترتیب یکجمله‌ای دارای پایه‌ی گروبنر است، آیا هر ایده‌ال نسبت به هر ایده‌ال ترتیبی دارای پایه‌ی مرزی است؟ آیا پایه‌ی مرزی هم همچون پایه‌ی گروبنر، مولدی برای ایده‌ال خواهد بود؟ همچنین دانستیم که پایه‌ی گروبنر تحویل‌یافته‌ی هر ایده‌ال یکتا است، آیا پایه‌ی مرزی ایده‌ال در صورت وجود یکتا است؟ این‌ها سؤالاتی است که پاسخ آن‌ها را در قضیه‌ی های بعدی خواهیم داد.

می‌دانیم پایه‌ی گروبنر هر ایده‌ال مولد برای آن ایده‌ال است قضیه‌ی بعد نشان می‌دهد پایه‌ی مرزی هم چنین است.

**قضیه ۶۰.۲.** فرض کنید  $G$  یک  $\mathcal{O}$  پایه‌ی مرزی ایده‌ال چندجمله‌ای  $I \subseteq P$  باشد. در این صورت  $G$  مولدی برای ایده‌ال  $I$  است.

**برهان.** فرض کنید  $G = \{g_1, \dots, g_\nu\}$  در این صورت طبق تعریف می‌دانیم که  $\langle g \rangle \subseteq I$ . برای اثبات شمول در جهت عکس،  $f \in I$  را دلخواه در نظر بگیرید. با استفاده از الگوریتم تقسیم مرزی ۳ داریم:

$$f = f_1 g_1 + \dots + f_\nu g_\nu + c_1 t_1 + \dots + c_\mu t_\mu,$$

به‌طوری که،  $f_1, \dots, f_\nu \in P$  و  $c_1, \dots, c_\mu \in K$ . در نتیجه کلاس مانده‌ی  $f$  در  $\frac{P}{I}$  عبارت است از،  $\bar{f} = c_1 \bar{t}_1 + \dots + c_\mu \bar{t}_\mu = 0$ . از طرفی فرض کردیم که  $G$  یک پایه‌ی مرزی است، در نتیجه کلاس‌های مانده‌ی  $\bar{t}_1, \dots, \bar{t}_\mu$  باید  $K$  مستقل خطی باشند. بنابراین  $c_1 = \dots = c_\mu = 0$  و  $f = f_1 g_1 + \dots + f_\nu g_\nu \in \langle G \rangle$ .  $\square$

روشن است که شرط لازم برای این که ایده‌ال  $I$ ، نسبت به ایده‌ال ترتیبی  $\mathcal{O}$  دارای پایه‌ی مرزی باشد این است که  $|O| = \dim_K(\frac{P}{I})$ . ولی مثال زیر نشان می‌دهد که این شرط کافی نیست.

**مثال ۶۱.۲.** فرض کنید  $P = \mathbb{Q}[x, y]$  و  $\mathbb{X} = \{(0, 0), (0, -1), (1, 0), (1, 1), (-1, 1)\} \subseteq \mathbb{Q}^2$ . ایده‌ال  $I = I(\mathbb{X})$  را در نظر بگیرید، می‌دانیم که  $\dim_K(\frac{P}{I}) = 5$ . ایده‌ال ترتیبی  $\mathcal{O} = \{1, x, x^2, x^3, x^4\}$  گرچه ۵ عضو دارد ولی  $x^3 - x \in I$  و لذا اعضایش مستقل خطی نیستند. ایده‌ال ترتیبی  $\mathcal{O} = \{1, y, y^2, y^3, y^4\}$  نیز به علت این که  $y^3 - y \in I$  اعضایش مستقل خطی نیستند. بنابراین، چنین نیست که یک ایده‌ال چندجمله‌ای نسبت به هر ایده‌ال ترتیبی دارای پایه‌ی مرزی باشد.

فرض کنید یک ایده‌ال صفر بعدی دلخواه مثل  $I \subseteq P$  داده شده است، این سؤال پیش می‌آید که اگر یک ایده‌ال ترتیبی بیابیم که کلاس‌های مانده آن در حلقه‌ی خارج قسمتی  $\frac{P}{I}$  پایه‌ای برای فضای برداری  $\frac{P}{I}$  باشد، آیا وجود  $\mathcal{O}$  - پایه‌ی مرزی تضمین خواهد شد؟ قضیه‌ی زیر به این سؤال پاسخ مثبت می‌دهد.

**قضیه ۶۲.۲ (وجود و یکتایی پایه‌ی مرزی).** فرض کنید  $I \subseteq P$  یک ایده‌ال صفر بعدی باشد و مجموعه کلاس‌های مانده اعضای  $\mathcal{O}$  تشکیل یک پایه برای  $K$  - فضای برداری  $\frac{P}{I}$  دهد. در این صورت گزاره‌های زیر برقراراند.

۱.  $I$  یک  $\mathcal{O}$  - پایه‌ی مرزی یکتا خواهد داشت.

۲. اگر  $G$  یک  $\mathcal{O}$  - پیش‌پایه‌ی مرزی و مشمول در  $I$  باشد، آن‌گاه  $G$ ،  $\mathcal{O}$  - پایه‌ی مرزی  $I$  نیز هست.

**برهان.** ۱. فرض کنید  $\mathcal{O} = \{t_1, \dots, t_\mu\}$  و  $\partial\mathcal{O} = \{b_1, \dots, b_\nu\}$ . چون  $\bar{\mathcal{O}}$  یک پایه‌ی  $K$  - فضای برداری  $\frac{P}{I}$  است، بنابراین کلاس مانده‌ی هر  $b_i \in \partial\mathcal{O}$  را می‌توان به‌صورت ترکیب خطی از اعضای  $\bar{\mathcal{O}}$  و به‌صورت زیر نوشت.

$$\bar{b}_i = \sum_{j=1}^{\mu} \alpha_{ij} \bar{t}_j$$

که  $\alpha_{ij} \in K$ . در نتیجه به ازای هر  $1 \leq i \leq \nu$  چندجمله‌ای  $g_i \in I$  وجود دارد به طوری که داریم،  $g_i = b_i - \sum_{j=1}^{\mu} \alpha_{ij} t_j$ . به این ترتیب  $G = \{g_1, \dots, g_\nu\}$  یک  $\mathcal{O}$ -پیش پایه‌ی مرزی  $I$  و با در نظر گرفتن فرض‌های قضیه یک  $\mathcal{O}$  پایه‌ی مرزی  $I$  است.

برای اثبات یکتایی با برهان خلف، فرض کنید  $G' = \{g'_1, \dots, g'_\nu\}$  یک  $\mathcal{O}$  پایه‌ی مرزی دیگر  $I$  باشد. فرض کنید یک  $i \in \{1, \dots, \nu\}$  وجود داشته باشد به طوری که،  $g'_i = b_i - \sum_{j=1}^{\mu} \alpha'_{ij} t_j$  و به ازای یک  $j \in \{1, \dots, \mu\}$  داشته باشیم،  $\alpha'_{ij} \neq \alpha_{ij}$ . در این صورت  $g_i - g'_i$  یک چندجمله‌ای ناصفر در  $I$  است، به طوری که  $\text{Supp}(g_i - g'_i) \subseteq \mathcal{O}$ . ولی این با فرض پایه بودن و در نتیجه مستقل خطی بودن کلاس‌های مانده  $\mathcal{O}$  در  $\frac{P}{I}$  در تناقض است.

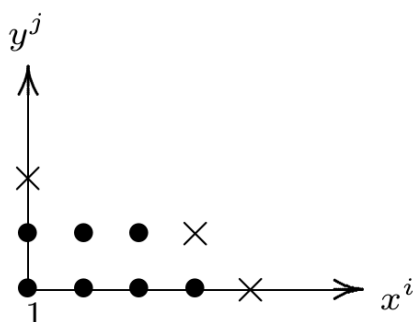
۲. نتیجه‌ی مستقیم تعریف پایه‌ی مرزی و فرض قضیه است.

□

قضیه ۶۲.۲ این اطمینان را می‌دهد که پایه‌ی مرزی در صورت وجود یکتا خواهد بود، اما سؤال مهم‌تر این است که آیا هر ایده‌ال پایه‌ی مرزی دارد؟ یا به عبارت دیگر آیا به ازای هر ایده‌ال صفر بعدی می‌توان یک ایده‌ال ترتیبی مثل  $\mathcal{O}$  یافت که در شرایط قضیه ۶۲.۲ صدق کند و در نتیجه وجود یک  $\mathcal{O}$  پایه‌ی مرزی تضمین شود؟ پاسخ این سؤال که مثبت است، در بخش بعد ضمن بررسی رابطه‌ی پایه‌ی گروبنر و پایه‌ی مرزی داده می‌شود.

## رابطه‌ی پایه‌ی گروبنر و پایه‌ی مرزی

فرض کنید  $\mathcal{O}$  یک ایده‌ال ترتیبی باشد، در این صورت  $\mathbb{T}^n \setminus \mathcal{O}$  مجموعه‌ی شامل همه‌ی یکجمله‌ای‌های یک ایده‌ال یکجمله‌ای است. طبق گزاره‌ی ۱۹.۲ می‌دانیم که هر ایده‌ال یکجمله‌ای، دارای مولد مینیمال یکتا است. اعضای این مولد مینیمال را گوشه‌های  $\mathcal{O}$  می‌نامیم. در شکل ۴.۲ یک ایده‌ال ترتیبی به همراه گوشه‌هایش نمایش داده شده، همان طور که در شکل هم مشاهده می‌شود گوشه نام با مسمایی برای چنین اعضایی است.



شکل ۴.۲: گوشه‌های یک ایده‌ال ترتیبی



**تعریف ۶۳.۲.** فرض کنید  $\sigma$  یک ترتیب یکجمله‌ای روی  $\mathbb{T}^n$  و  $I \subseteq P$  یک ایده‌ال باشد. در این صورت ایده‌ال ترتیبی متناظر با  $I$  را به صورت زیر تعریف می‌کنیم.

$$\mathcal{O}_\sigma(I) = \mathbb{T}^n \setminus \text{LM}_\sigma(I) = \mathbb{T}^n \setminus \{\text{LM}_\sigma(f) \mid f \in I\}$$

به راحتی می‌توان دید که  $\mathcal{O}_\sigma(I)$  یک ایده‌ال ترتیبی است.

**قضیه ۶۴.۲ (قضیه پایه‌ی مکالی).** فرض کنید  $P = K[x_1, \dots, x_n]$  و  $\sigma$  یک ترتیب یکجمله‌ای روی  $\mathbb{T}^n$  و  $I \subseteq P$  یک ایده‌ال دلخواه باشد. در این صورت مجموعه‌ی کلاس‌های مانده‌ی اعضای  $\mathcal{O}_\sigma(I)$  در  $\frac{P}{I}$  یعنی  $\overline{\mathcal{O}_\sigma(I)} = \{t + I \mid t \in \mathcal{O}_\sigma(I)\}$  یک پایه برای  $K -$  فضای برداری  $\frac{P}{I}$  خواهد بود.

□

**برهان.** رجوع کنید به [۴۶، ص. ۶۲].

در قضیه‌ی بعد هم به رابطه‌ی پایه‌ی مرزی با پایه‌ی گروبنر پی می‌بریم، و هم به این سؤال پاسخ می‌دهیم که، آیا برای هر ایده‌ال صفر بعدی، می‌توان ایده‌ال ترتیبی یافت که وجود پایه‌ی مرزی نسبت به آن ایده‌ال ترتیبی تضمین شده باشد؟

**قضیه ۶۵.۲.** فرض کنید  $\sigma$  یک ترتیب یکجمله‌ای روی  $\mathbb{T}^n$  باشد و  $I$  یک ایده‌ال صفر بعدی باشد، در این صورت  $I$  دارای  $-\mathcal{O}_\sigma(I)$  پایه‌ی مرزی یکتا مثل  $G$  است، که این پایه شامل پایه‌ی گروبنر تحویل یافته‌ی  $I$  نیز است. در ضمن پایه‌ی گروبنر تحویل یافته‌ی  $I$  را اعضایی از  $G$  تشکیل می‌دهند که متناظر با گوشه‌های  $\mathcal{O}_\sigma(I)$  هستند.

**برهان.** بر اساس قضیه‌ی پایه‌ی مکالی ۶۴.۲ مجموعه‌ی کلاس‌های مانده‌ی اعضای  $\mathcal{O}_\sigma(I)$  تشکیل یک پایه برای  $K -$  فضای برداری  $\frac{P}{I}$  می‌دهد. به این ترتیب طبق قضیه‌ی ۶۲.۲،  $I$  دارای یک  $-\mathcal{O}_\sigma(I)$  پایه‌ی مرزی یکتا است. برای اثبات قسمت دوم، فرض کنید  $b \in \mathbb{T}^n \setminus \mathcal{O}_\sigma(I)$  یکی از گوشه‌های  $\mathcal{O}_\sigma(I)$  باشد. عضوی از پایه‌ی گروبنر که یکجمله‌ای پیشرو آن برابر  $b$  است را در نظر بگیرد، این عضو به صورت  $f = \text{LT}(f) + h$  است که  $\text{LT}(f) = \text{LM}(f) = b$ . از طرفی داریم،  $\text{NF}_I(f) = \text{NF}_I(b) + \text{NF}_I(h) = 0$ ، در نتیجه  $f = b - \text{NF}_I(b)$ . از طرفی طبق الگوریتم تقسیم ۱، هیچ‌یک از یکجمله‌ای‌های  $\text{NF}_I(b)$  بر هیچ‌یک از یکجمله‌ای‌های پیشرو اعضای پایه‌ی گروبنر بخش پذیر نیست و لذا هر یک از یکجمله‌ای‌های آن در  $\mathcal{O}_\sigma(I)$  قرار دارند و در نتیجه  $\text{NF}_I(b)$  در  $K -$  فضای تولید شده توسط  $\mathcal{O}_\sigma(I)$  قرار دارد.

از آنجایی که  $-\mathcal{O}_\sigma(I)$  پایه‌ی مرزی  $I$  یکتا است،  $f$  همان عضوی از  $-\mathcal{O}_\sigma(I)$  - پایه‌ی مرزی متناظر با  $b$  است. □

نباید تصور کرد که فقط به ازای ایده‌ال‌های ترتیبی  $\mathcal{O} = \mathcal{O}_\sigma(I)$  می‌توانیم  $-\mathcal{O}$  پایه‌ی مرزی داشته باشیم. مثال زیر نشان می‌دهد، به ازای ایده‌ال ترتیبی  $\mathcal{O}$  که از یک ترتیب یکجمله‌ای به دست نیامده هم امکان داشتن  $-\mathcal{O}$  پایه‌ی مرزی وجود دارد.

**مثال ۶۶.۲.** فرض کنید  $I \subseteq \mathbb{F}_2[x, y]$  ایده‌ال تولید شده توسط  $\{x^2 + xy, y^2 + xy, x^3\}$  باشد. فرض کنید ایده‌ال ترتیبی را برابر با  $\mathcal{O} = \{1, x, y, xy\}$  انتخاب کنیم که نتیجه می‌شود،  $\partial\mathcal{O} = \{x^2, x^2y, xy^2, y^2\}$ . نشان می‌دهیم که  $G = \{x^2 + xy, x^2y, xy^2, y^2 + xy\}$  یک پایه‌ی مرزی برای  $I$  است که به ازای هر ترتیب یکجمله‌ای، نمی‌تواند شامل یک پایه‌ی گروبنر  $I$  باشد. از آنجایی که  $G$  یک پیش‌پایه‌ی مرزی است، طبق الگوریتم تقسیم مرزی ۳،  $\mathcal{O}$  یک مولد  $\mathbb{F}_2 -$  فضای برداری  $\frac{\mathbb{F}_2[x, y]}{I}$  است. بنابراین کافی است نشان دهیم مجموعه‌ی کلاس‌های مانده  $\mathcal{O}$  مستقل خطی است، یا بطور معادل نشان دهیم هر ترکیب خطی از اعضای  $\mathcal{O}$  که در  $I$  باشد، تمام ضرایب صفر هستند.

فرض کنید  $L = c_1 + c_2x + c_3y + c_4xy \in I$  که  $c_1, c_2, c_3, c_4 \in \mathbb{F}_2$ . یک ترکیب خطی دلخواه از اعضای  $\mathcal{O}$  باشد. ترتیب یکجمله‌ای الفبایی را در نظر بگیرید. پایه‌ی گروبنر تحویل‌یافته‌ی ایده‌ال  $I$  نسبت به این ترتیب عبارت است از:

$$GB = \{x^2 + y^2, xy + y^2, y^3\}$$

$$LM(GB) = \{x^2, xy, y^3\}$$

می‌دانیم که  $L \in I$  اگر و تنها اگر  $NF_I(L) = 0$ . با محاسبه‌ی فرم نرمال  $L$  نسبت به  $I$  داریم:

$$L' = NF_I(L) = c_1 + c_2x + c_3y + c_4y^2$$

از آنجایی که  $LM(L') = c_2x$  و  $LM(GB) = \{x^2, xy, y^3\}$  پس  $x \notin LM(GB)$  به این ترتیب  $L' = c_1 + c_3y + c_4y^2$  باز هم چون  $LM(L') = y^2 \notin LM(GB)$  نتیجه می‌گیریم،  $c_4 = 0$ . با تکرار این روند  $c_3$  و  $c_1$  هم باید صفر باشند. بنابراین  $\overline{\mathcal{O}}$  در فضای برداری  $\frac{\mathbb{F}_2[x, y]}{I}$  مستقل خطی است و طبق قضیه‌ی ۶۲.۲،  $G$  یک  $\mathcal{O}$ -پایه‌ی مرزی است.

اکنون نشان می‌دهیم  $G$  تحت هر ترتیب یکجمله‌ای نمی‌تواند شامل یک پایه‌ی گروبنر باشد. فرض کنید  $\sigma$  یک ترتیب یکجمله‌ای دلخواه باشد. اگر  $x >_\sigma y$  در این صورت  $xy = LM_\sigma(y^2 + xy) \in LM_\sigma(I)$  اگر  $x <_\sigma y$  آن‌گاه  $xy = LM_\sigma(x^2 + xy) \in LM_\sigma(I)$ . در نتیجه ایده‌ال ترتیبی  $\mathcal{O}$  تحت هر ترتیب یکجمله‌ای مثل  $\sigma$  نمی‌تواند برابر با  $\mathbb{T}^2 \setminus LM_\sigma(I)$  باشد و در نتیجه شامل پایه‌ی گروبنر نیست.

یک جمع‌بندی از مباحث فوق نشان می‌دهد که لزومی ندارد یک ایده‌ال مثل  $I$  نسبت به هر ایده‌ال ترتیبی مثل  $\mathcal{O}$  دارای پایه‌ی مرزی باشد، اما وقتی ایده‌ال  $I$  صفر بعدی است، اگر ایده‌ال ترتیبی را بر اساس یک ترتیب یکجمله‌ای دلخواه مثل  $\sigma$  به صورت  $\mathcal{O} = \mathcal{O}_\sigma(I)$  انتخاب کنیم، آن‌گاه  $\mathcal{O}$  - پایه‌ی مرزی به صورت یکتا وجود خواهد داشت و جالب‌تر این که این پایه‌ی مرزی شامل پایه‌ی گروبنر تحویل‌یافته‌ی  $I$  نسبت به ترتیب یکجمله‌ای  $\sigma$  نیز هست. این یعنی در حالتی که ایده‌ال صفر بعدی باشد، پایه‌های مرزی تعمیمی از پایه‌های گروبنر محسوب می‌شوند. از سوی

دیگر ایده‌ال‌های ترتیبی وجود دارند که پایه‌ی مرزی متناظر با آن‌ها شامل پایه‌ی گروبنر تحویل یافته نیست. در واقع تعداد پایه‌های مرزی یک ایده‌ال از تعداد پایه‌های گروبنر آن خیلی بیشتر است و این یعنی قابلیت انعطاف بیشتری در کار با پایه‌های مرزی وجود دارد.

**تعریف ۶۷.۲ (ایده‌ال ترتیبی پذیرفتنی).** فرض کنید  $I$  یک ایده‌ال و  $\mathcal{O}$  یک ایده‌ال ترتیبی باشد.  $\mathcal{O}$  را یک ایده‌ال ترتیبی پذیرفتنی برای  $I$  گوئیم، هرگاه  $I$  دارای یک  $\mathcal{O}$  - پایه‌ی مرزی باشد.

یکی از ویژگی‌های خوب پایه‌ی گروبنر، یکتایی باقی‌مانده مستقل از جایگشت مقسوم‌علیه‌ها در الگوریتم تقسیم ۱ بود، قضیه‌ی زیر نشان می‌دهد، این ویژگی بطور مشابه برای الگوریتم تقسیم مرزی و پایه‌ی مرزی نیز برقرار است.

**قضیه ۶۸.۲.** فرض کنید  $G = (g_1, \dots, g_\nu)$  یک  $\mathcal{O}$  - پایه‌ی مرزی برای ایده‌ال  $I \subseteq P$  باشد. فرض کنید  $\pi : \{1, \dots, \nu\} \rightarrow \{1, \dots, \nu\}$  یک جایگشت و  $G' = (g_{\pi(1)}, \dots, g_{\pi(\nu)})$  یک جایگشت از  $G$  باشد. در این صورت به ازای هر چندجمله‌ای  $f \in P$  داریم  $\text{NR}_{\mathcal{O}, G}(f) = \text{NR}_{\mathcal{O}, G'}(f)$ .

**برهان.** اگر  $f$  را با استفاده از الگوریتم تقسیم مرزی ۳ بر  $G$  و  $G'$  تقسیم کنیم به ترتیب خواهیم داشت:

$$f = f_1 g_1 + \dots + f_\nu g_\nu + \text{NR}_{\mathcal{O}, G}(f) = f'_1 g_1 + \dots + f'_\nu g_\nu + \text{NR}_{\mathcal{O}, G'}(f),$$

که  $f_i, f'_i \in P$ . بنابراین داریم،  $\text{NR}_{\mathcal{O}, G}(f) - \text{NR}_{\mathcal{O}, G'}(f) \in \langle \mathcal{O} \rangle_K \cap I$ . از طرفی فرض کردیم که  $G$  یک  $\mathcal{O}$  پایه‌ی مرزی  $I$  است که در این صورت داریم،  $\langle \mathcal{O} \rangle_K \cap I = \{0\}$ ، و در نتیجه  $\text{NR}_{\mathcal{O}, G}(f) = \text{NR}_{\mathcal{O}, G'}(f)$ .  $\square$

طبق قضیه‌ی ۶۲.۲،  $\mathcal{O}$  - پایه‌ی مرزی یک ایده‌ال صفر بعدی نسبت به یک ایده‌ال ترتیبی در صورت وجود یکتا است. لذا می‌توانیم فرم نرمال یک چندجمله‌ای نسبت به یک ایده‌ال ترتیبی را به صورت زیر تعریف کنیم.

**تعریف ۶۹.۲ (فرم نرمال چندجمله‌ای نسبت به ایده‌ال ترتیبی).** فرض کنید  $G = \{g_1, \dots, g_\nu\}$  یک  $\mathcal{O}$  - پایه‌ی مرزی ایده‌ال صفر بعدی  $I$  باشد. فرم نرمال چندجمله‌ای  $f \in P$  نسبت به ایده‌ال ترتیبی  $\mathcal{O}$  عبارت است از  $\text{NF}_{\mathcal{O}, I}(f) = \text{NR}_{\mathcal{O}, G}(f)$ .

**نتیجه ۷۰.۲.** اگر  $I$  یک ایده‌ال صفر بعدی و  $\mathcal{O}$  یک ایده‌ال ترتیبی پذیرفتنی برای  $I$  باشد. در این صورت  $f \in I$  اگر و تنها اگر  $\text{NF}_{\mathcal{O}, G}(f) = 0$ .

در گزاره‌ی بعدی ویژگی‌های اولیه‌ی فرم نرمال بیان شده است.

**گزاره ۷۱.۲.** فرض کنید  $I$  یک ایده‌ال صفر بعدی و  $\mathcal{O}$  یک ایده‌ال ترتیبی پذیرفتنی برای  $I$  باشد. در این صورت به ازای هر  $f, f_1, f_2 \in P$  و  $a_1, a_2 \in K$ ، گزاره‌های زیر برقرار هستند.

۱. اگر یک ترتیب یکجمله‌ای نظیر  $\sigma$  وجود داشته باشد به طوری که  $\mathcal{O} = \mathcal{O}_\sigma(I)$ ، آن‌گاه

$$NF_{\mathcal{O},I}(f) = NF_{\sigma,I}(f)$$

$$2. NF_{\mathcal{O},I}(a_1 f_1 + a_2 f_2) = a_1 NF_{\mathcal{O},I}(f_1) + a_2 NF_{\mathcal{O},I}(f_2)$$

$$3. NF_{\mathcal{O},I}(NF_{\mathcal{O},I}(f)) = NF_{\mathcal{O},I}(f)$$

$$4. NF_{\mathcal{O},I}(f_1 f_2) = NF_{\mathcal{O},I}(NF_{\mathcal{O},I}(f_1) NF_{\mathcal{O},I}(f_2))$$

برهان. می‌دانیم که همه‌ی ویژگی‌های ذکر شده از گزاره‌ی ۲ به بعد برای  $NF_{\sigma,I}(f)$  برقرار است، پس کافی است گزاره‌ی ۱ را ثابت کنیم. طبق تعریف  $\mathcal{O}$ -پایه‌ی مرزی، چون  $\mathcal{O}$  یک ایده‌ال ترتیبی پذیرفتنی برای  $I$  است لذا داریم  $\langle \mathcal{O} \rangle_K = I \oplus P$ . در نتیجه هر چندجمله‌ای مثل  $f$  نمایشی یکتا به صورت  $f = g + h$  دارد به طوری که  $g \in I$  و  $h \in \langle \mathcal{O} \rangle_K$ . از طرفی اگر  $G = \{g_1, \dots, g_\nu\}$  یک  $\mathcal{O}$ -پیش‌پایه‌ی مرزی باشد، طبق الگوریتم‌های تقسیم ۱ و تقسیم مرزی ۳،  $f$  نمایش‌هایی به صورت زیر دارد:

$$f = a_1 g_1 + \dots + a_\nu g_\nu + NF_{\sigma,I}(f), \quad a_1 g_1 + \dots + a_\nu g_\nu \in I, \quad NF_{\sigma,I}(f) \in \langle \mathcal{O} \rangle_K.$$

$$f = f_1 g_1 + \dots + f_\nu g_\nu + NF_{\sigma,I}(f), \quad f_1 g_1 + \dots + f_\nu g_\nu \in I, \quad NF_{\sigma,I}(f) \in \langle \mathcal{O} \rangle_K.$$

چون نمایش  $f$  به صورت ذکر شده در بند قبل، باید یکتا باشد لذا  $NF_{\sigma,I}(f) = NF_{\mathcal{O},I}(f)$ .  $\square$

مثال زیر دو وجه برتری مهم پایه‌های مرزی نسبت به پایه‌ی گروبنر را نشان می‌دهد.

مثال ۷۲.۲. فرض کنید  $P = \mathbb{Q}[x, y]$  و  $I = \langle \frac{1}{4}x^2 + y^2 - 1, x^2 + \frac{1}{4}y^2 - 1 \rangle$ . فرض کنید  $\varepsilon$  یک عدد کوچک باشد و ایده‌ال  $\tilde{I}$  را به صورت زیر در نظر بگیریم:

$$\tilde{I} = \langle \frac{1}{4}x^2 + y^2 + \varepsilon xy - 1, x^2 + \frac{1}{4}y^2 + \varepsilon xy - 1 \rangle.$$

در این صورت ایده‌ال ترتیبی  $\mathcal{O} = \{1, x, y, xy\}$  یک ایده‌ال ترتیبی پذیرفتنی برای هر دو ایده‌ال  $I$  و  $\tilde{I}$  است. می‌خواهیم بین پایه‌های گروبنر و مرزی  $I$  و  $\tilde{I}$  مقایسه‌ای داشته باشیم. فرض کنید برای محاسبه‌ی پایه‌ی گروبنر تحویل یافته از ترتیب یکجمله‌ای الفبایی مدرج معکوس استفاده کنیم. در این صورت پایه‌ی گروبنر  $I$  و  $\tilde{I}$  را که به ترتیب با  $GB$  و  $\tilde{GB}$  نمایش می‌دهیم عبارتند از:

$$GB = \{x^2 - \frac{4}{5}, y^2 - \frac{4}{5}\}$$

$$\tilde{GB} = \{x^2 - y^2, xy + \frac{5}{4\varepsilon}y^2 - \frac{1}{\varepsilon}, y^3 - \frac{16\varepsilon}{16\varepsilon^2 - 25}x + \frac{20}{16\varepsilon^2 - 25}y\}.$$

همان طور که مشاهده می‌شود وقتی  $\varepsilon$  از مقدار  $\circ$  در ایده‌ال  $I$  به یک مقدار ناچیز در ایده‌ال  $\tilde{I}$  تغییر می‌کند، پایه‌ی گروبنر به سبب وجود جمله‌ی  $\frac{5}{4\varepsilon}$  دچار تغییرات بسیار بزرگی خواهد شد که نشان دهنده‌ی ناپایداری پایه‌ی گروبنر نسبت به تغییرات کوچک در مولد داده شده است. اکنون  $O$ -پایه‌ی مرزی  $I$  و  $\tilde{I}$  را که به ترتیب با  $B$  و  $\tilde{B}$  نمایش داده‌ایم در زیر مشاهده کنید.

$$B = \{x^2 - \frac{4}{5}, x^2y - \frac{4}{5}y, xy^2 - \frac{4}{5}x, y^2 - \frac{4}{5}\}.$$

$$\tilde{B} = \{x^2 + \frac{4}{5}\varepsilon xy - \frac{4}{5}, xy^2 - \frac{16\varepsilon}{16\varepsilon^2 - 25}x + \frac{20}{16\varepsilon^2 - 25}y, \\ xy^2 + \frac{20}{16\varepsilon^2 - 25}x - \frac{16\varepsilon}{16\varepsilon^2 - 25}y, y^2 + \frac{4}{5}\varepsilon xy - \frac{4}{5}\}.$$

در این حالت وقتی ضرایب  $xy$  از مقدار صفر در ایده‌ال  $I$  به یک مقدار ناچیز در  $\tilde{I}$  تغییر می‌کند، پایه‌ی مرزی به‌طور پیوسته تغییر می‌کند، یعنی اگر تغییرات  $\varepsilon$  ناچیز باشد، تغییرات پایه‌ی مرزی هم ناچیز خواهد بود، به همین جهت است که می‌گویند پایه‌های مرزی از لحاظ عددی رفتاری پایدارتر از پایه‌های گروبنر دارند. وجه دیگر برتری پایه‌ی مرزی نسبت به پایه‌ی گروبنر حفظ تقارن است. مولد ایده‌ال  $I$  دارای تقارن است، یعنی اگر جای  $x$ ،  $y$  را در آن عوض کنیم، شکل مولد تغییر نمی‌کند، همان طور که مشاهده می‌شود پایه‌ی مرزی تقارن را حفظ کرده به‌طوری که  $B$  نیز متقارن است، ولی پایه‌ی گروبنر تقارن را از بین برده و می‌بینیم که  $GB$  متقارن نیست.

با وجود این که حفظ تقارن و پایداری دو وجه برتری پایه‌های مرزی نسبت به پایه‌های گروبنر هستند، اما این دو ویژگی انگیزه‌ی اصلی ما از استفاده از پایه‌های مرزی در رمزنگاری نیست، بلکه ما ویژگی‌های دیگری از پایه‌ی مرزی را مد نظر داریم که در ادامه آن‌ها را بیان خواهیم کرد.

**نکته ۷۳.۲.** وقتی  $O$  یک ایده‌ال ترتیبی پذیرفتنی برای ایده‌ال  $I$  باشد، داریم  $P = I \oplus \langle O \rangle_K$ . در نتیجه به ازای هر ایده‌ال ترتیبی پذیرفتنی دیگر مثل  $O'$  داریم،

$$|O| = \dim_K(\langle O \rangle_K) = \dim_K(\langle O' \rangle_K) = |O'|.$$

وقتی  $I$  یک ایده‌ال صفر بعدی است یعنی  $\dim_K(\frac{P}{I})$  متناهی است ولی می‌دانیم که  $\dim_K(\frac{P}{I}) = \dim(\langle O \rangle_K)$ ، بنابراین صفر بعدی بودن  $I$  متناهی بودن  $|O|$  و در نتیجه متناهی بودن  $|\partial O|$  را به دنبال دارد و بالعکس. ایده‌ال‌های مورد مطالعه‌ی ما در رمزنگاری ایده‌ال‌های صفر بعدی هستند به همین دلیل است که ایده‌ال‌های ترتیبی را متناهی در نظر می‌گیریم.

## شناسایی پایه‌ی مرزی

در این بخش ابتدا با تقلید از روش‌های شناسایی پایه‌های گروبنر که در فصل قبل بیان شد، روش‌هایی را برای شناسایی پایه‌های مرزی ارائه می‌کنیم. سپس با روش‌هایی برای شناسایی پایه‌های مرزی آشنا می‌شویم که مشابهی در پایه‌های گروبنر ندارند.

**گزاره ۷۴.۲.** فرض کنید  $\mathcal{O}$  یک ایده‌ال ترتیبی پذیرفتنی برای ایده‌ال صفر بعدی  $I \subseteq P$  باشد. در ضمن فرض کنید  $G = \{g_1, \dots, g_\nu\}$  یک  $\mathcal{O}$ -پیش‌پایه‌ی  $I$  باشد. در این صورت  $G$  یک  $\mathcal{O}$ -پایه‌ی مرزی  $I$  است، اگر و تنها اگر یکی از شرط‌های معادل زیر برقرار باشد.

۱. به ازای هر  $f \in I \setminus \{0\}$ ، چندجمله‌ای‌های  $f_1, \dots, f_\nu \in P$  وجود داشته باشند به‌طوری که:

$$f = f_1 g_1 + \dots + f_\nu g_\nu \wedge (f_i \neq 0 \Rightarrow \deg(f_i) \leq \text{ind}_{\mathcal{O}}(f) - 1).$$

۲. به ازای هر  $f \in I \setminus \{0\}$ ، چندجمله‌ای‌های  $f_1, \dots, f_\nu \in P$  وجود داشته باشند، به‌طوری که:

$$f = f_1 g_1 + \dots + f_\nu g_\nu, \max\{\deg(f_i) \mid i \in \{1, \dots, \nu\}, f_i \neq 0\} = \text{ind}_{\mathcal{O}}(f) - 1.$$

□

**برهان.** به [۴۵، ص. ۴۳۱]، رجوع کنید.

ما پایه‌های گروبنر را به عنوان پایه‌هایی از ایده‌ال می‌شناختیم که مجموعه‌ی جملات پیشرو اعضای آن مولدی برای ایده‌ال پیشرو بود. در پایه‌های مرزی مفهوم مشابهی تحت عنوان فرم مرزی جایگزین یکجمله‌ای‌های پیشرو می‌شود و به دنبال آن ایده‌الی تحت عنوان ایده‌ال تولید شده توسط فرم‌های مرزی را تعریف می‌کنیم، تا بوسله‌ی آن ویژگی‌ای مشابه با پایه‌های گروبنر، برای پایه‌های مرزی تعریف کنیم.

**تعریف ۷۵.۲.** چندجمله‌ای دلخواه  $f = a_1 u_1 + \dots + a_s u_s$  را که  $a_1, \dots, a_s \in K \setminus \{0\}$  و  $u_1, \dots, u_s \in \mathbb{T}^n$  را طوری مرتب کرده‌ایم که،  $\text{ind}_{\mathcal{O}}(u_1) \geq \dots \geq \text{ind}_{\mathcal{O}}(u_s)$ .

۱. چندجمله‌ای  $\text{BF}_{\mathcal{O}}(f) = \sum_{\{i \mid \text{ind}_{\mathcal{O}}(u_i) = \text{ind}_{\mathcal{O}}(f)\}} a_i u_i$  را **فرم مرزی**  $f$  نسبت به  $\mathcal{O}$  می‌نامیم و برای  $f = 0$  قرارداد می‌کنیم که  $\text{BF}_{\mathcal{O}}(f) = 0$ .

۲. به ازای ایده‌ال  $I \subseteq P$ ، ایده‌ال  $\langle \text{BF}_{m\mathcal{O}} \rangle$  را **ایده‌ال فرم‌های مرزی**  $I$  نسبت به  $\mathcal{O}$  می‌نامیم.

برای مثال اعضای یک  $\mathcal{O}$ -پیش‌پایه‌ی مرزی  $I$  مثل  $G = \{g_1, \dots, g_\nu\}$  دارای فرم‌های مرزی  $\text{BF}_{\mathcal{O}}(g_i) = b_i$  هستند.

**گزاره ۷۶.۲.** فرض کنید  $\mathcal{O} = \{t_1, \dots, t_\mu\}$  یک ایده‌ال ترتیبی پذیرفتنی برای ایده‌ال صفر بعدی  $I$  و  $G = \{g_1, \dots, g_\nu\}$  یک  $\mathcal{O}$ -پیش‌پایه‌ی ایده‌ال  $I$  باشد. در این صورت  $G$  یک  $\mathcal{O}$ -پایه‌ی مرزی  $I$  است، اگر و تنها اگر یکی از شرایط معادل زیر برقرار باشد.

$$1. \forall f \in I : \text{Supp}(\text{BF}_O) \subseteq \mathbb{T}^n \setminus O$$

$$2. \langle \text{BF}_O(I) \rangle = \langle \text{BF}_O(g_1), \dots, \text{BF}_O(g_\nu) \rangle = \langle b_1, \dots, b_\nu \rangle$$

**برهان.** ابتدا نشان می‌دهیم که  $O$  - پایه‌ی مرزی بودن  $G$  گزاره‌ی (۱) را نتیجه می‌دهد. با برهان خلف فرض کنید چندجمله‌ای  $f \in I \setminus \{0\}$  وجود دارد به‌طوری که،  $\text{Supp}(\text{BF}_O(f)) \cap O \neq \emptyset$  در این صورت  $\text{Supp}(f) \subseteq O$  یا به عبارت دیگر  $c_1, \dots, c_\mu \in K$  وجود دارند که  $f = c_1 t_1 + \dots + c_\mu t_\mu$ . در این صورت فرض  $O$  - پایه‌ی مرزی بودن  $G$  لازم می‌دارد که  $c_1 = \dots = c_\mu = 0$  که با فرض  $f \neq 0$  در تناقض است.

در این مرحله ثابت می‌کنیم گزاره‌ی (۱) گزاره‌ی (۲) را نتیجه می‌دهد. به ازای هر  $i \in \{1, \dots, \nu\}$  چون  $g_i \in I$  خواهیم داشت،  $b_i \in \langle \text{BF}_O(I) \rangle$  و در نتیجه  $\langle b_1, \dots, b_\nu \rangle \subseteq \langle \text{BF}_O(I) \rangle$ . برای اثبات شمول در جهت عکس فرض کنید  $f \in I \setminus \{0\}$  دلخواه باشد. طبق گزاره‌ی (۱)،  $\text{Supp}(\text{BF}_O(f)) \subseteq \mathbb{T}^n \setminus O$ . در نتیجه هر یکجمله‌ای از  $\text{BF}_O(f)$  توسط یکی از اعضای  $\partial O$  بخش می‌شود. بنابراین  $\text{BF}_O \in \langle b_1, \dots, b_\nu \rangle$ .

برای کامل شدن اثبات نشان می‌دهیم که گزاره‌ی (۲)،  $O$  - پایه‌ی مرزی بودن  $G$  را نتیجه می‌دهد. کافی است نشان دهیم مجموعه‌ی کلاس‌های مانده اعضای  $O$  به پیمانه‌ی ایده‌ال  $I$  مستقل خطی است. فرض کنید  $c_1, \dots, c_\mu \in K$  وجود داشته باشند به‌طوری که  $f = c_1 t_1 + \dots + c_\mu t_\nu \in I$  در این صورت همه‌ی یکجمله‌ای‌های  $f$  دارای اندیس صفر هستند و لذا  $f = \text{BF}_O(f)$ . طبق گزاره‌ی (۲) داریم  $f \in \langle b_1, \dots, b_\nu \rangle$ ، از این رو به ازای هر  $c_i \neq 0$  یکجمله‌ای  $t_i$  توسط یکی از  $b_j$  ها بخش می‌شود که این امکان پذیر نیست و در نتیجه باید داشته باشیم،  $c_1 = \dots = c_\mu = 0$ .  $\square$

فرض کنید  $O = \{t_1, \dots, t_\mu\}$  یک ایده‌ال ترتیبی و  $G = \{g_1, \dots, g_\nu\}$  یک  $O$  - پیش پایه باشد. فرض کنید  $f \in P$  و  $t \in \text{Supp}(f)$  مضربی از یک یکجمله‌ای مرزی باشد یعنی  $b_i \in \partial O$  وجود داشته باشد به‌طوری که  $t = t' b_i$ . اگر  $c \in K$  ضریب  $t$  در  $f$  باشد، آنگاه چندجمله‌ای  $h = f - ct' g_i$  فاقد یکجمله‌ای  $t$  خواهد بود، در این صورت می‌گوییم  $f$  در یک گام به به‌وسیله‌ی  $g_i$  به  $h$  تحویل یافته، و با  $h \xrightarrow{g_i} f$  نمایش می‌دهیم. به بیان ساده تحت این رابطه‌ی تحویل هر جایی که یک یکجمله‌ای مرزی مثل  $b_j$  وجود داشت به جای آن  $\sum_{i=1}^{\mu} \alpha_{ij} t_i$  را قرار می‌دهیم.

بستار تعدی و بازتابی رابطه‌های  $\xrightarrow{g_i}$  به ازای  $i \in \{1, \dots, \nu\}$  را، رابطه‌ی بازنویسی وابسته به  $G$  گوئیم و با  $\xrightarrow{G}$  نمایش می‌دهیم. به عبارت دیگر  $f \xrightarrow{G} h$  اگر و تنها اگر  $i_1, \dots, i_t \in \{1, \dots, \nu\}$  و  $h_0, \dots, h_t \in P$  وجود داشته باشند به‌طوری که،

$$f = h_0 \xrightarrow{g_{i_1}} h_1 \xrightarrow{g_{i_2}} \dots \xrightarrow{g_{i_t}} h_t = h.$$

**مثال ۷۷.۲.** فرض کنید  $P = \mathbb{Q}[x, y]$  و  $O = \{1, x, y, x^2, y^2\}$ . در این صورت  $O$  یک ایده‌ال ترتیبی با مرز  $\partial O = \{xy, x^3, x^2 y, xy^2, y^3\}$  است. در ضمن  $G = \{g_1, \dots, g_5\}$  که  $g_1 = xy - x^2 - y^2$ ،  $g_2 =$

نشان داده شده.  $g_5 = y^3$  و  $x^3, g_3 = x^2y, g_4 = xy^2$  یک  $\mathcal{O}$ -پیش پایه‌ی مرزی است. زنجیری از تحویل‌ها در زیر

$$x^2y \xrightarrow{g_1} x^3 + xy^2 \xrightarrow{g_2} xy^2 \xrightarrow{g_1} x^2y + y^3 \xrightarrow{g_5} x^2y.$$

این فرآیند به صورت نامتناهی می‌تواند ادامه یابد.

**گزاره ۷۸.۲.** فرض کنید  $G$  یک  $\mathcal{O}$ -پیش پایه برای ایده‌ال صفر بعدی  $I$  باشد، در این صورت  $G$  یک  $\mathcal{O}$ -پایه‌ی مرزی  $I$  است اگر و تنها اگر گزاره‌ی زیر برقرار باشد.

$$\forall f \in P : (f \xrightarrow{G} 0 \iff f \in I).$$

□

**برهان.** به [۴۵، ص. ۴۳۳] رجوع کنید.

در ادامه قصد داریم راهی برای شناسایی پایه‌ی مرزی ارائه دهیم که مشابهی در پایه‌ی گروبنر ندارد. برای این کار لازم است تا یک شیء جدید تعریف کنیم.

**تعریف ۷۹.۲ (ماتریس ضربی استاندارد).** فرض کنید  $\mathcal{O} = \{t_1, \dots, t_\mu\}$  یک ایده‌ال ترتیبی و  $G = \{g_1, \dots, g_\nu\}$  یک  $\mathcal{O}$ -پیش پایه‌ی مرزی باشد به طوری که به ازای  $i = 1, \dots, \mu$  و  $j = 1, \dots, \nu$  داشته باشیم،  $g_j = b_j - \sum_{i=1}^{\mu} \alpha_{ij} t_i$ . به ازای  $r \in \{1, \dots, n\}$  داده شده، که  $n$  تعداد متغیرهای حلقه‌ی چندجمله‌ای است،  $r$  امین ماتریس ضربی استاندارد  $G$  را با  $\mathcal{X}_r = (\xi_{kl}^{(r)})$  نمایش داده و به صورت زیر تعریف می‌کنیم:

$$\xi_{kl}^{(r)} = \begin{cases} \delta_{ki}, & x_r t_l = t_i \\ \alpha_{kj}, & x_r t_l = b_j \end{cases}$$

در رابطه‌ی فوق هر گاه  $k = i$  آن گاه  $\delta_{ki} = 1$  و در غیر این صورت  $\delta_{ki} = 0$ . به عبارت دیگر برای به دست آوردن  $r$  امین ماتریس ضربی استاندارد  $G$  متغیر  $x_r$  را به ازای هر  $i \in \{1, \dots, \mu\}$  در  $t_i \in \mathcal{O}$  ضرب می‌کنیم، اگر  $x_r t_i = b_j$  و حاصل یک یکجمله‌ای مرزی بود و  $g_j = b_j - \sum_{k=1}^{\mu} \alpha_{kj} t_k$  آن گاه ستون  $i$  ام ماتریس  $\mathcal{X}_r$  را با  $(\alpha_{1j}, \dots, \alpha_{\mu j})$  پر می‌کنیم. اگر  $x_r t_i = t_j$  آن گاه ستون  $i$  ام  $\mathcal{X}_r$  را با بردار یکه‌ی  $j$  ام پر می‌کنیم.

**قضیه ۸۰.۲.** فرض کنید  $\mathcal{O} = \{t_1, \dots, t_\mu\}$  یک ایده‌ال و  $G = \{g_1, \dots, g_\nu\}$  یک  $\mathcal{O}$ -پیش پایه‌ی ایده‌ال  $I = \langle g_1, \dots, g_\nu \rangle$  باشد. در این صورت  $G$  یک  $\mathcal{O}$ -پایه‌ی مرزی  $I$  است اگر و تنها اگر ضرب دوبه دو ماتریس‌های ضربی استاندارد  $G$  خاصیت جابجایی داشته باشد، یعنی

$$\forall 1 \leq i \leq j \leq n : \mathcal{X}_i \mathcal{X}_j = \mathcal{X}_j \mathcal{X}_i.$$

□

**برهان.** به [۴۵، ص. ۴۳۴]، مراجعه کنید.



مثال ۸۱.۲. فرض کنید  $P = \mathbb{Q}[x, y]$  و  $\mathcal{O} = \{1, x, y, x^2, y^2\}$ . مرز  $\mathcal{O}$  عبارت است از  $\partial\mathcal{O} = \{xy, x^3, y^3, x^2y, xy^2\}$ . مجموعه‌ی چندجمله‌ای‌های  $G = \{g_1, \dots, g_5\}$  که  $g_1 = xy - x^2 - y^2$ ,  $g_2 = x^3 - x^2$ ,  $g_3 = y^3 - y^2$ ,  $g_4 = x^2y - x^2$  و  $g_5 = xy^2 - y^2$ ، یک  $\mathcal{O}$ -پیش‌پایه‌ی مرزی ایده‌ال  $I = \langle g_1, \dots, g_5 \rangle$  است. ماتریس‌های ضربی  $G$  عبارتند از

$$\mathcal{X} = \begin{pmatrix} 0 & 0 & 0 & 0 & 0 \\ 1 & 0 & 0 & 0 & 0 \\ 0 & 0 & 0 & 0 & 0 \\ 0 & 1 & 1 & 1 & 0 \\ 0 & 0 & 1 & 0 & 1 \end{pmatrix} \quad \mathcal{Y} = \begin{pmatrix} 0 & 0 & 0 & 0 & 0 \\ 0 & 0 & 0 & 0 & 0 \\ 1 & 0 & 0 & 0 & 0 \\ 0 & 1 & 0 & 1 & 0 \\ 0 & 1 & 1 & 0 & 1 \end{pmatrix}$$

که ضرب آن‌ها خاصیت جابجایی ندارد، زیرا

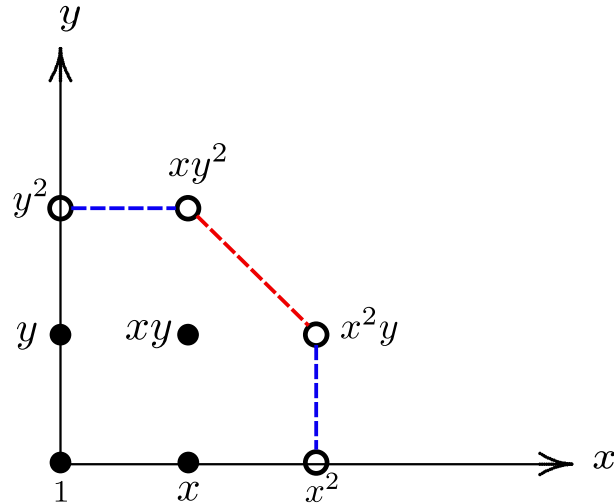
$$\mathcal{X} \cdot \mathcal{Y} = \begin{pmatrix} 0 & 0 & 0 & 0 & 0 \\ 0 & 0 & 0 & 0 & 0 \\ 0 & 0 & 0 & 0 & 0 \\ 1 & 1 & 0 & 1 & 0 \\ 1 & 1 & 1 & 0 & 1 \end{pmatrix} \neq \mathcal{Y} \cdot \mathcal{X} = \begin{pmatrix} 0 & 0 & 0 & 0 & 0 \\ 0 & 0 & 0 & 0 & 0 \\ 0 & 0 & 0 & 0 & 0 \\ 1 & 1 & 1 & 1 & 0 \\ 1 & 0 & 1 & 0 & 1 \end{pmatrix}$$

در نتیجه طبق قضیه ۸۰.۲، یک  $\mathcal{O}$ -پایه‌ی مرزی نیست.

در ادامه قصد داریم تا محکی مشابه محک بوخبرگر برای شناسایی پایه‌های گروبر را، برای پایه‌های مرزی ارائه کنیم، ولی قبل از آن لازم است تا دو مفهوم جدید را تعریف کنیم.

تعریف ۸۲.۲ (همسایگی). فرض کنید  $\mathcal{O}$  یک ایده‌ال ترتیبی و  $b_i, b_j \in \partial\mathcal{O}$  دو یکجمله‌ای مرزی آن باشند.  $b_i$  و  $b_j$  را همسایه گوئیم هرگاه  $x_k$  و  $x_l$  وجود داشته باشند به‌طوری که،  $b_i = x_k b_j$  یا  $x_k b_i = x_l b_j$ .

مثال ۸۳.۲. فرض کنید  $\mathcal{O} = \{1, x, y, xy\}$ ، در نتیجه داریم  $\partial\mathcal{O} = \{x^2, x^2y, xy^2, y^2\}$ . همان‌طور که در شکل ۵.۲ مشاهده می‌شود  $(x^2, x^2y)$  و  $(y^2, xy^2)$  و  $(x^2y, xy^2)$  همسایه هستند.



شکل ۵.۲: یکجمله‌ای‌های مرزی همسایه

**تعریف ۸۴.۲** ( $S$  - چندجمله‌ای). فرض کنید  $G$  یک  $\mathcal{O}$  - پیش‌پایه‌ی مرزی باشد و  $g_i, g_j \in G$  به‌طوری که  $g_i = b_i - \sum_k^\mu \alpha_{ki} t_k$  و  $g_j = b_j - \sum_k^\mu \alpha_{kj} t_k$  در این صورت  $S$  - چندجمله‌ای  $g_i$  و  $g_j$  به‌صورت زیر تعریف می‌شود.

$$S_{ij} = \left( \frac{\text{LCM}(b_i, b_j)}{b_i} \right) \cdot g_i - \left( \frac{\text{LCM}(b_i, b_j)}{b_j} \right) \cdot g_j.$$

**نکته ۸۵.۲.** فرض کنید  $G$  یک  $\mathcal{O}$  - پیش‌پایه‌ی مرزی باشد و  $g_i, g_j \in G$  و  $b_i$  و  $b_j$  همسایه باشند.

۱. اگر به ازای یک  $x_k$  داشته باشیم  $b_j = x_k b_i$  آن‌گاه  $S_{ij} = g_j - x_k g_i$ .

۲. اگر به ازای  $x_k, x_l$  داشته باشیم  $x_k b_i = x_l b_j$  آن‌گاه  $S_{ij} = x_k g_i - x_l g_j$ .

همان‌طور که مشاهده می‌شود، در هر دو حالت داریم  $\text{Supp}(S_{ij}) \subseteq \mathcal{O} \cup \partial\mathcal{O}$ . بنابراین  $a_1, \dots, a_\mu \in K$  وجود دارند به‌طوری که

$$\text{NR}_{\mathcal{O}, G}(S_{ij}) = S_{ij} - \sum_{m=1}^\mu a_m g_m \in I \wedge \text{Supp}(\text{NR}_{\mathcal{O}, G}(S_{ij})) \subseteq \mathcal{O}.$$

در این صورت اگر  $G$  یک  $\mathcal{O}$  - پایه‌ی مرزی باشد، نتیجه می‌گیریم که  $\text{NR}_{\mathcal{O}, G}(S_{ij}) = 0$ .

**قضیه ۸۶.۲** (محک بوخبرگر برای پایه‌های مرزی). فرض کنید  $\mathcal{O} = \{t_1, \dots, t_\mu\}$  یک ایده‌ال ترتیبی و  $G = \{g_1, \dots, g_\nu\}$  یک  $\mathcal{O}$  - پیش‌پایه‌ی مرزی ایده‌ال  $I$  باشد. در این صورت  $G \subseteq I$  یک  $\mathcal{O}$  - پایه‌ی مرزی  $I$  است اگر و تنها اگر یکی از شرط‌های معادل زیر برقرار باشد.

۱. به ازای هر  $1 \leq i \leq j \leq \nu$ ، داشته باشیم  $S(g_i, g_j) \xrightarrow{G} 0$ .

۲. به ازای هر  $\{i, j\}$ ، اگر  $b_i$  و  $b_j$  همسایه باشند آن‌گاه  $S(g_i, g_j) \xrightarrow{G} 0$ .

۳. به ازای هر  $\{i, j\}$  اگر  $b_i$  و  $b_j$  همسایه باشند آن‌گاه  $\circ \text{NR}_{\mathcal{O}, G}(S_{ij}) = \circ$ .

۴. به ازای هر  $\{i, j\}$ ، که  $b_i$  و  $b_j$  همسایه هستند، ثابت‌های  $c_1, \dots, c_\nu \in K$  وجود دارند به‌طوری که

$$S(g_i, g_j) = c_1 g_1 + \dots + c_\nu g_\nu.$$

□

برهان. به [۴۵، ص. ۴۳۸]، رجوع کنید.

## الگوریتم‌های محاسبه‌ی پایه‌ی مرزی

این بخش از نظر ما مهمترین بخش مرتبط با پایه‌های مرزی است چرا که دلیل ترجیح ما در استفاده از پایه‌ی مرزی نسبت به پایه‌ی گروبنر در الگوریتم‌های محاسبه‌ی پایه‌ی مرزی نهفته است.

همان طور که قضیه‌ی ۶۵.۲ بیان می‌کند، پایه‌های مرزی تعمیمی از پایه‌های گروبنر برای ایده‌ال‌های صفربعدی هستند. در ابتدای این قسمت الگوریتمی تحت عنوان الگوریتم تغییر پایه را معرفی می‌کنیم، که با استفاده از محاسبه‌ی پایه‌ی گروبنر قادر است پایه‌ی مرزی را نیز محاسبه کند. نتیجه‌ی ضمنی این الگوریتم این است که محاسبه‌ی پایه‌ی مرزی نباید سخت‌تر از محاسبه‌ی پایه‌ی گروبنر باشد.

قضیه ۸۷.۲ (الگوریتم تغییر پایه). فرض کنید  $I \subseteq P$  یک ایده‌ال چندجمله‌ای صفربعدی و  $\mathcal{O}$  یک ایده‌ال ترتیبی باشد. الگوریتم ۴ با دریافت  $\mathcal{O}$  ابتدا مجاز بودن  $\mathcal{O}$  برای ایده‌ال  $I$  را بررسی می‌کند، در صورتی که  $\mathcal{O}$  مجاز نباشد توقف کرده و مجاز نبودن  $\mathcal{O}$  را به عنوان خروجی تولید می‌کند در غیر این صورت، پس از متناهی مرحله اجرا،  $\mathcal{O}$  - پایه‌ی مرزی یکتای  $I$  را محاسبه می‌کند.

---

**الگوریتم ۴** الگوریتم تغییر پایه برای محاسبه پایه مرزی
 

---

**Input:**  $I$  ایده‌ال  $\mathcal{O} = \{t_1, \dots, t_\mu\}$  و مولدی برای ایده‌ال  $I$

**Output:**  $G = \{g_1, \dots, g_\nu\}$  یک  $\mathcal{O}$ -پایه‌ی مرزی برای ایده‌ال  $I$  است.

یک ترتیب یکجمله‌ای  $\sigma \leftarrow$

$\mathcal{O}_\sigma(I) \leftarrow \mathbb{T}^n \setminus \text{LM}_\sigma(I)$

**if**  $|\mathcal{O}_\sigma(I)| \neq \mu$  **then**

    اندازه‌ی  $\mathcal{O}$  برای داشتن پایه‌ی مرزی کافی نیست

**return**

**end if**

$\{s_1, \dots, s_\mu\} \leftarrow \mathcal{O}_\sigma(I)$

**for**  $m \in \{1, \dots, \mu\}$  **do**

$\sum_{i=1}^{\mu} \tau_{im} s_i \leftarrow \text{NF}_{\sigma, I}(t_m)$

**end for**

ماتریسی که با  $\tau_{im}$  ها پر شده.  $\mathcal{T} \leftarrow [\tau_{im}]_{1 \leq i, m \leq \mu}$

**if**  $\det(\mathcal{T}) = 0$  **then**

    یک ایده‌ال ترتیبی پذیرفتنی نیست

**return**

**end if**

$\{b_1, \dots, b_\nu\} \leftarrow \partial \mathcal{O}$

**for**  $j \in \{1, \dots, \nu\}$  **do**

$\sum_{i=1}^{\mu} \beta_{ij} s_i \leftarrow \text{NF}_{\sigma, I}(b_j)$

**end for**

$\mathcal{B} \leftarrow [\beta_{ij}]_{1 \leq i \leq \mu, 1 \leq j \leq \nu}$

$[\alpha_{ij}]_{\mu \times \nu} \leftarrow \mathcal{T}^{-1} \mathcal{B}$

**for**  $j \in \{1, \dots, \nu\}$  **do**

$g_j \leftarrow \sum_{i=1}^{\mu} \alpha_{ij} t_i$

**end for**

**return**  $\{g_1, \dots, g_\nu\}$

---

**برهان.** متناهی بودن مراحل اجرا بدیهی است و فقط صحت خروجی الگوریتم را ثابت می‌کنیم. طبق قضیه‌ی پایه‌ی مکالی ۶۴.۲،  $|\mathcal{O}_\sigma(I)| = \dim_K(\frac{P}{I})$ . بنابراین وقتی شرط  $|\mathcal{O}| \neq |\mathcal{O}_\sigma(I)|$  برقرار نیست الگوریتم با چاپ پیام «اندازه‌ی  $\mathcal{O}$  کافی نیست» خاتمه می‌یابد. همچنین طبق قضیه‌ی پایه‌ی مکالی کلاس‌های مانده اعضای  $\mathcal{O}_\sigma(I)$  یک پایه برای فضای برداری  $\frac{P}{I}$  است. در گامی که  $\text{NF}_{\sigma, I}(t_m)$  ها محاسبه می‌شوند، در واقع نمایش  $\bar{t}_i$  ها نسبت به پایه‌ی  $\bar{\mathcal{O}}_\sigma(I) = \{\bar{s}_1, \dots, \bar{s}_\mu\}$  برای

$\frac{P}{T}$  به صورت زیر به دست می‌آید:

$$\forall 1 \leq i \leq \mu : \bar{t}_i = \tau_{1i}\bar{s}_1 + \dots + \tau_{\mu i}\bar{s}_\mu$$

نمایش ماتریسی رابطه‌ی فوق به صورت  $(\bar{t}_1 \dots \bar{t}_\mu) = (\bar{s}_1 \dots \bar{s}_\mu)T$  است. بنابراین  $\bar{O}$  یک پایه برای فضای برداری  $\frac{P}{T}$  است، اگر و تنها اگر  $T$  معکوس پذیر باشد. از طرفی روابط زیر در  $\frac{P}{T}$  برقرار است.

$$\bar{b}_j = (\bar{s}_1 \dots \bar{s}_\mu) \begin{pmatrix} \beta_{1j} \\ \vdots \\ \beta_{\mu j} \end{pmatrix} = (\bar{t}_1 \dots \bar{t}_\mu) T^{-1} \begin{pmatrix} \beta_{1j} \\ \vdots \\ \beta_{\mu j} \end{pmatrix}.$$

□ که نشان می‌دهد خروجی الگوریتم یک  $O$  پایه‌ی مرزی برای  $I$  است.

الگوریتم فوق که توسط کروزر و کرین در سال ۲۰۰۶ در [۴۱] معرفی شد، شبیه الگوریتم شناخته شده‌ی FGLM [۳۳] است، چرا که هر دو الگوریتم به ازای یک پایه‌ی گروبنر داده شده، با استفاده از تغییر پایه‌ی فضای برداری، پایه‌ای دیگر برای ایده‌ال محاسبه می‌کنند. با این حال بین الگوریتم تغییر پایه و FGLM یک تفاوت اساسی وجود دارد، الگوریتم FGLM از پایه‌ی گروبنر داده شده تحت یک ترتیب یکجمله‌ای مثل  $\sigma$  یکجمله‌ای‌های ایده‌ال ترتیبی  $O_\tau$  نسبت به ترتیب یکجمله‌ای جدید  $\tau$  را جمله به جمله محاسبه می‌کند، در حالی که الگوریتم تغییر پایه در فوق ایده‌ال ترتیبی  $O$  را بطور کامل از ورودی دریافت می‌کند.

الگوریتم تغییر پایه ۴، گرچه روشی سراسر است برای محاسبه‌ی پایه‌ی مرزی تحت یک ایده‌ال ترتیبی پذیرفتنی، محسوب می‌شود ولی بدلیل محاسبه‌ی پایه‌ی گروبنر برای محاسبه‌ی فرم‌های نرمال و یا  $O_\sigma(I)$ ، تمام پیچیدگی‌های محاسبه‌ی پایه‌ی گروبنر را همراه دارد، که اصلاً مطلوب نیست، ضمن این که ایده‌ال ترتیبی به جای این که در الگوریتم محاسبه شود، یکی از ورودی‌ها است و ما تمایل داریم الگوریتمی طراحی کنیم که هم ایده‌ال ترتیبی و هم پایه‌ی مرزی متناظر با آن را محاسبه کند.

فرض کنید یک مجموعه‌ی مولد مثل  $F = \{f_1, \dots, f_m\}$  برای ایده‌ال صفر بعدی  $I$  داده شده است، هدف ما این است که الگوریتمی داشته باشیم که با دریافت  $F$  یک ایده‌ال ترتیبی پذیرفتنی برای  $I$  مثل  $O$  و یک  $O$  - پایه‌ی مرزی برای  $I$  تولید کند.

در سال ۱۹۹۹ مورین الگوریتمی ارائه داد [۵۳]، که قادر بود به ازای یک مولد داده شده از یک ایده‌ال صفر بعدی، پایه‌ای موسوم به پایه‌ی مورین که مفهومی کلی‌تر از پایه‌ی مرزی است را برای ایده‌ال مورد نظر محاسبه کند. این الگوریتم برای محاسبه‌ی پایه‌ی مرزی طراحی نشده بود و

خروجی آن لزوماً یک پایه‌ی مرزی نبود. هفت سال بعد از آن یعنی سال ۲۰۰۶، مارتین کروزر<sup>۷</sup> و آکیم کرین<sup>۸</sup> با الهام گرفتن از الگوریتم مورین، الگوریتمی برای محاسبه‌ی پایه‌ی مرزی ایده‌ال‌های صفر بعدی ارائه دادند [۴۱]، که در ادامه قصد داریم الگوریتم آن‌ها را مورد بررسی قرار دهیم.

**تعریف ۸۸.۲ (گسترش همسایگی).** فرض کنید  $P = K[x_1, \dots, x_n]$  و  $V \subseteq P$  یک زیر فضای برداری از  $P$  باشد. گسترش همسایگی  $V$  را به صورت زیر تعریف می‌کنیم.

$$V^+ := V + x_1 V + \dots + x_n V.$$

واضح است که  $V^+$  نیز یک فضای برداری در  $P$  است. برای یک مجموعه‌ی متناهی از چندجمله‌ای‌ها  $\mathcal{F} = \{f_1, \dots, f_r\}$  نیز گسترش همسایگی، به صورت زیر تعریف می‌شود.

$$\mathcal{F}^+ := \mathcal{F} \cup x_1 \mathcal{F} + \dots + x_n \mathcal{F}.$$

**نکته ۸۹.۲.** فرض کنید  $V \subseteq P = K[x_1, \dots, x_n]$  یک زیر فضای برداری و  $\mathcal{F}$  یک مجموعه از چندجمله‌ای‌ها باشد. اگر  $\langle \mathcal{F} \rangle_K = V$  آن گاه،  $\langle \mathcal{F}^+ \rangle_K = V^+$ . زیرا عمل ضرب در یک متغیر نظیر  $x_i$  در فضای برداری  $P$ ، یک تبدیل  $K$ -خطی است. در نتیجه برای گسترش همسایگی یک زیر فضای برداری مثل  $V$  کافی است همسایگی یک مجموعه‌ی مولد  $K$ -خطی آن را گسترش دهیم.

برای سادگی و فهم بهتر، ابتدا الگوریتم اصلی را به الگوریتم‌های کوچکتر تبدیل می‌کنیم و پس از این که هر یک از الگوریتم‌های کوچکتر را شرح دادیم، در نهایت الگوریتم اصلی برای محاسبه‌ی پایه‌ی مرزی را شرح خواهیم داد. ولی قبل از آن بهتر است ایده‌ی اصلی و نقشه راه را بدانیم. هدف ما محاسبه‌ی پایه‌ی مرزی یک ایده‌ال صفر بعدی است، بنابراین اولین گام یافتن یک ایده‌ال ترتیبی پذیرفتنی برای ایده‌ال مورد نظر است. به همین دلیل ابتدا الگوریتم‌هایی را معرفی می‌کنیم که به ازای یک مجموعه‌ی مولد داده شده برای ایده‌ال مورد نظر، قادرند یک ایده‌ال ترتیبی پذیرفتنی برای ایده‌ال تولید کنند. ایده‌ی

**تعریف ۹۰.۲ (فضای برداری  $L$  - پایا).** فرض کنید  $F \subseteq L$  زیرفضاهای برداری  $P = K[x_1, \dots, x_n]$  باشند. در این صورت فضای برداری  $F$  را  $L$  - پایا گوییم هرگاه  $F^+ \cap L = F$ .

**تعریف ۹۱.۲ (پوشش  $L$  - پایا).** فرض کنید  $F \subseteq L$  زیرفضاهای برداری  $P$  باشند. پوشش  $L$  - پایای  $F$ ، عبارت است از کوچکترین فضای برداری شامل  $F$  مثل  $V$  به طوری که  $V$ ،  $L$  - پایا باشد، یعنی  $V^+ \cap L = V$ .

<sup>7</sup>Martin Kreuzer

<sup>8</sup>Achim Kehrein

گاهی اوقات یک فضای برداری  $L$  - پایا را فضای برداری پایا نسبت به  $L$  و به همین ترتیب پوشش  $L$  - پایای یک فضای برداری را پوشش پایای آن فضا نسبت به فضای  $L$  نیز می‌گوییم.

مثال ۹۲.۲. در زیر مثال‌هایی از فضاهای پایا نسبت به یک فضای برداری، آمده است.

۱.  $L$  به ازای هر زیرفضای  $P$  مثل  $L$ ، خود  $L$  یک فضای برداری  $L$  - پایا است.

۲. فرض کنید  $S = \{1, x, y, x^2y^2, y^3\} \subseteq P[x, y]$  و قرار دهید،  $\langle S \rangle_K =$  در این صورت  $\langle x + y, x^2, y^2, y^3 \rangle_K$  یک فضای  $L$  - پایا است ولی  $\langle x + y, x^2 \rangle_K$  چنین نیست.

یک روش سرراست برای ساختن یک پوشش  $L$  - پایا برای یک زیرفضای برداری  $F$  به صورت زیر است:

$$F_{\circ} := F \wedge \forall k \in \mathbb{Z}_{\geq 0} : F_{k+1} = F_k^+ \cap L$$

در این صورت  $F_L = \bigcup_{k \geq 0} F_k$  یک پوشش  $L$  - پایا برای  $F$  خواهد بود. در حالتی که  $\mathcal{F} := \{f_1, \dots, f_s\}$  یک مجموعه‌ی متناهی از چندجمله‌ای‌ها باشد، آن‌گاه  $F = \langle \mathcal{F} \rangle_K$ ،  $K$  - فضای خطی تولید شده توسط  $\mathcal{F}$  است که یک زیرفضای  $P$  است، در این حالت پوشش  $L$  - پایای  $F$  را با  $F_L$  هم نمایش می‌دهیم.

در حالت خاصی که  $L = P$  باشد آن‌گاه، پوشش  $L$  - پایای  $\langle \mathcal{F} \rangle_K$  همان ایده‌ال تولید شده توسط چندجمله‌ای‌های  $\mathcal{F}$  خواهد بود، یعنی  $F_P = \langle f_1, \dots, f_r \rangle$ . البته ما برای محاسبات واقعی به همیشه  $L$  را به جای یک زیرفضای  $P$  با بعد متناهی در نظر می‌گیریم. در ادامه خواهید دید که الگوریتم‌های محاسبه‌ی پایه‌ی مرزی طوری طراحی شده‌اند که تمام محاسبات در فضای  $L$  انجام می‌شود و هیچ‌گاه عضوی خارج از فضای  $L$  در محاسبات ظاهر نخواهد شد، به همین خاطر به  $L$  فضای محاسباتی هم می‌گویند. در ادامه با برخی از ویژگی‌های اولیه‌ی پوشش‌های پایا آشنا خواهیم شد.

لم ۹۳.۲. فرض کنید  $F \subseteq G \subseteq L$  زیرفضاهایی از فضای برداری  $P = K[x_1, \dots, x_n]$  باشند. در این صورت داریم:

$$F \subseteq F_L, F_L = (F_L)_L, F_L \subseteq G_L, F_U \subseteq F_L, F_L = (F_U)_L.$$

□

برهان. به لم ۱۱ از [۴۱]، رجوع کنید.

ویژگی آخر از لم ۹۳.۲، یعنی  $F_L = (F_U)_L$  نشان می‌دهد که به جای محاسبه‌ی پوشش  $U$  - پایا از همان ابتدا می‌توانیم پوشش  $L$  - پایا  $F$  را محاسبه کنیم.

یکی از مراحل الگوریتم اصلی برای محاسبه‌ی پایه‌ی مرزی، توسیع پایه‌ی یک فضای برداری است. فرض کنید  $\mathcal{V}$  پایه‌ی فضای برداری  $\langle \mathcal{V} \rangle_K \in P$  و مجموعه‌ای از چندجمله‌ای‌ها باشد و

بخواهیم این پایه را به پایه‌ای برای فضای  $\langle \mathcal{V} \cup \mathcal{G} \rangle_K$  گسترش دهیم، برای این کار می‌توانیم از الگوریتم حذف گاوس که جزئیات آن در لم بعد توضیح داده شده استفاده کنیم.

**لم ۹۴.۲ (الگوریتم حذف گاوس در  $K$ -فضای برداری  $K[x_1, \dots, x_n]$ ).** فرض کنید  $\sigma$  یک ترتیب یکجمله‌ای و  $\mathcal{V} = \{v_1, \dots, v_r\} \subseteq P \setminus \{0\}$  مجموعه‌ای متناهی از چندجمله‌ای‌های باشد به طوری که، ضرب پیشرو همه‌ی چندجمله‌ای‌های آن ۱ باشد و هر دو چندجمله‌ای از آن دارای یکجمله‌ای‌های پیشرو متمایز باشند. فرض کنید  $\mathcal{G} = \{g_1, \dots, g_s\} \subseteq P$ . الگوریتم GaussEL مجموعه‌ی  $\mathcal{W} \subseteq P$  را طوری محاسبه می‌کند که ضرب پیشرو همه‌ی چندجمله‌ای‌های آن ۱ است و هر دو چندجمله‌ای از  $\mathcal{V} \cup \mathcal{W}$  دارای یکجمله‌ای پیشرو متمایز هستند و در ضمن  $\langle \mathcal{V} \cup \mathcal{W} \rangle_K = \langle \mathcal{V} \cup \mathcal{G} \rangle_K$ . (مجموعه‌ی  $\mathcal{V}$  یا  $\mathcal{W}$  می‌تواند تهی باشد).

---

### الگوریتم ۵ الگوریتم حذف گاوس برای چندجمله‌ای‌ها - GaussEL

---

**ورودی**  $\mathcal{V}$  و  $\mathcal{G}$  به صورتی که در لم شرح داده شده.

**خروجی**  $\mathcal{W}$  به صورتی که در لم شرح داده شده.

۱: قرار دهید  $\mathcal{H} := \mathcal{G}$  و  $\eta := 0$

۲: اگر  $\mathcal{H} = \emptyset$  آن‌گاه  $\mathcal{W} := \{v_{r+1}, \dots, v_{r+\eta}\}$  و الگوریتم متوقف می‌شود.

۳:  $f \in \mathcal{H}$  را انتخاب کرده و آن را از  $\mathcal{H}$  حذف می‌کنیم و قرار می‌دهیم  $i := 1$ .

۴: اگر  $f = 0$  یا  $i > r + \eta$  آن‌گاه به گام ۷ می‌رویم.

۵: اگر  $\text{LM}_\sigma(f) = \text{LM}_\sigma(v_i)$  آن‌گاه  $f$  را با  $f - \text{LM}_\sigma(f) \cdot v_i$  جایگزین کرده و قرار می‌دهیم،  $i := i + 1$  و به گام ۴ می‌رویم.

۶: مقدار  $i$  را یک‌واحد افزایش داده و به گام ۴ می‌رویم.

۷: اگر  $f \neq 0$  آن‌گاه  $\eta$  را یک‌واحد افزایش داده و قرار می‌دهیم  $v_{r+\eta} := \frac{f}{\text{LM}_\sigma(f)}$  و با گام ۲ ادامه می‌دهیم.

---

□

**برهان.** به لم ۱۲ [۴۱]، رجوع کنید.

دلیل این که در الگوریتم GaussEL شرط کردیم که اعضای پایه‌ی  $\mathcal{V}$  دوه‌دو دارای یکجمله‌ای پیشرو متمایز باشند این است که اگر  $\mathcal{V} = \{v_1, \dots, v_r\}$  پایه‌ای برای زیرفضای  $V \subseteq P$  با خصوصیت ذکر شده باشد، آن‌گاه  $\text{LM}_\sigma(V) := \{\text{LM}_\sigma(v) \mid v \in V \setminus \{0\}\}$  با  $\text{LM}_\sigma(\mathcal{V}) := \{\text{LM}_\sigma(v_1), \dots, \text{LM}_\sigma(v_r)\}$  برابر خواهد شد.

**تعریف ۹۵.۲ (ترتیب یکجمله‌ای سازگار با درجه).** ترتیب یکجمله‌ای  $\sigma$  روی  $\mathbb{T}^n$  را سازگار با درجه گوئیم هرگاه به ازای هر  $t_1, t_2 \in \mathbb{T}^n$ ، اگر  $t_1 \geq_\sigma t_2$  آن‌گاه  $\deg(t_1) \geq \deg(t_2)$ .

برای مثال ترتیب الفبایی مدرج و الفبایی مدرج معکوس ترتیب‌های یکجمله‌ای سازگار با درجه هستند.



با استفاده از الگوریتم GaussEL، در گزاره‌ی بعدی الگوریتمی برای محاسبه‌ی پوشش  $L$  – پایای یک فضای برداری وقتی  $L = \langle \mathbb{T}_{\leq d}^n \rangle_K$  است ارائه می‌کنیم.

گزاره ۹۶.۲ (محاسبه‌ی پوشش پایا). فرض کنید  $L := \langle \mathbb{T}_{\leq d}^n \rangle_K$  و  $\mathcal{F} := \{f_1, \dots, f_r\} \subseteq P$  به‌طوری که  $f_1, \dots, f_r \in L$ ، یعنی داشته باشیم  $d \geq \max\{\deg(f_i) \mid 1 \leq i \leq r\}$ . فرض کنید  $\sigma$  یک ترتیب یکجمله‌ای سازگار با درجه باشد، در این صورت الگوریتم ۶ پایه‌ی پوشش  $L$  پایای  $\mathcal{F}$  یعنی پایه‌ی  $\mathcal{F}_L$  را محاسبه می‌کند. علاوه بر این چندجمله‌ای‌های پایه‌ی محاسبه شده دارای یکجمله‌ای‌های پیشرو متمایز هستند.

### الگوریتم ۶ الگوریتم محاسبه‌ی پوشش پایای یک فضای برداری

---

**Input**  $\mathcal{F} = \{f_1, \dots, f_r\}$ ,  $L = \langle \mathbb{T}_{\leq d}^n \rangle_K$  .  
**Output**  $\mathcal{V}$  که پایه‌ای برای فضای برداری  $\mathcal{F}_L$  است  
 $\mathcal{V} \leftarrow \text{GaussEL}(\emptyset, \mathcal{F})$   
**repeat**  
 $\mathcal{W}' \leftarrow \text{GaussEL}(\mathcal{V}, \mathcal{V}^+ \setminus \mathcal{V})$   
 $\mathcal{W} \leftarrow \{w \in \mathcal{W}' \mid \deg(w) \leq d\} = \{w \in \mathcal{W}' \mid \text{Supp}(w) \subseteq L\}$   
**until**  $\mathcal{W} \neq \emptyset$   
**return**  $\mathcal{V}$

---

برهان. به گزاره‌ی ۱۳ در [۴۱]، مراجعه کنید.  $\square$

نتیجه ۹۷.۲. طبق تعریف، پوشش  $L$  – پایای  $\mathcal{F}$  یعنی  $\mathcal{F}_L$  مشمول در فضای برداری  $L$  است. از طرفی بدیهی است که  $\mathcal{F}_L$  مشمول در ایده‌ال تولید شده به‌وسیله‌ی  $\mathcal{F}$  نیز قرار دارد در نتیجه  $\mathcal{F}_L \subseteq L \cap \langle \mathcal{F} \rangle$ .

مثال ۹۸.۲. فرض کنید  $\mathcal{F} = \{f_1, f_2, f_3\}$  که  $f_1 = x^2y^2 + 1$ ,  $f_2 = x^4$  و  $f_3 = y^4$ . همچنین فرض کنید  $\mathcal{H} = \{1\}$ . هر دو مجموعه ایده‌ال  $\langle 1 \rangle$  را تولید می‌کنند زیرا  $1 = f_2 \cdot f_3 - f_1^2 + 2f_1$ .

۱. فرض کنید  $L = \langle \mathbb{T}_{\leq 4}^n \rangle_K$ . در این صورت  $\mathcal{F}_L = \langle \mathcal{F} \rangle$  و  $\dim_K(\mathcal{F}_L) = 3$ ، در حالی که  $\mathcal{H} = L$  و  $\dim_K(\mathcal{H}_L) = 10$ .

۲. اگر  $L = \langle \mathbb{T}_{\leq 5}^n \rangle_K$ ، آن‌گاه  $\mathcal{F}_L = L = \mathcal{H}_L$ .

اولین هدف ما یافتن یک ایده‌ال ترتیبی پذیرفتنی برای ایده‌ال داده شده است و گزاره‌ی بعدی نشان می‌دهد که پوشش پایایی که در الگوریتم ۶ محاسبه می‌شود، حاوی اطاعتی در مورد کاندیدهای ایده‌ال ترتیبی پذیرفتنی برای ایده‌ال تولید شده توسط چندجمله‌ای‌های مجموعه‌ی  $\mathcal{F}$  است.

گزاره ۹۹.۲. فرض کنید  $\mathcal{F} = \{f_1, \dots, f_s\} \subseteq P$  و  $L = \langle \mathbb{T}_{\leq d}^n \rangle_K$  به طوری که  $\mathcal{F} \subseteq L$ . در این صورت یک ایده‌ال ترتیبی مثل  $\mathcal{O}$  وجود دارد به طوری که،

$$L = \mathcal{F}_L \oplus \langle \mathcal{O} \rangle_K$$

. یعنی، اگر  $\sigma$  یک ترتیب یکجمله‌ای سازگار با درجه و  $\mathcal{V} = \{v_1, \dots, v_r\}$  پایه‌ی محاسبه شده برای  $\mathcal{F}_L$  توسط الگوریتم ۶ باشد، آن‌گاه چندجمله‌ای‌های  $\mathcal{V}$  دوبه‌دو دارای یکجمله‌ای‌های پیشرو متمایز بوده و  $\text{LM}_\sigma(\mathcal{F}_L)$  تحت مضارب اعضای خود در  $L$  بسته است. یعنی اگر به ازای یک  $v \in \mathcal{F}_L$  یک یکجمله‌ای  $t \in \mathbb{T}_{\leq d}^n$  داشته باشیم،  $\text{LM}_\sigma(v) \mid t$ ، آن‌گاه یک  $w \in \mathcal{F}_L$  وجود دارد به طوری که  $t = \text{LM}_\sigma(w)$ . بطور معادل  $\mathcal{O} = \mathbb{T}_{\leq d}^n \setminus \{\text{LM}_\sigma(v_1), \dots, \text{LM}_\sigma(v_r)\}$  یک ایده‌ال ترتیبی است که در رابطه‌ی جمع مستقیم فوق نیز صدق می‌کند.

□

برهان. به گزاره‌ی ۱۵ [۴۱]، مراجعه کنید.

گزاره‌ی بعدی به عنوان شرط توقف در الگوریتم محاسبه‌ی پایه‌ی مرزی که در ادامه ارائه می‌کنیم به کار خواهد رفت. در واقع توسط گزاره‌ی بعدی می‌توان پی‌برد که کدامیک از کاندیدهای به‌دست آمده برای ایده‌ال ترتیبی، می‌توانند ایده‌ال ترتیبی پذیرفتنی برای ایده‌ال داده شده باشند.

گزاره ۱۰۰.۲. فرض کنید  $L$  یک زیرفضای برداری  $P$  و  $\tilde{I}$  یک زیرفضای برداری ایده‌ال صفر بعدی  $I \subseteq P$  باشد، به طوری که  $\tilde{I}^+ \cap L = \tilde{I}$  و  $\langle \tilde{I} \rangle = I$ ، به عبارت دیگر  $\tilde{I}$  یک فضای  $L$ -پایا باشد که ایده‌ال تولید شده توسط آن برابر  $I$  است. علاوه بر این فرض کنید  $\mathcal{O}$  یک ایده‌ال ترتیبی باشد که در رابطه‌ی  $L = \tilde{I} \oplus \langle \mathcal{O} \rangle_K$  صدق می‌کند. در این صورت اگر  $\partial \mathcal{O} \subseteq L$  آن‌گاه  $\mathcal{O}$  یک ایده‌ال ترتیبی پذیرفتنی برای  $I$  خواهد بود.

برهان. به ازای هر یکجمله‌ای مرزی  $b_j \in \partial \mathcal{O} \subseteq L$  بر اساس رابطه‌ی جمع مستقیم فوق، چندجمله‌ای  $g_j \in \tilde{I}$  وجود دارد به طوری که

$$b_j = g_j + \sum_{i=1}^m \alpha_{ij} t_i \in \tilde{I} \oplus \langle \mathcal{O} \rangle_K.$$

به این ترتیب می‌توان مجموعه‌ی  $G = \{g_1, \dots, g_\nu\}$  را به‌دست آورد که یک  $\mathcal{O}$ -پیش‌پایه‌ی مرزی است.

فرض کنید  $g_k$  و  $g_l$  دو همسایه‌ی دلخواه از پیش‌پایه‌ی  $G$  باشند. در این صورت یکجمله‌ای‌های  $S$ -چندجمله‌ای آن‌ها یعنی  $S(g_k, g_l) \in \tilde{I}^+$  در  $\mathcal{O}^+$  قرار می‌گیرند. بنابراین ضرایب  $c_j \in K$  وجود دارند به طوری که، یکجمله‌ای‌های عبارت  $h := S(g_k, g_l) - \sum_{j=1}^\nu c_j g_j$  در  $\mathcal{O}$  قرار می‌گیرند. در نتیجه  $h \in \tilde{I}^+ \cap \langle \mathcal{O} \rangle_K = \tilde{I}^+ \cap L \cap \langle \mathcal{O} \rangle_K = \{0\}$ . در نهایت طبق محک بوخبرگر برای پایه‌ی مرزی ۸۶.۲،  $G$  یک  $\mathcal{O}$ -پایه‌ی مرزی خواهد بود.

□

دقت کنید، اگر در قضیه‌ی فوق جای به‌جای  $\tilde{I}$ ، ایده‌ال  $I$  و به‌جای  $L$  کل فضای  $P$  را قرار دهیم، به تعریف پایه‌ی مرزی خواهیم رسید.

یک جمع بندی از مباحث قبل نشان می‌دهد که می‌توانیم در ابتدا با استفاده از الگوریتم ۶ پوشش پایای فضای  $K$ -خطی تولید شده توسط مجموعه‌ی مولد داده شده را نسبت به یک فضای برداری مثل  $\langle \mathbb{T}_{\leq d}^n \rangle_K$  به‌دست آوریم. سپس این مجموعه کاندیدهایی را برای ایده‌ال ترتیبی پذیرفتنی معرفی می‌کند که با استفاده از گزاره‌ی ۱۰۰.۲ می‌توانیم، کاندیدی که یک ایده‌ال ترتیبی پذیرفتنی است تشخیص دهیم. بعد از این مراحل یک ایده‌ال ترتیبی پذیرفتنی به‌دست می‌آید و به یک الگوریتم نیاز داریم که پایه‌ی مرزی ایده‌ال نسبت به ایده‌ال ترتیبی به‌دست آمده را استخراج کند. این الگوریتم در گزاره‌ی بعدی ارائه شده است.

گزاره ۱۰۱.۲. فرض کنید  $\mathcal{F} = \{f_1, \dots, f_s\} \subseteq P$  یک مجموعه‌ی مولد داده شده برای ایده‌ال صفر بعدی  $I$  باشد. فرض کنید  $\sigma$  یک ترتیب یکجمله‌ای سازگار با درجه و  $L$  یک ایده‌ال ترتیبی (برای مثال  $L = \mathbb{T}_{\leq d}^n$ ) باشد. در ضمن فرض کنید  $\mathcal{V}$  یک پایه برای پوشش  $L$  پایای  $\mathcal{F}$  یعنی فضای برداری  $\mathcal{F}_L$  باشد که یکجمله‌ای‌های پیشرو هر دو عضو آن متمایز باشند و  $\mathcal{O} = L \setminus \text{LM}_{\sigma}(\mathcal{V})$  به‌طوری که

$$L = \mathcal{F}_L \oplus \langle \mathcal{O} \rangle_K \wedge \partial \mathcal{O} \subseteq L.$$

در این صورت الگوریتم ۷،  $\mathcal{O}_{\sigma}(I)$  - پایه‌ی مرزی  $I$  را محاسبه می‌کند.

---

### الگوریتم ۷ الگوریتم تحویل نهایی - Final Reduction

---

- ورودی  $\mathcal{F}, L$  و  $\sigma$  و  $\mathcal{V}, \mathcal{O}$  با ویژگی‌های ذکر شده در لم. خروجی  $\mathcal{O}_{\sigma}(I)$  - پایه‌ی مرزی  $I$ .
- ۱:  $\mathcal{V}_R = \emptyset$
  - ۲: اگر  $\mathcal{V} = \emptyset$  آن‌گاه به گام ۸ می‌رویم.
  - ۳: عضو  $v \in \mathcal{V}$  را برابر با عضوی از  $\mathcal{V}$  که دارای یکجمله‌ای پیشرو مینیمال است قرار داده و آن‌را از  $\mathcal{V}$  حذف می‌کنیم.
  - ۴:  $\mathcal{H} := \text{Supp}(v) \setminus (\{\text{LM}_{\sigma}(v)\} \cup \mathcal{O})$
  - ۵: اگر  $\mathcal{H} = \emptyset$  آن‌گاه  $\frac{v}{\text{LC}_{\sigma}(v)}$  را به  $\mathcal{V}_R$  ضمیمه کرده و به گام ۲ می‌رویم.
  - ۶: برای هر  $h \in \mathcal{H}$ ،  $w_h \in \mathcal{V}_R$  و  $c_h \in K$  را طوری محاسبه می‌کنیم که  $\text{LM}_{\sigma}(w_h) = h$  و
  - ۷:  $h \notin \text{Supp}(v - c_h \cdot w_h)$ .
  - ۸:  $v$  را با مقدار جدید  $v - \sum_h c_h \cdot w_h$  جایگزین کرده و  $\frac{v}{\text{LC}_{\sigma}(v)}$  را به  $\mathcal{V}_R$  ضمیمه می‌کنیم، سپس به گام ۲ می‌رویم.
  - ۹: فرض کنید  $\partial \mathcal{O} = \{b_1, \dots, b_{\nu}\}$ . به ازای هر  $b_j \in \partial \mathcal{O}$  چندجمله‌ای  $g_j \in \mathcal{V}_R$  را طوری انتخاب می‌کنیم که  $b_j = \text{LM}_{\sigma}(g_j)$ ، در این صورت، خروجی عبارت‌است از  $g_1, \dots, g_{\nu}$ .
- 

□

برهان. به گزاره‌ی ۱۷ از [۴۱]، مراجعه کنید.

---

**الگوریتم ۸ الگوریتم محاسبه‌ی پایه مرزی – BBA**


---

- ورودی  $\mathcal{F}, \sigma$  آن گونه که در لم گفته شده.
- خروجی  $\mathcal{O}_\sigma(I)$  – پایه‌ی مرزی برای  $I$ .
- ۱:  $d := \max\{\deg(f_i) \mid 1 \leq i \leq s\}$ ,  $L := \langle \mathbb{T}_{\leq d}^n \rangle_K$
- ۲: پایه‌ی  $\mathcal{V} = \{v_1, \dots, v_r\}$  را برای  $\langle \mathcal{F} \rangle_K$  محاسبه می‌کنیم طوری که یکجمله‌ای‌های پیشرو اعضایش متمایز باشند.
- ۳: پایه‌ی توسیع یافته  $\mathcal{W}' := \{v'_{r+1}, \dots, v'_{r+\eta'}\}$  برای  $\langle \mathcal{V} \rangle_K \supseteq \langle \mathcal{V}^+ \rangle_K$  را طوری محاسبه می‌کنیم که یکجمله‌ای‌های پیشرو اعضای  $\mathcal{V} \cup \mathcal{W}'$  متمایز باشند.
- ۴:  $\mathcal{W} = \{v_{r+1}, \dots, v_{r+\eta}\} = \{v \in \mathcal{W}' \mid \deg(v) \leq d\}$ .
- ۵: اگر  $\eta > 0$  آن گاه  $\mathcal{V}$  را با  $\mathcal{V} \cup \mathcal{W}$  جایگزین کرده، قرار می‌دهیم  $r = r + \eta$  و سپس به گام ۳ می‌رویم.
- ۶:  $\mathcal{O} := \mathbb{T}_{\leq d}^n \setminus \{\text{LM}_\sigma(v_1), \dots, \text{LM}_\sigma(v_r)\}$
- ۷: اگر  $d, \partial \mathcal{O} \notin L$ ،  $d$  را یک واحد افزایش داده و قرار می‌دهیم  $L := \langle \mathbb{T}_{\leq d}^n \rangle_K$  و سپس به گام ۳ می‌رویم.
- ۸: با فراخوانی الگوریتم تحویل نهایی [۷] چندجمله‌ای‌های  $g_1, \dots, g_\nu$  را که این الگوریتم محاسبه می‌کند به عنوان خروجی نهایی الگوریتم در نظر می‌گیریم.
- 

اکنون با کنار هم قرار دادن الگوریتم‌های قبلی الگوریتمی برای محاسبه‌ی پایه‌ی مرزی یک ایده‌ال صفر بعدی به ازای یک مولد داده شده، ارائه می‌دهیم.

**گزاره ۱۰۲.۲ (الگوریتم محاسبه‌ی پایه‌ی مرزی).** فرض کنید  $\mathcal{F} = \{f_1, \dots, f_s\} \subseteq P$  مولدی برای ایده‌ال صفر بعدی  $I = \langle \mathcal{F} \rangle$  باشد. فرض کنید  $\sigma$  یک ترتیب یکجمله‌ای سازگار با درجه باشد. در این صورت الگوریتم ۸،  $\mathcal{O}_\sigma(I)$  – پایه‌ی مرزی  $I$  را محاسبه می‌کند.

□

**برهان.** رجوع کنید به [۴۵].

این بحث را در این جا خاتمه می‌دهیم. در فصل ۴ که روش‌های حل دستگاه چندجمله‌ای را معرفی می‌کنیم، الگوریتمی بهینه‌تر برای محاسبه‌ی پایه‌ی مرزی ارائه می‌دهیم که برای حل دستگاه‌های به دست آمده از سامانه‌های رمزنگاری مناسب‌تر است.

## فصل ۳

# جبری سازی و استخراج معادلات سامانه‌های رمزنگاری

در این فصل ثابت می‌کنیم که نه تنها نگاشت‌های رمزنگاری بلکه هر نگاشت از یک مجموعه‌ی متناهی به یک مجموعه‌ی متناهی دیگر را می‌توان به صورت یک نگاشت چندجمله‌ای روی یک میدان متناهی بیان کرد، به این ترتیب شکستن یک سامانه‌ی رمزنگاری به مسئله‌ی حل دستگاه معادلات چندجمله‌ای تبدیل می‌شود. پس از تعریف دقیق حمله جبری با سناریوهای مختلف حمله‌ی جبری روی انواع سامانه‌های رمزنگاری آشنا می‌شویم و در انتها مثال‌هایی واقعی از تبدیل سامانه‌های رمزنگاری به دستگاه معادلات چندجمله‌ای روی میدان متناهی را خواهیم دید. بخش زیادی از مباحث این فصل برگرفته از [۷]، است که یکی از مراجع مفید در زمینه حمله‌های جبری محسوب می‌شود.

### ۱.۳ نگاشت‌های عام

هدف از این بخش این است که ثابت کنیم، هر نگاشت رمزنگاری را می‌توان به صورت نگاشتی چندجمله‌ای روی یک میدان متناهی بیان کرد، اما نحوه به دست آوردن آن موضوعی است که در بخش‌های بعدی بررسی می‌شود.

**لم ۱.۳.** فرض کنید  $\mathbb{F}$  یک میدان متناهی از مرتبه‌ی عدد اول  $p$  باشد، در این صورت هر نگاشت از  $\mathbb{F} -$  فضای برداری متناهی بعد  $V$  به میدان  $\mathbb{F}$  را می‌توان به صورت یک نگاشت چندجمله‌ای با ضرایب در  $\mathbb{F}$  نوشت.

**برهان.** می‌دانیم مجموعه‌ی همه‌ی نگاشت‌ها از  $V$  به  $\mathbb{F}$  یک  $\mathbb{F} -$  فضای برداری است، که آن را با  $\Phi$  نمایش می‌دهیم. برای اثبات حکم، پایه‌ای برای این فضای برداری ارائه می‌دهیم که همه‌ی

اعضایش چند جمله ای هایی با ضرایب در  $\mathbb{F}$  هستند. مجموعه ای  $B := \{\varphi_x : V \rightarrow \mathbb{F} \mid x \in V\}$  که برای هر  $x \in V$  نگاشت  $\varphi_x : V \rightarrow \mathbb{F}$  را به صورت زیر تعریف می کنیم:

$$\varphi_x(y) := \begin{cases} 1 & y = x \\ 0 & y \neq x \end{cases}$$

در نظر بگیرید. نگاشت دلخواه  $\varphi \in \Phi$  را می توان به صورت زیر نوشت:

$$\varphi = \sum_{x \in V} \varphi(x) \cdot \varphi_x$$

بنابراین  $B$  مولدی برای  $V$  است، از طرفی به ازای  $x_* \in V$  دلخواه،  $B \setminus \{\varphi_{x_*}\}$  یک مولد  $\Phi$  نیست، زیرا  $\varphi_{x_*}$  را نمی توان به صورت ترکیب  $\mathbb{F}$  خطی از اعضای  $B \setminus \{\varphi_{x_*}\}$  نوشت. بنابراین  $B$  یک مولد مینیمال و لذا یک پایه  $\mathbb{F}$  - فضای برداری  $\Phi$  است. چون میدان  $\mathbb{F}$  و در نتیجه فضای برداری  $V$  متناهی است، کافی است نشان دهیم هر یک از  $\varphi_x$  ها یک  $\mathbb{F}$  - چند جمله ای است. بُعد  $V$  برابر با  $n$  و  $x = (x_1, \dots, x_n) \in V$  را دلخواه و از این پس ثابت فرض کنید.  $\mathbb{F}$  یک میدان است، بنابراین  $0 \neq 1 - (x_i - y_i)^{p-1}$  اگر و تنها اگر  $x_i = y_i$ . در نتیجه چند جمله ای زیر همه جا به جز در  $x$  برابر صفر است:

$$\forall y = (y_1, \dots, y_n) \in V : \psi_x(y_1, \dots, y_n) := \prod_{i=1}^n ((x_i - y_i)^{p-1} - 1)$$

با توجه به تعریف  $\psi_x$  داریم:

$$\forall y = (y_1, \dots, y_n) \in V : \varphi_x(y) = \frac{\psi_x(y_1, \dots, y_n)}{\psi_x(x_1, \dots, x_n)}.$$

چون  $x \in V$  ثابت فرض شده بود مخرج نگاشت فوق یک مقدار ثابت و لذا  $\varphi_x$  یک چند جمله ای  $n$  متغیره بر حسب  $y_1, \dots, y_n$  است و در نهایت چون  $x \in V$  را دلخواه انتخاب کرده بودیم حکم ثابت می شود.  $\square$

لم ۲.۳. اگر  $\mathbb{F}$  یک میدان متناهی با مشخصه ی عدد اول  $p$  باشد، هر نگاشت از یک  $\mathbb{F}$  - فضای برداری متناهی بعد مثل  $V$  به  $\mathbb{GF}(p)$  را می توان به صورت چند جمله ای با ضرایب در  $\mathbb{GF}(p)$  نوشت.

برهان.  $\mathbb{F}$  یک میدان متناهی با مشخصه ی  $p$  است، لذا بدون کاستن از کلیت فرض می کنیم  $\mathbb{F} = \mathbb{GF}(p^n)$  که  $n \in \mathbb{N}$ . بنابراین  $\mathbb{F}$  یک فضای برداری از بعد  $n$  روی  $\mathbb{GF}(p)$  نیز خواهد بود که ضرب اسکالر آن به صورت زیر تعریف می شود.

$$\cdot : \mathbb{GF}(p) \rightarrow \mathbb{F}$$

$$(k, x) \mapsto k.x = x + x + \cdots + x \text{ (بار } k)$$

بُعد  $V$  را برابر عدد طبیعی  $m$  در نظر می‌گیریم. در نتیجه  $V$  یک فضای برداری  $m \cdot n$  بعدی روی میدان  $\mathbb{GF}(p)$  است و طبق لم قبل حکم ثابت می‌شود.  $\square$

**لم ۳.۳.** اگر  $\mathbb{F}$  یک میدان متناهی با مشخصه‌ی عدد اول  $p$  باشد، هر نگاشت از  $\mathbb{F}$  - فضای برداری متناهی بُعد  $V$  به  $\mathbb{GF}(p)$  - فضای برداری متناهی بُعد  $U$  یک نگاشت چندجمله‌ای با ضرایب در  $\mathbb{GF}(p)$  است، یعنی با فرض  $\dim(V) = n$  و  $\dim(U) = m$  برای هر نگاشت  $f : V \rightarrow U$  داریم

$$\exists f_1, \dots, f_m \in \mathbb{GF}(p)[x_1, \dots, x_n] \quad f(x_1, \dots, x_n) = (f_1(x_1, \dots, x_n), \dots, f_m(x_1, \dots, x_n)).$$

$$i = 1, \dots, m \text{ برای } f_i \in \mathbb{GF}(p)[x_1, \dots, x_n] \text{ که}$$

**برهان.** چون  $V$  یک  $\mathbb{F}$  - فضای برداری با بعد  $n$  و  $\mathbb{F}$  یک میدان متناهی با مشخصه‌ی عدد اول  $p$  است، طبق لم قبل هر یک از توابع مؤلفه‌ای  $f_i$  که  $i = 1, \dots, m$  یک چندجمله‌ای است و حکم ثابت می‌شود.  $\square$

**لم ۴.۳.** فرض کنید  $\mathbb{F}$  و  $\mathbb{G}$  دو میدان متناهی با مشخصه‌ی عدد اول  $p$  باشند، در این صورت هر نگاشت از  $\mathbb{F}$  - فضای برداری متناهی بُعد  $V$  به  $\mathbb{G}$  - فضای برداری متناهی بُعد  $U$  یک نگاشت چندجمله‌ای است.

**برهان.** بدون کاستن از کلیت فرض می‌کنیم  $\mathbb{G} = \mathbb{G}(p^m)$  و  $U = \mathbb{GF}(p^m)^n$  که  $m$  و  $n$  اعدادی طبیعی هستند. در نتیجه  $U$  یک فضای برداری  $m \cdot n$  بعدی روی  $\mathbb{GF}(p)$  است و طبق لم قبل حکم ثابت می‌شود.  $\square$

**قضیه ۵.۳ (نگاشت عام).** هر نگاشت از مجموعه‌ی متناهی  $S$  به مجموعه‌ی متناهی  $T$  را می‌توان به صورت یک نگاشت چند جمله‌ای روی  $\mathbb{GF}(p)$  که  $p$  یک عدد اول دلخواه است نوشت.

**برهان.**  $p$  را یک عدد اول دلخواه در نظر بگیرید. اعداد طبیعی  $m$  و  $n$  را طوری در نظر می‌گیریم که  $p^n \geq |T|$  و  $p^m \geq |S|$ . سپس  $S$  را در  $\mathbb{GF}(p^n)$  می‌نشانیم یا به بیان ساده‌تر اعضای  $S$  را با اعضای  $\mathbb{GF}(p^n)$  برچسب‌گذاری می‌کنیم به همین ترتیب  $T$  را در  $\mathbb{GF}(p^m)$  می‌نشانیم. اکنون می‌توانیم هر نگاشت دلخواه مثل  $f : S \rightarrow T$  را به صورت زیر به یک نگاشت روی  $\mathbb{GF}(p^n)$  توسعه می‌دهیم.

$$F : \mathbb{GF}(p^n) \rightarrow \mathbb{GF}(p^m)$$

$$F(x) = \begin{cases} f(x) & x \in S \\ y_0 & o.w \end{cases}$$

که  $y_0 \in \mathbb{GF}(p^m)$  یک عضو دلخواه و ثابت است. طبق لم ۴.۳ نگاشت فوق چندجمله ای است و در نتیجه تحدید آن به  $S$  (یا مجموعه ی متناظر با آن در  $\mathbb{GF}(p^n)$ ) که آن را با  $f$  با  $F|_S = f$  نمایش می دهیم نیز چندجمله ای است.  $\square$

قضیه ی فوق این اطمینان را می دهد که هر نگاشت (رمزنگاری) را می توان به صورت چندجمله ای بیان کرد ولی روش به دست آوردن این نمایش را در اختیار ما قرار نمی دهد. در ادامه پس از معرفی حمله های جبری الگوریتمی را معرفی می کنیم که می تواند در تبدیل نگاشتهای رمزنگاری به نگاشت چندجمله ای مورد استفاده قرار گیرد.

## ۲.۳ حمله ی جبری چیست؟

پروتکل های رمزنگاری که هسته ی اصلی تشکیل دهنده آنها سامانه های رمزنگاری هستند نقشی حیاتی در زندگی نوین ایفا می کنند. امنیت این پروتکل ها متکی به امنیت سامانه های رمزنگاری سازنده ی آنهاست، اما خود این سامانه ها از الگوریتم هایی تشکیل می شوند که در حالت کلی نگاشتهای از فضای متن اصلی و کلید به فضای متن رمز شده هستند. در بخش قبل ثابت کردیم که هر نگاشت رمزنگاری را می توان به یک نگاشت چندجمله ای روی یک میدان متناهی تبدیل کرد. در نتیجه مسأله ی شکستن یک سامانه ی رمزنگاری به مسأله ی حل دستگاه معادلات چندجمله ای چندمتغیره روی میدان متناهی تبدیل می شود. چنین رویکردی برای شکستن سامانه های رمزنگاری را، **حمله های جبری** می نامیم.

هدف حمله ی جبری می تواند به دست آوردن کلید یا متن اصلی باشد و از سه مرحله ی اصلی زیر تشکیل می شود.

۱. **جبری سازی سامانه رمزنگاری:** مدل کردن نگاشتهای رمزنگاری مورد استفاده در سامانه ی مورد نظر به صورت نگاشتهای چندجمله ای روی یک میدان متناهی. این مرحله قابلیت پیش پردازش دارد، یعنی می توان یک بار آن را انجام داد و در حملات بعدی به دفعات از آن استفاده کرد.

۲. **جایگذاری مقادیر معلوم:** مقادیر معلوم حاصل از اطلاعات به دست آمده، نظیر شنود یک پیام رمز شده یا داشتن یک یا چند زوج متن اصلی و رمز شده ی متناظر با آن را، در چندجمله ای های به دست آمده از مرحله ی قبل جایگذاری می کنیم تا به یک دستگاه معادلات چندجمله ای روی میدان متناهی برسیم.

۳. **حل دستگاه معادلات با حل دستگاه چندجمله ای، متغیرهای مجهول که می توانند بیانگر کلید سامانه یا متن اصلی متناظر با یک متن رمز شده باشند را به دست می آوریم.**



در ادامه فضای متن اصلی  $M$  و فضای متن رمز شده  $C$  را به عنوان فضاهای برداری متناهی بعد روی یک میدان متناهی (معمولاً با مشخصه ۲) در نظر می‌گیریم که فرض خوبی است و تقریباً همه‌ی سامانه‌های عملی را می‌توان این‌گونه مدل کرد. میدان‌هایی که در رمزنگاری با آن‌ها کار می‌کنیم میدان‌های متناهی هستند. در این بخش میدان متناهی  $\mathbb{F}_q$  که  $q = p^e$  و  $p$  یک عدد اول است را با  $K$  نمایش می‌دهیم.

نکته ۶.۳. از قضیه ۵.۳ نتیجه می‌گیریم که هر نگاشت مانند  $\varphi: K^n \rightarrow K^m$  که  $K$  یک میدان متناهی است را می‌توان به صورت

$$\varphi(a_1, \dots, a_n) = (f_1(a_1, \dots, a_n), \dots, f_m(a_1, \dots, a_n))$$

نوشت که  $f_i$ ها چندجمله‌ای‌هایی از حلقه‌ی  $K[x_1, \dots, x_n]$  هستند. اما باید دقت کرد که این نمایش برای  $\varphi$  تنها نمایش چندجمله‌ای نیست. چرا که اگر فرض کنیم  $\mathbb{X} = K^n$  آن‌گاه با افزودن هر عضو دلخواه از ایده‌ال

$$I(\mathbb{X}) = \{g \in K[x_1, \dots, x_n] \mid \forall (a_1, \dots, a_n) \in \mathbb{X} : g(a_1, \dots, a_n) = 0\}$$

به چندجمله‌ای‌های نمایش دهنده‌ی  $\varphi$  در عین حال که هیچ تغییری در عملکرد نگاشت ایجاد نمی‌شود، نمایش آن را تغییر می‌دهد.

بنابراین مدل چندجمله‌ای متناظر با یک سامانه‌ی رمزنگاری، یکتا نیست و مهاجم هوشمند می‌تواند به نحوی این مدلسازی را انجام دهد که پیچیدگی حل دستگاه در مرحله‌ی سوم به مقدار زیادی کاهش پیدا کرده و منجر به یک حمله‌ی موفق و عملی شود به همین دلیل مرحله‌ی اول حمله‌ی جبری، یعنی جبری‌سازی از اهمیت زیادی برخوردار است. در ادامه این بخش به بحث پیرامون جبری‌سازی می‌پردازیم و بحث راجع به حل دستگاه معادلات به دست آمده را به فصل بعدی واگذار می‌کنیم.

### ۳.۳ الگوریتم بوخبرگر-مولر

قضیه‌ی نگاشت‌های عام ۵.۳ تضمین می‌کند که هر نگاشت رمزنگاری را می‌توان به صورت یک نگاشت چندجمله‌ای نوشت اما هیچ روشی برای به دست آوردن آن ارائه نمی‌دهد. در این بخش می‌خواهیم الگوریتمی برای استخراج معادلات چندجمله‌ای حاکم بر یک نگاشت رمزنگاری معرفی کنیم.

در اوایل دهه‌ی ۸۰ میلادی بوخبرگر با میشل مولر<sup>۱</sup> آشنا شد و در سال ۱۹۸۲ مقاله‌ی مشترکی

<sup>1</sup>Michael Muller

با وی در مورد استفاده از پایه های گروبنر در یافتن مولدهای ایده‌الی که در مجموعه‌ای متناهی از نقاط مشخص صفر می‌شود و همچنین محاسبه‌ی چندجمله‌ای درونیاب این نقاط نوشت [۵۲]. الگوریتمی که آن دو ارائه دادند، به الگوریتم بوخبرگر-مولر معروف است. فرض کنید  $K$  یک میدان و  $V \subset K^n$  در این صورت هدف این الگوریتم محاسبه پایه گروبنر ایده‌ال

$$I(V) = \{f \in K[x_1, \dots, x_n] \mid \forall p \in V \ f(p) = 0\}$$

است. این الگوریتم بر خلاف سایر الگوریتم‌های پایه گروبنر که به ازای یک مولد داده شده سعی در پیدا کردن پایه گروبنر دارند، بر حسب تعداد نقاط داده شده و تعداد متغیرها، زمان چندجمله‌ای است. ما قصد داریم از این الگوریتم برای استخراج دستگاه معادلات چندجمله‌ای حاکم بر نگاشت‌های رمزنگاری استفاده کنیم.

معمولاً برای به دست آوردن معادلات سامانه‌های متقارن که از عناصر غیر خطی نظیر s-box ها استفاده می‌کنند، ابتدا باید معادلات حاکم بر s-box ها را بیابیم. الگوریتم زیر که نسخه اصلی الگوریتم بوخبرگر-مولر است قادر است این کار را انجام دهد.

**گزاره ۷.۳ (الگوریتم بوخبرگر-مولر ۱).** فرض کنید  $K$  یک میدان و  $\sigma$  یک ترتیب یکجمله‌ای روی  $\mathbb{T}^n$  باشد. مجموعه متناهی از نقاط  $\mathbb{X} = \{p_1, \dots, p_s\} \subseteq K^n$  که نقاط آن را بصورت  $p_i = (c_{i1}, \dots, c_{in})$  نمایش می‌دهیم، را در نظر بگیرید. در این صورت الگوریتم ۹، پس از متناهی مرحله اجرا دوتایی  $(\mathcal{G}, O)$  را باز می‌گرداند بطوری که  $\sigma - \mathcal{G}$  پایه‌ی گروبنر ایده‌ال  $I(\mathbb{X}) \subseteq K[x_1, \dots, x_n]$  است و  $O = \mathbb{T}^n \setminus \text{LM}_\sigma(I(\mathbb{X}))$ .

برهان. به [۴۵، ص ۳۹۲]، مراجعه کنید.  $\square$

**مثال ۸.۳.** فرض کنید  $\mathbb{X} = \{p_1, p_2, p_3, p_4, p_5\} \subseteq \mathbb{Q}^2$  که  $p_1 = (0, 0), p_2 = (0, -1), p_3 = (1, 0)$  و  $p_4 = (1, 1), p_5 = (-1, 1)$  و ترتیب یکجمله‌ای را ترتیب  $\sigma = \text{deglex}$  در نظر می‌گیریم. با استفاده از الگوریتم بوخبرگر مولر ۹، طی چندگام  $I(\mathbb{X})$  یا به عبارت دیگر چندجمله‌ای‌های دو متغیره که روی این نقاط صفر می‌شوند را می‌یابیم.

$$1. \quad L = \{1\} \text{ و } \mathcal{G} = \emptyset, O = \emptyset, S = \emptyset.$$

$$2. \quad t = 1 \text{ را انتخاب کرده و پس از حذف آن از } L \text{ داریم } L = \emptyset.$$

$$3. \quad (v_1, \dots, v_5) = (t(p_1), \dots, t(p_5)) = (1, 1, 1, 1, 1).$$

$$4. \quad L = \{y, x\} \text{ و } \mathcal{M} = (11111), S = (1), O = \{1\}.$$

$$5. \quad t = y \text{ را انتخاب می‌کنیم و پس از حذف آن از } L \text{ داریم } L = \{x\}.$$

$$6. \quad (t(p_1), \dots, t(p_5)) = (0, -1, 0, 1, 1) = (v_1, \dots, v_5).$$

## الگوریتم ۹ الگوریتم بوخبرگر-مولر

- ورودی**  $\mathbb{X} = \{p_1, \dots, p_s\} \subseteq K^n$   
**خروجی**  $(\mathcal{G}, O)$  (با شرایط ذکر شده در صورت قضیه).  
 ۱: قرار می‌دهیم  $\mathcal{G} = \emptyset, O = \emptyset, \mathcal{S} = \emptyset, L = \{1\}$  و  $\mathcal{M} = (m_{ij}) \in \text{Mat}_{\circ, s}(K)$  را ماتریسی در نظر می‌گیریم که در ابتدا دارای  $s$  ستون و  $\circ$  ردیف است و به گام ۲ می‌رویم.  
 ۲: اگر  $L = \emptyset$ ، زوج  $(\mathcal{G}, O)$  را بازگردانده و متوقف می‌شویم. در غیر این صورت یکجمله‌ای  $t = \min_{\sigma}(L)$  را انتخاب کرده و سپس آن را از  $L$  حذف می‌کنیم و به گام ۳ می‌رویم.  
 ۳: بردار مقادیر  $(t(p_1), \dots, t(p_s)) \in K^s$  را محاسبه کرده و آن را نسبت به سطرهاى ماتریس  $\mathcal{M}$  تحویل می‌کنیم تا بردار  $(v_1, \dots, v_s)$  به صورت

$$(v_1, \dots, v_s) = (t(p_1), \dots, t(p_s)) - \sum_i a_i(m_{i1}, \dots, m_{is})$$

- به دست آید بطوری که  $a_i \in K$ .  
 ۴: اگر  $(v_1, \dots, v_s) = (\circ, \dots, \circ)$  آن گاه چندجمله‌ای  $t - \sum_i a_i s_i$  را که  $s_i$ ،  $i$ امین عضو  $\mathcal{S}$  است، به مجموعه‌ی  $\mathcal{G}$  اضافه می‌کنیم. سپس همه مضارب  $t$  را از  $L$  حذف کرده و به گام ۲ می‌رویم.  
 ۵: در غیر این صورت اگر  $(v_1, \dots, v_s) \neq \circ$ ، بردار  $(v_1, \dots, v_s)$  را به عنوان یک سطر جدید به  $\mathcal{M}$  و چندجمله‌ای  $t - \sum_i a_i s_i$  را به عنوان یک عضو جدید به  $\mathcal{S}$ ، اضافه می‌کنیم. یکجمله‌ای  $t$  را به  $O$  اضافه می‌کنیم و سپس اعضایی از  $\{x_1 t, \dots, x_n t\}$  را که مضرب هیچ عضوی از  $L \cup \text{LM}_{\sigma}(\mathcal{G})$  نیستند، به  $L$  اضافه می‌کنیم و به گام ۲ می‌رویم.

$$L = \{x, y^2\} \text{ و } \mathcal{M} = \begin{pmatrix} 1 & 1 & 1 & 1 & 1 \\ \circ & -1 & \circ & 1 & 1 \end{pmatrix}, \mathcal{S} = (1, y), O = \{1, y\} \quad ۷.$$

$$۸. \text{ با انتخاب } t = x \text{ و حذف آن از } L \text{ داریم } L = \{y^2\}.$$

$$۹. (t(p_1), \dots, t(p_5)) = (\circ, \circ, 1, 1, -1) = (v_1, \dots, v_5).$$

$$۱۰. L = \{y^2, xy, x^2\} \text{ و } \mathcal{M} = \begin{pmatrix} 1 & 1 & 1 & 1 & 1 \\ \circ & -1 & \circ & 1 & 1 \\ \circ & \circ & 1 & 1 & -1 \end{pmatrix}, \mathcal{S} = (1, y, x), O = \{1, y, x\}.$$

$$۱۱. \text{ با انتخاب } t = y^2 \text{ و حذف آن از } L \text{ داریم } L = \{xy, x^2\}.$$

$$۱۲. (t(p_1), \dots, t(p_5)) = (\circ, 1, \circ, 1, 1). \text{ با تحویل بردار به دست آمده نسبت به سطرهاى ماتریس } \mathcal{M} \text{ داریم } (v_1, \dots, v_5) = (\circ, 1, \circ, 1, 1) + (\circ, -1, \circ, 1, 1) = (\circ, \circ, \circ, 2, 2).$$

$$.L = \{xy, x^2, y^3\} \text{ و } M = \begin{pmatrix} 1 & 1 & 1 & 1 & 1 \\ 0 & -1 & 0 & 1 & 1 \\ 0 & 0 & 1 & 1 & -1 \\ 0 & 0 & 0 & 2 & 2 \end{pmatrix}, S = (1, y, x, y^2 + y), O = \{1, y, x, y^2\} . ۱۳$$

$$t = xy \rightarrow L = \{x^2, y^3\} . ۱۴$$

۱۵.  $(t(p_1), \dots, t(p_5)) = (0, 0, 0, 1, -1)$ ، که پس از تحویل آن نسبت به سطرهای ماتریس  $M$  داریم

$$(v_1, \dots, v_5) = (0, 0, 0, 0, 2).$$

$$.L = \{xy, x^2, y^3\} \text{ و همچنین } M = \begin{pmatrix} 1 & 1 & 1 & 1 & 1 \\ 0 & -1 & 0 & 1 & 1 \\ 0 & 0 & 1 & 1 & -1 \\ 0 & 0 & 0 & 2 & 2 \\ 0 & 0 & 0 & 0 & 2 \end{pmatrix}, S = (1, y, x, y^2 + y, xy - \frac{1}{4}y^2 - \frac{1}{4}y) . ۱۶$$

$$O = \{1, y, x, y^2, xy\}, L = \{x^2, y^3, xy^2\}.$$

$$.t = x^2 \rightarrow L = \{y^3, xy^2\} . ۱۷$$

۱۸. با محاسبه  $(t(p_1), \dots, t(p_5)) = (0, 0, 1, 1, 1)$  و تحویل آن نسبت به سطرهای  $M$  داریم

$$(v_1, \dots, v_5) = (0, 0, 0, 0, 0).$$

$$.L = \{y^3, xy^2\} \text{ و } G = (x^2 + xy - \frac{1}{4}y^2 - x - \frac{1}{4}y) . ۱۹$$

$$.t = y^3 \rightarrow L = \{xy^2\} . ۲۰$$

۲۱. با محاسبه  $(t(p_1), \dots, t(p_5)) = (0, -1, 0, 1, 1)$  و تحویل آن نسبت به سطرهای  $M$  داریم

$$(v_1, \dots, v_5) = (0, 0, 0, 0, 0).$$

$$.L = \{xy^2\} \text{ و } G = (x^2 + xy - \frac{1}{4}y^2 - x - \frac{1}{4}y, y^3 - y) . ۲۲$$

$$.t = xy^2 \rightarrow L = \emptyset . ۲۳$$

۲۴. با محاسبه‌ی  $(t(p_1), \dots, t(p_5)) = (\circ, \circ, \circ, 1, -1)$  و تحویل آن نسبت به سطرهای  $M$  داریم

$$(v_1, \dots, v_5) = (\circ, \circ, \circ, \circ, \circ).$$

$$۲۵. \mathcal{G} = (x^2 + xy - \frac{1}{4}y^2 - x - \frac{1}{4}y, y^3 - y, xy^2 - xy) \text{ و } L = \emptyset.$$

۲۶. به گام ۲ الگوریتم ۹ رسیده‌ایم در حالی که  $L = \emptyset$ ، لذا شرط توقف برقرار است و  $(\mathcal{G}, O)$  خروجی الگوریتم است.

$\mathcal{G} = (x^2 + xy - \frac{1}{4}y^2 - x - \frac{1}{4}y, y^3 - y, xy^2 - xy)$  پایه گروبنر تحویل یافته‌ی ایده‌ال  $I(\mathbb{X})$  است و  $O = \{1, x, y, xy, y^2\}$  پایه‌ای برای  $\mathbb{Q}$  - فضای برداری  $\frac{\mathbb{Q}[x,y]}{I(\mathbb{X})}$  است.

ورودی یک نگاشت رمزنگاری کلید و متن اصلی و خروجی آن متن رمز شده است، فرض کنید در موقعیت حمله متن اصلی معلوم قرار داریم، یعنی تعدادی از ورودی‌ها و خروجی‌های متناظرشان در نگاشت رمزنگاری را در اختیار داریم، در این صورت با یک تغییر کوچک در الگوریتم بوخبرگر می‌توانیم الگوریتمی به دست آوریم که چندجمله‌ای‌های حاکم بر این سامانه‌ی رمزنگاری را برای ما محاسبه کند.

گزاره ۹.۳. فرض کنید  $K$  یک میدان و  $\mathbb{Y} = \{(p_1, k_1), \dots, (p_s, k_s)\} \subseteq K^n \times K^l$  یک مجموعه‌ی متناهی از نقاط باشد. (در بحث ما  $p_i$  متناظر با متن اصلی و  $k_i$  متناظر با کلید رمزنگاری است.) علاوه بر این فرض کنید به ازای هر  $i = 1, \dots, s$  داشته باشیم  $q_i = \text{Enc}_{k_i}(p_i)$ . حلقه‌ی  $Q = K[x_1, \dots, x_n, y_1, \dots, y_l]$  را در نظر بگیرید، در این صورت الگوریتم ۱۰، پس از متناهی مرحله، چندجمله‌ای‌های  $(f_1, \dots, f_m) \in Q^m$  و مجموعه‌ی  $\mathcal{G}$  را محاسبه می‌کند به طوری که  $\mathcal{G}$  پایه‌ی گروبنر تحویل یافته‌ی  $I(\mathbb{Y})$  نسبت به ترتیب یکجمله‌ای در نظر گرفته شده در گام اول الگوریتم است. همچنین به ازای هر  $i \in 1, \dots, s$  رابطه‌ی  $(f_1(p_i, k_i), \dots, f_m(p_i, k_i)) = q_i$  برقرار است.

چندجمله‌ای‌هایی که الگوریتم ۱۰، محاسبه می‌کند، فقط به ازای آن دسته از متن‌های اصلی و کلیدهای متناظر با آن‌ها که به الگوریتم داده‌ایم دقیق هستند. بنابراین اگر بخواهیم همه‌ی متن‌های اصلی و کلیدهای متناظر با آن‌ها در روابط چندجمله‌ای به دست آمده صدق کنند باید تمام ورودی‌ها و خروجی‌های الگوریتم رمزنگاری را به الگوریتم ۱۰، بدهیم. اگرچه الگوریتم بوخبرگر-مولر یک الگوریتم کارا محسوب می‌شود، ولی باید توجه کرد که این الگوریتم زمانی سریع عمل می‌کند که ورودی آن از مرتبه چندجمله‌ای و دارای اندازه‌ای معقول باشد. بنابراین نمی‌توانیم کل الگوریتم رمزنگاری را به عنوان یک جعبه سیاه در نظر بگیریم و با دادن تمام ورودی و خروجی‌های آن به الگوریتم بوخبرگر-مولر ۱۰، معادلات آن را استخراج کنیم، چرا که اندازه مجموعه شامل تمام ورودی و خروجی‌های الگوریتم خیلی بزرگ و از مرتبه‌ی نمایی بر حسب طول کلید خواهد بود. رویکرد بهتر این است که توجه خود را به بلوک‌های کوچکتر سازنده الگوریتم

رمزنگاری معطوف کنیم و به صورت گام به گام معادلات حاکم بر هر یک از این بخش های کوچکتر را بیابیم و سپس با کنار هم قرار دادن معادلات حاکم بر این بلوک های سازنده به معادلاتی برای کل سامانه دست یابیم. در چنین رویکردی الزاماً فقط از الگوریتم بوخبرگر-مولر استفاده نمی شود، بلکه روش های ابتکاری و متنوع دیگری نیز به کار می رود که در ادامه این فصل با برخی از آنها آشنا می شویم.

### ۴.۳ جبری سازی رمزهای قالبی

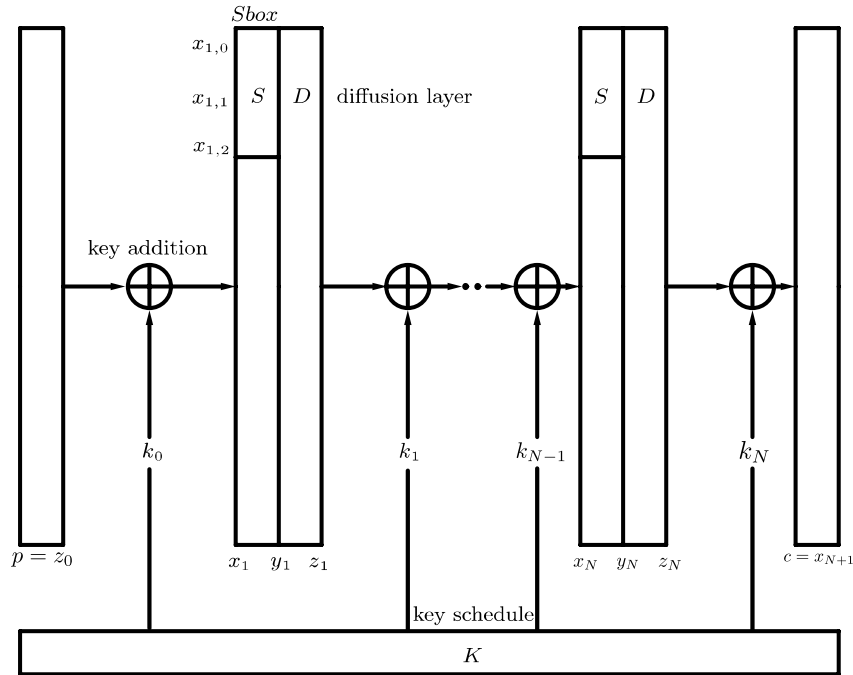
رمزهای قالبی مدرن از جمله AES ساختاری مطابق شکل ۱.۳ دارند. این ساختار متشکل از چند دور است که هر دور شامل یک جانشینی و یک جایگشت و همچنین اضافه کردن کلید دور است. برای انجام عمل جانشینی از واحدهایی تحت عنوان جعبه های جانشینی استفاده می شود. جعبه های جانشینی و لایه های جایگشت با هدف توزیع همگن اطلاعات واحدهای متن اصلی روی واحدهای متن رمز شده طراحی می شوند تا رمز قالبی در نهایت مدلی تقریبی از یک جایگشت شبه تصادفی باشد.

رمزهای قالبی معماری های متفاوتی دارند برای مثال غیر از شبکه های جانشینی-جایگشتی که در شکل ۱.۳ نشان داده شده، معماری دیگری تحت عنوان ساختار فیستل هم وجود دارد که برای مثال در طراحی رمز قالبی DES مورد استفاده قرار گرفته است. در ضمن در ساختار رمزهای قالبی یک الگوریتم وجود دارد که از روی کلید اصلی کلیدهای فرعی یا کلید هر یک از دورها را استخراج می کند.

تقریباً همه ای اجزای شبکه های SPN به جز جعبه های جانشینی را می توان با چند جمله ای های خطی مدل کرد. جعبه های جانشینی را نیز می توان به صورت چند جمله ای های درجه دو (مربعی) یا درجات بالاتر، مدل کرد که در بخش های بعدی مثال هایی از آن را خواهیم دید. بنابراین مدل های پایه برای حمله به رمزهای قالبی به شرح زیر است.

#### حمله ی جبری متن اصلی معلوم

در این مدل مهاجم یک یا چند زوج متن اصلی و متن رمز شده را در اختیار دارد و حمله از نوع متن اصلی معلوم و هدف به دست آوردن کلید است. برای سادگی فرض کنید طول قالب و طول کلید هر دو برابر  $n$ ، و تعداد دورها برابر  $N$  باشد و مهاجم فقط یک زوج متن اصلی و رمز شده به صورت  $(\mathbf{p}, \mathbf{c}) \in \mathbb{F}_2^n \times \mathbb{F}_2^n$  را در اختیار دارد. او در ابتدا نگاشت های چند جمله ای متناظر با هر یک از واحدهای بکار رفته در سامانه را به صورت جداگانه به دست می آورد، سپس با ترکیب این نگاشت ها، روابط چند جمله ای بین متغیرهای بکار رفته در کل سامانه  $Enc_k(\cdot)$  را به صورت زیر



شکل ۱.۳: ساختار شبکه‌ی جانشینی جایگشتی (SPN) در رمزهای قالبی

به دست می‌آورد.

$$\text{Enc}_k : \mathbb{F}_p^n \times \mathbb{F}_p^n \rightarrow \mathbb{F}_p^n \Rightarrow \begin{cases} f_1(k_0, \dots, k_N, x_1, \dots, x_{N+1}, y_1, \dots, y_N, z_0, \dots, z_N) = 0 \\ \vdots \\ f_s(k_0, \dots, k_N, x_1, \dots, x_{N+1}, y_1, \dots, y_N, z_0, \dots, z_N) = 0. \end{cases}$$

که در آن  $k_i$  نمایش فشرده‌ی بیت‌های کلید در دور  $i$  است و داریم  $k_i = k_{i0}, \dots, k_{in-1}$ . متغیر  $x_i$  نمایش فشرده‌ی بیت‌های ورودی به دور  $i$  است و داریم  $x_i = x_{i0}, \dots, x_{in-1}$ ، به همین ترتیب متغیر  $y_i$  نمایش فشرده‌ی بیت‌های میانی دور  $i$  است و  $z_i$  نمایش فشرده‌ی بیت‌های خروجی دور  $i$  است. تحت نمادگذاری فوق  $z$  همان متن اصلی  $p$  و  $x_{N+1}$  متن رمز شده  $c$  است. بنابراین مهاجم با جایگذاری مقادیر معلوم  $\mathbf{p}$  و  $\mathbf{c}$  در معادلات به دست آمده از مرحله‌ی قبل به دستگاه معادلات زیر می‌رسد.

$$\mathcal{S} = \begin{cases} f_1(k_0, \dots, k_N, x_1, \dots, x_{N+1} = \mathbf{c}, y_1, \dots, y_N, z_0 = \mathbf{p}, \dots, z_N) = 0 \\ \vdots \\ f_s(k_0, \dots, k_N, x_1, \dots, x_{N+1} = \mathbf{c}, y_1, \dots, y_N, z_0 = \mathbf{p}, \dots, z_N) = 0. \end{cases}$$

مجهولات این دستگاه بیت‌های متناظر با متغیرهای میانی و از همه مهم‌تر بیت‌های کلید است.

در اکثر مواقع دستگاه به دست آمده جوابی یکتا دارد. بدیهی است که بخشی از جواب متعلق به بیت های کلید است و به این ترتیب کلید سامانه به دست خواهد آمد.

برخلاف حملاتی مثل تحلیل تفاضلی یا خطی که اعمال آنها مشروط به داشتن تعداد زیادی زوج متن اصلی و رمز شده آن است، در این نوع حمله معمولاً داشتن فقط یک یا دو زوج متن اصلی و رمز شده آن کافی است تا دستگاه به دست آمده یک جواب یکتا داشته باشد و حمله اعمال شود.

**نکته ۱۰.۳.** حمله متن اصلی معلوم جبری که در فوق تشریح شد دور از انتظار نیست، تصوّر کنید فرستنده یک فایل با فرمت pdf را بدون هیچ اقدام احتیاطی رمز کرده باشد و مهاجم از این موضوع (نوع فایل) مطلع باشد از آنجایی که چهار بایت اول فایل PDF همواره عبارت است از %PDF بنابراین مهاجم می تواند حمله ی فوق را اعمال کند.

**نکته ۱۱.۳.** فرآیند جبری سازی و به دست آوردن معادلات چند جمله ای حاکم بر یک سامانه، می تواند یک بار انجام شده و سپس به دفعات و در سناریوهای مختلف مورد استفاده قرار گیرد.

سناریویی را در نظر بگیرید که چند متن اصلی با یک کلید یکسان رمز شده باشند و مهاجم از این امر مطلع باشد. در این صورت مهاجم ابتدا مانند مرحله ی قبل معادلات حاکم بر سامانه را استخراج می کند. فرض کنید مهاجم  $t$  زوج متن اصلی و رمز شده  $(\mathbf{p}_i, \mathbf{c}_i)$  که همه آنها با یک کلید رمز شده اند را در دست دارد. در این صورت با جایگذاری مقادیر معلوم، در معادلات استخراج شده به معادلاتی مانند معادلات زیر دست می یابد.

$$\mathcal{S} = \begin{cases} \mathcal{S}_1 = \begin{cases} f_1(k_0, \dots, k_N, x_1^1, \dots, x_N^1, x_{N+1}^1 = \mathbf{c}_1, y_1^1, \dots, y_N^1, z_0^1 = \mathbf{p}_1, \dots, z_N^1) = 0 \\ \vdots \\ f_s(k_0, \dots, k_N, x_1^1, \dots, x_N^1, x_{N+1}^1 = \mathbf{c}_1, y_1^1, \dots, y_N^1, z_0^1 = \mathbf{p}_1, \dots, z_N^1) = 0. \end{cases} \\ \vdots \\ \mathcal{S}_t = \begin{cases} f_1(k_0, \dots, k_N, x_1^t, \dots, x_N^t, x_{N+1}^t = \mathbf{c}_t, y_1^t, \dots, y_N^t, z_0^t = \mathbf{p}_t, \dots, z_N^t) = 0 \\ \vdots \\ f_s(k_0, \dots, k_N, x_1^t, \dots, x_N^t, x_{N+1}^t = \mathbf{c}_t, y_1^t, \dots, y_N^t, z_0^t = \mathbf{p}_t, \dots, z_N^t) = 0. \end{cases} \end{cases}$$

نکته قابل توجه در معادلات فوق این است که متغیر متناظر با کلید در همه آنها یکسان است، چرا که  $t$  متن اصلی با کلیدی یکسان رمز شده اند. مهاجم با حل دستگاه معادلات فوق قادر است کلید سامانه را به دست آورد. بدیهی است که مهاجم با داشتن تعداد بیشتری متن رمز شده تحت همان کلید، می تواند معادلات بیشتری به دست آورد که این حل دستگاه را راحت تر و در صورت یکتا نبودن جواب (که احتمال آن کم است) تعداد جواب هایی را که شامل کلید اصلی نیستند کمتر می کند. در حالتی که مهاجم اطلاعاتی راجع به متن اصلی ندارد و فقط متن رمز شده را در اختیار دارد حمله ی بعدی را به کار می گیرد.



## حمله‌ی جبری فقط متن رمز شده

فرض کنید، مهاجم به تعدادی متن رمز شده که تحت یک کلید رمز شده‌اند دسترسی دارد. مانند روش‌های قبل مهاجم می‌تواند دستگاه معادلات چند جمله‌ای تشکیل دهد که متغیرهای متناظر با کلید در همه معادلات آن مشترک، ولی متغیرهای متناظر با متن اصلی و متغیرهای میانی در آن‌ها متفاوت هستند. پس از آن با جایگذاری متن‌های رمز شده در هر یک از معادلات به دست آمده به دستگاهی می‌رسد که با حل آن متن اصلی و کلید به دست می‌آید.

## ۱.۴.۳ جبری سازی KeyLoq

## معرفی KeeLoq

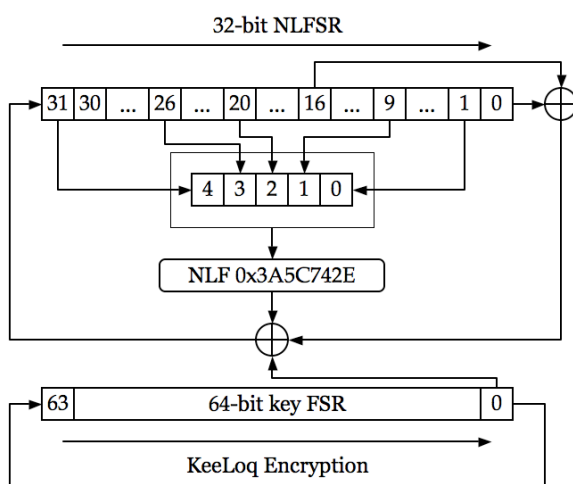
KeeLoq، یک رمز قالبی با طول قالب متن اصلی و رمز شده ۳۲ بیت و طول کلید ۶۴ بیت است که در سامانه‌های کنترل از راه دور درب خودروها و منازل از آن استفاده می‌شود. همان‌طور که در شکل ۲.۳ نمایش داده شده، بخش اصلی این الگوریتم رمزنگاری از یک ثبات انتقال با بازخورد غیرخطی ۳۲ بیتی که تابع بازخورد آن یک تابع غیر خطی ۵ متغیره است تشکیل شده است. علاوه بر این یک ثبات انتقال خطی ۳۲ بیتی دارد که بیت‌های کلید روی آن بارگذاری می‌شوند.

تابع بازخورد غیرخطی  $NLF$  در این الگوریتم را با  $NLF_{0x3A5C742E}$ ، نمایش می‌دهیم. این نمایش ضابطه‌ی این تابع را نیز مشخص می‌کند و به این معنی است که، هرگاه معادل ده‌دهی رشته‌ی باینری ورودی عدد  $i \in \{0, \dots, 31\}$  باشد، خروجی تابع  $NLF$  بیت  $i$ ام از معادل دودویی عدد هگزادسیمال  $0x3A5C742E$  است. با استفاده از جدول درستی این تابع بولی می‌توان ضابطه‌ی آن را به صورت زیر استخراج کرد.

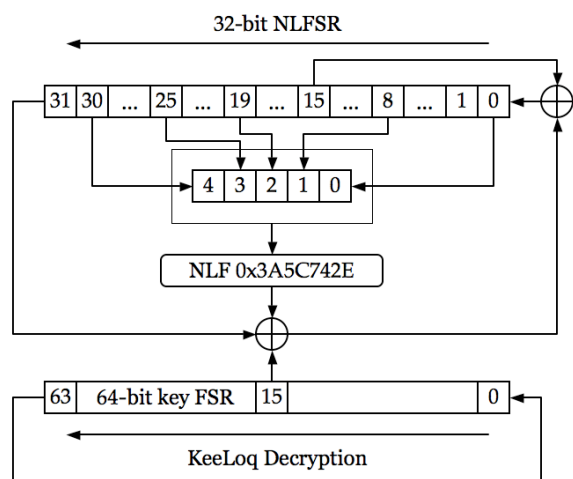
$$NLF : \mathbb{F}_2 \rightarrow \mathbb{F}_2$$

$$NLF(a, b, c, d, e) = d + e + ac + ae + bc + be + cd + de + ade + ace + abd + abc.$$

فرض کنید بیت‌های متن اصلی را با  $P_1, \dots, P_n$ ، و بیت‌های متن رمز شده را با  $C_1, \dots, C_n$ ، که  $P$  و  $C$ ، به ترتیب بیت‌های کم‌ارزش متن اصلی و متن رمز شده هستند، نمایش دهیم. همچنین فرض کنید بیت‌های کلید را با  $K_1, \dots, K_n$  که  $K$ ، بیت کم‌ارزش کلید است، نمایش دهیم. فرآیند رمزنگاری مطابق الگوریتم ۱۱، و به صورت نشان داده شده در شکل ۲.۳، و نحوه رمزگشایی طبق الگوریتم ۱۲، و به صورت نمایش داده شده در شکل ۳.۳ صورت می‌گیرد.



شکل ۲.۳: رمزنگاری در KeeLoq



شکل ۳.۳: رمزگشایی در KeeLoq

### روابط بین ورودی و خروجی

با وجود این که تابع بازخورد  $NLF$  در کی لاک (KeeLoq) یک چندجمله ای از درجه ی ۳ است، می توان رابطه ای چندجمله ای با درجه ی جبری ۲ بین ورودی و خروجی این تابع پیدا کرد، که یک نمونه از آن در زیر آمده است.

$$(e + b + a + y)(c + d + y) = 0,$$

که  $y$  خروجی و  $a, b, c, d, e$  ورودی تابع بازخورد هستند. در واقع رابطه ی چندجمله ای فوق رابطه ای است که همه ی رشته های  $(a, b, c, d, e, y) \in \mathbb{F}_2^6$  که  $y = NLF(a, b, c, d, e)$  در آن صدق می کنند. ثبات انتقال حاوی بیت های کلید، در هر دور به اندازه ی یک واحد انتقال چرخشی پیدا می کند،

سپس بیت کم ارزش وارد فرآیند رمزنگاری می شود. بنابراین اگر بیت های کلید مخفی را با  $k_{31}, \dots, k_0$  نمایش دهیم آن گاه بیت کلیدی که در دور  $t$  ام وارد فرآیند رمزنگاری می شود برابر است با  $k_{(t-1) \bmod 64}$ .

فرض کنید بیت های حالت اولیه ثبات انتقال با بازخورد غیرخطی را با  $L_{31}, \dots, L_0$  و بیت حالت تولید شده در دور  $i$  را با  $L_{31+i}$  نمایش دهیم. در نتیجه آخرین بیت حالتی که تولید می شود بیت  $L_{559}$  متعلق به دور ۵۲۸ ام است. با توجه به نمادگذاری فوق رابطه زیر بین متغیرهای  $L_i$  و بیت های متن اصلی و رمز شده برقرار است.

$$L_{559}, \dots, L_{528} = C_{31}, \dots, C_0 \text{ متن رمز شده,}$$

$$L_{31}, \dots, L_0 = P_{31}, \dots, P_0 \text{ متن اصلی.}$$

برای یکی کردن اندیس ها در  $k_t$  و  $L_i$ ، توجه کنید که بیت حالت  $L_i$  به ازای  $i \in \{32, \dots, 559\}$  در دور  $t = i - 31$  تولید می شود. بنابراین بیت کلیدی که برای محاسبه ی  $L_i$  به کار می رود عبارت است از  $k_{(i-32) \bmod 64}$ .

اکنون می توانیم روابط چندجمله ای بین متغیرهای حالت  $L_i$  و متغیرهای  $k_i$  متناظر با بیت های کلید را به صورت زیر به دست آوریم.

$$L_i = P_i \quad \forall i \in \{0, \dots, 31\}$$

$$L_i = k_{(i-32) \bmod 64} + L_{(i-32)} + L_{(i-16)} + NLF(L_{i-1}, L_{i-6}, L_{i-12}, L_{i-23}, L_{i-30}) \quad \forall i \in \{32, \dots, 559\}$$

$$C_{i-528} = L_i \quad \forall i \in \{528, 559\}$$

با جایگذاری رابطه ی درجه ی ۳ تابع  $NLF$  در معادلات فوق به روابط چندجمله ای از درجه ی ۳ به صورت زیر می رسیم.

$$L_i = P_i \quad \forall i \in \{0, \dots, 31\}$$

$$L_i = k_{(i-32) \bmod 64} + L_{(i-32)} + L_{(i-16)} + L_{i-23} + L_{i-30} + L_{i-1}L_{i-12} + L_{i-1}L_{i-30} + L_{i-6}L_{i-12} + L_{i-6}L_{i-30} + L_{i-12}L_{i-23} + L_{i-23}L_{i-30} + L_{i-1}L_{i-23}L_{i-30} + L_{i-1}L_{i-12}L_{i-30} + L_{i-1}L_{i-6}L_{i-23} + L_{i-1}L_{i-6}L_{i-12}$$

$$C_{i-528} = L_i \quad \forall i \in \{528, 559\}$$

اکنون فرض کنید یک زوج متن اصلی و رمز شده مثل  $(P, C)$  را داشته باشیم در این صورت با جایگذاری مقادیر  $L_i = P_i$  به ازای  $i \in \{0, \dots, 31\}$  و  $L_j = C_{j-528}$  به ازای  $j \in \{528, \dots, 559\}$ ، در روابط فوق، یک دستگاه معادلات از درجه ی ۳ که مجهولات آن بیت های کلید و متغیرهای حالت داخلی  $L_i$  به ازای  $i \in \{32, \dots, 527\}$  هستند به دست می آید. در نتیجه در مجموع  $560 = 496 + 64$ ، مجهول و  $528$  معادله ی درجه ی ۳ خواهیم داشت. اگر فرض کنیم  $\mu$  تا زوج متن اصلی و رمز شده در دست باشد آن گاه به ازای هر زوج، دستگاهی شبیه به دستگاه قبل داریم، که متغیرهای متناظر با بیت های کلید در همه ی این دستگاه ها یکسان است. بنابراین به ازای  $\mu$  زوج متن اصلی و رمز شده، دستگاه معادلاتی شامل  $496\mu + 64$  مجهول و  $528\mu$  معادله ی درجه ی ۳ خواهیم داشت.

می توانیم با تغییر متغیر زیر درجه ی دستگاه را از ۳ به ۲ کاهش دهیم.

$$NLF(a, b, c, d, e) = d + e + ac + \beta + bc + be + cd + de + d\beta + c\beta + \alpha\beta + \alpha c$$

$$\alpha = ab$$

$$\beta = ae.$$

تغییر متغیر فوق سبب می شود که هر یک از معادلات قبلی با سه معادله ی جدید جایگزین شوند که هر یک از این معادلات، شامل دو متغیر جدید  $\alpha_i$  و  $\beta_i$  نیز هستند. دستگاه حاصل در زیر نمایش داده شده.

$$L_i = P_i \quad \forall i \in \{0, \dots, 31\}$$

$$L_i = k_{(i-32) \bmod 64} + L_{(i-32)} + L_{(i-16)} + L_{i-23} + L_{i-30} \quad \forall i \in \{32, \dots, 559\}$$

$$L_{i-1}L_{i-12} + \beta_i + L_{i-6}L_{i-12} + L_{i-6}L_{i-30} + L_{i-12}L_{i-23}$$

$$+ L_{i-23}L_{i-30} + \beta_iL_{i-23} + \beta_iL_{i-12} + \alpha_iL_{i-23} + \alpha_iL_{i-12}$$

$$\alpha_i = L_{i-1}L_{i-6} \quad \forall i \in \{32, \dots, 559\}$$

$$\beta_i = L_{i-1}L_{i-30} \quad \forall i \in \{32, \dots, 559\}$$

$$C_{i-528} = L_i \quad \forall i \in \{528, \dots, 559\}$$

در نتیجه اگر  $\mu$  زوج متن اصلی و رمز شده را داشته باشیم، دستگاهی به دست می آید که شامل  $1584\mu$  معادله و  $1552\mu + 64$  مجهول است. این دستگاه قطعاً دارای جواب خواهد بود چون بطور قطعی از سامانه ی رمزنگاری استخراج شده است، ولی ممکن است جواب آن یکتا نباشد. هر چه تعداد زوج متن اصلی و رمز شده ای که در اختیار داریم بیشتر باشد، قیدها یا تعداد معادلات بیشتر شده و جواب به سمت یکتایی پیش می رود. برای مثال به ازای  $\mu = 2$  تعداد معادلات به  $3168$  (معادله درجه ی ۲) و تعداد مجهولات به  $3168$  می رسد. حل دستگاه به دست آمده از این روش با

استفاده از روش های موجود بسیار دشوار و حتی نشدنی است! بنابراین صرف جبری سازی یک سامانه ی رمزنگاری نمی تواند منجر به شکسته شدن آن شود. هدف ما از آوردن این مثال ارائه ی یک روش ساده و قابل فهم در تبدیل یک سامانه ی رمزنگاری به دستگاه معادلات چندجمله ای بود. روش مذکور تنها روش حمله ی جبری به این سامانه ی رمزنگاری نیست، برای مشاهده ی روش های جبری که منجر به شکست عملی Keeloq شده اند، می توانید به [۷، ۱۷] مراجعه کنید.

### ۲.۴.۳ استخراج معادلات جعبه های جانشینی

جعبه های جانشینی یکی از بخش های کلیدی بسیاری از الگوریتم های رمزنگاری نوین، به خصوص رمزهای قالبی با معماری شبکه جانشینی- جایگشتی هستند. جعبه جانشینی در واقع نگاشتی غیرخطی است، که یک  $m$  بیتی را به یک  $n$  بیتی می نگارد که در این صورت آن را یک جعبه جانشینی  $m \times n$  می نامند. در اغلب موارد جعبه های جانشینی تنها عامل غیرخطی در ساختار الگوریتم های رمزنگاری هستند که در این بخش قصد داریم روشی برای استخراج معادلات مستقل خطی و با درجه ی مشخص برای جعبه های جانشینی معرفی کنیم. یکی از روش هایی که برای به دست آوردن روابط جبری بین متغیرهای ورودی و خروجی یک جعبه جانشینی وجود دارد، به دست آوردن تابع بولی هر یک از متغیرهای خروجی بر حسب متغیرهای متناظر با بیت های ورودی است. برای مثال جعبه جانشینی  $3 \times 3$ ، با ضابطه

$x$	۰	۱	۲	۳	۴	۵	۶	۷
$S[x]$	۷	۶	۰	۴	۲	۵	۱	۳

را در نظر بگیرید. اگر ۳ بیت ورودی را با  $x_2, x_1, x_0$ ، و ۳ بیت خروجی را با  $y_2, y_1, y_0$ ، که  $x$  و  $y$ ، به ترتیب بیت های کم ارزش ورودی و خروجی هستند نمایش دهیم آن گاه با استفاده از قطعه کد زیر در نرم افزار سیج تابع بولی  $y_2, y_1, y_0$  را به صورت صریح بر حسب متغیرهای  $x_2, x_1, x_0$ ، به دست می آوریم.

```
S = mq.SBox(7,6,0,4,2,5,1,3)
n = S.n
Y = [0]*n
for i in range(n - 1, -1, -1):
    f = S.component_function(2^i)
    Y[i] = f.algebraic_normal_form()
```

و در نتیجه داریم

$$y_2 = x_0 x_1 + x_0 x_2 + x_1 x_2 + x_1 + x_2 + 1$$

$$y_1 = x_0 x_2 + x_1 + 1$$

$$y_0 = x_0 x_1 + x_0 + x_1 + x_2 + 1$$

در صورتی که نگاشت جعبه جانشینی یک به یک و در نتیجه معکوس پذیر باشد، می توان تابع بولی هر یک از ورودی ها بر حسب خروجی ها را نیز به دست آورد تا به این ترتیب معادلات بیشتری از جعبه جانشینی داشته باشیم. برای نمونه در مثال قبل می توانیم به صورت زیر معادلات معکوس را استخراج کنیم.

```

m = S.m; n = S.n
P = BooleanPolynomialRing(m + n, ['x' + str(i) for i in range(m)]
                                + ['y' + str(i) for i in range(n)])

vars = P.gens()
T = S.inverse()
X = [0]*m
for i in range(m - 1, -1, -1):
    f = T.component_function(2^i)
    f = f.algebraic_normal_form()
    X[i] = f.subs(dict(zip(vars[:m], vars[m:])))

```

تابع بولی هر یک از ورودی‌ها بر حسب خروجی‌ها، که از اجرای کد فوق به دست آمده، به صورت زیر است.

$$x_2 = y_0 y_1 + y_0 + y_1 y_2 + y_1$$

$$x_1 = y_0 y_1 + y_0 y_2 + y_1 + 1$$

$$x_0 = y_0 y_1 + y_2$$

اگر جعبه جانشینی  $n \times n$ ، معکوس پذیر باشد، می‌توانیم با کنار هم قرار دادن معادلات جعبه جانشینی و معادلات معکوس آن دستگاهی شامل  $2n$  معادله و  $2n$  مجهول برای جعبه جانشینی تشکیل دهیم. چنانچه در [۴] نیز گزارش شده است، گاهی حل معادلات به دست آمده از این روش سریع‌تر از حل معادلاتی است که از سایر روش‌ها به دست می‌آیند، اما این روش یک محدودیت اساسی دارد و آن درجه بالای جبری توابع بولی است که از این روش به دست می‌آید.

جعبه‌های جانشینی در رمزهای نوین طوری طراحی می‌شوند که درجه توابع بولی مؤلفه‌ای آن تا حد امکان بالا باشد تا به این ترتیب حل آن‌ها توسط حل کننده‌ها سخت‌تر گردد. به همین دلیل در ادامه روش دیگری را معرفی می‌کنیم که درجه معادلات استخراج شده در آن تا حدی قابل کنترل است. این روش که در [۱۱]، معرفی شده و نوع تعمیم یافته آن در نرم افزار سیج <sup>2</sup>SAGE [۶۲] پیاده سازی شده است را روش ماتریس افزوده می‌نامیم، و با ذکر یک مثال شرح می‌دهیم.

همان جعبه جانشینی قبلی را در نظر بگیرید، این بار نیز فرض کنید بیت‌های ورودی و خروجی را به ترتیب با  $x_2, x_1, x_0$  و  $y_2, y_1, y_0$ ، که  $x_0$  و  $y_0$ ، به ترتیب بیت‌های کم ارزش ورودی و خروجی هستند نمایش دهیم. فرض کنید هدف ما به دست آوردن روابط چندجمله‌ای از درجه حداکثر ۲ بین متغیرهای ورودی و خروجی است، برای این کار ابتدا یک ماتریس افزوده به صورت زیر

<sup>2</sup>System for Algebra and Geometry Experimentation

تشکیل می دهیم.

$$\begin{matrix}
 & 0 & 1 & 2 & 3 & 4 & 5 & 6 & 7 \\
 \begin{pmatrix}
 1 & 1 & 1 & 1 & 1 & 1 & 1 & 1 & 1 \\
 0 & 0 & 0 & 0 & 1 & 1 & 1 & 1 & x_2 \\
 0 & 0 & 1 & 1 & 0 & 0 & 1 & 1 & x_1 \\
 0 & 1 & 0 & 1 & 0 & 1 & 0 & 1 & x_0 \\
 1 & 1 & 0 & 1 & 0 & 1 & 0 & 0 & y_2 \\
 1 & 1 & 0 & 0 & 1 & 0 & 0 & 1 & y_1 \\
 1 & 0 & 0 & 0 & 0 & 1 & 1 & 1 & y_0 \\
 0 & 0 & 0 & 0 & 0 & 0 & 1 & 1 & x_1 x_2 \\
 0 & 0 & 0 & 0 & 0 & 1 & 0 & 1 & x_0 x_2 \\
 0 & 0 & 0 & 0 & 0 & 1 & 0 & 0 & x_2 y_2 \\
 0 & 0 & 0 & 0 & 1 & 0 & 0 & 1 & x_2 y_1 \\
 0 & 0 & 0 & 0 & 0 & 1 & 1 & 1 & x_2 y_0 \\
 0 & 0 & 0 & 1 & 0 & 0 & 0 & 1 & x_0 x_1 \\
 0 & 0 & 0 & 1 & 0 & 0 & 0 & 0 & x_1 y_2 \\
 0 & 0 & 0 & 0 & 0 & 0 & 0 & 1 & x_1 y_1 \\
 0 & 0 & 0 & 0 & 0 & 0 & 1 & 1 & x_1 y_0 \\
 0 & 1 & 0 & 1 & 0 & 1 & 0 & 0 & x_0 y_2 \\
 0 & 1 & 0 & 0 & 0 & 0 & 0 & 1 & x_0 y_1 \\
 0 & 0 & 0 & 0 & 0 & 1 & 0 & 1 & x_0 y_0 \\
 1 & 1 & 0 & 0 & 0 & 0 & 0 & 0 & y_1 y_2 \\
 1 & 0 & 0 & 0 & 0 & 1 & 0 & 0 & y_0 y_2 \\
 1 & 0 & 0 & 0 & 0 & 0 & 0 & 1 & y_0 y_1
 \end{pmatrix}
 \end{matrix}$$

ستون آخر این ماتریس افزوده، شامل همه یکجمله ای های از درجه حداکثر ۲ (به انضمام ۱) تحت یک ترتیب یکجمله ای است. سایر درایه های هر سطر با مقادیری که یکجمله ای متناظر با آن سطر به ازای تمام ورودی های ممکن، اختیار می کند، پر شده اند.

بعد از تشکیل ماتریس، با عملیات حذفی گاوس ماتریس صفر و یک سمت چپ را به صورت سطری-پلکانی تحویل یافته درمی آوریم و در طول این فرآیند، هر عملیاتی که روی ماتریس سمت چپ ماتریس افزوده اعمال می شود را روی سطرهای ماتریس سمت راست، یعنی ستون شامل



یکجمله‌ای‌ها نیز اعمال می‌کنیم که در نتیجه آن ماتریس زیر حاصل می‌شود.

[illegible]

از آنجایی که مقدار هر یک از روابط چندجمله‌ای متناظر با سطرهاى تمام صفر، به ازای همهی مقادیر ورودی همواره صفر است لذا تمام ورودی و خروجی‌های جعبه جانشینی در معادلاتی که از مساوی صفر قرار دادن این روابط به دست می‌آیند صدق می‌کنند. در نتیجه ۱۴ معادله به صورت زیر خواهیم داشت.

$$\begin{array}{ll}
\circ = x_{\circ} x_{\Upsilon} + x_{\downarrow} + y_{\downarrow} + \downarrow, & \circ = x_{\circ} + x_{\downarrow} y_{\circ} + x_{\downarrow} + y_{\circ} + y_{\downarrow} + y_{\Upsilon} + \downarrow, \\
\circ = x_{\circ} + x_{\downarrow} x_{\Upsilon} + x_{\downarrow} + y_{\circ} + y_{\downarrow} + y_{\Upsilon} + \downarrow, & \circ = x_{\circ} y_{\Upsilon} + x_{\circ} + x_{\downarrow} + x_{\Upsilon} y_{\Upsilon} + y_{\downarrow} + \downarrow, \\
\circ = x_{\circ} + x_{\Upsilon} y_{\downarrow} + x_{\Upsilon} + y_{\circ} + y_{\Upsilon}, & \circ = x_{\circ} y_{\downarrow} + x_{\Upsilon} + y_{\circ} + y_{\downarrow}, \\
\circ = x_{\circ} + x_{\downarrow} + x_{\Upsilon} y_{\circ} + x_{\Upsilon} y_{\Upsilon} + y_{\circ} + y_{\downarrow} + y_{\Upsilon} + \downarrow, & \circ = x_{\circ} y_{\circ} + x_{\downarrow} + y_{\downarrow} + \downarrow, \\
\circ = x_{\circ} x_{\downarrow} + x_{\circ} + x_{\downarrow} + x_{\Upsilon} + y_{\circ} + \downarrow, & \circ = x_{\circ} + x_{\Upsilon} + y_{\circ} + y_{\downarrow} y_{\Upsilon} + y_{\downarrow} + y_{\Upsilon}, \\
\circ = x_{\circ} + x_{\downarrow} y_{\Upsilon} + x_{\Upsilon} y_{\Upsilon} + x_{\Upsilon} + y_{\circ} + y_{\downarrow}, & \circ = x_{\circ} + x_{\downarrow} + y_{\circ} y_{\Upsilon} + y_{\downarrow} + y_{\Upsilon} + \downarrow, \\
\circ = x_{\downarrow} y_{\downarrow} + x_{\downarrow} + x_{\Upsilon} y_{\Upsilon} + y_{\downarrow} + \downarrow, & \circ = x_{\circ} + y_{\circ} y_{\downarrow} + y_{\Upsilon}.
\end{array}$$

با استفاده از دو دستور زیر در نرم افزار سیج، به راحتی می توانیم معادلات فوق را استخراج کنیم.

```
S = mq.SBox(7,6,0,4,2,5,1,3)
S.polynomials([x2,x1,x0],[y2,y1,y0])
```

این ۱۴ معادله، مستقل خطی و شامل ۲۲ یکجمله‌ای متمایز هستند. دلیل استقلال خطی این است که هر معادله شامل یکجمله‌ای‌هایی است که دیگر معادلات فاقد آن هستند. لازم به ذکر است که گاهی ممکن است ماتریس تحویل شده، فاقد سطر تمام‌صفر باشد و در نتیجه نتوانیم معادلات ضمنی درجه دو برای جعبه جانشینی به دست آوریم. در این صورت می‌توانیم همین روش را برای به دست آوردن معادلات درجه ۳ و بالاتر تعمیم دهیم. برای این کار کافی است تا ستون آخر ماتریس افزوده را با یکجمله‌ای‌های از درجه حداکثر ۳ (یا بالاتر) پر کنیم و مانند قبل عمل کنیم.

یک روش دیگر برای استخراج معادلات جعبه‌های جانشینی استفاده از الگوریتم بوخبرگر مولر است. یک جعبه جانشینی  $m \times n$  را در نظر بگیرید، نقاط ورودی و خروجی این جعبه جانشینی را می‌توانیم به صورت نقاط دودویی از فضای  $\mathbb{F}_2^{m+n}$  در نظر بگیریم. فرض کنید نقاطی از این فضا که در جعبه جانشینی داده شده صدق می‌کنند را با  $V$  نمایش دهیم در این صورت اندازه این مجموعه برابر است با  $2^m$ . با در نظر گرفتن  $V$  به عنوان ورودی الگوریتم بوخبرگر-مولر، خروجی آن چندجمله‌ای‌هایی از حلقه  $\mathbb{F}_2[x_0, \dots, x_{m-1}, y_0, \dots, y_{n-1}]$  خواهند بود که پایه گروبر  $I(V)$  را تشکیل می‌دهند.

### ۳.۴.۳ جبری سازی CTC

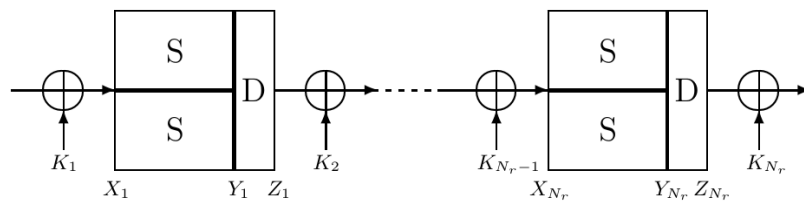
به عنوان یک نمونه دیگر از رمزهای قالبی، نحوه جبری سازی الگوریتم CTC<sup>۳</sup>، را بررسی می‌کنیم. این الگوریتم توسط کورتوا، در دو نسخه CTC1 [۲۰]، و CTC2 [۱۸]، و فقط برای آزمودن حمله‌های جبری ارائه شده است و یک سامانه‌ی رمزنگاری کاربردی محسوب نمی‌شود. البته ساختار این الگوریتم به ساختار بسیاری از الگوریتم‌های رمز قالبی واقعی نظیر سرپنت<sup>۴</sup> و AES، شباهت دارد. این الگوریتم از چند دور مشابه تشکیل می‌شود. هر دور شامل سه عملیات اصلی است که عبارتند از، جمع به پیمانه‌ی ۲ با کلید دور، عبور از لایه جعبه‌های جانشینی و سپس عبور بیت‌های خروجی لایه‌ی جعبه‌های جانشینی از یک لایه‌ی انتشار خطی. الگوریتم استخراج کلید هر یک از دورها، شبیه الگوریتم استخراج کلید در DES و فقط شامل یک جایگشت ساده روی بیت‌های کلید اصلی (مخفی) است.

پارامترهای اصلی این سامانه عبارتند از

۱. جعبه‌های جانشینی یکسان با طول قالب  $s = ۳$ . جعبه‌ی جانشینی این سامانه یک نگاشت روی  $\mathbb{F}_2^3$  است که توسط لیست مرتب  $[۷, ۶, ۰, ۴, ۲, ۵, ۱, ۳]$  نیز نمایش داده می‌شود، این نمایش به این معنی است که به ازای ورودی ۳ بیتی  $x$  که معادل دهدهی آن عددی است بین ۰ تا ۷، خروجی  $y$ ، عضو  $x$ ام از لیست تعریف شده است.

<sup>3</sup>Courtois Toy Cipher

<sup>4</sup>serpent



شکل ۴.۳: رمز CTC با ۲ جعبه‌ی جانشینی در هر دور

۲. تعداد جعبه‌های جانشینی در هر دور، که با  $B$  نمایش داده می‌شود. این پارامتر می‌تواند بین ۱ تا ۱۲۸ متغیر باشد. برای مثال شکل ۴.۳ یک دور از CTC با  $B = ۲$  را نشان می‌دهد.

۳. طول قالب متن اصلی و متن رمز شده (بر حسب بیت) برابر  $B \cdot s$ ، و طول کلید اصلی برابر است با  $H_k = ۱, ۲, ۳, \dots$ ، که بیت‌های کلید اصلی را با  $k = (k_0, \dots, k_{H_k-1})$  نمایش می‌دهیم. در CTC1،  $H_k = B \cdot s$ ، اما در CTC2، طول قالب الزاماً برابر با  $B \cdot s$  نیست و می‌تواند کوچکتر، مساوی و یا بزرگتر از آن باشد.

۴. تعداد دورها، که با  $N_r$  نمایش داده می‌شود.

فرض کنید بیت‌های ورودی و خروجی دور  $i$ ام را به ترتیب با  $X_{ij}$  و  $Z_{ij}$  نمایش دهیم که  $i = ۱, \dots, N_r$  و  $j = ۱, \dots, Bs - ۱$ . با این نحوه‌ی نمایش،  $Z_0$  همان متن اصلی و  $X_{Nr+1}$  همان متن رمز شده است که در حمله از نوع متن اصلی معلوم یا متن رمزی انتخابی فرض می‌کنیم هر دو معلوم هستند. در CTC1 کلید هر یک از دورها با یک جایگشت روی بیت‌های کلید اصلی و به صورت زیر به دست می‌آید.

$$K_{ij} := K_{(j+i \bmod Bs)}.$$

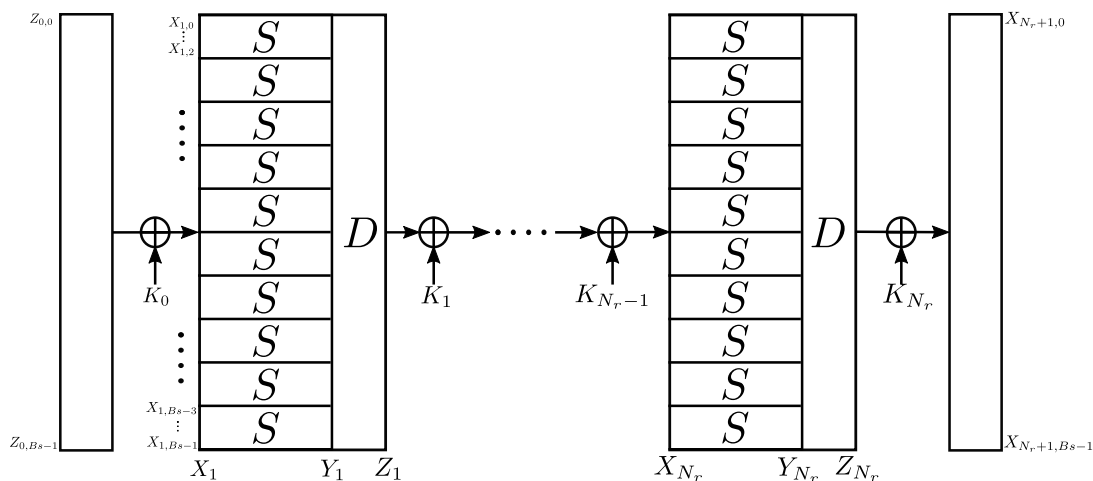
که  $K_0 = (K_{00}, \dots, K_{(Bs-1)})$  همان کلید اصلی است. اما در CTC2 داریم

$$K_{ij} = k_{j+i \cdot 509 \bmod H_k}.$$

که  $k = (k_0, \dots, k_{H_k-1})$  کلید اصلی است.

به ازای هر دور  $i = ۱, \dots, N_r$ ، عملکرد لایه‌ی انتشار  $D$  در CTC1 به صورت

$$\begin{cases} Z_{i(j \cdot 1987 + 257 \bmod Bs)} = Y_{i0} & j = 0 \\ Z_{i(j \cdot 1987 + 257 \bmod Bs)} = Y_{ij} \oplus Y_{i(j+137 \bmod Bs)} & \forall j \neq 0. \end{cases}$$



شکل ۵.۳: رمز CTC با ۱۰ جعبه‌ی جانشینی در هر دور

و در CTC2 به صورت زیر است.

$$\begin{cases} Z_{i(j \cdot 1987 + 257 \bmod Bs)} = Y_{ij} \oplus Y_{i(j+137 \bmod B \cdot s)} \oplus Y_{i(j+274 \bmod B \cdot s)} & j = 257 \bmod B \cdot s \\ Z_{i(j \cdot 1987 + 257 \bmod Bs)} = Y_{ij} \oplus Y_{i(j+137 \bmod Bs)} & \text{در غیر این صورت} \end{cases}$$

که  $Y_{ij}$  نمایش ورودی لایه‌ی انتشار است.

شکل ۵.۳ یک رمز CTC با پارامتر  $B = 10$  را نشان می‌دهد. در ادامه نحوه استخراج معادلات حاکم بر یک دور از این الگوریتم را نشان می‌دهیم که به هر تعداد دور دلخواه نیز قابل تعمیم خواهد بود. همان طور که مشاهده شد تنها بخش غیر خطی هر دور از الگوریتم رمزنگاری CTC، جعبه‌های جانشینی هستند. معادله‌های حاکم بر دور اول را به صورت گام به گام و در جهت عبور بیت‌های متن اصلی از لایه‌های رمزنگاری به دست می‌آوریم. برای سادگی فرض کنید فقط یک جعبه جانشینی در هر دور به کار ببریم. بنابراین پارامترهای CTC، در این مثال عبارتند از  $N_r = 1$  و  $B = 1$ . بیت‌های متن اصلی که عبارتند از  $(Z_{0,0}, Z_{0,1}, Z_{0,2})$ ، ابتدا با بیت‌های کلید بر اساس رابطه‌ی  $X_{i+1,j} = Z_{ij} \oplus K_{ij}$ ، به ازای  $i = 0$  و  $j = 0, 1, 2$ ، ترکیب می‌شوند، بنابراین سه رابطه به صورت زیر خواهیم داشت.

$$0 = K_{0,0} + Z_{0,0} + X_{1,0},$$

$$0 = K_{0,1} + Z_{0,1} + X_{1,1},$$

$$0 = K_{0,2} + Z_{0,2} + X_{1,2}.$$

بیت‌ها پس از ترکیب اولیه با کلید اصلی، از لایه جعبه‌های جانشینی عبور می‌کنند. اگر بیت‌های ورودی و خروجی لایه جعبه جانشینی در دور اول را طبق قرارداد به ترتیب با  $X_{1,2}, X_{1,1}, X_{1,0}$  و  $Y_{1,2}, Y_{1,1}, Y_{1,0}$ ، به ترتیب بیت‌های کم‌ارزش ورودی و خروجی هستند نمایش دهیم،

آن‌گاه بر اساس روش ماتریس افزوده که در بخش قبل معرفی شد، ۱۴ رابطه چندجمله‌ای درجه ۲ به صورت زیر بین متغیرهای ورودی و خروجی لایه جانشینی به دست می‌آید.

$$\begin{aligned} \circ &= X_{10}X_{12} + X_{11} + Y_{11} + 1, & \circ &= X_{10} + X_{11}Y_{10} + X_{11} + Y_{10} + Y_{11} + Y_{12} + 1, \\ \circ &= X_{10} + X_{11}X_{12} + X_{11} + Y_{10} + Y_{11} + Y_{12} + 1, & \circ &= X_{10}Y_{12} + X_{10} + X_{11} + X_{12}Y_{12} + Y_{11} + 1, \\ \circ &= X_{10} + X_{12}Y_{11} + X_{12} + Y_{10} + Y_{12}, & \circ &= X_{10}Y_{11} + X_{12} + Y_{10} + Y_{11}, \\ \circ &= X_{10} + X_{11} + X_{12}Y_{10} + X_{12}Y_{12} + Y_{10} + Y_{11} + Y_{12} + 1, & \circ &= X_{10}Y_{10} + X_{11} + Y_{11} + 1, \\ \circ &= X_{10}X_{11} + X_{10} + X_{11} + X_{12} + Y_{10} + 1, & \circ &= X_{10} + X_{12} + Y_{10} + Y_{11}Y_{12} + Y_{11} + Y_{12}, \\ \circ &= X_{10} + X_{11}Y_{12} + X_{12}Y_{12} + X_{12} + Y_{10} + Y_{11}, & \circ &= X_{10} + X_{11} + Y_{10}Y_{12} + Y_{11} + Y_{12} + 1, \\ \circ &= X_{11}Y_{11} + X_{11} + X_{12}Y_{12} + Y_{11} + 1, & \circ &= X_{10} + Y_{10}Y_{11} + Y_{12}. \end{aligned}$$

مرحله بعد عبور از لایه انتشار (خطی) است که با استفاده از نحوه‌ی تعریف لایه‌ی خطی  $D$ ، سه معادله به صورت زیر خواهیم داشت.

$$\begin{aligned} \circ &= Z_{10} + Y_{11} + Y_{10}, \\ \circ &= Z_{11} + Y_{12} + Y_{11}, \\ \circ &= Z_{12} + Y_{10}. \end{aligned}$$

مرحله‌ی آخر ترکیب بیت‌های خروجی لایه انتشار با بیت‌های کلید دور اول است که سه رابطه زیر را به دست می‌دهد.

$$\begin{aligned} \circ &= K_{10} + Z_{10} + X_{20}, \\ \circ &= K_{11} + Z_{11} + X_{21}, \\ \circ &= K_{12} + Z_{12} + X_{22}. \end{aligned}$$

در ضمن با توجه به نحوه عمل کرد الگوریتم استخراج کلید، روابط زیر بین بیت‌های کلید اصلی و بیت‌های کلید دور اول برقرار است.

$$\begin{aligned} \circ &= K_{10} + K_{01}, \\ \circ &= K_{11} + K_{02}, \\ \circ &= K_{12} + K_{00}. \end{aligned}$$

اکنون یک حمله متن رمزی معلوم را در نظر بگیرید، فرض کنید متن اصلی  $P = (\circ, 1, \circ)$ ، و متن رمز شده متناظر با آن که برابر است با  $C = (1, 1, 1)$ ، را در اختیار داشته باشیم و هدف ما به دست آوردن کلید باشد. در این صورت با کنار هم قرار دادن معادله‌های هر یک از لایه‌های رمزنگاری و جایگذاری مقادیر متناظر با متن اصلی و رمز شده که به ترتیب برابرند با  $(Z_{00}, Z_{01}, Z_{02}) = (\circ, 1, \circ)$

و  $(X_{۲۰}, X_{۲۱}, X_{۲۲}) = (۱, ۱, ۱)$ ، به دستگاه معادلاتی که در ادامه آمده است می‌رسیم.

$$\begin{aligned}
 \circ &= K_{\circ\circ} + X_{۱\circ}, & \circ &= X_{۱\circ}Y_{۱\circ} + X_{۱۱} + Y_{۱۱} + ۱, \\
 \circ &= K_{\circ۱} + X_{۱۱} + ۱, & \circ &= X_{۱\circ} + X_{۱۲} + Y_{۱\circ} + Y_{۱۱}Y_{۱۲} + Y_{۱۱} + Y_{۱۲}, \\
 \circ &= K_{\circ۲} + X_{۱۲}, & \circ &= X_{۱\circ} + X_{۱۱} + Y_{۱\circ}Y_{۱۲} + Y_{۱۱} + Y_{۱۲} + ۱, \\
 \circ &= X_{۱\circ}X_{۱۲} + X_{۱۱} + Y_{۱۱} + ۱, & \circ &= X_{۱\circ} + Y_{۱\circ}Y_{۱۱} + Y_{۱۲} \\
 \circ &= X_{۱\circ} + X_{۱۱}X_{۱۲} + X_{۱۱} + Y_{۱\circ} + Y_{۱۱} + Y_{۱۲} + ۱, & \circ &= Y_{۱\circ} + Z_{۱۲}, \\
 \circ &= X_{۱\circ} + X_{۱۲}Y_{۱۱} + X_{۱۲} + Y_{۱\circ} + Y_{۱۲}, & \circ &= Y_{۱\circ} + Z_{۱\circ} + Y_{۱۱}, \\
 \circ &= X_{۱\circ} + X_{۱۱} + X_{۱۲}Y_{۱\circ} + X_{۱۲}Y_{۱۲} + Y_{۱\circ} + Y_{۱۱} + Y_{۱۲} + ۱, & \circ &= Y_{۱۱} + Z_{۱۱} + Y_{۱۲}, \\
 \circ &= X_{۱\circ}X_{۱۱} + X_{۱\circ} + X_{۱۱} + X_{۱۲} + Y_{۱\circ} + ۱, & \circ &= K_{۱\circ} + Z_{۱\circ} + ۱, \\
 \circ &= X_{۱\circ} + X_{۱۱}Y_{۱۲} + X_{۱۲}Y_{۱۲} + X_{۱۲} + Y_{۱\circ} + Y_{۱۱}, & \circ &= K_{۱۱} + Z_{۱۱} + ۱, \\
 \circ &= X_{۱۱}Y_{۱۱} + X_{۱۱} + X_{۱۲}Y_{۱۲} + Y_{۱۱} + ۱, & \circ &= K_{۱۲} + Z_{۱۲} + ۱, \\
 \circ &= X_{۱\circ} + X_{۱۱}Y_{۱\circ} + X_{۱۱} + Y_{۱\circ} + Y_{۱۱} + Y_{۱۲} + ۱, & \circ &= K_{\circ۱} + K_{۱\circ}, \\
 \circ &= X_{۱\circ}Y_{۱۲} + X_{۱\circ} + X_{۱۱} + X_{۱۲}Y_{۱۲} + Y_{۱۱} + ۱, & \circ &= K_{\circ۲} + K_{۱۱}, \\
 \circ &= X_{۱\circ}Y_{۱۱} + X_{۱۲} + Y_{۱\circ} + Y_{۱۱}, & \circ &= K_{\circ\circ} + K_{۱۲}.
 \end{aligned}$$

این دستگاه دارای ۲۶ معادله و ۱۵ مجهول و همچنین ۳۱ یکجمله ای متمایز است. پایه گروبرن ایده‌ال تولید شده توسط دستگاه معادلات فوق را با استفاده از نرم افزار سیج محاسبه کرده ایم که آن را در زیر مشاهده می کنید.

$$GB = \{K_{\circ\circ}, K_{\circ۱}, K_{\circ۲} + ۱, Y_{۱\circ} + ۱, X_{۱\circ}, K_{۱\circ}, Z_{۱\circ} + ۱, Y_{۱۱}, X_{۱۱} + ۱, K_{۱۱} + ۱, Z_{۱۱}, Y_{۱۲}, X_{۱۲} + ۱, K_{۱۲}, Z_{۱۲} + ۱\}$$

همان طور که مشاهده می شود، به راحتی می توان پاسخ یکتای دستگاه را از روی پایه گروبرن محاسبه شده به دست آورد. به این ترتیب جواب دستگاه عبارت است از

$$\{K_{\circ\circ} = \circ, K_{\circ۱} = \circ, K_{\circ۲} = ۱, Y_{۱\circ} = ۱, X_{۱\circ} = \circ, K_{۱\circ} = \circ, Z_{۱\circ} = ۱, Y_{۱۱} = \circ, X_{۱۱} = ۱, K_{۱۱} = ۱,$$

$$Z_{۱۱} = \circ, Y_{۱۲} = \circ, X_{۱۲} = ۱, K_{۱۲} = \circ, Z_{۱۲} = ۱\}$$

و در نتیجه کلید سامانه برابر است با  $(K_{\circ\circ}, K_{\circ۱}, K_{\circ۲}) = (\circ, \circ, ۱)$ . باید توجه کرد که به ازای برخی از زوج متن های اصلی و رمز شده ممکن است دستگاهی به دست آید که جواب یکتا نداشته باشد، برای مثال اگر متن اصلی  $P = (\circ, \circ, \circ)$  را با همان کلید  $K = (\circ, \circ, ۱)$  رمز کنیم به متن رمز شده  $C = (\circ, \circ, ۱)$  می رسیم، حال فرض کنید فقط زوج  $(P, C)$ ، را در اختیار داشته باشیم. این بار دستگاهی که از جایگذاری مقادیر متناظر با  $P$  و  $C$ ، به دست می آید، دارای جواب یکتا نیست بلکه ۴ جواب دارد که بیت های کلید در هر چهار جواب، متمایز هستند و لذا برای

تعداد دورها	طول قالب داده	طول کلید	
۱۰	۱۲۸ بیت	۱۲۸ بیت	AES-128
۱۲	۱۲۸ بیت	۱۹۲ بیت	AES-192
۱۴	۱۲۸ بیت	۲۵۶ بیت	AES-256

جدول ۱.۳: پارامترهای نسخه‌های مختلف AES

تشخیص کلید صحیح به زوج متن‌های اصلی و رمز شده بیشتری نیاز داریم. در فصل بعد راجع به روش‌های حل چنین دستگاه‌هایی بیشتر بحث می‌کنیم.

### ۴.۴.۳ جبری سازی AES و SR

#### معرفی AES

مؤسسه ملی فناوری و استانداردهای ایالات متحده<sup>۵</sup>، با برگزاری یک رقابت چند مرحله‌ای به نام AES، که از سال ۱۹۹۷ تا سال ۲۰۰۰ ادامه داشت، تلاش کرد تا استاندارد جدیدی برای رمزهای قالبی برگزیند. الگوریتم پیروز این مسابقه قرار بود استاندارد رمزنگاری پیشرفته و جایگزین DES باشد. طی یک فراخوان عمومی ۱۵ الگوریتم به مسابقه ارسال شد، از این میان ۵ الگوریتم به مرحله نهایی راه یافتند تا این که سرانجام الگوریتمی تحت عنوان راین دال<sup>۶</sup>، که توسط دو جوان بلژیکی به نام‌های وینسنت رایمن<sup>۷</sup> و یوان دیمن<sup>۸</sup>، به مسابقه ارسال شده بود به عنوان برنده مسابقه اعلام شد. الگوریتم راین دال پس از پیروزی در مسابقه‌ی AES، توسط NIST، در نوامبر سال ۲۰۰۱ استاندارد سازی و در سند FIPS 197 تحت نام AES عرضه شد. AES، مثل بسیاری از رمزهای قالبی دیگر، دارای دو بخش جداگانه است که عبارت‌اند از الگوریتم استخراج کلید و الگوریتم رمزنگاری. الگوریتم رمزنگاری شامل چند دور است که هر دور آن نیازمند کلیدی مختص آن دور و هم‌اندازه با طول قالب است. وظیفه الگوریتم استخراج کلید این است که با دریافت شاه‌کلید اصلی، کلید هر یک از دورها را تولید کند. ما ابتدا فرض می‌کنیم الگوریتم استخراج کلید کار خود را انجام داده و کلید هر یک از دورها را تولید کرده است، با این فرض الگوریتم رمزنگاری را توضیح می‌دهیم و سپس الگوریتم استخراج کلید را توضیح خواهیم داد. AES، دارای سه نسخه است که در هر سه، طول قالب داده ثابت و برابر ۱۲۸ بیت، ولی طول کلید و تعداد دورها در این سه نسخه متفاوت، و مطابق جدول ۱.۳ است. در ادامه خواهیم دید، برخلاف این که طول کلید در نسخه‌های مختلف AES متفاوت است ولی، هر یک از زیرکلیدها یا کلید دورها که توسط الگوریتم استخراج کلید تولید می‌شوند هم‌طول با قالب داده یعنی ۱۲۸ بیتی هستند. برای شرح

<sup>۵</sup>NIST<sup>۶</sup>Rijndael<sup>۷</sup>Vincent Rijmen<sup>۸</sup>Joan Daemen

۰	۴	۸	۱۲
۱	۵	۹	۱۳
۲	۶	۱۰	۱۴
۳	۷	۱۱	۱۵

آرایش زیرکلیدها در AES ماتریس حالت در AES

شکل ۶.۳: آرایش داده و کلید در AES

عملکرد AES، قالب داده و زیرکلیدها را به صورت آرایه های  $4 \times 4$  از کلمه های یک بیتی و با آرایش نشان داده شده در شکل ۶.۳ در نظر می گیریم و ماتریس شامل داده در حال رمزنگاری را ماتریس حالت می نامیم.

بین مجموعه ی بایت ها و میدان  $\text{GF}(2^8)$  تناظری یک به یک به صورت زیر برقرار است.

$$\mathbb{F}_2^8 \rightarrow \text{GF}(2^8) = \frac{\text{GF}(2)[X]}{\langle X^8 + X^4 + X^3 + X + 1 \rangle} = \text{GF}(2)(\theta)$$

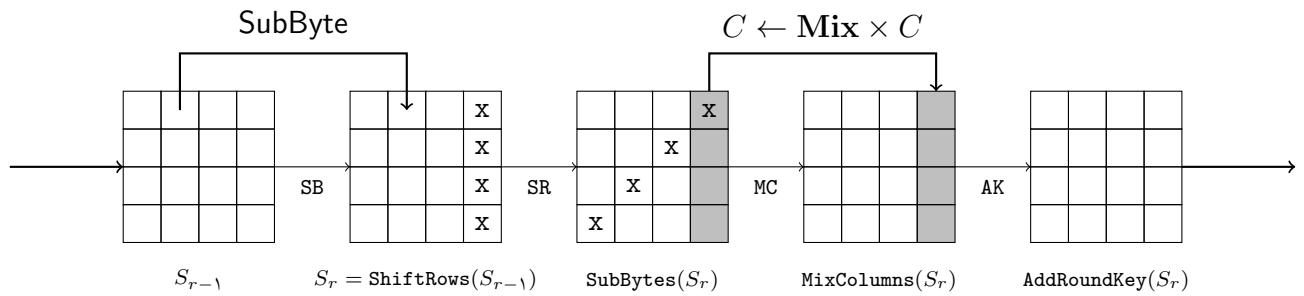
$$(b_7, \dots, b_0) \mapsto \sum_{i=0}^7 b_i X^i \pmod{m(X)} = \sum_{i=0}^7 b_i \theta^i$$

که  $m(X) = X^8 + X^4 + X^3 + X + 1 \in \text{GF}(2)[X]$  یک چندجمله ای تحویل ناپذیر از حلقه  $\text{GF}(2)[X]$ ، موسوم به چندجمله ای راین دال، و  $\theta$  یک ریشه آن است. با استفاده از این تناظر می توانیم هر بایت را به صورت یک چندجمله ای از میدان  $\text{GF}(2)(\theta)$  در نظر بگیریم، برای مثال  $0\text{x}D1 = \theta^7 + \theta^6 + \theta^4 + 1$ . به این ترتیب ماتریس حالت، عضوی از فضای  $\text{Mat}_4(\mathbb{F}_{2^8})$  است. به همین ترتیب کلید هر یک از دورها را نیز می توانیم به صورت یک ماتریس از  $\text{Mat}_4(\mathbb{F}_{2^8})$  در نظر بگیریم. در ادامه با استفاده از این تناظر، یک بیان جبری از سامانه رمزنگاری AES ارائه خواهیم کرد. فرض کنید تعداد دورها را با  $n$  نمایش دهیم. در این صورت فرآیند رمزنگاری مطابق الگوریتم ۱۳ است. همان طور که در شکل ۷.۳ نیز نمایش داده شده، هر دور از حلقه اصلی الگوریتم ۱۳، (به استثناء دور آخر) شامل ۴ عملیات مختلف است که در ادامه هر یک را توضیح می دهیم.

**AddRoundKey** در این تابع ماتریس حالت با کلید دور ترکیب می شود، به این صورت که هر بایت از ماتریس ورودی با بایت متناظر از کلید دور، xor می شود، و یا به بیان جبری، ماتریس حالت و ماتریس کلید به عنوان دو ماتریس از فضای  $\text{Mat}_4(\mathbb{F}_{2^8})$  با هم جمع می شوند. قبل از توضیح مرحله بعد دو مفهوم جبری را تعریف می کنیم. در تعاریف زیر فرض کنید  $\mathbb{F}$  یک میدان از مرتبه  $q$  و  $K$  یک توسیع  $\mathbb{F}$  از درجه  $d$  باشد.

**تعریف ۱۲.۳ (مزدوج های یک عضو میدان).** فرض کنید  $a \in K$ ، در این صورت مزدوج های  $a$  نسبت به  $\mathbb{F}$  عبارت اند از اعضای مجموعه  $\{a^{q^i} : 0 \leq i \leq d-1\}$ .





شکل ۷.۳: نمایش تصویری یک دور از الگوریتم AES

**تعریف ۱۳.۳** ( $-q$  - چندجمله‌ای). چندجمله‌ای  $f(x) = \sum_{i=0}^{d-1} a_i x^{q^i} \in K[x]$  را که  $a_i \in K$ ، یک  $-q$  - چندجمله‌ای گوئیم. بنابراین وقتی  $f(x)$  یک  $-q$  - چندجمله‌ای باشد، آن گاه به ازای هر  $a \in K$  مقدار  $f(a)$  ترکیب  $-K$  - خطی از مزدوج‌های  $a$  خواهد بود.

یک  $-q$  - چندجمله‌ای مثل  $f(x) \in K[x]$  یک نگاشت خطی روی  $K$  به عنوان فضای برداری روی  $\mathbb{F}$  است. همچنین می‌توان نشان داد که هر نگاشت خطی روی  $K$  به عنوان یک فضای برداری روی  $\mathbb{F}$  را می‌توان به صورت یک  $-q$  - چندجمله‌ای بیان کرد. برای مثال هر نگاشت خطی روی  $\mathbb{GF}(2^8)$  به عنوان یک فضای برداری روی  $\mathbb{GF}(2)$  را می‌توان به صورت  $f(X) = \lambda_0 X^{2^0} + \lambda_1 X^{2^1} + \dots + \lambda_7 X^{2^7}$  نوشت که در آن  $\lambda_i \in \mathbb{GF}(2^8)$ .

**SubByte** در این مرحله هر بایت از ماتریس ورودی از جعبه جانشینی AES عبور کرده و بایت متناظر در ماتریس خروجی را تشکیل می‌دهد. جعبه جانشینی شامل سه عملیات مختلف است که آن‌ها را توضیح می‌دهیم.

- اولین عملیات جعبه جانشینی معکوس‌گیری توسیع یافته است. به این خاطر آن را توسیع یافته گوئیم که صفر نیز عضو دامنه این نگاشت است و طبق قرارداد آن را به خودش می‌نگارد. با توجه به این که مرتبه میدان  $\mathbb{GF}(2^8)$  برابر ۲۵۶ است لذا به ازای هر  $w \in \mathbb{GF}(2^8) \setminus \{0\}$  داریم  $w^{-1} = w^{254}$ . همچنین  $0^{254} = 0$ . بنابراین می‌توان این مرحله را با استفاده از نگاشت زیر توصیف کرد.

$$I : \mathbb{GF}(2^8) \rightarrow \mathbb{GF}(2^8)$$

$$w = \sum_{i=0}^7 w_i \theta^i \mapsto x = I(w) = w^{254}.$$

- گام دوم اعمال یک نگاشت  $\mathbb{GF}(2)$  - خطی به صورت زیر است.

$$x = \begin{pmatrix} x_0 \\ x_1 \\ x_2 \\ x_3 \\ x_4 \\ x_5 \\ x_6 \\ x_7 \end{pmatrix} \mapsto \begin{pmatrix} 1 & 0 & 0 & 0 & 1 & 1 & 1 & 1 \\ 1 & 1 & 0 & 0 & 0 & 1 & 1 & 1 \\ 1 & 1 & 1 & 0 & 0 & 0 & 1 & 1 \\ 1 & 1 & 1 & 1 & 0 & 0 & 0 & 1 \\ 1 & 1 & 1 & 1 & 1 & 0 & 0 & 0 \\ 0 & 1 & 1 & 1 & 1 & 1 & 0 & 0 \\ 0 & 0 & 1 & 1 & 1 & 1 & 1 & 0 \\ 0 & 0 & 0 & 1 & 1 & 1 & 1 & 1 \end{pmatrix} \begin{pmatrix} x_0 \\ x_1 \\ x_2 \\ x_3 \\ x_4 \\ x_5 \\ x_6 \\ x_7 \end{pmatrix}$$

می دانیم که هر نگاشت خطی روی  $\mathbb{GF}(2^8)$  به عنوان یک فضای برداری روی  $\mathbb{GF}(2)$  را می توان به صورت یک ۲ - چندجمله ای نوشت. ۲ - چندجمله ای متناظر با نگاشت خطی فوق عبارت است از

$$x \mapsto A(x) = 05x^{2^0} + 09x^{2^1} + F9x^{2^2} + 25x^{2^3} + F4x^{2^4} + 01x^{2^5} + B5x^{2^6} + 8Fx^{2^7}$$

- گام آخر در جعبه جانشینی افزودن مقدار ثابت است. در این مرحله خروجی گام دوم و مقدار ثابت  $63 = \theta^6 + \theta^5 + \theta + 1 \in \mathbb{GF}(2^8)$  به عنوان اعضای میدان  $\mathbb{GF}(2^8)$  با هم جمع می شوند و حاصل خروجی جعبه جانشینی خواهد بود.

بنابراین اگر نگاشت جعبه جانشینی را با  $S_{RD} : \mathbb{GF}(2^8) \rightarrow \mathbb{GF}(2^8)$  نمایش دهیم در این صورت داریم  $S_{RD}(w) = A(I(w)) + 63$ .

**ShiftRows** همان طور که در شکل ۷.۳ نمایش داده شده، در این مرحله کلمه های سطر  $i$ ام از آرایه داده به اندازه  $0 \leq i \leq 3$  به سمت چپ انتقال چرخشی پیدا می کنند. همان طور که مشخص است این مرحله مستقل از تعداد سطرها است و سطر اول در این مرحله بدون تغییر باقی می ماند. اگر این انتقال چرخشی سطرها وجود نداشته باشد، کل عملیات رمزنگاری روی ستون های ۳۲ بیتی انجام می شود، و ما در عمل یک رمز قالبی با طول قالب ۳۲ بیت خواهیم داشت!

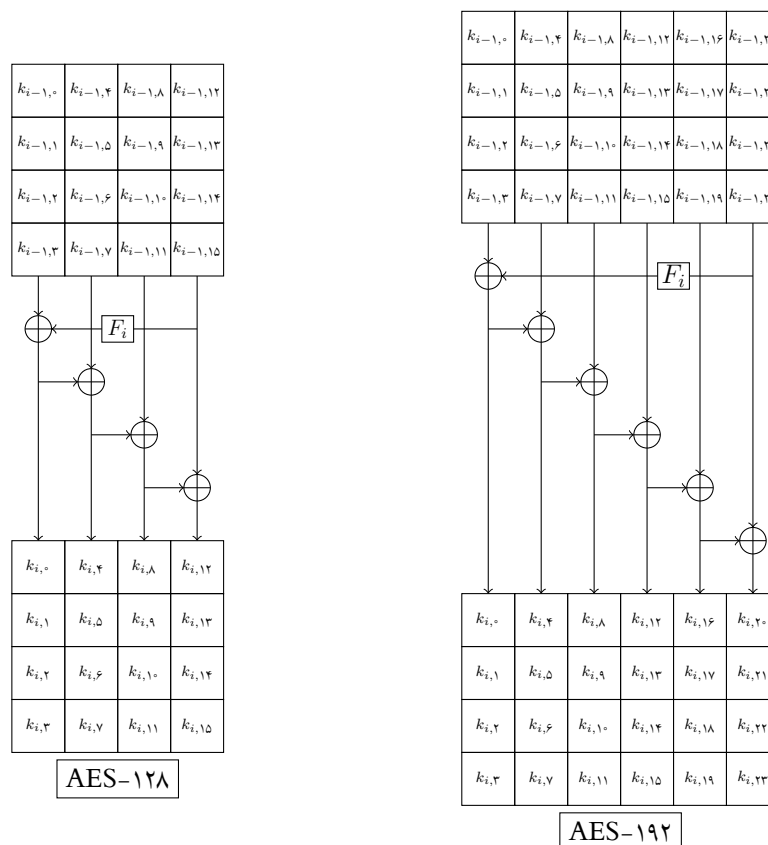
**MixColumns** این تابع هر ستون از ماتریس حالت را به طور مستقل از دیگر ستون ها تلفیق و درهم سازی می کند. فرآیند تلفیق بدین ترتیب است که هر ستون از ماتریس حالت، در ماتریس

ثابت

$$\begin{pmatrix} \theta & \theta+1 & 1 & 1 \\ 1 & \theta & \theta+1 & 1 \\ 1 & 1 & \theta & \theta+1 \\ \theta+1 & 1 & 1 & \theta \end{pmatrix} = \begin{pmatrix} 02 & 03 & 01 & 01 \\ 01 & 02 & 03 & 01 \\ 01 & 01 & 02 & 03 \\ 03 & 01 & 01 & 02 \end{pmatrix} \in \mathcal{M}_4(\mathbb{F}_{2^8})$$

ضرب می‌شود تا ستون جدید متناظر، در ماتریس حالت خروجی به‌دست آید.

الگوریتم توسعه یا استخراج کلید وابسته به طول کلید، متفاوت است. در این میان الگوریتم توسعه کلید AES-256 دارای یک تفاوت جزئی نسبت به دو نسخه دیگر است. ما برای سادگی، فقط الگوریتم توسعه کلید نسخه‌های AES-128 و AES-192 را شرح می‌دهیم. کلید هر دور بر اساس کلید دور قبل و به‌صورت نمایش داده شده در شکل ۸.۳ به‌دست می‌آید. تابع  $F_i$  در الگوریتم



شکل ۸.۳: یک دور از الگوریتم توسعه کلید AES-128 و AES-192

توسیع کلید شامل یک واحد انتقال چرخشی کلمه‌ها به سمت چپ، عبور از جعبه جانشینی و سپس افزودن یک مقدار ثابت است. برای مثال نحوه عمل‌کرد این عمل‌گر برای AES-128 در

دور  $i \in \{1, \dots, 10\}$  به صورت زیر است.

$$T_0 T_1 T_2 T_3 = F_i(k_{i-1,12} k_{i-1,13} k_{i-1,14} k_{i-1,15})$$

$$T_0 = S_{RD}(k_{i-1,13}) + \theta^{i-1}, T_1 = S_{RD}(k_{i-1,14}), T_2 = S_{RD}(k_{i-1,15}), T_3 = S_{RD}(k_{i-1,12}).$$

### معرفی SR

SR یک رمز قالبی است که توسط متیو رابشاو<sup>۹</sup>، سیین مورفی<sup>۱۰</sup> و کارلس سید<sup>۱۱</sup> در [۱۴]، و به عنوان یک نسخه کوچک مقیاس از AES ارائه شد. SR دارای دو نوع است که نوع اول را با  $SR(n, r, c, e)$  و نوع دوم را با  $SR^*(n, r, c, e)$  نمایش می دهیم که تنها تفاوت آن ها در دور آخر است. متغیرهای داخل پرانتز پارمترهای SR نام دارند و به صورت زیر تعریف می شوند.

- $n$  تعداد دورهای رمزنگاری را نشان می دهد.
  - $r$  تعداد سطریهای ماتریس حالت ورودی است.
  - $c$  تعداد ستونیهای ماتریس حالت ورودی است.
  - $e$  اندازه (بر حسب بیت) هر یک از کلمه ها و یا درایه های ماتریس حالت را نشان می دهد.
- $SR(n, r, c, e)$  و  $SR^*(n, r, c, e)$ ، هر دو دارای  $n \in \{1, \dots, n\}$  دور و طول قالب  $rce$  بیت هستند که قالب داده در هر دو آن ها به صورت یک آرایه  $r \times c$  از کلمه های  $e$  بیتی در نظر گرفته می شود.  $r$  و  $c$  از مجموعه  $\{1, 2, 4\}$  انتخاب می شوند که در نتیجه ۹ حالت برای ماتریس حالت وجود دارد. در هر یک از حالات، ترتیب قرار گرفتن داده ها در ماتریس حالت را مانند AES، با اولویت پر شدن ستون ها در نظر می گیریم. برای مثال چند نمونه از ماتریس های به ازای  $r$  و  $c$  های مختلف نشان داده شده است. در ادامه خواهیم دید که  $SR^*(10, 4, 4, 8)$ ، همان AES-128 است.

۰	۴	۸	۱۲
۱	۵	۹	۱۳
۲	۶	۱۰	۱۴
۳	۷	۱۱	۱۵

۰	۲	۴	۶
۱	۳	۵	۷

۰	۴
۱	۵
۲	۶
۳	۷

۰	۲
۱	۳

۰
۱

۰
---

طول کلمه ها (بر حسب بیت) یعنی پارامتر  $e$  در SR یا  $SR^*$ ، از مجموعه  $\{4, 8\}$  انتخاب می شود. همان طور که در معرفی AES اشاره کردیم، می توانیم هر کلمه  $e$  بیتی را به عنوان عضوی از میدان  $GF(2^e)$  در نظر بگیریم. اگر  $e = 4$  باشد از چند جمله ای تحویل ناپذیر  $X^4 + X + 1$

<sup>9</sup>Matthew J. B. Robshaw

<sup>10</sup>Sean Murphy

<sup>11</sup>Carlos Cid

۱ ∈ GF(۲)[X] برای تعریف میدان GF(۲⁴) استفاده می‌کنیم. فرض کنید ρ ریشه چندجمله‌ای تحویل‌ناپذیر مذکور باشد، در این صورت

$$\text{GF}(2^4) = \frac{\text{GF}(2)[X]}{\langle X^4 + X + 1 \rangle} = \text{GF}(2)(\rho).$$

اگر e = ۸ باشد از میدان GF(۲⁸) در SR(n, r, c, ۸) و SR\*(n, r, c, ۸) استفاده می‌کنیم. این میدان با همان چندجمله‌ای تحویل‌ناپذیر راین دال که در AES معرفی شد، تعریف می‌شود. به این ترتیب اگر فرض کنیم θ ریشه چندجمله‌ای تحویل‌ناپذیر راین دال باشد داریم

$$\text{GF}(2^8) = \frac{\text{GF}(2)[X]}{\langle X^8 + X^4 + X^3 + X + 1 \rangle} = \text{GF}(2)(\theta).$$

هر دور از SR به مانند دوره‌های میانی AES از چهار عملیات MixColumns، ShiftRows، SubByte و AddRoundKey تشکیل شده است. تنها تفاوت SR\* با SR در این است که دور آخر SR\* مانند AES فاقد عملگر MixColumns است و در نتیجه AES = SR\*(۱۰, ۴, ۴, ۸).

با توجه به این که متن رمزی حاصل از رمزکردن یک متن اصلی دلخواه با استفاده از یک کلید دلخواه، تحت SR(n, r, c, e) و SR\*(n, r, c, e) با یک نگاشت خطی به هم مرتبط هستند و یک جواب دستگاه معادلات به دست آمده از SR\* به راحتی قابل تبدیل به جوابی برای دستگاه به دست آمده از SR است لذا بدون کاستن از کلیت، در ادامه فقط به شرح جزئیات SR(n, r, c, e) می‌پردازیم.

**SubByte** عملیات SubByte در SR مانند AES از عبور کلمه‌های ماتریس حالت از جعبه جانشینی تشکیل شده است. جعبه جانشینی در SR(n, r, c, ۸) هم‌اچ جعبه جانشینی AES است. بنابراین در این قسمت فقط به معرفی جعبه جانشینی SR(n, r, c, ۴) می‌پردازیم. جعبه جانشینی SR(n, r, c, ۴) مانند جعبه جانشینی AES از سه قسمت به شرح زیر تشکیل شده است.

- اولین عملیاتی که در S-Box صورت می‌گیرد، معکوس‌گیری در میدان GF(۲⁴) است. در ضمن اگر ورودی صفر بود، آنرا به صفر می‌نگاریم.

- در گام دوم هر یک خروجی‌های مرحله معکوس‌گیری وارد نگاشت GF(۲) - خطی می‌شوند

که با استفاده از ماتریس زیر تعریف می شود.

$$x = \begin{pmatrix} x_0 \\ x_1 \\ x_2 \\ x_3 \end{pmatrix} \mapsto \begin{pmatrix} 1 & 1 & 1 & 0 \\ 0 & 1 & 1 & 1 \\ 1 & 0 & 1 & 1 \\ 1 & 1 & 0 & 1 \end{pmatrix} \begin{pmatrix} x_0 \\ x_1 \\ x_2 \\ x_3 \end{pmatrix}$$

این نگاشت  $\text{GF}(2)$  - خطی را می توان با ۲ - چندجمله ای  $A(x) = \lambda_0 x^3 + \lambda_1 x^2 + \lambda_2 x + \lambda_3$  نمایش داد.  $(\lambda_0, \lambda_1, \lambda_2, \lambda_3) = (5, 1, C, 5)$  که  $\text{GF}(2^8)[x]$  از  $\lambda_3 x^3$

- مرحله آخر S-Box عبارت است از افزودن مقدار ثابت. در این مرحله مقدار ثابت 6 (یا به طور معادل  $\rho^2 + \rho$ ) به خروجی مرحله نگاشت  $\text{GF}(2)$  - خطی افزوده می شود، که نتیجه آن خروجی کل S-Box خواهد بود.

$\text{GF}(2^8)$	$\text{GF}(2^4)$	خلاصه اطلاعات جعبه جانشینی
$X^8 + X^4 + X^3 + X + 1$	$X^4 + X + 1$	چندجمله ای تحویل ناپذیر
$L_8 = \begin{pmatrix} 1 & 0 & 0 & 0 & 1 & 1 & 1 & 1 \\ 1 & 1 & 0 & 0 & 0 & 1 & 1 & 1 \\ 1 & 1 & 1 & 0 & 0 & 0 & 1 & 1 \\ 1 & 1 & 1 & 1 & 0 & 0 & 0 & 0 \\ 0 & 1 & 1 & 1 & 1 & 1 & 0 & 0 \\ 0 & 0 & 1 & 1 & 1 & 1 & 1 & 0 \\ 0 & 0 & 0 & 1 & 1 & 1 & 1 & 1 \end{pmatrix}$	$L_4 = \begin{pmatrix} 1 & 1 & 1 & 0 \\ 0 & 1 & 1 & 1 \\ 1 & 0 & 1 & 1 \\ 1 & 1 & 0 & 1 \end{pmatrix}$	نگاشت خطی
$0x63 = \theta^6 + \theta^5 + \theta + 1$	$0x6 = \rho^2 + \rho$	مقدار ثابت

جدول ۲.۳: نگاشت های جعبه جانشینی در SR

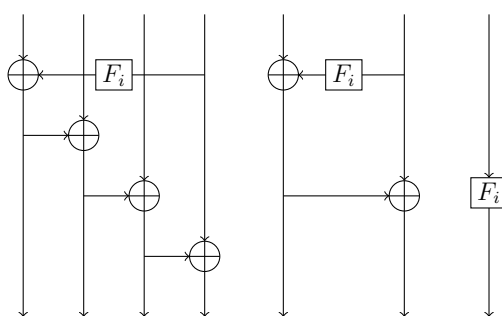
**ShiftRows** همان طور که در معرفی AES ذکر شد، در این مرحله کلمه های سطر  $i$ ام از آرایه داده به اندازه  $0 \leq i \leq r-1$  به سمت چپ انتقال چرخشی پیدا می کند. همان طور که مشخص است این مرحله مستقل از تعداد سطرها است و سطر اول در این مرحله بدون تغییر باقی می ماند.

**MixColumns** در این مرحله هر یک از ستون های ماتریس حالت در یک ماتریس معکوس پذیر ضرب می شود. این ماتریس به تعداد سطرهای ماتریس حالت وابسته و به صورت نشان داده شده در جدول ۳.۳ است.

$GF(2^8)$	$GF(2^4)$	تعداد سطرها
(۱)	(۱)	$r = 1$
$\begin{pmatrix} \theta+1 & \theta \\ \theta & \theta+1 \end{pmatrix}$	$\begin{pmatrix} \rho & \rho \\ \rho & \rho+1 \end{pmatrix}$	$r = 2$
$\begin{pmatrix} \theta & \theta+1 & 1 & 1 \\ 1 & \theta & \theta+1 & 1 \\ 1 & 1 & \theta & \theta+1 \\ \theta+1 & 1 & 1 & \theta \end{pmatrix}$	$\begin{pmatrix} \rho & \rho+1 & 1 & 1 \\ 1 & \rho & \rho+1 & 1 \\ 1 & 1 & \rho & \rho+1 \\ \rho+1 & 1 & 1 & \rho \end{pmatrix}$	$r = 4$

جدول ۳.۳: ماتریس MixColumns در SR

**AddRoundKey** الگوریتم توسعه یا استخراج کلید در  $SR(n, r, c, e)$ ، با دریافت کلید اصلی،  $n+1$  زیرکلید برای هر یک از دورها تولید می کند که در مرحله **AddRoundKey**، هر کلمه از این زیرکلیدها با کلمه متناظر در ماتریس حالت (به عنوان عضوی از  $GF(2^e)$ ) جمع می شود. الگوریتم رمزنگاری در SR مانند AES با **AddRoundKey** آغاز می شود. الگوریتم توسعه کلید در SR با الهام از الگوریتم توسعه کلید در AES طراحی شده است. کلید



شکل ۹.۳: یک دور از الگوریتم توسعه کلید SR

اصلی  $SR(n, r, c, e)$  یک کلید  $rce$  بیتی است که به صورت یک آرایه  $r \times c$  از کلمه های  $e$  بیتی در نظر گرفته می شود. کلید هر دور بر اساس کلید دور قبل و به صورت نشان داده شده در شکل ۹.۳ به دست می آید. تابع  $F_i$  در شکل ۹.۳ یک تابع غیر خطی و در واقع نسخه کوچک مقیاس از تابع  $F_i$  در الگوریتم توسعه کلید AES است. این تابع شامل یک انتقال چرخشی کلمات به سمت چپ، اعمال جعبه جانشینی و افزودن یک مقدار ثابت است که در الگوریتم توسعه کلید AES شرح داده شد، تنها تفاوت آن با الگوریتم توسعه کلید AES در ثابت ها و نگاشت های تشکیل دهنده جعبه جانشینی است که به طور خلاصه در جدول ۴.۳ آمده است. جزئیات بیشتر راجع به الگوریتم توسعه کلید در بخش استخراج معادلات الگوریتم توسعه کلید آمده است. اکنون آماده ایم تا به استخراج معادلات AES و SR بپردازیم. در استخراج معادلات دو رویکرد وجود دارد. در رویکرد اول معادلات روی  $GF(2)$  و در رویکرد دوم معادلات روی  $GF(2^e)$  استخراج می شوند که ما در ادامه نحوه استخراج معادلات بر اساس رویکرد اول را شرح می دهیم.

$\text{GF}(2^8)$	$\text{GF}(2^4)$		
$\theta^{i-1}$	$\rho^{i-1}$	$\kappa_i$	ثابت دور $i$ ام که $1 \leq i \leq n$
0x63	0x6	$d$	ثابت جعبه جانشینی
معکوسگیری در $\text{GF}(2^8)$	معکوس گیری در $\text{GF}(2^4)$	$z \mapsto z^{-1}$	معکوس گیری در جعبه جانشینی
نگاشت خطی $\text{GF}(2^8)$	نگاشت خطی $\text{GF}(2^4)$	$z \mapsto L(z)$	نگاشت خطی در جعبه جانشینی

جدول ۴.۳: ثابت ها و توابع مورد استفاده در الگوریتم توسعه کلید  $\text{SR}(n, r, c, e)$

### استخراج معادلات SR و AES روی $\text{GF}(2)$

می دانیم SR یک خانواده پارامتری است که AES-128 حالت خاصی از آن است، لذا بدون کاستن از کلیت، بحث را با  $\text{SR}(n, r, c, e)$  ادامه می دهیم. تا کنون برای توضیح AES و SR، قالب داده و زیرکلیدها را به صورت آرایه های دو بعدی در نظر گرفتیم، ولی در این بخش برای استخراج معادلات حاکم بر  $\text{SR}(n, r, c, e)$  قالب داده و زیرکلیدها را به صورت بردارهای ستونی  $rce$  بیتی در نظر می گیریم.

همان طور که در بخش قبل مشاهده شد، الگوریتم رمز قالبی SR دارای دو بخش است که عبارتند از بخش توسعه کلید و بخش رمزنگاری، که معادلات هر یک از این بخش ها را جداگانه استخراج خواهیم کرد. در استخراج معادلات بخش رمزنگاری فرض می کنیم متن اصلی و رمز شده متناظر با آن معلوم هستند و لذا آن ها را به عنوان مقادیر ثابت معادلات در نظر می گیریم. مجهولات یا متغیرهای معادله های به دست آمده از مرحله رمزنگاری، عبارتند از بیت های کلید به علاوه بیت های داده در مراحل میانی الگوریتم رمزنگاری. به این ترتیب با استفاده از هر زوج متن اصلی - رمز شده یک دستگاه متفاوت برای مرحله رمزنگاری به دست می آید. دستگاه معادلات استخراج شده برای الگوریتم توسعه کلید فقط بر حسب بیت های کلید و متغیرهای جاری وابسته به بیت های کلید خواهد بود و لذا این دستگاه معادلات، مستقل از زوج متن های اصلی - رمز شده که در اختیار داریم برای تمام رمزنگاری ها تحت یک کلید، مشترک خواهد بود.

در دستگاه معادلات بخش رمزنگاری، متغیرهای متناظر با بیت های ورودی و خروجی مرحله معکوس گیری در جعبه جانشینی را به ترتیب با  $w_{ijl}$  و  $x_{ijl}$  و بیت های کلید را با  $k_{ijl}$  نمایش می دهیم که  $i$  شماره دور،  $j$  شماره کلمه و  $l$  شماره بیت در آن کلمه است. در ادامه برای سهولت گاهی از دو و گاهی فقط از یک اندیس استفاده می کنیم. برای مثال  $x_{ij}$  نشان دهنده کلمه  $j$  ام از خروجی مرحله معکوس گیری دور  $i$  ام است، به همین ترتیب  $x_i$  نشان دهنده بردار خروجی مرحله معکوس گیری دور  $i$  ام است.

تنها مرحله غیر آفین در تابع دور SR مرحله معکوس گیری در جعبه جانشینی است که ابتدا نحوه استخراج معادلات در این قسمت را شرح می دهیم. قالب داده در هر دور  $\text{SR}(n, r, c, e)$



به صورت بسته‌های  $e$  بیتی وارد جعبه جانشینی می‌شود. بنابراین کافی است که نحوه استخراج روابط چندجمله‌ای بین ورودی و خروجی مرحله معکوس‌گیری، به ازای یک ورودی دلخواه  $e$  بیتی را بدانیم. فرض کنید بردار ورودی و خروجی مرحله معکوس‌گیری را به ترتیب با  $w = (w_0, \dots, w_{e-1})^T$  و  $x = (x_0, \dots, x_{e-1})^T$  نمایش دهیم. همچنین فرض کنید چندجمله‌ای‌های متناظر با  $w$  و  $x$  در  $\mathbb{GF}(2^e)$  را با  $x = \sum_{i=0}^{e-1} x_i t^i$  و  $y = \sum_{j=0}^{e-1} y_j t^j$  نمایش دهیم که  $t$  ریشه‌ی چندجمله‌ای تحویل‌ناپذیر مورد نظر در  $\mathbb{GF}(2)[x]$  برای تعریف  $\mathbb{GF}(2^e)$  است. در این صورت به ازای هر  $(\circ, \dots, \circ) \neq w$  داریم

$$x = I(w) \Rightarrow \left( \sum_{i=0}^{e-1} x_i t^i \right) \cdot \left( \sum_{j=0}^{e-1} y_j t^j \right) = \sum_{k=0}^{e-1} \circ \cdot t^k + 1.$$

با توجه به این که ضرایب چندجمله‌ای طرف راست و چپ رابطه فوق باید با هم برابر باشند،  $e$  رابطه‌ی چندجمله‌ای بین متغیرهای  $w_i$  و  $x_j$  به دست می‌آید. برای مثال در AES که  $e = 8$  این معادلات را با استفاده از نرم‌افزار سیج به دست آورده‌ایم که در زیر مشاهده می‌کنید.

$$\begin{aligned} 1 &= w_0 x_0 + w_1 x_7 + w_2 x_6 + w_3 x_5 + w_4 x_4 \\ &\quad + w_5 x_3 + w_6 x_2 + w_7 x_1 + w_8 x_0 \\ &\quad + w_9 x_7 + w_{10} x_6 + w_{11} x_5 + w_{12} x_4 \\ &\quad + w_{13} x_3 + w_{14} x_2 + w_{15} x_1 + w_{16} x_0 \\ \circ &= w_0 x_1 + w_1 x_0 + w_2 x_7 + w_3 x_6 + w_4 x_5 \\ &\quad + w_5 x_4 + w_6 x_3 + w_7 x_2 + w_8 x_1 + w_9 x_0 \\ &\quad + w_{10} x_7 + w_{11} x_6 + w_{12} x_5 + w_{13} x_4 \\ &\quad + w_{14} x_3 + w_{15} x_2 + w_{16} x_1 + w_{17} x_0 \\ \circ &= w_0 x_2 + w_1 x_1 + w_2 x_0 + w_3 x_7 + w_4 x_6 \\ &\quad + w_5 x_5 + w_6 x_4 + w_7 x_3 + w_8 x_2 + w_9 x_1 \\ &\quad + w_{10} x_0 + w_{11} x_7 + w_{12} x_6 + w_{13} x_5 \\ &\quad + w_{14} x_4 + w_{15} x_3 + w_{16} x_2 + w_{17} x_1 + w_{18} x_0 \\ \circ &= w_0 x_3 + w_1 x_2 + w_2 x_1 + w_3 x_0 + w_4 x_7 \\ &\quad + w_5 x_6 + w_6 x_5 + w_7 x_4 + w_8 x_3 + w_9 x_2 \\ &\quad + w_{10} x_1 + w_{11} x_0 + w_{12} x_7 + w_{13} x_6 \\ &\quad + w_{14} x_5 + w_{15} x_4 + w_{16} x_3 + w_{17} x_2 + w_{18} x_1 + w_{19} x_0 \\ \circ &= w_0 x_4 + w_1 x_3 + w_2 x_2 + w_3 x_1 + w_4 x_0 \\ &\quad + w_5 x_7 + w_6 x_6 + w_7 x_5 + w_8 x_4 + w_9 x_3 \\ &\quad + w_{10} x_2 + w_{11} x_1 + w_{12} x_0 + w_{13} x_7 \\ &\quad + w_{14} x_6 + w_{15} x_5 + w_{16} x_4 + w_{17} x_3 + w_{18} x_2 + w_{19} x_1 + w_{20} x_0 \\ \circ &= w_0 x_5 + w_1 x_4 + w_2 x_3 + w_3 x_2 + w_4 x_1 \\ &\quad + w_5 x_0 + w_6 x_7 + w_7 x_6 + w_8 x_5 + w_9 x_4 \\ &\quad + w_{10} x_3 + w_{11} x_2 + w_{12} x_1 + w_{13} x_0 \\ &\quad + w_{14} x_7 + w_{15} x_6 + w_{16} x_5 + w_{17} x_4 + w_{18} x_3 + w_{19} x_2 + w_{20} x_1 + w_{21} x_0 \\ \circ &= w_0 x_6 + w_1 x_5 + w_2 x_4 + w_3 x_3 + w_4 x_2 \\ &\quad + w_5 x_1 + w_6 x_0 + w_7 x_7 + w_8 x_6 + w_9 x_5 \\ &\quad + w_{10} x_4 + w_{11} x_3 + w_{12} x_2 + w_{13} x_1 + w_{14} x_0 \\ &\quad + w_{15} x_7 + w_{16} x_6 + w_{17} x_5 + w_{18} x_4 + w_{19} x_3 + w_{20} x_2 + w_{21} x_1 + w_{22} x_0 \\ \circ &= w_0 x_7 + w_1 x_6 + w_2 x_5 + w_3 x_4 + w_4 x_3 \\ &\quad + w_5 x_2 + w_6 x_1 + w_7 x_0 + w_8 x_7 + w_9 x_6 \\ &\quad + w_{10} x_5 + w_{11} x_4 + w_{12} x_3 + w_{13} x_2 + w_{14} x_1 + w_{15} x_0 \\ &\quad + w_{16} x_7 + w_{17} x_6 + w_{18} x_5 + w_{19} x_4 + w_{20} x_3 + w_{21} x_2 + w_{22} x_1 + w_{23} x_0 \end{aligned}$$

تمام روابط فوق به جز معادله اول که مقدار ثابت سمت راست آن ۱ است، به ازای همه مقادیر  $w, x \in \mathbb{GF}(2)^e$  برقرار و لذا با احتمال ۱ درست هستند. معادله اول که مقدار ثابت سمت چپ آن

۱ است زمانی برقرار است که  $w \neq (0, \dots, 0)^T$ ، بنابراین این رابطه با احتمال  $\frac{255}{256}$  درست است. اگر ورودی و خروجی نگاشت معکوس گیری را به صورت چندجمله ایهای  $w, x \in \text{GF}(2^e)$  در نظر بگیریم داریم  $1 = xw$ . حال اگر طرفین رابطه  $1 = xw$  را در  $w$  (یا  $x$ ) ضرب کنیم، به معادله  $w = xw^2$  (یا  $x = x^2w$ ) می رسیم که به ازای هر  $w \in \text{GF}(2^e)$  برقرار است. بنابراین با ضرب پی در پی طرفین  $1 = xw$  در  $x$  (و یا  $y$ ) روابط زیر به دست می آید.

$$\forall w \in \text{GF}(2^e) : \begin{cases} w = xw^2 \\ w^2 = x^2w^4 \\ \vdots \\ w^{2^{e-1}} = x^{2^{e-1}}w^{2^e} = x^{2^{e-1}}w \end{cases} \quad \forall w \in \text{GF}(2^e) : \begin{cases} x = x^2w \\ x^2 = x^4w^2 \\ \vdots \\ x^{2^{e-1}} = x^{2^e}w^{2^{e-1}} = xw^{2^{e-1}} \end{cases}$$

با برابر قرار دادن ضرایب چندجمله ای های طرفین هر یک رابطه های  $w^{2^{e-1}} = x^{2^{e-1}}w$  و  $x^{2^{e-1}} = xw^{2^{e-1}}$  در مجموع  $2e$  معادله چندجمله ای دیگر به دست می آید. بنابراین در مجموع  $3e$  معادله به دست می آید که یکی از این معادلات که ثابت سمت چپ آن ۱ است زمانی درست است که  $w \neq 0$ ، و در نتیجه با احتمال  $1 - \frac{1}{2^e}$  و مابقی با احتمال ۱ درست هستند. در AES که  $e = 8$ ، با برابر قرار

دادن ضرایب چندجمله‌ای‌های طرفین رابطه  $w^{۱۲۸} = x^{۱۲۸}w$  معادلات زیر به دست می‌آید.

$$\begin{aligned}
 \circ &= w_{\circ}x_{\circ} + w_{\circ}x_{\mathfrak{z}} + w_{\circ}x_{\Delta} + w_{\circ}x_{\nabla} + w_{\circ} + w_{\mathfrak{z}} \\
 &\quad x_{\mathfrak{z}} + w_{\mathfrak{z}}x_{\mathfrak{z}} + w_{\mathfrak{z}}x_{\Delta} + w_{\mathfrak{z}}x_{\nabla} + w_{\mathfrak{z}}x_{\mathfrak{z}} + w_{\mathfrak{z}} \\
 &\quad x_{\mathfrak{z}} + w_{\mathfrak{z}}x_{\Delta} + w_{\mathfrak{z}}x_{\mathfrak{z}} + w_{\mathfrak{z}}x_{\mathfrak{z}} + w_{\mathfrak{z}} + w_{\mathfrak{z}}x_{\mathfrak{z}} + \\
 &\quad w_{\mathfrak{z}}x_{\nabla} + w_{\Delta}x_{\Delta} + w_{\Delta}x_{\mathfrak{z}} + w_{\Delta}x_{\nabla} + w_{\Delta} + w_{\mathfrak{z}} \\
 &\quad x_{\mathfrak{z}} + w_{\mathfrak{z}}x_{\mathfrak{z}} + w_{\mathfrak{z}}x_{\Delta} + w_{\mathfrak{z}}x_{\nabla} + w_{\mathfrak{z}}x_{\mathfrak{z}} + w_{\mathfrak{z}} \\
 &\quad x_{\mathfrak{z}} + w_{\mathfrak{z}}x_{\mathfrak{z}} + w_{\mathfrak{z}}x_{\Delta} + w_{\mathfrak{z}} \\
 \circ &= w_{\circ}x_{\mathfrak{z}} + w_{\circ}x_{\mathfrak{z}} + w_{\circ}x_{\mathfrak{z}} + w_{\mathfrak{z}}x_{\circ} + w_{\mathfrak{z}}x_{\mathfrak{z}} + \\
 &\quad w_{\mathfrak{z}} + w_{\mathfrak{z}}x_{\nabla} + w_{\mathfrak{z}} + w_{\mathfrak{z}}x_{\Delta} + w_{\mathfrak{z}} + w_{\mathfrak{z}}x_{\mathfrak{z}} + w_{\mathfrak{z}} \\
 &\quad x_{\nabla} + w_{\Delta}x_{\mathfrak{z}} + w_{\Delta}x_{\Delta} + w_{\Delta}x_{\mathfrak{z}} + w_{\mathfrak{z}}x_{\mathfrak{z}} + w_{\mathfrak{z}} \\
 &\quad x_{\mathfrak{z}} + w_{\mathfrak{z}}x_{\mathfrak{z}} + w_{\mathfrak{z}}x_{\mathfrak{z}} + w_{\mathfrak{z}}x_{\mathfrak{z}} + w_{\mathfrak{z}}x_{\mathfrak{z}} + w_{\mathfrak{z}} \\
 &\quad x_{\nabla} \\
 \circ &= w_{\circ}x_{\mathfrak{z}} + w_{\circ}x_{\mathfrak{z}} + w_{\circ}x_{\Delta} + w_{\mathfrak{z}}x_{\mathfrak{z}} + w_{\mathfrak{z}}x_{\mathfrak{z}} + \\
 &\quad w_{\mathfrak{z}}x_{\mathfrak{z}} + w_{\mathfrak{z}}x_{\circ} + w_{\mathfrak{z}}x_{\mathfrak{z}} + w_{\mathfrak{z}}x_{\nabla} + w_{\mathfrak{z}} + w_{\mathfrak{z}} \\
 &\quad x_{\Delta} + w_{\mathfrak{z}} + w_{\Delta}x_{\mathfrak{z}} + w_{\Delta}x_{\nabla} + w_{\Delta} + w_{\mathfrak{z}}x_{\mathfrak{z}} + w_{\mathfrak{z}} \\
 &\quad x_{\Delta} + w_{\mathfrak{z}}x_{\mathfrak{z}} + w_{\mathfrak{z}}x_{\mathfrak{z}} + w_{\mathfrak{z}}x_{\mathfrak{z}} + w_{\mathfrak{z}}x_{\mathfrak{z}} \\
 \circ &= w_{\circ}x_{\mathfrak{z}} + w_{\circ}x_{\mathfrak{z}} + w_{\circ}x_{\mathfrak{z}} + w_{\mathfrak{z}}x_{\mathfrak{z}} + w_{\mathfrak{z}}x_{\mathfrak{z}} + \\
 &\quad w_{\mathfrak{z}}x_{\nabla} + w_{\mathfrak{z}} + w_{\mathfrak{z}}x_{\mathfrak{z}} + w_{\mathfrak{z}}x_{\Delta} + w_{\mathfrak{z}}x_{\circ} + w_{\mathfrak{z}} \\
 &\quad x_{\mathfrak{z}} + w_{\mathfrak{z}} + w_{\mathfrak{z}}x_{\mathfrak{z}} + w_{\Delta}x_{\mathfrak{z}} + w_{\Delta}x_{\nabla} + w_{\mathfrak{z}}x_{\mathfrak{z}} + \\
 &\quad w_{\mathfrak{z}}x_{\Delta} + w_{\mathfrak{z}} + w_{\mathfrak{z}}x_{\mathfrak{z}} + w_{\mathfrak{z}}x_{\mathfrak{z}} + w_{\mathfrak{z}}x_{\mathfrak{z}} \\
 \circ &= w_{\circ}x_{\mathfrak{z}} + w_{\circ}x_{\nabla} + w_{\mathfrak{z}}x_{\Delta} + w_{\mathfrak{z}}x_{\mathfrak{z}} + w_{\mathfrak{z}}x_{\nabla} + \\
 &\quad w_{\mathfrak{z}} + w_{\mathfrak{z}}x_{\mathfrak{z}} + w_{\mathfrak{z}}x_{\mathfrak{z}} + w_{\mathfrak{z}}x_{\Delta} + w_{\mathfrak{z}}x_{\nabla} + w_{\mathfrak{z}} \\
 &\quad x_{\mathfrak{z}} + w_{\mathfrak{z}}x_{\mathfrak{z}} + w_{\mathfrak{z}}x_{\mathfrak{z}} + w_{\mathfrak{z}}x_{\Delta} + w_{\mathfrak{z}}x_{\circ} + w_{\mathfrak{z}} \\
 &\quad x_{\mathfrak{z}} + w_{\mathfrak{z}}x_{\mathfrak{z}} + w_{\mathfrak{z}}x_{\nabla} + w_{\Delta}x_{\mathfrak{z}} + w_{\Delta}x_{\Delta} + w_{\Delta} \\
 &\quad x_{\mathfrak{z}} + w_{\Delta}x_{\nabla} + w_{\mathfrak{z}}x_{\mathfrak{z}} + w_{\mathfrak{z}}x_{\mathfrak{z}} + w_{\mathfrak{z}}x_{\Delta} + w_{\mathfrak{z}} \\
 &\quad x_{\mathfrak{z}} + w_{\mathfrak{z}}x_{\mathfrak{z}} + w_{\mathfrak{z}}x_{\mathfrak{z}} + w_{\mathfrak{z}}x_{\mathfrak{z}} + w_{\mathfrak{z}}x_{\mathfrak{z}} + w_{\mathfrak{z}}
 \end{aligned}$$

همچنین با برابر قرار دادن ضرایب چندجمله‌ای‌های طرفین رابطه  $x^{۱۲۸} = xw^{۱۲۸}$  به معادله‌های زیر

دست می یابیم.

$$\begin{aligned}
& \circ = w_0 x_4 + w_1 x_0 + w_1 x_3 + w_1 x_4 + w_1 x_5 + \\
& \quad w_1 x_7 + w_2 x_3 + w_2 x_7 + w_3 x_2 + w_3 x_3 + \\
& \quad w_3 x_4 + w_3 x_6 + w_3 x_7 + w_4 x_2 + w_4 x_6 + \\
& \quad w_4 x_7 + w_5 x_1 + w_5 x_2 + w_5 x_3 + w_5 x_5 + \\
& \quad w_5 x_6 + w_6 x_1 + w_6 x_5 + w_6 x_6 + w_7 x_0 + \\
& \quad w_7 x_1 + w_7 x_2 + w_7 x_4 + w_7 x_5 + x_1 + x_7 \\
& \circ = w_0 x_5 + w_1 x_0 + w_1 x_1 + w_1 x_4 + w_1 x_5 + \\
& \quad w_1 x_6 + w_2 x_4 + w_3 x_0 + w_3 x_3 + w_3 x_4 + \\
& \quad w_3 x_5 + w_4 x_7 + w_5 x_3 + w_5 x_5 + w_6 x_5 + \\
& \quad w_6 x_6 + w_7 x_1 + w_7 x_4 + w_7 x_5 + x_1 + x_2 + \\
& \quad x_3 \\
& \circ = w_0 x_2 + w_1 x_1 + w_1 x_2 + w_1 x_6 + w_2 x_1 + \\
& \quad w_3 x_0 + w_3 x_1 + w_3 x_5 + w_3 x_7 + w_4 x_0 + \\
& \quad w_4 x_7 + w_5 x_0 + w_5 x_4 + w_5 x_6 + w_6 x_6 + \\
& \quad w_6 x_7 + w_7 x_3 + w_7 x_5 + x_3 + x_4 + x_5 \\
& \circ = w_0 x_3 + w_1 x_0 + w_1 x_1 + w_1 x_4 + w_2 x_2 + \\
& \quad w_2 x_7 + w_3 x_0 + w_3 x_3 + w_3 x_7 + w_4 x_1 + \\
& \quad w_4 x_6 + w_5 x_2 + w_5 x_6 + w_6 x_0 + w_6 x_5 + \\
& \quad w_6 x_7 + w_7 x_1 + w_7 x_5 + x_1 + x_3 + x_6 \\
& \circ = w_0 x_4 + w_1 x_0 + w_1 x_3 + w_1 x_4 + w_1 x_5 + \\
& \quad w_1 x_7 + w_2 x_3 + w_2 x_7 + w_3 x_2 + w_3 x_3 + \\
& \quad w_3 x_4 + w_3 x_6 + w_3 x_7 + w_4 x_2 + w_4 x_6 + \\
& \quad w_4 x_7 + w_5 x_1 + w_5 x_2 + w_5 x_3 + w_5 x_5 + \\
& \quad w_5 x_6 + w_6 x_1 + w_6 x_5 + w_6 x_6 + w_7 x_0 + \\
& \quad w_7 x_1 + w_7 x_2 + w_7 x_4 + w_7 x_5 + x_1 + x_7 \\
& \circ = w_0 x_5 + w_1 x_0 + w_1 x_1 + w_1 x_4 + w_1 x_5 + \\
& \quad w_1 x_6 + w_2 x_4 + w_3 x_0 + w_3 x_3 + w_3 x_4 + \\
& \quad w_3 x_5 + w_4 x_7 + w_5 x_3 + w_5 x_5 + w_6 x_5 + \\
& \quad w_6 x_6 + w_7 x_1 + w_7 x_4 + w_7 x_5 + x_1 + x_2 + \\
& \quad x_3 \\
& \circ = w_0 x_6 + w_1 x_0 + w_1 x_1 + w_1 x_2 + w_1 x_5 + \\
& \quad w_1 x_6 + w_2 x_7 + w_2 x_5 + w_3 x_0 + w_3 x_1 + \\
& \quad w_3 x_4 + w_3 x_5 + w_3 x_6 + w_4 x_4 + w_5 x_0 + \\
& \quad w_5 x_3 + w_5 x_4 + w_5 x_5 + w_5 x_7 + w_6 x_3 + \\
& \quad w_6 x_7 + w_7 x_2 + w_7 x_3 + w_7 x_4 + w_7 x_6 + \\
& \quad w_7 x_7 + x_1 + x_3 + x_5 \\
& \circ = w_0 x_7 + w_1 x_0 + w_1 x_1 + w_1 x_2 + w_1 x_3 + \\
& \quad w_1 x_6 + w_2 x_7 + w_2 x_6 + w_3 x_0 + w_3 x_1 + \\
& \quad w_3 x_2 + w_3 x_5 + w_3 x_6 + w_3 x_7 + w_4 x_5 + \\
& \quad w_5 x_0 + w_5 x_1 + w_5 x_4 + w_5 x_5 + w_5 x_6 + \\
& \quad w_6 x_4 + w_7 x_0 + w_7 x_3 + w_7 x_4 + w_7 x_5 + \\
& \quad w_7 x_7 + x_1 + x_3 + x_5 + x_7
\end{aligned}$$

به این ترتیب در مجموع ۲۴ معادله مربعی برای مرحله معکوس گیری توسیع یافته در AES به دست می آید، که ۲۳ تای آن ها با احتمال ۱ و آن معادله ای که مقدار ثابت سمت چپ آن ۱ است با احتمال  $\frac{255}{256}$  درست است. کورتوا و پیشیک در [۲۲] نشان دادند که ۲۳ معادله ای که با احتمال ۱ درست هستند، مستقل خطی هستند یا به عبارت دیگر ماتریس ضرایب آن ها تحت یک ترتیب یکجمله ای دلخواه معکوس پذیر است.

در ادامه نشان می دهیم که همه ی مراحل بعد از مرحله معکوس گیری در تابع دور SR را می توان با یک نگاشت آفین بیان کرد و به این ترتیب کار استخراج معادلات به سهولت صورت می گیرد. مرحله بعد از معکوس گیری عبارت است از نگاشت خطی جعبه جانشینی. در بخش های قبل

ماتریس متناظر با این نگاشت خطی که در کلمه‌های  $e$  بیتی ضرب می‌شد را در جدول ۲.۳ با  $L_e$  نمایش دادیم، به دلیل این که قالب داده را در این قسمت به صورت یک بردار ستونی  $rce$  بیتی در نظر گرفته‌ایم می‌توانیم ماتریس متناظر با نگاشت خطی جعبه جانشینی را با یک ماتریس بلوکی قطری به صورت زیر نمایش دهیم.

$$L = \begin{pmatrix} [L_e]_{e \times e} & [\circ]_{e \times e} & \cdots & [\circ]_{e \times e} \\ [\circ]_{e \times e} & [L_e]_{e \times e} & \cdots & [\circ]_{e \times e} \\ \vdots & \vdots & \vdots & \vdots \\ [\circ]_{e \times e} & [\circ]_{e \times e} & \cdots & [L_e]_{e \times e} \end{pmatrix}_{rce \times rce}$$

آخرین مرحله در جعبه جانشینی افزودن مقدار ثابت  $d \in \mathbb{GF}(2)^A$  است که با توجه به قالب در نظر گرفته شده در این قسمت، آن را با بردار ستونی  $d$  که حاصل  $rc$  بار تکرار معدل باینری ثابت  $d$  در یک ستون است تعویض می‌کنیم.

مرحله بعد از جعبه جانشینی، انتقال چرخشی است. می‌دانیم که بردارهای سطری آرایه دوبعدی داده در  $SR(n, r, c, e)$  که در معرفی  $SR$  شرح داده شد، اعضای فضای بردای  $c$  بعدی روی  $\mathbb{GF}(2^e)$  هستند، به این ترتیب انتقال چرخشی یک واحدی کلمه‌های  $e$  بیتی یک سطر از آرایه دو بعدی قالب داده به سمت چپ، معادل است با ضرب شدن آن سطر در ماتریس  $R \in \text{Mat}_r(\mathbb{GF}(2^e))$  که نسبت به پایه استاندارد به صورت زیر تعریف می‌شود.

$$\hat{R} = \begin{pmatrix} \circ & 1_{\mathbb{GF}(2^e)} & \circ & \circ \\ \circ & \circ & 1_{\mathbb{GF}(2^e)} & \circ \\ \circ & \circ & \circ & 1_{\mathbb{GF}(2^e)} \\ 1_{\mathbb{GF}(2^e)} & \circ & \circ & \circ \end{pmatrix}$$

حال فرض کنید قالب داده در  $SR(n, r, c, e)$  را به صورت بردارهای  $rc$  تایی از اعضای  $\mathbb{GF}(2^e)$  در نظر بگیریم و نسبت به پایه استاندارد به صورت زیر نمایش دهیم.

$$\hat{S} = (S_0, S_1, \dots, S_{rc-1})^T \in \mathbb{GF}(2^e)^{rc}$$

اگر پایه فضای برداری حاوی بردارهای داده در  $SR$  را طوری تغییر دهیم که بردار فوق نسبت به آن پایه به صورت زیر نمایش داده شود

$$S = (S_0, S_r, \dots, S_{(c-1) \cdot r}, S_1, S_{r+1}, \dots, S_{(c-1) \cdot r+1}, \dots, S_{r-1}, S_{2 \cdot (r-1)+1}, \dots, S_{rc-1})$$

آن گاه انتقال چرخشی معادل است با ضرب ماتریس قطری بلوکی زیر در بردار  $S$ .

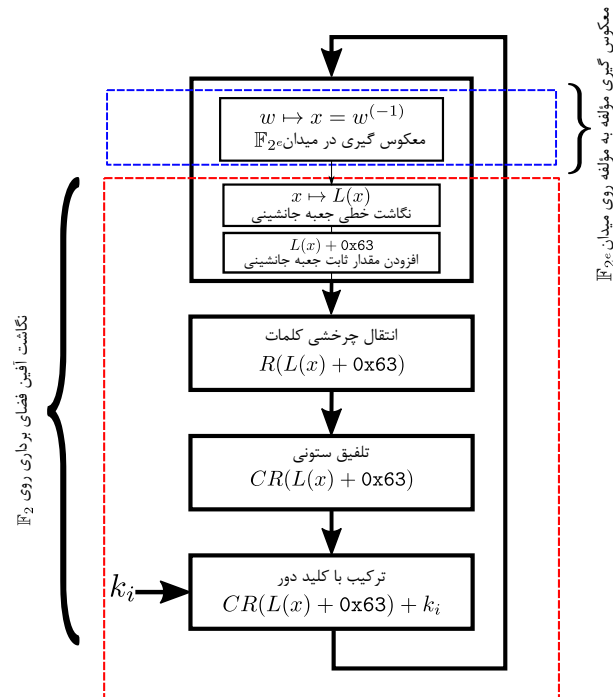
$$\begin{pmatrix} I_c & [\circ]_c & \cdots & [\circ]_c \\ [\circ]_c & \hat{R} & \cdots & [\circ]_c \\ \vdots & \vdots & \ddots & \vdots \\ [\circ]_c & [\circ]_c & \cdots & \hat{R}^{r-1} \end{pmatrix}_{rc \times rc} \in \text{Mat}_{rc}(\text{GF}(2^e))$$

با یک جایگشت مناسب روی سطرها و ستون های ماتریس فوق می توان ماتریسی یافت که عملیات ShfitRows را نسبت به پایه و ترتیب استاندارد نمایش می دهد، این ماتریس را با  $\bar{R}$  نمایش می دهیم. درایه های ماتریس  $\bar{R}$  صفر و یک های میدان  $\text{GF}(2^e)$  هستند که اگر صفرها را با ماتریس  $[\circ]_{e \times e} \in \text{Mat}_e(\mathbb{F}_2)$  و یک ها را با  $I_e \in \text{Mat}_e(\mathbb{F}_2)$  جایگزین کنیم به یک ماتریس از  $\text{Mat}_{rce \times rce}(\mathbb{F}_2)$  می رسمیم که با ضرب آن در بردار داده  $rce$  بیتی عملیات انتقال چرخشی انجام می شود. این ماتریس را که در استخراج معادلات روی  $\text{GF}(2)$  از آن استفاده می کنیم را با  $R$  نمایش می دهیم.

در مرحله MixColumns هر ستون از آرایه داده در ماتریسی که در جدول ۳.۳ آمده ضرب می شود، درایه های این ماتریس اعضای میدان  $\text{GF}(2^e)$  هستند. اگر به  $\text{GF}(2^e)$  به عنوان یک فضای برداری با بعد  $e$  روی  $\text{GF}(2)$  بنگریم در این صورت، عمل ضرب کردن در یک مقدار ثابت در میدان  $\text{GF}(2^e)$  یک نگاشت  $\text{GF}(2)$  - خطی است که و در نتیجه می توان آن را با یک ماتریس مربعی از  $\text{Mat}_e(\text{GF}(2))$  نمایش داد. برای مثال فرض کنید  $\theta$  ریشه چندجمله ای تحویل ناپذیر  $x^8 + x^4 + x^3 + x + 1 \in \text{GF}(2)[x]$  (چندجمله ای راین دال) باشد، در این صورت  $\text{GF}(2)$  - ماتریس متناظر با عمل ضرب در مقدار ثابت  $\theta \in \text{GF}(2)(\theta)$  نسبت به پایه  $\{1, \theta, \theta^2, \dots, \theta^7\}$  موسوم به پایه چندجمله ای، عبارت است از

$$T_\theta = \begin{pmatrix} 0 & 1 & 0 & 0 & 0 & 0 & 0 & 0 \\ 0 & 0 & 1 & 0 & 0 & 0 & 0 & 0 \\ 0 & 0 & 0 & 1 & 0 & 0 & 0 & 0 \\ 1 & 0 & 0 & 0 & 1 & 0 & 0 & 0 \\ 1 & 0 & 0 & 0 & 0 & 1 & 0 & 0 \\ 0 & 0 & 0 & 0 & 0 & 0 & 1 & 0 \\ 1 & 0 & 0 & 0 & 0 & 0 & 0 & 1 \\ 1 & 0 & 0 & 0 & 0 & 0 & 0 & 0 \end{pmatrix}$$

بنابراین اگر به جای هر یک از مقادیر ثابت ماتریس MixColumns در جدول ۳.۳،  $\text{GF}(2)$  - ماتریس متناظر با آن را جایگزین کنیم به یک ماتریس از  $\text{Mat}_{rce}(\mathbb{F}_2)$  می رسمیم که ضرب آن در بردار داده



شکل ۱۰.۳: تقسیم تابع دور AES به دو قسمت آفین و غیرآفین

معادل با عمل MixColumns است، این ماتریس را با  $C$  نمایش می‌دهیم. بنابراین از بین مجموعه عملیات‌هایی که در یک دور از بخش رمزنگاری SR یا AES روی داده صورت می‌گیرد تنها مرحله معکوس‌گیری توسیع‌یافته در SubByte است که یک عملیات غیر آفین است و همان‌طور که در شکل ۱۰.۳ نیز ملاحظه می‌شود مابقی عملیات‌ها را می‌توان در یک نگاشت آفین به صورت زیر خلاصه کرد. فرض کنید بردار ورودی و خروجی مرحله معکوس‌گیری در دور  $i$  را به ترتیب با  $w_i$  و  $x_i$  و کلید این دور را با  $k_i$  نمایش دهیم در این صورت تابع دور بخش رمزنگاری در  $SR(n, r, c, e)$  عبارت است از

$$x_{i-1} \mapsto w_i = CR(L(x_{i-1}) + d) + k_i$$

که نحوه به دست آوردن ماتریس‌های  $C$ ,  $R$  و  $L$  را که در فضای  $Mat_{rce}(\mathbb{F}_2)$  هستند، در بندهای قبل توضیح دادیم. به راحتی می‌توان دید که  $C \cdot d = R \cdot d = d$  که همان بردار ثابت S-Box است. در نتیجه اگر فرض کنیم  $M = CRL$  می‌توانیم تابع دور را به صورت زیر بیان کنیم

$$x_{i-1} \mapsto w_i = Mx_{i-1} + k_i.$$

معکوس‌گیری کلمه به کلمه از بردار  $w_i$  را با  $w_i^{(-1)}$  نمایش می‌دهیم که به صورت زیر تعریف می‌شود.

$$x_i = w_i^{(-1)} = (w_{i,0}^{-1}, \dots, w_{i,rc-1}^{-1}) \in \mathbb{F}_2^{rc}.$$

به این ترتیب اگر بردار متن اصلی و رمز شده را به ترتیب با  $p$  و  $c$  نمایش دهیم، دستگاه معادلات به دست آمده برای بخش رمزنگاری  $SR(n, r, c, e)$  عبارت است از

$$\begin{aligned} w_0 &= p + k_0 \\ x_i &= w_i^{(-1)}; \quad i = 0, \dots, n-1 \\ w_i &= Mx_{i-1} + k_i + d; \quad i = 1, \dots, n-1 \\ c &= Mx_{n-1} + k_n + d. \end{aligned} \quad (1.3)$$

تنها تفاوت  $SR^*(n, r, c, e)$  این است که در دور آخر عملیات MixColumns انجام نمی شود و لذا به جای ماتریس  $M$  در دور آخر از ماتریس  $M^* = RL$  استفاده می کنیم.

در الگوریتم توسعه کلید از جعبه جانشینی، انتقال چرخشی و ترکیب کردن با استفاده از عمل جمع استفاده می شود که ما نحوه استخراج معادلات در هر یک از این فرایندها را در بخش رمزنگاری تجربه کردیم. فرض کنید بیت های ورودی و خروجی مرحله معکوس گیری جعبه جانشینی در دور  $i$  ام الگوریتم توسعه کلید را به ترتیب با  $k_{ijl}$  و  $s_{ijl}$  نمایش دهیم، که  $j$  شماره کلمه و  $l$  شماره بیت را نشان می دهد. می دانیم که در هر دور از الگوریتم توسعه کلید، فقط کلمه های ستون آخر آرایه کلید از جعبه جانشینی عبور می کنند. به همین دلیل، تعداد متغیرهای  $s_{ijl}$  از تعداد متغیرهای  $k_{ijl}$  کمتر است. برای توضیح و همچنین استخراج معادلات الگوریتم توسعه کلید، همان طور که در زیر مشاهده می شود، هر زیرکلید یا کلید دور را به صورت یک  $\mathbb{GF}(2^e)$  - بردار به طول  $rc$  در نظر می گیریم.

$$\begin{aligned} & \text{کلید اولیه یا اصلی: } (k_{0,0}, \dots, k_{0,r-1}, \dots, k_{0,r(c-1)}, \dots, k_{0,rc-1})^T \\ & \text{کلید دور اول: } (k_{1,0}, \dots, k_{1,r-1}, \dots, k_{1,r(c-1)}, \dots, k_{1,rc-1})^T \\ & \vdots \\ & \text{کلید دور } n\text{ام: } (k_{n,0}, \dots, k_{n,r-1}, \dots, k_{n,r(c-1)}, \dots, k_{n,rc-1})^T \end{aligned}$$

همان طور که مشاهده می شود کلید هر دور به پارامترهای  $r$  و  $c$  وابسته است و بر اساس کلید دور قبل به دست می آید که در ادامه چگونگی این کار را به همراه استخراج معادلات الگوریتم توسعه کلید شرح می دهیم. در ضمن هر یک از درایه های بردار  $k_{i,j}$  یک کلمه  $e$  بیتی است، بنابراین می توانیم هر یک از بردارهای فوق را به صورت یک  $\mathbb{GF}(2)$  - بردار به طول  $rce$  نیز در نظر بگیریم.

توسیع کلید وقتی  $r = 1$

$$s_{i-1,0} = k_{i-1,c-1}^{-1}.$$



- یک ستون  $(r = 1, c = 1)$ .

$$(k_{i,\circ}) = (L(s_{i-1,\circ})) + (d) + (\kappa_i).$$

- بیش از یک ستون  $(r = 1, c > 1)$ .

$$(k_{i,q}) = (L(s_{i-1,\circ})) + (d) + (\kappa_i) + \sum_{t=\circ}^q (k_{i-1,t}).$$

که  $q \in \{\circ, \dots, c-1\}$ .

توسیع کلید وقتی  $r = 2$

$$s_{i-1,\circ} = k_{i-1,2c-1}^{-1}, \quad s_{i-1,1} = k_{i-1,2c-2}^{-1}.$$

- یک ستون  $(r = 2, c = 1)$ .

$$\begin{pmatrix} k_{i,\circ} \\ k_{i,1} \end{pmatrix} = \begin{pmatrix} L(s_{i-1,\circ}) \\ L(s_{i-1,1}) \end{pmatrix} + \begin{pmatrix} d \\ d \end{pmatrix} + \begin{pmatrix} \kappa_i \\ \circ \end{pmatrix}.$$

- بیش از یک ستون  $(r = 2, c > 1)$ .

$$\begin{pmatrix} k_{i,rq} \\ k_{i,rq+1} \end{pmatrix} = \begin{pmatrix} L(s_{i-1,\circ}) \\ L(s_{i-1,1}) \end{pmatrix} + \begin{pmatrix} d \\ d \end{pmatrix} + \begin{pmatrix} \kappa_i \\ \circ \end{pmatrix} + \sum_{t=\circ}^q \begin{pmatrix} k_{i-1,rt} \\ k_{i-1,rt+1} \end{pmatrix}$$

که  $q \in \{\circ, \dots, c-1\}$ .

توسیع کلید وقتی  $r = 4$

$$s_{i-1,\circ} = k_{i-1,4c-1}^{-1}, \quad s_{i-1,1} = k_{i-1,4c-2}^{-1}, \quad s_{i-1,2} = k_{i-1,4c-3}^{-1}, \quad s_{i-1,3} = k_{i-1,4c-4}^{-1}.$$

- یک ستون  $(r = ۴, c = ۱)$ .

$$\begin{pmatrix} k_{i,0} \\ k_{i,1} \\ k_{i,2} \\ k_{i,3} \end{pmatrix} = \begin{pmatrix} L(s_{i-1,0}) \\ L(s_{i-1,1}) \\ L(s_{i-1,2}) \\ L(s_{i-1,3}) \end{pmatrix} + \begin{pmatrix} d \\ d \\ d \\ d \end{pmatrix} + \begin{pmatrix} \kappa_i \\ 0 \\ 0 \\ 0 \end{pmatrix}.$$

- بیش از یک ستون  $(r = ۴, c > ۱)$ .

$$\begin{pmatrix} k_{i,rq} \\ k_{i,rq+1} \\ k_{i,rq+2} \\ k_{i,rq+3} \end{pmatrix} = \begin{pmatrix} L(s_{i-1,0}) \\ L(s_{i-1,1}) \\ L(s_{i-1,2}) \\ L(s_{i-1,3}) \end{pmatrix} + \begin{pmatrix} d \\ d \\ d \\ d \end{pmatrix} + \begin{pmatrix} \kappa_i \\ 0 \\ 0 \\ 0 \end{pmatrix} + \sum_{t=0}^q \begin{pmatrix} k_{i-1,rt} \\ k_{i-1,rt+1} \\ k_{i-1,rt+2} \\ k_{i-1,rt+3} \end{pmatrix}$$

$$.q \in \{0, \dots, c-1\}$$

در بندهای قبل ضمن توضیح جزئیات الگوریتم توسعه کلید معادله های آفین حاکم بر این الگوریتم را نمایش دادیم. تنها معادلات غیر آفین الگوریتم توسعه کلید، از مرحله معکوس گیری جعبه جانشینی منشأ می گیرند که روش به دست آوردن آن ها را در بخش استخراج معادله های الگوریتم رمزنگاری شرح دادیم.

اکنون به شمارش تعداد معادلات به دست آمده برای  $SR(n, r, c, e)$  و تعداد مجهولات دستگاه شامل این معادله ها می پردازیم. در بخش های قبل دیدیم که به ازای هر معکوس گیری  $3e$  معادله به دست می آید که  $3e-1$  تای آن ها با احتمال ۱ و یکی از آن ها زمانی درست است که معکوس گیری از صفر رخ نداده باشد و لذا با احتمال  $1 - \frac{1}{p_e}$  درست است. اگر رخداد ظاهر نشدن صفر در ورودی جعبه جانشینی در دورهای مختلف توسعه کلید و رمزنگاری را رخدادهایی مستقل فرض کنیم در این صورت احتمال عدم رخداد معکوس گیری از صفر در الگوریتم رمزنگاری برابر  $(1 - \frac{1}{p_e})^{nrc}$  و در الگوریتم توسعه کلید برابر  $(1 - \frac{1}{p_e})^{nc}$  است. ما در شمارش تعداد معادلات، همه  $3e$  معادله به دست آمده از مرحله معکوس گیری را در نظر می گیریم.

طبق دستگاه ۱.۳، از هر دور الگوریتم رمزنگاری  $SR(n, r, c, e)$  معادله خطی به دست می آید. از طرفی چون هر دور الگوریتم رمزنگاری شامل  $rc$  عملیات معکوس گیری است،  $rc \cdot 3e$  معادله مربعی نیز خواهیم داشت. الگوریتم رمزنگاری شامل  $n$  دور است و لذا  $n \cdot (rc + 3rc) = 4n \cdot rc$  معادله خواهیم داشت. الگوریتم رمزنگاری شامل یک مرحله آغازین نیز است که فقط شامل افزودن کلید اصلی به متن اصلی است، بواسطه این عملیات  $rc$  معادله دیگر روی  $\mathbb{F}_2$  خواهیم داشت. در نتیجه در مجموع  $(4n + 1) \cdot rc$  معادله از الگوریتم رمزنگاری به دست می آید.

تعداد متغیرهای کلید	تعداد متغیرهای حالت	تعداد معادلات	
$(n+1)rce$	$2nrce$	$(4n+1)rce$	الگوریتم رمزنگاری
$nre$	—	$nrce + 3nre$	الگوریتم توسیع کلید
$(n+1)rce + nre$	$2nrce$	$(5n+1)rce + 3nre$	مجموع

جدول ۵.۳: تعداد معادلات استخراج شده از  $SR(n, r, c, e)$

هر دور از الگوریتم توسیع کلید شامل  $r$  عملیات معکوس گیری است که  $3re$  معادله مربعی برحسب بیت های کلید و متغیرهای  $s_{ijl}$  تولید می کند. از طرفی به ازای هر دور از الگوریتم توسیع کلید  $rce$  معادله خطی خواهیم داشت. چون الگوریتم توسیع کلید شامل  $n$  دور است، در نتیجه در مجموع  $n \cdot (rce + 3re)$  معادله از الگوریتم توسیع کلید به دست می آید.

اگر متغیرهای متناظر با بیت های داده یعنی  $w_{ijl}$  و  $x_{ijl}$  را **متغیرهای حالت** و متغیرهای متناظر با بیت های کلید یعنی  $k_{ijl}$  را **متغیرهای کلید** بنامیم، به ازای هر دور از الگوریتم رمزنگاری  $SR(n, r, c, e)$ ، به تعداد  $2rce$  متغیر حالت برای نمایش ورودی و خروجی مرحله معکوس گیری در جعبه جانشینی، و  $rce$  متغیر کلید برای نمایش بیت های کلید آن دور نیاز است. بنابراین دستگاهی که برای بخش رمزنگاری به دست می آید دارای  $2nrce + (n+1)rce$  متغیر خواهد بود.

در هر دور الگوریتم توسیع کلید،  $r$  بار عمل معکوس گیری صورت می گیرد که به ازای هر معکوس گیری باید  $e$  متغیر جدید  $(s_{ijl})$  که نشان دهنده خروجی این مرحله هستند معرفی کنیم. به این ترتیب در مجموع  $nre$  متغیر جدید بواسطه الگوریتم توسیع کلید تولید می شود. در نتیجه در مجموع در کل این معادلات،  $2nrce + (n+1)rce + nre$  مجهول خواهیم داشت. به عنوان مثال برای AES-128 که همان  $SR^*(10, 4, 4, 8)$  است، ۷۴۸۸ معادله و ۴۲۸۸ مجهول روی  $\mathbb{F}_2$  به دست می آید. ص

نرم افزار سیج دارای ماژول های آماده ای برای کار با  $SR$  به خصوص استخراج معادلات این سامانه است، برای مثال با استفاده از دستور زیر می توانیم معادلات AES-128 را استخراج کنیم.

```
sr = mq.SR(10,4,4,8,gf2 = True,polybori=True,
           allow_zero_inversions = False,star = True)
plaintext = sr.random_element(); key = sr.random_element()
ciphertext = sr(plaintext,key)
time poly_sys, solution = sr.polynomial_system(P = plaintext, C = ciphertext)
print poly_sys
Time: CPU 0.92 s, Wall: 0.92 s
Polynomial Sequence with 7488 Polynomials in 4288 Variables
```

الگوریتم های پیاده سازی شده در سیج دقیقاً مطابق با روش توضیح داده شده در بندهای قبل

معادلات SR را استخراج می کند. برای آشنایی با روش استخراج معادلات SR و AES روی  $\text{GF}(2^8)$  می توانید به [۵۵] و [۱۳] رجوع کنید.

### ۵.۳ جبری سازی رمزهای دنباله ای

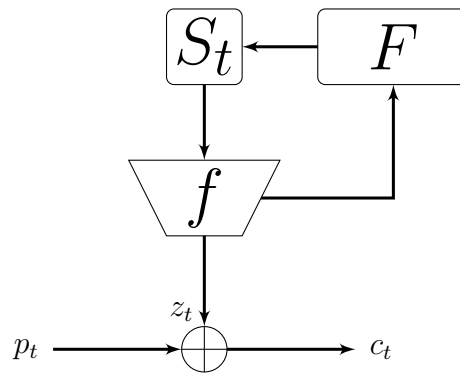
همان طور که در فصل اول هم آمد، رمزهای دنباله ای از دو الگوریتم قطعی به نام های الگوریتم آغازسازی و الگوریتم تولید کلید اجرایی تشکیل شده اند. الگوریتم تولید کلید اجرایی در واقع، یک ماشین حالت محدود است که حالت اولیه ی آن توسط الگوریتم آغازسازی و وابسته به کلید و یک مقدار اولیه، تعیین می شود و به عنوان مدل واقعی یک مولد شبه تصادفی در نظر گرفته می شود. الگوریتم آغازسازی تنها در آغاز رمزنگاری، با دریافت کلید و یک مقدار اولیه (معمولاً وابسته به متن اصلی) حالت اولیه ی الگوریتم تولید کلید اجرایی را محاسبه می کند، بنابراین بخش اصلی رمز دنباله ای را الگوریتم تولید کلید اجرایی تشکیل می دهد.

یک حمله ی مرسوم به رمزهای دنباله ای حمله ی متن اصلی معلوم است. فرض کنید مهاجم، تعداد کافی از بیت های متن اصلی و رمز شده را در اختیار داشته باشد، به این ترتیب با جمع نظیر به نظیر بیت های متن اصلی و متن رمز شده، بیت های کلید اجرایی به دست می آیند. بنابراین می توان گفت که مهاجم، تعداد کافی از بیت های کلید اجرایی را در اختیار دارد. بر اساس هدف مهاجم، حمله به رمزهای دنباله ای را می توان به دو نوع تقسیم کرد. در نوع اول، هدف به دست آوردن مقادیر ورودی الگوریتم آغازسازی، یعنی کلید اصلی و بردار حالت اولیه است و در نوع دوم هدف فقط به دست آوردن بیت های حالت اولیه ی مولد شبه تصادفی یا به عبارت دیگر خروجی الگوریتم آغازسازی است. بنابراین در حمله ی نوع دوم از الگوریتم آغازسازی صرف نظر شده و در واقع این مولد شبه تصادفی است که مورد حمله واقع می شود. ما نیز در مثال هایی که در ادامه آمده از الگوریتم آغازسازی صرف نظر می کنیم و هدفمان به دست آوردن بیت های حالت اولیه ی الگوریتم تولید کلید اجرایی است.

الگوریتم تولید کلید اجرایی، همان طور که در شکل ۱۱.۳ نمایش داده شده از دو تابع اصلی و چند ثبات یا خانه ی حافظه تشکیل شده است. یکی از توابع که تابع حالت نام دارد، با دریافت حالت فعلی حالت بعدی ماشین، و دیگری با دریافت حالت فعلی خروجی را مشخص می کند. فرض کنید الگوریتم تولید کلید اجرایی (یا مولد شبه تصادفی)  $G$  دارای  $l$  ثبات برای نگهداری  $l$  بیت در حافظه ی خود باشد. اگر بردار حالت در لحظه ی  $t$  را با  $S_t = (s_{t,0}, \dots, s_{t,l-1})$  و تابع حالت را با  $F$  نمایش دهیم در این صورت تغییر حالت ماشین توسط  $F$  به صورت زیر انجام می شود:

$$F: \mathbb{F}_2^l \rightarrow \mathbb{F}_2^l$$

$$S_t \mapsto S_{t+1} = F(S_t); \quad S_{t+1} = (s_{t+1,0}, s_{t+1,1}, \dots, s_{t+1,l-1}).$$



شکل ۱۱.۳: مولد شبه تصادفی در رمزهای دنباله‌ای

بیت  $t$  ام از کلید اجرایی نیز توسط تابع  $f$  به صورت زیر تعیین می‌شود:

$$f: \mathbb{F}_2^l \rightarrow \{0, 1\}$$

$$S_t \mapsto z_t = f(S_t).$$

تابع حالت  $F$  و تابع  $f$  که به آن فیلتر هم می‌گوییم، توابعی چندجمله‌ای بر حسب متغیرهای حالت هستند، بنابراین اگر حالت اولیه را با بردار  $(s_0, \dots, s_{l-1})$  نمایش دهیم، بین بیت‌های کلید اجرایی و بردار حالت اولیه روابط چندجمله‌ای زیر برقرار است.

$$\begin{cases} z_0 = f(s_0, s_1, \dots, s_{l-1}) \\ z_1 = f(F(s_0, s_1, \dots, s_{l-1})) \\ \vdots \\ z_{l-1} = f(F^{l-1}(s_0, s_1, \dots, s_{l-1})) \end{cases}$$

اکنون اگر طبق فرض، مهاجم تعدادی از بیت‌های خروجی  $z_t$  را در اختیار داشته باشد با جایگذاری آن‌ها در روابط فوق به یک دستگاه معادلات چندجمله‌ای می‌رسد که مجهولات آن بیت‌های حالت اولیه است. بنابراین مهاجم با حل دستگاه به دست آمده، قادر خواهد بود حالت اولیه الگوریتم تولید کلید اجرایی را به دست آورد.

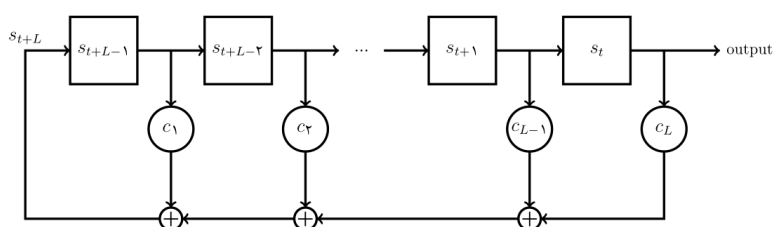
### ۱.۵.۳ ثبات انتقال با بازخورد خطی

ثبات انتقال با بازخورد خطی نمونه‌ای ساده از الگوریتم‌های تولید کلید اجرایی است. در این نوع مولد، تابع حالت یک تابع خطی است و بیت‌های کلید اجرایی بیت‌های موجود در یک رجیستر ثابت از این مولد هستند.

به صورت دقیق تر یک ثابت با بازخورد خطی با استفاده از چند جمله ای بازخورد  $C(x) = 1 - \sum_{i=1}^L x^i$  از  $\mathbb{F}_2[x]$  تعریف می شود که  $L$  طول ثبات نامیده می شود. این ثابت رشته ای حالت اولیه  $(s_0, s_1, \dots, s_{L-1})$  را با استفاده از رابطه ای بازگشتی زیر به یک دنباله با طول نامتناهی تبدیل می کند:

$$\forall t \geq 0 : s_{t+L} = \sum_{i=1}^{L-1} c_i s_{t+L-i}$$

و دنباله ای خروجی آن عبارت است از:  $(s_t)_{t \geq 0}$ . شکل ۱۲.۳ یک ثبات با بازخورد خطی به طول  $L$  را نشان می دهد. دنباله ای خروجی یک ثابت با بازخورد خطی، به صورت یکتایی توسط ضرایب چند جمله ای بازخورد و حالت اولیه تعیین می شود.



شکل ۱۲.۳: ثبات با بازخورد خطی به طول  $L$

لم ۱۴.۳. برای هر LFSR با طول  $L$  و بردار حالت اولیه  $(s_0, s_1, \dots, s_{L-1})$ ، به ازای هر  $t \geq 0$  ضرایب  $\{a_i^t\}_{i=0}^{L-1}$  وجود دارند به طوری که

$$s_t = \sum_{i=0}^{L-1} a_i^t s_i$$

یعنی هر بیت حالت ترکیبی خطی از بیت های حالت اولیه است.

برهان. فرض کنید  $C(x) = 1 - \sum_{i=0}^{L-1} c_i x^i$  چند جمله ای بازخورد LFSR و بردار  $(s_0, \dots, s_{L-1})$  بردار حالت اولیه باشد در این صورت تابع انتقال حالت یک تابع خطی است که با ماتریس زیر قابل نمایش است

$$C = \begin{pmatrix} 0 & 0 & 0 & \dots & 0 & c_L \\ 1 & 0 & 0 & \dots & 0 & c_{L-1} \\ 0 & 1 & 0 & \dots & 0 & c_{L-2} \\ \vdots & \vdots & \vdots & \dots & \vdots & \vdots \\ 0 & 0 & 0 & \dots & 1 & c_1 \end{pmatrix}$$

$$S_t = (s_t, s_{t+1}, \dots, s_{t+L-1}) \quad t \geq 0$$

$$F : \{0, 1\}^L \rightarrow \{0, 1\}^L$$

$$S_t \mapsto S_{t+1} = CS_t$$

 $s_t$ 

$$s_t = S_{\circ} C^t \begin{pmatrix} 1 \\ \circ \\ \circ \\ \vdots \\ \circ \end{pmatrix} \Rightarrow \begin{pmatrix} a_{\circ}^t \\ a_1^t \\ a_2^t \\ \vdots \\ a_{L-1}^t \end{pmatrix} = C^t \begin{pmatrix} 1 \\ \circ \\ \circ \\ \vdots \\ \circ \end{pmatrix}$$

□

پذیر باشد،  $L$  LFSR  $s_{t_1}, \dots, s_{t_L}$  را بدانیم و ماتریس ضرایب  $A$  که در زیر نمایش داده شده معکوس

$$A = \begin{pmatrix} a_{\circ}^{t_1} & a_{\circ}^{t_2} & \dots & a_{\circ}^{t_L} \\ a_1^{t_1} & a_1^{t_2} & \dots & a_1^{t_L} \\ \vdots & \vdots & \dots & \vdots \\ a_{L-1}^{t_1} & a_{L-1}^{t_2} & \dots & a_{L-1}^{t_L} \end{pmatrix}$$

به راحتی می‌توانیم بردار حالت اولیه را با محاسبه‌ی ساده‌ی زیر به دست آوریم.

$$S_{\circ} = (s_{\circ}, \dots, s_{L-1}) = (s_{t_1}, \dots, s_{t_L}) \begin{pmatrix} a_{\circ}^{t_1} & a_{\circ}^{t_2} & \dots & a_{\circ}^{t_L} \\ a_1^{t_1} & a_1^{t_2} & \dots & a_1^{t_L} \\ \vdots & \vdots & \dots & \vdots \\ a_{L-1}^{t_1} & a_{L-1}^{t_2} & \dots & a_{L-1}^{t_L} \end{pmatrix}^{-1}$$

طبق لم زیر احتمال معکوس پذیر بودن ماتریس ضرایب نیز قابل توجه است.

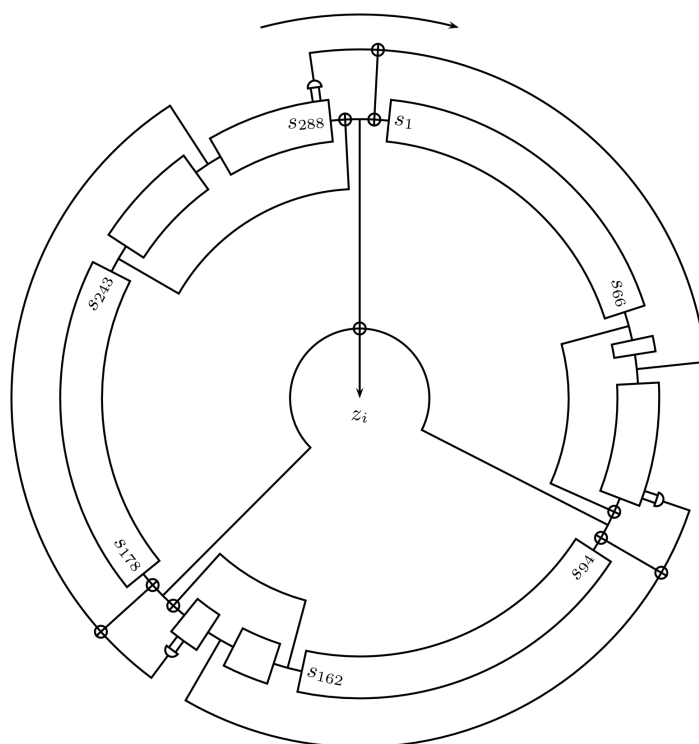
لم ۱۵.۳. احتمال این که یک ماتریس تصادفی روی  $\mathcal{M}_n(\mathbb{F}_q)$  معکوس پذیر باشد برابر است با:

$$\gamma_q(n) = \Pr\{M \leftarrow \text{Mat}_n(\mathbb{F}_q) ; M : \text{معکوس پذیر باشد}\} = \prod_{i=1}^n \left(1 - \frac{1}{q^i}\right)$$

$$\lim_{n \rightarrow \infty} \gamma_q(n) = 1 - \frac{1}{q} + \left(\frac{1}{q^2}\right)$$

که با قرار دادن  $q = 2$  داریم:

$$\gamma_q(\infty) = \prod_{i=1}^{\infty} \left(1 - \frac{1}{q^i}\right) \approx 0.2887880951$$



شکل ۱۳.۳: رمز دنباله ای Trivium

درسال های آغازین قرن بیست و یکم، تعدادی از رمزهای دنباله ای مورد حملات جدی قرار گرفتند که از مهم ترین آنها می توان به رمز دنباله ای A5/1 و حمله ای اعمال شده به آن در [۱۰]، و A5/2 و تحلیل صورت گرفته روی آن در [۸]، اشاره کرد. چنین حمله های مؤفقی، زمانی صورت گرفت که این رمزهای دنباله ای برای برقراری امنیت سامانه ای جهانی ارتباطات همراه، که میلیون ها شهروند اروپایی از آن استفاده می کردند، به کار گرفته شده بود. این تهدیدها سبب شد تا سازمان رمزنگاری اروپایی ECRYPT اقدام به برگزاری مسابقه ای برای طراحی رمزهای دنباله ای کند. این مسابقه که به پروژه ی eStream معروف است در سال ۲۰۰۴ آغاز شد و در مجموع ۳۴ سامانه ای رمز دنباله ای به این مسابقه ارسال شدند. سامانه های پیشنهادی طی سه مرحله مورد آزمون قرار گرفتند تا این که در سال ۲۰۰۸ که پایان مسابقه بود تنها هفت الگوریتم از مرحله ی نهایی عبور کرده و به عنوان الگوریتم های برتر شناخته شدند. رمزهای دنباله ای پیشنهادی در این مسابقه دو دسته ی نرم افزار مبنا و سخت افزار مبنا قرار داشتند. یکی از الگوریتم های منتخب در این مسابقه رمز دنباله ای Trivium است که در ادامه فرآیند جبری سازی آن را بررسی می کنیم.



### ۲.۵.۳ جبری سازی Trivium و Bivium

#### معرفی Trivium

Trivium، یک رمز دنباله‌ای است که توسط کانیری<sup>۱۲</sup> و پرینییل<sup>۱۳</sup>، [۱۲] ارائه شد. این رمز دنباله‌ای از یک ثابت انتقال همزمان بیتی به طول ۲۸۸ بیت، برای تولید کلید اجرایی دودویی با حداکثر طول ۲<sup>۶۴</sup> از روی یک کلید ۸۰ بیتی به همراه یک بردار حالت اولیه ۸۰ بیتی به کار می‌رود. مانند اغلب رمزهای دنباله‌ای این فرآیند شامل دو مرحله اصلی است. در مرحله اول که آغازسازی نام دارد، بیت‌های ثابت انتقال با استفاده از کلید و بردار حالت اولیه مقدار دهی می‌شوند. در مرحله دوم بیت‌های ثابت انتقال یا همان بیت‌های حالت داخلی به طور مرتب و پی‌درپی، بر اساس یک تابع مشخص از حالت قبلی به‌روز می‌شوند. این فرآیند تکراری تا زمانی ادامه می‌یابد که به اندازه کافی بیت کلید اجرایی تولید شود.

ابتدا مرحله دوم یعنی فرآیند به‌روز رسانی بیت‌های حالت داخلی را شرح می‌دهیم. فرض کنید بیت‌های ثابت انتقال را با  $(s_0, \dots, s_{287})$ ، نمایش دهیم و  $z_t$ ، نشان‌دهنده بیت  $t$ ام کلید اجرایی باشد، در این صورت اگر بخواهیم  $N$  بیت از کلید اجرایی را (که  $N \leq 2^{64}$ ) تولید کنیم، فرآیند به‌روز رسانی مطابق الگوریتم ۱۴، صورت می‌گیرد. نمایش تصویری فرآیند به‌روز رسانی بیت‌های حالت داخلی در شکل ۱۳.۳، نمایش داده شده است. مرحله آغازسازی نیز مطابق الگوریتم ۱۵، صورت می‌گیرد.

#### معرفی Bivium

Bivium، نسخه تقلیل یافته‌ای از الگوریتم رمزنگاری Trivium است که توسط رادوم<sup>۱۴</sup> [۵۷]، و در دو نوع A و B ارائه شد. در این سامانه از یک ثابت انتقال همزمان ۱۷۷ بیتی برای تولید کلید اجرایی از روی کلید ۸۰ بیتی و بردار حالت اولیه ۸۰ بیتی استفاده می‌شود. اگر ۱۷۷ بیت حالت داخلی را با  $(s_0, \dots, s_{176})$ ، و بیت  $t$ ام کلید اجرایی را با  $z_t$ ، نمایش دهیم آن‌گاه، فرآیند به‌روز رسانی و تولید بیت‌های کلید اجرایی مطابق الگوریتم ۱۶ است.

فرآیند آغازسازی در Bivium، شبیه Trivium است که در الگوریتم ۱۵ بیان شد، با این تفاوت که حلقه به‌روز رسانی به جای  $1152 = 4 \times 288$  مرتبه به تعداد  $708 = 4 \times 177$  مرتبه تکرار می‌شود.

<sup>12</sup>Canniere

<sup>13</sup>Preneel

<sup>14</sup>Raddum

## استخراج معادلات Trivium و Bivium

چون در هر دو الگوریتم مورد بحث، فرآیند آغازسازی هیچ تفاوتی با فرآیند تولید رشته کلید اجرایی ندارد لذا در هر دو روش از فرآیند آغازسازی صرف نظر می کنیم و هدف ما به دست آوردن مقادیر بیت های ثبات انتقال بعد از فرآیند آغازسازی و درست در لحظه شروع تولید رشته کلید اجرایی است. در ضمن فرض بر این است که به تعداد کافی از بیت های کلید اجرایی دسترسی داریم. برای استخراج معادلات این سامانه ها دو روش معرفی می کنیم. در روش اول معادلات را فقط بر حسب بیت های حالت در لحظه شروع تولید کلید اجرایی به دست می آوریم و متغیر جدیدی معرفی نمی کنیم. در روش دوم در هر دور تعدادی متغیر جدید معرفی می کنیم به طوری که درجه معادلات استخراج شده همواره حداکثر برابر با ۲ باشد.

۱. فرض کنید مقادیر بیت های ثبات انتقال در آغاز تولید کلید اجرایی در Trivium را با  $(s_0, \dots, s_{287})$  و در Bivium را با  $(s_0, \dots, s_{176})$ ، نمایش دهیم. در روش اول هیچ متغیر جدیدی معرفی نمی کنیم و همه معادلات را بر حسب  $s_i$  ها که  $i \in \{0, \dots, 287\}$  (یا  $i \in \{0, \dots, 176\}$ ) به دست می آوریم. در این روش تعداد متغیرها ثابت و برابر با طول ثبات انتقال باقی می ماند، ولی درجه معادلات و تعداد یکجمله ای های معادلات استخراج شده رفته رفته افزایش می یابد. برای مثال الگوریتم Trivium، را در نظر بگیرید. در این روش در هر دور  $z_i$  را که کلید اجرایی تولید شده در دور  $i$  ام الگوریتم ۱۴ است، بر حسب بیت های ثبات انتقال در لحظه شروع تولید کلید اجرایی به دست می آوریم. به این ترتیب در ۶۶ دور اول معادلات خطی هستند، سپس به ازای دور  $i \in \{67, \dots, 148\}$  معادله ها از درجه ۲ و به ازای  $i \in \{149, \dots, 214\}$  معادله ها از درجه ۳ و به ازای  $i \in \{215, \dots, 239\}$  از درجه ۴ هستند و این روند افزایشی ادامه می یابد. برای مثال تعدادی از معادلات به دست آمده با این

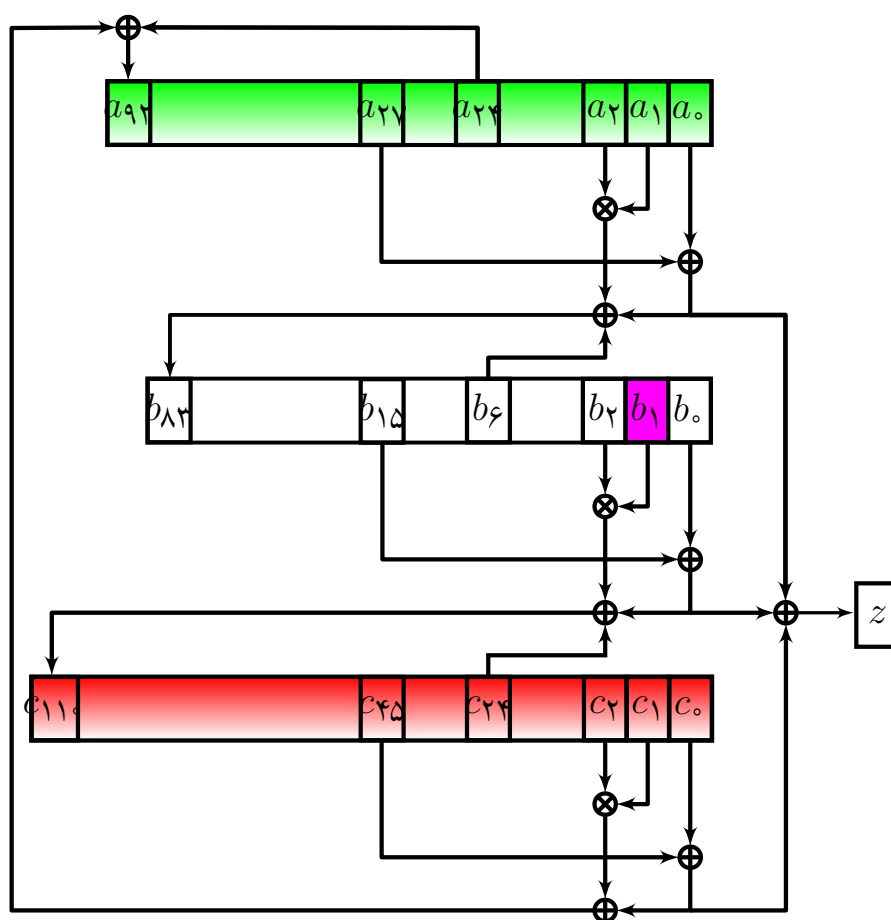
روش در زیر نمایش داده شده است.

$$\begin{aligned}
 z_1 &= s_{65} + s_{92} + s_{161} + s_{176} + s_{242} + s_{287} \\
 z_2 &= s_{64} + s_{91} + s_{160} + s_{175} + s_{241} + s_{286} \\
 &\vdots \\
 z_{66} &= s_0 + s_{27} + s_{96} + s_{111} + s_{177} + s_{222} \\
 z_{67} &= s_{26} + s_{68} + s_{95} + s_{110} + s_{161} + s_{174} s_{175} + s_{176} + s_{221} + s_{242} + s_{263} + s_{285} s_{286} + s_{287} \\
 &\vdots \\
 z_{148} &= s_2 + s_{12} s_{13} + s_{27} s_{28} + s_{29} + s_{53} + s_{65} + s_{78} s_{79} + s_{80} + s_{90} s_{91} + s_{92} + s_{93} s_{94} + s_{95} \\
 &\quad + s_{107} + s_{125} + s_{138} s_{139} + s_{140} + s_{146} + s_{158} + s_{159} s_{160} + s_{161} + s_{170} + s_{182} + s_{188} \\
 &\quad + s_{204} s_{205} + s_{206} + s_{227} + s_{231} s_{232} + s_{233} + s_{248} \\
 z_{149} &= s_1 + s_{11} s_{12} + s_{26} s_{27} + s_{28} + s_{52} + s_{64} + s_{65} s_{93} + s_{77} s_{78} + s_{79} + s_{89} s_{90} + s_{90} s_{91} s_{93} \\
 &\quad + s_{91} + s_{92} s_{93} + s_{93} s_{170} + s_{94} + s_{106} + s_{124} + s_{137} s_{138} + s_{139} + s_{145} + s_{157} + s_{158} s_{159} \\
 &\quad + s_{160} + s_{169} + s_{181} + s_{187} + s_{203} s_{204} + s_{205} + s_{226} + s_{230} s_{231} + s_{232} + s_{247} \\
 &\vdots
 \end{aligned}$$

همان‌طور که مشاهده می‌شود درجه و تعداد یکجمله‌ای‌های معادلات استخراج شده با این روش، در دورهای بالاتر افزایش می‌یابد. پس از پیاده‌سازی این روش استخراج، با استفاده از نرم‌افزار سیج، متوجه شدیم که معادلات استخراج شده به ازای دورهای بالاتر آن‌قدر بزرگ هستند که سبب پر شدن حافظه رم کامپیوتر می‌شوند. اگر بتوانیم متغیرهایی را که به دفعات در یکجمله‌ای‌های غیر خطی ظاهر می‌شوند، شناسایی کنیم و بجای آن‌ها مقادیر عددی حدسی قرار دهیم، می‌توانیم تا حدی از حجم یکجمله‌ای‌ها ظاهر شده در معادلات کم کنیم که این کار سبب ساده‌تر شدن حل دستگاه به‌دست آمده خواهد شد.

۲. در روش دوم به ازای هر کلاک (یا هر انتقال ثبات انتقال)، تعدادی متغیر جدید اضافه می‌کنیم. برای فهم بهتر و سادگی پیاده‌سازی این روش، ثبات انتقال Trivium را به سه ثبات با طول‌های ۹۳، ۸۴ و ۱۱۱، مطابق شکل ۱۴.۳، تقسیم می‌کنیم. اگر بیت‌های ثبات انتقال در لحظه  $t$  را با  $(a_t, \dots, a_{t+92}, b_t, \dots, b_{t+83}, c_t, \dots, c_{t+110})$  و بیت  $t$ ام کلید اجرایی را با  $z_t$  نمایش دهیم، فرآیند آغازسازی، به‌روزرسانی بیت‌های حالت و تولید کلید اجرایی طبق الگوریتم ۱۷ است.

فرض کنید بیت‌های ثبات انتقال در پایان فرآیند آغازسازی را با  $(a_0, \dots, a_{92}, b_0, \dots, b_{83}, c_0, \dots, c_{110})$



شکل ۱۴.۳: نمایش طبقاتی الگوریتم رمزنگاری Trivium

نمایش دهیم. فرض کنید به تعداد کافی از بیت های کلید اجرایی را داشته باشیم، هدف ما به دست آوردن مقادیر حالت اولیه و یا مقادیر بیت های ثبات انتقال در لحظه آغاز تولید کلید اجرایی است.

برای تولید معادلات از درجه حداکثر ۲ در این روش از الگوریتم ۱۸ استفاده می کنیم.

همان طور که مشاهده می شود در هر کلاک ۳ متغیر و ۴ معادله جدید تولید می شود و بدین ترتیب با در دست داشتن  $n$  بیت از کلید اجرایی دستگاهی شامل  $4n$  معادله و  $3n + 288$  مجهول خواهیم داشت. از آنجایی که هر یک از معادلات استخراج شده در این روش دارای یک جمله ای های کمتری هستند، این روش به حافظه ی رم کمتری نیاز دارد و نسبت به روش اول سریع تر است. به راحتی می توان این روش را برای Bivium نیز به کار برد، که در این صورت در هر دور دو متغیر و ۳ معادله جدید تولید می شود و بدین ترتیب با داشتن  $n$  بیت از کلید اجرایی، دستگاهی شامل  $3n$  معادله و  $2n + 177$  مجهول به دست می آید.

برای این که بتوانیم از بین روش های معرفی شده در فوق، بهترین روش برای استخراج معادلات را انتخاب کنیم، لازم است تا روش های حل دستگاه معادلات چند جمله ای را بهتر بشناسیم. لذا بحث راجع به انتخاب روش بهینه را به فصل آخر واگذار می کنیم.

تا کنون مطالعات زیادی روی تحلیل جبری رمزهای دنباله ای به خصوص آن دسته از رمزهای دنباله ای که تابع انتقال حالت آن ها خطی است، صورت گرفته است. در مورد تحلیل جبری این نوع از رمزهای دنباله ای خواننده را به [۱۹، ۳۶، ۲۱] ارجاع می دهیم.

## ۶.۳ جبری سازی سامانه های کلید همگانی

برای سادگی و فهم بهتر مطلب، یک نگاشت رمزنگاری کلید همگانی مانند

$$\text{Enc}_{pk} : \mathbb{F}_2^n \rightarrow \mathbb{F}_2^m$$

$$x \mapsto y := \text{Enc}_{pk}(x).$$

را در نظر بگیرید. می دانیم که مهاجم کلید همگانی را دارد. با این پیش فرض دو سناریو را مورد بررسی قرار می دهیم. در سناریو اول هدف به دست آوردن متن اصلی و در سناریو دوم هدف به دست آوردن کلید خصوصی است.

### ۱.۶.۳ رمزگشایی بدون استفاده از کلید خصوصی

در این سناریو مهاجم، نگاشت چندجمله ای متناظر با نگاشت رمزنگاری را طوری به دست می آورد که چندجمله ای ها مستقل از بیت های کلید خصوصی و فقط بر حسب بیت های متن اصلی باشند. بنابراین اگر بیت های متن اصلی را با  $x_1, \dots, x_n$  و بیت های متن رمز شده را با  $y_1, \dots, y_n$  نمایش دهیم، آن گاه نگاشت چندجمله ای متناظر با  $Enc_{pk}(\cdot)$  عبارت است از:

$$(y_1, \dots, y_m) = Enc_{pk}(x_1, \dots, x_n) = (f_1(x_1, \dots, x_n), \dots, f_m(x_1, \dots, x_n))$$

فرض کنید مهاجم قصد دارد بدون استفاده از کلید خصوصی متن رمز شده ی  $c = (c_1, \dots, c_m)$  را رمزگشایی کند در این صورت با جایگذاری بیت های معلوم  $c_i$  در نگاشت فوق به دستگاهی به صورت زیر دست می یابد.

$$\mathcal{S} = \begin{cases} f_1(x_1, \dots, x_n) = c_1 \\ \vdots \\ f_m(x_1, \dots, x_n) = c_m \end{cases}$$

و با حل دستگاه فوق متن اصلی را می یابد.

مثال ۱۶.۳. سامانه ی رمزنگاری کلید همگانی Plain RSA یا RSA ساده را با پارامترهای زیر در نظر بگیرید.

$$n = 3 \times 5, p = 3, q = 5; \phi(15) = 8, e = d = 3, ed \equiv 1 \pmod{8}$$

$$pk = (n, e) = (15, 3), sk = (n, d) = (15, 3)$$

نگاشت رمزنگاری فوق را می توان به صورت یک نگاشت چندجمله ای نمایش داد. برای این کار ابتدا توجه نمایید که چون فضای متن اصلی و فضای متن رمز شده مجموعه ی  $\mathbb{Z}_{15}$  است هر عضو این مجموعه را می توان با یک چهاربیتی به صورت زیر نمایش داد.

$$x \in \mathbb{Z}_{15} \implies x = x_0 + 2x_1 + 4x_2 + 8x_3; (x_0, x_1, x_2, x_3) \in \mathbb{F}_2^4$$

بنابراین داریم

$$\forall (x_3, x_2, x_1, x_0) \in \mathbb{F}_2^4 \quad Enc_{pk}(x_3, x_2, x_1, x_0) = (x_0 + 2x_1 + 4x_2 + 8x_3)^3 \pmod{15}$$

فرض کنیم به عنوان مهاجم نگاشت رمزنگاری را می دانیم و کلید عمومی را در اختیار داریم در این صورت می توانیم معادلات چند جمله ای نگاشت رمزنگاری را با یک محاسبه ی ساده به صورت

زیر به دست آوریم.

$$(c_3, c_2, c_1, c_0) = \text{Enc}_{pk}(x_3, x_2, x_1, x_0) = (f_3, f_2, f_1, f_0); f_i \in \mathbb{F}_2[x_0, x_1, x_2, x_3]$$

با قطعه کد زیر در نرم افزار سیج توابع  $f_0, f_1, f_2, f_3$  را استخراج می کنیم.

```
b = matrix(16, 4)
for i in range(16):
    b[i] = list(bin(mod(i^3, 15))[2:].zfill(4))
B = b.T;
from sage.crypto.boolean_function import BooleanFunction
c0 = BooleanFunction(list(B[3])); c1 = BooleanFunction(list(B[2]))
c2 = BooleanFunction(list(B[1])); c3 = BooleanFunction(list(B[0]))
f0 = c0.algebraic_normal_form(); f1 = c1.algebraic_normal_form()
f2 = c2.algebraic_normal_form(); f3 = c3.algebraic_normal_form()
```

$$\begin{aligned} f_0 &= x_0 x_1 x_2 x_3 + x_0 x_1 x_2 + x_0 x_1 x_3 + x_0 x_1 + x_0 x_2 x_3 + x_0 + x_1 x_2 x_3 + x_2 x_3 \\ f_1 &= x_0 x_1 x_2 x_3 + x_0 x_1 x_2 + x_0 x_1 x_3 + x_0 x_2 x_3 + x_0 x_3 + x_1 x_2 x_3 + x_1 x_2 + x_3 \\ f_2 &= x_0 x_1 x_2 x_3 + x_0 x_1 x_2 + x_0 x_1 x_3 + x_0 x_1 + x_0 x_2 x_3 + x_1 x_2 x_3 + x_2 x_3 + x_2 \\ f_3 &= x_0 x_1 x_2 x_3 + x_0 x_1 x_2 + x_0 x_1 x_3 + x_0 x_2 x_3 + x_0 x_3 + x_1 x_2 x_3 + x_1 x_2 + x_1 \end{aligned}$$

اکنون فرض کنید متن رمز شده  $(0, 0, 1, 0) = 2$  را دریافت کنیم، در این صورت بدون نیاز به داشتن کلید خصوصی می توانیم متن اصلی را بیابیم، برای این کار ابتدا دستگاه معادلات  $f_3 = f_2 = f_1 + 1 = f_0 = 0$  تشکیل داده، سپس آن را روی میدان  $\mathbb{F}_2$  حل می کنیم. یکی از روش های مناسب برای حل دستگاه فوق روش پایه ی گروبنر است که آن را در بخش های قبل معرفی کردیم، برای حل به روش مذکور باید پایه ی گروبنر ایده ال تولید شده توسط معادلات فوق را بیابیم. ممکن است دستگاه فوق روی توابع های میدان  $\mathbb{F}_2$  نیز جواب داشته باشد ولی ما فقط به دنبال جواب های روی  $\mathbb{F}_2$  هستیم، از این رو معادلات میدان  $\mathbb{F}_2$  را به دستگاه فوق ضمیمه می کنیم تا مطمئن باشیم جواب های به دست آمده جواب هایی روی میدان  $\mathbb{F}_2$  هستند و نه روی توابع های آن.

$$\{x_0^2 - x_0 = 0, x_1^2 - x_1 = 0, x_2^2 - x_2 = 0, x_3^2 - x_3 = 0\}$$

بنابراین کافی است پایه ی گروبنر ایده ال زیر را بیابیم.

$$J = \langle \{f_i - c_i | i = 0, \dots, 3\} \cup \{x_i^2 - x_i | i = 0, \dots, 3\} \rangle$$

$$J = \langle f_0, f_1 + 1, f_2, f_3, x_0^2 - x_0, x_1^2 - x_1, x_2^2 - x_2, x_3^2 - x_3 \rangle$$

این قسمت را با نرم افزار سیج انجام می دهیم.

```
P.<x0,x1,x2,x3> = PolynomialRing(GF(2), order = 'lex')
I = P.ideal([f0, f1 + 1, f2, f3])
J = I + sage.rings.ideal.FieldIdeal(P)
J.groebner_basis()

[x0, x1, x2, x3 + 1]

J.variety()

[{x2: 0, x1: 0, x0: 0, x3: 1}]
```

همان طور که مشاهده می کنید وارسته آفین ایده آل  $J$ ، که همان مجموعه ی جواب دستگاه است، فقط شامل یک نقطه است. این نقطه که در مبنای ده برابر عدد ۸ است متن اصلی متناظر با متن رمز شده ۲ است.

### ۲.۶.۳ به دست آوردن کلید خصوصی

با توجه به این که مهاجم کلید عمومی را دارد، می تواند هر تعداد متن اصلی و رمز شده ی متناظر با آن را به دست آورد. اکنون فرض کنید مهاجم نگاشت رمزگشایی را به صورت یک نگاشت چند جمله ای بر حسب بیت های کلید خصوصی و متن اصلی و رمز شده مدل کند. در این صورت با جایگذاری زوج متن های اصلی و رمز شده ی معلوم، در این نگاشت، دستگاهی به دست می آید که مجهولات آن بیت های کلید خصوصی هستند. با حل این دستگاه مهاجم قادر است کلید خصوصی را بیابد.

در این بخش با نحوه استخراج معادلات انواع سامانه های رمزنگاری آشنا شدیم. اما باید توجه کرد که صرف به دست آوردن معادلات یک سامانه ی رمزنگاری نمی تواند دلیل بر شکسته شدن آن سامانه باشد، بلکه دستگاه به دست آمده باید با الگوریتم های موجود قابل حل باشد. در بخش بعدی مروری داریم بر الگوریتم های حل دستگاه های به دست آمده از سامانه های رمزنگاری.



## الگوریتم ۱۰ الگوریتم بوخبرگر-مولر ۲

**ورودی**  $\mathbb{Y} = \{(p_1, k_1), \dots, (p_s, k_s)\} \subseteq K^n \times K^l$  و  $q_1, \dots, q_m$   
**خروجی**  $\mathcal{G}$  و  $(f_1, \dots, f_m) \in Q^m$  (با شرایط ذکر شده در صورت قضیه).  
 ۱: قرار می دهیم  $\mathcal{G} = \emptyset, O = \emptyset, \mathcal{S} = \emptyset, L = \{1\}$  و  $M = (m_{ij}) \in \text{Mat}_{\circ, s}(K)$  را ماتریسی در نظر می گیریم که در ابتدا دارای  $s$  ستون و  $\circ$  ردیف است. یک ترتیب یکجمله ای  $\sigma$  انتخاب کرده و به گام ۲ می رویم.  
 ۲: اگر  $L = \emptyset$  به گام ۶ می رویم. در غیر این صورت  $t = \min_{\sigma}(L)$  را انتخاب کرده و سپس آن را از  $L$  حذف می کنیم.  
 ۳: بردار مقادیر  $(t(p_1, k_1), \dots, t(p_s, k_s)) \in K^s$  را محاسبه کرده و آن را نسبت به سطرهای ماتریس  $M$  تحویل می کنیم تا بردار  $(v_1, \dots, v_s)$  به صورت

$$(v_1, \dots, v_s) = (t(p_1), \dots, t(p_s)) - \sum_i a_i(m_{i1}, \dots, m_{is})$$

به دست آید بطوری که  $a_i \in K$ .  
 ۴: اگر  $(v_1, \dots, v_s) = (\circ, \dots, \circ)$  آن گاه چندجمله ای  $t - \sum_i a_i s_i$  را که  $s_i$  عضو  $i$  ام  $\mathcal{S}$  است، به مجموعه  $\mathcal{G}$  اضافه می کنیم. سپس همه ی مضارب  $t$  را از  $L$  حذف کرده و به گام ۲ می رویم.  
 ۵: در غیر این صورت اگر  $(v_1, \dots, v_s) \neq \circ$ ، بردار  $(v_1, \dots, v_s)$  را به عنوان یک سطر جدید به  $M$  و چندجمله ای  $t - \sum_i a_i s_i$  را به عنوان یک عضو جدید به  $\mathcal{S}$ ، اضافه می کنیم. یکجمله ای  $t$  را به  $O$  اضافه می کنیم و سپس اعضای از  $\{x_1 t, \dots, x_n t, y_1 t, \dots, y_l t\}$  را که مضرب هیچ عضوی از  $L \cup \text{LM}_{\sigma}(\mathcal{G})$  نیستند، به  $L$  اضافه می کنیم و به گام ۲ می رویم.  
 ۶: ماتریس  $M$ ، را به یک ماتریس قطری تحویل کرده و همان عملیاتی که در طول تحویل کردن  $M$  انجام داده ایم، روی اعضای چندتایی مرتب  $\mathcal{S}$  نیز اعمال می کنیم. سپس با در نظر گرفتن  $\mathcal{S}$  به عنوان یک بردار ستونی،  $M^{-1}\mathcal{S}$  را محاسبه کرده و آن را جایگزین  $\mathcal{S}$  می کنیم.  
 ۷: به ازای  $i = 1, \dots, s$ ،  $q_i$  را به صورت  $q_i = (q_{i1}, \dots, q_{im})$  که  $q_{ij} \in K$  می نویسیم. سپس به ازای هر  $j = 1, \dots, m$ ، چندجمله ای های  $f_j = \sum_{i=1}^s q_{ij} s_i$  را که  $s_i$  عضو  $i$  ام از چندتایی مرتب  $\mathcal{S}$  است محاسبه می کنیم. با بازگرداندن  $(f_1, \dots, f_m)$  و  $\mathcal{G}$  الگوریتم خاتمه می یابد.

## الگوریتم ۱۱ الگوریتم رمزنگاری در KeeLoq

**Input:** کلید  $K = k_{63}, \dots, k_0$  : متن اصلی  $P = P_{31}, \dots, P_0$

**Output:** متن رمز شده  $C = C_{31}, \dots, C_0$

$X \leftarrow P$  بارگذاری متن اصلی در شیفتر رجیستر غیرخطی

**for**  $i = 0, \dots, 527$  **do**

$OUT \leftarrow NLF(x_{31}, x_{26}, x_{20}, x_9, x_1)$  بیت خروجی تابع غیر خطی

$XOR \leftarrow k_{i \bmod 64} \oplus x_{16} \oplus x_0 \oplus OUT$

: بروزسانی بیت های حالت

1.  $X \leftarrow X \ggg 1$  شیفتر به راست رجیستر

2.  $x_{31} \leftarrow XOR$  پر شدن بیت پر ارزش شیفتر رجیستر غیر خطی

**end for**

**return**  $X$

## الگوریتم ۱۲ الگوریتم رمزگشایی در KeeLoq

**Input:** کلید  $K = k_{63}, \dots, k_0$  : متن رمز شده  $C = C_{31}, \dots, C_0$

**Output:** متن اصلی  $P = P_{31}, \dots, P_0$

$Y \leftarrow C$  بارگذاری متن رمز شده در شیفتر رجیستر غیرخطی

**for**  $i = 0, \dots, 527$  **do**

$OUT \leftarrow NLF(y_{30}, x_{25}, x_{19}, x_8, x_0)$  بیت خروجی تابع غیر خطی

$XOR \leftarrow k_{(15-i) \bmod 64} \oplus y_{31} \oplus x_{15} \oplus OUT$

: بروزسانی بیت های حالت

1.  $Y \leftarrow Y \lll 1$  شیفتر به چپ رجیستر

2.  $y_0 \leftarrow XOR$  پر شدن بیت کم ارزش شیفتر رجیستر غیر خطی

**end for**

**return**  $X$

## الگوریتم ۱۳ رمزنگاری AES

**Input:**  $P \in \text{Mat}_4(\mathbb{F}_{2^8})$  متن اصلی**Input:**  $K_0, \dots, K_n \in \text{Mat}_4(\mathbb{F}_{2^8})$  کلیدهای هر یک از دورها که توسط الگوریتم استخراج کلید تولید شده اند**Output:**  $C \in \text{Mat}_4(\mathbb{F}_{2^8})$  $S_0 \leftarrow \text{AddRoundKey}(P, K_0)$  سفیدسازی**for**  $r = 1, \dots, n$  **do** $S_r \leftarrow \text{SubByte}(S_{r-1})$  $S_r \leftarrow \text{ShiftRows}(S_r)$ **if**  $r \neq N_r$  **then** $S_r \leftarrow \text{MixColumns}(S_r)$ **end if** $S_r \leftarrow \text{AddRoundKey}(S_r, K_r)$ **end for** $C \leftarrow S_n$ **return**  $C$ 

## الگوریتم ۱۴ الگوریتم به روزرسانی و تولید کلید اجرایی در رمز دنباله ای Trivium

**for**  $t = 0, \dots, N - 1$  **do** $t_1 \leftarrow s_{65} + s_{92}$  $t_2 \leftarrow s_{161} + s_{176}$  $t_3 \leftarrow s_{242} + s_{287}$  $z_t \leftarrow t_1 + t_2 + t_3$  $t_1 \leftarrow t_1 + s_{90} \cdot s_{91} + s_{170}$  $t_2 \leftarrow t_2 + s_{174} \cdot s_{175} + s_{263}$  $t_3 \leftarrow t_3 + s_{285} \cdot s_{286} + s_{68}$  $(s_0, \dots, s_{92}) \leftarrow (t_3, s_0, \dots, s_{91})$  $(s_{93}, \dots, s_{176}) \leftarrow (t_1, s_{93}, \dots, s_{175})$  $(s_{177}, \dots, s_{287}) \leftarrow (t_2, s_{177}, \dots, s_{286})$ **end for**

## الگوریتم ۱۵ مرحله آغاز سازی در رمز دنباله ای Trivium

 $(s_0, \dots, s_{92}) \leftarrow (K_0, \dots, K_{79}, 0, \dots, 0)$  $(s_{93}, \dots, s_{176}) \leftarrow (IV_0, \dots, IV_{79}, 0, \dots, 0)$  $(s_{177}, \dots, s_{287}) \leftarrow (0, \dots, 0, 1, 1, 1)$ **for**  $0 = 1, \dots, 1151$  **do** $t_1 \leftarrow s_{65} + s_{90} \cdot s_{91} + s_{93} + s_{170}$  $t_2 \leftarrow s_{161} + s_{174} \cdot s_{175} + s_{176} + s_{263}$  $t_3 \leftarrow s_{242} + s_{285} \cdot s_{286} + s_{287} + s_{68}$  $(s_0, \dots, s_{92}) \leftarrow (t_3, s_0, \dots, s_{91})$  $(s_{93}, \dots, s_{176}) \leftarrow (t_1, s_{93}, \dots, s_{175})$  $(s_{177}, \dots, s_{287}) \leftarrow (t_2, s_{177}, \dots, s_{286})$ **end for**

---

**الگوریتم ۱۶** الگوریتم به روزرسانی و تولید کلید اجرایی در رمز دنباله ای Bivium
 

---

```

for  $t = 0, \dots, N - 1$  do
   $t_1 \leftarrow s_{65} + s_{92}$ 
   $t_2 \leftarrow s_{161} + s_{176}$ 
   $z_t \leftarrow t_2(\text{Variant A})/t_1 + t_2(\text{Variant B})$ 
   $t_1 \leftarrow t_1 + s_{90} \cdot s_{91} + s_{170}$ 
   $t_2 \leftarrow t_2 + s_{174} \cdot s_{175} + s_{69}$ 
   $(s_0, \dots, s_{92}) \leftarrow (t_2, s_0, \dots, s_{91})$ 
   $(s_{93}, \dots, s_{176}) \leftarrow (t_1, s_{93}, \dots, s_{175})$ 
end for

```

---



---

**الگوریتم ۱۷** الگوریتم رمزنگاری Trivium
 

---

**Input:**  $K = (k_0, \dots, k_{79}), IV = (v_0, \dots, v_{79}), N$

**Output:**  $Z = (z_0, \dots, z_{N-1})$

$(a_0, \dots, a_{92}, b_0, \dots, b_{83}, c_0, \dots, c_{110}) \leftarrow (\underbrace{0, \dots, 0, k_{79}, \dots, k_0}_A, \underbrace{0, 0, 0, 0, v_{79}, \dots, v_0}_B, \underbrace{1, 1, 1, 0, \dots, 0}_C)$

```

for  $t = 0, \dots, 1151$  do
   $a_{t+93} \leftarrow a_{t+24} + c_{t+45} + c_t + c_{t+1} \cdot c_{t+2}$ 
   $b_{t+84} \leftarrow b_{t+6} + a_{t+27} + a_t + a_{t+1} \cdot a_{t+2}$ 
   $c_{t+111} \leftarrow c_{t+24} + b_{t+15} + b_t + b_{t+1} \cdot b_{t+2}$ 
end for
for  $t = 0, \dots, N - 1$  do
   $z_t \leftarrow a_t + a_{t+27} + b_t + b_{t+15} + c_t + c_{t+45}$ 
   $a_{t+93} \leftarrow a_{t+24} + c_{t+45} + c_t + c_{t+1} \cdot c_{t+2}$ 
   $b_{t+84} \leftarrow b_{t+6} + a_{t+27} + a_t + a_{t+1} \cdot a_{t+2}$ 
   $c_{t+111} \leftarrow c_{t+24} + b_{t+15} + b_t + b_{t+1} \cdot b_{t+2}$ 
end for

```

---



---

**الگوریتم ۱۸** استخراج معادلات از درجه حداکثر ۲ حاکم بر Trivium
 

---

**Input:**  $Z = (z_0, \dots, z_{n-1})$

**Output:** معادلات حاکم بر Trivium از درجه حداکثر ۲

```

 $P \leftarrow \emptyset$ 
for  $i = 0, \dots, n - 1$  do
   $P \leftarrow P \cup \{z_i + a_i + a_{i+27} + b_i + b_{i+15} + c_i + c_{i+45}\}$ 
   $P \leftarrow P \cup \{a_{i+93} + a_{i+24} + c_{i+45} + c_i + c_{i+1} \cdot c_{i+2}\}$ 
   $P \leftarrow P \cup \{b_{i+84} + b_{i+6} + a_{i+27} + a_i + a_{i+1} \cdot a_{i+2}\}$ 
   $P \leftarrow P \cup \{c_{i+111} + c_{i+24} + b_{i+15} + b_i + b_{i+1} \cdot b_{i+2}\}$ 
end for
return  $P$ 

```

---

## فصل ۴

# حمله‌های جبری و روش‌های حل دستگاه معادلات چندجمله‌ای

در بخش قبل نشان دادیم که مسئله‌ی شکستن سامانه‌ی رمزنگاری را می‌توان به مسئله‌ی حل دستگاه معادلات چندجمله‌ای تبدیل کرد و معادلات حاکم بر چند سامانه‌ی واقعی را نیز استخراج کردیم. بنابراین اگر بتوان الگوریتم مناسبی برای حل دستگاه معادلات چندجمله‌ای یافت آن‌گاه امنیت تمام سامانه‌های رمزنگاری با خطر مواجه می‌شود. به همین خاطر در این فصل به معرفی الگوریتم‌هایی می‌پردازیم که رمزنگارها غالباً از آن‌ها برای حل دستگاه‌های به‌دست آمده از سامانه‌های رمزنگاری استفاده می‌کنند. بخش عمده‌ای از مطالب این فصل بر پایه‌ی مراجع [۴۵، ۱۶، ۷] و [۶۶، ۲۲، ۲] است.

## ۱.۴ روش‌های مبنی بر خطی سازی

### ۱.۱.۴ خطی سازی

در روش خطی‌سازی به‌جای هر یکجمله‌ای یک متغیر جدید جایگزین می‌کنیم، با این کار دستگاه معادلات چندجمله‌ای به یک دستگاه خطی بر حسب متغیرهای جدید تبدیل می‌شود. دستگاه خطی با روش حذفی گاوس به سرعت قابل حل است. روش خطی‌سازی گرچه خیلی ساده است، ولی یکی از مراحل اصلی در حمله‌هایی است که در ادامه معرفی می‌کنیم.

مثال ۱.۴. دستگاه معادلات زیر روی میدان  $\mathbb{F}_7$  را در نظر بگیرید.

$$\begin{cases} x_1 + x_2 + x_1x_2 = 1 \\ x_2 + x_1x_2 = 1 \\ x_1 + x_1x_2 = 0 \end{cases}$$

با جایگزینی‌های  $y_1 = x_1$  و  $y_{12} = x_1 x_2$  و  $y_2 = x_2$  به دستگاه خطی زیر می‌رسیم.

$$\begin{cases} y_1 + y_2 + y_{12} = 1 \\ y_2 + y_{12} = 1 \\ y_1 + y_{12} = 0 \end{cases}$$

با حل دستگاه فوق داریم:

$$\{y_1 = 0, y_{12} = 0, y_2 = 1\} \implies \{x_1 = 0, x_2 = 1\}.$$

بدیهی است که هر جواب از دستگاه اصلی در دستگاه خطی به‌دست آمده نیز صدق می‌کند ولی عکس آن لزوماً برقرار نیست. به عبارت دیگر ممکن است یک جواب از دستگاه خطی با هیچ جوابی از دستگاه اصلی متناظر نباشد. برای مثال اگر معادله‌ی آخر دستگاه مثال قبل را با معادله‌ی  $x_1 + x_1 x_2 = 1$  جایگزین کنیم، با وجود این که دستگاه خطی جواب دارد، دستگاه اصلی فاقد جواب است، زیرا:

$$\{y_1 = 0, y_{12} = 1, y_2 = 0\} \implies (x_1 = 0, x_2 = 0) \wedge (x_1 x_2 = 1) \implies \text{تناقض}.$$

### فایده‌ی روش خطی‌سازی چیست؟

می‌دانیم که یک دستگاه خطی روی میدان‌های نامتناهی نظیر  $\mathbb{Q}, \mathbb{R}$  یا  $\mathbb{C}$ ، یا فاقد جواب است، یا جوابی یکتا و یا نامتناهی جواب دارد. ولی اگر میدان یک میدان متناهی نظیر  $\mathbb{F}_2$  باشد، آنگاه با فرض این که رتبه‌ی دستگاه خطی  $r$  و تعداد متغیرهای خطی  $n$  باشد، دستگاه یا جواب ندارد یا به تعداد  $2^{n-r}$  جواب خواهد داشت.

اگر دستگاه معادلات از یک سامانه‌ی رمزنگاری به‌دست آمده باشد، حتماً دارای جواب است (زیرا کلید سامانه و متن اصلی و رمز شده با آن کلید باید در دستگاه صدق کنند). علاوه بر این در رمزنگاری همواره با میدان‌های متناهی به خصوص  $\mathbb{F}_2$  کار می‌کنیم. از طرفی می‌دانیم که در خطی‌سازی جواب‌های دستگاه اصلی حذف نمی‌شوند و فقط ممکن است جواب‌های خارجی بوجود آید، بنابراین تنها یک حالت برای دستگاه‌های خطی به‌دست آمده در رمزنگاری وجود دارد و آن متناهی بودن فضای جواب دستگاه است.

فرض کنید میدان متناهی مورد نظر  $\mathbb{F}_q$  باشد و پس از خطی‌سازی به دستگاهی با  $m$  معادله و  $n$  مجهول برسیم. اگر رتبه‌ی دستگاه،  $r$  باشد، تعداد کل جواب‌های دستگاه برابر است با  $q^{n-r}$ . توجه کنید که همواره  $r \leq n$ ، حال اگر  $n - r$  کوچک باشد، فضای جواب کوچک است و می‌توانیم هر یک از جواب‌های دستگاه خطی را در دستگاه اصلی قرار داده و درستی آن را امتحان

کنیم ولی وقتی  $n-r$  عدد بزرگی باشد، این کار از جست‌وجوی فراگیر فضای کلید سامانه سخت‌تر است. در ادامه روش‌هایی را معرفی می‌کنیم که قبل از خطی سازی یک دستگاه داده شده، تعداد معادلات مستقل را افزایش می‌دهد، تا با این کار  $n-r$  در دستگاه خطی نهایی کاهش یافته و جست‌وجوی جواب‌های اصلی آسان‌تر شود.

## ۲.۱.۴ بازخطی سازی

روش بازخطی سازی یا خطی سازی مکرر اولین بار توسط کینیس<sup>۱</sup> و شمیر<sup>۲</sup> در [۴۲]، ارائه شد. این روش را با یک مثال ساده شرح می‌دهیم.

مثال ۲.۴. دستگاه مربعی و همگن زیر در  $\mathbb{F}_7[x_1, x_2, x_3]$  را در نظر بگیرید.

$$\begin{cases} 3x_1^2 + 5x_1x_2 + 5x_1x_3 + 2x_2^2 + 6x_2x_3 + 4x_3^2 = 5 \\ 6x_1^2 + x_1x_2 + 4x_1x_3 + 4x_2^2 + 5x_2x_3 + x_3^2 = 6 \\ 5x_1^2 + 2x_1x_2 + 6x_1x_3 + 2x_2^2 + 3x_2x_3 + 2x_3^2 = 5 \\ 2x_1^2 + x_1x_3 + 6x_2^2 + 5x_2x_3 + 5x_3^2 = 0 \\ 4x_1^2 + 6x_1x_2 + 2x_1x_3 + 5x_2^2 + x_2x_3 + 4x_3^2 = 0 \end{cases}$$

با تغییر متغیر  $x_ix_j \mapsto y_{ij}$  دستگاه خطی زیر به دست می‌آید.

$$\begin{cases} 3y_{11} + 5y_{12} + 5y_{13} + 2y_{22} + 6y_{23} + 4y_{33} = 5 \\ 6y_{11} + y_{12} + 4y_{13} + 4y_{22} + 5y_{23} + y_{33} = 6 \\ 5y_{11} + 2y_{12} + 6y_{13} + 2y_{22} + 3y_{23} + 2y_{33} = 5 \\ 2y_{11} + y_{13} + 6y_{22} + 5y_{23} + 5y_{33} = 0 \\ 4y_{11} + 6y_{12} + 2y_{13} + 5y_{22} + y_{23} + 4y_{33} = 0 \end{cases}$$

همان طور که مشاهده می‌شود تعداد معادلات مستقل برابر ۵ و تعداد مجهولات برابر ۶ است، بنابراین در جوابی که در زیر مشاهده می‌شود یک متغیر آزاد وجود دارد.

$$y_{11} = 2 + 5z, y_{12} = z, y_{13} = 3 + 2z, y_{22} = 6 + 4z \quad (1.4)$$

$$y_{23} = 6 + z, y_{33} = 5 + 3z; z \in \mathbb{F}_7 \text{ متغیر آزاد}$$

همان طور که مشاهده می‌شود این بار دستگاه خطی دارای جواب یکتا نیست و یک متغیر آزاد وجود دارد. البته چون  $z \in \mathbb{F}_7$ ، تنها ۷ حالت برای  $z$  وجود دارد و می‌توان با آزمودن هر یک از این

<sup>1</sup>kipnis

<sup>2</sup>shamir

حالات جواب دستگاه اصلی را به دست آورد. این راه کار شاید برای یک مثال ساده نظیر دستگاه فوق کارساز باشد ولی وقتی اندازه‌ی میدان زمینه بزرگ و تعداد متغیرهای آزاد هم زیاد باشد، آزمودن تمام حالات کار آسانی نیست، پس چه باید کرد؟ راهکاری که روش بازخطی سازی ارائه می دهد این است که، با اضافه کردن قیدهای به دست آمده از روابط ضربی بین یکجمله‌ای‌ها تعداد جواب‌های خارجی ناشی از خطی سازی را کاهش دهیم.

با توجه به روابط ضربی بین یکجمله‌ای‌ها و نحوه‌ی تغییر متغیر، روابط زیر بین متغیرهای جدید برقرار است.

$$y_{11}y_{23} = y_{12}y_{13}, y_{12}y_{23} = y_{13}y_{22}, y_{12}y_{33} = y_{13}y_{23} \quad (2.4)$$

با جایگذاری مقادیر بر حسب  $z$  به دست آمده در ۱.۴ در معادلات ۲.۴، روابط زیر به دست می آید.

$$3z^2 + z + 5 = 0, 0z^2 + 4z + 4 = 0, z^2 + 4z + 3 = 0$$

گام بازخطی سازی در این مرحله با تغییر متغیرهای  $z_1 = z, z_2 = z^2$ ، سبب می شود باز هم یک دستگاه با سه معادله‌ی خطی به دست آید، که دارای جواب یکتای  $z_1 = 6, z_2 = 1$  است. اکنون به عقب بازمی گردیم و جواب دستگاه اصلی را می یابیم. با جایگذاری  $z = 6$  در روابط ۴/۱ داریم،  $y_{11} = 4, y_{22} = y_{33} = 2$ . برای یافتن  $x_1, x_2, x_3$  ریشه‌ی دوم آن‌ها را نسبت ۷ به صورت زیر محاسبه می کنیم.

$$x_1^2 = 2 \bmod 7 \iff x_1 \in \{3, 4\}; x_2^2 = x_3^2 = 4 \bmod 7 \iff x_2, x_3 \in \{2, 5\}$$

بنابراین داریم،  $x_1 = \pm 2, x_2 = \pm 3, x_3 = \pm 3$ . اگر قیدهای  $y_{12} = 6$  و  $y_{23} = 5$  از ۲.۴ را نیز در نظر بگیریم، تنها جواب‌های قابل قبول عبارتند از،  $(x_1, x_2, x_3) = (2, 3, 4)$  و  $(x_1, x_2, x_3) = (5, 4, 3)$ . که همان جواب‌های دستگاه اصلی هستند.

دو تایی مرتب از اندیس‌ها مثل  $o_1$  و  $o_2$  را هم ارز گوئیم و با

$$o_1 = (a, b, c, d, \dots, e, f) \sim o_2 = (a', b', c', d', \dots, e', f').$$

نمایش می دهیم هر گاه  $o_2$  جایگشتی از  $o_1$  باشد. در روش بازخطی سازی از درجه‌ی  $d$  با استفاده از  $d$  تایی هم ارز از اندیس‌ها و روابط ضربی حاکم بر یکجمله‌ای‌ها، معادلات جدیدی برای متغیرهای دستگاه خطی به صورت زیر به دست می آید.

$$(x_a x_b)(x_c x_d) \cdots (x_e x_f) = (x_{a'} x_{b'})(x_{c'} x_{d'}) \cdots (x_{e'} x_{f'}) \Rightarrow y_{ab} y_{cd} \cdots y_{ef} = y_{a'b'} y_{c'd'} \cdots y_{e'f'}.$$



در نهایت با در نظر گرفتن همه‌ی  $d$  تایی‌های هم‌ارز به یک دستگاه جدید بر حسب متغیرهای آزاد دستگاه خطی می‌رسیم. این فرآیند با یک خطی سازی مجدد یا بازخطی سازی، تا رسیدن به یک دستگاه که جوابی یکتا داشته باشد ادامه می‌یابد.

### بازخطی سازی از درجه‌ی ۴

دستگاهی با  $m = \varepsilon n^2$  معادله‌ی مربعی همگن، بر حسب  $n$  متغیر به صورت

$$\sum_{1 \leq j \leq n} a_{ijk} x_i x_j = b_k, \quad 1 \leq k \leq m$$

را در نظر بگیرید. سؤال این است که اگر  $n$  عدد بزرگی باشد، حداقل مقدار  $\varepsilon$  برای این که دستگاه به دست آمده بعد از بازخطی سازی از درجه‌ی ۴ دارای جواب یکتا باشد چقدر است؟ ما با یک تحلیل مجانبی به ازای  $n$  های بزرگ، کران پایینی برای  $\varepsilon$  ارائه می‌دهیم. بعد از خطی سازی دستگاه اصلی به  $\varepsilon n^2$  معادله‌ی خطی، بر حسب (تقریباً)  $\frac{n^2}{4}$  متغیر جدید به صورت  $y_{ij} = x_i x_j$  که  $i \leq j$  می‌رسیم. اگر فرض کنیم تمام معادلات خطی به دست آمده مستقل هستند آن گاه بُعد فضای جواب دستگاه خطی برابر است با  $(\frac{1}{4} - \varepsilon)n^2$ ، بنابراین به همین تعداد متغیر آزاد داریم و می‌توانیم تمام جواب‌ها را به صورت ترکیبی خطی از متغیرهای آزاد که آن‌ها را با متغیر جدید  $z_k$  نمایش می‌دهیم، به دست آوریم. می‌دانیم که چنین نمایش پارامتری (بر حسب  $z_k$  ها) برای مجموعه‌ی جواب دستگاه، به سرعت با روش حذفی گاوس به دست می‌آید.

بسیاری از جواب‌هایی که برای مجهولات  $y_{ij}$  دستگاه خطی به دست می‌آید، متناظر با هیچ جوابی از دستگاه اصلی نبوده و فقط ناشی از عمل خطی سازی‌اند. بنابراین برای حذف این جواب‌های زائد، معادلات دیگری که از تعریف  $y_{ij} = x_i x_j$  و روابط ضربی بین یکجمله‌ای‌ها نتیجه می‌شوند را نیز در نظر می‌گیریم. این معادلات قیدهای بیشتری روی  $y_{ij}$  ها اعمال کرده و تعداد زیادی از جواب‌های خارجی را حذف می‌کنند. برای به دست آوردن تعداد این معادلات، یک ۴ تایی از اندیس‌ها مثل  $1 \leq a \leq b \leq c \leq d \leq n$  را در نظر بگیرید. می‌توانیم  $x_a x_b x_c x_d$  را به سه صورت زیر با هم ترکیب کنیم،

$$(x_a x_b)(x_c x_d) = (x_a x_c)(x_b x_d) = (x_a x_d)(x_b x_c) \implies y_{ab} y_{cd} = y_{ac} y_{bd} = y_{ad} y_{bc}$$

همان‌طور که مشاهده می‌شود یک انتخاب ۴ تایی از اندیس‌ها به دو معادله برای  $y_{ij}$  ها منتج شد. از آنجایی که با تقریباً  $\frac{n^4}{4!}$  روش مختلف می‌توانیم این ۴ تایی‌ها از اندیس‌ها را انتخاب کنیم و هر انتخاب منجر به دو معادله‌ی مربعی برای  $y_{ij}$  ها می‌شود، لذا  $\frac{n^4}{4!}$  معادله‌ی مربعی برای  $\frac{n^2}{4}$  متغیر  $y_{ij}$  به دست می‌آید که اثبات مستقل بودن آن‌ها کار دشواری نیست. پس از آن که  $y_{ij}$  ها در دستگاه

خطی را بر حسب متغیرهای آزاد  $z_k$  بنویسیم، تعداد متغیرهای دستگاه به  $(\frac{1}{p} - \varepsilon)n^2$  متغیر کاهش می‌یابد.

بر اساس روش بازخطی سازی،  $\frac{n^4}{12}$  معادله‌ی مربعی جدید بر حسب  $(\frac{1}{p} - \varepsilon)n^2$  متغیر  $z_i$  را، با تغییر متغیر  $w_{ij} = z_i z_j$  که  $i \leq j$  دوباره خطی سازی می‌کنیم. دستگاه جدید دارای  $\frac{n^4}{12}$  معادله‌ی خطی بر حسب  $\frac{((\frac{1}{p} - \varepsilon)n^2)^2}{4}$  متغیر جدید  $w_{ij}$  است. اکنون انتظار می‌رود که اگر تعداد معادلات خطی از تعداد متغیرها بیشتر باشد، یعنی داشته باشیم،

$$\frac{n^4}{12} \geq \frac{((\frac{1}{p} - \varepsilon)n^2)^2}{4}$$

آن‌گاه، دستگاه خطی نهایی دارای جواب یکتا خواهد بود. در نتیجه کران پایین  $\varepsilon$ ، برای این‌که با یک‌بار بازخطی‌سازی به دستگاهی با جواب یکتا برسیم عبارت است از،  $\frac{1}{\sqrt{6}} - \frac{1}{p} \approx 0.1$ ،  $\varepsilon \geq \frac{1}{\sqrt{6}} - \frac{1}{p}$ . همان‌طور که در فوق نشان دادیم، بازخطی‌سازی از درجه ۴ به ازای  $n$  های بزرگ و وقتی تعداد معادلات بزرگتر یا مساوی  $0.1n^2$  باشد خوب عمل می‌کند. ولی در [۱۶] نشان داده شده که بیشتر معادلات اضافه شده به دستگاه در بازخطی‌سازی از درجه‌ی بزرگتر از ۴ وابستگی خطی دارند، و این روش کارایی خوبی ندارد. از طرفی همان‌طور که در مثال ساده‌ی ۲.۴ نیز مشاهده می‌شود، تعداد متغیرها در روش بازخطی‌سازی به سرعت افزایش می‌یابد. در ادامه روشی ساده‌تر و در عین حال قدرتمندتر از بازخطی‌سازی را معرفی می‌کنیم.

### ۳.۱.۴ روش XL

روش XL<sup>۳</sup> یک روش مبتنی بر خطی‌سازی است که در سال ۲۰۰۰، بطور مشترک توسط، کورتوا<sup>۴</sup> پاتارین<sup>۵</sup> و کلیمو<sup>۶</sup> و شمیر در [۱۶]، و به عنوان جایگزینی برای روش بازخطی‌سازی ارائه شد. همان‌طور که در بخش قبل هم نشان دادیم، روش‌های خطی‌سازی و بازخطی‌سازی زمانی خوب عمل می‌کنند که تعداد معادلات از تعداد یکجمله‌ای‌ها بیشتر باشد. الگوریتم XL طوری طراحی شده که در صورت کافی نبودن تعداد معادلات، تعداد آن‌ها را قبل از خطی‌سازی افزایش دهد، تا از این طریق تعداد معادلات مستقل خطی به تعداد یکجمله‌ای‌ها (متغیرهای جدید در دستگاه خطی) نزدیک‌تر شده و جواب دستگاه به سمت یکتایی پیش‌رود.

<sup>3</sup>eXtended linearization

<sup>4</sup>Courtois

<sup>5</sup>Patarin

<sup>6</sup>Klimov

فرض کنید  $K$  یک میدان متناهی باشد، دستگاه چندجمله‌ای زیر را در نظر بگیرید.

$$S := \begin{cases} f_1(x_1, \dots, x_n) = 0 \\ f_2(x_1, \dots, x_n) = 0 \\ \vdots \\ f_m(x_1, \dots, x_n) = 0 \end{cases}$$

درجه‌ی دستگاه  $S$  را به صورت  $d := \max\{\deg(f_i) \mid f_i \in S\}$  تعریف می‌کنیم. روش XL برای یافتن جواب‌هایی از  $S$  که در  $K$  باشند به صورت نشان داده شده در الگوریتم ۱۹ عمل می‌کند.

#### الگوریتم ۱۹ الگوریتم - XL

**ورودی** دستگاه  $S := \{f_1, \dots, f_m\} \in K[x_1, \dots, x_n]$

**خروجی** جواب‌هایی از دستگاه که در میدان  $K$  قرار دارند.

۱: درجه‌ی دستگاه  $d :=$

۲: پارامتر  $D > d$  را طوری انتخاب می‌کنیم که  $D \geq \frac{n}{\sqrt{m}}$ .

۳:  $L \leftarrow \{x^\alpha \in \mathbb{T}^n \mid \deg(x^\alpha) \leq D - d\}$

۴: **(مرحله‌ی ضرب)**  $S' \leftarrow \{x^\alpha f_i \mid x^\alpha \in L, f_i \in S\}$  (چون دستگاه اصلی  $S$  دارای  $m$  معادله بود دستگاه جدید  $S'$  دارای  $|L| \cdot m$  معادله است. در ضمن درجه‌ی دستگاه به  $D$  افزایش یافته. همچنین باید توجه کرد که ضرب یکجمله‌ای‌ها در معادلات دستگاه جواب‌های دستگاه را حذف نمی‌کند و فقط ممکن است سبب ایجاد جواب‌های خارجی شود.)

۵: **(مرحله‌ی خطی سازی)** با جایگزینی هر یکجمله‌ای  $x^\alpha$  با متغیر جدید  $y_\alpha$  به یک دستگاه خطی بر حسب متغیرهای جدید  $y_\alpha$  می‌رسیم. عملیات حذفی گاوس را روی دستگاه خطی به دست آمده اجرا می‌کنیم. ترتیب روی متغیرهای جدید در دستگاه خطی را طوری در نظر می‌گیریم که متغیرهای خطی  $y_{\alpha_j}$  که متناظر با متغیرهای  $\{1, x_k, \dots, x_k^d\}$  به ازای یک  $1 \leq k \leq n$  هستند در آخرین مرحله حذف شوند.

۶: **(مرحله‌ی حل)** فرض کنید دستگاه به دست آمده از مرحله‌ی قبل حداقل شامل یک معادله‌ی یک متغیره به صورت  $c_0 + c_1 x_k + \dots + c_D x_k^D = 0$  باشد، در این صورت این معادله را (با الگوریتم‌هایی نظیر الگوریتم Berlekamp) حل می‌کنیم و  $x_k$  را به دست می‌آوریم.

۷: **(تکرار)** مقدار  $x_k$  به دست آمده از گام ۶ (در صورت وجود) را در دستگاه اصلی جایگذاری کرده و آن را ساده می‌کنیم و دوباره الگوریتم را برای یافتن سایر مجهولات از سر می‌گیریم.

مثال ۳.۴. دستگاه معادلات مربعی زیر روی  $\mathbb{F}_2$  را در نظر بگیرید:

$$\begin{cases} 1 + x + y + z + wz + yz = 0 \\ x + z + wx + wy + wz + xy + xz + yz = 1 \\ w + y + wx + xz + yz = 0 \\ x + wx + wy + wz + yz = 1 \end{cases}$$

دستگاه فوق دارای ۴ معادله و ۴ مجهول است. با ۴ متغیر مجهول می‌توان  $10 = \binom{4}{1} + \binom{4}{2}$  یکجمله‌ای از درجه‌ی کمتر یا مساوی ۲ ساخت از این رو اگر از خطی سازی استفاده کنیم یک دستگاه خطی متشکل از ۴ معادله و ۱۰ مجهول خواهیم داشت! در این صورت تعداد معادلات از تعداد مجهولات خیلی کمتر است و لذا روش خطی سازی به تنهایی چاره ساز نخواهد بود.

حال فرض کنید با یک دستگاه درجه‌ی ۳ با  $n$  مجهول روبرو باشیم. تعداد یکجمله‌ای‌ها از درجه‌ی حداکثر ۳ برابر است با  $\binom{n}{1} + \binom{n}{2} + \binom{n}{3}$ ، اگر معادلات دستگاه فوق را در یک یکجمله‌ای از درجه‌ی ۱ ضرب کنیم به یک دستگاه مکعبی می‌رسیم، در این صورت برای این که دستگاه خطی متناظر با این دستگاه جواب یکتا داشته باشد به ۱۴ معادله نیاز داریم. روش XL قبل از خطی سازی کمبود معادلات را با ساختن معادلات جدید به طوری که جواب دستگاه قبلی در آن‌ها صدق کند جبران می‌کند. درجه‌ی دستگاه برابر است با  $d = 2$ ، اگر پارامتر  $D$  الگوریتم XL را برابر ۳ در نظر بگیریم، باید همه‌ی معادلات را در یکجمله‌ای‌های  $\{w, x, y, z, 1\}$  ضرب کنیم. از آن‌جا که تعداد معادلات دستگاه اصلی ۴ و تعداد یکجمله‌ای‌ها از درجه‌ی حداکثر ۱ برابر ۵ است در نتیجه به یک دستگاه معادلات با  $20 = 4 \times 5$  معادله به صورت زیر می‌رسیم. (توجه کنید که با در نظر گرفتن معادلات میدان یعنی  $X^2 = X$  به ازای  $X \in \{x, y, z, w\}$  همه‌ی معادلات فاقد جمله مربعی است.)

$$\begin{array}{ll} 1 + x + y + z + wz + yz = 0 & w + y + wx + xz + yz = 0 \\ w + wx + wy + wyz = 0 & w + wy + wx + wxz + wyz = 0 \\ xy + xz + wxz + xyz = 0 & xy + xz + xyz = 0 \\ xy + wyz = 0 & wy + y + wxy + xyz + yz = 0 \\ xz + wz = 0 & wz + wxz + xz = 0 \\ x + z + wx + wy + wz + xy + xz + yz = 1 & x + wx + wy + wz + yz = 1 \\ wy + wxy + wxz + wyz = w & wy + wz + wyz = w \\ wx + wxy + wxz + xy + xyz = 0 & wx + wxy + wxz + xyz = 0 \\ wxy + wy + wyz + xyz = y & xy + wxy + wy + wyz + yz = y \\ xz + wxz + wyz + wz + xyz + yz = 0 & xz + wxz + wyz + wz + yz = z \end{array}$$

اگر هر یکجمله‌ای از دستگاه فوق را با یک متغیر جدید جایگزین کنیم یک دستگاه خطی ۲۰ معادله و ۱۴ مجهول به دست می‌آید. دستگاه خطی به دست آمده دارای جواب یکتای زیر است.

$$\{w = 0, x = 1, y = 0, z = 1, wx = 0, wy = 0, wz = 0, xy = 0,$$

$$xz = 1, yz = 0, wxy = 0, wyz = 0, wxz = 0, xyz = 0\}$$

این مجموعه جواب از دستگاه خطی یک جواب دستگاه معادلات چند جمله‌ای اصلی نیز است. از طرفی می‌دانیم که هر جواب از دستگاه اصلی یک جواب از دستگاه خطی نیز هست بنابراین ما تمام جواب‌های دستگاه اصلی را یافته‌ایم.

در ادامه مثال دیگری از اجرای الگوریتم XL آوردیم که از [۱] اخذ شده است.

مثال ۴.۴. دستگاه معادلات مربعی زیر از حلقه‌ی  $\mathbb{F}_{127}[x_1, x_2]$  را در نظر بگیرید:

$$\mathcal{S} := \begin{cases} f_1 = x_1^2 + 8x_1x_2 + 114 = 0 \\ f_2 = x_2^2 + 107x_1x_2 + 29 = 0 \end{cases}$$

الگوریتم XL را به صورت زیر روی دستگاه فوق اجرا می‌کنیم:

۱. فرض می‌کنیم  $D = 4$

۲. چون درجه‌ی دستگاه برابر است با  $d = 2$  لذا همه‌ی یکجمله‌ای‌ها از درجه‌ی حداکثر  $D - d = 2$  را در تمام معادلات دستگاه  $\mathcal{S}$  ضرب می‌کنیم و دستگاه زیر به دست می‌آید.

$$\begin{array}{ll} x_1^4 + 8x_1^3x_2 + 114x_1^2x_2^2 = 0 & 107x_1^2x_2^2 + x_1x_2^3 + 29x_1x_2 = 0 \\ x_1^3x_2 + 8x_1^2x_2^2 + 114x_1x_2^3 = 0 & 107x_1x_2^3 + x_2^4 + 29x_2^2 = 0 \\ x_1^2x_2^2 + 8x_1x_2^3 + 114x_2^4 = 0 & 107x_1^2x_2 + x_1x_2^2 + 29x_1 = 0 \\ x_1^3 + 8x_1^2x_2 + 114x_1 = 0 & 107x_1x_2^2 + x_2^3 + 29x_2 = 0 \\ x_1^2x_2 + 8x_1x_2^2 + 114x_2 = 0 & x_1^2 + 8x_1x_2 + 114 = 0 \\ 107x_1^3x_2 + x_1^2x_2^2 + 29x_1^2 = 0 & 107x_1x_2 + x_2^2 + 29 = 0 \end{array}$$

۳. با اعمال تغییر متغیر زیر

$$x_ix_jx_kx_l \mapsto y_{ijkl},$$

و جایگزینی هر یکجمله‌ای با یک متغیر جدید معادلات خطی زیر به دست می‌آید.

$$\left\{ \begin{array}{l} y_{111} + 80 y_{112} + 114 y_1 = 0 \\ y_{1111} + 80 y_{1112} + 114 y_{11} = 0 \\ y_{11112} + 80 y_{11122} + 114 y_{12} = 0 \\ y_{112} + 80 y_{122} + 114 y_2 = 0 \\ y_{1122} + 80 y_{1222} + 114 y_{22} = 0 \\ 107 y_{1112} + y_{1122} + 29 y_{11} = 0 \\ 107 y_{112} + y_{122} + 29 y_1 = 0 \\ 107 y_{1122} + y_{2222} + 29 y_{12} = 0 \\ 107 y_{122} + y_{2222} + 29 y_2 = 0 \\ y_{11} + 80 y_{12} + 114 = 0 \\ y_{22} + 107 y_{12} + 29 = 0 \end{array} \right. \xrightarrow{\text{حل به روش حذفی گاوس}} \left\{ \begin{array}{l} y_1 = 16 z_1 + 48 + 10 z_2 \\ y_{11} = 110 + 79 z_2 \\ y_{111} = 3 z_1 + 121 + 94 z_2 \\ y_{1111} = 5 + 125 z_2 \\ y_{1112} = 97 z_2 + 121 \\ y_{112} = 83 z_2 + 119 + 74 z_1 \\ y_{1122} = 30 z_2 + 119 \\ y_{12} = 48 + 26 z_2 \\ y_{122} = 100 z_2 + 99 \\ y_{1222} = 100 z_2 + 99 \\ y_2 = 35 z_1 + 42 + 104 z_2 \\ y_{22} = 42 + 12 z_2 \\ y_{222} = z_1 \\ y_{2222} = z_2 \end{array} \right.$$

در دستگاه فوق  $z_1, z_2$  متغیرهای آزاد هستند.

۴. یک معادله یک متغیره که در بین معادلات به دست آمده مشاهده می‌شود عبارت است از

$$y_{22} = 42 + 12 y_{2222} \Rightarrow x_2^2 = 42 + 12 x_2^4 \Rightarrow x_2 = \pm 36 = 36, 91$$

۵. با جایگذاری مقدار  $x_2 = \pm 36$  در معادله مقدار  $x_1$  نیز به دست می‌آید که عبارت است از

$$x_1 = \pm 38.$$

زمان اجرای الگوریتم XL تا حد زیادی وابسته به عملیات حذفی گاوس است که در هر بار اجرای الگوریتم باید انجام شود. می‌دانیم که عملیات حذفی گاوس به اندازه‌ی دستگاه خطی ورودی وابسته است، از طرفی اندازه‌ی دستگاه خطی به دست آمده به پارامتر  $D$  وابسته است. در نتیجه زمان اجرای الگوریتم XL بر حسب پارامتر  $D$  نمایی است و این پارامتر باید به دقت و به صورت بهینه انتخاب شود.

## انتخاب پارامتر D الگوریتم XL

یک دستگاه معادلات مربعی با  $m$  معادله و  $n$  مجهول را در نظر بگیرید. در الگوریتم XL به ازای پارامتر  $D$  مشخص، ابتدا همه‌ی معادلات در یکجمله‌ای‌های از درجه‌ی حداکثر  $D - 2$  یعنی همه‌ی یکجمله‌ای‌های  $\mathbb{T}_{\leq D-2}^n$  ضرب می‌شوند. بنابراین اگر تعداد معادلات جدید را با  $R$  و تعداد یکجمله‌ای‌های ظاهر شده در معادلات جدید را با  $T$  نمایش دهیم داریم،

$$R = m \cdot \left( \sum_{i=0}^{D-2} \binom{n}{i} \right) \approx \binom{n}{D-2} \cdot m \stackrel{D \ll n}{\approx} R \approx \frac{n^{D-2}}{(D-2)!} m$$

$$T = \sum_{i=0}^D \binom{n}{i} \approx \binom{n}{D} \stackrel{D \ll n}{\approx} T \approx \frac{n^D}{D!}.$$

پس از خطی سازی همه‌ی یکجمله‌ای‌ها با یک متغیر جدید جایگزین می‌شوند و یک دستگاه خطی به دست می‌آید. مشکل اصلی این جاست که همه‌ی معادلات خطی به دست آمده مستقل خطی نیستند. اگر تعداد معادلات مستقل خطی ظاهر شده را با Free نمایش دهیم، در این صورت بدیهی است که،  $Free \leq R$  و  $Free \leq T$ . بنابراین اگر فرض کنیم تعداد زیادی از معادلات به دست آمده پس از ضرب یکجمله‌ای‌ها مستقل خطی هستند، آنگاه با انتخاب  $D$  به اندازه‌ی کافی بزرگ به طوری که  $R \geq T$ ، می‌توانیم به تقریب  $Free \approx T$  دست پیدا کنیم و جواب دستگاه معادلات خطی به سمت یکتایی پیش می‌رود و حل ساده‌تر خواهد بود. در نتیجه کران پایین پارامتر  $D$  برای این که الگوریتم XL موفق عمل کند، به صورت زیر محاسبه می‌شود.

$$R \geq T \Rightarrow m \geq \frac{\binom{n}{D}}{\binom{n}{D-2}} \approx \frac{n^2}{D^2} \Rightarrow D \gtrsim \frac{n}{\sqrt{m}}$$

نکته ۵.۴. پیچیدگی محاسباتی روش حذفی گاوس برای حل یک دستگاه خطی با  $T$  متغیر برابر است با،  $\mathcal{O}(T^\omega)$ . در عمل معمولاً فرض می‌شود که  $\omega = 3$  ولی بهترین نتایج به دست آمده نشان می‌دهد که،  $\omega \leq 2.376$  و ما نیز از فرض  $\omega = 2.376$  استفاده می‌کنیم.

بنابراین پیچیدگی الگوریتم XL برابر است با:

$$\mathcal{O}\left(\left(\frac{n}{D}\right)^\omega\right) \approx \mathcal{O}\left(\left(\frac{n^D}{D!}\right)^\omega\right); \quad D = \mathcal{O}\left(\frac{n}{\sqrt{m}}\right), \quad \omega = 2.376.$$

تعریف ۶.۴ (دستگاه معادلات بیش تعریف). فرض کنید در یک دستگاه چندجمله‌ای با  $m$  معادله و  $n$  مجهول نسبت تعداد معادلات به تعداد مجهولات را با  $\gamma := \frac{m}{n}$  نمایش دهیم. اگر  $\gamma > 1$  باشد دستگاه را بیش تعریف و اگر  $r < 1$  باشد دستگاه را کم تعریف می‌گوییم.

**تعریف ۷.۴ (دستگاه معادلات چندجمله‌ای تنک).** فرض کنید  $S$  یک دستگاه چندجمله‌ای با  $m$  معادله و  $n$  مجهول و از درجه‌ی  $d$  باشد. فرض کنید تعداد کل یکجمله‌ای‌ها با  $n$  متغیر و از درجه‌ی  $d$  را با  $M$  و تعداد یکجمله‌ای‌های ظاهر شده در معادله را با  $t$  نمایش دهیم، در این صورت نسبت  $\beta := \frac{t}{M}$  بیان‌گر میزان تنک بودن دستگاه است و اگر  $\beta \leq \frac{1}{4}$ ، دستگاه را **تنک** می‌گوییم.

مبدعان روش XL در [۱۶]، امیدوار بودند که الگوریتم XL قادر باشد دستگاه معادلات چندجمله‌ای مربعی بیش تعریف با ابعاد بزرگ روی یک میدان متناهی را در زمان زیرنمایی حل نماید اما تحلیل‌های دقیق‌تر روی این الگوریتم در [۱۶، ۲۷]، حاکی از بعید بودن این ادعا است. برای مثال یکی از بهترین جبری سازی‌ها برای الگوریتم رمزنگاری AES-128، دستگاه معادلاتی است که در [۲۲]، برای AES-128 به‌دست آمده، این دستگاه دارای  $m = 8000$  معادله و  $n = 1600$  مجهول است. بنابراین  $D \approx \frac{n}{\sqrt{m}} \approx 18$  و لذا مرتبه‌ی پیچیدگی حمله‌ی XL تقریباً برابر است با  $2^{230} \approx \binom{n}{D}^\omega$ ، که خیلی فراتر از حمله‌ی جست‌وجوی فراگیر از مرتبه‌ی پیچیدگی  $2^{128}$  است!

در برخی از مقالات نظیر [۶۴]، ارتباط‌هایی که بین روش XL و روش پایه‌گروبنر وجود دارد مورد بحث قرار گرفته و برای مثال در [۵] نشان داده شده است که الگوریتم XL حالت خاصی از الگوریتم F4، برای یافتن پایه‌ی گروبنر است. الگوریتم XL در نرم‌افزار ApCoCoA [۴۴] پیاده‌سازی شده است و با استفاده از دستور CharP.XLSolve(.)، فراخوانی می‌شود. الگوریتم XL پیاده‌سازی شده در این نرم‌افزار قادر به یافتن یک جواب است. این الگوریتم را برای حل دستگاه‌های به‌دست آمده از رمزهای قالبی CTC و SR آزمودیم و طبق نتایج به‌دست آمده آنرا در مقایسه با روش‌های دیگر که در ادامه معرفی می‌کنیم بسیار ناکارآمد یافتیم، برای مثال دستگاه به‌دست آمده از  $(B = 1, N = 1)$  CTC به ازای یک زوج متن اصلی و رمز شده که دارای جواب یکتا بود، با استفاده از دستور CharP.XLSolve(.) در رایانه با پردازنده  $1/6 GHz$  و حافظه رم  $6GB$  حل گردید، و مشاهده شد که زمان خالصی که پردازنده صرف حل کرده است برابر است با  $12/96$  ثانیه، که خواهیم دید در مقایسه با سرعت حل کننده‌های دیگر بسیار کند عمل کرده است.

#### ۴.۱.۴ روش XSL

بدلیل ناکارآمدی حمله‌ی XL، تلاش‌های زیادی برای بهبود این الگوریتم صورت گرفته و راه‌حلی‌هایی نیز ارائه شده است. یکی از اولین پیشنهادها الگوریتمی تحت عنوان XSL<sup>۷</sup> بود که به‌طور مشترک توسط کورتوا و پیشیک در سال ۲۰۰۲ در [۲۲] معرفی شد. یکی از مشکلات الگوریتم XL این است که ضمن افزایش تعداد معادلات، متغیرهای دستگاه را نیز افزایش می‌دهد، چرا که در مرحله‌ی ضرب الگوریتم XL، معادلات در تمام یکجمله‌ای ضرب می‌شوند و این سبب می‌شود یکجمله‌ای‌های جدیدی ظاهر شوند. الگوریتم XSL از این لحاظ متفاوت از الگوریتم XL عمل

<sup>۷</sup>eXtended Sparse Linearization or multiply(X) by Special monomial and Linearization



می‌کند، در حالی که در الگوریتم XL معادلات در تمام یکجمله‌ای‌ها از درجه‌ی  $D - d$  ضرب می‌شوند، در الگوریتم XSL معادلات تنها در یک سری یکجمله‌ای‌ها که به دقت از بین همه‌ی یکجمله‌ای‌ها انتخاب شده‌اند ضرب می‌شوند و هدف از این کار تولید کمتر یکجمله‌ای‌ها به هنگام ساختن معادلات جدید است. در ضمن در این الگوریتم مرحله‌ای تحت عنوان « روش  $T'$  » وجود دارد که در آن سعی می‌کنیم بدون تولید هیچ یکجمله‌ای جدید معادلات مستقل خطی جدید تولید کنیم که در نوع خود جالب است.

این حمله با بهره‌گیری از ویژگی تنک و یا کم پشت بودن معادلات چند جمله‌ای که در رمزنگاری با آن‌ها سروکار داریم توانسته روش XL را بهبود بخشد و درخور دسته‌ای از سامانه‌های رمزنگاری متقارن تحت عنوان سامانه‌های رمزنگاری XSL است.

**تعریف ۸.۴ (رمزهای قالبی جانشینی-خطی).** یک تعمیم از رمزهای قالبی با معماری شبکه‌ی جانشینی-جایگشتی رمزهای قالبی با معماری جانشینی-خطی است، که در آن‌ها از لایه‌های جانشینی و لایه‌های خطی (نه لزوماً جایگشت) در شبکه استفاده می‌شود. به این سامانه‌های رمز اصطلاحاً رمزهای جانشینی-خطی گفته می‌شود.

**تعریف ۹.۴ (سامانه‌های رمزنگاری XSL).** یک دسته‌ی خاص از رمزهای جانشینی-خطی رمزهای XSL متشکل از  $N_r$  دور مشابه، به صورت زیر است:

**X ترکیب کلید با متن اصلی:** دور آغازین ( $i = 1$ )، یا با ترکیب متن اصلی و کلید ( $k_{i-1}$ ) آغاز می‌شود این ترکیب می‌تواند با عمل xor با استفاده از یک عملیات ریاضی دلخواه دیگر صورت گیرد.

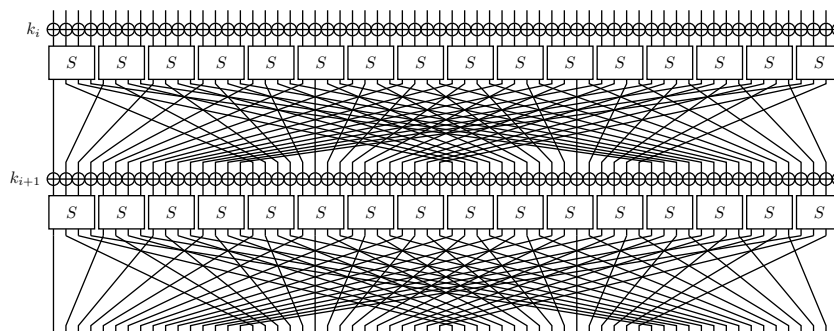
**S لایه‌های غیر خطی:** یک لایه‌ی غیر خطی شامل  $B$ ، s-box موازی  $s$  بیتی روی بیت‌های خروجی از لایه‌ی قبل اعمال می‌شود.

**L لایه‌ی خطی:** یک لایه‌ی خطی جهت انتشار و توزیع یکنواخت بیت‌ها روی بیت‌های خروجی مرحله‌ی قبل، اعمال می‌شود. این لایه‌ی خطی می‌تواند یک جایگشت باشد.

**X بیت‌های خروجی از لایه‌ی خطی با کلید دور  $k_i$  (با استفاده از عمل‌های مختلف ریاضی مثل xor یا جمع پیمانه‌ای و ...)** ترکیب می‌شوند.

● اگر  $i = N_r$  الگوریتم خاتمه می‌یابد و در غیر این صورت پس از افزایش  $i$  واحدی به گام S می‌رویم.

شکل ۱۰.۴ دور  $i$  ام از یک رمز XSL، که لایه‌ی خطی آن تنها شامل یک جایگشت است را نمایش می‌دهد.



شکل ۱۰۴: دور  $i$  ام از یک XSL-Cipher که لایه‌ی خطی آن فقط شامل یک جایگشت است

به طور خلاصه در یک رمز قالبی XSL، لایه‌های s-box به وسیله‌ی لایه‌های خطی وابسته به کلید به هم متصل می‌شوند و یک شبکه‌ی  $N_r$  دوری که در هر دور  $b$  عدد s-box موازی شده‌اند را تشکیل می‌دهند. به عنوان نمونه‌ای از این نوع رمزها می‌توان به الگوریتم راین‌دال<sup>۸</sup> اشاره کرد.

با وجود این که حمله‌ی XSL برای سامانه‌های رمزنگاری XSL شرح داده شده اما این حملات به سایر رمزهای جانشینی-خطی حتی در حالت کلی برای سایر رمزهای قالبی نظیر DES که نگاشت‌های جانشینی آن‌ها از یک ساختار خاص تبعیت کند قابل تعمیم است.

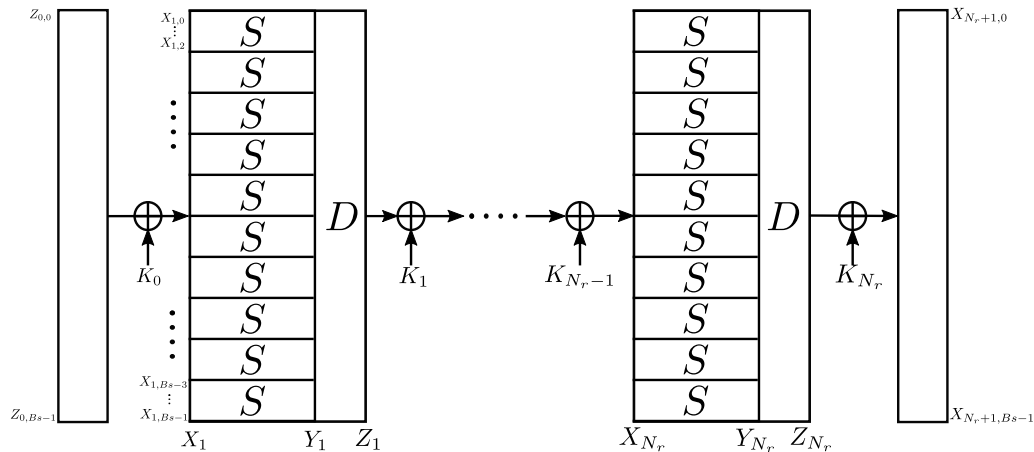
نمادگذاری‌ها در این بخش به صورت زیر است.

بیت‌های کلید را با  $k_{ij}$  که  $i = 0 \dots N_r$  و  $j = 0 \dots (B \cdot s - 1)$  نمایش می‌دهیم. در کل  $N_r + 1$  کلید دور، خواهیم داشت که توسط الگوریتم استخراج کلید استخراج شده و  $k_0$  و  $k_{N_r}$  به ترتیب اولین و آخرین آن‌ها می‌باشند. بیت  $j$  ام از ورودی دور  $i$  ام (بعد از اعمال کلید دور قبل) از الگوریتم را با  $x_{ij}$  نمایش می‌دهیم. بیت‌های ورودی لایه‌ی خطی دور  $i$  ام را با  $y_{ij}$  نمایش می‌دهیم. به همین ترتیب بیت‌های خروجی دور  $i$  ام (پس از اعمال کلید دور) را با  $z_{ij}$  نمایش می‌دهیم. بنابراین  $Z_0 = (z_{0,j})_{j=0}^{Bs-1}$  نشان دهنده‌ی متن اصلی و  $X_{N_r+1} = (x_{(N_r+1),j})_{j=0}^{Bs-1}$  نشان دهنده‌ی متن رمز شده است. در حمله‌ی XSL هدف پیدا کردن کلید مخفی است و فرض را بر این می‌گذاریم که مهاجم یک یا چند زوج متن اصلی و رمز شده را دارد و در واقع، حمله از نوع متن اصلی معلوم است. لذا  $X_{N_r+1}$  و  $Z_0$  مجهول نبوده و ثابت هستند. با توجه به نمادگذاری‌های فوق داریم:

$$z_{ij} \oplus k_{ij} = x_{i+1,j}, \quad i = 0 \dots N_r$$

این نماد گذاری‌ها برای سامانه‌ی رمزنگاری CTC که یک نوع رمز XSL است در شکل ۲.۴ نمایش داده شده است.

<sup>۸</sup>Rijndael



شکل ۲.۴: الگوریتم رمزنگاری CTC، به ازای  $B = ۱۰$

### سناریوی حمله در روش XSL

در روش XSL دو نوع سناریو حمله با نام‌های حمله‌ی عام (یا نوع اول) و حمله‌ی خاص و (یا نوع دوم) وجود دارد، که در زیر به شرح آن‌ها می‌پردازیم.

**تعریف ۱۰.۴ (حمله‌ی XSL عام) -** صرف نظر از الگوریتم تولید کلید). در این حمله، هدف یافتن کلید اصلی نیست، بلکه هدف، یافتن کلید هر یک از دورها است و معادلات بر حسب بیت‌های زیرکلیدها (کلید هر یک از دورها) و سایر متغیرهای میانی سامانه رمزنگاری نوشته می‌شوند. بنابراین مهم نیست که الگوریتم تولید کلید چگونه کار می‌کند. از آنجایی که  $N_r + 1$  زیر کلید هم اندازه با متن اصلی وجود دارد به تعداد کافی قید یا معادله نیاز داریم تا این مجهولات را بیابیم از این رو به  $N_r + 1$  زوج متن اصلی و رمز شده آن‌ها نیاز داریم. در حالتی که حمله از نوع متن اصلی انتخابی باشد، می‌توان متن‌های اصلی را با این خاصیت که تنها در تعداد کمی از بیت‌های متناظر با یک s-box، متمایز باشند انتخاب کرد تا معادلات به‌دست آمده برای زوج متن‌های اصلی و رمز شده دارای مجهولات مشترک بیشتری باشند و تعداد مجهولات کل دستگاه نسبت به حالت عادی کمتر باشد.

**تعریف ۱۱.۴ (حمله‌ی XSL خاص با در نظر گرفتن الگوریتم تولید زیر کلید).** در این سناریو، هدف یافتن کلید مخفی اصلی است. این روش بر این واقعیت استوار است که الگوریتم‌های تولید کلید در برخی از رمزهای XSL نظیر راین‌دال و سرپنت<sup>۹</sup>، به الگوریتم رمزنگاری متناظرشان شباهت زیادی دارند. لذا در این روش از الگوریتم تولید زیر کلید در حمله‌ی جبری و نوشتن معادلات استفاده می‌شود. بدیهی است که شرط وجود شباهت بین الگوریتم‌های تولید زیرکلید و الگوریتم رمزنگاری از عمومیت این حمله نسبت به حمله‌ی عام می‌کاهد ولی مزیت آن این است که تنها داشتن یک یا دو زوج متن اصلی - رمز شده برای حمله کفایت می‌کند.

<sup>۹</sup>serpent

## هسته‌ی حمله‌ی XSL عام

یکی از مراحل اصلی در روش XSL مرحله موسوم به هسته‌ی XSL است. هدف این مرحله تولید معادلات مستقل خطی جدید است. این کار با ضرب معادلات هر یک از  $s - box$  ها در یکجمله‌ای‌هایی که به روشی خاص انتخاب شده‌اند صورت می‌گیرد. فرض کنید  $A$  یک  $s - box$  از سامانه‌ی رمز XSL مورد نظر باشد، به  $s - box$  ،  $A$  که در این وضعیت آن را انتخاب کرده‌ایم  $s - box$  فعال و به سایر  $s - box$  ها  $s - box$  های غیر فعال می‌گوییم. فرض کنید، دستگاه متناظر با  $A$  شامل  $r$  معادله‌ی ضمنی درجه‌ی ۲ به صورت زیر باشد.

$$\circ = \sum \alpha_{ijk} x_{ij} Y_{ik} + \sum \beta_{ij} x_{ij} + \sum \gamma_{ij} y_{ij} + \sigma \quad (3.4)$$

فرض کنید کنید تعداد یکجمله‌ای‌های موجود در معادله‌ی فوق  $t$  باشد. فرض کنید  $S$  تعداد کل  $s - box$  های شرکت کننده در حمله باشد. از آنجایی که در حمله‌ی XSL عام باید  $N_r + 1$  زوج متن اصلی-رمز شده متمایز را در اختیار داشته باشیم لذا الگوریتم رمزنگاری باید  $N_r + 1$  بار اجرا شده باشد. از طرفی در ساختار رمزنگاری از  $B \times N_r$  ،  $s - box$  استفاده شده است در نتیجه به تعداد  $B \times N_r \times (N_r + 1)$  دستگاه معادله‌ی مختلف شبیه دستگاه معادله‌ی ۳.۴ خواهیم داشت و در نتیجه رابطه‌ی  $S = B \times N_r \times (N_r + 1)$  برقرار است.

بر خلاف روش XL که همه‌ی تک جمله‌ای‌ها از درجه‌ی  $2 - D$  را در معادلات دستگاه ضرب می‌کردیم این بار این کار را به صورت گزینشی و نه برای همه‌ی یکجمله‌ای‌ها انجام می‌دهیم. برای این گزینش از پارامتری تحت عنوان پارامتر بحرانی استفاده می‌کنیم و آن را با  $P$  نمایش می‌دهیم.

**تعریف ۱۲.۴ (پارامتر بحرانی).** پارامتر بحرانی ، که آن را با  $P$  نمایش می‌دهیم، نشان دهنده این است که، برای به دست آوردن معادلات جدید برای یک  $s - box$  فعال، باید تمام معادلات آن را در تمام یکجمله‌ای‌های حاصل از ضرب  $1 - p$  یکجمله‌ای انتخاب شده از  $s - box$  های غیر فعال، ضرب کنیم. برای مثال اگر  $P = 2$  ، آن گاه به منظور اضافه کردن معادلات جدید به دستگاه معادلات متناظر با یک  $s - box$  فعال، معادلات آن را در تمام تک جمله‌ای‌های به دست آمده از  $s - box$  های غیر فعال ضرب می‌کنیم و اگر  $P = 3$  باید معادلات  $s - box$  فعال را در تمام یکجمله‌ای‌های حاصل از ضرب دو یکجمله‌ای به دست آمده از دو  $s - box$  غیر فعال ضرب کنیم.

تعداد کل معادلات به دست آمده پس از افزودن معادلات جدید برابر است با:

$$R \approx r \times S \times t^{P-1} \times \binom{S-1}{P-1}$$

تعداد همه‌ی یکجمله‌ای‌های ظاهر شده در معادلات جدید که با  $T$ ، نمایش می‌دهیم در زیر محاسبه

شده.

$$T \approx \frac{R}{r} \cdot t = t^p \times S \times \binom{S-1}{P-1} = t^p \times P \times \binom{S}{P} \approx t^p \times \binom{S}{P}$$

معادلات جدید که در گام هسته‌ی XSL و با ضرب یکجمله‌ای‌ها در معادلات دستگاه به‌دست می‌آیند دارای وابستگی خطی بوده و اعمال روش خطی‌سازی روی آن‌ها کارایی ندارد. به همین دلیل قبل از عملیات خطی سازی با استفاده از روشی موسوم به روش  $T'$  تعداد معادلات مستقل خطی را افزایش می‌دهیم.

پس از حذف معادلات وابسته‌ی خطی، تعداد کل معادلات و یکجمله‌ای‌ها به صورت زیر خواهد بود:

$$R \approx \binom{S}{P} (t^P - (t-r)^P)$$

$$T \approx \binom{S}{P} (t-r)^P$$

روش  $T'$ 

در حمله‌ی XSL، مرحله‌ای وجود دارد که بدون تولید یکجمله‌ای‌های جدید، تعداد معادلات مستقل را افزایش می‌دهد. این مرحله به روش  $T'$  معروف است. روش  $T'$ ، آخرین مرحله قبل از خطی‌سازی در حمله‌ی XSL را تشکیل می‌دهد. به‌یاد داریم که عملیات خطی‌سازی زمانی در حل دستگاه مؤفق عمل می‌کند که تعداد معادلات مستقل خطی، تقریباً برابر با تعداد یکجمله‌ای‌های دستگاه باشد. معمولاً دستگاه به‌دست آمده از مرحله هسته XSL، به اندازه‌ی کافی معادله‌ی مستقل ندارد. هدف روش  $T'$  این است که کمبود معادلات مستقل را بدون این که یکجمله‌ای جدیدی به دستگاه اضافه شود جبران کند. به این ترتیب دستگاهی که از مرحله‌ی  $T'$  عبور کرده و به مرحله‌ی نهایی خطی‌سازی می‌رسد، به اندازه‌ی کافی معادله‌ی مستقل خطی خواهد داشت. روش  $T'$  در [۲۲] برای معادلات روی میدان  $\mathbb{F}_2$  معرفی شده ولی می‌توان آن را به نحوی مناسب برای میدان‌های دیگر نیز طراحی کرد.

**تعریف ۱۳.۴**  $(T'_i)$ . اگر  $T$  مجموعه‌ی همه‌ی یکجمله‌ای‌های دستگاه باشد، مجموعه‌ی  $T'_i$  مجموعه‌ی همه‌ی یکجمله‌ای‌هایی از دستگاه است که به ازای آن‌ها داریم،  $x_i T'_i \subseteq T$ . به عبارت دیگر با ضرب متغیر  $x_i$  در یکجمله‌ای‌های موجود در  $T'_i$ ، یکجمله‌ای جدیدی به دستگاه اضافه نمی‌شود. در ادامه اندازه‌ی  $T'$  را با  $T'$  نمایش می‌دهیم.

فرض کنید  $S \subseteq \mathbb{F}_2[x_1, \dots, x_n]$  یک دستگاه معادلات چندجمله‌ای باشد که دارای  $E$  معادله‌ی مستقل خطی است. در ضمن فرض کنید به ازای هر  $1 \leq i \leq n$  داشته باشیم،  $E \geq T - T'_i + C_i$  که  $C_i \geq 1$  یک ثابت است. در این صورت الگوریتم روش  $T'$  به صورت زیر تعداد معادلات مستقل خطی دستگاه  $S$  را افزایش می‌دهد.

الگوریتم ۲۰  $T'$ -Method

**ورودی** دستگاه  $S := \{f_1, \dots, f_m\} \in K[x_1, \dots, x_n]$  با  $E$  معادله‌ی مستقل خطی، بطوری که  $E \geq T - T'_i + C_i$  و  $C_i \geq 1$ .

**خروجی** دستگاه  $S'$  با همان یکجمله‌ای‌های موجود در  $S$ ، و با  $E$  معادله‌ی مستقل خطی بطوری که  $E = T - 1$ .

- ۱: دو متغیر  $x_i$  و  $x_j$  را انتخاب کرده و  $T'_i$  و  $T'_j$  را به دست می‌آوریم.
- ۲: با استفاده از عملیات حذفی گاوس یکجمله‌ای‌های موجود در  $T \setminus T'_i$  را بر حسب یکجمله‌ای‌های  $T'_i$  می‌نویسیم. همین کار را برای  $T'_j$  نیز انجام می‌دهیم. بعد از انجام این کار با توجه به شرط  $E \geq T - T'_i + C_i$ ، تقریباً  $C_i$  معادله خواهیم داشت که تمام یکجمله‌ای‌های آن متعلق به  $T'_i$  است. (همین وضعیت برای دستگاه متناظر با  $T'_j$  نیز برقرار است.) مجموعه‌ی معادلاتی از دستگاه اول را که فقط بر حسب یکجمله‌ای‌های  $T'_i$  هستند با  $C_i$  و مجموعه‌ی معادلاتی از دستگاه دوم، که فقط بر حسب جملات  $T'_j$  است را با  $C_j$  نمایش می‌دهیم.
- ۳: معادلات  $C_i$  را در  $x_i$  و معادلات  $C_j$  را در  $x_j$  ضرب می‌کنیم. بدیهی است که با این کار هیچ یکجمله‌ای جدیدی بوجود نمی‌آید.
- ۴: یکجمله‌ای‌های به دست آمده پس از ضرب  $x_i$  در  $C_i$  را بر حسب یکجمله‌ای‌های  $T'_j$  و یکجمله‌ای‌های به دست آمده پس از ضرب  $x_j$  در  $C_j$  را بر حسب یکجمله‌ای‌های  $T'_i$  بازنویسی می‌کنیم. معادلات مستقل خطی به دست آمده را به دستگاه  $S$  اضافه می‌کنیم.
- ۵: گام‌های ۱ تا ۴ را تا رسیدن به شرط  $E = T - 1$  تکرار می‌کنیم. اگر الگوریتم به ازای  $T'_i$  و  $T'_j$  انتخاب شده به شکست انجامید، با دو زوج دیگر مثل  $T'_l$  و  $T'_k$  الگوریتم را از سر می‌گیریم.

نویسندگان در [۲۲] ادعا کرده‌اند که اگر دستگاه اولیه دارای جواب یکتا باشد، تعداد معادلات مستقل در الگوریتم  $T'$  به صورت نمایی افزایش یافته، بطوری که الگوریتم پس از متناهی مرحله اجرا با رسیدن تعداد معادلات مستقل به عدد  $T - 1$  پایان می‌یابد. الگوریتم فوق را با مثالی از ارائه دهندگان این روش در [۲۲]، به صورت دقیق‌تر شرح می‌دهیم.

**مثال ۱۴.۴** ( $T'$ -Methode). فرض کنید تعداد متغیرها  $n = 5$  باشد در این صورت  $T = 16$  و  $T' = 10$ . ما با یک معادله‌ی تصادفی با جواب یکتا، که در آن  $E = T - T' + 2$  (یعنی دو معادله‌ی اضافی دارد)، آغاز می‌کنیم.  $T'_1$  را متناظر با  $x_1$  و  $T'_2$  را متناظر با متغیر  $x_2$  در نظر می‌گیریم.

دستگاه مورد نظر پس از این که تمام یکجمله‌ای‌های آن بر حسب یکجمله‌ای‌های  $T'_1 = T'_2 =$

نوشته شده‌اند به صورت زیر است.

$$\left\{ \begin{array}{l} x_3x_2 = x_1x_3 + x_2 \\ x_3x_4 = x_1x_4 + x_1x_5 + x_5 \\ x_3x_5 = x_1x_5 + x_4 + 1 \\ x_2x_4 = x_1x_3 + x_1x_5 + 1 \\ x_2x_5 = x_1x_3 + x_1x_2 + x_3 + x_4 \\ x_4x_5 = x_1x_2 + x_1x_5 + x_2 + 1 \\ 0 = x_1x_3 + x_1x_4 + x_1 + x_5 \\ 1 = x_1x_4 + x_1x_5 + x_1 + x_5 \end{array} \right. \quad (4.4)$$

به طور مشابه با نوشتن تمام یکجمله‌ای‌های دستگاه اصلی بر حسب یکجمله‌ای‌های  $T'_1 = T'_1$  دستگاه به صورت زیر درمی‌آید.

$$\left\{ \begin{array}{l} x_1x_3 = x_3x_2 + x_2 \\ x_1x_4 = x_3x_2 + x_2 + x_1 + x_5 \\ x_1x_5 = x_2x_4 + x_3x_2 + x_2 + 1 \\ x_3x_5 = x_2x_4 + x_3x_2 + x_2 + 1 + x_4 + 1 \\ x_3x_4 = x_2x_4 + x_1 + 1 \\ x_4x_5 = x_1x_2 + x_2x_4 + x_3x_2 \\ 0 = x_1x_2 + x_2x_5 + x_3x_2 + x_2 + x_3 + x_4 \\ 0 = x_2x_4 \end{array} \right. \quad (5.4)$$

توجه کنید که هر دو دستگاه فوق، فقط نمایش‌های متفاوتی از یک دستگاه هستند. در این مرحله، رتبه دستگاه خطی متناظر، برابر ۸ است. دو معادله‌ی آخر دستگاه ۴.۴ فقط بر حسب یکجمله‌ای‌های موجود در  $T'_1$  هستند، بنابراین با ضرب این معادلات در  $x_1$ ، بدون این که هیچ یکجمله‌ای جدیدی بوجود آید معادلات زیر را به دست می‌آوریم.

$$\left\{ \begin{array}{l} 0 = x_1x_3 + x_1x_4 + x_1 + x_1x_5 \\ 0 = x_1x_4 \end{array} \right. \quad (6.4)$$

چون معادلات فوق نسبت به معادلات دستگاه اول، مستقل خطی هستند، با اضافه کردن آن‌ها به دستگاه اصلی، رتبه‌ی دستگاه به ۱۰ افزایش پیدا می‌کند.

اکنون معادلات به دست آمده در ۶.۴ را با استفاده از معادلات دستگاه ۵.۴ بازنویسی می‌کنیم تا معادلات به دست آمده فقط بر حسب یکجمله‌ای‌های موجود در  $T'_1$  باشند. به این ترتیب چهار معادله‌ی اضافی (۲ معادله که از قبل وجود داشت به همراه دومعادله که در این گام به دست

آوردیم) برای دستگاه ۵.۴ به صورت زیر داریم:

$$\begin{cases} \circ = x_1x_2 + x_2x_5 + x_3x_2 + x_2 + x_3 + x_4 \\ \circ = x_2x_4 \\ \circ = x_2x_4 + x_3x_2 + x_5 + x_2 + 1 \\ \circ = x_3x_2 + x_2 + x_1 + x_5 \end{cases} \quad (۷.۴)$$

بدون این که هیچ یکجمله‌ای جدیدی بوجود آید معادلات دستگاه ۷.۴ را در  $x_2$  ضرب می‌کنیم و به معادلات زیر می‌رسیم:

$$\begin{cases} \circ = x_1x_2 + x_2x_5 + x_2x_4 + x_2 \\ \circ = x_2x_4 \\ \circ = x_2x_4 + x_3x_2 + x_5x_2 \\ \circ = x_3x_2 + x_2 + x_1x_2 + x_2x_5 \end{cases} \quad (۸.۴)$$

در مورد معادله‌ی دوّم خوش‌شانس نبودیم چرا که تحت ضرب در  $x_2$  ناورد است و شکل آن تغییری نمی‌کند با این حال تا این مرحله مؤفق شده‌ایم که سه معادله‌ی مستقل خطی جدید دیگر به دست آوریم. به این ترتیب رتبه دستگاه به عدد ۱۳ می‌رسد. معادلات مستقل جدید را به دستگاه اضافه می‌کنیم.

سه معادله‌ی جدید به دست آمده از مرحله‌ی قبل را با استفاده از دستگاه ۴.۴ بازنویسی می‌کنیم تا تمام جملات معادلات بر حسب یکجمله‌ای‌های موجود در  $T'_1$  باشد. به این ترتیب به معادلات زیر می‌رسیم:

$$\begin{cases} 1 = x_1x_5 + x_2 + x_3 + x_4 \\ 1 = x_1x_2 + x_1x_3 + x_1x_5 + x_2 + x_3 + x_4 \\ \circ = x_3 + x_4 \end{cases} \quad (۹.۴)$$

معادلات فوق نسبت به سایر معادلات موجود در دستگاه مستقل خطی نیستند و رتبه‌ی دستگاه همان ۱۳ باقی می‌ماند.

بدون این که هیچ یکجمله‌ای جدیدی بوجود آید معادلات فوق را در  $x_1$  ضرب می‌کنیم و به معادلات زیر می‌رسیم:

$$\begin{cases} 1 = x_1x_5 + x_1x_2 + x_1x_3 + x_1x_4 \\ 1 = x_1x_5 + x_1x_4 \\ \circ = x_3 + x_4 \end{cases} \quad (۱۰.۴)$$



عملیات فوق با به دست آوردن یک معادله مستقل خطی جدید همراه است و به این ترتیب رتبه‌ی دستگاه به عدد ۱۴ می‌رسد. با استفاده از دستگاه ۵.۴ معادله‌ی مستقل به دست آمده از مرحله‌ی قبل را بر حسب یکجمله‌ای‌های  $T'_4$  می‌نویسم:

$$\circ = x_1x_2 + x_2x_4 + x_3x_2 + x_1 + x_2 + x_5$$

معادله‌ی فوق نسبت به معادلات دستگاه، معادله‌ی مستقلی نیست، با ضرب آن در  $x_2$  (بدون این که هیچ یکجمله‌ای جدیدی بوجود آید) معادله‌ی مستقل خطی زیر را به دست می‌آوریم:

$$\circ = x_2x_4 + x_3x_2 + x_2x_5 + x_2$$

در نتیجه با اضافه کردن این معادله به دستگاه اصلی، رتبه‌ی دستگاه به عدد  $\text{rank} = 15$  می‌رسد! این بیشینه‌ی رتبه‌ای است که می‌توان برای دستگاه داشت چرا که تعداد یکجمله‌ای‌های غیر صفر موجود در دستگاه (و در نتیجه تعداد متغیرهای دستگاه خطی) برابر ۱۵ است.

روش  $T'$  گرچه برای اولین بار در حمله‌ی XSL در [۲۲]، معرفی شد، ولی روشن است که می‌توان از آن در روش XL نیز استفاده کرد. در ادامه بخش دیگری از الگوریتم XSL، که به هسته‌ی الگوریتم معروف است را معرفی می‌کنیم.

## الگوریتم XSL

الگوریتم XSL از کنار هم قرار دادن مراحل قبلی، به صورت زیر به دست می‌آید.

## الگوریتم ۲۱ الگوریتم XSL

**ورودی** دستگاه معادلات چندجمله‌ای مربعی به‌دست آمده از سامانه‌ی رمزنگاری XSL  
**خروجی** جواب دستگاه

- ۱: فرض کنید هر s-box دارای  $r$  معادله و  $t$  یکجمله‌ای باشد. یک پایه‌ی خطی از بین یکجمله‌ای‌ها شامل  $t - r$  یکجمله‌ای انتخاب کرده (به انضمام ۱ و بجز متغیرها) و  $r$  یکجمله‌ای دیگر را بر حسب آن‌ها می‌نویسیم.
- ۲: پارامتر بحرانی  $P$  را انتخاب می‌کنیم. (راجع به نحوه‌ی انتخاب بهینه‌ی  $P$  در [۲۲] بحث شده است.) معادلات به‌دست آمده از لایه‌های خطی را در یکجمله‌ای‌های پایه‌ی  $P - ۱$ ، s-box، مختلف ضرب می‌کنیم.
- ۳: تا جایی که امکان دارد، همه‌ی یکجمله‌ای‌ها را به‌صورت ترکیب خطی از یکجمله‌ای‌های پایه می‌نویسیم.
- ۴: الگوریتم  $T'$  را روی معادلات به‌دست آمده از مرحله‌ی قبل اعمال می‌کنیم.
- ۵: خروجی الگوریتم  $T'$  با روش خطی‌سازی به‌راحتی قابل حل است، لذا آن را خطی‌سازی کرده و با روش حذفی گاوس حل می‌کنیم.

الگوریتم XSL یک الگوریتم عمومی برای حل دستگاه‌های چندجمله‌ای نیست و فقط برای حل دستگاه‌های خاص متناظر با رمزهای قالبی XSL نظیر AES و Serpent طراحی شده است. از آنجایی که تحلیل‌های صورت گرفته توسط ارائه دهندگان حمله‌ی XSL در [۲۲] مورد پذیرش عموم رمزنگارها نیست و بحث‌های زیادی بر سر کارایی این حمله وجود دارد، (برای نمونه بنگرید به [۵۴، ۶۸]) بررسی بیشتر این روش را رها کرده و به مطالعه روش‌های جدیدتری که برای بهبود الگوریتم XL ارائه شده است، می‌پردازیم.

## ۵.۱.۴ روش MutatntXL

روش MutantXL که به اختصار آن را با نماد MXL نمایش می‌دهیم، اولین بار در سال ۲۰۰۸، توسط دینگ<sup>۱۰</sup> و همکاران در [۲۹] به عنوان یکی دیگر از نسخه‌های بهبود یافته‌ی روش XL، معرفی شد. به‌طور کلی بسیاری از روش‌ها نظیر XL و F4 برای حل دستگاه چندجمله‌ای

$$S := \begin{cases} f_1(x_1, \dots, x_n) = 0 \\ f_2(x_1, \dots, x_n) = 0 \\ \vdots \\ f_m(x_1, \dots, x_n) = 0 \end{cases}$$

<sup>10</sup>Ding

ابتدا با ضرب یکجمله‌ای‌ها در معادلات دستگاه، اعضای بیشتری از ایده‌ال تولید شده توسط چندجمله‌ای‌های دستگاه یعنی  $I = \langle f_1, \dots, f_m \rangle$  را می‌یابند. سپس دستگاه جدید را خطی سازی، و در انتها با عملیات حذفی گاوس آن را حل می‌کنند. ارائه دهندگان MXL با آزمایش‌هایی روی روش‌های مذکور، مشاهده کردند که طی مرحله‌ی حذفی گاوس، چندجمله‌ای‌هایی که درجه‌ی آن‌ها کمتر از آن چیزی است که در ابتدا به نظر می‌رسد، یا به عبارت دیگر چندجمله‌ای‌هایی که درجه‌ی آن‌ها در مرحله‌ی حذفی گاوس کاهش می‌یابد، می‌توانند سبب تسریع در فرآیند الگوریتم شوند. آن‌ها این چندجمله‌ای‌ها را تغییرپذیر نامیده و از آن‌ها برای بهبود الگوریتم XL استفاده کردند. در ادامه این چندجمله‌ای‌ها را به صورت دقیق تعریف کرده و الگوریتم MXL را معرفی می‌کنیم.

فرض کنید  $\mathbb{F}_q$  یک میدان متناهی از مرتبه‌ی  $q$  و  $f_1, \dots, f_m \in \mathbb{F}_q[x_1, \dots, x_n]$  چندجمله‌ای‌های دستگاه باشند. چون هدف ما پیدا کردن جواب‌هایی از دستگاه است که در  $\mathbb{F}_q$  هستند، لذا روی حلقه‌ی خارج قسمتی

$$R := \frac{\mathbb{F}_q[x_1, \dots, x_n]}{\langle x_1^q - x_1, \dots, x_n^q - x_n \rangle}$$

کار می‌کنیم، یا به طور معادل هر چندجمله‌ای از  $R$  را به پیمانه‌ی ایده‌ال  $\langle x_1^q - x_1, \dots, x_n^q - x_n \rangle$  تحویل می‌کنیم. فرضیات فوق تا پایان بحث روش MXL، برقرار است.

**تعریف ۱۵.۴ (سطح یک چندجمله‌ای).** فرض کنید  $I = \langle f_1, \dots, f_m \rangle$ ، و  $g \in I$ ، دارای نمایشی به صورت  $g = h_1 f_1 + \dots + h_m f_m$  باشد. سطح این نمایش از  $g$ ، را به صورت زیر تعریف می‌کنیم.

$$l = \max\{\deg(h_i f_i) \mid i \in \{1, \dots, m\}, h_i \neq 0\}.$$

در این صورت کوچکترین سطح در بین تمام نمایش‌های  $g = h_1 f_1 + \dots + h_m f_m$  را سطح  $g$  نسبت به  $F = (f_1, \dots, f_m)$  می‌گوییم و با نماد  $\text{level}_F(g)$ ، نمایش می‌دهیم.

**تعریف ۱۶.۴ (چندجمله‌ای تغییرپذیر).** فرض کنید  $P = \mathbb{F}_q[x_1, \dots, x_n]$  و  $F = (f_1, \dots, f_m) \subseteq P$ . چندجمله‌ای  $g \in P$  را نسبت به  $F$ ، تغییرپذیر گوئیم، هرگاه  $\deg(g) < \text{level}_F(g)$ .

به طور شهودی وقتی  $g \in P$  نسبت به  $F = (f_1, \dots, f_m)$  تغییرپذیر است، یعنی در هر نمایش  $g$ ، به صورت  $g = h_1 f_1 + \dots + h_m f_m$ ، یک  $i \in \{1, \dots, m\}$  وجود دارد به طوری که  $\deg(g) < \deg(h_i f_i)$ . به عبارت دیگر  $g$  را نمی‌توان به صورت ترکیب خطی از  $tf_i$ ‌ها نوشت بطوری که  $t$  یک یکجمله‌ای باشد و به ازای هر  $i$ ، داشته باشیم  $\deg(tf_i) \leq \deg(g)$ .

## الگوریتم MXL

فرض کنید  $P = \mathbb{F}_q[x_1, \dots, x_n]$  و  $R = \frac{P}{\langle x_1^q - x_1, \dots, x_n^q - x_n \rangle}$  در این صورت روش MXL برای حل دستگاه معادلات  $f_1 = \dots = f_m = 0$  در الگوریتم ۲۲ بیان شده است.

## الگوریتم ۲۲ الگوریتم MXL

- ورودی**  $F = \{f_1, \dots, f_m\} \in R$
- خروجی** جواب دستگاه معادلات  $f_1 = \dots = f_m = 0$
- ۱:  $d = e \leftarrow \min\{\deg(f_i) \mid f_i \in F\}, \quad G \leftarrow F$
  - ۲:  $G$  را با عملیات حذفی گاوس به شکل سطری پلکانی تحویل یافته تبدیل می‌کنیم.
  - ۳: اگر  $G$  دارای چندجمله‌ای یک متغیره بود، معادله یک متغیره را حل کرده و مقدار متناظر با آن متغیر را به دست می‌آوریم، اگر دستگاه با این کار حل شود، جواب به دست آمده و الگوریتم متوقف می‌شود و در غیر این صورت مقدار به دست آمده را در چندجمله‌ای‌های دستگاه (یا  $F$ ) جایگذاری کرده و به گام ۱ بازمی‌گردیم. اگر دستگاه فاقد چندجمله‌ای یک متغیره باشد به گام ۴ می‌رویم.
  - ۴:  $M \leftarrow \{f \in G \mid \deg(f) < e\}$ . (در واقع چندجمله‌ای‌های  $M$  نسبت به  $F$  تغییرپذیر هستند).
  - ۵: اگر  $M \neq \emptyset$ ، همه‌ی اعضای  $g \in M$  را در یکجمله‌ای‌های با درجه  $d - \deg(g)$  ضرب کرده و نتایج حاصل از ضرب یکجمله‌ای‌ها را جایگزین چندجمله‌ای‌های قبلی در  $G$  می‌کنیم. قرار می‌دهیم  $e = \min\{\deg(g) \mid g \in M\} + 1$  و به گام ۲ بازمی‌گردیم. در غیر این صورت اگر  $M = \emptyset$ ، به گام ۶ می‌رویم.
  - ۶: همه‌ی چندجمله‌ای‌های  $g \in G$  را با چندجمله‌ای‌های  $x_i g$  که  $i \in \{1, \dots, n\}$ ، جایگزین می‌کنیم، سپس  $d$  را یک واحد افزایش داده، قرار می‌دهیم  $e = d$  و به گام ۲ بازمی‌گردیم.

اگر گام‌های ۴ و ۵ را حذف کنیم همان الگوریتم XL به دست می‌آید. در ضمن در گام ۵ وقتی چندجمله‌ای‌های تغییرپذیر  $g$  را در یکجمله‌ای‌های از درجه‌ی  $d - \deg(g)$  ضرب می‌کنیم، درجه‌ی دستگاه افزایش نمی‌یابد.

**مثال ۱۷.۴.** دستگاه معادلات زیر از حلقه‌ی  $R = \frac{\mathbb{F}_2[x_1, \dots, x_4]}{\langle x_1^2 - x_1, \dots, x_4^2 - x_4 \rangle}$  را در نظر بگیرید.

$$\begin{cases} f_1 = x_1 x_2 + x_2 x_3 + x_2 x_4 + x_3 x_4 + x_1 + x_3 + 1 = 0 \\ f_2 = x_1 x_2 + x_1 x_3 + x_1 x_4 + x_3 x_4 + x_2 + x_3 + 1 = 0 \\ f_3 = x_1 x_2 + x_1 x_3 + x_2 x_3 + x_3 x_4 + x_1 + x_4 + 1 = 0 \\ f_4 = x_1 x_3 + x_1 x_4 + x_2 x_3 + x_2 x_4 + 1 = 0 \end{cases}$$

طی گام‌های زیر، با استفاده از الگوریتم MXL و در نظر گرفتن ترتیب الفبایی مدرج، دستگاه را حل می‌کنیم.

$$1. \text{ قرار می‌دهیم } d = e = 2 \text{ و } G = F = \{f_1, \dots, f_4\}$$

۲. پس از عملیات حذفی گاوس دستگاه به صورت زیر درمی آید.

$$\begin{cases} g_1 = x_1x_2 + x_2x_3 + x_2x_4 + x_3x_4 + x_1 + x_3 + 1 = 0 \\ g_2 = x_1x_3 + x_1x_4 + x_2x_3 + x_2x_4 + x_1x_2 = 0 \\ g_3 = x_1x_4 + x_2x_3 + x_1 + x_2 + x_3 + x_4 = 0 \\ g_4 = x_1 + x_2 + 1 = 0 \end{cases}$$

۳. قرار می دهیم  $M = \{g_4\}$ . همان طور که مشاهده می شود درجه ی  $g_4$  پس از عملیات حذفی گاوس کاهش یافته و نسبت به  $F$  تغییرپذیر است.

۴. قرار می دهیم  $G = \{g_1, g_2, g_3, g_5, g_6, g_7\}$  به طوری که  $g_5 = x_1x_2, g_6 = x_1x_3 + x_2x_3 + x_3$  و  $g_7 = x_1x_4 + x_2x_4 + x_4$  در ضمن قرار می دهیم  $e = 2$ .

۵. پس از عملیات حذفی گاوس روی  $G$ ، چندجمله ای های  $g_5, g_6, g_7$  به صورت زیر تغییر می کنند.

$$\tilde{g}_5 = x_2x_3 + x_2x_4 + x_3x_4 + x_1 + x_3 + 1, \tilde{g}_6 = x_3x_4 + x_1 + x_3 + x_4 + 1, \tilde{g}_7 = x_3 + x_4 + 1.$$

۶. قرار می دهیم  $M = \{\tilde{g}_7\}$ .

۷. چون  $\deg(\tilde{g}_7) = 1$  و  $d = 2$ ، لذا همه یکجمله ای ها از درجه ی ۱ را در  $\tilde{g}_7$  ضرب کرده و نتایج به دست آمده که عبارتند از

$$g_8 = x_1x_3 + x_1x_4, g_9 = x_2x_3 + x_2x_4 + x_2, g_{10} = x_3x_4,$$

را جایگزین  $\tilde{g}_7$  در  $G$  می کنیم. در ضمن قرار می دهیم  $e = 2$ .

۸. پس از عملیات حذفی گاوس چندجمله ای های  $g_8$  و  $g_9$  به ترتیب به صورت  $\tilde{g}_8 = x_2 + x_4$  و  $\tilde{g}_9 = x_4 + 1$  در می آیند.

۹. با حل معادله ی تک متغیره  $\tilde{g}_9 = 0$  مقدار  $x_4$  برابر با ۱ خواهد بود. با جایگذاری  $x_4 = 1$  در دستگاه گسترش پیدا کرده تا کنون، جواب برابر با  $(x_1, x_2, x_3, x_4) = (0, 1, 0, 1)$ ، به دست می آید.

ارئه دهندگان MXL، اندکی پس از انتشار نسخه ی اولیه ی این الگوریتم، نسخه ی بهبود یافته آن را نیز در [۵۰]، منتشر کردند و آن را MXL2 نامیدند. آن ها با استفاده از شبیه سازی ها به مقایسه الگوریتم MXL2 با الگوریتم F4 که یک روش مبنی بر پایه ی گروبنر است پرداختند و نشان دادند که ابعاد ماتریس های به دست آمده در روش MXL2 نسبت به F4 کوچکتر است. آن ها همچنین

	$m$	$n$	XL	MXL	تعداد جواب‌ها
دستگاه مثال ۱۷.۴	۴	۴	۰/۲۰	۰/۲۳	۱
$CTC(B = 1, N = 1)$	۲۶	۱۵	۱۰/۸۴	۱۰/۸۱	۱

جدول ۱۰.۴: مقایسه الگوریتم‌های XL و MXL پیاده‌سازی شده در نرم‌افزار ApCoCoA

یکسال بعد از انتشار نسخه اولیه، در [۴۹] روشی جدید بر پایه‌ی ایده‌ی چندجمله‌ای‌های تغییرپذیر و الگوریتم XL، برای یافتن پایه گروبنر ایده‌ال‌های صفربعدی، ارائه دادند و آن‌را MXL3 نامیدند. آن‌ها با انجام آزمایش‌هایی نشان دادند که MXL3 نه تنها حافظه کمتری در مقایسه با F4 مصرف می‌کند، بلکه سریع‌تر نیز است.

الگوریتم MXL در نرم‌افزار ApCoCoA [۴۴] پیاده‌سازی شده، و با دستور CharP.MXLSolve(.) قابل فراخوانی است. پس از آزمودن این حل‌کننده برای حل دستگاه‌های به‌دست آمده از رمزهای قالبی CTC و SR و رمز دنباله‌ای Bivium، مشاهده شد که این الگوریتم از نظر سرعت تفاوت چندانی با الگوریتم XL ندارد. برای مثال سرعت این دو حل‌کننده در جدول ۱۰.۴، به‌ازای دو دستگاه متفاوت مقایسه شده است. محاسبات در رایانه با پردازنده ۱/۶GHz و حافظه رم ۶GB و با استفاده از نرم‌افزار ApCoCoA انجام شده، زمان‌ها بر حسب ثانیه است و  $m$  و  $n$  به‌ترتیب نشان‌دهنده تعداد معادلات و تعداد مجهولات هستند.

## ۲.۴ حمله پایه‌ی گروبنر

پایه‌های گروبنر کاربردهای زیادی دارد که یکی از مهمترین آن‌ها مسئله‌ی عضویت در ایده‌ال است. می‌دانیم که اگر  $I$  یک ایده‌ال در  $P = K[x_1, \dots, x_n]$  و  $G$  یک پایه گروبنر آن باشد، چندجمله‌ای  $f$  در  $I$  قرار دارد اگر و تنها اگر  $NFG(f) = 0$ . بنابراین الگوریتمی برای بررسی عضویت یک چندجمله‌ای در یک ایده‌ال وجود دارد.

کاربرد دیگری که می‌توان به آن اشاره کرد، مسئله‌ی مقایسه‌ی دو ایده‌ال است. اگر  $I$  و  $J$  دو ایده‌ال در  $P$  باشند، با محاسبه پایه گروبنر تحویل یافته آن‌ها که منحصر بفرد است، می‌توان شمول هر کدام در دیگری و یا تساوی آن‌ها را فقط با مقایسه‌ی پایه‌های آن‌ها دریافت. اما کاربردی دیگر که برای ما بیشتر اهمیت دارد حل دستگاه معادلات چندجمله‌ای با استفاده از پایه گروبنر است که در این بخش به آن می‌پردازیم.

**تعریف ۱۸.۴ (فضای آفین).** فرض کنید  $\mathbb{F}$  یک میدان و  $n$  یک عدد طبیعی باشد. فضای آفین  $n$  بعدی روی  $\mathbb{F}$  عبارت است از مجموعه‌ی زیر،

$$\mathbb{F}^n := \{(a_1, \dots, a_n) : a_1, \dots, a_n \in \mathbb{F}\}.$$

فرض کنید  $K$  یک توسیع جبری میدان  $\mathbb{F}$  باشد. هر چندجمله‌ای مثل  $f \in \mathbb{F}[x_1, \dots, x_n]$  را می‌توانیم به عنوان تابعی به صورت

$$f: K^n \rightarrow K$$

در نظر بگیریم که مقدار این تابع در هر نقطه‌ی  $(a_1, \dots, a_n) \in K^n$  با جایگذاری  $a_i$  ها به جای  $x_i$  ها در  $f$  محاسبه می‌شود. چون  $K$  یک توسیع  $\mathbb{F}$  و ضرایب چندجمله‌ای  $f$  در  $\mathbb{F} \subseteq K$  قرار دارند مقدار تابع در  $K$  خواهد بود. منظور از صفرهای  $f$  در  $K$  مقادیری است که به ازای آن‌ها تابع  $f: K^n \rightarrow K$  صفر می‌شود. بنابراین یک چندجمله‌ای مثل  $f \in \mathbb{F}[x_1, \dots, x_n]$  رفتاری دوگانه دارد، هم می‌تواند به عنوان یک چندجمله‌ای صوری از حلقه‌ی  $P$  باشد، هم می‌توان آن را به صورت یک تابع در نظر گرفت. اما وقتی می‌گوییم  $f = 0$  است، باید روشن کنیم که  $f$  به عنوان یک چندجمله‌ای صفر است یا یک تابع صفر است، چرا که این دو می‌توانند متفاوت باشند. برای مثال چندجمله‌ای ناصفر  $f = x^2 - x \in \mathbb{F}_2[x]$  چون به ازای هر مقدار  $a \in \mathbb{F}_2$  صفر می‌شود، یک تابع صفر است. بنابراین  $f$  چندجمله‌ای ناصفیری است که متناظر با یک تابع صفر روی فضای آفین  $\mathbb{F}_2^1$  است. چنین تفاوتی در تعبیر  $f = 0$  در رمزنگاری که با میدان‌های متناهی کار می‌کنیم امری طبیعی است، ولی وقتی میدان ضرایب چندجمله‌ای نامتناهی باشد، ثابت می‌شود [۲۳، ص. ۳] که  $f$  به عنوان یک چندجمله‌ای صفر است اگر و تنها اگر به عنوان یک تابع، صفر باشد. با این حال می‌دانیم هیچ میدان متناهی نمی‌تواند بسته‌ی جبری باشد.

**تعریف ۱۹.۴ (واریته یا چندگونای آفین).** فرض کنید  $K$  یک توسیع از میدان  $\mathbb{F}$  و  $f_1, \dots, f_m$  چندجمله‌ای‌هایی از حلقه‌ی  $\mathbb{F}[x_1, \dots, x_n]$  باشند. مجموعه‌ی

$$Z(f_1, \dots, f_m) := \{(a_1, \dots, a_n) \in K^n \mid \forall 0 \leq i \leq m \ f_i(a_1, \dots, a_n) = 0\}$$

را  $\mathbb{F}$ -**واریته‌ی آفین** تعریف شده به وسیله  $f_1, \dots, f_m$  می‌گوییم.

توجه شود که  $\mathbb{F}$  در عبارت « $\mathbb{F}$ -واریته‌ی آفین» مجموعه‌ی ضرایب چندجمله‌ای را مشخص می‌کند، در حالی که صفرها یا جواب‌ها در  $K^n$  قرار دارند. در ادامه برای اختصار  $\mathbb{F}$ -واریته‌ی آفین را **واریته‌ی آفین** می‌گوییم.

**تعریف ۲۰.۴ (مسئله‌ی حل دستگاه معادلات چندجمله‌ای).** به ازای یک مجموعه‌ی متناهی داده شده مثل  $F = \{f_1, \dots, f_m\}$  از چندجمله‌ای‌های حلقه‌ی  $\mathbb{F}[x_1, \dots, x_n]$ ، مسئله‌ی حل دستگاه معادلات چندجمله‌ای عبارت است از یافتن **واریته‌ی آفین**  $F$  یعنی  $Z(f_1, \dots, f_m)$ .

**لم ۲۱.۴.** فرض کنید  $F = \{f_1, \dots, f_s\}$  و  $G = \{g_1, \dots, g_t\}$  پایه‌های مشترک یک ایده‌ال از حلقه‌ی  $\mathbb{F}[x_1, \dots, x_n]$  باشند. در این صورت،

$$Z(f_1, \dots, f_s) = Z(g_1, \dots, g_t).$$

برهان. می‌دانیم که  $\langle f_1, \dots, f_s \rangle = \langle g_1, \dots, g_t \rangle$  بنابراین اگر  $f \in \langle f_1, \dots, f_s \rangle$  آن‌گاه  $f \in \langle g_1, \dots, g_t \rangle$  و در نتیجه چندجمله‌ای‌های  $h_1, \dots, h_s$  از  $P = \mathbb{F}[x_1, \dots, x_n]$  موجودند بطوری که:

$$f = h_1 g_1 + \dots + h_t g_t.$$

بنابراین به ازای هر  $a \in \mathcal{Z}(g_1, \dots, g_t)$  داریم،  $f(a) = 0$ . چون  $f$  را دلخواه انتخاب کردیم، نتیجه می‌شود  $a \in \mathcal{Z}(f_1, \dots, f_s)$  و  $\mathcal{Z}(g_1, \dots, g_t) \subseteq \mathcal{Z}(f_1, \dots, f_s)$ . شمول در جهت عکس را می‌توان بطور مشابه ثابت کرد.  $\square$

تعریف ۲۲.۴. فرض کنید  $I$  یک ایده‌ال از حلقه  $\mathbb{F}[x_1, \dots, x_n]$  باشد، واریته‌ی آفین تعریف شده به‌وسیله  $I$  عبارت است از

$$\mathcal{Z}(I) := \{(a_1, \dots, a_n) \in K^n \mid \forall f \in I : f(a_1, \dots, a_n) = 0\}.$$

که  $K$  یک توسیع جبری  $\mathbb{F}$  است.

بر اساس قضیه پایه هیلبرت ۲۲.۲، واریته آفین متناظر با یک ایده‌ال همان واریته‌ی آفین متناظر با مجموعه مولد آن است.

قضیه ۲۳.۴. اگر  $I$  یک ایده‌ال حلقه  $\mathbb{F}[x_1, \dots, x_n]$  و  $F = \langle f_1, \dots, f_m \rangle$  یک مولد داده شده برای آن باشد، آن‌گاه،  $\mathcal{Z}(I) = \mathcal{Z}(f_1, \dots, f_m)$ .

$\square$

برهان. نتیجه‌ی مستقیم قضیه‌ی پایه‌ی هیلبرت ۲۲.۲.

اکنون به دستگاه

$$S = \begin{cases} f_1(x_1, \dots, x_n) = 0 \\ \vdots \\ f_m(x_1, \dots, x_n) = 0 \end{cases}$$

باز می‌گردیم. نخستین سؤالی که در رابطه با حل دستگاه معادلات به ذهن می‌رسد، مسئله وجود جواب است. پاسخ این سؤال در حالت کلی داده نشده ولی در حالتی که میدان  $K$  به طور جبری بسته باشد، قضیه صفرهای هیلبرت جواب کاملی ارائه می‌دهد. فرض کنید  $I = \langle f_1, \dots, f_m \rangle$  در این صورت مجموعه جواب دستگاه  $S$  عبارت است از  $\mathcal{Z}(I)$ .

قضیه ۲۴.۴ (صورت ضعیف قضیه‌ی صفرهای هیلبرت). فرض کنید  $K$  یک میدان بطور جبری بسته و  $I$  یک ایده‌ال حلقه‌ی  $K[x_1, \dots, x_n]$  باشد. در این صورت  $\mathcal{Z}(I)$  تهی است اگر و تنها اگر



$I \subsetneq K$ . یا بطور معادل:

$$\mathcal{Z}(I) = \emptyset \iff 1 \in I \iff I = K[x_1, \dots, x_n]$$

برهان. رجوع کنید به [۲۳، ص. ۱۷۷]. □

بنابراین، اگر دستگاه  $S$  داده شده باشد، می‌توان با محاسبه پایه گروبنر تحویل یافته ایده‌ال تولید شده توسط چندجمله‌ای‌های دستگاه و بررسی این که این پایه برابر  $\{1\}$  است یا نه، به وجود یا عدم وجود جواب برای دستگاه پی‌برد. لازم به ذکر است که وقتی معادلات به صورت قطعی از یک سامانه رمزنگاری به دست آمده باشند دستگاه حتماً جواب خواهد داشت، چون حداقل کلید سامانه و متن اصلی و رمز شده با آن کلید در دستگاه صدق می‌کنند، مگر این که در استخراج معادلات سامانه اشتباهی صورت گرفته باشد.

فرض کنید وجود جواب دستگاه  $S$  برای ما محرز شده باشد، اکنون این سؤال پیش می‌آید که آیا مجموعه‌ی جواب‌های دستگاه یا به عبارتی  $\mathcal{Z}(I)$  که  $I$  ایده‌ال تولید شده توسط معادلات دستگاه است، متناهی است یا نامتناهی؟ یا استفاده از لم تناهی که در ادامه می‌آید، می‌توانیم الگوریتمی برای حل این سؤال ارائه دهیم.

**لم ۲۵.۴ (محک تناهی).** فرض کنید  $S$  دستگاه معادلاتی از چندجمله‌ای‌های  $f_1, \dots, f_m$  در حلقه‌ی  $\mathbb{F}[x_1, \dots, x_n]$  و  $I = \langle f_1, \dots, f_m \rangle$  ایده‌ال تولید شده توسط چندجمله‌ای‌های این دستگاه باشد. در ضمن فرض کنید  $>$  یک ترتیب یکجمله‌ای روی  $\mathbb{T}^n$  باشد. در این صورت گزاره‌های زیر معادل‌اند:

۱. دستگاه  $S$  دارای تعداد متناهی جواب در  $\overline{\mathbb{F}}$  (بستار جبری  $\mathbb{F}$ ) است.

۲. به ازای هر  $i = 1, \dots, n$ ، داریم  $I \cap \mathbb{F}[x_i] \neq \{0\}$ .

۳. مجموعه‌ی  $\mathbb{T}^n \setminus \text{LM}_{>}(I)$  متناهی است.

۴.  $\mathbb{F}$  - فضای برداری  $\frac{\mathbb{F}[x_1, \dots, x_n]}{I}$  متناهی بعد است.

۵. به ازای هر  $i \in \{1, \dots, n\}$ ، عدد  $\alpha_i \in \mathbb{Z}_{\geq 0}$  وجود دارد بطوری که  $x_i^{\alpha_i} \in \langle \text{LT}_{>}(I) \rangle$ .

برهان. رجوع کنید به [۴۶، ص. ۲۴۳]. □

از بین گزاره‌های معادل در لم ۲۵.۴ برقراری گزاره‌های (۳) و (۵) را می‌توان با به دست آوردن پایه گروبنر، برای ایده‌ال  $I$ ، بررسی کرد، در نتیجه مسئله تشخیص متناهی بودن مجموعه‌ی جواب دستگاه  $S$  نیز با استفاده از الگوریتم‌های محاسبه پایه‌ی گروبنر، قابل حل است.

**تعریف ۲۶.۴ (ایدهال صفربُعدی).** <sup>۱۱</sup> ایدهال  $I = \langle f_1, \dots, f_s \rangle$  از حلقه‌ی  $P = \mathbb{F}[x_1, \dots, x_n]$  را صفر بُعدی گوئیم، اگر در یکی از شرط‌های معادل لم ۲۵.۴ که یکی از آن‌ها متناهی بودن  $\mathcal{Z}(I)$  است صدق کند.

**مثال ۲۷.۴.** فرض کنید  $P = \mathbb{R}[x, y, z]$  و ترتیب یکجمله‌ای که به کار می‌بریم ترتیب الفبایی است. ایدهال زیر را در نظر بگیرید،  $I = \langle x + y + z, xy + xz + yz, xyz - 1 \rangle$  با استفاده از نرم‌افزار سیج پایه گروبنر آن را در زیر محاسبه می‌کنیم:

```
P.<x,y,z> = PolynomialRing(RR, order = 'lex')
I = sage.rings.ideal.Cyclic(P)
I.groebner_basis()
[x + y + z, y^2 + y*z + z^2, z^3 - 1.0]
```

با توجه به پایه گروبنر به دست آمده مشاهده می‌شود که  $\text{LM}(I) = \langle x, y^2, z^3 \rangle$  و طبق گزاره (۵) لم ۲۵.۴ ایدهال  $I$  صفربُعدی و مجموعه جواب‌های دستگاه متناهی خواهد بود. اگر فرض کنیم  $P' = \mathbb{R}[w, x, y, z]$  آن‌گاه برای ایدهال

$$J = \langle x + y + z, xy + xz + yz, xyz - 1 \rangle \subseteq P'$$

به ازای هر  $i \in \mathbb{Z}_{\geq 0}$  داریم  $w^i \notin \langle \text{LM}(J) \rangle$  و طبق گزاره (۳) لم ۲۵.۴،  $J$  صفر بُعدی نخواهد بود.

در حالتی که مجموعه‌ی جواب دستگاه چندجمله‌ای  $S$  متناهی است علاقه‌مندیم تا تعداد جواب‌ها را بدانیم، قضیه‌ی زیر کرانی برای تعداد جواب‌ها ارائه می‌دهد.

**قضیه ۲۸.۴.** فرض کنید  $f_1, \dots, f_m \in P = \mathbb{F}[x_1, \dots, x_n]$  چندجمله‌ای‌های دستگاه معادلات  $S$  باشند، اگر  $I = \langle f_1, \dots, f_m \rangle$  صفربُعدی باشد آن‌گاه تعداد جواب‌های دستگاه  $S$  در  $\bar{F}^n$  حداکثر برابر است با بعد فضای برداری  $\frac{P}{I}$ . به عبارت دیگر داریم

$$|\mathcal{Z}(I)| \leq \dim_{\mathbb{F}}\left(\frac{P}{I}\right).$$

□

برهان. رجوع کنید به [۴۶، ص. ۲۴۵]

بنابراین می‌توان در حالت کلی، کران بالایی برای تعداد جواب‌های یک دستگاه به دست آورد.

**تعریف ۲۹.۴.** رادیکال ایدهال  $I$  از حلقه‌ی  $P$  به صورت زیر تعریف می‌شود

$$\sqrt{I} := \{f \in P \mid \exists m \in \mathbb{N} : f^m \in I\}.$$

<sup>۱۱</sup>وجه تسمیه‌ی صفر بُعدی نامیدن ایدهال‌هایی که در شرایط لم ۲۵.۴ صدق می‌کنند، این است که در این ایدهال‌ها بعد فضای برداری  $\frac{\mathbb{F}[x_1, \dots, x_n]}{I}$  متناهی است که نتیجه می‌دهد بعد کرول حلقه‌ی  $\frac{\mathbb{F}[x_1, \dots, x_n]}{I}$  باید صفر باشد.

به راحتی می توان نشان داد که  $\sqrt{I}$  خود یک ایده‌ال است. به ایده‌الی که برابر با رادیکال خودش باشد *ایده‌ال رادیکال* می‌گویند.

**تعریف ۳۰.۴ (میدان کامل).** میدان  $\mathbb{F}$  یک میدان کامل است هرگاه، یا مشخصه‌اش صفر باشد و یا اگر دارای مشخصه‌ی ناصفر  $p > 0$  است، هر عضو  $\mathbb{F}$  دارای ریشه‌ی  $p$  ام باشد.

برای مثال به ازای هر عدد اول  $p$  میدان  $\mathbb{F}_p$  یک میدان کامل است چرا که هر عضو آن ریشه‌ی  $p$  ام خودش است. بطور کلی هر میدان متناهی مثل  $\mathbb{F}_q$  که  $q = p^e$  و  $p$  عددی اول است یک میدان کامل است زیرا هر  $x \in \mathbb{F}_q$  دارای ریشه‌ی  $p$  ام  $x^{p^e-1}$  است. در نتیجه همه‌ی میدان‌های متناهی و همچنین همه‌ی میدان‌های نامتناهی که مشخصه صفر دارند میدان‌های کامل هستند. قضیه‌ی زیر تعداد دقیق جواب‌های دستگاه را وقتی از میدان کامل استفاده می‌کنیم، مشخص می‌کند.

**قضیه ۳۱.۴.** فرض کنید  $I$  یک ایده‌ال صفر بعدی از حلقه‌ی  $P = \mathbb{F}[x_1, \dots, x_n]$  و  $\bar{\mathbb{F}}$  بستار جبری  $\mathbb{F}$  باشد. در ضمن فرض کنید  $\bar{P} := \bar{\mathbb{F}}[x_1, \dots, x_n]$ . اگر  $\mathbb{F}$  یک میدان کامل باشد آن‌گاه تعداد جواب‌های هر دستگاه معادلات چندجمله‌ای روی  $\mathbb{F}$  مثل  $S$  برابر است با تعداد ایده‌ال‌های ماکزیمال  $\bar{P}$  که شامل ایده‌ال  $I\bar{P}$  هستند. در ضمن این عدد دقیقاً برابر است با  $\dim_{\mathbb{F}}(\frac{P}{I})$ .

□

**برهان.** رجوع کنید به [۲۳، ص. ۲۵۳]

در رمزنگاری با میدان‌های متناهی کار می‌کنیم که بسته‌ی جبری نیستند، به همین خاطر به جواب‌هایی که خارج از میدان مورد نظر و در یک توسیع آن به دست می‌آیند علاقه‌ای نداریم. بنابراین اگر قیدهایی را به دستگاه چندجمله‌ای  $S$  روی میدان  $\mathbb{F}$  اضافه کنیم، به طوری که به واسطه آن‌ها جواب‌های دستگاه در  $\mathbb{F}$  محصور شوند، آن‌گاه به هدف خود می‌رسیم. تعریف زیر قیدهایی مناسب را به ما معرفی می‌کند.

**تعریف ۳۲.۴ (چندجمله‌ای‌های میدان).** میدان متناهی  $\mathbb{F}_q[x_1, \dots, x_n]$  از مرتبه‌ی  $q = p^n$  که  $p$  یک عدد اول و  $n$  یک عدد طبیعی است را در نظر بگیرید. چندجمله‌ای‌های *میدان حلقه‌ی*  $\mathbb{F}_q[x_1, \dots, x_n]$  عبارتند از

$$\{x_1^q - x_1, \dots, x_n^q - x_n\}.$$

در ضمن به ایده‌ال تولید شده توسط مجموعه‌ی فوق یعنی،

$$\langle x_1^q - x_1, \dots, x_n^q - x_n \rangle$$

ایده‌ال میدان  $\mathbb{F}_q[x_1, \dots, x_n]$  می‌گوییم.

**نتیجه ۳۳.۴.** فرض کنید  $S$  یک دستگاه معادلات چندجمله‌ای از حلقه‌ی  $\mathbb{F}_q[x_1, \dots, x_n]$  و  $I = \langle f_1, \dots, f_m \rangle$  ایده‌ال تولید شده توسط چندجمله‌ای‌های دستگاه باشد. در این صورت بعد از اضافه کردن چندجمله‌ای‌های میدان به ایده‌ال  $I$  ایده‌ال

$$I' = \langle f_1, \dots, f_m, x_1^q - x_1, \dots, x_n^q - x_n \rangle$$

به دست می‌آید که طبق گزاره‌ی (۵) لم ۲۵.۴ یک ایده‌ال صفر بعدی است و لذا مجموعه‌ی جواب متناهی خواهد بود.

**نتیجه ۳۴.۴.** فرض کنید  $I = \langle f_1, \dots, f_m \rangle$  یک ایده‌ال از حلقه‌ی  $\mathbb{F}_q[x_1, \dots, x_n]$  باشد. اگر  $J$  ایده‌ال تولید توسط

$$\{f_1, \dots, f_m\} \cup \{x_1^q - x_1, \dots, x_n^q - x_n\}$$

باشد، آن‌گاه تنها تفاوت وارسته‌ی  $Z(J)$  با وارسته‌ی  $Z(I)$  در این است که شامل هیچ‌یک از نقاط  $\mathbb{F}^n \setminus \bar{\mathbb{F}}^n$  نیست.

**برهان.** در هر میدان متناهی از مرتبه‌ی  $q$  نظیر  $\mathbb{F}$  معادله‌ی  $x^q = x$  به ازای هر  $x \in \mathbb{F}$  صادق است. بنابراین تمام نقاط  $\mathbb{F}^n$  در معادلات  $x_i^q - x_i = 0$  به ازای  $i = 1, \dots, n$  صدق می‌کنند. علاوه بر این هر یک از چندجمله‌ای‌های  $x_i^q - x_i$  به طور کامل روی  $\mathbb{F}$  تجزیه می‌شوند و در نتیجه هیچ‌یک از نقاط  $\mathbb{F}^n \setminus \bar{\mathbb{F}}$  در معادلات  $x_i^q - x_i$  صدق نمی‌کنند.  $\square$

**تعریف ۳۵.۴.** فرض کنید  $Z \subseteq \mathbb{F}^n$  یک  $\mathbb{F}$ -وارسته‌ی آفین باشد. در این صورت  $I(Z)$  به صورت زیر تعریف می‌شود:

$$I(Z) := \{f \in \mathbb{F}[x_1, \dots, x_n] \mid \forall (a_1, \dots, a_n) \in Z : f(a_1, \dots, a_n) = 0\}.$$

**لم ۳۶.۴.** اگر  $Z \subseteq \mathbb{F}^n$  یک وارسته‌ی آفین باشد آن‌گاه  $I(Z)$  یک ایده‌ال حلقه‌ی  $\mathbb{F}[x_1, \dots, x_n]$  است. **برهان.** به [۲۳، ص ۳۲] رجوع کنید.  $\square$

**قضیه ۳۷.۴ (صورت قوی قضیه‌ی صفرهای هیلبرت).** فرض کنید  $\mathbb{F} = \bar{\mathbb{F}}$  و  $f_1, \dots, f_s \in \mathbb{F}[x_1, \dots, x_n]$  در این صورت،

$$f \in I(Z(\langle f_1, \dots, f_s \rangle)) \iff \exists m \in \mathbb{N} : f^m \in \langle f_1, \dots, f_s \rangle.$$

یا به بیان دیگر برای هر ایده‌ال  $I \subseteq \mathbb{F}[x_1, \dots, x_n]$  داریم،  $I(Z(I)) = \sqrt{I}$ .

**برهان.** به [۲۳، ص ۱۷۹] رجوع کنید.  $\square$

**تعریف ۳۸.۴ (ایدهال حذف).** ایدهال  $I = \langle f_1, \dots, f_s \rangle \subseteq \mathbb{F}[x_1, \dots, x_n]$  را در نظر بگیرید. فرض کنید  $l \in \{0, \dots, n-1\}$  مجموعه‌ی همه‌ی چندجمله‌ای‌هایی از  $I$  که فقط از متغیرهای  $x_{l+1}, \dots, x_n$  تشکیل شده‌اند عبارت است از

$$I_l = I \cap \mathbb{F}[x_{l+1}, \dots, x_n]$$

که به آن  $l$  امین ایدهال حذف  $I$  می‌گوییم.

با توجه به تعریف ایدهال حذف نتیجه می‌شود که  $I_l$  ایدهالی از حلقه‌ی  $\mathbb{F}[x_{l+1}, \dots, x_n]$  است که به آن ایدهال حذف  $I$  نسبت به متغیرهای  $\{x_1, \dots, x_l\}$  هم می‌گویند زیرا این ایدهال از حذف تمام چندجمله‌ای‌های  $I$  که شامل متغیرهای  $\{x_1, \dots, x_l\}$  هستند، به‌دست می‌آید.

**گزاره ۳۹.۴ (لم سایدنبرگ).** فرض کنید  $\mathbb{F}$  یک میدان و  $P = \mathbb{F}[x_1, \dots, x_n]$  و  $I$  یک ایدهال صفر بعدی  $P$  باشد. فرض کنید به ازای هر  $i \in \{1, \dots, n\}$  چندجمله‌ای ناصفر  $g_i \in I \cap \mathbb{F}[x_i]$  وجود داشته باشد بطوری که  $\gcd(g_i, g'_i) = 1$  باشد. ( $g'_i$  مشتق  $g_i$  نسبت به  $x_i$  است) در این صورت  $I$  یک ایدهال رادیکال است.

□

**برهان.** به [۲۳، ص. ۲۵۱] مراجعه کنید.

فرض کنید  $\mathbb{F}_q$  یک میدان متناهی باشد که  $q = p^n$  و  $p$  یک عدد اول است. فرض کنید  $I = \langle f_1, \dots, f_m \rangle \subseteq \mathbb{F}_q[x_1, \dots, x_n]$  در این صورت دستگاه

$$\mathcal{S} = \begin{cases} f_1(x_1, \dots, x_n) = 0 \\ \vdots \\ f_m(x_1, \dots, x_n) = 0 \end{cases}$$

ممکن است جواب‌هایی خارج از  $\mathbb{F}^n$  یعنی جواب‌هایی در  $\bar{\mathbb{F}}^n \setminus \mathbb{F}^n$  داشته باشد که  $\bar{\mathbb{F}}$  بستار جبری  $\mathbb{F}$  است. طبق لم سایدنبرگ ۳۹.۴ با ضمیمه کردن معادلات

$$\{x_i^q - x_i : 1 \leq i \leq n\}$$

به دستگاه  $\mathcal{S}$ ، ایدهال تولید شده توسط معادلات جدید که آن را با  $J$  نمایش می‌دهیم، یک ایدهال رادیکال با وارسته‌ی  $\mathcal{Z}(J) = \mathcal{Z}(I) \cap \mathbb{F}^n$  است.

اگر  $I$  ایدهال تولید شده توسط چندجمله‌ای‌های دستگاه  $\mathcal{S}$  باشد، می‌دانیم که این ایدهال پایه‌های متفاوتی دارد، سؤال این است که آیا این ایدهال پایه‌ای دارد که با استفاده از آن بتوان به راحتی جواب‌های دستگاه معادلات چندجمله‌ای  $\mathcal{S}$  را به‌دست آورد؟ طبق قضیه‌ی زیر پاسخ این سؤال مثبت است.

**قضیه ۴۰.۴ (قضیه حذف).** فرض کنید  $I \subseteq \mathbb{F}[x_1, \dots, x_n]$  یک ایده‌ال و  $G$  پایه‌ی گروبنر آن نسبت به ترتیب الفبایی و با فرض  $x_1 > x_2 > \dots > x_n$  باشد. در این صورت به ازای هر  $0 \leq l < n$ ، مجموعه‌ی

$$G_l = G \cap \mathbb{F}[x_{l+1}, \dots, x_n]$$

یک پایه‌ی گروبنر برای ایده‌ال  $I_l$  است.

□

**برهان.** به [۲۳، ص ۱۲۳] رجوع کنید.

**نتیجه ۴۱.۴.** طبق قضیه‌ی حذف پایه‌ی گروبنر یک شکل مثلی دارد، به این معنی اگر در یک جهت مناسب اعضای پایه را انتخاب کنیم هر بار یکی از تعداد متغیرهای ظاهر شده کم می‌شود. برای روشن شدن موضوع به یاد بیاورید که برای حل دستگاه معادلات خطی به روش حذفی گاوس، ابتدا آن را به صورت مثلی تبدیل می‌کردیم و سپس از آخرین معادله که فقط شامل یک مجهول بود شروع به حل می‌کردیم و با به دست آوردن جواب مجهول مورد نظر و جایگذاری آن در معادله‌ی قبلی مجهولات دیگر را پیدا می‌کردیم. مثال بعدی این مطلب را بهتر نشان می‌دهد.

**نکته ۴۲.۴.** همان طور که قبلاً ذکر شد، با استفاده از ترتیب الفبایی است که پایه گروبنر ایده‌ال، شکل مثلی به خود می‌گیرد و امکان استخراج جواب‌های دستگاه فراهم می‌شود. از طرفی می‌دانیم که محاسبه پایه گروبنر با استفاده از ترتیب الفبایی مدرج معکوس سریع‌تر صورت می‌گیرد. بنابراین روش بهینه این است که ابتدا پایه گروبنر را با ترتیب الفبایی مدرج معکوس محاسبه کنیم، سپس با استفاده از الگوریتم‌های تبدیل پایه‌ی گروبنر تحت یک ترتیب به پایه‌ی گروبنر تحت ترتیب دیگر نظیر [۳۳] FGLM، پایه گروبنر تحت ترتیب الفبایی را به دست آوریم.

**مثال ۴۳.۴ (مثلی سازی دستگاه چندجمله‌ای با پایه‌ی گروبنر).** فرض کنید  $P = \mathbb{F}_{127}[x, y, z]$  و ترتیب یکجمله‌ای الفبایی را بکار ببریم. ایده‌ال زیر را در نظر بگیرید:

$$I = \langle x + y + z, xy + xz + yz, xyz - 1 \rangle.$$

ابتدا معادلات میدان  $\mathbb{F}_{127}$  را به آن اضافه کرده، سپس پایه‌ی گروبنر تحویل یافته‌ی آن را محاسبه می‌کنیم.

```
P.<x,y,z> = PolynomialRing(GF(127), order = 'lex')
I = sage.rings.ideal.Cyclic(P); print I
Ideal (x + y + z, x*y + x*z + y*z, x*y*z - 1) of Multivariate Polynomial
Ring in x, y, z over Finite Field of size 127
J = I + sage.rings.ideal.FieldIdeal(P)
g1, g2, g3 = J.groebner_basis()
g1, g2, g3
(x + y + z, y^2 + y*z + z^2, z^3 - 1)
```

همان طور که بر اساس قضیه حذف ۴۰.۴ پیش‌بینی می‌کردیم، و در زیر مشاهده می‌شود، پایه گروبنر نسبت به ترتیب الفبایی شکل مثلثی دارد.

$$\left. \begin{array}{l} \text{فقط بر حسب } z \\ \{z^3 + 126, \\ y^2 + yz + z^2, \\ x + y + z\}. \end{array} \right\} \text{فقط بر حسب } y, z \left. \begin{array}{l} \text{همه‌ی متغیرها} \end{array} \right\}$$

اکنون به استخراج جواب‌ها می‌پردازیم.

```
factor(g3)
      (z - 19) * (z - 1) * (z + 20)
factor(g2(x,y,-108))
      (y - 1) * (y + 20)
factor(g1(x,-126,-108))
      x + 20
all(f(-20, 1, 19) == 0 for f in I.gens())
```

مجموعه‌ی جواب‌ها یا وارسته‌ی آفین  $\mathcal{Z}(J)$  با استفاده از تابع variety از کلاس ideal قابل محاسبه است.

```
J.variety()
[{y: 19, z: 1, x: 107}, {y: 107, z: 1, x: 19}, {y: 1, z: 19, x: 107},
{y: 107, z: 19, x: 1}, {y: 1, z: 107, x: 19}, {y: 19, z: 107, x: 1}]
```

همان‌طور که مشاهده می‌شود، پایه گروبنر ابزار خوبی برای حل دستگاه معادلات چندجمله‌ای است. در رمزنگاری از الگوریتم‌های بهینه‌شده محاسبه پایهی گروبنر نظیر F4 و F5 الگوریتم‌های محاسبه پایه گروبنر به‌خصوص الگوریتم F4 در نرم‌افزارهای جبری مانند Maple [۴۷]، Singular [۲۶] و ApCoCoA [۴۴] پیاده‌سازی شده است. در جدول ۲۰۴، مقایسه‌ای بین الگوریتم‌های پیاده‌سازی شده در این نرم‌افزارها صورت گرفته است. زمان‌های گزارش شده بر حسب ثانیه و  $m$  و  $n$  به ترتیب نشان‌دهنده تعداد معادلات و تعداد مجهولات هستند. دستگاه‌های معادلات به‌دست آمده مربوط به الگوریتم رمزنگاری قالبی CTC هستند که به‌ازای یک زوج متن اصلی و رمز شده معلوم و با استفاده از نرم‌افزار Sage [۶۲] استخراج گشته‌اند. در ضمن محاسبات روی یک رایانه با پردازنده ۱/۶GHz و حافظه رم ۶GB انجام شده است.

در جدول ۲۰۴ برای محاسبه جواب دستگاه با استفاده از پایه گروبنر در نرم‌افزار Maple، از کتاب‌خانه FGb [۳۴] که آنرا مبدع الگوریتم‌های F4 و F5 یعنی فوجر پیاده‌سازی نموده، استفاده شده است. محاسبه پایه گروبنر در ApCoCoA نیز با استفاده از دستور GBasis5(.) صورت گرفته که بعد از هر بار فراخوانی این دستور ApCoCoA از کتاب‌خانه CoCoALib-9945.0 برای محاسبه پایه گروبنر استفاده کرده است. در نرم‌افزار Sage نیز برای محاسبه پایه گروبنر از Singular

تعداد جوابها	ApCoCoA(CoColib)	Maple(FGb)	Sage(Singular)	$n$	$m$	$CTC(B, N)$
۱	۰/۰۱۵	۰/۰۳۱	۰/۰۲۰	۱۵	۲۶	$CTC(1, 1)$
۱	۰/۰۷۰	۰/۰۷۸	۰/۰۶۴	۵۴	۹۸	$CTC(2, 2)$
۱	۰/۳۷۵	۰/۲۶۶	۰/۱۲۸	۷۸	۱۴۴	$CTC(2, 3)$
۱	۰/۵۳۹	۰/۳۴۳	۰/۲۲۴	۸۱	۱۴۷	$CTC(3, 2)$
۱	۳/۵۶۲	۱/۶۹	۰/۳۵۲	۱۰۸	۱۹۶	$CTC(4, 2)$
۱	۹/۲۰۸	۴/۶۴	۰/۹۰۴	۱۱۷	۲۱۶	$CTC(3, 3)$
۱	۵۹۸/۸۲۸	۴۹/۷۳	۴/۲۸	۱۵۳	۲۸۵	$CTC(3, 4)$
۱	۴۲۰/۵۹۵	۴۷/۸۹	۲/۶۱	۱۵۶	۲۸۸	$CTC(4, 3)$

جدول ۲.۴: مقایسه الگوریتم‌های محاسبه پایه گروبر در نرم‌افزارهای Maple، Sage و ApCoCoA

استفاده شده است. همان‌طور که مشاهده می‌شود سرعت محاسبه پایه گروبر در Singular بیشتر از Maple و در Maple بیشتر از ApCoCoA است. نتیجه دیگری که می‌توان گرفت این است که زمان حل دستگاه به‌دست آمده از CTC از بین دو پارامتر  $B$  و  $N$  به تغییرات  $N$  یعنی تعداد دورها حساسیت بیشتری نشان داده است، به‌طوری که زمان حل با استفاده از پایه گروبر وقتی تعداد دورها را افزایش می‌دهیم، بیشتر از زمانی است که با ثابت نگاه داشتن تعداد دورها، فقط تعداد جعبه‌های جانشینی را افزایش می‌دهیم.

### ۳.۴ حمله پایه مرزی

طبق قضیه ۶۵.۲، از فصل ۲، می‌دانیم که اگر ایده‌ال ترتیبی، از یک ترتیب یکجمله‌ای به‌دست آمده باشد، آن‌گاه پایه مرزی محاسبه شده نسبت به آن ایده‌ال ترتیبی، شامل پایه گروبر تحویل‌یافته نیز خواهد بود. بنابراین با محاسبه پایه مرزی نیز می‌توانیم دستگاه چندجمله‌ای را حل کنیم. در این بخش الگوریتم بهبودیافته پایه مرزی را شرح می‌دهیم که گزینه مناسب‌تری نسبت به نسخه عادی آن برای حمله به سامانه‌های رمزنگاری است.

**قضیه ۴۴.۴.** فرض کنید  $I = \langle f_1, \dots, f_m \rangle$  یک ایده‌ال صفربعدی از حلقه‌ی  $P = K[x_1, \dots, x_n]$  باشد. در این صورت الگوریتم ۲۳، یک ایده‌ال ترتیبی  $\mathcal{O}$  مجاز برای ایده‌ال  $I$  یافته، و  $\mathcal{O}$  - پایه‌ی مرزی  $I$  را محاسبه می‌کند.

□

**برهان.** رجوع کنید به [۴۵].

**مثال ۴۵.۴.** ایده‌ال  $I = \langle f_1, \dots, f_6 \rangle$  از حلقه‌ی  $\mathbb{F}_2[x, y, z]$  را که

$$f_1 = xy + xz + 1, f_2 = xz + yz + z, f_3 = xy + xz + y + 1, f_4 = x^2 + x, f_5 = y^2 + y, f_6 = z^2 + z$$



## الگوریتم ۲۳ بهبودیافته پایه مرزی

- ورودی ایده‌ال صفر بعدی  $I = \langle f_1, \dots, f_m \rangle$  از حلقه‌ی  $P = K[x_1, \dots, x_n]$  خروجی ایده‌ال ترتیبی پذیرفتنی  $\mathcal{O}$  و یک  $\mathcal{O}$  - پایه‌ی مرزی برای ایده‌ال  $I$ .
- ۱: فرض کنید  $U$  ایده‌ال ترتیبی تولید شده به وسیله‌ی  $\bigcup_{i=1}^m \text{Supp}(f_i)$  باشد. یک ترتیب یکجمله‌ای سازگار با درجه مثل  $\sigma$  انتخاب می‌کنیم.
  - ۲: مجموعه‌ی  $\{f_1, \dots, f_m\}$  را به یک پایه برای فضای برداری  $\langle f_1, \dots, f_m \rangle_K$  تقلیل می‌دهیم بطوری که همه یکجمله‌ای‌های پیشرو اعضای آن متمایز باشند و آن را با  $V$  نشان می‌دهیم.
  - ۳: پایه  $V$  برای  $\langle F \rangle_K$  را به پایه  $V \cup W'$  برای فضای برداری  $F^+$  گسترش می‌دهیم بطوری که اعضای  $V \cup W'$  دارای یکجمله‌ای‌های پیشرو متمایز باشند.
  - ۴:  $W = \{w \in W' \mid \text{LM}_\sigma(w) \in U\}$ .
  - ۵: اگر  $\bigcup_{w \in W} \text{Supp}(w) \not\subseteq U$ ،  $U$  را با یکجمله‌ای‌ها موجود در ایده‌ال ترتیبی تولید شده توسط  $\bigcup_{w \in W} \text{Supp}(w)$  گسترش داده و به گام ۴ می‌رویم.
  - ۶: اگر  $W \neq \emptyset$ ، آن‌گاه  $W$  را به  $V$  ضمیمه کرده و  $F^+$  را جایگزین  $F$  می‌کنیم. با گام ۳ ادامه می‌دهیم.
  - ۷: قرار می‌دهیم  $\mathcal{O} = U \setminus \text{LM}_\sigma(V)$ . اگر  $\partial \mathcal{O} \not\subseteq U$ ، آن‌گاه  $U^+$  را جایگزین  $U$  کرده و با گام ۳ ادامه می‌دهیم.
  - ۸: الگوریتم تحویل نهایی ۷، فراخوانی می‌شود که خروجی آن را با  $G = \{g_1, \dots, g_\nu\}$  نشان می‌دهیم.  $(G, \mathcal{O})$  خروجی نهایی هستند و الگوریتم متوقف می‌شود.

را در نظر بگیرید. با استفاده از الگوریتم پایه مرزی بهبود یافته ۲۳ صفرهای ایده‌ال  $I$  را می‌یابیم (شماره‌ها به ترتیب نیستند و نشان‌دهنده گامی از الگوریتم هستند که در آن مرحله اعمال می‌شود).

$$(1) \quad U = \mathbb{T}_{\leq 2}^3 \text{ و } \sigma = \text{degrevlex}$$

$$(2) \quad V = \{f_1, f_2, \tilde{f}_3, f_4, f_5, f_6\} \text{ که } \tilde{f}_3 = y \text{ پایه‌ای برای فضای برداری } \langle F \rangle_K \text{ است.}$$

$$(3) \quad V \cup W' = V \cup \{x + 1, z + 1, yz, x^3 + 1, x^2y, xy^2, y^3, x^2z + 1, xyz, y^2z, xz^2 + 1, yz^2, z^3 + 1\}$$

۱. پایه‌ای برای  $V \cup xV \cup yV \cup zV$  است.

$$(4) \quad W = \{x + 1, z + 1, yz\}$$

$$(6) \quad \text{قرار می‌دهیم } V = \{f_1, f_2, \tilde{f}_3, f_4, f_5, f_6, f_7, f_8, f_9\} \text{ که } f_7 = x + 1, f_8 = z + 1 \text{ و } f_9 = yz.$$

$$(3) \quad V \cup W' = V \cup \{x^3 + 1, x^2y, xy^2, y^3, x^2z + 1, xyz, y^2z, xz^2 + 1, yz^2, z^3 + 1\}$$

پایه‌ای برای  $V \cup xV \cup yV \cup zV$  است.

$$(4) \quad W = \emptyset \text{ داریم}$$

$$(7) \quad \text{قرار می‌دهیم } \mathcal{O} = U \setminus \text{LM}_\sigma(V) = \{1\} \text{ که در نتیجه } \partial \mathcal{O} = \{x, y, z\} \subseteq U$$

	$n$	$m$	BB.BBasis(.)	GBasis5(.)	تعداد جواب
$CTC(1, 1)$	۲۶	۱۵	۰/۰۳۱	۰/۰۱۵	۱
$CTC(2, 2)$	۹۸	۵۴	۲۱/۹۵۳	۰/۰۷۰	۱
$SR(1, 1, 1, 4)$	۳۶	۲۰	۲/۷۸	۰/۰۱۵	۲

جدول ۳.۴: مقایسه زمان حل دستگاه‌های چندجمله‌ای با استفاده از روش پایه گروبنر و روش پایه مرزی در نرم‌افزار ApCoCoA

(۸) با فراخوانی الگوریتم تحویل نهایی  $\gamma$ ،  $\mathcal{O}$ -پایه‌ی مرزی  $G = \{x+1, y, z+1\}$  برای ایده‌ال  $I$  به دست می‌آید. با توجه به پایه‌ی مرزی به دست آمده  $(1, 0, 1)$  تنها صفر ایده‌ال و در واقع تنها جواب معادله‌ی  $f_1 = \dots = f_6 = 0$  است.

یکی از مزیت‌های الگوریتم پایه‌ی مرزی نسبت به الگوریتم‌های پایه‌ی گروبنر این است که فضای محاسباتی الگوریتم ( $U$  در الگوریتم ۲۳) تا حد ممکن کوچک در نظر گرفته می‌شود و تا وقتی نیاز نباشد اندازه‌ی آن افزایش نمی‌یابد، این موضوع سبب می‌شود الگوریتم کنترل خوبی روی حافظه و زمان مورد نیاز برای اجرا داشته باشد. این در حالی است که الگوریتم‌های محاسبه پایه گروبنر کنترلی روی پایه در حال گسترش ندارند و این پایه می‌تواند به سرعت رشد کند که سبب مصرف بیشتر حافظه و افزایش زمان اجرا خواهد بود. البته باید اقرار کرد که تا کنون هیچ حمله‌ای با استفاده از پایه‌های مرزی گزارش نشده و رمزنگارها بیشتر از پایه‌های گروبنر برای حل دستگاه‌ها استفاده کرده‌اند و به همین جهت مطالعات بسیار کمتری در زمینه پایه‌های مرزی صورت گرفته است. اما دلایل فوق نشان می‌دهد پایه‌های مرزی شایسته تحقیقات بیشتری است و می‌تواند گزینه دیگری برای حمله به سامانه‌های رمزنگاری باشد. الگوریتم پایه مرزی تا کنون فقط در نرم‌افزار CoCoA [۹] پیاده سازی شده است. البته نسخه پیاده‌سازی شده در این نرم‌افزار هم نسخه‌ای عمومی برای محاسبه پایه مرزی ایده‌ال‌های صفر بعدی است و برای حمله‌های جبری بهینه‌سازی نشده است.

پس از آزمایش الگوریتم پیاده‌سازی شده در ApCoCoA، مشاهده شد که سرعت آن از الگوریتم‌های پایه گروبنر کمتر است. در جدول ۳.۴، زمان اجرای الگوریتم‌های پایه‌ی مرزی و پایه گروبنر برای حل دستگاه‌ها به دست آمده از  $CTC$  و  $SR$ ، به ازای یک زوج متن اصلی و رمز شده معلوم، آمده است. برای محاسبه پاسخ به روش پایه گروبنر از دستور GBasis5(.) و برای محاسبه پایه مرزی از دستور BB.BBasis(.) در نرم‌افزار ApCoCoA استفاده شده است. زمان‌ها بر حسب ثانیه و مربوط به اجرای الگوریتم روی رایانه با پردازنده  $1/6GHz$  و حافظه رم  $6GB$  است. مانند قبل  $m$  و  $n$  به ترتیب نشان‌دهنده تعداد معادلات و تعداد متغیرها هستند.

## ۴.۴ حمله برنامه‌ریزی عدد صحیح

در این بخش توجه خود را به حمله جبری مبتنی بر دستگاه‌های معادلات روی  $\mathbb{F}_2$  معطوف می‌کنیم. گرچه می‌توان نتایج به‌دست آمده را به میدان‌های متناهی دیگر هم تعمیم داد، ولی هدف ما تمرکز روی مفاهیم اصلی و کلیدی است. ما در این بخش قصد نداریم الگوریتم‌های حل مسئله برنامه‌ریزی خطی عدد صحیح را بررسی کنیم، بلکه هدف اصلی ما معرفی الگوریتم‌هایی برای تبدیل مسئله حل دستگاه معادلات چندجمله‌ای روی میدان  $\mathbb{F}_2$  به مسئله برنامه‌ریزی خطی عدد صحیح است تا به این ترتیب، از حل‌کننده‌های مسائل برنامه‌ریزی خطی برای حل دستگاه معادلات استفاده کنیم.

یک مسئله برنامه‌ریزی خطی عدد صحیح آمیخته (MILP) مسئله‌ای به‌صورت

$$\min z = cx + dy$$

$$s.t \quad Ax + By \leq b$$

$$x \geq 0, \quad x \in \mathbb{Z}_{\geq}^n.$$

$$y \geq 0, \quad y \in \mathbb{R}_{\geq}^p.$$

است که در آن  $c \in \mathbb{Q}^n, d \in \mathbb{Q}^p$  و  $A \in \mathbb{Q}^{m \times n}, B \in \mathbb{Q}^{m \times p}$  و  $b \in \mathbb{Q}^m$ . مجموعه

$$S := \{(x, y) \in \mathbb{Z}_{\geq}^n \times \mathbb{R}_{\geq}^p \mid Ax + By \leq b\}$$

را فضای شدنی یا موجه و به هر یک از نقاط آن نقطه شدنی یا موجه می‌گویند. مسئله MILP شدنی است هرگاه  $S \neq \emptyset$  و ناشدنی است هرگاه  $S = \emptyset$ . تابع  $z = cx + dy$  را تابع هدف گوئیم و هدف مسئله کمینه و یا بیشینه کردن مقدار تابع هدف است.

یک مسئله MILP یا دارای جواب بهینه است، یا بی‌کران و یا ناشدنی است. اگر به ازای هر  $w \in \mathbb{R}$  یک  $(x', y') \in S$  وجود داشته باشد بطوری که  $cx' + dy' < w$ ، آن‌گاه مسئله MILP را بی‌کران گوئیم. همچنین مسئله دارای جواب بهینه  $(x'', y'') \in S$  است هرگاه  $(x'', y'')$  تابع هدف را بهینه (بنا به نوع مسئله، کمینه یا بیشینه) کند. برای مثال در حالت کمینه سازی،  $(x'', y'') \in S$ ، یک جواب بهینه است هرگاه به ازای هر  $(x, y) \in S$ ، داشته باشیم،  $cx'' + dy'' \leq cx + dy$ .

حالت‌های خاصی از مسئله MILP، مسئله برنامه‌ریزی خطی (LP) و مسئله برنامه‌ریزی عدد صحیح محض (یا به اختصار برنامه ریزی صحیح) هستند. اگر در مسئله MILP،  $c = 0$ ، یعنی همه متغیرها پیوسته باشند، مسئله LP و اگر  $d = 0$ ، یعنی همه متغیرها صحیح باشند مسئله IP به‌دست می‌آید.

## روش حل مسئله برنامه‌ریزی عدد صحیح

روش‌های مختلفی برای حل مسئله IP وجود دارد ولی از آنجایی که هدف ما پرداختن به روش‌های حل این مسائل نیست تنها یک روش را به اختصار بیان می‌کنیم. این روش *انشعاب و تحدید* نام دارد که الگوریتم آن در زیر آمده است.

---

### الگوریتم ۲۴ الگوریتم انشعاب و تحدید برای حل مسئله‌ی IP

---

**ورودی** مسئله‌ی IP استاندارد.

**خروجی** پاسخ مسئله IP در صورت وجود.

۱: با برداشتن شرط صحیح بودن متغیرهای مسئله IP، مسئله LP متناظر با آن را به دست آورده و با  $P_0$  نمایش می‌دهیم.

۲: مسئله برنامه‌ریزی خطی  $P_0$  را با حل کننده‌های LP حل می‌کنیم و اگر همه متغیرها مقدار صحیح گرفتند توقف می‌کنیم. در غیر این صورت به گام ۳ می‌رویم.

۳: قرار می‌دهیم  $Z_L = +\infty$ .

۴: **انشعاب**: یکی از متغیرها مثل  $x_j = x_j^*$ ، که مقدار به دست آمده برای آن عدد صحیح نیست را انتخاب کرده، و دو مسئله فرعی  $P_1$  و  $P_2$  را به صورت زیر ایجاد می‌کنیم:

۱. مسئله  $P_1$ : همان مسئله  $P_0$  است، با این تفاوت که قید  $x_j \leq [x_j^*]$  به آن اضافه شده است.

۲. مسئله  $P_2$ : همان مسئله  $P_0$  است، با این تفاوت که قید  $x_j \geq [x_j^*] + 1$  به آن اضافه شده است.

۵: **تحدید**: مسائل به دست آمده  $P_1$  و  $P_2$  را حل کرده و بهترین مقداری که برای تابع هدف به ازای یک جواب موجه عدد صحیح برای ۲ مسئله  $P_1$  و  $P_2$  به دست آمده را جایگزین  $Z_L$  می‌کنیم.

۶: شاخه‌های فرعی در یکی از ۳ وضعیت زیر متوقف می‌شوند:

۱. تمام متغیرها مقداری صحیح بگیرند.

۲. مسئله‌ی فرعی ناشی از انشعاب نشدنی باشد.

۳. مقدار تابع هدف از مقدار  $Z_L$  بزرگتر شود.

۷: اگر تمام انشعاب‌ها به انتها برسند الگوریتم متوقف شده و مسئله‌ای که تابع هدف آن مساوی  $Z_L$  است انتخاب می‌کنیم، جواب این مسئله همان جواب بهینه است. در غیر این صورت به گام ۴ می‌رویم.

---

همان‌طور که مشاهده می‌شود، این الگوریتم مسئله برنامه‌ریزی عدد صحیح را با استفاده از حل کننده‌های برنامه‌ریزی خطی حل می‌کند. به این ترتیب اگر بتوانیم به نحوی مسئله حل دستگاه معادلات چندجمله‌ای را به مسئله برنامه‌ریزی عدد صحیح تبدیل کنیم، می‌توانیم از حل کننده‌های قدرتمند برنامه‌ریزی خطی نیز در حمله‌های جبری استفاده کنیم.

## ۱.۴.۴ تبدیل دستگاه معادلات چندجمله‌ای به مسئله برنامه‌ریزی خطی

فرض کنید  $P = \mathbb{F}_2[x_1, \dots, x_n]$  و  $f_1, \dots, f_m \in P$  چندجمله‌ای‌های ناصفر باشند. هدف ما حل دستگاه معادلات

$$f_1(x_1, \dots, x_n) = 0$$

$$\vdots$$

$$f_m(x_1, \dots, x_n) = 0.$$

است. برای رسیدن به این هدف الگوریتمی ارائه می‌دهیم که این مسئله را به مسئله برنامه‌ریزی عدد صحیح تبدیل کرده و سپس آن را با حل کننده‌های مسئله برنامه‌ریزی عدد صحیح حل می‌کند. برای بیان این الگوریتم ابتدا چند مفهوم مقدماتی را تعریف می‌کنیم.

تعریف ۴.۴.۶. فرض کنید  $n \geq 1$ .

۱. یکجمله‌ای  $t \in \mathbb{T}^n$  به صورت  $t = x_{i_1} \cdots x_{i_s}$  که  $1 \leq i_1 < i_2 < \cdots < i_s \leq n$ ، را مربع آزاد گوئیم. به همین ترتیب هر چندجمله‌ای که همه یکجمله‌ای‌هایش مربع آزاد باشند را مربع آزاد گوئیم.

۲. برای یک یکجمله‌ای مربع آزاد مثل  $t_j = x_{i_1} \cdots x_{i_s} \in \mathbb{T}^n$  که  $1 \leq i_1 < i_2 < \cdots < i_s \leq n$ ، مجموعه  $N_j = \{i_1, \dots, i_s\}$  را به صورت  $N_j$  تعریف می‌کنیم.

در ادامه این بخش متغیرهای حقیقی (یا صحیح) را با  $X_1, \dots, X_n$  و متغیرهای میدان  $\mathbb{F}_2$  را با  $x_1, \dots, x_n$  نمایش می‌دهیم.

تعریف ۴.۴.۷. (تبدیل استاندارد). نگاشت  $\varphi : \mathbb{F}_2 = \{\bar{0}, \bar{1}\} \rightarrow \{0, 1\} \subseteq \mathbb{R}$  را که  $\varphi(\bar{0}) = 0$  و  $\varphi(\bar{1}) = 1$  را تبدیل استاندارد گوئیم. تبدیل  $\varphi$  را می‌توانیم به صورت زیر توسعه دهیم.

$$\Phi : \mathbb{F}_2[x_1, \dots, x_n] \rightarrow \mathbb{R}[X_1, \dots, X_n]$$

$$c \mapsto \varphi(c)$$

$$x_i \mapsto X_i,$$

به طوری که  $c \in \mathbb{F}_2$  با توجه به تعریف فوق، به ازای هر  $f \in \mathbb{F}_2[x_1, \dots, x_n]$ ،  $\Phi(f)$  را نمایش استاندارد  $f$  گوئیم.

فرض کنید  $f_1, \dots, f_m \in \mathbb{F}_2[x_1, \dots, x_n]$  به ترتیب دارای نمایش‌های استاندارد  $F_1, \dots, F_m \in \mathbb{Z}[X_1, \dots, X_n]$  باشند. در این صورت می‌توانیم مسئله حل دستگاه  $f_1 = \cdots = f_m = 0$  را به مسئله

یافتن نقاط  $(a_1, \dots, a_n) \in \{0, 1\}^n$  که در شرایط

$$\begin{aligned} F_1(a_1, \dots, a_n) &\stackrel{?}{=} 0 \\ &\vdots \\ F_m(a_1, \dots, a_n) &\stackrel{?}{=} 0 \end{aligned} \quad (11.4)$$

صدق می‌کنند، تبدیل کنیم. بنابراین باید به دنبال جواب‌های  $(a_1, \dots, a_n) \in \mathbb{Z}_{\geq}^n$  از معادله‌ی ۱۱.۴، باشیم به طوری که به ازای هر  $i \in \{1, \dots, n\}$  داشته باشیم  $0 \leq a_i \leq 1$ . اکنون اگر بتوانیم به نحوی معادلات هم‌نهشتی ۱۱.۴، را به صورت مجموعه‌ای از برابری‌ها و نابرابری‌ها بیان کنیم، آن‌گاه حل دستگاه هم‌نهشتی با قیده‌ای مورد نظر به مسئله IP تبدیل می‌شود و می‌توانیم از حل‌کننده‌های IP برای حل مسئله استفاده کنیم. الگوریتم ۲۵ که در ادامه می‌آید، قادر است تمام مراحل فوق را انجام داده و جواب مسئله را بیابد.

گزاره ۴۸.۴. فرض کنید  $P = \mathbb{F}_2[x_1, \dots, x_n]$  و  $f_1, \dots, f_m \in P$ . در این صورت الگوریتم ۲۵ همه نقاط  $(a_1, \dots, a_n) \in \{0, 1\}^n$  را که کلاس مانده آن‌ها در  $\mathbb{F}_2^n$ ، صفرهای ایده‌ال رادیکال صفر بعدی

$$I = \langle f_1, \dots, f_m, x_1^2 + x_1, \dots, x_n^2 + x_n \rangle$$

هستند را محاسبه می‌کند.

**برهان.** چون به ازای هر  $\alpha = 1, \dots, n$ ، عدد صحیح نامنفی  $a_\alpha$  باید در نابرابری  $I'_\alpha$  صدق کند، لذا داریم  $a_\alpha \in \{0, 1\}$ . به طور مشابه، به ازای هر  $j$ ، نامساوی  $I_{j\alpha}$  نتیجه می‌دهد که  $a_{n+j} \leq a_\alpha$  و لذا  $a_{n+j} \in \{0, 1\}$ . علاوه بر این، اگر  $t_j = \prod_{\alpha \in N_j} x_\alpha \in S$  و به ازای یک  $\alpha \in N_j$ ، عدد  $a_\alpha$  برابر صفر باشد، آن‌گاه نابرابری  $I_{j\alpha}$ ، نتیجه می‌دهد که  $a_{n+j} = 0$ . از طرف دیگر، اگر به ازای هر  $\alpha \in N_j$  داشته باشیم  $a_\alpha = 1$ ، آن‌گاه نامساوی  $I_{n+j}$  نتیجه می‌دهد که  $a_{n+j} \geq 1$ . بنابراین  $a_{n+j}$  برابر است با مقدار  $t_j$  در نقطه‌ی  $(a_1, \dots, a_n)$ ، یعنی داریم  $a_{n+j} = \prod_{\alpha \in N_j} a_\alpha$ .

برقراری شرط  $F_i : \sum_j x_{n+j} + L_i - 2K_i = 0$  باعث می‌شود مقدار  $F_i = \Phi(f)$  در نقطه‌ی  $(a_1, \dots, a_n)$  زوج باشد، به عبارت دیگر داریم  $F_i(a_1, \dots, a_n) = 2K_i$ . در ضمن شرط  $I_i$  تأثیری در مقدار  $F_i$  نداشته و فقط کران بالایی، برابر با تعداد یکجمله‌ای‌های  $f_i$ ، برای  $K_i$  تعیین می‌کند. بنابراین جواب مسئله‌ی IP به دست آمده در الگوریتم ۲۵، به طور یکتا متناظر با جواب  $(a_1, \dots, a_n) \in \{0, 1\}^n$  از دستگاه معادلات  $F_1 = \dots = F_m = 0$  در  $\mathbb{Z}[x_1, \dots, x_n]$  است.  $\square$

**نکته ۴۹.۴.** الگوریتم ۲۵ را در نظر بگیرید. اگر به ازای یک تابع هدف دلخواه، بتوانیم یک جواب شدنی (نه لزوماً بهینه) برای مسئله‌ی IP متناظر با دستگاه معادلات چندجمله‌ای پیدا کنیم، آن‌گاه این جواب، در تمام قیده‌ها صدق می‌کند و در نتیجه جوابی برای دستگاه اصلی است. بنابراین مهم نیست جوابی که برای مسئله‌ی IP پیدا می‌کنیم یک جواب بهینه باشد، بلکه تنها کافی است

جوابی شدنی یا موجه باشد. لازم به ذکر است که نحوه‌ی انتخاب تابع هدف و جهت بهینه‌سازی (یعنی این که مسئله‌ی IP از نوع کمینه‌سازی باشد یا بیشینه‌ی سازی)، می‌تواند تأثیرات زیادی روی زمان اجرای الگوریتم ۲۵ داشته باشند. در [۶۶]، طی آزمایش‌هایی روی دستگاه‌های معادلات به‌دست آمده از سامانه‌ی رمز CTC، نشان داده شده که انتخاب تابع هدف و جهت بهینه‌سازی، به پارامترهایی از جمله ویژگی‌های دستگاه اصلی و نوع حل‌کننده بستگی دارد و نمی‌توان یک فرمول کلی برای آن‌ها بیان کرد. عامل دیگری که در سرعت اجرای الگوریتم ۲۵، تأثیر زیادی دارد، نوع محدودیتی است که برای متغیرهای مسئله IP در نظر می‌گیریم. از آنجایی که پیچیدگی حل مسئله‌ی MILP بیشتر تحت تأثیر تعداد متغیرهای صحیح است، معمولاً بهتر است تا آنجایی که می‌توانیم قیدهای صحیح بودن متغیرها را کم کنیم و آن‌ها را متغیرهای حقیقی در نظر بگیریم. با این وجود در [۶۶]، با انجام آزمایش‌هایی نشان داده شده که گاهی اوقات در یک نوع حل‌کننده IP، دودویی در نظر گرفتن متغیرها می‌تواند بیشتر از حقیقی در نظر گرفتن متغیرها سبب تسریع اجرای الگوریتم ۲۵ شود، در نتیجه این نکته که حل‌کننده از چه روشی برای حل مسئله IP استفاده می‌کند نیز در زمان اجرا و انتخاب پارامترهای مناسب تأثیر گذار است.

مثال ۵۰.۴. فرض کنید  $f_1, f_2, f_3 \in \mathbb{F}_2[x_1, x_2, x_3]$ ، به‌طوری‌که

$$f_1 = x_1x_2 + x_1x_3 + 1, f_2 = x_1x_3 + x_2x_3 + x_1 + x_3 + 1, f_3 = x_1x_2 + x_1x_3 + x_2 + 1.$$

با استفاده از الگوریتم ۲۵ به‌صورت گام‌به‌گام به حل دستگاه معادلات  $f_1 = f_2 = f_3 = 0$  می‌پردازیم.

۱. قرار می‌دهیم  $S_1 = \{x_1x_2, x_1x_3\}$ ،  $S_2 = \{x_1x_3, x_2x_3\}$  و  $S_3 = \{x_1x_2, x_1x_3\}$ . که در این صورت داریم

$$s_1 = 3, s_2 = 5, s_3 = 4; S = \{x_1x_2, x_1x_3, x_2x_3\}$$

۲. متغیرهای صحیح جدید  $K_1, K_2, K_3$  و سه شرط  $I_1: K_1 \leq 1$ ،  $I_2: K_2 \leq 2$  و  $I_3: K_3 \leq 2$  را در نظر می‌گیریم.

۳. متغیرهای صحیح جدید  $X_4, X_5, X_6$  را معرفی کرده و معادلات زیر را به قیدهای مسئله اضافه می‌کنیم.

$$F_1: X_4 + X_5 + 1 - 2K_1 = 0$$

$$F_2: X_5 + X_6 + X_1 + X_3 + 1 - 2K_2 = 0$$

$$F_3: X_4 + X_5 + X_2 + 1 - 2K_3 = 0$$

تعداد جواب	زمان GLPK	زمان GBasis5	$t$	$n$	$m$	$CTC(B, N)$
۱	۰/۰۱۰	۰/۰۷۰	۶۰	۵۴	۹۸	$CTC(2, 2)$
۱	۰/۲۰۰	۰/۳۷۵	۹۰	۷۸	۱۴۴	$CTC(2, 3)$
۱	۰/۷۰۰	۰/۵۳۹	۹۰	۸۱	۱۴۷	$CTC(3, 2)$
۱	۳/۳۰۰	۹/۲۰۸	۱۳۵	۱۱۷	۲۱۶	$CTC(3, 3)$
۱	۲۰/۷۰۰	۵۹۸/۸۲۸	۱۸۰	۱۵۳	۲۸۵	$CTC(3, 4)$

جدول ۴.۴: مقایسه حمله‌های جبری پایه گروبنر و برنامه‌ریزی عدد صحیح روی CTC

۴. نابرابری‌های خطی زیر را به قیدها اضافه می‌کنیم.

$$\begin{aligned}
 I_4 : X_1 + X_2 - X_4 &\leq 1, & I_{11} : X_1 &\geq X_4, & I_{12} : X_2 &\geq X_4, \\
 I_5 : X_1 + X_3 - X_5 &\leq 1, & I_{21} : X_1 &\geq X_5, & I_{23} : X_3 &\geq X_5, \\
 I_6 : X_2 + X_3 - X_6 &\leq 1, & I_{32} : X_2 &\geq X_6, & I_{33} : X_3 &\geq X_6.
 \end{aligned}$$

۵. قیدهای جدید  $I'_1 : X_1 \leq 1$ ،  $I'_2 : X_2 \leq 1$  و  $I'_3 : X_3 \leq 1$  را معرفی می‌کنیم.

۶. تابع هدف را برابر با  $C = X_1 + X_2 + X_3$  انتخاب می‌کنیم. اکنون از یک حل‌کننده‌ی IP برای کمینه کردن  $C$  تحت قیدهای  $\{I_1, \dots, I_6, F_1, F_2, F_3, I_{11}, I_{12}, I_{21}, I_{23}, I_{32}, I_{33}, I'_1, I'_2, I'_3\}$  استفاده می‌کنیم.

۷. حل‌کننده‌ی مسئله‌ی IP جواب  $(X_1, X_2, X_3) = (1, 0, 1)$  را به دست می‌دهد.

مثال ۵۱.۴. الگوریتم رمزنگاری CTC به ازای یک زوج متن اصلی و رمز شده معلوم را در نظر بگیرید. در جدول ۴.۴، مقایسه‌ای بین حمله جبری مبتنی بر پایه گروبنر و حمله جبری با استفاده از روش برنامه‌ریزی با عدد صحیح، صورت گرفته است. برای محاسبه پایه گروبنر از دستور GBasis5(.) در نرم‌افزار ApCoCoA، و برای حل مسئله برنامه‌ریزی با عدد صحیح متناظر با دستگاه معادلات استخراج شده از CTC، که توسط الگوریتم ۲۵ به دست آمده، از بسته‌ی نرم‌افزاری GLPK [۶۵] استفاده شده است. در ضمن زمان‌های گزارش شده بر حسب ثانیه، و محاسبات با استفاده از یک رایانه با پردازنده  $1/6GHz$  و حافظه رم  $6GB$  انجام شده است.  $m$  و  $n$  در جدول فوق به ترتیب تعداد معادلات و تعداد مجهولات متناظر با  $CTC(B, N)$  را نشان می‌دهد و پارامتر  $t$  بیان‌گر تعداد یکجمله‌ای‌های غیر خطی ظاهر شده در معادلات است.

در دستگاه‌های به دست آمده در جدول ۴.۴، تعداد یکجمله‌ای‌های غیر خطی از تعداد معادلات کمتر است و همان‌طور که مشاهده می‌شود در همه این حالات روش برنامه‌ریزی با عدد صحیح سریع‌تر از روش پایه گروبنر عمل می‌کند. اما این نتیجه‌گیری برای دستگاه‌هایی که تعداد یکجمله‌ای‌های غیر خطی آن‌ها بیشتر از تعداد معادلات باشد صحیح نیست و همان‌طور که در [۴۳] نیز اشاره شده است، در چنین مواردی روش پایه گروبنر بهتر از روش برنامه‌ریزی با عدد صحیح عمل خواهد



کرد.

## ۵.۴ حمله جبری مبتنی بر مسئله صدق‌پذیری

در این بخش دستگاه معادلات به‌دست آمده از سامانه رمزنگاری را به مسئله صدق‌پذیری تبدیل می‌کنیم و سپس با استفاده از حل‌کننده‌های مسئله صدق‌پذیری جواب مسئله صدق‌پذیری و در نتیجه جواب دستگاه معادلات را به‌دست می‌آوریم. فرض کنید مجموعه متغیرهای بولی (منطقی) را با  $X = \{X_1, \dots, X_n\}$  و مجموعه شامل همه گزاره‌های منطقی مرکب از متغیرهای  $X_i$  و عمل‌های  $\neg$  و  $\vee$  (یا نقیض) را با  $\hat{X}$  نمایش دهیم.

**تعریف ۵۲.۴ (مسئله صدق‌پذیری).** فرض کنید  $\hat{X}$  مجموعه شامل همه گزاره‌های منطقی مرکب از متغیرهای منطقی  $X = \{X_1, \dots, X_n\}$  و عمل‌گرهای  $\neg$  و  $\vee$  باشد. در مسئله صدق‌پذیری که یک مسئله تصمیم است، سؤال این است که، آیا می‌توان به متغیرهای منطقی یک گزاره‌ی منطقی مثل  $P \in \hat{X}$  طوری مقادیر منطقی «true» و «false» نسبت داد تا گزاره‌ی منطقی مرکب  $P$ ، «true» باشد؟ به این ترتیب یک فرمول یا گزاره منطقی  $P \in \hat{X}$  صدق‌پذیر است، اگر بتوان متغیرهای منطقی آن را طوری مقداردهی کرد که ارزش منطقی آن گزاره درست باشد، در غیر این صورت آن را صدق‌ناپذیر گوئیم. برای مثال گزاره منطقی  $P = (X_1 \vee \neg X_2 \vee \neg X_3) \wedge (\neg X_1 \vee X_2 \vee X_4)$  صدق‌پذیر است زیرا اگر قرار دهیم  $X_1 = \text{true}, X_2 = \text{false}, X_3 = \text{false}, X_4 = \text{true}$  و  $P = \text{true}$  آن‌گاه

**تعریف ۵۳.۴ (صورت متعارف عطفی).** یک گزاره منطقی مرکب  $P \in \hat{X}$  زمانی دارای صورت متعارف عطفی است که، از ترکیب عطفی چند گزاره مرکب فصلی تشکیل شده باشد. به عبارت دیگر صورت متعارف عطفی یک گزاره منطقی مثل  $P \in \hat{X}$  به صورت زیر است.

$$P = \bigwedge_{i=1}^m \left( \bigvee_{j=1}^{k_i} l_{ij} \right); \quad m, k_i \in \mathbb{N}, \quad l_{ij} \in \{X_t, \neg X_t : t = 1, \dots, n\}.$$

به هر یک از  $l_{ij}$  ها یک لیترال و به هر یک از گزاره‌های داخل پرانتز که ترکیب فصلی چند لیترال هستند یک بند می‌گوییم.

**تعریف ۵۴.۴ (صورت متعارف فصلی).** گزاره منطقی  $P \in \hat{X}$  زمانی دارای صورت متعارف فصلی است که از ترکیب فصلی چند گزاره مرکب عطفی تشکیل شده باشد. به عبارت دیگر صورت متعارف فصلی گزاره منطقی  $P \in \hat{X}$  به صورت زیر تعریف می‌شود

$$P = \bigvee_{i=1}^m \left( \bigwedge_{j=1}^{k_i} l_{ij} \right); \quad m, k_i \in \mathbb{N}, \quad l_{ij} \in \{X_t, \neg X_t : t = 1, \dots, n\}.$$

به روش‌های مختلفی نظیر استفاده از قوانین دمورگان یا جدول ارزش می‌توان صورت متعارف عطفی یا فصلی هر گزاره منطقی را به دست آورد. یکی از این روش‌ها استفاده از قاعده‌ای موسوم به بسط شانون است. فرض کنید  $F(X_1, \dots, X_n)$  یک گزاره منطقی متشکل از متغیرهای  $X_i$  باشد، در این صورت به ازای هر  $i \in \{1, \dots, n\}$  می‌توان  $F$  را به صورت

$$F(X_1, \dots, X_n) = (\neg X_i \vee f(X_1, \dots, X_{i-1}, 1, X_{i+1}, \dots, X_n)) \wedge (X_i \vee f(X_1, \dots, X_{i-1}, 0, X_{i+1}, \dots, X_n)),$$

یا به صورت

$$F(X_1, \dots, X_n) = (X_i \wedge f(X_1, \dots, X_{i-1}, 1, X_{i+1}, \dots, X_n)) \vee (\neg X_i \wedge f(X_1, \dots, X_{i-1}, 0, X_{i+1}, \dots, X_n)),$$

که  $1 = \text{true}$  و  $0 = \text{false}$  نمایش داد. این روش بسط دادن گزاره‌های منطقی، به بسط شانون معروف است. با تکرار اولین قاعده می‌توان صورت متعارف عطفی گزاره  $F$  را به صورت زیر به دست آورد.

$$\begin{aligned} F(X_1, \dots, X_n) &= (F(0, 0, \dots, 0) \vee X_1 \vee X_2 \vee \dots \vee X_n) \wedge \\ &\quad (F(1, 0, \dots, 0) \vee \neg X_1 \vee X_2 \vee \dots \vee X_n) \wedge \\ &\quad \dots \\ &\quad (F(1, 1, \dots, 1) \vee \neg X_1 \vee \neg X_2 \vee \dots \vee \neg X_n). \end{aligned}$$

به طور مشابه و با تکرار قاعده دوم می‌توانیم صورت متعارف فصلی هر گزاره منطقی را نیز به دست آوریم.

#### ۱.۵.۴ الگوریتم‌های حل مسئله صدق‌پذیری

در این بخش به طور مختصر به بررسی دو دسته از الگوریتم‌های حل کننده مسئله صدق‌پذیری می‌پردازیم که با وجود قدمت و سادگی هنوز هم پایه و اساس بسیاری از الگوریتم‌های نوین هستند. الگوریتم‌های حل کننده مسئله صدق‌پذیری به دو دسته کامل و ناتمام یا ناکامل تقسیم می‌شوند. الگوریتم‌های کامل الگوریتم‌هایی هستند که پس از متناهی مرحله خاتمه می‌یابند در حالی که صدق‌پذیر یا صدق‌ناپذیر بودن مسئله صدق‌پذیری داده شده را مشخص می‌کنند، اما الگوریتم‌های ناتمام یا ناکامل الگوریتم‌هایی هستند که پس از متناهی مرحله خاتمه می‌یابند ولی تضمینی نیست

صدق‌پذیری یا صدق‌ناپذیری مسئله داده شده را مشخص کنند، به عبارت دیگر خروجی چنین الگوریتم‌هایی یا اعلام صدق‌پذیری مسئله داده شده است یا این که بدون هیچ نتیجه‌ای به پایان می‌رسند. در ابتدا دو الگوریتم ناتمام یا ناکامل و سپس سه الگوریتم کامل، که از اهمیت بیشتری برخوردار بوده و در الگوریتم‌های نوین نیز مورد استفاده قرار می‌گیرند را بررسی می‌کنیم.

### الگوریتم‌های GSAT و WalkSAT

یک گزاره منطقی به صورت متعارف عطفی مثل  $F$  را در نظر بگیرید، فرض کنید ابتدا همه متغیرها را به صورت تصادفی و با احتمال یکسان با مقادیر ۰ و ۱ مقداردهی کنیم، به ازای این انتساب، مقدار برخی از بندها ۱ و مقدار برخی دیگر ۰ خواهد بود، بندهایی که مقدار آن‌ها ۱ است را بند صادق و بندهایی که مقدار ۰ می‌گیرند را بند ناصداق می‌گوییم. طبیعی است که برای تبدیل یک گزاره ناصداق به گزاره صادق باید حداقل مقدار یکی از متغیرهای به کار رفته در آن بند را تغییر دهیم. به همین دلیل فرض کنید در گام بعد یکی از بندهای ناصداق را با احتمال یکنواخت انتخاب کرده و سپس به تصادف (باز هم با احتمال یکنواخت) مقدار یکی از متغیرهای به کار رفته در آن بند ناصداق را تغییر دهیم. به این ترتیب بند ناصداق انتخاب شده به بند صادق تبدیل می‌شود. این کار را تا جایی ادامه می‌دهیم که همه بندها (در صورت امکان) به بند صادق تبدیل شوند. گرچه این فرآیند برای تعیین صدق‌پذیری یک گزاره داده شده بسیار ساده است و ممکن است در صورت صدق‌ناپذیری گزاره داده شده اصلاً به پایان نرسد، ولی پاپادیمیتریو<sup>۱۲</sup> و استایگلitz<sup>۱۳</sup> در سال ۱۹۸۲ در [۵۶]، نشان دادند که، اگر یک گزاره منطقی داده شده به صورت متعارف عطفی با حداکثر دو متغیر در هر بند ( $2CNF$ ) و صدق‌پذیر باشد، ای روش قادر است در زمان  $O(n^2)$  یک انتساب مقادیر مناسب برای گزاره داده شده بیابد که  $n$  تعداد کل متغیرهای به کار رفته در گزاره مورد نظر است. ۱۰ سال بعد، الگوریتم GSAT<sup>۱۴</sup> معرفی شد که در آن به جای انتخاب تصادفی، یک روش حریصانه برای انتخاب متغیری که مقدارش باید تغییر کند در نظر گرفته شد.

الگوریتم GSAT که در سال ۱۹۹۲ توسط سلمن و همکاران در [۵۸] معرفی شد، در زمره الگوریتم‌های ناتمام یا ناکامل قرار می‌گیرد. الگوریتم GSAT چنانچه جزئیات آن در الگوریتم ۲۶ نشان داده شده است، با یک تخصیص مقدار تصادفی برای متغیرهای گزاره داده شده  $F$ ، آغاز می‌شود. با جایگذاری هر یک از مقادیر تخصیص داده شده به جای متغیرهای به کار رفته در بندهای  $F$  برخی از بندها صادق و برخی ناصداق خواهند بود. طبیعی است که  $F$  زمانی صدق‌پذیر است که به ازای تخصیص مقادیر انتخاب شده، همه بندها صادق باشند. الگوریتم GSAT بعد از تخصیص اولیه که به صورت تصادفی به هر یک از متغیرها یکی از مقادیر ۰ یا ۱ را با احتمال یکسان نسبت می‌دهد، مقادیر تخصیص داده شده به هر یک از متغیرهای منطقی را طوری تغییر می‌دهد

<sup>12</sup>Papadimitriou

<sup>13</sup>Steiglitz

<sup>14</sup>Greedy SAT

که این تغییرات سبب بزرگترین تغییر در جهت کاهش تعداد بندهای ناصداق شود. از آنجایی که هر بار فقط مقدار یکی از متغیرها تغییر می‌کند لذا تخصیص جدید فقط در مقدار یک متغیر با تخصیص قبلی متمایز است و فاصله همینگ دو تخصیص پی‌درپی ۱ خواهد بود، به همین دلیل این الگوریتم نمونه‌ای از الگوریتم‌های جست‌وجوی محلی محسوب می‌شود چرا که جست‌وجو برای یافتن یک تخصیص مناسب در همسایگی با فاصله‌ی همینگ ۱ از تخصیص قبلی صورت می‌گیرد. این روند تا جایی ادامه می‌یابد که شرط توقف حاصل شود. الگوریتم GSAT زمانی خاتمه می‌یابد که  $\sigma$ ، یک انتساب رضایت‌بخش باشد و به‌ازای آن  $F|_{\sigma} = 1$ ، یا این که شمارنده  $i$  به  $n_{restart}$  برسد که در این صورت الگوریتم به شکست انجامیده است. بنابراین تضمینی وجود ندارد که GSAT بتواند صدق‌پذیری یا صدق‌ناپذیری گزاره داده شده را تعیین کند. به عبارت دیگر اگر GSAT، یک انتساب رضایت‌بخش بیابد مطمئن خواهیم شد که گزاره داده شده صدق‌پذیر است ولی وقتی الگوریتم به شکست می‌انجامد نمی‌توان با قطعیت گفت گزاره داده شده صدق‌ناپذیر بوده است.

$k_v$  که در خط ۱۰ الگوریتم ۲۶ محاسبه می‌شود، می‌تواند منفی هم باشد. هر چه  $k_v$  متناظر با یک متغیر کوچک‌تر باشد، نشان‌دهنده این است که تغییر مقدار آن متغیر سبب کاهش تعداد بیشتری از بندهای ناصداق می‌شود. پارامتر  $n_{restart}$  برای اطمینان یافتن از خاتمه الگوریتم بعد از تعدادی متناهی مرحله است و تعداد از سرگیری‌های الگوریتم را نشان می‌دهد. پارامتر  $n_{flip}$  نشان‌دهنده تعداد دفعاتی است که در هربار از سرگیری الگوریتم، باید یک متغیر را انتخاب و مقدار آن را تغییر دهیم. سلْمَن و همکاران در [۵۸] نشان دادند که الگوریتم GSAT، در دسته‌ای از مسائل صدق‌پذیری، نسبت به الگوریتم‌های کامل زمان خود (DP [۲۸]) عملکرد بهتری داشته است.

حالتی را در نظر بگیرید که طی چند گام متوالی در GSAT، تعداد بندهای ناصداق دست‌نخورده باقی بماند و پیشرفتی در روند حل حاصل نشود، این سؤال پیش می‌آید که در عمل، سرانجام چنین حالاتی چیست؟ آیا ممکن است بعد از متناهی مرحله به حالتی رسید که باز هم تعداد بندهای ناصداق کاهش یابد؟ فرانک<sup>۱۵</sup> و همکاران در [۳۵]، با انجام آزمایش‌هایی نشان دادند که، تقریباً در همه مواردی که با چنین وضعیتی روبرو می‌شویم، بعد از متناهی مرحله به حالتی مشابه ولی با تعداد بندهای ناصداق کمتر می‌رسیم، یعنی در وضعیت جدید نیز با دنباله‌ای از گام‌های متوالی مواجه می‌شویم که تعداد بندهای ناصداق در آن‌ها یکسان، ولی تعداد بندهای ناصداق در این وضعیت نسبت به وضعیت قبلی کمتر است. آن‌ها نشان دادند در موارد بسیار نادری نیز ممکن است الگوریتم GSAT در وضعیتی قرار بگیرد که دنباله‌ی گام‌ها با تعداد بندهای ناصداق یکسان، به هیچ حالتی با تعداد بند ناصداق کمتر ختم نشود، چنین حالاتی را کمینه موضعی می‌گوییم و وقتی الگوریتم در چنین وضعیتی قرار بگیرد بعد از متناهی مرحله به شکست خواهد انجامید.

<sup>15</sup>Frank

آزمایش‌ها همچنین نشان می‌داد که در ابتدای اجرای GSAT، روند کاهش تعداد بندهای ناصادق سریع است ولی بعد از مدتی الگوریتم بیشتر زمان خود را در دنباله گام‌ها با تعداد بندهای ناصادق یکسان می‌گذراند. به دنبال نتایج به دست آمده تلاش‌های زیادی برای فرار از وضعیت‌های کمینه موضعی و بهبود زمان اجرای الگوریتم GSAT صورت گرفت که یکی از بهترین پیشنهادات الگوریتم WalkSAT بود.

الگوریتم WalkSAT نیز در دسته الگوریتم‌های ناتمام یا ناکامل قرار می‌گیرد که توسط سلَمَن و همکاران در سال ۱۹۹۶ در [۵۹]، معرفی شد. در این الگوریتم روش انتخاب متغیری که قرار است مقدار آن تغییر کند با الگوریتم GSAT متفاوت است. فرض کنید  $breakcount_x$  نشان‌دهنده تعداد بندهایی باشد که با تغییر مقدار فعلی متغیر  $x$ ، از حالت صادق به حالت ناصادق درمی‌آیند، در این صورت جزئیات الگوریتم WalkSAT به صورت نشان داده شده در الگوریتم ۲۷ است. همان‌طور که مشاهده می‌شود، در الگوریتم ۲۷، متغیری که قرار است مقدارش تغییر کند از بین متغیرهای یک بند ناصادق و به دو صورت مختلف انتخاب می‌شود، به طوری که با احتمال  $p_{noise}$  این کار به صورت تصادفی، و با احتمال  $1 - p_{noise}$  با روشی حریصانه و مشابه روش الگوریتم GSAT، صورت می‌گیرد. در این میان متغیرهایی که با تغییر مقدار آن هیچ بند صادقی به بند ناصادق تبدیل نمی‌شود، در اولویت قرار دارند و در صورت وجود چنین متغیری فقط مقدار آن را تغییر می‌دهیم و گام‌های ۱۰ و ۱۱ الگوریتم ۲۷ اجرا نخواهند شد. این الگوریتم نیز مانند GSAT ناتمام است و در صورت صدق‌ناپذیر بودن گزاره داده شده، حتماً به شکست می‌انجامد ولی عکس این موضوع درست نیست. به عبارت دیگر اگر WalkSAT یک انتساب رضایت‌بخش بازگرداند، مطمئن می‌شویم که گزاره داده شده صدق‌پذیر است ولی در حالتی که الگوریتم به شکست می‌انجامد، راجع به صدق‌پذیری گزاره داده شده نمی‌توانیم با اطمینان قضاوت کنیم. در ادامه به بررسی الگوریتم‌های کامل می‌پردازیم که در الگوریتم‌های نوین بیشتر مورد توجه قرار گرفته‌اند.

## الگوریتم DP

الگوریتم DP که در دسته الگوریتم‌های کامل قرار می‌گیرد، در سال ۱۹۶۰ توسط دیویس<sup>۱۶</sup> و پاتِنم<sup>۱۷</sup>، در [۲۵] معرفی شد. برای شرح این الگوریتم و سایر الگوریتم‌های کاملی که در این بخش معرفی می‌شود یک شیوه نمایش مجموعه‌ای، برای صورت متعارف عطفی معرفی می‌کنیم. در این نحوه نمایش هر بند مثل  $l_1 \vee \dots \vee l_m$  را با مجموعه  $\{l_1, \dots, l_m\}$  و هر گزاره به صورت متعارف عطفی مثل  $C_1 \wedge \dots \wedge C_n$  را با مجموعه  $\{C_1, \dots, C_n\}$  نمایش می‌دهیم برای مثال صورت

<sup>16</sup>Davis

<sup>17</sup>Putnam

متعارف عطفی زیر

$$P = (X_1 \vee X_2 \vee \neg X_3) \wedge (\neg X_1 \vee X_4) \wedge (X_2 \vee X_3 \vee X_4)$$

به صورت مجموعه

$$P = \{\{X_1, X_2, \neg X_3\}, \{\neg X_1, X_4\}, \{X_2, X_3, X_4\}\}$$

نیز نمایش داده می‌شود. دو عملگر مهمی که جهت ساده‌سازی و حذف متغیرهای گزاره‌های منطقی در الگوریتم DP مورد استفاده قرار می‌گیرند عبارت‌اند از رفع و استنتاج، که در ادامه آن‌ها را تعریف می‌کنیم.

**تعریف ۵۵.۴ (عمل گر رفع).** فرض کنید  $C_1 = \bigvee_{j=1}^m l_{1,j}$  و  $C_2 = \bigvee_{j=1}^n l_{2,j}$  دو گزاره به صورت ترکیب فصلی باشند که  $l_{1,j}$  و  $l_{2,j}$  ها لیتراهای منطقی هستند. همچنین فرض کنید که دقیقاً به ازای یک زوج  $(p, q)$  که  $1 \leq p \leq m$  و  $1 \leq q \leq n$  داشته باشیم  $l_{1,p} = \neg l_{2,q}$  در این صورت حاصل رفع دو گزاره را که با  $C_1 \odot C_2$  نمایش می‌دهیم به صورت زیر تعریف می‌شود.

$$C_1 \odot C_2 = l_{1,1} \vee \dots \vee l_{1,p-1} \vee l_{1,p+1} \vee \dots \vee l_{1,m} \vee l_{2,1} \vee \dots \vee l_{2,q-1} \vee l_{2,q+1} \vee \dots \vee l_{2,n}.$$

در واقع رفع دو گزاره  $C_1$  و  $C_2$  شامل همه لیتراهای  $C_1$  و  $C_2$  به جز دو لیترا نقیض هم است، که در دو گزاره وجود دارند. به متغیر متناظر با لیترا حذف شده در رفع دو گزاره متغیر محوری می‌گوییم.

با توجه به تعریف عمل گر رفع<sup>۱۸</sup> روشن است که  $C_1 \wedge C_2$  به لحاظ منطقی  $C_1 \odot C_2$  را نتیجه می‌دهد، به عبارت دیگر گزاره  $C_1 \odot C_2 \Rightarrow C_1 \wedge C_2$  در صورتی که رفع  $C_1$  و  $C_2$  قابل تعریف باشد، برقرار است. در نتیجه اگر  $F$  یک گزاره منطقی به صورت متعارف عطفی و  $C'$  گزاره‌ای باشد که از رفع دو گزاره  $C_1, C_2 \in F$  به دست آمده باشد آن‌گاه  $F$  صدق‌پذیر است اگر و تنها اگر  $F \cup C'$  صدق‌پذیر باشد. بنابراین افزودن بندهای حاصل از رفع بندهای موجود در یک گزاره متعارف عطفی، صدق‌پذیری مسئله را دچار تغییر نمی‌کند.

در ادامه عمل گر استنتاج را تعریف می‌کنیم که اعمال آن پس از عمل گر رفع سبب سادگی و کوچک‌تر شدن صورت متعارف عطفی می‌شود.

**تعریف ۵۶.۴ (عمل گر استنتاج).** فرض کنید  $C_1$  و  $C_2$  دو بند از صورت متعارف عطفی  $F = \bigwedge_{i=1}^n C_i$  باشند به طوری که  $C_2 \subset C_1$ ، در این صورت، استنتاج  $C_1$  و  $C_2$  به صورت  $C_1 \boxdot C_2 := C_1$  تعریف می‌شود.

<sup>18</sup>resolution

روشن است که اگر  $C_1 \subset C_2$  و  $C_2$  صدق‌پذیر باشد، آن‌گاه  $C_1$  نیز صدق‌پذیر است و بالعکس. بنابراین بدون این که صدق‌پذیری گزاره تغییر کند می‌توانیم بندهای بزرگ‌تر که شامل بندهای دیگر هستند را حذف کنیم.

**مثال ۵۷.۴.** گزاره  $F = C_1 \wedge C_2$  را که  $C_1 = X_1 \vee X_2 \vee X_3$  و  $C_2 = \neg X_1 \vee X_2 \vee X_3$ ، در نظر بگیرید، فرآیند ساده‌سازی با استفاده از دو عمل‌گر رفع و استنتاج در زیر نشان داده شده است.

$$F = (X_1 \vee X_2 \vee X_3) \wedge (\neg X_1 \vee X_2 \vee X_3) \text{ : گزاره اولیه}$$

$$(X_1 \vee X_2 \vee X_3) \wedge (\neg X_1 \vee X_2 \vee X_3) \wedge (X_2 \vee X_3) \text{ : رفع}$$

$$(X_2 \vee X_3) \text{ : استنتاج}$$

اگرچه گزاره  $(X_2 \vee X_3)$  از لحاظ منطقی معادل  $F$  نیست ولی همان‌طور که قبلاً هم ذکر شد از لحاظ صدق‌پذیری با  $F$  معادل است، ضمن این که بسیار ساده‌تر و کوچک‌تر از  $F$  است.

در نمایش مجموعه‌ای صورت متعارف عطفی، رفع دو گزاره  $C_1$  و  $C_2$  را در صورتی که  $X$  متغیر محوری رفع باشد، می‌توانیم به صورت زیر نمایش دهیم

$$C_1 \odot C_2 := \{l \in C_1 \cup C_2 \mid l \neq X, l \neq \neg X\}.$$

در الگوریتم DP، صدق‌پذیری یک صورت متعارف عطفی داده شده بر اساس حذف متوالی متغیرها با استفاده از عمل رفع، بررسی می‌شود. صورت متعارف عطفی داده شده به الگوریتم، پس از متناهی مرحله و حذف پی‌درپی متغیرها، سرانجام یا تهی خواهد شد یا شامل یک مجموعه تهی خواهد بود، که در حالت اول مسئله صدق‌پذیر و در حالت دوم مسئله صدق‌ناپذیر است. فرض کنید مجموعه لیتراهای یک گزاره به صورت متعارف عطفی مثل  $F$  را با  $\text{Lit}(F)$  و مجموعه متغیرهای آن را با  $\text{Vars}(F)$  و مجموعه بندهای آن را با  $\text{Clauses}(F)$  نمایش دهیم. در ضمن فرض کنید به ازای هر  $C_1, C_2 \in F$  و هر  $X \in \text{Vars}(F)$  تابع  $\text{IsPossibleResol}(C_1, C_2, X)$  را به صورت زیر تعریف کنیم.

$$\text{IsPossibleResol}(C_1, C_2, X) = \begin{cases} \text{true} & \text{و } C_2 \text{ نسبت به متغیر محوری } X \text{ رفع‌پذیر باشند} \\ \text{false} & \text{در غیر این صورت} \end{cases}$$

در این صورت، روش کار DP به صورت نشان داده شده در الگوریتم ۲۸ است. در این جا قصد نداریم درستی الگوریتم ۲۸ را ثابت کنیم، در عوض به طور مختصر به دلیل هر یک از مراحل الگوریتم اشاره می‌کنیم. گزاره منطقی  $F$  را در نظر بگیرید. اگر یک بند از گزاره فقط شامل یک لیترال باشد، اصطلاحاً به آن بند، بند منفرد می‌گویند. حال اگر یک گزاره شامل یک بند منفرد

باشد، بدیهی است که متغیر متناظر با آن بند باید طوری مقدار دهی شود که ارزش آن بند true باشد. برای مثال فرض کنید بند  $C = \{l\}$  یک بند از  $F$  و  $l \in \text{Lit}(F)$ ، در این صورت باید داشته باشیم  $l = \text{true}$  که در نتیجه آن همه بندهای شامل  $l$  نیز دارای ارزش منطقی true خواهند بود، به این ترتیب مسئله صدق‌پذیری  $F$  به مسئله صدق‌پذیری  $F|_{l=\text{true}}$  تحویل می‌یابد. در ضمن روشن است که می‌توانیم همه لیترال‌های  $\neg l$  را از بین تمام بندهای موجود حذف کنیم، به این ترتیب با انجام دو عملیات فوق یک گزاره منطقی ساده‌تر، ولی از لحاظ صدق‌پذیری معادل با  $F$  به دست می‌آید. این عملیات که در خطوط ۵ و ۶ الگوریتم ۲۸ انجام می‌شود به قاعده بند منفرد معروف است.

فرض کنید تنها یک صورت از لیترال  $l$  در گزاره منطقی  $F$  وجود داشته باشد، یعنی تنها یکی از حالات  $l \in \text{Lit}(F)$  یا  $\neg l \in \text{Lit}(F)$  رخ دهد، به چنین لیترال‌هایی لیترال‌های محض می‌گوییم و روشن است که، یک تخصیص مقادیر برای متغیرهای  $F$  که منجر به صدق‌پذیری  $F$  شود وجود دارد اگر و تنها اگر، تخصیصی وجود داشته باشد که به ازای آن ضمن این که  $F$  صدق‌پذیر است داشته باشیم  $l = \text{true}$ . در نتیجه با حذف همه لیترال‌های محض  $F$ ، به مسئله صدق‌پذیری کوچکتری که از لحاظ صدق‌پذیری با  $F$  معادل است دست می‌یابیم. عمل حذف لیترال‌های محض  $F$  که در گام‌های ۸ و ۹ الگوریتم ۲۸ انجام می‌شود را قاعده لیترال محض می‌نامیم.

در گام‌های ۱۲ تا ۱۸ الگوریتم ۲۸ عمل رفع بین گزاره‌هایی که رفع آن‌ها امکان‌پذیر است انجام می‌شود و حاصل رفع آن‌ها نسبت به متغیری که در خط ۱۱ به تصادف انتخاب شده است، به مجموعه بندهای موجود اضافه می‌شود، سپس در خطوط ۱۹ تا ۲۱ تمام بندهای شامل متغیر انتخاب شده حذف می‌شوند. با توجه به این که حذف بندها طوری انجام می‌شود که صدق‌پذیری گزاره اولیه تغییر نکند، لذا گزاره‌ای که در پایان الگوریتم به دست آید از لحاظ صدق‌پذیری با گزاره اولیه معادل است. به این ترتیب اگر مجموعه متناظر با گزاره نهایی تهی باشد، گزاره اصلی صدق‌پذیر، و اگر در فرآیند رفع، بند تهی به دست آید، گزاره صدق‌ناپذیر خواهد بود.

همان‌طور که مشاهده می‌شود، طراحی الگوریتم ۲۸ به گونه‌ای است که طی مراحل متوالی متغیرهای موجود، از گزاره به دست آمده از مراحل قبل حذف می‌شوند، به این ترتیب سرانجام، یا مجموعه متناظر با گزاره به دست آمده تهی است و یا بند حاصل شده از رفع دو گزاره در خط ۱۳ تهی خواهد بود که در هر دو حالت شرط توقف حاصل شده و الگوریتم با بازگرداندن یکی از حالات SAT یا UNSAT پایان می‌یابد.

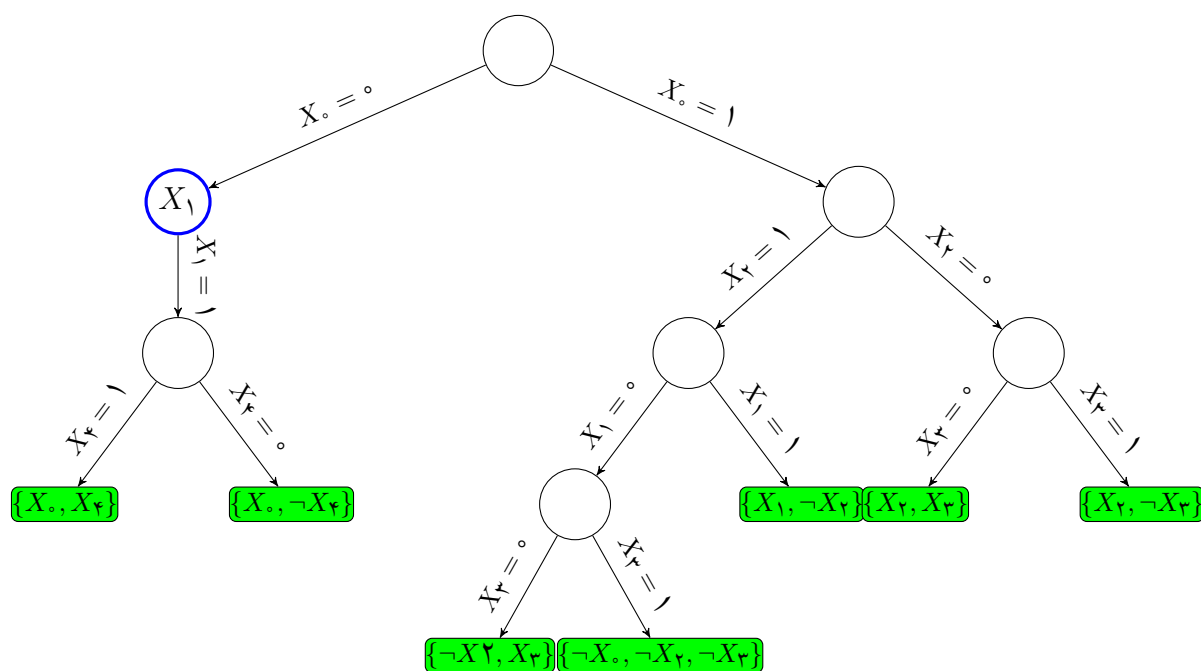
لازم به ذکر است که اگر چه از عمل گر استنتاج به صورت صریح در الگوریتم ۲۸ استفاده نشده ولی به سادگی می‌توان این عملیات را به الگوریتم افزود. در ضمن در صورتی که مسئله داده شده صدق‌پذیر باشد، مقادیری که به ازای آن مسئله صدق‌پذیر است توسط الگوریتم بازگردانده نمی‌شوند، که به راحتی می‌توان این قابلیت را نیز به الگوریتم ۲۸ داد.



## الگوریتم DPLL

دو سال بعد از ارائه الگوریتم DP یعنی در سال ۱۹۶۲، الگوریتم DPLL به صورت مشترک توسط دیویس، لاجمن<sup>۱۹</sup>، و لاولند<sup>۲۰</sup> در [۲۴] ارائه شد. این الگوریتم که در دسته الگوریتم‌های کامل قرار می‌گیرد، یک الگوریتم تقسیم و غلبه است. روش کار DPLL در الگوریتم ۲۹، نشان داده شده است. همان‌طور که مشاهده می‌شود، قاعده‌های ساده‌سازی بندهای منفرد و لیترال محض که در الگوریتم DP استفاده شدند، در الگوریتم DPLL نیز استفاده می‌شوند. تفاوت بارز الگوریتم DPLL با الگوریتم DP در این است که در الگوریتم DPLL برای غلبه بر مشکل مصرف زیاد حافظه در DP، به جای حذف متغیرها از جست‌وجو به روش پیمایش معکوس استفاده می‌شود. روش کار الگوریتم ۲۹ در هر مرحله به این صورت است که گزاره داده شده ابتدا در خطوط ۵ تا ۷ و ۸ تا ۱۰ با استفاده از قاعده‌های بند منفرد و لیترال محض ساده‌سازی و سپس یک متغیر مثل  $X$  از بین مجموعه متغیرهای گزاره انتخاب می‌شود. خط ۱۲ معادل این است که قرار دهیم  $X = 0$ ، و همه بندهای شامل  $\neg X$  را حذف کنیم و سپس همه لیترال‌های  $\{X\}$  را نیز از بین لیترال‌های باقی‌مانده حذف کنیم، حذف لیترال‌ها و بندهای مذکور با توجه به فرض  $X = 0$  کاملاً منطقی است. خط ۱۶ معادل این است که فرض کنیم  $X = 1$  و همه بندهای شامل  $X$  را حذف کرده و سپس همه لیترال‌های  $\{X\}$  را نیز از میان بندهای باقی‌مانده حذف کنیم. روش کار الگوریتم ۲۹ مانند روش جست‌جوی کل فضای حالت است اما مزیت مهم آن نسبت به جست‌جوی کامل این است که دو قاعده ساده‌سازی که در ابتدای این الگوریتم به کار گرفته شده‌اند سبب می‌شوند برخی از حالات بدون این که صریحاً بررسی شوند کنار گذاشته شوند. در واقع در این الگوریتم پس از یک ساده‌سازی اولیه یک متغیر از بین متغیرهای گزاره داده شده را انتخاب کرده و یک مقدار (در این جا ۰) را برای آن در نظر می‌گیریم. این مرحله از الگوریتم را **مرحله تصمیم** و متغیری که مقدار دهی می‌شود را **متغیر تصمیم** می‌نامیم. پس از تخصیص مقدار متغیر تصمیم، مقدار متناظر با آن را در عبارت جایگذاری کرده و عبارت را ساده‌سازی می‌کنیم و پس از آن مجدداً از دو قاعده بند منفرد و لیترال محض برای ساده‌سازی گزاره به دست آمده استفاده می‌کنیم، و در طی این دو فرآیند ساده‌سازی است که به خاطر شرایط به وجود آمده، ممکن است یک متغیر فقط یک مقدار منطقی را بتواند بپذیرد، به همین دلیل نیازی به تصمیم‌گیری برای مقدار چنین متغیرهایی نیست و به این ترتیب به جای جست‌جوی کل فضای حالت، زیرمجموعه‌ای از حالات را بررسی می‌کنیم. فرآیند مقدار دهی متغیرهای تصمیم و ساده‌سازی تا جایی ادامه می‌یابد که یا به یک گزاره تهی برسیم یا این که دیگر هیچ متغیر تصمیم وجود نداشته باشد و هیچ‌یک از قاعده‌های بند منفرد و لیترال محض قادر به ساده‌سازی عبارت به دست آمده نباشند. در حالت اول که به گزاره تهی دست می‌یابیم، مسئله صدق‌پذیر است ولی در حالت دوم با یک تناقض مواجه می‌شویم که در این صورت

<sup>19</sup>Logemann<sup>20</sup>Loveland



شکل ۳.۴: گراف الگوریتم DPLL

باید به وضعیت آخرین متغیر تصمیم بازگشته و نقیض مقدار فعلی را برای متغیر تصمیم مورد نظر اختیار کنیم، اگر به ازای این تخصیص نیز به تناقض برسیم یک گام دیگر به عقب بازگشته و مقدار دیگری را برای متغیر تصمیم ماقبل آخر اتخاذ می‌کنیم این کار را تا رسیدن به گزاره تهی یا بررسی تمام متغیرها ادامه می‌دهیم. فرایند بازگشت به عقب و تجدید نظر در تخصیص مقدار متغیرهای تصمیم را **پیمایش معکوس** می‌نامیم. روشن است که سرعت الگوریتم تا حد زیادی به چگونگی انتخاب متغیر تصمیم در خط ۱۱ و همچنین روش پیمایش معکوس بستگی دارد.

روش کار الگوریتم DPLL را می‌توان با استفاده از یک گراف جهت‌دار فاقد دور نمایش داد، برای مثال فرض کنید گزاره منطقی  $F$  به صورت زیر داده شده باشد.

$$F = (X_0 \vee X_2) \wedge (X_0 \vee \neg X_2) \wedge (X_0 \vee X_1) \wedge (X_1 \vee \neg X_2) \vee (\neg X_2 \vee X_3) \wedge \\ (\neg X_0 \vee \neg X_1 \vee \neg X_2) \wedge (\neg X_0 \vee \neg X_2 \vee \neg X_3) \wedge (X_2 \vee \neg X_3) \vee (X_2 \vee X_3) \quad (۱۲.۴)$$

نمایش مجموعه‌ای صورت متعارف عطفی فوق به صورت زیر است.

$$F = \{\{X_0, X_2\}, \{X_0, \neg X_2\}, \{X_0, X_1\}, \{X_1, \neg X_2\}, \{\neg X_2, X_3\}, \\ \{\neg X_0, \neg X_1, \neg X_2\}, \{\neg X_0, \neg X_2, \neg X_3\}, \{X_2, \neg X_3\}, \{X_2, X_3\}\}$$

با در نظر گرفتن مجموعه فوق به عنوان ورودی الگوریتم ۲۹، گراف شکل ۳.۴ نحوه عمل کرد الگوریتم را نشان می‌دهد. در گراف ۳.۴ آن دسته از رئوس میانی که با دایره‌های توپر نمایش داده

شده‌اند، نشان‌دهنده متغیرهای تصمیم، که در خط ۱۱ از الگوریتم ۲۹ انتخاب شده‌اند هستند. رئوسی که با دایره‌های توخالی نمایش داده شده‌اند نشان‌دهنده متغیرهایی هستند که در یکی از مراحل ساده‌سازی با استفاده از قواعد بند منفرد و لیترال محض مقدار دهی شده‌اند، و همان‌طور که مشاهده می‌شود تنها یک یال از این رئوس خارج شده که نشان می‌دهد تنها یک مقدار برای این متغیرها قابل قبول است و انتخاب دیگری وجود ندارد. مقادیر روی یال‌ها در هر مسیری که از ریشه آغاز و به رأس انتهایی یا برگ ختم می‌شود، نشان‌دهنده یک تخصیص مقادیر برای بخشی از متغیرهای گزاره داده شده هستند. برگ‌ها با مجموعه‌هایی برچسب‌گذاری شده‌اند که به‌ازای تخصیص متناظر با مسیر واصل بین آن برگ و ریشه، سبب بروز تناقض می‌شوند. با توجه به این که همه برگ‌های گراف ۳.۴ شامل یک تناقض هستند لذا گزاره ۱۲.۴ صدق‌پذیر نیست. در راستای بهبود الگوریتم DPLL تلاش‌های زیادی صورت گرفته و یا در حال انجام است، این تلاش‌ها سبب شکل‌گیری خانواده‌ای از الگوریتم‌ها، موسوم به الگوریتم‌های CDCL گشته است که در بخش بعد به‌صورت مختصر به معرفی آن می‌پردازیم.

### الگوریتم CDCL

روش CDCL برای حل مسئله صدق‌پذیری، اولین بار به‌طور مشترک توسط سیلوا<sup>۲۱</sup> و ساکالا<sup>۲۲</sup> در الگوریتم GRASP، [۴۸]، [۶۱] معرفی شد. ایده‌های به‌کار رفته در روش CDCL هنوز هم در الگوریتم‌های نوین امروزی مانند MiniSat مورد استفاده قرار می‌گیرد.

همان‌طور که در بخش قبل دیدیم، در الگوریتم DPLL، از عملیات‌های ساده‌سازی بر اساس قاعده‌های بند منفرد و لیترال محض برای کاهش اندازه فضای جست‌وجو استفاده می‌شود و هر بار که به یک تناقض می‌رسیدیم، به آخرین وضعیت تصمیم‌بازمی‌گشتیم و مقدار دیگری را برای متغیر تصمیم اتخاذ می‌کردیم به این روش بازگشت که پس از هر بار به تناقض رسیدن به آخرین سطح تصمیم‌بازمی‌گردیم پیمایش معکوس ترتیبی می‌گویند. دو وجه تمایز الگوریتم CDCL نسبت به الگوریتم DPLL که سبب سریع‌تر بودن آن شده است، در پیمایش معکوس غیرترتیبی و همچنین یادگیری گزاره‌های جدید در هر بار به تناقض رسیدن است. قبل از شرح دقیق الگوریتم CDCL برخی مفاهیم مورد نیاز را تعریف می‌کنیم.

با توجه به این که هر یک از متغیرهای منطقی در طول الگوریتم می‌توانند یکی از مقادیر  $1$  یا  $0$  یا  $u$  (که  $u$  به معنای مقدار نگرفته باشد) باشند، نگاشت تخصیص را به‌صورت زیر تعریف می‌کنیم.

**تعریف ۵۸.۴.** فرض کنید مجموعه متغیرهای مسئله صدق‌پذیری را با  $V$  نمایش دهیم، نگاشت تخصیص  $\nu : V \rightarrow \{0, 1, u\}$ ، به هر یک از متغیرها یکی از مقادیر  $\{0, 1\}$  یا  $u$  به معنای مقدار

<sup>21</sup>Marques Silva

<sup>22</sup>Karem A. Sakallah

نگرفته، را تخصیص می‌دهد. اگر همه متغیرها فقط یکی از مقادیر ۰ یا ۱ را اتخاذ کرده باشند،  $\nu$  را تخصیص کامل و در غیر این صورت آن را تخصیص جزئی می‌گوییم.

مقداری که لیترال  $l$ ، بند  $C$  و گزاره‌ی  $F$  به‌ازای تخصیص  $\nu$  اختیار می‌کنند را به‌ترتیب با نمادهای  $l^\nu$ ،  $C^\nu$  و  $F^\nu$  نمایش می‌دهیم. ترتیب  $0 < u < 1$  را روی  $\{0, u, 1\}$  در نظر بگیرید و فرض کنید  $u = 1 - u$ ، در این صورت داریم

$$l^\nu = \begin{cases} \nu(X_i) & l = X_i \\ 1 - \nu(X_i) & l = \neg X_i \end{cases} \quad C^\nu = \max\{l^\nu : l \in C\} \quad F^\nu = \min\{C^\nu : C \in F\}.$$

نگاشت تخصیص  $\nu$  را می‌توانیم به‌صورت مجموعه‌ای از زوج‌های مرتب  $(X_i, \nu_i)$  که  $X_i$  یک متغیر و  $\nu_i \in \{0, 1\}$  است نیز در نظر بگیریم. به این ترتیب افزودن زوج  $(X_i, \nu_i)$  به مجموعه متناظر با  $\nu$  معادل است با تخصیص  $\nu_i$  به  $X_i$  به‌طوری که  $\nu(X_i) = \nu_i$ . به همین ترتیب حذف زوج  $(X_i, \nu_i)$  به‌طوری که  $\nu(X_i) \neq u$  معادل است با تخصیص  $u$  به  $X_i$ .

در بخش قبل بند منفرد را بندی در نظر گرفتیم که فقط شامل یک لیترال بود، به‌طور مشابه در این بخش بند منفرد را با توجه به تعریف نگاشت تخصیص در فوق، بندی در نظر می‌گیریم که غیر از یک لیترال آن که هنوز مقدار نگرفته و تصویر آن تحت نگاشت تخصیص برابر  $u$  است، مقدار سایر لیترال‌های آن تحت نگاشت تصویر ۰ باشد. به همین ترتیب بندی را که همه لیترال‌های آن مقدار ۰ را اختیار کرده باشند بند ناصداق و بندی را که حداقل یکی از لیترال‌هایش مقدار ۱ را اختیار کرده باشند بند صادق می‌گوییم. بندهایی را که نه صادق باشند و نه ناصداق، بندهای حل‌نشده می‌گوییم.

روشن است که تنها مقدار مجاز برای لیترال مقدار نگرفته در یک بند منفرد مقدار ۱ است. تکرار فرآیند تخصیص مقدار ۱ به لیترال مقدار نگرفته در بندهای منفرد و سپس ساده‌سازی گزاره منطقی با استفاده از قاعده بندهای منفرد تا رسیدن به یکی از حالات عدم وجود بند منفرد یا تناقض را قاعده انتشار واحد می‌گوییم. قاعده انتشار واحد بعد از هر تصمیم‌گیری یا انشعاب و همچنین در مرحله‌ی پیش‌پردازش، در CDCL صورت می‌گیرد و اگر طی این فرآیند به تناقض برسیم، پیمایش معکوس خواهیم داشت.

در الگوریتم CDCL هر متغیر دارای مشخصه‌هایی است که در ادامه آن‌ها را تعریف می‌کنیم. متغیر  $X_i$  از مسئله صدق‌پذیری داده شده  $F$  را در نظر بگیرد، اولین مشخصه این متغیر مقدار آن است که آن را با  $\nu(X_i) \in \{0, u, 1\}$  نمایش می‌دهیم. همان‌طور که در الگوریتم DPLL نیز دیدیم برخی از متغیرها بدون نیاز به تصمیم‌گیری راجع به مقدار آن‌ها، به‌طور ضمنی و طی فرآیند انتشار واحد یک مقدار اتخاذ می‌کنند، به چنین متغیرهایی متغیرهای مقدر و به بندی که برای استنباط مقدار این متغیر مورد استفاده قرار گرفته است، بند مقدم متغیر  $X_i$  می‌گوییم. مشخصه

دوم متغیر  $X_i$  را که نشان‌دهنده بند مقدم  $X_i$  است را با  $\alpha(X_i) \in F \cup \{NIL\}$  نمایش می‌دهیم. برای متغیرهایی که متغیر مقدار نبوده و جزو متغیرهای تصمیم بوده و یا هنوز مقادیر  $\circ$  یا  $1$  اتخاذ نکرده‌اند، قرار می‌دهیم  $\alpha(X_i) = NIL$ . مشخصه سوم متغیر  $X_i$  که سطح تصمیم نام‌دارد کمیتی است که عمق درخت تصمیم‌گیری متناظر با الگوریتم CDCL را در جایی که برای مقدار  $X_i$  تصمیم‌گیری می‌شود، نشان می‌دهد. سطح تصمیم متغیر  $X_i$  را با  $\delta(X_i)$  نمایش می‌دهیم. برای متغیر  $X_i$  که هنوز یکی از مقادیر  $\circ$  یا  $1$  را اختیار نکرده است قرار می‌دهیم  $\delta(X_i) = -1$  و سطح تصمیم متغیرهای مقدار را به صورت زیر تعریف می‌کنیم.

$$\delta(X_i) := \max(\{\circ\} \cup \{\delta(X_j) \mid X_j \in C \wedge X_j \neq X_i\}) \quad s.t. \quad \alpha(X_i) = C.$$

با توجه به تعریف فوق برای هر متغیر تصمیم مثل  $X_i$  داریم  $\alpha(X_i) = NIL$  و  $\delta(X_i) > \circ$ . برای ساده‌نویسی و اختصار، از نمادگذاری  $X_i = v@d$  برای نمایش مقدار و سطح تصمیم متغیر  $X_i$  استفاده می‌کنیم، به‌طوری که  $\nu(X_i) = v$  و  $\delta(X_i) = d$ . گاهی به‌جای سطح تصمیم یک متغیر از سطح تصمیم یک لیترا ل سخن به‌میان می‌آید که در این صورت منظور همان سطح تصمیم متغیر متناظر با آن لیترا ل خواهد بود.

مثال ۵۹.۴. گزاره منطقی زیر را در نظر بگیرید

$$F = C_1 \wedge C_2 \wedge C_3 = (X_1 \vee \neg X_4) \wedge (X_1 \vee X_3) \wedge (\neg X_3 \vee X_2 \vee X_4).$$

فرض کنید تصمیم‌گیری را با  $X_4 = \circ@1$  آغاز کنیم به‌طوری که  $X_4 = \circ@1$ . در این صورت قاعده انتشار واحد تخصیص جدید را نتیجه نمی‌دهد و ناچاریم یک تصمیم‌گیری دیگر انجام دهیم. فرض کنید در تصمیم‌گیری دوم قرار دهیم  $X_2 = \circ@2$ . این بار قاعده انتشار واحد سبب می‌شود داشته باشیم  $X_3 = 1@2$  و در نتیجه  $X_2 = 1@2$ . در ضمن داریم  $\alpha(X_1) = NIL$ ,  $\alpha(X_2) = C_3$ ,  $\alpha(X_3) = C_2$  و  $\alpha(X_4) = NIL$ .

متغیرهای مقدار دهی شده و بندهای مقدم متناظر با هر یک از آن‌ها در الگوریتم CDCL، گرافی جهت‌دار و فاقد دور موسوم به گراف التزام را تشکیل می‌دهند، که با  $I = (V_I, E_I)$  نمایش می‌دهیم و به‌صورت زیر تعریف می‌شود.

تعریف ۶۰.۴ (گراف التزام). مجموعه رئوس گراف التزام  $I = (V_I, E_I)$  عبارت است از مجموعه همه متغیرهای مقداردهی شده به‌انضمام گره  $\kappa$ ، به‌این ترتیب  $V_I \subseteq X \cup \{\kappa\}$ . مجموعه یال‌های این گراف نیز از بندهای مقدم هر یک از متغیرهای مقداردهی شده به‌دست می‌آید به‌طوری که اگر  $C = \alpha(X_i)$ ، آن‌گاه به ازای هر متغیر به‌کار رفته در بند  $C$  به جز  $X_i$  یک یال جهت‌دار از آن متغیر به  $X_i$  وجود خواهد داشت. در ضمن اگر قاعده انتشار واحد یک بند ناصادق مثل  $C_j$  را نتیجه

دهد، در این صورت متناظر با این گزاره ناصداق یک رأس که با  $\kappa$  نشان داده می‌شود را به گراف اضافه می‌کنیم و قرار می‌دهیم  $\alpha(\kappa) = C_j$ .

مجموعه رئوس گراف التزام را به صورت دقیق تعریف کردیم اما برای تعریف دقیق مجموعه یال‌ها به چند مفهوم جدید نیاز است که در ادامه با آن‌ها آشنا می‌شویم. اولین تابعی که تعریف می‌کنیم  $\lambda(Z, C)$  است که برای آزمودن عضویت لیترا ل شامل متغیر  $Z$  در بند  $C$  به کار می‌رود. به عبارت اگر فرض کنیم  $F$  یک گزاره منطقی باشد که به صورت مجموعه‌ای نمایش داده شده، به ازای بند  $C \in F$  و متغیر  $Z \in V_I$  داریم

$$\lambda(Z, C) := \begin{cases} 1 & Z \in C \vee \neg Z \in C \\ 0 & \text{در غیر این صورت} \end{cases}$$

تابع دیگری که با  $\nu_0(Z, C)$  نشان می‌دهیم برای آزمودن صفر بودن مقدار متناظر با لیترا ل شامل  $Z$  در بند  $C$  به کار می‌رود و به صورت زیر تعریف می‌شود.

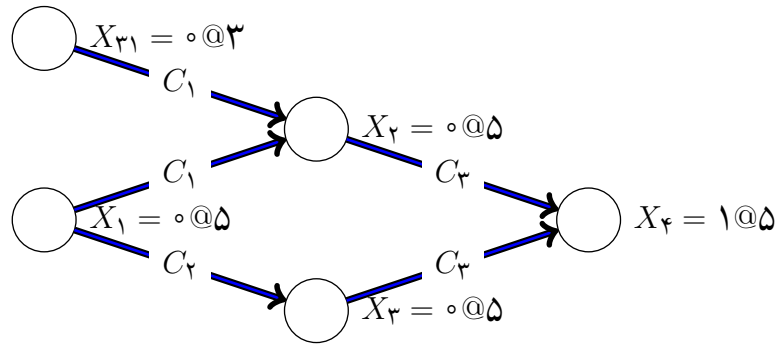
$$\nu_0(Z, C) := \begin{cases} 1 & \lambda(Z, C) \wedge Z \in C \wedge \nu(Z) = 0 \\ 1 & \lambda(Z, C) \wedge \neg Z \in C \wedge \nu(Z) = 1 \\ 0 & \text{در غیر این صورت} \end{cases}$$

تابع  $\nu_1(Z, C)$  نیز برای آزمودن ۱ بودن مقدار متناظر با لیترا ل شامل  $Z$  در بند  $C$  به کار می‌رود. به عبارت دیگر داریم

$$\nu_1(Z, C) := \begin{cases} 1 & \lambda(Z, C) \wedge Z \in C \wedge \nu(Z) = 1 \\ 1 & \lambda(Z, C) \wedge \neg Z \in C \wedge \nu(Z) = 0 \\ 0 & \text{در غیر این صورت} \end{cases}$$

در نهایت به ازای  $Z_1, Z_2 \in V_I$  تابع  $\epsilon(Z_1, Z_2)$  را به صورت زیر تعریف می‌کنیم که نشان‌دهنده وجود یال جهت‌دار از  $Z_1$  به سوی  $Z_2$  است.

$$\epsilon(Z_1, Z_2) := \begin{cases} 1 & Z_2 = \kappa \wedge \lambda(Z_1, \alpha(\kappa)) \\ 1 & Z_2 \neq \kappa \wedge \alpha(Z_2) = C \wedge \nu_0(Z_1, C) \wedge \nu_1(Z_2, C) \\ 0 & \text{در غیر این صورت} \end{cases}$$



شکل ۴.۴: یک نمونه گراف التزام

در نتیجه مجموعه یال‌های گراف التزام  $I$  به صورت زیر تعریف می‌شود

$$E_I := \{(Z_1, Z_2) \mid \epsilon(Z_1, Z_2) = 1\}.$$

در ضمن هر یال از  $Z_1$  به  $Z_2$  را با  $\alpha(Z_2)$  برچسب‌گذاری می‌کنیم.

مثال ۶۱.۴. گزاره منطقی زیر را در نظر بگیرید

$$F = C_1 \wedge C_2 \wedge C_3 = (X_1 \vee X_{31} \vee \neg X_2) \wedge (X_1 \vee \neg X_3) \wedge (X_2 \vee X_3 \vee X_4).$$

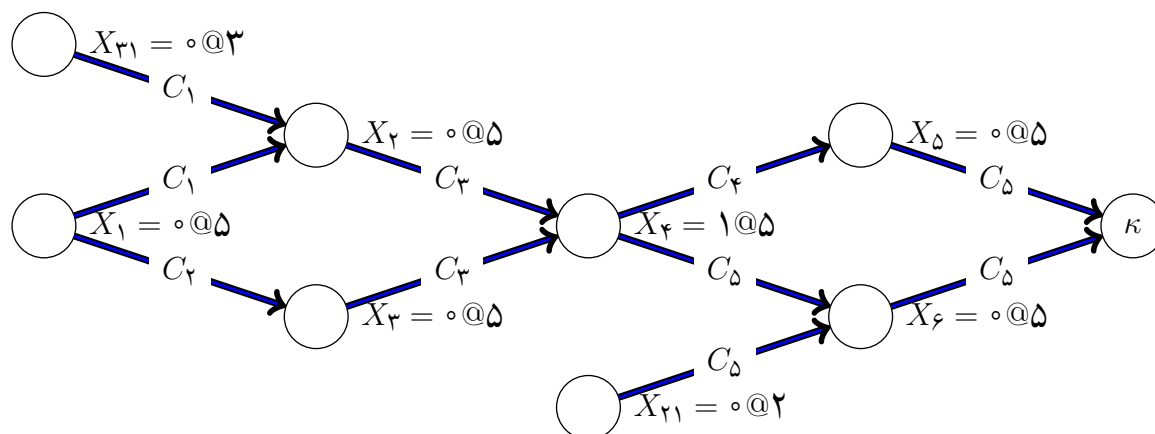
فرض کنید داشته باشیم  $X_{31} = 0@3$ . در ضمن فرض کنید سطح تصمیم فعلی برابر ۵ باشد و در تصمیم‌گیری راجع به مقدار متغیر تصمیم  $X_1$  قرار دهیم  $X_1 = 0@5$ . در این صورت گراف التزام به صورت نشان داده شده در شکل ۴.۴ است. در مثال قبل قاعده انتشار واحد سبب به وجود آمدن بند ناصداق نشد، در مثال بعد نمونه‌ای را خواهیم دید که نشان می‌دهد نتیجه قاعده انتشار واحد ممکن است یک گزاره ناصداق باشد.

مثال ۶۲.۴. گزاره منطقی زیر که دارای صورت متعارف عطفی است را در نظر بگیرید.

$$\begin{aligned} F &= C_1 \wedge C_2 \wedge C_3 \wedge C_4 \wedge C_5 \wedge C_6 \\ &= (X_1 \vee X_{31} \vee \neg X_2) \wedge (X_1 \vee \neg X_3) \wedge (X_2 \vee X_3 \vee X_4) \wedge \\ &\quad (\neg X_4 \vee \neg X_5) \wedge (X_{21} \vee \neg X_4 \vee \neg X_6) \wedge (X_5 \vee X_6). \end{aligned}$$

فرض کنید داشته باشیم  $X_{21} = 0@2$ ,  $X_{31} = 0@3$ . همچنین فرض کنید در سطح تصمیم فعلی که برابر ۵ است برای متغیر تصمیم  $X_1$  قرار دهیم  $X_1 = 0@5$ . در این صورت گراف التزام متناظر با این تصمیم در شکل ۵.۴ نشان داده شده است و همان‌طور که مشاهده می‌شود این تصمیم سبب می‌شود مقدار بند  $X_5 \vee X_6$  برابر ۰ باشد و یک بند ناصداق داشته باشیم.

همان‌طور که قبلاً ذکر شد، مهم‌ترین وجه تمایز الگوریتم CDCL نسبت به الگوریتم DPLL



شکل ۴.۵: یک نمونه گراف التزام

وجود فرآیند یادگیری بند جدید در هر بار به تناقض رسیدن و پیمایش معکوس غیرترتیبی بعد از آن است. فرض کنید  $F$  یک گزاره منطقی و  $\nu$  تخصیصی باشد که برای متغیرهای منطقی آن در نظر گرفته‌ایم. در الگوریتم CDCL پس از هربار تصمیم‌گیری راجع به مقدار یک متغیر تصمیم فرآیند انتشار واحد تاجایی که امکان دارد انجام می‌شود (یعنی تا جایی که به بند ناصادق برسیم یا دیگر هیچ بند منفردی وجود نداشته باشد). اگر این فرآیند یک بند ناصادق را نتیجه دهد و سبب بروز یک تناقض شود، الگوریتم CDCL زیربرنامه‌ای را فراخوانی می‌کند که قادر است با تحلیل تناقض راخ داده شده، علت بروز تناقض را در قالب یک یا چند بند جدید بازگرداند. این زیربرنامه را با  $\text{AnalyzeConflict}(F, \nu)$  نمایش می‌دهیم و به بندهای جدیدی که این زیربرنامه به دست می‌آورد بندهای آموخته شده می‌گوییم. علاوه بر این  $\text{AnalyzeConflict}$ ، سطح تصمیم برای آغاز فرآیند پیمایش معکوس غیرترتیبی را مشخص می‌کند، تا بدین وسیله مشخص شود که بعد از رسیدن به تناقض، الگوریتم از کدام سطح تصمیم از سرگیری شود. برای تشریح دقیق الگوریتم  $\text{AnalyzeConflict}$  لازم است تا چند مفهوم جدید را تعریف کنیم.

فرآیند یادگیری بند جدید با شروع از بند ناصادق به دست آمده از قاعده انتشار واحد آغاز می‌شود، یعنی همان بندی که در گراف التزام با  $\kappa$  نمایش داده می‌شود، زیربرنامه  $\text{AnalyzeConflict}$  همه متغیرهای مقدار که سطح تصمیمشان برابر سطح تصمیم فعلی (یعنی بزرگ‌ترین سطح تصمیم موجود) است را بررسی کرده و بندهای مقدم این متغیرها را شناسایی می‌کند، سپس لیتراال‌هایی از این بندها که سطح تصمیم آن‌ها کم‌تر از سطح تصمیم فعلی است را به بندی که قرار است آموخته شود اضافه می‌کند. این فرآیند تا زمانی ادامه می‌یابد که آخرین متغیر تصمیم در گزاره آموخته شده ظاهر شود. با توجه به این که سطح تصمیم متناظر با متغیرهای مقدار دهی شده یک ترتیب جزئی روی مجموعه این متغیرها القا می‌کند، منظور از آخرین متغیر تصمیم، متغیر تصمیم با بزرگ‌ترین سطح تصمیم است. اما توصیف فوق یک توصیف کیفی است، برای بیان ریاضی



$\{l : l \in \alpha(\kappa)\}$	$C_L^{\delta, \circ} = \{X_5, X_6\}$
$C_L^{\delta, \circ} \odot \alpha(X_5)$	$C_L^{\delta, 1} = \{\neg X_4, X_6\}$
$C_L^{\delta, 1} \odot \alpha(X_6)$	$C_L^{\delta, 2} = \{\neg X_4, X_{21}\}$
$C_L^{\delta, 2} \odot \alpha(X_4)$	$C_L^{\delta, 3} = \{X_2, X_3, X_{21}\}$
$C_L^{\delta, 3} \odot \alpha(X_3)$	$C_L^{\delta, 4} = \{X_1, X_{31}, X_3, X_{21}\}$
$C_L^{\delta, 4} \odot \alpha(X_3)$	$C_L^{\delta, 5} = \{X_1, X_{31}, X_{21}\}$
توقف	$C_L^{\delta, 6} = \{X_1, X_{31}, X_{21}\}$

جدول ۵.۴: عملیات رفع طی فرآیند یادگیری بند جدید در الگوریتم AnalyzeConflict

فرآیند یادگیری تابع  $\xi$  را به‌ازای سطح تصمیم  $d$  و لیترال  $l$  و بند  $C$  به‌صورت زیر تعریف می‌کنیم.

$$\xi(C, l, d) := \begin{cases} 1 & l \in C \wedge \delta(l) = d \wedge \alpha(l) \neq NIL \\ 0 & \text{در غیر این صورت} \end{cases}$$

با توجه به تعریف فوق بند  $C_L^{d,i}$  که  $i = \circ, 1, \dots$  را به‌صورت زیر تعریف می‌کنیم

$$C_L^{d,i} := \begin{cases} \alpha(\kappa) & i = \circ \\ C_L^{d,i-1} \odot \alpha(l) & i \neq \circ \wedge \xi(C_L^{d,i-1}, l, d) = 1 \\ C_L^{d,i-1} & i \neq \circ \wedge \forall l: \xi(C_L^{d,i-1}, l, d) = 0. \end{cases} \quad (13.4)$$

اکنون می‌توانیم AnalyzeConflict را به‌صورت الگوریتم ۳۰ بیان کنیم.

مثال ۶۳.۴. گزاره مثال ۶۲.۴ را در نظر بگیرید، بندهای میانی حاصل از عمل رفع که بواسطه اعمال الگوریتم AnalyzeConflict [۳۰] روی بند ناصادق حاصل شده در این مثال به‌دست آمده‌اند، در جدول ۵.۴ نمایش داده شده است. در نتیجه بند آموخته شده عبارت است از  $\{X_1, X_{31}, X_{21}\}$ .

حال فرض کنید نمایش مجموعه‌ای صورت متعارف عطفی  $F$  به همراه یک تخصیص اولیه (که می‌تواند تهی باشد) داده شده باشد. فرض کنید فرآیند انتشار واحد توسط تابع  $\text{UnitPrppagation}(F, \nu)$  انجام شود. این تابع تا جایی که ممکن است عملیات انتشار واحد را انجام می‌دهد و در صورتی که به بند ناصادق برسد CONFLICT و در غیر این صورت مقدار NoCONFLICT را بازمی‌گرداند. فرض کنید فرآیند انتخاب متغیر تصمیم و مقدار دهی آن توسط تابع  $\text{PickBrnchingVariable}(F, \nu)$  انجام شود که خروجی آن متغیر تصمیم و مقدار متناظر با آن است. علاوه بر این فرض کنید که فرآیند حصول اطمینان از مقدار دهی شدن همه متغیرهای گزاره  $F$  توسط تابع  $\text{AllVariablesAssigned}$  انجام شود به‌طوری که اگر همه متغیرها مقدار دهی شده بودند true و در غیر این صورت false را تولید کند. همچنین فرض کنید عملیات پیمایش معکوس غیرترتیبی توسط تابع  $\text{BacktrackTo}$  انجام شود، این تابع با دریافت  $(F, \nu, \beta)$  وضعیت را به حالتی که در سطح تصمیم  $\beta$  وجود داشته

است بازمی‌گرداند با این تفاوت که بند آموخته شده  $C_L$  نیز به  $F$  افزوده می‌شود. به این ترتیب الگوریتم ۳۱ با توجه به فرضیات فوق، ساختار متعارف یک الگوریتم CDCL را نشان می‌دهد. با توجه به خط ۱۱ الگوریتم ۳۰ روشن می‌شود که الگوریتم دومین سطح تصمیم از لحاظ بزرگی در بین سطوح تصمیم بند آموخته شده را برای بازگشت انتخاب می‌کند. دلیل انتخاب چنین سطح تصمیمی، این است که بازگشتن به این سطح تصمیم، در حالی که گزاره آموخته شده به مجموعه بندهای گزاره اولیه اضافه شده است، سبب می‌شود که با از سرگیری مجدد، قبل از رخ دادن مجدد تناقض قبلی، آخرین متغیر تصمیم در مرحله فعلی که تصمیم‌گیری راجع به مقدار آن منجر به به وجود آمدن بند ناصادق شده است، طی فرآیند UnitPrppagation به یک متغیر مقدار تبدیل شده و مقداری صحیح اتخاذ کند. برای مثال فرض کنید بند جدید  $C_L = \{l_1, l_2, l_3, l_4\}$  بند آموخته شده باشد و داشته باشیم  $\delta(l_1) = 10, \delta(l_2) = 20, \delta(l_3) = 30, \delta(l_4) = 40$  در این صورت الگوریتم به سطح تصمیم ۳۰ بازخواهد گشت. با بازگشت به این سطح تصمیم لیترال  $l_4$  که در سطح تصمیم ۴۰ مقدار دهی شده بود اکنون بدون مقدار است و بند  $C_L$  در این موقعیت یک بند منفرد محسوب شده و سبب تحریک تابع UnitPrppagation می‌شود. به این ترتیب با از سرگیری الگوریتم از سطح تصمیم ۳۰ لیترال  $l_4$  قبل از رسیدن به سطح تصمیم ۴۰ در همان سطح تصمیم ۳۰ به واسطه قاعده انتشار واحد مقدار دهی می‌شود، به همین دلیل است که الگوریتم CDCL در فرآیند پیمایش معکوس غیرترتیبی به دومین سطح تصمیم متغیرهای موجود در بند آموخته شده بازمی‌گردد.

یک روش بهبود الگوریتم AnalyzeConflict و کاهش اندازه بند آموخته شده استفاده از نقاط التزام واحد است. نقطه التزام واحد نقطه‌ای از گراف التزام است که همه مسیرها از آخرین متغیر تصمیم به سمت  $\kappa$  از آن نقطه عبور کند. برای مثال  $X_4$  در شکل ۵.۴ یک نقطه التزام واحد است. در واقع عملیات رفع در الگوریتم AnalyzeConflict برای یادگیری بند جدید را تا جایی ادامه می‌دهیم که بند به دست آمده از رفع دو بند قبلی فقط شامل یک متغیر با سطح تصمیم فعلی باشد. به عبارت دیگر کافی است معادله ۱۳.۴ را به صورت زیر اصلاح کنیم.

$$C_L^{d,i} := \begin{cases} \alpha(\kappa) & i = 0 \\ C_L^{d,i-1} \odot \alpha(l) & i \neq 0 \wedge \xi(C_L^{d,i-1}, l, d) = 1 \\ C_L^{d,i-1} & i \neq 0 \wedge \sigma(C_L^{d,i-1}, d) = 1. \end{cases} \quad (14.4)$$

که  $\sigma(C, d) = |\{l \in C \mid \delta(l) = d\}|$  به روش یادگیری بند جدید با استفاده از معادله ۱۴.۴، روش اولین نقطه التزام واحد یا 1s-UIP گفته می‌شود.

مثال ۶۴.۴. گزاره منطقی مثال ۶۲.۴ را در نظر بگیرید، فرآیند یادگیری گزاره بر اساس معادله ۱۳.۴ بند جدید  $(X_1 \vee X_3 \vee X_2)$  را نتیجه داد. اکنون با توجه به این که  $X_4 = 1@5$  یک نقطه التزام واحد است، فرآیند یادگیری بر اساس معادله ۱۴.۴ منجر به یادگیری بند کوچک‌تر  $(\neg X_4 \vee X_2)$

$\{l \mid l \in \alpha(\kappa)\}$	$C_L^{\delta, \circ} = \{X_\delta, X_\epsilon\}$
$C_L^{\delta, \circ} \odot \alpha(X_\delta)$	$C_L^{\delta, 1} = \{\neg X_\epsilon, X_\epsilon\}$
توقف	$C_L^{\delta, 2} = \{\neg X_\epsilon, X_{\epsilon_1}\}$

جدول ۶.۴: عملیات رفع طی فرآیند یادگیری بند جدید با استفاده از روش نقطه التزام واحد

می‌شود. بندهای میانی به‌دست آمده طی انجام فرآیند یادگیری در الگوریتم AnalyzeConflict در جدول ۶.۴ نمایش داده شده است.

## ۲.۵.۴ تبدیل مسئله حل دستگاه معادلات چندجمله‌ای به مسئله صدق‌پذیری

فرآیند تبدیل یک دستگاه معادلات چندجمله‌ای به مسئله صدق‌پذیری شامل سه مرحله اصلی به شرح زیر است.

۱. ابتدا به ازای هر یکجمله‌ای غیرخطی یک متغیر جدید معرفی می‌کنیم. هر تغییر متغیر به این صورت، به یک گزاره‌ی منطقی جدید در مسئله صدق‌پذیری منجر خواهد شد که نحوه‌ی به‌دست آوردن آن را در ادامه شرح می‌دهیم.

۲. پس از تغییر متغیر در گام ۱ دستگاه چندجمله‌ای به یک دستگاه خطی تبدیل می‌شود که هر یک از معادلات خطی آن مجموع تعدادی از متغیرهای خطی است. در این مرحله پارامتری تحت عنوان عدد برشی که با  $c$  نمایش می‌دهیم را مقداردهی می‌کنیم و سپس به ازای هر  $c$  متغیر خطی که با هم جمع شده‌اند یک متغیر جدید دیگر معرفی می‌کنیم تا حاصل جمع‌های طولانی به حاصل جمع‌هایی با طول کمتر تبدیل شوند و همان‌طور که در ادامه خواهیم دید این کار سبب تسهیل فرآیند تبدیل دستگاه معادلات به مسئله صدق‌پذیری خواهد شد.

۳. در گام پایانی گزاره منطقی به‌صورت ترکیب عطفی استاندارد معادل با هر یک از حاصل جمع‌های کوچکتر به‌دست آمده در گام ۲ را می‌یابیم.

تعریف زیر رابطه بین صفرهای یک چندجمله‌ای از حلقه  $\mathbb{F}[x_1, \dots, x_n]$  و مقدار گزاره منطقی معادل با آن را بیان می‌کند.

**تعریف ۶.۵.۴.** چندجمله‌ای  $f \in \mathbb{F}[x_1, \dots, x_n]$  را در نظر بگیرید. گزاره منطقی  $F \in \hat{X}$  را نمایش منطقی چندجمله‌ای  $f$  گوییم هر گاه به ازای هر  $a = (a_1, \dots, a_n) \in \mathbb{F}_2^n$  داشته باشیم  $\varphi_a(F) = f(a_1, \dots, a_n) + 1$  که نشان‌دهنده‌ی مقدار بولی  $F$  در نقطه‌ی  $a$  و با در نظر گرفتن  $1 = \text{true}$  و  $0 = \text{false}$  است.

روشن است که اگر  $F$  نمایش منطقی چندجمله‌ای  $f$  باشد، آن‌گاه هر چندتایی از مقادیر منطقی که گزاره منطقی  $F$  را ارضا کند، به طور یکتا متناظر با یک صفر چندجمله‌ای  $f$  خواهد بود. اگر نمایش منطقی متناظر با یک چندجمله‌ای را داشته باشیم، لم بعد روشی برای به دست آوردن نمایش منطقی عبارت حاصل از افزودن یک متغیر جدید به عبارت مورد نظر را به دست می‌دهد.

لم ۶۶.۴. فرض کنید  $f \in \mathbb{F}[x_1, \dots, x_n]$  یک چندجمله‌ای باشد و  $F \in \hat{X}$  نمایش منطقی آن باشد. اگر  $y$  یک متغیر میدان  $\mathbb{F}_2$  و  $Y$  متغیر بولی متناظر با آن باشد، آن‌گاه نمایش منطقی چندجمله‌ای  $g = f + y$  عبارت است از  $G = (\neg F \iff Y)$ .

برهان. فرض کنید  $\bar{a} = (a_1, \dots, a_n, b) \in \mathbb{F}_2^{n+1}$ . به ازای مقادیری که  $b$  اتخاذ می‌کند دو حالت به صورت زیر داریم.

۱. اگر  $b = 1$  آن‌گاه  $\phi_a(F) = f(a) + 1 = g(\bar{a})$ . از طرفی  $\varphi_b(Y) = 1$  و در نتیجه  $\varphi_{\bar{a}}(\neg F \iff Y) = \varphi_a(F) + 1$ .

۲. اگر  $b = 0$  آن‌گاه  $\phi_a(F) = f(a) = g(\bar{a})$  و  $\varphi_b(Y) = 0$  که نتیجه می‌دهد

$$\varphi_{\bar{a}}(\neg F \iff Y) = \varphi_a(F).$$

همان‌طور که مشاهده می‌شود در هر دو حالت فوق داریم  $\varphi_{\bar{a}}(\neg F \iff Y) = g(\bar{a}) + 1$  و حکم ثابت می‌شود.  $\square$

لم ۶۷.۴. فرض کنید  $f \in \mathbb{F}[x_1, \dots, x_n, y]$  یک چندجمله‌ای به صورت  $f = l_1 \cdots l_s + y$  باشد که  $1 \leq s \leq n$  و به ازای هر  $i = 1, \dots, s$  داریم  $l_i \in \{x_i, x_{i+1}\}$ . در ضمن اگر  $l_i = x_i$  آن‌گاه نمایش منطقی  $x_i$  را به صورت  $L_i = X_i$ ، در نظر می‌گیریم. به همین ترتیب اگر  $l_i = x_i + 1$ ، قرار می‌دهیم  $L_i = \neg X_i$ . در این صورت

$$F = (\neg Y \vee L_1) \wedge \cdots \wedge (\neg Y \vee L_s) \wedge (Y \vee \neg L_1 \vee \cdots \vee \neg L_s)$$

نمایش منطقی  $f$  خواهد بود و به این ترتیب  $F$  یک گزاره‌ی منطقی به صورت ترکیب عطفی استاندارد و شامل  $s + 1$  بند یا گزاره کوچکتر است که هر یک از آن‌ها ترکیب فصلی از متغیرهای منطقی هستند.

برهان. فرض کنید  $a = (a_1, \dots, a_n, b) \in \mathbb{F}_2^{n+1}$ . با استقرا روی  $s$  حکم را ثابت می‌کنیم. در حالتی که  $s = 1$ ، داریم  $f = x_1 + y + c$  که  $c \in \{0, 1\}$ ، در این صورت  $F = (\neg Y \vee L_1) \wedge (Y \vee \neg L_1)$  که اگر  $c = 0$  آن‌گاه  $L_1 = X_1$ ، و اگر  $c = 1$  داریم  $L_1 = \neg X_1$ . درستی رابطه‌ی  $\varphi_a(F) = f(a) + 1$  به راحتی با استفاده از جدول ارزش تابع منطقی  $F$  قابل تحقیق است.

اکنون فرض کنید حکم به ازای  $s-1$  برقرار باشد و  $F'$  نمایش منطقی  $f' = l_1 \cdots l_{s-1} + y$  به صورت بیان شده در صورت قضیه باشد. فرض کنید  $l_s = x_s$ ، در این صورت دو حالت زیر وجود دارد.

۱. اگر  $a_s = 0$ ، داریم  $\varphi_a(F) = \varphi_a((\neg Y \vee L_1) \wedge \cdots \wedge (\neg Y \vee L_{s-1}) \wedge \neg Y) = \varphi_b(\neg Y)$  و  $f(a) = b$  که نتیجه می دهد  $\varphi_a(F) = f(a) + 1$ .

۲. اگر  $a_s = 1$ ، آنگاه  $f(a) = f'(a)$ . با توجه به این که  $\varphi_a(L_s) = 1$ ، به دست می آوریم

$$\varphi_a(F) = \varphi_a((\neg Y \vee L_1) \wedge \cdots \wedge (\neg Y \vee L_{s-1}) \wedge (Y \vee \neg L_1 \vee \cdots \vee \neg L_{s-1})) = \varphi_a(F').$$

$$\text{بنابراین طبق فرض استقرا } \varphi_a(F) = \varphi_a(F') = f'(a) + 1 = f(a) + 1$$

در حالتی که  $l_s = x_s + 1$  نیز اثبات به طور مشابه صورت می گیرد و لذا حکم استقرا به ازای هر  $s \in \{1, \dots, n\}$  برقرار است.  $\square$

با استفاده از دو لم قبل، سه روش برای تبدیل دستگاه معادلات چندجمله ای روی  $\mathbb{F}_2$  به یک دستگاه خطی و سپس تبدیل آن به یک گزاره منطقی به صورت ترکیب عطفی استاندارد معرفی می کنیم. لازم به ذکر است که روش های معرفی شده برای خطی سازی دستگاه معادلات چندجمله ای، در تبدیل مسئله حل دستگاه چندجمله ای به مسئله برنامه ریزی با عدد صحیح نیز کارایی دارند.

**تعریف ۶۸.۴.** فرض کنید  $f \in \mathbb{F}[x_1, \dots, x_n]$  یک چندجمله ای باشد.

۱. **روش استاندارد:** به ازای هر جمله غیرخطی مثل  $t \in \text{Supp}(f)$ ، متغیر جدید  $y$  و متغیر بولی متناظر با آن  $Y$  را معرفی می کنیم.  $y$  را جایگزین  $t$  در  $f$  کرده و گزاره منطقی متناظر با  $t + y$  را که مطابق لم ۶۷.۴ به دست می آید، به مجموعه گزاره های منطقی در ترکیب عطفی استاندارد، اضافه می کنیم.

۲. **روش شریک خطی:** فرض کنید  $\deg(f) = 2$ ، ابتدا عباراتی به صورت  $x_i x_j + x_i$  از چندجمله ای  $f$  را یافته، سپس به ازای هر یک از این عبارات متغیر جدید  $y$  و متغیر بولی متناظر با آن یعنی  $Y$  را معرفی می کنیم.  $y$  را جایگزین عبارت  $x_i x_j + x_i$ ، در چندجمله ای  $f$  کرده و سپس گزاره منطقی متناظر با  $y + x_i(x_j + 1)$  را که طبق لم ۶۷.۴ به دست می آید، به مجموعه گزاره های منطقی در ترکیب عطفی استاندارد اضافه می کنیم.

۳. **روش شریک خطی مضاعف:** فرض کنید  $\deg(f) = 2$ ، ابتدا به ازای هر عبارات به صورت  $x_i x_j + x_i + x_j + 1$  در  $f$ ، متغیر جدید  $y$  و متغیر بولی متناظر با آن یعنی  $Y$  را معرفی می کنیم. سپس  $y$  را جایگزین عبارت  $x_i x_j + x_i + x_j + 1$  در  $f$  کرده و گزاره منطقی متناظر با

روش	روش استاندارد (SS)				روش شریک خطی (LPS)				روش شریک خطی مضاعف (DPS)			
عدد برشی	۳	۴	۵	۶	۳	۴	۵	۶	۳	۴	۵	۶
#v	۱۰	۸	۸	۷	۸	۷	۷	۷	۷	۷	۷	۷
#c	۲۶	۲۶	۳۰	۴۲	۱۸	۱۸	۱۸	۱۸	۱۴	۱۴	۱۴	۱۴

جدول ۷.۴: مقایسه تعداد بندها و متغیرهای صورت متعارف عطفی به‌دست آمده در روش‌های مختلف تبدیل دستگاه چندجمله‌ای به CNF

ترکیب عطفی استاندارد اضافه می‌کنیم.  $(x_i + 1)(x_j + 1) + y$  که طبق لم ۶۷.۴ به‌دست می‌آید را به مجموعه گزاره‌های منطقی در

در مثال بعد، سه روش تبدیل تعریف شده در فوق را با هم مقایسه کرده‌ایم.

مثال ۶۹.۴. چندجمله‌ای  $f = x_1x_2 + x_1x_3 + x_2x_3 + x_1 + x_2 + 1$  از حلقه  $\mathbb{F}_2[x_1, x_2, x_3]$  را در نظر بگیرید. فرض کنید تعداد متغیرهای منطقی در گزاره منطقی CNF متناظر با  $f$  را با  $\#c$  و تعداد بندها یا ترکیب‌های فصلی ظاهر شده در صورت متعارف عطفی یا CNF به‌دست آمده را با  $\#v$  نمایش دهیم. جدول ۷.۴ تعداد بندها و متغیرها در ترکیب عطفی استاندارد متناظر با  $f$  را نمایش می‌دهد. برای تبدیل از تابع  $\text{SAT.ConvertToCNF}(\cdot)$  در نرم‌افزار ApCoCoA استفاده شده است.

گزاره ۷۰.۴ (جایگزینی شریک مربعی). فرض کنید  $f = x_ix_j + x_ix_k + y \in \mathbb{F}_2[x_1, \dots, x_n, y]$  یک چندجمله‌ای باشد به طوری که  $i, j, k$  دوه‌دو متمایز باشند. در این صورت گزاره منطقی

$$F = (X_i \vee \neg Y) \wedge (X_j \vee X_k \vee \neg Y) \wedge (\neg X_j \vee \neg X_k \vee \neg Y) \wedge (\neg X_i \vee \neg X_j \vee X_k \vee Y) \wedge (\neg X_i \vee X_j \vee \neg X_k \vee Y)$$

نمایش منطقی  $f$  خواهد بود.

برهان. با استفاده از جدول درستی (ارزش) براحتی می‌توان دید که  $g = x_ix_j + x_ix_k \in \mathbb{F}_2[x_1, \dots, x_n]$  دارای نمایش منطقی  $G = (\neg X_i \vee \neg X_j \vee X_k) \wedge (\neg X_i \vee X_j \vee \neg X_k)$  است. در این صورت با استفاده از لم ۶۶.۴، نتیجه می‌گیریم که  $F = \neg G \iff Y$  نمایش منطقی  $f$  است. در نهایت با یک ساده‌سازی می‌توان نشان داد که  $F$  فرمول ارائه شده در صورت قضیه برابر است.  $\square$

با استفاده از گزاره فوق می‌توانیم یک روش دیگر برای تبدیل چندجمله‌ای‌های مربعی حلقه  $\mathbb{F}[x_1, \dots, x_n]$  به گزاره‌های منطقی معرفی کنیم. این روش که روش شریک مربعی یا QPS<sup>۲۳</sup> نام دارد شامل جایگذاری عبارات  $x_ix_j + x_ix_k$  با یک متغیر جدید  $y$  و سپس افزودن گزاره منطقی متناظر با این جایگزینی (که طبق گزاره ۷۰.۴ به‌دست می‌آید) به ترکیب عطفی استاندارد، است.

<sup>۲۳</sup>Quadratic partner strategy

مثال ۷۱.۴. چندجمله‌ای  $f = x_1x_2 + x_1x_3 + x_2x_3 + x_1 + x_2 + 1 \in \mathbb{F}_2[x_1, x_2, x_3]$  را در نظر بگیرید. اگر با استفاده از روش QPS، نمایش منطقی این چندجمله‌ای را بیابیم، به ازای عدد برشی ۶ به یک گزاره منطقی به صورت ترکیب عطفی استاندارد شامل ۶ متغیر منطقی و ۲۵ بند خواهیم رسید. گرچه تعداد بندهای به‌دست آمده در این روش از تعداد بندهای به‌دست آمده از روش‌های LPS و DPS بیشتر است ولی مزیت کم بودن تعداد متغیرهای منطقی در این روش خیلی مهم‌تر است و به همین دلیل ترجیح می‌دهیم در چنین شرایطی از روش QPS استفاده کنیم، زیرا تعداد متغیرهای منطقی یک گزاره منطقی تأثیر زیادی در پیچیدگی حل مسئله صدق‌پذیری می‌گذارد.

برای تبدیل چندجمله‌ای‌های درجه سوم به مسئله صدق‌پذیری می‌توانیم از گزاره زیر استفاده کنیم.

گزاره ۷۲.۴ (جایگزینی شریک مکعبی). فرض کنید  $f = x_ix_jx_k + x_ix_jx_l + y \in \mathbb{F}_2[x_1, \dots, x_n, y]$  به‌طوری‌که  $i, j, k, l$  دوه‌دو متمایز باشند. در این صورت گزاره منطقی

$$F = (X_i \vee \neg Y) \wedge (X_j \vee \neg Y) \wedge (X_k \vee X_l \vee \neg Y) \wedge (\neg X_k \vee \neg X_l \vee \neg Y) \\ \wedge (\neg X_i \vee \neg X_j \vee \neg X_k \vee X_l \vee Y) \wedge (\neg X_i \vee \neg X_j \vee \neg X_k \vee \neg X_l \vee Y)$$

نمایش منطقی  $f$  خواهد بود.

برهان. رجوع کنید به [۳۸]، قضیه شماره ۸. □

با به‌کارگیری گزاره‌های قبلی الگوریتمی ارائه می‌کنیم که ورودی آن معادلات یک دستگاه چندجمله‌ای روی  $\mathbb{F}_2$  و خروجی آن گزاره منطقی به‌صورت ترکیب عطفی استاندارد متناظر با آن دستگاه است.

گزاره ۷۳.۴ (الگوریتم تبدیل دستگاه معادلات بولی به مسئله صدق‌پذیری). فرض کنید  $f_1, \dots, f_m$  چندجمله‌ای‌هایی از حلقه  $\mathbb{F}_2[x_1, \dots, x_n]$  باشند و  $l \geq 3$ . در این صورت الگوریتم ۳۲ (در زمان چندجمله‌ای) ترکیب عطفی استاندارد  $K$  متناظر با دستگاه معادلات  $f_1 = \dots = f_m = 0$  را طوری محاسبه می‌کند که جواب‌های دستگاه معادلات مذکور در تناظر ۱-۱ با مقادیر منطقی هستند که گزاره  $K$  را ارضا می‌کنند.

برهان. به [۳۸]، قضیه ۹ رجوع کنید. □

مثال ۷۴.۴. الگوریتم رمزنگاری  $CTC(B, N)$  که  $B$  تعداد جعبه‌های جانشینی موازی در هر دور و  $N$ ، تعداد دورها را نشان می‌دهد در نظر بگیرید. دستگاه معادلات متناظر با این سامانه رمز را به ازای پارامترهای  $N, B$  مختلف و عدد برشی  $l = 4$  با استفاده از الگوریتم ۳۲، به ترکیب عطفی نرمال تبدیل کرده‌ایم. جدول ۸.۴ تعداد متغیرها و بندهای فصلی به‌دست آمده در هریک از این روش‌ها را به‌ازای چهار روش متفاوت به‌کار رفته در گام ۳ الگوریتم ۳۲ را نشان می‌دهد. در



سامانه	$(\#v_{SS}, \#c_{SS})$	$(\#v_{LPS}, \#c_{LPS})$	$(\#v_{DPS}, \#c_{DPS})$	$(\#v_{QPS}, \#c_{QPS})$
$CTC(3, 3)$	(۳۴۳, ۲۲۳۰)	(۳۳۴, ۱۸۸۸)	(۳۱۶, ۱۷۴۴)	(۳۴۳, ۲۱۹۴)
$CTC(4, 4)$	(۶۰۵, ۳۹۷۱)	(۵۸۹, ۳۳۶۳)	(۵۵۷, ۳۱۰۷)	(۶۰۵, ۳۹۰۷)
$CTC(5, 5)$	(۹۴۱, ۶۲۰۴)	(۹۱۶, ۵۲۵۴)	(۸۶۶, ۴۸۵۴)	(۹۴۱, ۶۱۰۴)
$CTC(6, 6)$	(۱۳۵۱, ۸۹۲۳)	(۱۳۱۵, ۷۵۵۵)	(۱۲۴۳, ۶۹۷۹)	(۱۳۵۱, ۸۷۷۹)

جدول ۸.۴: مقایسه روش‌های مختلف تبدیل دستگاه معادلات چندجمله‌ای به مسئله صدق‌پذیری

جدول ۸.۴  $\#v$  و  $\#c$ ، به ترتیب نشان‌دهنده تعداد بندهای فصلی و تعداد متغیرهای منطقی در ترکیب عطفی به‌دست آمده برای دستگاه مورد نظر با استفاده از الگوریتم ۳۲، هستند. همان‌طور که مشاهده می‌شود روش‌های شریک خطی (LPS) و جانشینی شریک مربعی (QPS) نتوانسته‌اند روش استاندارد (SS) را بهبود چندانی ببخشند، ولی روش شریک خطی مضاعف (DPS) توانسته تا ۸ درصد تعداد متغیرها و تا ۲۲ درصد تعداد بندهای فصلی را نسبت به روش استاندارد کاهش دهد. دستگاه‌هایی که در جدول ۸.۴، به‌ازای پارامترهای مختلف برای  $CTC$  و به‌ازای یک زوج متن اصلی و رمز شده معلوم به‌کار رفته‌اند همگی دارای جواب یکتا هستند.

لازم به ذکر است که حل‌کننده‌های مسئله صدق‌پذیری، در صورتی که مسئله داده شده صدق‌پذیر باشد، تنها یک جواب برای مسئله داده شده می‌یابند، برای این که با استفاده از این حل‌کننده‌ها بتوانیم تمام جواب‌ها را بیابیم باید هر بار که جواب جدیدی به‌دست آمد، نقیض آن را به مسئله داده شده اضافه کنیم و دوباره مسئله جدید را حل کنیم، این کار را تا جایی ادامه می‌دهیم که مسئله صدق‌ناپذیر شود، در این صورت است که تمام جواب‌ها به‌دست آمده است. اما از آنجایی که دستگاه‌های به‌دست آمده برای  $CTC$  در جدول ۸.۴، همگی دارای جواب یکتا هستند نیازی به اعمال مجدد حل‌کننده نیست. ابتدا برای مقایسه روش‌های مختلف تبدیل دستگاه چندجمله‌ای به مسئله صدق‌پذیری، با استفاده از حل‌کننده MiniSat، صورت‌های متعارف عطفی که با استفاده از روش‌های مختلف برای  $CTC(6, 6)$  به‌دست آمده‌اند را حل می‌کنیم تا مشخص شود کدام روش بهینه است. جدول ۹.۴، زمان حل با استفاده از حل‌کننده MiniSat، وقتی از عدد برشی  $l = 4$  برای تبدیل دستگاه به  $CNF$  استفاده شده است را نشان می‌دهد. لازم به ذکر است که تمام محاسبات این بخش به‌وسیله رایانه با پردازنده  $1/6GHz$  و حافظه رم  $6GB$  و روی سیستم عامل لینوکس اوبونتو ۱۶/۰۴ انجام شدند.

در آزمایش بعدی، عدد برشی را بجای  $l = 4$  برابر  $l = 6$  اختیار کرده‌ایم و دستگاه به‌دست آمده از  $CTC(6, 6)$  را با استفاده از روش‌های مختلف حل کرده و زمان حل توسط حل‌کننده MiniSat را در جدول ۱۰.۴ آورده‌ایم. همان‌طور که در آزمایش‌های فوق نیز مشاهده می‌شود زمانی که از روش LPS برای تبدیل استفاده می‌کنیم، سرعت حل بیشتر است. در ضمن زمان‌های گزارش شده در جدول ۱۰.۴ نشان می‌دهد که وقتی عدد برشی را بجای  $l = 4$  برابر با  $l = 6$  اختیار می‌کنیم، سرعت بیشتر می‌شود. به همین دلیل در ادامه دستگاه‌های به‌دست آمده را با استفاده از روش LPS



عدد برشی $l = 4$				
روش	$\#v$	$\#c$	$t_{Minisat}$	حافظه مصرفی
SS	۱۳۵۱	۸۹۲۳	۱۹/۵۷s	۲۳/۰ MB
LPS	۱۳۱۵	۷۵۵۵	۸/۰۹۶s	۲۳/۰ MB
DPS	۱۲۴۳	۶۹۷۹	۵۵/۰۴s	۲۳/۰ MB
QPS	۱۳۵۱	۸۷۷۹	۲۱/۵۳۲s	۲۳/۰ MB

جدول ۹.۴: مقایسه روش‌های مختلف تبدیل دستگاه چندجمله‌ای  $CTC(6,6)$  به مسئله صدق‌پذیری

عدد برشی $l = 6$				
روش	$\#v$	$\#c$	$t_{Minisat}$	حافظه مصرفی
SS	۱۰۶۳	۱۳۰۹۹	۱۵/۱۹۶s	۲۳/۰ MB
LPS	۱۰۶۳	۹۴۲۷	۴/۲۴۸s	۲۳/۰ MB
DPS	۱۰۶۳	۸۱۳۱	۵/۷۴۴s	۲۳/۰ MB
QPS	۱۰۶۳	۱۲۰۹۱	۴/۸۰۸s	۲۳/۰ MB

جدول ۱۰.۴: مقایسه روش‌های مختلف تبدیل دستگاه چندجمله‌ای  $CTC(6,6)$  به مسئله صدق‌پذیری

و عدد برشی  $l = 6$ ، به مسئله صدق‌پذیری تبدیل می‌کنیم.

این بخش را با مقایسه‌ای بین چهار نوع حل‌کننده مسئله صدق‌پذیری که در دوره‌های مختلف مسابقات انتخاب برترین حل‌کننده‌های مسئله صدق‌پذیری حائز رتبه‌های برتر شده‌اند، به پایان می‌بریم. دستگاه‌هایی که برای مقایسه انتخاب کرده‌ایم دستگاه‌های به‌دست آمده از  $SR(n, r, c, e)$  به‌ازای مقادیر مختلف برای پارمترهای  $n, r, c$  و  $e$  و همچنین دستگاه به‌دست آمده از الگوریتم رمزنگاری BiviumA است. برای تبدیل دستگاه چندجمله‌ای به مسئله صدق‌پذیری نیز از روش LPS استفاده کرده‌ایم. زمان حل دستگاه با استفاده از حل‌کننده‌های مختلف بر حسب ثانیه در جدول ۱۱.۴ آمده است. همه دستگاه‌های معادلات متناظر با  $SR(n, r, c, e)$  در جدول ۱۱.۴ به‌ازای فقط یک زوج متن اصلی و رمز شده معلوم به‌دست آمده‌اند. در استخراج دستگاه معادلات

	$n$	$m$	$\#v$	$\#c$	MiniSat	Cryptominisat5	Riss6	Lingeling	تعداد جواب
$SR(2, 2, 2, 4)$	۱۲۸	۲۲۴	۵۲۷	۷۵۱۱	۰/۶۳۶	۰/۶۹۰	۱/۵۱۲	۱/۳۰۰	۱
$SR(1, 1, 2, 8)$	۷۲	۱۲۰	۶۸۸	۱۴۱۹۷	۱/۷۷۶	۳/۳۴۰	۰/۴۷۶	۸/۰۰۰	۱
$SR(3, 1, 1, 8)$	۱۰۴	۲۰۰	۱۳۱۶	۲۷۶۲۷	۲/۷۴۰	۱۹/۸۷۰	۱۱/۱۳۲	۲۷/۷۰۰	۱
$SR(5, 2, 2, 4)$	۲۹۶	۵۳۶	۱۳۰۳	۱۸۹۵۱	۳/۸۷۲	۵/۱۶۰	۷/۸۲۸	۲۵/۰۰۰	۱
$SR(9, 2, 2, 4)$	۵۲۰	۹۵۲	۲۳۳۲	۳۴۱۰۵	۱۴/۷۵۶	۱۶/۶۵۰	۴/۹۶۸	۷/۴۰۰	۱
$BiviumA(178)$	۵۳۳	۵۳۴	۵۳۳	۸۹۰۰	۱/۰۸۸	۰/۳۹۰	۲/۵۱۶	۰/۴۰۰	۱

جدول ۱۱.۴: مقایسه حل‌کننده‌های مسئله صدق‌پذیری

BiviumA مربوط به جدول ۱۱.۴ نیز فرض کرده‌ایم که ۱۷۸ بیت از خروجی این مولد کلید اجرایی، معلوم است و دستگاه بر اساس روش معرفی متغیر جدید که در بخش‌های قبل شرح داده شد، استخراج شده است. چنانچه در جدول ۱۱.۴ نیز مشاهده می‌شود، رمز دنباله‌ای BiviumA در مدت زمان ۰/۳۹ ثانیه توسط Cryptominisat5 شکسته شده است، کاری که هرگز با روش‌های دیگر نظیر پایه گروبنر میسر نیست.

## ۶.۴ نتیجه‌گیری

### ۱.۶.۴ مقاومت‌سازی الگوریتم‌های رمز نوین در مقابل حمله‌های جبری

امروزه حمله‌های جبری به یک آزمون استاندارد برای طراحی الگوریتم‌های رمزنگاری نوین تبدیل شده است و لازم است تا طراحان الگوریتم‌های رمزنگاری، شناخت کافی از حمله‌های جبری داشته باشند. با این وجود هیچ‌گاه نمی‌توان با اطمینان کامل در مورد مصونیت یک الگوریتم رمزنگاری در مقابل حمله‌های جبری اظهار نظر کرد چرا که اولاً روش‌های جبری‌سازی و استخراج معادلات الگوریتم‌های رمزنگاری یکتا نیست و یک مهاجم ممکن است بتواند معادلاتی بهینه برای الگوریتم بیابد به طوری که اعمال حمله جبری را ساده‌تر از آنچه طراحان پیش‌بینی می‌کردند، گرداند. ثانیاً، چنانچه در دهه‌های اخیر شاهد بوده‌ایم، پیشرفت خوبی در روش‌های حل دستگاه‌های معادلات چندجمله‌ای حاصل شده و این روند ادامه دارد. بنابراین حداقل کاری که می‌توان برای مصونیت یک الگوریتم رمزنگاری در مقابل حمله‌های جبری انجام داد شناخت کامل روش‌های استخراج معادلات اجزای سازنده الگوریتم‌های رمزنگاری نوین، و همچنین شناخت کامل از روش‌های حل دستگاه‌های به‌دست آمده از الگوریتم‌های رمزنگاری و مقاومت‌سازی الگوریتم رمزنگاری مورد نظر در مقابل تهدیدات شناخته شده است.

### ۲.۶.۴ کدام حل‌کننده بهتر عمل می‌کند؟

می‌توان گفت که از میان حل‌کننده‌های معرفی شده در این پایان‌نامه، حل‌کننده‌های مسئله صدق‌پذیری از لحاظ سرعت و مصرف حافظه در جایگاه برتر قرار دارند. البته یک محدودیت اساسی در استفاده از حل‌کننده‌های مسئله صدق‌پذیری وجود دارد که عبارت است از این که، چنین حل‌کننده‌هایی فقط برای حل دستگاه‌های معادلات چندجمله‌ای روی  $\mathbb{F}_2$  قابل استفاده هستند. با این وجود روش‌هایی وجود دارد که با استفاده از آن‌ها می‌توان دستگاه معادلات چندجمله‌ای روی  $\mathbb{F}_{2^n}$  را به دستگاه معادلات چندجمله‌ای روی  $\mathbb{F}_2$  تبدیل کرد، برای نمونه به الگوریتمی که در این رابطه در [۳۸] معرفی شده است رجوع کنید.

در موارد متعددی که از پایه گروبنر برای حل دستگاه‌های به‌دست آمده استفاده کردیم مشاهده

شد که یک محدودیت اساسی الگوریتم‌های محاسبه پایه گروبنر مصرف زیاد حافظه است، به‌طوری که در بسیاری از موارد این امر سبب متوقف شدن محاسبه و بی‌نتیجه ماندن آن می‌گردد. در مقابل، الگوریتم‌های برنامه‌ریزی عدد صحیح حافظه کم‌تری مصرف می‌کنند، با این وجود این الگوریتم‌ها همیشه جایگزین مناسبی برای روش پایه گروبنر نیستند چرا که در برخی موارد ممکن است حل دستگاه با استفاده از روش پایه گروبنر سریع‌تر از حل با استفاده از الگوریتم‌های برنامه‌ریزی عدد صحیح باشد، به‌خصوص در مواردی که تعداد جملات غیر خطی دستگاه از تعداد معادلات بیشتر باشد.

در مورد روش پایه مرزی باید گفت که این روش بسیار کم‌تر از روش پایه گروبنر مورد توجه قرار گرفته است و بر خلاف پایه گروبنر که الگوریتم‌های آن سال‌ها است که در حال توسعه و بهبود هستند، الگوریتم‌های پایه مرزی در آغاز راه توسعه قرار دارند. با این وجود بنا بر دلایلی که در بخش پایه‌مرزی برشمردیم، به‌نظر می‌رسد پایه مرزی شایسته تحقیقات بیشتری است.

### ۳.۶.۴ راه‌کاری‌های مناسب‌تر

حمله جبری گزینه مناسبی برای ترکیب با سایر حمله‌های شناخته شده رمزنگاری است و به‌نظر می‌رسد این رویکرد ترکیبی بسیار مؤثرتر از رویکرد جبری محض برای حمله به سامانه‌های رمزنگاری است. برای مثال تحقیقات زیادی در رابطه با ترکیب حمله جبری و حمله تفاضلی صورت گرفته است که برای نمونه می‌توانید به [۳] رجوع کنید. به عنوان مثالی دیگر می‌توان به ترکیب حمله‌های جبری با حمله‌های کانال جانبی اشاره کرد.

---

### الگوریتم ۲۵ تبدیل دستگاه معادلات به مسئله‌ی برنامه‌ریزی عدد صحیح و سپس حل آن

---

ورودی  $f_1, \dots, f_m \in \mathbb{F}_2[x_1, \dots, x_n]$

خروجی جواب‌های دستگاه معادلات  $f_1 = \dots = f_m = 0$  که در  $\mathbb{F}_2$  قرار دارند.  
 ۱: همه چندجمله‌ای‌های  $f_1, \dots, f_m$  را به پیمانه‌ی معادلات میدان  $\mathbb{F}_2$  تحویل می‌کنیم. به ازای هر  $i \in \{1, \dots, m\}$ ،  $S_i, s_i$  و  $S$  را به صورت زیر تعریف می‌کنیم.

$$S_i := \{t \in \text{Supp}(f_i) \mid \deg(t) \geq 2\}, \quad s_i = |\text{Supp}(f_i)|, \quad S = \bigcup_{i=1}^m S_i.$$

۲: به ازای هر  $i = 1, \dots, m$ ، متغیر صحیح جدید  $K_i$  را معرفی کرده و شرط  $I_i : K_i \leq \lfloor \frac{s_i}{2} \rfloor$  را برای آن در نظر می‌گیریم.

۳: به ازای هر یکجمله‌ای  $t_j \in S$ ، متغیر صحیح جدید  $X_{n+j}$  را معرفی می‌کنیم. به ازای هر  $i = 1, \dots, m$ ،  $f_i$  را به صورت  $f_i = \sum_{t_j \in S_i} t_j + l_i$  در نظر می‌گیریم که  $l_i \in P_{\leq 1}$  (یعنی  $l_i$  خطی است). سپس معادلات  $F_i : \sum_j X_{n+j} + L_i - 2K_i = 0$ ، که  $L_i \in \mathbb{Z}[X_1, \dots, X_n]_{\leq 1}$ ، نمایش استاندارد  $l_i$  روی  $\mathbb{Z}$  است را تشکیل می‌دهیم.

۴: با در نظر گرفتن هر  $t_j \in S$ ، به صورت  $t_j = \prod_{\alpha \in N_j} x_\alpha$ ، نابرابری‌های زیر را به مجموعه قیدهای مسئله اضافه می‌کنم.

$$I_{n+j} : \sum_{\alpha \in N_j} X_\alpha - X_{n+j} \leq |N_j| - 1, \\ \forall \alpha \in N_j \quad I_{j\alpha} : X_\alpha \geq X_{n+j}.$$

۵: به ازای هر  $\alpha \in \{1, \dots, n\}$ ، قرار می‌دهیم  $I'_\alpha : X_\alpha \leq 1$ .

۶: یک چندجمله‌ای خطی  $C \in \mathbb{Z}[X_\alpha, X_{n+j}, K_i]$  را انتخاب می‌کنیم و با استفاده از حل کننده‌های مسئله برنامه‌ریزی عدد صحیح، چندتایی مرتب  $(a_\alpha, a_{n+j}, c_i)$  از اعداد صحیح نامنفی را که در معادلات و نامعادلات  $\{I_i, F_i, I_{n+j}, I_{j\alpha}, I'_\alpha\}$ ، صدق کرده، و  $C$  را کمینه (یا بیشینه) می‌کنند می‌یابیم.

۷: با بازگرداندن  $n$  تایی  $(a_1, \dots, a_n)$  الگوریتم خاتمه می‌یابد.

---

---

**الگوریتم ۲۶** GSAT برای حل مسئله صدق‌پذیری
 

---

**Input:**  $n_{flip}$  و  $n_{restart}$  پارامترهای عطفی و به صورت متعارف عطفی  $F$  گزاره منطقی

**Output:** یک انتساب رضایت بخش یا FAIL

```

1: for  $i = 1 \dots n_{restart}$  do
2:    $\sigma \leftarrow$  انتساب تصادفی مقادیر صفر و یک با احتمال یکسان به هر یک از متغیرها
3:   for  $j = 1 \dots n_{flip}$  do
4:     if  $F|_{\sigma} = 1$  then
5:       return  $\sigma$ 
6:     end if
7:     تعداد بندهایی که با تغییر مقدار متغیر  $v$  از وضعیت صادق به وضعیت ناصادق در می‌آیند  $a_v \leftarrow$ 
8:     تعداد بندهایی که با تغییر مقدار متغیر  $v$  از وضعیت ناصادق به وضعیت صادق در می‌آیند  $b_v \leftarrow$ 
9:      $k_v \leftarrow a_v - b_v$ 
10:    متغیری که به ازای آن  $k_v$  کمینه شود (در شرایط یکسان یک متغیر به تصادف انتخاب می‌شود)  $v \leftarrow$ 
11:    تغییر مقدار  $v$  در  $\sigma$ 
12:   end for
13: end for
14: return FAIL

```

---



---

**الگوریتم ۲۷** WalkSAT برای حل مسئله صدق‌پذیری
 

---

**Input:**  $p_{noise} \in [0, 1]$  و  $n_{restart}, n_{flip}$  پارامترهای عطفی و به صورت متعارف عطفی  $F$  گزاره منطقی

**Output:** یک انتساب رضایت بخش یا FAIL

```

1: for  $i = 1 \dots n_{restart}$  do
2:    $\sigma \leftarrow$  انتساب تصادفی مقادیر صفر و یک با احتمال یکسان به هر یک از متغیرها
3:   for  $j = 1 \dots n_{flip}$  do
4:     if  $F|_{\sigma} = 1$  then
5:       return  $\sigma$ 
6:     end if
7:     یک بند ناصادق از  $F$  که به تصادف و با احتمال یکنواخت انتخاب شده  $C \leftarrow$ 
8:     if  $\exists x \in C$  s.t.  $breakcount_x = 0$  then
9:       else
10:        با احتمال  $p_{noise}$ :
11:        یک متغیر که به تصادف از  $C$  انتخاب شده است  $v \leftarrow$ 
12:        با احتمال  $1 - p_{noise}$ :
13:        متغیر  $x$  در  $C$  به طوری که  $breakcount_x$  کمینه شود  $v \leftarrow$ 
14:      end if
15:    end for
16:    تغییر مقدار  $v$  در  $\sigma$ 
17:  end for
18: return FAIL

```

---

---

الگوریتم ۲۸ الگوریتم DP برای حل مسئله صدق‌پذیری

---

**Input:**  $F$  : صورت متعارف عطفی مسئله صدق‌پذیری به صورت مجموعه‌ای

**Output:** SAT یا UNSAT

```

1: DP( $F$ )
2:   if  $F = \emptyset$  then
3:     return SAT
4:   end if
5:   if  $\exists l \in \text{Lit}(F) \text{ s.t. } \{l\} \in \text{Clauses}(F)$  then
6:     return DP( $\{C \setminus \{\neg l\} : C \in F \wedge l \notin C\}$ )
7:   end if
8:   if  $\exists l \in \text{Lit}(F) \text{ s.t. } \neg l \notin \text{Lit}(F)$  then
9:     return DP( $\{C \in F : l \notin C \wedge \neg l \notin C\}$ )
10:  end if
11:   $X \leftarrow \text{Vars}(F)$ 
12:  while  $\exists C_1, C_2 \in F \text{ s.t. } \text{IsPossibleResol}(C_1, C_2, X)$  do
13:     $F_1 \leftarrow \{C_1 \odot C_2\}$ 
14:    if  $F_1 = \{\emptyset\}$  then
15:      return UNSAT
16:    end if
17:     $F \leftarrow F \cup F_1$ 
18:  end while
19:  while  $\exists C \in F \text{ s.t. } X \in C \vee \neg X \in C$  do
20:     $F \leftarrow F \setminus \{C\}$ 
21:  end while
22:  return DP( $F$ )
23: end

```

---

---

**الگوریتم ۲۹** DPLL برای حل مسئله صدق پذیری
 

---

**Input:**  $F$  : صورت متعارف عطفی مسئله صدق پذیری به صورت مجموعه ای

**Output:** SAT یا UNSAT

```

1: DPLL( $F$ )
2:   if  $F = \emptyset$  then
3:     return SAT
4:   end if
5:   if  $\exists l \in \text{Lit}(F)$  s.t.  $\{l\} \in \text{Clauses}(F)$  then
6:     return DPLL( $\{C \setminus \{-l\} : C \in F \wedge l \notin C\}$ )
7:   end if
8:   if  $\exists l \in \text{Lit}(F)$  s.t.  $\neg l \notin \text{Lit}(F)$  then
9:     return DPLL( $\{C \in F : l \notin C \wedge \neg l \notin C\}$ )
10:  end if
11:   $X \leftarrow \text{Vars}(F)$  انتخاب متغیر تصمیم
12:   $F_0 \leftarrow \{C \setminus \{X\} : C \in F \wedge \neg X \notin C\}$ 
13:  if DPLL( $F_0$ ) = SAT then
14:    return SAT
15:  end if
16:   $F_1 \leftarrow \{C \setminus \{\neg X\} : C \in F \wedge X \notin C\}$ 
17:  if DPLL( $F_1$ ) = SAT then
18:    return SAT
19:  end if
20:  return UNSAT
21: end

```

---



---

**الگوریتم ۳۰** AnalyzeConflict به کار رفته در الگوریتم CDCL
 

---

**Input:**  $C$  : بند ناصداق به دست آمده در فرآیند انتشار واحد

**Output:**  $(C_L, \beta)$  (سطح تصمیم در پیمایش معکوس :  $\beta$ , بند آموخته شده :  $C_L$ )

```

1: AnalyzeConflict( $C$ )
2:    $d \leftarrow \max\{\delta(l) : \alpha(l) \neq \text{NIL}\}$ 
3:    $i \leftarrow 0$ 
4:   repeat
5:      $C_L \leftarrow C_L^{d,i}$ 
6:      $i \leftarrow i + 1$ 
7:   until  $C_L = C_L^{d,i-1}$ 
8:   if  $|C_L| = 1$  then
9:     return  $(C_L, 0)$ 
10:  else
11:     $\beta \leftarrow \max\{\delta(l) : l \in C_L \wedge \delta(l) \neq d\}$ 
12:    return  $(C_L, \beta)$ 
13:  end if
14: end

```

---

## الگوریتم ۳۱ الگوریتم CDCL

**Input:**  $(F, \nu)$ **Output:** SAT یا UNSAT

```

1: CDCL( $F, \nu$ )
2:   if UnitPrppagation( $F, \nu$ ) = CNFLICT then
3:     return UNSAT
4:   end if
5:    $dl \leftarrow 0$  : سطح تصمیم
6:   while  $\neg$ AllVariablesAssigned( $F, \nu$ ) do
7:      $(X, v) \leftarrow$  PickBrnchingVariable( $F, \nu$ )
8:      $dl \leftarrow dl + 1$ 
9:      $\nu \leftarrow \nu \cup \{(X, v)\}$ 
10:    if UnitPrppagation( $F, \nu$ ) = CONFLICT then
11:       $(C_L, \beta) \leftarrow$  AnalyzeConflict( $F, \nu$ )
12:      if  $\beta = 0$  then
13:        return UNSAT
14:      else
15:         $F \leftarrow F \cup \{C_L\}$ 
16:        BacktrackTo( $F, \nu, \beta$ )
17:         $dl \leftarrow \beta$ 
18:      end if
19:    end if
20:  end while
21:  return SAT
22: end

```



---

**الگوریتم ۳۲** تبدیل دستگاه معادلات چندجمله‌ای روی  $\mathbb{F}_2$  به مسئله صدق‌پذیری

---

**ورودی**  $S : f_1 = \dots = f_m = 0$  s.t.  $f_1, \dots, f_m \in \mathbb{F}_2[x_1, \dots, x_n], l \geq 3$   
**خروجی** گزاره منطقی  $K$ ، به طوری که جواب‌های دستگاه  $S$  در تناظر ۱-۱ با چندتایی‌های منطقی هستند که گزاره  $K$  را ارضا می‌کنند.

۱: قرار می‌دهیم  $G = \emptyset$ . گام‌های ۲ تا ۵ را به ازای  $i = 1, \dots, m$  اجرا می‌کنیم.  
 ۲: گام ۳ را تا زمانی که هیچ چندجمله‌ای  $g$  با خاصیت ذکر شده در گام ۳ یافت نشود اجرا می‌کنیم.

۳: چندجمله‌ای  $g$  که از جمع اعضای زیرمجموعه‌ای از  $\text{Supp}(f_i)$  حاصل می‌شود را به نحوی می‌یابیم که در شرایط روش تبدیل انتخاب شده (روش استاندارد، روش شریک خطی و ...) صدق کند. متغیر جدید  $y_j$  را معرفی کرده و  $f_i$  را با  $f_i - g + y_j$ ، جایگزین کرده و  $g + y_j$  را به مجموعه  $G$  ضمیمه می‌کنیم.

۴: گام ۵ را تا زمانی که  $\# \text{Supp}(f_i) \leq l$  اجرا می‌کنیم و سپس  $f_i$  را به  $G$  ضمیمه می‌کنیم.  
 ۵: اگر  $\# \text{Supp}(f_i) > l$  آن‌گاه متغیر جدید  $y_j$  را معرفی می‌کنیم. اگر  $g$  مجموع  $l - 1$  جمله اول  $f_i$  باشد،  $f_i$  را با  $f_i - g + y_j$ ، جایگزین کرده و سپس  $g + y_j$  را به مجموعه  $G$  اضافه می‌کنیم.  
 ۶: به ازای هر چندجمله‌ای در  $G$ ، نمایش منطقی به صورت ترکیب عطفی نرمال متناظر با آن را که با  $K$  نمایش می‌دهیم را محاسبه می‌کنیم. خروجی الگوریتم خواهد بود.

---











## کتاب نامه

- [1] Albrecht, Martin. Algebraic attacks on the courtois toy cipher. *Cryptologia*, **32**(3):220–276, 2008.
- [2] Albrecht, Martin. *Algorithmic algebraic techniques and their application to block cipher cryptanalysis*. PhD thesis, University of london, 2010.
- [3] Albrecht, Martin and Cid, Carlos. Algebraic techniques in differential cryptanalysis. Cryptology ePrint Archive, Report 2008/177, 2008. <http://eprint.iacr.org/2008/177>.
- [4] Arabnezhad-Khanoki, Hossein, Sadeghiyan, Babak, and Pieprzyk, Josef. Algebraic attack efficiency versus s-box representation. Cryptology ePrint Archive, Report 2017/007, 2017. <http://eprint.iacr.org/2017/007>.
- [5] Ars, Gwénolé; Faugere, Jean-Charles; Imai Hideki; Kawazoe Mitsuru and Sugita, Makoto. Comparison between xl and gröbner basis algorithms. In *Advances in Cryptology-ASIACRYPT 2004*, pages 338–353. Springer, 2004.
- [6] Auzinger, Winfried and Stetter, Hans J. An elimination algorithm for the computation of all zeros of a system of multivariate polynomial equations. In *Numerical Mathematics Singapore 1988*, pages 11–30. Springer, 1988.
- [7] Bard, Gregory. *Algebraic cryptanalysis*. Springer Science & Business Media, 2009.
- [8] Barkan, Elad; Biham, Eli and Keller, Nathan. Instant ciphertext-only cryptanalysis of gsm encrypted communication. In *Advances in Cryptology-CRYPTO 2003*, pages 600–616. Springer, 2003.
- [9] Bigatti, A. M., Abbott J. and Lagorio, G. CoCoA-5: a system for doing Computations in Commutative Algebra. Available at <http://cocoa.dima.unige.it>.
- [10] Biryukov, Alex; Shamir, Adi and Wagner, David. Real time cryptanalysis of a5/1 on a pc. In *International Workshop on Fast Software Encryption*, pages 1–18. Springer, 2000.

- [11] Biryukov, Alex and Cannière, Christophe De. Block ciphers and systems of quadratic equations. In Johansson, Thomas, editor, *Fast Software Encryption, 10th International Workshop, FSE 2003, Lund, Sweden, February 24-26, 2003, Revised Papers*, volume 2887 of *Lecture Notes in Computer Science*, pages 274–289. Springer, 2003.
- [12] Canniere, C De and Preneel, B. Trivium specifications. *citeseer. ist. psu. edu/734144. html*, 2005.
- [13] Cid, Carlos, Murphy, Sean, and Robshaw, Matthew. *Algebraic aspects of the advanced encryption standard*. Springer Science & Business Media, 2006.
- [14] Cid, Carlos, Murphy, Sean, and Robshaw, Matthew JB. Small scale variants of the aes. In *International Workshop on Fast Software Encryption*, pages 145–162. Springer, 2005.
- [15] Collart, Stéphane; Kalkbrener, Michael and Mall, Daniel. Converting bases with the gröbner walk. *Journal of Symbolic Computation*, **24**(3):465–469, 1997.
- [16] Courtois, Nicolas; Klimov, Alexander; Patarin Jacques and Shamir, Adi. Efficient algorithms for solving overdefined systems of multivariate polynomial equations. In *Advances in Cryptology—EUROCRYPT 2000*, pages 392–407. Springer, 2000.
- [17] Courtois, Nicolas T; Bard, Gregory V and Wagner, David. Algebraic and slide attacks on keeloq. In *International Workshop on Fast Software Encryption*, pages 97–115. Springer, 2008.
- [18] Courtois, Nicolas. Ctc2 and fast algebraic attacks on block ciphers revisited. *IACR Cryptology ePrint Archive*, 2007.
- [19] Courtois, Nicolas T. Fast algebraic attacks on stream ciphers with linear feedback. In *Advances in Cryptology-CRYPTO 2003*, pages 176–194. Springer, 2003.
- [20] Courtois, Nicolas T. How fast can be algebraic attacks on block ciphers? In *Dagstuhl Seminar Proceedings*. Schloss Dagstuhl-Leibniz-Zentrum für Informatik, 2007.
- [21] Courtois, Nicolas T and Meier, Willi. Algebraic attacks on stream ciphers with linear feedback. In *Advances in Cryptology—EUROCRYPT 2003*, pages 345–359. Springer, 2003.
- [22] Courtois, Nicolas T and Pieprzyk, Josef. Cryptanalysis of block ciphers with overdefined systems of equations. In *International Conference on the Theory and*



- Application of Cryptology and Information Security*, pages 267–287. Springer, 2002.
- [23] Cox, David A.; Little, John and O’Shea, Donal. *Ideals, varieties, and algorithms*. Undergraduate Texts in Mathematics. Springer, Cham, fourth edition, 2015. An introduction to computational algebraic geometry and commutative algebra.
  - [24] Davis, Martin, Logemann, George, and Loveland, Donald. A machine program for theorem-proving. *Communications of the ACM*, 5(7):394–397, 1962.
  - [25] Davis, Martin and Putnam, Hilary. A computing procedure for quantification theory. *Journal of the ACM (JACM)*, 7(3):201–215, 1960.
  - [26] Decker, Wolfram, Greuel, Gert-Martin, Pfister, Gerhard, and Schönemann, Hans. SINGULAR 4-1-0 — A computer algebra system for polynomial computations. <http://www.singular.uni-kl.de>, 2016.
  - [27] Diem, Claus. The xl-algorithm and a conjecture from commutative algebra. In *Advances in Cryptology-ASIACRYPT 2004*, pages 323–337. Springer, 2004.
  - [28] Diffie, Whitfield and Hellman, Martin. New directions in cryptography. *IEEE transactions on Information Theory*, 22(6):644–654, 1976.
  - [29] Ding, Jintai; Buchmann, Johannes; Mohamed Mohamed Saied Emam; Mohamed Wael Said Abd Elmageed and Weinmann, Ralf-Philipp. Mutantxl. *Proc. Symbolic Computation and Cryptography*, 2008.
  - [30] Faugere, Jean-Charles. A new efficient algorithm for computing gröbner bases (f4). *Journal of pure and applied algebra*, 139(1):61–88, 1999.
  - [31] Faugère, Jean Charles. A new efficient algorithm for computing gröbner bases without reduction to zero (f5). In *Proceedings of the 2002 International Symposium on Symbolic and Algebraic Computation*, ISSAC ’02, pages 75–83, New York, NY, USA, 2002. ACM.
  - [32] Faugère, Jean-Charles and Ars, Gwénolé. *Comparison of XL and Gröbner basis algorithms over Finite Fields*. PhD thesis, INRIA, 2004.
  - [33] Faugere, Jean-Charles; Gianni, Patrizia; Lazard Daniel and Mora, Teo. Efficient computation of zero-dimensional gröbner bases by change of ordering. *Journal of Symbolic Computation*, 16(4):329–344, 1993.

- [34] Faugère, Jean-Charles. FGb: A Library for Computing Gröbner Bases. In Fukuda, Komei, Hoeven, Joris, Joswig, Michael, and Takayama, Nobuki, editors, *Mathematical Software - ICMS 2010*, volume 6327 of *Lecture Notes in Computer Science*, pages 84–87, Berlin, Heidelberg, September 2010. Springer Berlin / Heidelberg.
- [35] Frank, Jeremy, Cheeseman, Peter, and Stutz, John. When gravity fails: Local search topology. *Journal of Artificial Intelligence Research*, 7:249–281, 1997.
- [36] Hawkes, Philip and Rose, Gregory G. Rewriting variables: The complexity of fast algebraic attacks on stream ciphers. In *Advances in Cryptology-CRYPTO 2004*, pages 390–406. Springer, 2004.
- [37] Jean, Jérémy. TikZ for Cryptographers. <http://www.iacr.org/authors/tikz/>, 2016.
- [38] Jovanovic, Philipp and Kreuzer, Martin. Algebraic attacks using sat-solvers. *Groups-Complexity-Cryptography*, 2(2):247–259, 2010.
- [39] Kahn, D. The code breakers—the story of secret writing. scribner, new york, usa 1996. Technical report, ISBN 0-684-83130-9, 1996.
- [40] Katz, Jonathan and Lindell, Yehuda. *Introduction to modern cryptography*. CRC press, 2014.
- [41] Kehrein, Achim and Kreuzer, Martin. Computing border bases. *Journal of Pure and Applied Algebra*, **205**(2):279–295, 2006.
- [42] Kipnis, Aviad and Shamir, Adi. Cryptanalysis of the hfe public key cryptosystem by relinearization. In *Annual International Cryptology Conference*, pages 19–30. Springer, 1999.
- [43] Kreuzer, Martin. Algebraic attacks galore! *Groups-Complexity-Cryptography*, **1**(2):231–259, 2009.
- [44] Kreuzer, Martin et al. ApCoCoA-1.9: Approximate Computations in Commutative Algebra. Available at <http://www.apcocoa.org>.
- [45] Kreuzer, Martin and Robbiano, Lorenzo. *Computational commutative algebra. 2*. Springer-Verlag, Berlin, 2005.
- [46] Kreuzer, Martin and Robbiano, Lorenzo. *Computational commutative algebra 1*. Springer-Verlag, Berlin, 2008. Corrected reprint of the 2000 original.

- [47] Maplesoft. Maple 2015.0, Maplesoft, a division of Waterloo Maple Inc. <http://www.maplesoft.com>.
- [48] Marques-Silva, João P and Sakallah, Karem A. Grasp: A search algorithm for propositional satisfiability. *IEEE Transactions on Computers*, 48(5):506–521, 1999.
- [49] Mohamed, Mohamed Saied Emam; Cabarcas, Daniel; Ding Jintai; Buchmann Johannes; Bulygin Stanislav. Mxl3: An efficient algorithm for computing gröbner bases of zero-dimensional ideals. In *International Conference on Information Security and Cryptology*, pages 87–100. Springer, 2009.
- [50] Mohamed, Mohamed Saied Emam; Mohamed, Wael Said Abd Elmageed; Ding Jintai and Buchmann, Johannes. Mxl2: Solving polynomial equations over gf (2) using an improved mutant strategy. In *International Workshop on Post-Quantum Cryptography*, pages 203–215. Springer, 2008.
- [51] Möller, H Michael. Systems of algebraic equations solved by means of endomorphisms. In *International Symposium on Applied Algebra, Algebraic Algorithms, and Error-Correcting Codes*, pages 43–56. Springer, 1993.
- [52] Möller, H Michael and Buchberger, Bruno. The construction of multivariate polynomials with preassigned zeros. In *European Computer Algebra Conference*, pages 24–31. Springer, 1982.
- [53] Mourrain, Bernard. A new criterion for normal form algorithms. In *International Symposium on Applied Algebra, Algebraic Algorithms, and Error-Correcting Codes*, pages 430–442. Springer, 1999.
- [54] Murphy, Sean and Robshaw, Matthew. Comments on the security of the aes and the xsl technique. *Electronic Letters*, **39**(1):36–38, 2003.
- [55] Murphy, Sean and Robshaw, Matthew JB. Essential algebraic structure within the aes. In *Annual International Cryptology Conference*, pages 1–16. Springer, 2002.
- [56] Papadimitriou, CH and Steiglitz, K. Combinatorial optimization · prentice-hall. Inc., Englewood Cliffs, NJ, 1982.
- [57] Raddum, H. Cryptanalytic results on trivium. estream, ecrypt stream cipher project, report 2006/039, 2006.

- [58] Selman, Bart, Levesque, Hector J, Mitchell, David G, et al. A new method for solving hard satisfiability problems. In *AAAI*, volume 92, pages 440–446, 1992.
- [59] Selman, B., Kautz H. Cohen B. Local search strategies for satisfiability testing. *D.S. Johnson, M.A. Trick (eds.) Cliques, Coloring, and Satisfiability*, 26:521–532, 1996.
- [60] Shannon, Claude E. Communication theory of secrecy systems. *Bell system technical journal*, **28**(4):656–715, 1949.
- [61] Silva, João P Marques and Sakallah, Karem A. Grasp—a new search algorithm for satisfiability. In *Proceedings of the 1996 IEEE/ACM international conference on Computer-aided design*, pages 220–227. IEEE Computer Society, 1997.
- [62] Stein, W.A. et al. *SageMath, the Sage Mathematics Software System (Version 7.2.0)*, 2016. <http://www.sagemath.org>.
- [63] Stetter, Hans J. *Numerical polynomial algebra*. Siam, 2004.
- [64] Sugita, M; Kawazoe, M and Imai, H. Relation between xl algorithm and gröbner bases algorithms, iacr eprint server, 2004.
- [65] The GLPK Developers. GNU Linear Programming Kit. Available at <https://www.gnu.org/software/glpk>.
- [66] Ullah, Ehsan. *New Techniques for Polynomial System Solving*. PhD thesis, Universität Passau, 2012.
- [67] Weispfenning, Volker; Becker, Thomas and Kredel, Heinz. Groebner bases: a computational approach to commutative algebra. *Graduate Texts in Mathematics*. Springer-Verlag, 1993.
- [68] Xiao, L. Applicability of xsl attacks to block ciphers. *Electronics Letters*, **39**(25):1810–1811, 2003.

## Abstract

In this dissertation, based on [43], we present a collection of techniques in algebraic cryptanalysis. After introducing the basic setup of algebraic attacks and discussing several scenarios for symmetric and public key cryptosystem, we discuss a number of individual methods. In particular, we study the XL, XSL, and MutantXL attacks which are based on linearization techniques for multivariate polynomial system. Next, we study those algebraic attacks which are based on Gröbner, and border bases, as well as, attacks based on integer programming techniques and sat solvers.

**Keywords:** *Cryptosystem, Algebraic Attack, Polynomial System Solving, Relinearization, Gröbner basis, Border basis, Integer Programming, SAT solver*



**University of Tehran**

College of Science

School of Mathematic, Statistics and Computer Science

Subject

# **Topics in Algebraic Attacks on Cryptosystems**

By

**Hossein Hadipour**

Under Supervision of

**Dr. Hossein Sabzrou**

Under Consultation of

**Dr. Hossein Hajiabolhasan**

A dissertation submitted to the graduate studies

office for the degree of Master of Science

in

Pure Mathematics

September 2016